

ФИЗИКО-ХИМИЧЕСКИЕ СВОЙСТВА ОКИСЛОВ

Справочник

Под редакцией
чл.-корр. АН УССР
Г. В. САМСОНОВА

*Издание второе,
переработанное
и дополненное*



Москва «Металлургия» 1978

УДК 54—31.004.12

Самсонов Г. В., Борисова А. Л., Жидкова Т. Г., Знатокова Т. Н.,
Калошина Ю. П., Киселева А. Ф., Кислый П. С., Ковальченко М. С.,
Косолапова Т. Я., Малахов Я. С., Малахов В. Я., Панасюк А. Д.,
Славута В. И., Ткаченко Н. И.

УДК 54—31.004.12

Физико-химические свойства окислов. Самсонов Г. В., Борисова А. Л., Жидкова Т. Г., Знатокова Т. Н., Калошина Ю. П., Киселева А. Ф., Кислый П. С., Ковальченко М. С., Косолапова Т. Я., Малахов Я. С., Малахов В. Я., Панасюк А. Д., Славута В. И., Ткаченко Н. И. Справочник. Изд-во «Металлургия», 1978. 472 с.

Окислы металлов относятся к классу наиболее широко применяемых в различных областях техники материалов. В справочнике систематизированы физические, физико-химические и химические свойства окислов. В частности приведены общие сведения об окислах, кристаллическая структура, их электрические, магнитные, оптические, термодинамические, механические, термические, молекулярные, ядерные, химические, каталитические и огнеупорные свойства, а также диаграммы состояния бинарных систем металл — кислород.

Справочник рассчитан на широкий круг специалистов, занимающихся исследованием, разработкой, производством и использованием окисных и других материалов, а также на преподавателей и учащихся технических вузов. Ил. 94. Табл. 82. Библ. 640 назв.

© Издательство «Металлургия», 1978

Ф 31011—157
040(01)—78 6—78

ОГЛАВЛЕНИЕ

Стр.

| | |
|--|------------|
| Предисловие ко второму изданию | 6 |
| Глава I | |
| Общие сведения, стехиометрия и кристаллохимические свойства | 12 |
| 1. Геометрические константы атомов и ионов | 12 |
| 2. Состав окислов | 15 |
| 3. Область гомогенности | 16 |
| 4. Кристаллическая структура | 17 |
| 5. Плотность окислов | 29 |
| Глава II | |
| Термодинамические и термические свойства | 30 |
| 1. Стандартная теплота образования (стандартное изменение энталпии) и стандартная энтропия | 30 |
| 2. Температурная зависимость теплоты образования | 42 |
| 3. Температурная зависимость энталпии (теплосодержания) | 46 |
| 4. Стандартная свободная энергия образования окислов | 54 |
| 5. Функция свободной энергии | 59 |
| 6. Температуры плавления и кипения | 61 |
| 7. Теплоты плавления и испарения | 67 |
| 8. Изменение энтропии при плавлении и испарении | 73 |
| 9. Теплота сублимации и изменение энтропии при сублимации | 76 |
| 10. Параметры полиморфных и некоторых фазовых превращений | 81 |
| 11. Энергия атомизации кристаллических окислов при ОК | 93 |
| 12. Энергия кристаллической решетки | 94 |
| 13. Теплота разложения | 95 |
| 14. Энергия разрыва химических связей | 96 |
| 15. Стандартная теплоемкость | 103 |
| 16. Уравнения мольной теплоемкости | 106 |
| 17. Теплоемкость c_p при низких температурах | 116 |
| 18. Характеристическая температура | 119 |
| 19. Коэффициент теплопроводности | 120 |
| 20. Линейный коэффициент теплового расширения | 130 |
| 21. Анизотропия линейного коэффициента теплового расширения | 136 |
| 22. Параметры диффузии кислорода в металлы и неметаллы | 138 |
| 23. Параметры диффузии элементов в окислы | 139 |
| 24. Скорость испарения | 152 |
| 25. Давление паров | 154 |
| 26. Давление диссоциации | 169 |
| Глава III | |
| Молекулярные свойства | 183 |
| 1. Поверхностное натяжение жидких окислов | 183 |
| 2. Вязкость окислов | 184 |
| 3. Постоянные в уравнении Ван-дер-Ваальса | 190 |
| 4. Критические параметры | 190 |
| 5. Молекулярные параметры | 191 |

| | |
|--|------------|
| 6. Средняя длина свободного пробега фононов | 191 |
| Г л а в а IV | |
| Механические свойства | 193 |
| 1. Модуль нормальной упругости | 193 |
| 2. Модуль сдвига | 195 |
| 3. Коеффициент Пуассона | 197 |
| 4. Предел прочности при растяжении | 198 |
| 5. Предел прочности при сжатии | 199 |
| 6. Предел прочности при изгибе | 200 |
| 7. Твердость по минералогической шкале | 201 |
| 8. Микротвердость | 202 |
| 9. Сжимаемость | 207 |
| 10. Упругие константы | 207 |
| 11. Скорость звука | 210 |
| Г л а в а V | |
| Электрические и магнитные свойства | 211 |
| 1. Электросопротивление | 211 |
| 2. Термоэлектрические свойства | 214 |
| 3. Термоэмиссионные свойства | 215 |
| 4. Гальваномагнитные свойства | 216 |
| 5. Магнитные свойства | 218 |
| 6. Диэлектрические свойства | 220 |
| 7. Ширина запрещенной зоны и энергия активации | 223 |
| Г л а в а VI | |
| Оптические свойства | 225 |
| 1. Цвет окислов | 225 |
| 2. Показатель преломления | 234 |
| 3. Излучательные характеристики | 237 |
| 4. Спектры оптических констант окислов | 247 |
| 5. Особенности оптических свойств | 254 |
| Г л а в а VII | |
| Ядерные свойства и влияние облучения | 271 |
| 1. Микро- и макроскопические сечения поглощения и рассеяния | 271 |
| 2. Ядерные свойства окислов-замедлителей | 272 |
| 3. Пороговые энергии реакций, приводящих к образованию новых элементов в окислах | 273 |
| 4. Некоторые характеристики изотопов, образующихся в окислах при облучении | 273 |
| 5. Радиационное изменение объема | 274 |
| 6. Влияние облучения на плотность | 277 |
| 7. Влияние облучения на периоды кристаллической решетки | 278 |
| 8. Влияние облучения на теплопроводность | 280 |
| 9. Радиационное изменение модуля упругости | 281 |
| 10. Влияние облучения на прочность | 282 |
| 11. Влияние облучения на твердость | 283 |
| 12. Радиационное изменение электрических свойств | 284 |

| | |
|--|-----|
| 13. Влияние облучения на оптические свойства | 287 |
| 14. Запасенная энергия | 288 |
| 15. Внутреннее трение | 288 |
| 16. Радиационные дефекты | 289 |
| 17. Радиационная стойкость | 291 |

Г л а в а VIII

| | |
|---|------------|
| Химические и катализитические свойства | 295 |
| 1. Химические свойства | 295 |
| 2. Катализитические свойства | 363 |

Г л а в а IX

| | |
|---|------------|
| Огнеупорные свойства | 388 |
| 1. Взаимодействие окислов с веществами в твердой фазе . | 388 |
| 2. Смачивание окислов жидкими металлами | 402 |
| 3. Стойкость против действия расплавленных металлов, сплавов и шлаков | 411 |

Г л а в а X

| | |
|---|------------|
| Диаграммы состояния бинарных систем элемент — кислород | 418 |
| Список литературы | 438 |
| Указатель свойств элементов и их окислов | 465 |

ПРЕДИСЛОВИЕ КО ВТОРОМУ ИЗДАНИЮ

Со времени первого издания настоящего справочника, выпущенного в 1969 г., прошел сравнительно небольшой срок, в течение которого авторский коллектив продолжал работу по сбору и обработке появляющейся в литературе информации о свойствах окислов. Поступившие за это время многочисленные отзывы свидетельствовали о несомненной пользе такой настольной книги для научных, производственно-технических и преподавательских кадров, что и определило ее переиздание.

При подготовке второго издания авторы критически пересмотрели весь материал справочника, обновили устаревшие сведения и включили новые материалы в некоторые главы. Большую пользу при этом оказали замечания профессоров С. Г. Тресвятского, А. И. Августиника, Э. К. Келера, К. К. Стрелова, докторов технических наук А. Н. Борисенка, Д. С. Рутмана и многих других, за что авторы им глубоко благодарны.

Структура второго издания справочника существенных изменений не претерпела; однако в содержание некоторых глав внесены корректизы. Так, из первой главы исключены сведения, непосредственно не относящиеся к свойствам окислов. Из других глав — те сведения, которые достаточно полно изложены в других изданиях. Часть разделов пополнена и выделена в отдельные главы. Для каждого свойства окисла, как правило, приведено одно численное значение, которое авторы считают наиболее достоверным и рекомендуют для использования. В отдельных случаях, когда не представилось возможным сделать выбор наиболее достоверной величины, приведены несколько ее значений.

Материалы справочника составлены в форме таблиц, расположенных в следующем порядке: общие сведения, стехиометрия и кристаллохимические свойства окислов, термодинамические и термические свойства, молекулярные свойства, механические, электрические и магнитные свойства, оптические свойства, ядерные свойства и влияние облучения, химические и каталитические свойства, огнеупорные свойства, диаграммы состояния бинарных систем элемент — кислород.

Окислы в таблицах расположены по возрастанию порядкового номера элементов. В случае, когда элемент образует несколько окислов, они располагаются в порядке возрастания числа кислородных атомов, приходящихся на один атом элемента. В материалах по источнику [9, в. I—VII] для нестехиометрических соединений металла с неметаллом целочисленный индекс, как правило, стоит у металла, нецелочисленный — у неметалла. Целочисленный индекс стоит у элемента, образующего комплектную подрешетку. При наличии одинаковой некомплектности нецелочисленные индексы не приводятся ($Ti_{0,85}O_{0,85} \rightarrow TiO$). Константы приведены для составов, являющихся границами областей гомогенности, и для нескольких промежуточных составов.

В необходимых случаях в таблицах сокращенно указано состояние окисла: ам — аморфное, ап — аморфный порошок, г — газообразное, ж — жидкое; км — компактная масса, к или кр — кристаллическое, м — маслянистое, п — парообразное, пл — плавленое, см — смолоподобное, ст — стекловидное, т — твердое, чп — чешуйчатые пластинки. По возможности более обстоятельно описаны характеристи-

тиki образцов, для которых определены соответствующие величины. Значения, вызывающие сомнения, либо взяты в скобки, либо возле них поставлен вопросительный знак. Только по источнику [75] в скобках указаны расчетные значения.

Для удобства читателей справочник снабжен указателем свойств окислов элементов, расположенных не в порядке возрастания номеров, а по алфавиту их наименования в русской транскрипции.

Приводимые в справочнике величины выражены в единицах системы СИ. Используются две температурные шкалы — Цельсия и Кельвина. В ряде случаев температура 298,15 К (25°C) для краткости записана как 298 К. При пересчете численных значений величин из единиц одной системы в единицы других систем проводилось соответствующее округление.

В главе I приведены общие сведения о свойствах окислов. В таблице «Геометрические константы атомов и ионов» для металлов использованы атомные радиусы для координационного числа 12, для неметаллов — ковалентные радиусы по Паулингу, для ионов — радиусы для координационного числа 6. В таблице «Состав окислов» приведены сведения о формульном составе окисных фаз, их молекулярных массах и содержании кислорода в атомных и массовых процентах. В таблице «Кристаллическая структура» приведены основные данные о структуре окислов, определенные на моно- или поликристаллических образцах; следует отметить, что для многих окислов эти сведения неполны, так как не содержат данных либо о структурном типе, либо о пространственной группе или параметрах решетки.

В таблицах этой и последующих глав для определения сингонии приняты следующие сокращения: гекс — гексагональный; куб — кубический, монокл — моноклинный, ром — ромбический, тетр — тетрагональный, триг — тригональный.

В главе II собраны сведения о термодинамических и термических свойствах окислов. При подготовке второго издания материалы главы были изменены и дополнены. В разделе «Температуры плавления и кипения» приведены данные, которые определены, как правило, при нормальном давлении. В том случае, когда давление отличается от нормального, это оговорено. Величины теплот плавления в соответствующем разделе относятся к температурам плавления при нормальном давлении, для теплот испарения указаны температуры и давления. Значения изменения энтропии при плавлении относятся к температурам плавления. Для этих величин при испарении жидкости указаны температура и давление. Совместно в одном разделе приведены сведения по теплотам сублимации и изменению энтропии при сублимации.

В существенно переработанном виде представлены материалы раздела «Параметры полиморфных и некоторых фазовых превращений». В большой степени использованы сведения, опубликованные в справочнике «Термические константы веществ» под редакцией академика В. П. Глушко [9]. Наряду с параметрами полиморфных превращений приведены параметры фазовых переходов II рода, переходов в точках Юри и Нееля и др. Чтобы отличать собственное давление пара данного окисла и внешнее давление, значения внешних давлений по источнику [9, в. I—VII] приводятся в скобках. При наличии у данного кристаллического окисла нескольких модификаций последним по [9, в. I—VII] присвоены номера, обозначаемые римскими цифрами, причем нумерация начинается с наиболее высокотемпературной модификации. По источнику [9, в. VI—VII]

уточнено описание фазовых переходов окислов в конденсированных состояниях:

- $k \rightarrow j$ — плавление, имеющее конгруэнтный характер;
 $k \rightarrow j + k_1$ — инконгруэнтное плавление с образованием жидкой фазы (j) и другой кристаллической фазы (k_1);
 $\left. \begin{array}{l} k_1 + k_2 \rightarrow k \\ k \rightarrow k_1 + k_2 \\ k \rightarrow j_1 + j_2 \end{array} \right\}$ — фазовые переходы, при которых данная кристаллическая фаза (k) образуется из двух других кристаллических фаз или разлагается на две кристаллические или жидкие фазы;
 $\left. \begin{array}{l} k III \rightarrow k II \\ k II \rightarrow k I \\ \text{и т. д.} \end{array} \right\}$ — полиморфные превращения (фазовые переходы первого рода);
 $\left. \begin{array}{l} k I \rightarrow k I' \\ k I' \rightarrow k I'' \\ \text{и т. д.} \end{array} \right\}$ — фазовые переходы второго рода.

Значения теплоемкости, если не указано состояние окисла, относятся к твердому состоянию. Так как теплопроводность существенно зависит от состояния образца, то где было возможно, подчеркнуты особенности исследованных образцов.

Энергия активации для диффузии кислорода приведена в кДж/кмоль, а для диффузии элементов в окислы также в электронвольтах. При переводе энергии активации из ккал/моль в электронвольты (при расчете на один атом) использовано число Авогадро, равное $6,02486 \cdot 10^{23}$ моль $^{-1}$, и соотношения $1 \text{ эВ} = 1,60207 \cdot 10^{-19} \text{ Дж}$, $1 \text{ кал} = 4,1868 \text{ Дж}$, что привело к перерасчетному коэффициенту $4,1868 \cdot 10^3 / (1,60207 \cdot 10^{-19} \cdot 6,02486 \cdot 10^{23}) = 0,04338 \text{ (эВ} \cdot \text{моль})/\text{ккал}$.

В разделе «Параметры диффузии элементов в окислы» встречаются выражения вида $4,19(+2,45; -1,55) \cdot 10^{-4}$; применительно к указанному выше выражение это означает, что наиболее достоверное значение искомой величины лежит в интервале $(4,19 - 1,55) \times 10^{-4} \div (4,19 - 2,45) \cdot 10^{-4}$.

В разделе «Давление паров» помещены и расчетные, и экспериментальные данные, отвечающие молекулярному режиму испарения. Обычно наблюдается значительное расхождение между ними. Значения давления диссоциации представлены преимущественно уравнениями зависимости $p_{O_2} = f(T)$. Уравнения и численные значения давления паров и диссоциации, взятые из работы [195], получены расчетным путем. Для перехода от давления, выраженного в Па*, к давлению, выраженному в мм рт. ст., в уравнении от слагаемого, которое не зависит от температуры, надо вычесть число 2,1244896 (или соответственно округленное), а для перехода к давлению в ат — надо вычесть число 5,0056 (или округленное). Например:

$$\begin{aligned} \lg p &= 13,74 - 24044/T \text{ (} p, \text{ Па)}; \\ \lg p &= 13,74 - 2,12 - 24044/T = \\ &= 11,62 - 24044/T \text{ (} p, \text{ мм рт. ст)}; \\ \lg p &= 13,74 - 5,01 - 24044/T = 8,73 - 24044/(p, \text{ ат}). \end{aligned}$$

Величины, связанные с молекулярным строением окислов, выделены в отдельную главу III «Молекулярные свойства».

* 1 Па — Паскаль соответствует 1 Н/м 2 ; 1 кПа (килопаскаль) = 10^3 Па, 1 МПа (мегапаскаль) = 10^6 Па.

Данные главы IV «Механические свойства» относятся преимущественно к твердому состоянию. Значения величин по механическим свойствам имеют значительный разброс из-за различных состояний измеренных образцов, характера и степени чистоты образцов, их обработки и влияния ряда других трудно учитываемых факторов. Температурные зависимости свойств некоторых окислов были взяты из графиков в логарифмической шкале, поэтому вполне возможны погрешности. Об этом указано в примечании. По возможности приведены характеристики образцов: пористость, плотность, условия спекания, обжига и т. п. Твердость окислов представлена по минералогической шкале в основном для природных минералов.

В главе V «Электрические и магнитные свойства» представлены сведения о температурных зависимостях удельного электросопротивления и коэффициента термо-э. д. с., значения работы выхода, постоянной Холла и подвижности носителей, данные по магнитной восприимчивости и эффективным магнитным моментам, величины относительной диэлектрической проницаемости, ширины запрещенной зоны и энергии активации. Для ряда окислов данные взяты из графиков, на что указано. Значения работы выхода приведены в основном из справочников В. С. Фоменка «Эмиссионные свойства элементов и химических соединений» (1965) и «Эмиссионные свойства материалов» (1970), где можно найти более полные сведения о литературе, методах измерения и т. п. Значения удельной магнитной восприимчивости легко могут быть пересчитаны на молекулярную умножением на молекулярную массу окисла.

В главе VI «Оптические свойства» уточнены и дополнены сведения о показателе преломления, излучательных характеристиках. Во втором издании впервые приведены графические зависимости спектров некоторых оптических констант и описание особенностей оптических свойств окислов. Обозначения полиморфных модификаций в этой главе сохранены такими, как они были указаны в соответствующих источниках. Показатели преломления окислов определены (если не указано особо) для длины волны фраунгоферовой *D*-линии натрия при комнатной температуре. Сохранены общепринятые обозначения главных показателей преломления n_g , n_m и n_p (для двуосных кристаллов). Значения показателя преломления для необыкновенного n_e и обыкновенного n_0 лучей для одноосных кристаллов приведены соответственно в графах n_g и n_p . Для изотропных кристаллов и любых других с известным средним показателем преломления данные указаны в графике n_m . В разделе «Излучательные характеристики» более полно, чем в первом издании, собраны сведения об интегральной нормальной ε_{tn} и монохроматической нормальной $\varepsilon_{\lambda n}$ излучательных способностях.

В новом разделе «Особенности оптических свойств» даются сведения о различных оптических свойствах окислов, не вошедшие в предыдущие разделы.

В главе VII «Ядерные свойства и влияние облучения» изложены сведения о сечениях поглощения и рассеяния, о ядерных свойствах окислов-замедлителей, о пороговых энергиях реакций, приводящих к образованию новых элементов в окислах, о некоторых характеристиках изотопов, образующихся в окислах при облучении. В разделах главы приведены данные о влиянии облучения на объем окислов, их плотность, параметры решетки, на теплопроводность, на изменение механических, электрических и оптических свойств окислов. Также указаны сведения о запасенной энергии и внутреннем трении, о радиационных эффектах и радиационной стойкости.

Глава VIII «Химические и катализитические свойства» состоит из двух разделов. В первом разделе приводятся данные по характеру взаимодействия окислов с минеральными и органическими кислотами, смесями кислот, растворами щелочей, растворами и расплавами солей и газовыми средами. Во втором разделе — катализитические свойства.

В разделе «Катализитические свойства» окислы элементов также размещены в порядке возрастания атомных номеров элементов. Окислы тех элементов, о катализитических свойствах которых нет сведений в просмотренной литературе, в таблице отсутствуют. В графе I представлен качественный состав катализатора, т. е. указано, в смеси с какими соединениями применялся рассматриваемый окисел для катализа. Если окисел играет роль не катализатора, а промотора, то в скобках стоит буква «п», если носителя — буква «н». В графе 2 указаны температура и давление [если оно было больше 981 кПа (1 ат)], при которых осуществляется реакция, в графе 3 — тип катализируемых реакций.

В главе IX «Огнеупорные свойства» в первом разделе приводятся данные о взаимодействии ряда окислов с простыми веществами и бинарными соединениями в твердой фазе. Во втором разделе представлены сведения о смачивании окислов жидкими металлами. Стойкость окислов против действия расплавленных металлов, сплавов и шлаков описана в третьем разделе.

Диаграммы состояния бинарных систем элемент — кислород помещены в главе X. В тех случаях, когда для одной системы имеется несколько различающихся между собой диаграмм, охватывающих одинаковую область температур и концентраций, приведена более полная, построенная по большему числу экспериментальных точек. Как правило, это и есть более поздняя по времени диаграмма, уточняющая или дополняющая предыдущие. В некоторых случаях для одной системы (например, Ce—O, Ti—O, V—O, Zr—O) приведены две или три дополняющие друг друга диаграммы. Ввиду большой сложности системы U—O приводятся два варианта этой системы (рис. 84 и 85).

За время, прошедшее после подготовки первого издания настоящего справочника, в литературе появились сообщения о новых диаграммах состояния систем элемент — кислород ($\text{Al}-\text{O}$, $\text{Am}-\text{O}$, $\text{Cm}-\text{O}$, $\text{Eu}-\text{O}$, $\text{K}-\text{O}$, $\text{Rb}-\text{O}$, $\text{Sc}-\text{O}$, $\text{Ta}-\text{O}$, $\text{Th}-\text{O}$), а также об уточненных или вновь построенных диаграммах систем, для которых диаграммы уже были известны (например, $\text{Cu}-\text{O}$, $\text{Cr}-\text{O}$, $\text{Nb}-\text{O}$, $\text{Ti}-\text{O}$, $\text{U}-\text{O}$, $\text{V}-\text{O}$, $\text{W}-\text{O}$, $\text{Zr}-\text{O}$). В связи с этим содержание главы X существенно изменилось: введены новые диаграммы, пересмотрены диаграммы, входившие в первое издание, некоторые заменены более полными и уточненными, некоторые опущены, как не представляющие большого интереса. Диаграммы систем $\text{Pr}-\text{O}$, $\text{Tb}-\text{O}$ предложены их авторами как предположительные, систем $\text{Sn}-\text{O}$, $\text{W}-\text{O}$ — как схематические, а диаграмма $\text{Cm}-\text{O}$ является условной, некоторые линии которой (перитектоидные превращения фаз i и b) проведены по аналогии с соответствующими линиями в системах $\text{Me}-\text{O}$ для лантанидов. За последнее время в ряде систем $\text{Me}-\text{O}$ открыты субоксиды — окислы, состав которых не отвечает валентным соотношениям атомов, но они имеют упорядоченную структуру. В тех случаях, когда существование субоксидов подтверждено с большой определенностью, они внесены в диаграммы состояния. Такие диаграммы, уточненные в области твердых растворов, приведены для систем $\text{Ti}-\text{O}$ (рис. 83), $\text{V}-\text{O}$ (рис. 88), $\text{Zr}-\text{O}$

(рис. 94). Для удобства читателей диаграммы расположены по химическим символам первых компонентов в порядке латинского алфавита.

В подготовке нового издания принимали участие сотрудники отдела тугоплавких материалов ордена Трудового Красного Знамени Института проблем материаловедения и Института ядерных исследований АН УССР, сотрудники кафедр физики Ждановского металлургического института и Киевского автомобильно-дорожного института.

Авторский коллектив намерен продолжать работу по дальнейшему улучшению содержания справочника, отражающего новые и более достоверные сведения о разнообразных свойствах простых окислов, по структурному совершенствованию справочника с тем, чтобы многообразная информация о сложных свойствах окислов была представлена в сжатом, конкретном виде. Как и прежде, авторы будут благодарны за все критические замечания и рекомендации читателей.

ГЛАВА I

ОБЩИЕ СВЕДЕНИЯ, СТЕХИОМЕТРИЯ И КРИСТАЛЛОХИМИЧЕСКИЕ СВОЙСТВА

1. ГЕОМЕТРИЧЕСКИЕ КОНСТАНТЫ АТОМОВ И ИОНОВ [1]

| Элемент | Радиус атома по Белову и Бокию, нм | | Радиус иона, нм, по | | | | Заряд иона |
|---------|---------------------------------------|--------------------|---------------------|------------------|-------|-------------------|------------|
| | ковалент- ный | металли- ческий | Полингу | Гольд- шмидту | Райсу | Белову и Бокию | |
| | 1 | 2 | 3 | 4 | 5 | 6 | 7 |
| H | 0,028 | 0,046 | 0,208 | 0,154 | 0,205 | 0,136 | 1- |
| He | 0,122 | — | — | — | — | — | — |
| Li | 0,133 | 0,155 | 0,060 | 0,078 | 0,059 | 0,068 | 1+ |
| Be | 0,100 | 0,113 | 0,032 | 0,034 | 0,043 | 0,034 | 2+ |
| B | 0,083 | 0,091 | 0,020 | — | 0,034 | 0,020 | 3+ |
| C | 0,077 | — | 0,015 | 0,020 | 0,029 | 0,020 | 4+ |
| N | 0,070 | — | 0,011 | 0,015 | 0,025 | 0,015 | 5+ |
| O | 0,066 | — | 0,019 | 0,024 | 0,022 | 0,0148 | 6+ |
| F | 0,071 | — | 0,007 | — | 0,019 | — | 7+ |
| Ne | 0,160 | — | — | — | — | — | — |
| Na | 0,154 | 0,189 | 0,095 | 0,098 | 0,095 | 0,098 | 1+ |
| Mg | 0,138 | 0,160 | 0,065 | 0,078 | 0,082 | 0,074 | 2+ |
| Al | 0,126 | 0,143 | 0,050 | 0,057 | 0,072 | 0,057 | 3+ |
| Si | 0,117 | — | 0,041 | 0,039 | 0,065 | 0,039 | 4+ |
| P | 0,104 | — | 0,034 | 0,035 | 0,059 | 0,035 | 5+ |
| S | 0,104 | — | 0,029 | 0,034 | 0,053 | 0,029 | 6+ |
| C | 0,099 | — | 0,026 | — | 0,049 | 0,026 | 7+ |
| Ar | 0,192 | — | — | — | — | — | — |
| K | — | 0,236 | 0,133 | 0,133 | 0,133 | 0,133 | 1+ |
| Ca | — | 0,197 | 0,098 | 0,106 | 0,118 | 0,104 | 2+ |
| Sc | — | 0,164 | 0,081 | 0,083 | 0,106 | 0,083 | 3+ |
| Ti | — | 0,146 | 0,068 | 0,064 | 0,096 | 0,064 | 4+ |
| V | — | 0,134 | 0,059 | 0,040 | — | 0,040 | 5+ |
| Cr | — | 0,127 | 0,052 | 0,035 | 0,081 | 0,035 | 6+ |
| | | | 0,064 | — | — | 0,064 | 3+ |
| | | | — | 0,072 | — | 0,072 | 2+ |
| | | | — | — | — | 0,083 | 2+ |

| 1 | 2 | 3 | 4 | 5 | 6 | 7 | 8 |
|----|-------|-------|----------------------------------|------------------------------|--------------------------|----------------------------------|----------------------|
| Mn | — | 0,130 | 0,046 0,050 0,062 0,080 | — 0,052 0,070 0,091 | 0,075 | 0,046 0,052 0,070 0,091 | 7+ 4+ 3+ 2+ |
| Fe | — | 0,126 | 0,060 0,075 | 0,067 0,083 | — — | 0,067 0,080 | 3+ 2+ |
| Co | — | 0,125 | — | — | — | 0,064 | 3+ |
| Ni | — | 0,124 | 0,072 0,069 | 0,082 0,078 | — — | 0,078 0,074 | 2+ 2+ |
| Cu | | 0,128 | — | — | — | 0,080 | 2+ |
| Zn | 0,131 | 0,139 | 0,074 | 0,083 | 0,096 | 0,098 | 1+ |
| Ga | 0,127 | 0,139 | 0,062 | 0,062 | 0,088 | 0,083 | 2+ |
| Ge | 0,122 | — | 0,053 | 0,044 | 0,076 | 0,044 | 4+ |
| | | | — | — | — | 0,065 | 2+ |
| As | 0,121 | — | 0,272 0,047 | — 0,069 | — 0,071 | — 0,047 | 4— 5+ |
| Se | 0,117 | — | 0,222 0,042 | — 0,035 | — 0,066 | 0,191 0,035 | 3+ 6+ |
| Br | 0,114 | — | 0,198 0,039 | 0,191 — | 0,232 0,062 | 0,193 0,039 | 2— 7+ |
| Kr | 0,198 | — | — 0,195 | — 0,196 | — 0,195 | — 0,196 | 1+ |
| Rb | — | 0,248 | 0,148 | 0,149 | 0,148 | 0,149 | 1+ |
| Sr | — | 0,215 | 0,113 | 0,127 | 0,132 | 0,120 | 2+ |
| Y | — | 0,181 | 0,093 | 0,106 | 0,120 | 0,097 | 3+ |
| Zr | — | 0,160 | 0,080 | 0,087 | 0,109 | 0,082 | 4+ |
| Nb | — | 0,145 | 0,070 0,077 | 0,069 — | 0,100 — | 0,066 0,067 | 5+ 4+ |
| Mo | — | 0,139 | 0,062 0,066 | — 0,068 | 0,093 — | 0,065 0,068 | 6+ 4+ |
| Tc | — | 0,136 | — | — | — | — | — |
| Ru | — | 0,134 | 0,063 | 0,065 | — | 0,062 | 4+ |
| Rh | — | 0,134 | — | — | — | 0,065 | 4+ |
| Pd | — | 0,137 | — | 0,068 | — | 0,075 | 3+ |
| Ag | — | 0,144 | 0,126 | 0,113 | 0,126 | 0,113 | 1+ |
| Cd | 0,148 | 0,156 | 0,097 | 0,103 | 0,114 | 0,099 | 2+ |
| In | 0,144 | 0,166 | 0,081 | 0,092 | 0,104 | 0,092 | 3+ |
| Sn | 0,140 | 0,158 | 0,071 — | 0,074 — | 0,096 — | 0,130 0,102 | 1+ 2+ |
| Sb | 0,140 | 0,161 | 0,294 0,062 | 0,215 — | — 0,089 | — 0,062 | 4— 5+ |
| Te | 0,137 | — | 0,245 0,056 0,081 0,221 | — 0,090 0,089 0,211 | — — 0,082 0,250 | 0,208 0,090 0,056 0,211 | 3— 3+ 4+ 2— |

| 1 | 2 | 3 | 4 | 5 | 6 | 7 | 8 |
|----|-------|-------|-------|-------|-------|-------|----|
| I | 0,133 | — | 0,050 | — | 0,077 | 0,050 | 7+ |
| | | | — | 0,094 | — | — | 5+ |
| Xe | 0,218 | — | 0,216 | 0,220 | — | 0,220 | 1— |
| Cs | — | 0,268 | 0,169 | 0,165 | 0,169 | 0,165 | 1+ |
| Ba | — | 0,221 | 0,135 | 0,143 | 0,153 | 0,138 | 2+ |
| La | — | 0,187 | — | — | — | 0,090 | 4+ |
| | | | 0,115 | 0,122 | 0,139 | 0,104 | 3+ |
| Ce | — | 0,183 | 0,101 | 0,102 | 0,127 | 0,088 | 4+ |
| | | | — | 0,118 | — | 0,102 | 3+ |
| Pr | — | 0,182 | 0,092 | 0,100 | — | — | 4+ |
| | | | — | 0,116 | — | 0,100 | 3+ |
| Nd | — | 0,182 | — | 0,115 | — | 0,099 | 3+ |
| Pm | — | — | — | — | — | 0,098 | 3+ |
| Sm | — | 0,181 | — | 0,113 | — | 0,097 | 3+ |
| Eu | — | 0,202 | — | 0,113 | — | 0,101 | 3+ |
| Gd | — | 0,179 | — | 0,111 | — | 0,094 | 3+ |
| Tb | — | 0,177 | — | 0,089 | — | — | 4+ |
| | | | — | 0,109 | — | 0,089 | 3+ |
| Dy | — | 0,177 | — | 0,107 | — | 0,088 | 3+ |
| Ho | — | 0,176 | — | 0,105 | — | 0,086 | 3+ |
| Er | — | 0,175 | — | 0,104 | — | 0,085 | 3+ |
| Tm | — | 0,174 | — | 0,104 | — | 0,085 | 3+ |
| Yb | — | 0,193 | — | 0,100 | — | 0,081 | 3+ |
| Lu | — | 0,174 | — | 0,099 | — | 0,080 | 3+ |
| Hf | — | 0,159 | — | — | — | 0,082 | 4+ |
| Ta | — | 0,146 | — | — | — | 0,066 | 5+ |
| W | — | 0,140 | — | — | — | 0,065 | 6+ |
| | | | 0,066 | 0,068 | — | 0,068 | 4+ |
| Re | — | 0,137 | — | — | — | 0,052 | 6+ |
| Os | — | 0,135 | 0,065 | 0,067 | — | 0,065 | 4+ |
| Ir | — | 0,135 | 0,064 | 0,066 | — | 0,065 | 4+ |
| Pt | — | 0,138 | — | — | — | 0,064 | 4+ |
| Au | — | 0,144 | 0,137 | — | 0,137 | 0,137 | 1+ |
| Hg | — | 0,160 | 0,110 | 0,112 | 0,125 | 0,112 | 2+ |
| Tl | — | 0,171 | 0,095 | 0,105 | 0,115 | 0,105 | 3+ |
| | | | 0,144 | 0,149 | — | 0,136 | 1+ |
| Pb | — | 0,175 | 0,084 | 0,084 | 0,106 | 0,076 | 4+ |
| | | | 0,121 | 0,132 | — | 0,126 | 2+ |
| | | | — | 0,215 | — | — | 4— |
| Bi | — | 0,182 | 0,074 | — | 0,098 | 0,074 | 5+ |
| | | | 0,116 | — | — | 0,120 | 3+ |
| | | | — | — | — | 0,213 | 3— |
| Fr | — | 0,280 | — | — | — | — | — |
| Ra | — | 0,235 | — | 0,152 | — | 0,144 | 2+ |
| Ac | — | 0,203 | — | — | — | 0,111 | 3+ |
| | | 0,180 | 0,102 | 0,110 | — | 0,095 | 4+ |
| Th | — | — | — | — | — | 0,108 | 3+ |
| | | 0,162 | — | — | — | 0,091 | 4+ |
| Pa | — | — | — | — | — | 0,106 | 3+ |
| | | 0,153 | 0,097 | 0,105 | — | 0,089 | 4+ |
| U | — | — | — | — | — | 0,104 | 3+ |

2. СОСТАВ ОКИСЛОВ

| Оксид | Молекулярная масса | Содержание кислорода, % | | Оксид | Молекулярная масса | Содержание кислорода, % | |
|--------------------------------|--------------------|-------------------------|----------|--------------------------------|--------------------|-------------------------|----------|
| | | атомные | массовые | | | атомные | массовые |
| 1 | 2 | 3 | 4 | 1 | 2 | 3 | 4 |
| H ₂ O | 18,0153 | 33,33 | 88,88 | VO ₂ | 82,94 | 66,67 | 38,58 |
| H ₂ O ₂ | 34,0147 | 50 | 94,11 | V ₂ O ₅ | 181,8810 | 71,40 | 43,98 |
| Li ₂ O | 29,8774 | 33,33 | 53,56 | CrO | 67,9954 | 50 | 23,53 |
| Li ₂ O ₂ | 45,8768 | 50 | 69,76 | Cr ₂ O ₃ | 151,9902 | 60 | 31,58 |
| BeO | 25,0116 | 50 | 63,97 | CrO ₃ | 99,9942 | 75 | 48,00 |
| BO | 26,8104 | 50 | 59,67 | MnO | 70,9375 | 50 | 22,55 |
| B ₂ O ₃ | 69,6202 | 60 | 68,94 | Mn ₃ O ₄ | 228,8119 | 57,12 | 27,97 |
| CO | 28,0105 | 50 | 57,12 | Mn ₂ O ₃ | 157,8744 | 60 | 30,40 |
| CO ₂ | 44,0099 | 66,67 | 72,71 | MnO ₂ | 86,9369 | 66,67 | 36,80 |
| | | | | FeO* | 71,8464 | 51,26 | 23,56 |
| N ₂ O | 44,0128 | 33,33 | 36,36 | | | 54,57 | 25,60 |
| NO | 30,0061 | 50 | 53,32 | Fe ₃ O ₄ | 231,5386 | 57,12 | 27,64 |
| N ₂ O ₃ | 76,0116 | 60 | 63,15 | Fe ₂ O ₃ | 159,6925 | 60 | 30,05 |
| N ₂ O ₄ | 92,0110 | 66,67 | 69,55 | CoO | 74,9326 | 50 | 21,35 |
| N ₂ O ₅ | 108,0104 | 71,40 | 74,06 | Co ₃ O ₄ | 240,7972 | 57,12 | 26,57 |
| F ₂ O | 53,9962 | 33,33 | 29,63 | Co ₂ O ₃ | 165,8646 | 60 | 28,94 |
| Na ₂ O | 61,9790 | 33,33 | 25,80 | NiO | 74,7094 | 50 | 21,41 |
| Na ₂ O ₂ | 77,9784 | 50 | 41,04 | Cu ₂ O | 143,0794 | 33,33 | 11,18 |
| NaO ₂ | 54,9886 | 66,67 | 58,20 | CuO | 79,5394 | 50 | 20,11 |
| MgO | 40,3114 | 50 | 39,69 | ZnO | 81,3694 | 50 | 19,66 |
| Al ₂ O ₃ | 101,9612 | 60 | 47,07 | Ca ₂ O | 153,4394 | 33,33 | 10,29 |
| SiO | 30,0061 | 50 | 53,33 | CaO | 85,7194 | 50 | 18,66 |
| SiO ₂ | 46,0055 | 66,67 | 69,56 | Ce ₂ O ₃ | 187,4382 | 60 | 25,60 |
| P ₄ O ₆ | 219,8016 | 60 | 56,34 | CeO ₂ | 88,5894 | 50 | 18,06 |
| P ₂ O ₅ | 141,9446 | 71,40 | 56,36 | CeO ₃ | 104,5888 | 66,67 | 30,59 |
| P ₄ O ₁₀ | 283,8892 | 71,40 | 56,36 | As ₂ O ₃ | 197,8414 | 60 | 24,26 |
| SO ₂ | 64,0628 | 66,67 | 49,95 | As ₂ O ₅ | 154,22 | 71,40 | 51,64 |
| SO ₃ | 80,0622 | 75 | 59,96 | SeO ₂ | 110,9588 | 66,67 | 28,83 |
| Cl ₂ O | 86,9054 | 33,33 | 18,41 | Rb ₂ O | 186,9494 | 33,33 | 8,55 |
| ClO | 51,4524 | 50 | 31,09 | Rb ₂ O ₃ | 218,9600 | 60 | 21,92 |
| ClO ₂ | 67,4518 | 66,67 | 47,44 | RbO ₂ | 117,4738 | 66,67 | 27,24 |
| Cl ₂ O ₇ | 182,9018 | 77,78 | 61,23 | SrO | 103,6194 | 50 | 15,44 |
| K ₂ O | 94,2034 | 33,33 | 16,98 | SrO ₂ | 119,6188 | 66,67 | 26,75 |
| K ₂ O ₄ | 142,2016 | 66,67 | 45,00 | Y ₂ O ₃ | 225,8082 | 60 | 21,25 |
| CaO | 56,0794 | 50 | 26,75 | ZrO ₂ | 123,2188 | 66,67 | 25,96 |
| Sc ₂ O ₃ | 137,9102 | 60 | 34,80 | NbO | 108,90 | 50 | 14,81 |
| Ti ₂ O | 111,80 | 33,33 | 14,31 | Nb ₂ O ₅ | 265,8090 | 71,40 | 30,09 |
| TiO | 63,90 | 50 | 25,03 | MoO ₂ | 127,9388 | 66,67 | 25,01 |
| Ti ₂ O ₃ | 143,7982 | 60 | 33,37 | MoO ₃ | 143,9382 | 75 | 33,34 |
| Ti ₃ O ₅ | 223,6970 | 62,5 | 35,76 | TcO ₂ | 129 | 66,67 | 24,81 |
| TiO ₂ | 79,8988 | 66,67 | 40,05 | RuO ₂ | 133,0688 | 66,67 | 24,04 |
| VO | 66,9414 | 50 | 23,90 | RhO | 118,9044 | 50 | 13,45 |
| V ₂ O ₃ | 149,8822 | 60 | 32,02 | Rh ₂ O ₃ | 253,8082 | 60 | 18,91 |
| V ₃ O ₅ | 232,8230 | 62,5 | 34,36 | PdO | 122,7 | 50 | 13,11 |
| | | | | Ag ₂ O | 231,7394 | 33,33 | 6,90 |

| Оксид | Молекулярная масса | Содержание кислорода % | | Оксид | Молекулярная масса | Содержание кислорода, % | |
|--------------------------------|--------------------|------------------------|----------|--------------------------------|--------------------|-------------------------|----------|
| | | атомные | массовые | | | атомные | массовые |
| 1 | 2 | 3 | 4 | 1 | 2 | 3 | 4 |
| Ag ₂ O ₂ | 247,7388 | 50 | 12,91 | Tu ₂ O ₃ | 385,8662 | 60 | 12,43 |
| CdO | 128,3994 | 50 | 12,46 | Yb ₂ O ₃ | 394,0782 | 60 | 12,18 |
| In ₂ O ₃ | 277,6382 | 60 | 17,28 | Lu ₂ O ₃ | 397,9382 | 60 | 12,06 |
| SnO | 134,6894 | 50 | 11,88 | HfO ₂ | 210,4888 | 66,67 | 15,20 |
| Sn ₃ O ₄ | 420,0676 | 57,12 | 15,24 | TaO | 196,9474 | 50 | 8,12 |
| SnO ₂ | 150,6888 | 66,67 | 21,23 | Ta ₂ O ₃ | 409,8942 | 60 | 11,71 |
| SbO | 137,7494 | 50 | 11,62 | Ta ₂ O ₅ | 212,9468 | 66,67 | 15,02 |
| Sb ₂ O ₃ | 291,4982 | 60 | 16,46 | Ta ₂ O ₅ | 441,8930 | 42,84 | 18,10 |
| Sb ₂ O ₄ | 307,4976 | 66,67 | 20,81 | WO ₂ | 215,8488 | 66,67 | 14,82 |
| Sb ₂ O ₅ | 323,4970 | 71,40 | 24,73 | W ₃ O ₈ | 679,5452 | 77,72 | 18,83 |
| TeO | 143,5994 | 50 | 11,14 | WO ₃ | 231,8482 | 75 | 20,70 |
| TeO ₂ | 150,5988 | 66,67 | 20,05 | OsO ₄ | 254,1976 | 80 | 25,17 |
| I ₂ O ₅ | 337,8058 | 71,40 | 23,68 | IrO ₂ | 224,1988 | 66,67 | 14,27 |
| Cs ₂ O | 281,8094 | 33,33 | 5,67 | Au ₂ O ₃ | 441,9322 | 60 | 10,86 |
| Cs ₂ O ₂ | 297,8188 | 20 | 10,74 | Hg ₂ O | 417,1794 | 33,33 | 3,83 |
| CsO ₂ | 164,9038 | 66,67 | 19,40 | HgO | 216,5894 | 50 | 7,38 |
| BaO | 153,3394 | 50 | 10,43 | TlO | 220,3694 | 50 | 7,26 |
| BaO ₂ | 169,3388 | 66,67 | 18,89 | Pb ₂ O | 430,3794 | 33,33 | 3,72 |
| La ₂ O ₃ | 325,8182 | 60 | 14,73 | PbO | 223,1894 | 50 | 7,16 |
| CeO ₂ | 172,1188 | 66,67 | 18,59 | Pb ₃ O ₄ | 685,5676 | 57,12 | 7,00 |
| Pr ₂ O ₃ | 329,8122 | 60 | 14,56 | PbO ₂ | 239,1888 | 66,67 | 13,38 |
| Nd ₂ O ₃ | 336,4782 | 60 | 14,26 | BiO | 224,9794 | 50 | 7,11 |
| Pm ₂ O ₃ | 341,9982 | 60 | 14,03 | Bi ₂ O ₃ | 465,9582 | 60 | 10,30 |
| Sm ₂ O ₃ | 348,6982 | 60 | 13,76 | Fr ₂ O | 461,9994 | 33,33 | 3,46 |
| Eu ₂ O ₃ | 351,9182 | 60 | 13,63 | RaO ₂ | 258,0488 | 66,67 | 12,11 |
| Cd ₂ O ₃ | 362,4982 | 60 | 13,24 | ThO ₂ | 264,0368 | 66,67 | 12,11 |
| Tb ₂ O ₃ | 365,8462 | 60 | 13,12 | Pa ₂ O ₅ | 541,9970 | 71,40 | 14,76 |
| Dy ₂ O ₃ | 372,9982 | 60 | 12,86 | UO ₂ | 270,0288 | 66,67 | 11,85 |
| Ho ₂ O ₃ | 377,8582 | 60 | 12,70 | U ₂ O ₅ | 556,1570 | 71,40 | 14,38 |
| Er ₂ O ₃ | 382,5582 | 60 | 12,54 | U ₃ O ₈ | 842,0852 | 77,72 | 14,01 |
| | | | | UO ₃ | 286,1282 | 75 | 16,77 |

* Бюстит; имеет переменный состав; существует при 560—1424° С.

3. ОБЛАСТЬ ГОМОГЕННОСТИ [1—4]

| Оксид | Содержание кислорода, % | | Оксид | Содержание кислорода, % | |
|--------------------------------|-------------------------|-------------|----------------------------------|-------------------------|-------------|
| | атомные | массовые | | атомные | массовые |
| 1 | 2 | 3 | 4 | 5 | 6 |
| TiO | 47,08—54,54 | 22,91—28,61 | Nb ₂ O ₅ | 70,50—71,42 | 29,15—30,09 |
| Ti ₂ O ₃ | 59,4—60,8 | 32,8—34,12 | MoO ₃ | 72,6—74,4 | 30,64—32,64 |
| TiO ₂ | 65,5—66,7 | 38,8—40,09 | Ce ₂ O ₃ | 60,0—60,31 | 14,62—14,78 |
| VO | 46,23—55,34 | 21,26—28,51 | WO ₃ | 52,38—70,58 | 8,73—18,08 |
| V ₂ O ₃ | 58,33—60,78 | 30,53—32,73 | W ₂ O ₆ | 68,75—73,68 | 16,06—19,58 |
| VO ₂ | 64,4—66,67 | 36,23—38,56 | γ-WO ₃ | 72,77—73,1 | 18,81—19,13 |
| V ₂ O ₅ | 71,1—71,4 | 43,58—43,95 | β-WO ₃ | 74,0—74,4 | 19,85—20,19 |
| CrO ₃ | 62,8—65,5 | 34,1—36,87 | α-WO ₃ | 74,85—75,00 | 20,58—20,71 |
| MnO ₂ | 65,8—66,67 | 35,91—36,81 | Pb ₁₂ O ₁₇ | 59,4—60,1 | 10,15—10,41 |
| FeO | 50,0—54,4 | 22,24—25,44 | Pb ₁₂ O ₁₉ | 60—62,6 | 10,36—11,44 |
| NbO | 48,45—50,98 | 14,01—15,18 | PbO ₂ | 65,1—66,67 | 12,59—13,38 |
| NbO ₂ | 65,98—67,63 | 25,04—26,46 | UO ₂ | 66,4—67,4 | 11,72—12,20 |

4. КРИСТАЛЛИЧЕСКАЯ СТРУКТУРА [1, 2, 7–12, 14, 16, 22]

| Оксиды | Сингония | Пространственная группа | Тип структуры | Периоды решетки, нм | | | |
|--|----------|-------------------------|--|---------------------|-------|--------|-------|
| | | | | а | б | с | c/a |
| 1 | 2 | 3 | 4 | 5 | 6 | 7 | 8 |
| H ₂ O*1 | Гекс. | $C_6^4 - P6_3/mc$ | — | 0,782 | — | 0,736 | 0,941 |
| H ₂ O*2 | Ромб. | $D_2^5 - C222_1$ | — | 0,780 | 0,450 | 0,556 | 0,714 |
| H ₂ O*3 | * | — | — | 1,020 | 0,587 | 0,717 | 0,702 |
| BeO | Гекс. | $C_{6v}^4 - P6_3/mc$ | ZnS | 0,269 | — | 0,437 | 1,62 |
| N ₂ O*4 | Куб. | $T_h^6 - Pa\bar{3}$ | — | — | — | — | — |
| NO*5 | Монокл. | $C_{2h}^5 - P2_1/c$ | — | — | — | — | — |
| N ₂ O ₄ ⁶ | Куб. | $T_h^5 - Im\bar{3}$ | — | — | — | — | — |
| Na ₂ O | * | — | — | — | — | — | — |
| Na ₂ O ₂ | Гекс. | $D_{3h}^3 - P62m$ | — | 0,622 | — | 0,447 | 0,718 |
| NaO ₂ | Ромб. | $D_{2h}^{12} - Pnm$ | — | 0,426 | 0,554 | 0,344 | 0,819 |
| MgO | Куб. | $O_h^5 - Fm\bar{3}m$ | — | 0,4208 | — | — | — |
| α -Al ₂ O ₃ | Триг. | $D_{3d}^6 - R\bar{3}c$ | α -Al ₂ O ₃ | 0,4758 | — | 1,2991 | 2,72 |
| β -Al ₂ O ₃ | Гекс. | $D_{6h}^4 - P6_3/mmc$ | β -Al ₂ O ₃ | 0,564 | — | 2,265 | 4,02 |
| γ -Al ₂ O ₃ | Куб. | $O_h^7 - Fd\bar{3}m$ | MgAl ₂ O ₄ | 0,790 | — | — | — |
| δ -Al ₂ O ₃ | Гекс. | — | — | 0,57 | 0,290 | 1,18 | 2,07 |

| Оксидел | Сингония | Пространственная группа | Тип структуры | Периоды решетки, нм | | | |
|----------------------------------|----------|--------------------------|-----------------------|---------------------|------|--------|-------|
| | | | | a | b | c | c/a |
| 1 | 2 | 3 | 4 | 5 | 6 | 7 | 8 |
| $\epsilon\text{-Al}_2\text{O}_3$ | Куб. | — | — | 0,795 | — | — | — |
| SiO_2^{*7} | Гекс. | — | — | 0,3464 | — | 0,4382 | 1,27 |
| SiO_2^{*8} | Триг. | $D_3^4 - P\bar{3}_121$ | $\alpha\text{-SiO}_2$ | 0,4913 | — | 0,5405 | 1,10 |
| SiO_2^{*9} | Ромб. | — | — | 0,988 | 1,71 | 1,63 | 1,65 |
| SiO_2^{*10} | Тетр. | $D_4^8 - P\bar{4}_32_12$ | — | 0,4971 | — | 0,6918 | 1,39 |
| SiO_2^{*11} | Куб. | $T^4 - P\bar{2}_13$ | — | 0,718 | — | — | — |
| P_4O_{10} | Ромб. | $D_{2h}^{16} - Pnma$ | — | — | — | — | — |
| P_4O_{10} | Триг. | $C_{3v}^6 - R\bar{3}c$ | — | — | — | — | — |
| P_2O_5 | Ромб. | $C_{2v}^{19} - Fdd2$ | — | — | — | — | — |
| $\alpha\text{-KO}_2$ | Тетр. | $D_{4h}^{17} - I4/mmm$ | — | 0,4034 | — | 0,6699 | 1,67 |
| $\beta\text{-KO}_2$ | Куб. | — | — | 0,609 | — | — | — |
| KO_3 | Тетр. | — | — | 0,430 | — | 0,354 | 0,82 |
| CaO | Куб. | — | — | 0,4799 | — | — | — |
| CaO_2 | Тетр. | $D_{4h}^{17} - I4/mmm$ | — | 0,354 | — | 0,591 | 1,67 |
| Sc_2O_3 | Куб. | $T^5 - I2_13$ | — | 0,9845 | — | — | — |
| Ti_2O | Гекс. | — | — | 0,2959 | — | 0,4845 | 1,637 |
| TiO | Куб. | $O_h^5 - Fm\bar{3}m$ | — | 0,4172 | — | — | — |
| Ti_2O_3 | Триг. | $D_3^6 - R\bar{3}c$ | — | 0,515 | — | 1,361 | 2,64 |

| | | | | | | | |
|-------------------------|--------------------------|--------------------------|-------------------------|--------------|--------|--------|-------|
| $Ti_3O_5^{*12}$ | МОНОКЛ. | — | — | 0,9757 | 0,3802 | 0,9452 | 0,968 |
| $Ti_5O_9^{*13}$ | ТРИКЛ. | — | — | 0,5369 | 0,7120 | 0,8865 | 1,245 |
| TiO_2^{*14} | $D_{4h}^{19} - I4_1/AMD$ | — | — | 0,3733 | — | 0,937 | 2,51 |
| TiO_2^{*15} | $D_{2h}^{15} - Pbca$ | — | — | 0,5436 | 0,9166 | 0,5135 | 0,944 |
| TiO_2^{*16} | $D_{4h}^{14} - P4_2/mnm$ | TiO_2 | 0,4584 | — | — | 0,2953 | 0,644 |
| V_4O | » | — | — | 0,294 | — | 3,49 | 11,87 |
| VO | Куб. | $O_h^5 - Fm\bar{3}m$ | NaCl | 0,4093 | — | — | — |
| V_2O_3 | ТРИГ. | $D_{3d}^6 - R\bar{3}c$ | $\alpha\text{-Al}_2O_3$ | 0,4933 | — | 1,394 | 2,82 |
| V_3O_5 | МОНОКЛ. | $C_{2h}^6 - C2/c$ | — | 0,9991 | 0,5033 | 0,9845 | 0,985 |
| VO_2^{*18} | » | $C_{2h}^5 - P2_1/c$ | — | 0,5346 | 0,4518 | 0,5739 | 1,07 |
| V_2O_5 | Ромб. | $D_{2h}^{13} - Pmmn$ | V_2O_5 | 11,51 | 0,3559 | 0,4371 | 0,379 |
| Cr_3O | Куб. | $O_h^3 - Pm\bar{3}n$ | $\beta\text{-W}$ | 4,544 | — | — | — |
| Cr_2O_3 | ТРИГ. | $D_{3d}^6 - R\bar{3}c$ | $\alpha\text{-Al}_2O_3$ | 0,4950 | — | 1,3665 | 2,76 |
| CrO_2 | Терп. | $D_{4n}^{16} - P4_2/ncm$ | SnO_2 | 0,4421 | — | 0,2916 | 0,658 |
| CrO_3 | Ромб. | $C_{2v}^{16} - Ama2$ | CrO_3 | 0,4789 | 0,8557 | 0,5743 | 1,19 |
| MnO | Куб. | $O_h^5 - Fm\bar{3}m$ | NaCl | 0,4425 | — | — | — |
| $\alpha\text{-Mn}_3O_4$ | Терп. | $D_{4h}^{19} - I4_1/AMD$ | — | 0,575 | — | 0,942 | 1,64 |
| $\gamma\text{-Mn}_3O_4$ | Куб. | — | — | 0,87 | — | — | — |
| $\alpha\text{-Mn}_2O_3$ | Терп. | — | — | 0,885 | — | 0,995 | 1,12 |

| | 1 | 2 | 3 | 4 | 5 | 6 | 7 | 8 |
|--------------------------------|---------|--------------------------|----------------------------------|---------|--------|--------|-------|---|
| $\gamma\text{-MnO}_2$ | Ромб. | D_{2h}^{16} — $Pnma$ | — | 0,4533 | 0,927 | 0,2866 | 0,63 | |
| $\varepsilon\text{-MnO}_2$ | Гекс. | — | NiAs | 0,279 | — | 0,441 | 1,58 | |
| FeO | Куб. | O_h^5 — $Fm\bar{3}m$ | NaCl | 0,4311 | — | — | — | |
| Fe ₃ O ₄ | " | O_h^7 — $Fd\bar{3}m$ | MgAl ₂ O ₄ | 0,838 | — | — | — | |
| $\alpha\text{-Fe}_2\text{O}_3$ | Триг. | D_{3d}^6 — $R\bar{3}c$ | $\alpha\text{-Al}_2\text{O}_3$ | 0,543 | — | — | — | |
| $\gamma\text{-Fe}_2\text{O}_3$ | Куб. | O_h^7 — $Fd3m$ | MgAl ₂ O ₄ | 0,835 | — | — | — | |
| $\delta\text{-Fe}_2\text{O}_3$ | Гекс. | — | — | 0,509 | — | 0,441 | 0,866 | |
| CoO | Куб. | O_h^5 — $Fm3m$ | NaCl | 0,42581 | — | — | — | |
| Co ₃ O ₄ | " | O_h^7 — $Fd3m$ | MgAl ₂ O ₃ | 0,8084 | — | — | — | |
| Co ₂ O ₃ | Триг. | D_{3d}^6 — $R\bar{3}c$ | $\alpha\text{-Al}_2\text{O}_3$ | 0,464 | — | 0,575 | 1,24 | |
| $\beta\text{-NiO}$ | " | — | — | 0,29518 | — | 0,7243 | 2,45 | |
| $\alpha\text{-NiO}$ | Куб. | O_h^5 — $Fm3m$ | NaCl | 0,41946 | — | — | — | |
| Cu ₂ O | " | O_h^4 — $Pn3m$ | Cu ₂ Mg | 0,42696 | — | — | — | |
| CuO* ¹⁹ | Монокл. | C_{2h}^6 — $C2/c$ | — | 0,4684 | 0,3425 | 0,5129 | 1,09 | |
| ZnO | Гекс. | C_{6v}^4 — $P6_3mc$ | — | 0,325 | — | 0,5205 | 1,60 | |
| $\alpha\text{-Ga}_2\text{O}_3$ | Триг. | D_{3d}^6 — $R\bar{3}c$ | $\alpha\text{-Al}_2\text{O}_3$ | 0,4979 | — | 1,3429 | 2,70 | |
| $\beta\text{-Ga}_2\text{O}_3$ | Монокл. | C_{2h}^3 — $C2/m$ | — | 0,580 | 0,306 | 1,223 | 2,1 | |

| 1 | 2 | 3 | 4 | 5 | 6 | 7 | 8 |
|--------------------------------|---------|-----------------------------|-------------------------|--------|--------|--------|-------|
| $\gamma\text{-Nb}_2\text{O}_6$ | Ромб. | — | — | 0,619 | 0,365 | 0,394 | 0,63 |
| MoO_2^{*21} | Монокл. | $C_{2h}^5 - P2_1/c$ | MoO_2 | 0,561 | 0,484 | 0,553 | 0,98 |
| MoO_3 | Ромб. | $D_{2h}^{16} - Pnma$ | MoO_3 | 0,39 | 1,38 | 0,37 | 0,94 |
| TcO_2^{*22} | Монокл. | $C_{2h}^5 - P2_1/c$ | MoO_2 | 0,553 | 0,479 | 0,553 | 1,0 |
| RuO_2 | Тетр. | $D_{1h}^{14} - P4_2/mnm$ | TiO_2 | 0,4519 | — | 0,3116 | 0,68 |
| PdO | » | $D_{4h}^9 - P4_2/mmc$ | — | 0,3036 | — | 0,534 | 1,76 |
| Ag_2O | Куб. | $O_h^4 - Pn3m$ | Cu_2O | 0,4727 | — | — | — |
| CdO | » | $O_h^5 - Fm\bar{3}m$ | NaCl | 0,4693 | — | — | — |
| In_2O_3 | » | $T_{\frac{5}{2}}^5 - I2_13$ | — | 1,0118 | — | — | — |
| SnO | Тетр. | $D_{4h}^7 - P4/nmm$ | PbO | 0,3802 | — | 0,4836 | 1,27 |
| SnO_2 | » | $D_{4h}^{16} - P4_2/ncm$ | SnO_2 | 0,4737 | — | 0,3185 | 0,673 |
| Sb_4O_6 | Ромб. | $D_{2h}^{10} - Pccn$ | Sb_4O_6 | 0,4914 | 1,2468 | 0,5421 | 1,10 |
| Sb_4O_6 | Куб. | $O_h^7 - Fd\bar{3}m$ | Sb_4O_6 | 1,1152 | — | — | — |
| Sb_2O_4 | Ромб. | $C_{2v}^9 - Pna2_1$ | Sb_2O_4 | 0,5436 | 0,4810 | 1,176 | 2,16 |
| Sb_2O_6 | Куб. | $O_h^7 - Fd\bar{3}m$ | Sb_2O_6 | 1,0305 | — | — | — |

| | | | | | | | | |
|--------------------------------|-------|----------------------------|---|---|--------------------------------|--------|---------|--------|
| TeO ₂ | Ромб. | $D_{2h}^{15} - Pbc\bar{a}$ | — | — | 0,5607 | 1,2034 | 0,5463 | 0,97 |
| TeO ₂ | Тетр. | $D_4^4 - P4_12\bar{1}2$ | — | — | 0,4810 | — | 0,7613 | 1,58 |
| Cs ₃ O | Гекс. | $D_{6h}^3 - P6_3/mcm$ | — | — | 0,878 | — | 0,752 | 0,86 |
| Cs ₂ O | Триг. | $D_{3d}^5 - R\bar{3}m$ | — | — | 0,4256 | — | 1,899 | 4,46 |
| Cs ₂ O ₂ | Ромб. | — | — | — | 0,4322 | 0,7517 | 0,6430 | 1,48 |
| Cs ₂ O ₃ | Куб. | — | — | — | 0,986 | — | — | — |
| CsO ₂ | Тетр. | $D_{4h}^{17} - I4/mmm$ | — | — | 0,628 | — | 0,724 | 1,15 |
| BaO | Куб. | $O_h^5 - Fm\bar{3}m$ | — | — | 0,5542 | — | — | — |
| BaO ₂ | Тетр. | $D_{4h}^{17} - I4/mmm$ | — | — | 0,3816 | — | 0,6851 | 1,79 |
| La ₂ O ₃ | Триг. | $D_3^2 - P321$ | — | — | 0,39373 | — | 0,61299 | 1,557 |
| La ₂ O ₃ | Куб. | $T_h^7 - Ia\bar{3}$ | — | — | 1,142 | — | — | — |
| Ce ₂ O ₃ | Триг. | $D_3^2 - P321$ | — | — | La ₂ O ₃ | 0,388 | — | 0,606 |
| Ce ₂ O ₃ | Куб. | $T_h' - Ia\bar{3}$ | — | — | Mn ₂ O ₃ | 1,117 | — | — |
| CeO ₂ | » | $O_h^5 - Fm\bar{3}m$ | — | — | La ₂ O ₃ | 0,5395 | — | — |
| Pr ₂ O ₃ | Триг. | $D_3^2 - P321$ | — | — | CaF ₂ | 0,386 | — | 0,6024 |
| Pr ₂ O ₃ | Куб. | $T_h^7 - Ia\bar{3}$ | — | — | Mn ₂ O ₃ | 1,114 | — | — |

| | 1 | 2 | 3 | 4 | 5 | 6 | 7 | 8 |
|---|---------|----------------------|--------------------------------|---------|--------|--------|------|---|
| Nd ₂ O ₃ | Триг. | $D_3^2 - P321$ | La ₂ O ₃ | 0,384 | — | 0,601 | 1,56 | |
| Nd ₂ O ₃ | Куб. | $T_h^7 - Ia3$ | Mn ₂ O ₃ | 1,1078 | — | — | — | |
| SmO | " | $T_d^2 - F\bar{4}3m$ | — | 0,49883 | — | — | — | |
| Sm ₂ O ₃ ^{*23} | Монокл. | — | — | 1,4177 | 0,3633 | 0,8847 | 0,62 | |
| EuO | Куб. | $O_h^5 - Fm\bar{3}m$ | NaCl | 0,51439 | — | — | — | |
| Eu ₂ O ₃ | " | — | — | 1,084 | — | — | — | |
| Cd ₂ O ₃ | " | $T_h^7 - Ia3$ | Mn ₂ O ₃ | 1,079 | — | — | — | |
| Dy ₂ O ₃ | " | $T_h^7 - Ia3$ | Mn ₂ O ₃ | 1,0667 | — | — | — | |
| Ho ₂ O ₃ | " | — | — | 1,058 | — | — | — | |
| Er ₂ O ₃ | " | $T_h^7 - Ia3$ | Mn ₂ O ₃ | 1,0550 | — | — | — | |
| Tu ₂ O ₃ | " | — | — | 1,046 | — | — | — | |
| Yb ₂ O ₃ | " | $T_h^7 - Ia3$ | Mn ₂ O ₃ | 1,0435 | — | — | — | |
| HfO ₂ ^{*24} | Монокл. | $C_{2h}^5 - P2_1/c$ | — | 0,511 | 0,514 | 0,528 | 1,03 | |
| HfO ₂ ^{*25} | " | — | — | 0,521 | 0,515 | 0,543 | 1,04 | |
| HfO ₂ ^{*26} | Тетр. | — | — | 0,514 | — | 0,5288 | 1,02 | |

| | | | | | | | | |
|----------------------------------|---------|--|------------------|--------|--------|--------|--------|------|
| Ta ₄ O | Ромб. | — | — | — | 0,7194 | 0,3266 | 0,3204 | 0,44 |
| Ta ₂ O | Куб. | — | — | 0,529 | 0,692 | 0,305 | 0,57 | — |
| TaO | Куб. | O _h ⁵ — Fm 3m | — | 0,4422 | — | — | — | — |
| σ-Ta ₃ O ₆ | Терп. | D _{4h} ¹⁴ — P ₄ ₂ /mmn | — | 0,9934 | — | 0,7613 | 0,82 | — |
| TaO ₂ | » | D _{4h} ¹⁴ — P ₄ ₂ /mmn | TiO ₂ | 0,4709 | — | 0,3065 | 0,651 | — |
| Ta ₂ O ₅ | Ромб. | — | — | 0,620 | 0,367 | 0,390 | 0,63 | — |
| W ₃ O | Куб. | — | — | 0,5036 | — | — | — | — |
| WO ₂ ^{*27} | Монокл. | C _{2h} ⁵ — P ₂ ₁ /c | MoO ₂ | 0,556 | 0,4884 | 0,5546 | 0,99 | — |
| WO ₃ ^{*29} | » | C _{2h} ⁵ — P ₂ ₁ /c | — | 0,7285 | 0,7517 | 0,3835 | 0,53 | — |
| WO ₃ ^{*29} | Терп. | D _{4h} ⁷ — P ₄ /nmn | ReO ₃ | 0,5250 | — | 0,3915 | 0,746 | — |
| ReO ₂ ^{*30} | Монокл. | C _{2h} ⁵ — P ₂ ₁ /c | MoO ₃ | 0,5562 | 0,4838 | 0,5561 | 1,0 | — |
| ReO ₃ | Терп. | D _{4h} ⁷ — P ₄ /nmn | ReO | — | — | — | — | — |
| OsO ₃ | » | D _{4h} ¹⁶ — P ₄ ₂ /ncm | SnO ₂ | — | — | — | — | — |
| OsO ₄ | » | D _{4h} ¹⁴ — P ₄ ₂ /mmn | TiO ₂ | 0,4519 | — | 0,321 | 0,71 | — |
| IrO ₃ | » | D _{4h} ¹⁴ — P ₄ ₂ /mmn | TiO ₂ | 0,450 | — | 0,315 | 0,70 | — |
| PtO | » | — | PtS | 0,3046 | — | 0,5348 | 1,75 | — |

| | 1 | 2 | 3 | 4 | 5 | 6 | 7 | 8 |
|-----------------------|---------|-------------------------------|-----------|---------|--------|--------|------|---|
| HgO | Ромб. | $D_{2h}^{16} - Pnma$ | — | 0,6608 | 0,5518 | 0,3519 | 0,53 | |
| HgO | Триг. | $D_3^3 - P3_112$ | — | 0,3577 | — | 0,8681 | 2,43 | |
| Tl_2O_3 | Куб. | $T_5^5 - I2_13$ | — | 1,0543 | — | — | — | |
| PbO | Ромб. | $C_{2v}^8 - Pbca2$ | — | 0,5489 | 0,4755 | 0,5891 | 1,07 | |
| PbO | Тетр. | $D_{4h}^7 - P4/nmm$ | PbO | 0,39759 | — | 0,5025 | 1,26 | |
| Pb_3O_4 | » | $D_{4h}^{14} - P4_2/nmm$ | — | 0,8815 | — | 0,6563 | 0,74 | |
| Pb_2O_3 | Куб. | — | — | 0,550 | — | — | — | |
| $\alpha\text{-PbO}_2$ | Ромб. | $D_{2h}^{14} - Pbca$ | — | 0,4938 | 0,5939 | 0,5486 | 1,11 | |
| $\beta\text{-PbO}_2$ | Тетр. | $D_{4h}^{14} - P4_2/nmm$ | — | 0,493 | — | 0,337 | 0,68 | |
| Bi_2O_3 | Монокл. | $C_{2h}^5 - P2_1/c$ | Bi_2O_3 | 0,583 | 0,814 | 0,748 | 1,28 | |
| Bi_2O_3 | Тетр. | $D \frac{7}{2d} - C\bar{4}b2$ | Bi_2O_3 | — | — | — | — | |
| Bi_2O_3 | Куб. | $O \frac{4}{h} - Pn3m$ | Bi_2O_3 | 1,0245 | — | — | — | |
| Bi_2O_3 | » | $T^3 - I2_3$ | Bi_2O_3 | — | — | — | — | |
| $Bi_3O_3 - x$ | Тетр. | $D \frac{17}{4h} - I4/nmm$ | — | — | — | — | — | |

| | | | | | | | |
|-------------------------------|-------|------------------------------|------------------|---------|--------|---------|------|
| ThO ₂ | Күб. | $0 \frac{5}{h} - Fm\bar{3}m$ | CaF ₂ | 0,559 | - | - | - |
| PaO | " | - | - | 0,4961 | - | - | - |
| UO | " | $0 \frac{5}{h} - Fm\bar{3}m$ | NaCl | 0,492 | - | - | - |
| α -UO ₃ | " | $0 \frac{5}{h} - Fm\bar{3}m$ | CaF ₂ | 0,54682 | - | - | - |
| β -UO ₃ | " | - | - | 0,5440 | - | - | - |
| γ -UO ₃ | Тетр. | - | - | 0,5388 | - | 0,5561 | 1,03 |
| U ₃ O ₇ | " | - | - | 0,545 | - | 0,540 | 0,99 |
| U ₂ O ₅ | Pомб | - | - | 0,829 | 3,171 | 0,673 | 0,81 |
| U ₃ O ₈ | " | - | - | 0,67198 | 0,3983 | 0,41462 | 0,62 |
| α -UO ₃ | Гек. | - | - | 0,3963 | - | 0,4160 | 1,05 |
| UO ₃ | Күб. | - | - | 0,4146 | - | - | - |

| | 1 | 2 | 3 | 4 | 5 | 6 | 7 | 8 |
|------------------|-------|---|---|--------|-------|-------|-------|------|
| UO ₃ | Ромб. | — | — | — | 1,301 | 1,072 | 0,751 | 0,58 |
| NPO | Куб. | — | — | 0,500 | — | — | — | — |
| NPO ₂ | • | — | — | 0,5425 | — | — | — | — |
| PuO | • | — | — | 0,494 | — | — | — | — |
| PuO ₂ | • | — | — | 0,5386 | — | — | — | — |

*¹ Лед. *² При -55° С. *³ При <91° С. *⁴ При <91° С. *⁵ При <163° С. *⁶ При <11,2° С. *⁷ β-кварц. *⁸ α-кварц. *⁹ α-три-
ллит. *¹⁰ α-кристобаллит. *¹¹ β=93,11°. *¹² β=97,55°. *¹³ α=97,55°. *¹⁴ β=112,34°. *¹⁵ β=108,50°. *¹⁶ Брукит. *¹⁷ Рутил.
*¹⁸ β=138,83°. *¹⁹ β=122,18°. *²⁰ β=99,46°. *²¹ β=80,16°. *²² β=119,6°. *²³ β=120°. *²⁴ β=99,96°. *²⁵ β=99,73° при <1640° С. *²⁶ β=90,93° при >700° С. *²⁷ β=90,93° при >120,87° С. *²⁸ При 1640-1920° С. *²⁹ При 1920° С. *³⁰ β=118,93°.

5. ПЛОТНОСТЬ ОКИСЛОВ [1, 2, 6, 10, 14, 17—21]

| Оксид | Плотность, кг/м ³ | Оксид | Плотность, кг/м ³ | Оксид | Плотность, кг/м ³ |
|----------------------------------|------------------------------|--|------------------------------|----------------------------------|------------------------------|
| 1 | 2 | 1 | 2 | 1 | 2 |
| H ₂ O | 1000 | V ₂ O ₅ | 3357 | Sb ₂ O ₄ | 3800—4000 |
| H ₂ O ₂ | 1463 | Cr ₂ O ₃ | 5210 | Sb ₂ O ₅ | 3780 |
| BeO | 3030 | CrO ₃ | 2700 | I ₂ O ₅ | 4800 |
| B ₂ O ₃ | 1844 | MnO | 5430—5460 | BaO | 5720 |
| CO | 1250* ⁴ | Mn ₃ O ₄ | 4700 | BaO | 4960 |
| CO ₂ | 1970* ⁴ | Mn ₂ O ₃ | 4940 | La ₂ O ₃ | 6510 |
| N ₂ O | 1977* ⁴ | MnO ₂ | 5026 | Ce ₂ O ₃ | 6900—7000 |
| NO | 1340* ⁴ | FeO | 5870 | CeO ₂ | 7130 |
| N ₂ O ₃ | 1477* ⁴ | Fe ₃ O ₄ | 5000—5400 | Sm ₂ O ₃ | 7400 |
| N ₂ O ₄ | 1491* ⁴ | Fe ₂ O ₃ | 5240 | Eu ₂ O ₃ | 7400 |
| N ₂ O ₅ | 1642* ⁴ | CoO | 5700—6700 | Gd ₂ O ₃ | 7407 |
| F ₂ O | 1900 | Co ₃ O ₄ | 6070 | Dy ₂ O ₃ | 7407 |
| Na ₂ O ₂ | 2805 | Co ₂ O ₃ | 5180 | Er ₂ O ₃ | 2650 |
| MgO | 3650 | NiO | 7450 | Yb ₂ O ₃ | 9170 |
| α-Al ₂ O ₃ | 3970 | Gu ₂ O | 5800—6110 | HfO ₂ * ¹⁰ | 10010 |
| δ-Al ₂ O ₃ | 2400 | CuO | 6400—6450 | HfO ₂ * ⁶ | 9680 |
| SiO ₂ ^{*1} | 2651 | ZnO | 5660 | Ta ₂ O | 15500 |
| SiO ₂ ^{*2} | 2260 | Ga ₂ O ₃ ^{*5} | 6440 | TaO ₃ | 9950 |
| SiO ₂ ^{*3} | 2320 | Ga ₂ O ₃ ^{*6} | 5880 | Ta ₂ O ₅ | 8730 |
| P ₄ O ₆ | 2135 | GeO ₂ | 4700—6300 | W ₃ O | 14800 |
| P ₂ O ₅ | 2390 | As ₂ O ₃ | 3870 | WO ₂ | 11400 |
| SO ₂ | 2390* ⁴ | As ₂ O ₅ | 4090 | WO ₃ | 6470 |
| SO ₃ | 2750* ⁴ | SrO | 4700 | ReO ₃ | 6974 |
| Cl ₂ O ₂ | 3890* ⁴ | Y ₂ O ₃ | 4840 | ReO ₄ | 8400 |
| ClO ₂ | 3090* ⁴ | ZrO ₂ ^{*6} | 5560 | OsO ₂ | 7910 |
| K ₂ O | 2320 | ZrO ₂ (Tp) | 6270 | OsO ₄ | 4910 |
| CaO | 3370 | NbO | 7260 | HgO | 11140 |
| Sc ₂ O ₃ | 3864 | NbO ₂ | 5980 | PbO | 9530 |
| TiO | 4930—5530 | Nb ₂ O ₅ | 4950 | Pb ₂ O ₄ | 9100 |
| TiO ₂ ^{*7} | 3830 | MoO ₃ | 4110 | PbO ₃ | 9375 |
| TiO ₂ ^{*8} | 4170 | MoO ₃ | 4690 | Bi ₂ O ₃ | 8900 |
| TiO ₂ ^{*9} | 4240 | CdO | 6950 | ThO ₂ | 10000 |
| VO | 5200—5758 | SnO | 6450 | UO ₂ | 10960 |
| V ₂ O ₃ | 4870 | SnO ₂ | 6950 | U ₃ O ₈ | 8100—8300 |
| V ₃ O ₅ | 4550 | Sb ₂ O ₃ | 5200 | UO ₃ | 5920—7540 |
| VO ₂ | 4339 | | | | |

*¹ Кварц. *² Тридимит. *³ Кристобалит. *⁴ При температуре 20° С и давлении 101,325 кПа. *⁵ Гексагональный. *⁶ Моноклинный. *⁷ Анатаз. *⁸ Брунит. *⁹ Рутил. *¹⁰ Тетрагональный.

ГЛАВА II

ТЕРМОДИНАМИЧЕСКИЕ И ТЕРМИЧЕСКИЕ СВОЙСТВА

1. СТАНДАРТНАЯ ТЕПЛОТА ОБРАЗОВАНИЯ (СТАНДАРТНОЕ ИЗМЕНЕНИЕ ЭНТАЛЬПИИ) И СТАНДАРТНАЯ ЭНТРОПИЯ

[1; 9 вып. I—VII; 19; 28; 34; 35; 36; 41; 75; 52; 66, т. I; 79, тт. I, II; 81, т. V; 92; 101; 144; 156; 183; 189; 190; 206]

| Оксид | Состояние | Стандартная теплота образования $-\Delta H_{298,15}^0 \cdot 10^{-3}$, кДж/кмоль | Стандартная энтропия $S_{298,15}^0$, кДж/(кмоль·К) |
|--------------------------------|-----------|--|--|
| | | 1 | |
| H ₂ O | т | 292,046 | (39,356) |
| | ж | 286,0208±0,0401 | 70,13±0,21 |
| | г | 241,980±0,042 | 188,850±0,050 |
| HO | г | —38,983±1,256 | 183,759±0,033 |
| H ₂ O ₂ | ж | 187,90±0,08 | 109,57±0,42 |
| | г | 136,24±0,17 | 233,037±0,50 |
| H ₂ O ₃ | — | 46,1±20,9 | — |
| HO ₂ | г | —20,545±8,374 | 227,59±1,67 |
| H ₂ O ₄ | ж | 24,7±16,7 | — |
| | г | —25,5±16,7 | 266,28±4,19* |
| D ₂ O | ж | 294,797±0,100 | 75,95±0,21 |
| | г | 249,370±0,105 | 198,375±0,050 |
| DO | г | —36,019 | 189,696±0,033 |
| D ₂ O ₂ | ж | 196,499±0,419 | — |
| | г | 144,122±0,377 | 239,82±0,63 |
| DO ₂ | г | —16,785±8,374 | 231,57±1,67 |
| T ₂ O | ж | 298,653±0,46 | — |
| | г | 252,598±0,209 | 204,266±0,063 |
| TO | г | —35,651±1,26 | 193,263±0,037 |
| TO ₂ | г | —15,165±8,374 | 234,21±1,88 |
| HDO | ж | 290,145±0,209 | 79,34 |
| | г | 245,476±0,209 | 199,539±0,05 |
| HDO ₂ | г | — | 242,42±0,84 |
| HTO | ж | 293,83±1,26 | — |
| | г | 246,921±0,209 | 202,721±0,063 |
| DTO | г | 250,936±0,209 | 207,121±0,063 |
| HDO ₂ | г | 140,170±0,461 | — |
| Li ₂ O | т | 596,912±0,0 | 37,93 |
| | г | 133,304±12,56 | 238,80 |
| LiO | г | —79,679±20,9 | 206,65 |
| Li ₂ O ₂ | т | 634,30±16,75 | 69,08 |
| | г | 115,137±25,12 | — |

| 1 | 2 | 3 | 4 |
|-------------------------|----|----------------|---------------|
| LiO_2 | т | (238,6) | — |
| Be_2O | г | 33,49±41,87 | — |
| BeO | т | 599,13±4,19 | 14,11 |
| | г | —126,44 | 197,64 |
| Be_2O_2 | г | 418,68±79,55 | — |
| Be_3O_3 | г | 1038,33±37,68 | — |
| Be_4O_4 | г | 1553,30±50,24 | — |
| Be_5O_5 | г | 2068,28±75,36 | — |
| Be_8O_8 | г | 2612,56±92,11 | — |
| B_2O | г | — | 231,11±2,51 |
| BO | г | —22,23±15,91 | 203,478±0,042 |
| B_2O_2 | г | 456,36±8,37 | 242,83±0,84 |
| B_2O_3 | т | 1273,75±1,21 | 54,01±0,29 |
| | ам | 1254,83±1,72 | 80,81±1,26 |
| | ст | 1245,99 | 77,66 |
| | г | 842,028±8,37 | 279,26±2,93 |
| BO_2 | г | 293,08±20,9 | 229,646±0,419 |
| BO_3 | — | 1461,19 | — |
| C_2O | г | —289,73±12,56 | 233,20±0,84 |
| C_3O_2 | г | 33,5±20,9 | 257,794 |
| CO | г | 110,598±0,129 | 197,676±0,029 |
| CO_2 | ж | 399,052±0,837 | — |
| | г | 393,777±0,046 | 213,824±0,042 |
| CO_3 | г | — | 259,2±1,26 |
| N_2O | г | —81,70±0,42 | 220,02±0,13 |
| NO | г | —90,31±0,29 | 210,72±0,08 |
| N_2O_2 | г | —168,73 | — |
| N_2O_3 | ж | —49,40 | — |
| | г | —83,32±1,26 | 307,31±1,26 |
| NO_2 | г | —33,49±0,84 | 240,32±0,16 |
| N_2O_4 | ж | 19,05 | 209,34 |
| | г | —9,63±1,67 | 303,96±0,84 |
| N_2O_5 | т | 42,71±2,51 | 178,36 |
| | г | —11,72±2,09 | 355,88±2,09 |
| NO_3 | г | —71,18±20,9 | 252,88±2,09 |
| O | г | —249,349±0,126 | 161,054±0,021 |
| O_2 | г | 0,000 | 205,174±0,033 |
| O_3 | г | —142,35±2,09 | 238,98±0,21 |
| O_4 | г | 0,544±0,837 | — |
| F_2O | г | —25,12±8,4 | 247,15±0,08 |
| FO | г | —136,07 | 218,011±0,84 |
| F_2O_2 | г | —19,80±1,26 | — |
| F_2O_3 | г | —26,13±3,14 | — |
| FO_2 | г | 77,456 | — |
| F_2O_5 | г | (224,41) | — |
| Na_2O | т | 416,16 | 72,85 |
| | г | 154,91 | — |
| Na_2O_2 | т | 511,2±2,1 | 94,622 |
| NaO_2 | т | 260,0±2,9 | 115,974 |
| | г | 163,29 | — |

| 1 | 2 | 3 . | 4 |
|---------------------------------|------------------|----------------------------|---------------|
| MgO | т | 602,23±0,42 | 26,921 |
| | Г | 29,73 | 213,296 |
| MgO ₂ | т | 623,0 | 85,829 |
| Al ₂ O | Г | 128,12 | 259,58±1,67 |
| AlO | Г | -89,60 | 218,425±0,042 |
| Al ₂ O ₂ | Г | 391,47±20,9 | — |
| Al ₂ O ₃ | т | 1676,81±1,26* ² | 50,95±0,08 |
| | т | 1662,2* ³ | — |
| | ам | 1603,5 | — |
| | Г | 833,17 | — |
| SiO | т | 437,94 | 27,214 |
| | Г | 103,41±6,28 | 211,60±0,08 |
| Si ₂ O ₃ | Г | 404,44±33,5 | — |
| SiO ₂ * ⁴ | т | 911,55±1,42 | 41,868±0,419 |
| * 5 | т | 908,87±1,55 | 42,663±0,419 |
| | т | 906,02 | 43,54±0,84 |
| | ст | 902,17±1,51 | 46,89 |
| | ам* ⁶ | 897,44±1,51 | — |
| * ⁷ | т | 906,48±1,55 | 40,40±0,21 |
| * ⁸ | т | 862,10±1,88 | 27,80±0,21 |
| PO | Г | 326,6±33,5 | 227,76±1,67 |
| P ₂ O ₃ | ж | 1130,4±37,7 | 222,82±0,13 |
| P ₄ O ₆ | т | 1641,23 | 142,351 |
| | Г | 1594,58 | — |
| PO ₂ | т | 272,14 | 347,09±0,84 |
| | Г | 387,70 | 48,15 |
| P ₄ O ₈ | Г | 2407,510 | 253,72±3,35 |
| P ₂ O ₅ | т | 1531,53 | 385,2±8,4 |
| P ₄ O ₁₀ | т | 2986,03±4,19 | 140,26 |
| | ам | 3044,64 | 240,32±0,08 |
| | ст | 3084,0 | — |
| S ₂ O | Г | 2896,43±5,86 | 394,82±6,28 |
| SO | Г | 109,32±5,0 | 267,33±0,63 |
| SO ₂ | Г | -0,41±1,26 | 221,98±0,17 |
| SO ₃ * ⁹ | ж | 322,38 | — |
| * ¹⁰ | Г | 297,10±0,21 | 248,24±0,08 |
| | т | 462,73 | — |
| | т | 449,872 | — |
| | ж | 439,28±1,26 | — |
| | Г | 396,11±0,38 | 256,86±0,21 |
| S ₃ O ₉ | Г | 1314,66 | — |
| S ₂ O ₇ | т | 813,50 | — |
| Cl ₂ O | Г | -76,62±1,26 | 266,402±0,17 |
| ClO | Г | -101,40±0,42 | 226,669±0,84 |
| ClO ₂ | Г | -104,67±6,28 | 257,195±0,08 |
| ClO ₃ | Г | -154,9±8,4 | — |
| Cl ₂ O ₇ | ж | 321,13±1,26 | — |
| | Г | 287,13±1,34 | — |

| 1 | 2 | 3 | 4 |
|----------------------------------|----|----------------------|---------------------------|
| K ₂ O | T | 361,739 | 96,3 |
| | Г | 58,62 | — |
| K ₂ O ₂ | T | 494,04±41,87 | 113,0 |
| | Г | 159,10 | — |
| K ₂ O ₃ | T | 561,03 | 140,26 |
| KO ₂ | T | 283,03±3,35 | 116,81 |
| K ₂ O ₄ | T | 561,03 | — |
| KO ₃ | T | 260,00±3,77 | — |
| CaO | T | 635,514±0,879 | 39,78±0,84 |
| | Г | 59,402±16,75 | 219,761 |
| CaO ₂ | T | 654,82±4,19 | — |
| Sc ₂ O | Г | 102,58±46,05 | — |
| ScO | Г | 66,15 ^{*11} | — |
| Sc ₂ O ₃ | T | 1918,8 | 103,83 |
| TiO _{0,1} | T | 57,36 | — |
| TiO _{0,2} | T | 114,72 | — |
| TiO _{0,3} | T | 172,08 | — |
| TiO _{0,4} | T | 229,44 | — |
| TiO _{0,8} | T | 434,17 | — |
| TiO _{0,9} | T | 480,23 | — |
| TiO | T | 526,28 | 34,79±0,21 ^{*12} |
| | Г | —57,31±9,21 | 227,76±7,12 |
| TiO _{1,01} | T | 530,89 | 35,96±0,42 ^{*12} |
| TiO _{1,1} | T | 572,34 | — |
| TiO _{1,20} | T | 618,39 | — |
| TiO _{1,22} | T | 627,60 | — |
| Ti ₂ O ₃ | T | 1518,97 | 77,37±0,21 |
| Ti ₃ O ₅ | T | 2457,65 | 127,15±0,42 |
| Ti ₄ O ₇ | T | 3389,63 | 194,94±0,63 |
| Ti ₅ O ₉ | T | 4319,52 | 249,11±0,84 |
| Ti ₆ O ₁₁ | T | 5248,15 | 301,45±0,84 |
| Ti ₇ O ₁₃ | T | 6178,04 | 356,72 |
| Ti ₈ O ₁₅ | T | 7105,00 | 405,70 |
| Ti ₉ O ₁₇ | T | 8035,73 | 459,71 |
| Ti ₁₀ O ₁₉ | T | 8967,71 | 504,09±1,26 |
| TiO ₂ ^{*13} | T | 944,50±0,96 | 50,37±0,21 |
| * ₁₄ | T | 939,27±1,26 | 49,95±0,42 |
| * ₁₅ | T | 921,1 | — |
| | ам | 900,2 | — |
| | Г | 297,397±21,35 | 259,16±4,19 |
| VO _{0,86} | T | — | 32,28±0,42 |
| VO | T | 432,08±4,61 | 33,62±0,42 |
| | Г | —151,386±41,87 | 231,11±2,09 |

| 1 | 2 | 3 | 4 |
|-----------------------------|---|----------------------|-------------------------|
| $\text{VO}_{1,24}$ | т | $523,77 \pm 5,86$ | $39,31 \pm 0,42$ |
| $\text{VO}_{1,30}$ | т | — | $41,95 \pm 0,42$ |
| V_3O_4 | т | $1473,75 \pm 58,62$ | — |
| V_2O_3 | т | $1219,87 \pm 2,64$ | $98,39 \pm 1,26$ |
| V_3O_5 | т | $1942,68 \pm 3,77$ | $154,91 \pm 4,19$ |
| V_4O_7 | т | $2663,64 \pm 5,44$ | $211,43 \pm 0,84$ |
| V_5O_9 | т | $3380,42 \pm 7,12$ | $258,74 \pm 6,28$ |
| V_6O_{11} | т | $4096,78 \pm 8,40$ | $322,38 \pm 8,37$ |
| V_7O_{13} | т | $4811,47 \pm 9,63$ | $351,69 \pm 16,75$ |
| V_8O_{15} | т | $5526,16 \pm 10,89$ | $401,93 \pm 16,75$ |
| VO_2 | т | $715,94 \pm 8,37$ | — |
| | г | $226,09 \pm 29,31$ | — |
| V_2O_4 | т | $1427,70 \pm 5,86$ | $96,72 \pm 1,26$ |
| V_4O_8 | г | $2457,7 \pm 25,1$ | — |
| V_6O_{13} | т | $4440,52 \pm 12,6$ | $289,73 \pm 16,75$ |
| V_3O_7 | т | $2327,9$ | — |
| V_2O_5 | т | $1553,30 \pm 9,63$ | $131,05 \pm 1,26$ |
| V_4O_{10} | т | $2826,1 \pm 20,9$ | — |
| CrO | т | $389,37$ | — |
| | г | $272,14$ | — |
| Cr_2O_3 | т | $1141,32 \pm 1,67$ | $81,22 \pm 1,26$ |
| * ₁₆ | т | $1510,18$ | — |
| * ₁₇ | т | $1848,47$ | — |
| * ₁₈ | т | $2176,30$ | — |
| $\text{CrO}_{1,98}$ | т | $582,80$ | — |
| CrO_2 | т | $588,66$ | $48,15$ |
| | г | $61,127$ | — |
| Cr_5O_{12} | т | $2888,9$ | — |
| Cr_8O_{21} | т | $4743,64$ | — |
| CrO_3 | т | $590,76 \pm 3,35$ | $73,27$ |
| | г | $295,081 \pm 83,7$ | $270,89 \pm 12,6$ |
| $(\text{CrO}_3)_3$ | г | $1628,7 \pm 41,9$ | — |
| $(\text{CrO}_3)_4$ | г | $2210,6 \pm 41,9$ | — |
| $(\text{CrO}_3)_5$ | г | $2771,7 \pm 41,9$ | — |
| MnO | т | $385,35 \pm 0,46$ | — |
| | т | — | $61,55 \pm 2,09^{*19}$ |
| | т | — | $226,50 \pm 6,28^{*20}$ |
| Mn_3O_4 | г | $-123,866 \pm 12,56$ | — |
| Mn_2O_3 | т | $1388,55 \pm 1,05$ | $154,91 \pm 8,37$ |
| MnO_2 | т | $958,36 \pm 0,84$ | $110,53 \pm 2,09$ |
| Mn_2O_7 | ж | $521,84 \pm 0,84$ | $53,17 \pm 0,42$ |
| $\text{Fe}_{0,947}\text{O}$ | т | $726,83 \pm 2,5$ | — |
| FeO | т | $265,44 \pm 1,67$ | $57,61 \pm 0,42$ |
| | г | $265,02 \pm 4,19$ | $60,79 \pm 0,42$ |
| | г | $-255,767$ | $272,14 \pm 2,93$ |
| $\text{FeO}_{1,05}$ | т | $278,84 \pm 4,19$ | — |
| $\text{FeO}_{1,056}$ | т | $280,306 \pm 1,758$ | $60,83 \pm 0,42$ |

| 1 | 2 | 3 | 4 |
|--|----|-----------------|----------------------------|
| FeO _{1,10} | т | 292,66±4,19 | — |
| FeO _{1,15} | т | 306,06±4,19 | — |
| FeO _{1,20} | т | 319,87±4,19 | — |
| Fe ₃ O ₄ | т | 1117,88±2,09 | 146,29±0,84 |
| | т | — | 145,70±0,84* ₂₁ |
| | т | — | 144,19±0,84* ₂₂ |
| | т | — | 142,48±0,84* ₂₃ |
| Fe ₂ O ₃ | т | 822,71±4,19 | 87,50±2,09 |
| | ам | 688,73 | — |
| CoO | т | 239,07±1,26 | 52,75±0,42 |
| | ам | 211,43 | — |
| Co ₃ O ₄ | г | —309,652±21,353 | 242,0±8,4 |
| NiO | т | 887,6±8,4 | 103,0±0,8 |
| | т | 239,90±0,54 | 38,02±0,42 |
| | г | —313,901±20,93 | 241,16±8,4 |
| Ni ₂ O ₃ | т | 485,7 | — |
| Cu ₂ O | т | 173,292±1,340 | 92,99±0,21 |
| CuO* ₂₄ | т | 157,131±0,879 | — |
| * ₂₅ | т | 162,113±1,256 | — |
| | т | — | 42,66±0,21 |
| Zn ₂ O | г | —320,215±41,87 | 234,88±2,1 |
| | г | >21,269 | — |
| ZnO | т | 350,962±0,25 | 43,67±0,42 |
| | г | — | 224,83±2,09 |
| Ga ₂ O | т | 355,9 | 94,2 |
| | г | 85,83±6,28 | 283,87±2,09 |
| GaO | т | —141,292±17,166 | — |
| | г | — | 230,99±0,21 |
| Ga ₂ O ₃ | т | 1089,82±3,35 | 85,03±0,42 |
| | г | 516,23±25,1 | — |
| GeO | т | 255,4±20,9 | 52,34 |
| | г | 30,702 | 223,95±0,21 |
| Ge ₂ O ₂ | г | 247,0±20,9 | — |
| Ge ₃ O ₃ | г | 460,5±33,5 | — |
| GeO ₂ * ₂₆ | т | 580,54±1,42 | 39,73±0,13 |
| * ₂₇ | т | 555,09±1,00 | 55,31±0,42 |
| | ам | 539,39±1,17 | — |
| AsO | г | —57,326±18,00 | 230,32±0,33 |
| As ₂ O ₃ | т | 654,82 | 107,18 |
| As ₄ O ₆ * ₂₈ | т | 1332,45±2,51 | 245,35 |
| * ₂₉ | т | 1335,69±2,51 | 233,62±8,37 |
| | г | 1230,9±8,4 | — |
| AsO ₂ | т | 367,601 | — |
| As ₂ O ₄ | т | 800,10±1,26 | — |
| As ₂ O ₅ | т | 927,04±1,67 | 105,5±1,67 |
| SeO | т | — | 46,06 |
| | г | —54,625±8,40 | 234,46±0,21 |
| SeO ₂ | т | 225,67±2,09 | 62,8 |
| | г | 126,86±4,61 | 265,02±0,42 |

| 1 | 2 | 3 | 4 |
|----------------------------|---|--------------------------|-------------------------|
| Se_2O_5 | T | 415,33 | — |
| SeO_3 | T | 172,91 | — |
| | G | 92,110 | 268,0 |
| BrO | G | $-125,713 \pm 2,51$ | $237,446 \pm 0,92$ |
| BrO_2 | T | —52,34 | — |
| Rb_2O | T | 330,338 | 113,04 |
| Rb_2O_2 | T | $424,96 \pm 41,87$ | 115,14 |
| Rb_2O_3 | T | 508,696 | 136,07 |
| RbO_2 | T | $284,70 \pm 2,51$ | $130,18 \pm 0,63^{*30}$ |
| Rb_2O_4 | T | 528,374 | — |
| Sr_2O | G | 236,97 | — |
| SrO | T | $590,76 \pm 8,37$ | 54,43 |
| | G | $59,620 \pm 8,79$ | $230,111$ |
| SrO_2 | T | 641,42 ± 16,7 | 62,0 |
| Y_2O | G | $-19,26 \pm 33,49$ | — |
| YO | G | 48,15* ¹¹ | — |
| Y_2O_2 | G | 514,98 | — |
| Y_2O_3 | T | $1758,5 \pm 37,7$ | 123,5 |
| $\text{ZrO}_{0,079}$ | T | 41,87 ± 2,51 | — |
| $\text{ZrO}_{0,201}$ | T | $119,32 \pm 2,51$ | — |
| $\text{ZrO}_{0,333}$ | T | $194,69 \pm 2,51$ | — |
| $\text{ZrO}_{0,46}$ | T | $268,37 \pm 25,5$ | $57,36 \pm 15,07$ |
| ZrO | T | $724,3 \pm 41,9$ | — |
| | G | 91,394 ± 41,9 | $227,76 \pm 0,42$ |
| Zr_2O_3 | T | 1808,7 | — |
| ZrO_2 | T | $1101,30 \pm 0,63^{*31}$ | 50,41 ± 0,42 |
| | T | $1090,24 \pm 2,09^{*32}$ | — |
| | G | 295,931 ± 20,9 | $267,96 \pm 5,02$ |
| NbO | T | $406,12 \pm 4,19$ | 50,24 |
| | G | $-199,924 \pm 41,9$ | $239,07 \pm 1,26$ |
| NbO_2 | T | 795,91 ± 0,84 | $54,55 \pm 0,42$ |
| Nb_2O_5 | T | $1899,13 \pm 1,67$ | $137,33 \pm 0,84$ |
| MoO_2 | T | $589,50 \pm 0,84$ | $46,31 \pm 0,21$ |
| | G | 13,40 ± 20,9 | — |
| Mo_4O_{11} | T | 2809,3 | — |
| Mo_8O_{23} | T | 5823,8 | — |
| Mo_9O_{26} | T | 6585,8 | — |
| MoO_3 | T | $745,67 \pm 0,42$ | $77,79 \pm 0,42$ |
| | G | 363,0 ± 20,9 | $279,26 \pm 12,6$ |
| $(\text{MoO}_3)_2$ | G | 1201,6 ± 29,3 | — |
| $(\text{MoO}_3)_3$ | G | 1925,9 ± 62,8 | — |
| $(\text{MoO}_3)_4$ | G | 2595,8 ± 41,9 | — |
| $(\text{MoO}_3)_5$ | G | 3286,6 ± 41,9 | — |
| TcO_2 | T | 434,3 | $54,43 \pm 4,19$ |
| TcO_3 | T | 540,1 ± 25,1 | $77,46 \pm 4,19$ |
| Tc_2O_7 | T | $1115,36 \pm 11,72$ | $191,76 \pm 8,37$ |
| | G | 983,06 ± 11,72 | — |
| RuO | G | $-412,643 \pm 41,87$ | $237,81 \pm 6,28$ |
| RuO_2 | T | 305,22 ± 6,28 | $58,62 \pm 6,28$ |

| 1 | 2 | 3 | 4 |
|------------------------------------|----|---------------|---------------|
| RuO ₃ | Г | 78,29±10,47 | 276,3±12,6 |
| RuO ₄ | Г | 239,48±5,44 | 141,1 |
| | Ж | 228,60±5,02 | 177,52 |
| Rh ₂ O | Г | 184,22±5,02 | 290,86±0,42 |
| RhO | Т | 95,04 | 106,8 |
| | Т | 94,20 | 50,24 |
| Rh ₂ O ₃ | Т | —409,921±62,8 | 229,86±8,37 |
| RhO ₂ | Г | 355,9 | 106,34±8,37 |
| PdO | Т | —188,4 | — |
| | Г | 115,56±3,35 | 38,94±4,19 |
| | Г | —337,310. | 248,70±8,37 |
| Ag ₂ O | Т | 31,150 | 121,42±0,29 |
| AgO | Т | — | 57,82 |
| | Г | —292,716 | 245,77±0,42 |
| Ag ₂ O ₂ | Т | 24,70±2,09 | 85,4 |
| AgO ₂ | Т | — | 63,85 |
| CdO | Т | 259,16±1,26 | 54,85±1,26 |
| | ам | 238,6 | — |
| | Г | —81,123 | 233,20±2,1 |
| In ₂ O | Т | 167,47 | 117,23 |
| | Г | 55,387±30,56 | 298,52±2,51 |
| InO | Т | 272,14 | 60,7 |
| In ₂ O ₃ | Т | 926,41±1,67 | 108,02±3,35 |
| | Т | — | 134,92±0,92 |
| | Г | 904,35±29,31 | — |
| SnO | Т | 286,168±0,67 | 56,52±2,09 |
| | Г | —20,867 | 232,162±0,042 |
| (SnO) ₂ | Г | 238,6±25,1 | — |
| (SnO) ₃ | Г | 510,8±37,7 | — |
| (SnO) ₄ | Г | 787,1±41,9 | — |
| SnO ₂ | Т | 581,17±3,35 | 52,34±1,26 |
| SbO | Г | —103,569±83,7 | 238,40±0,25 |
| Sb ₂ O ₃ | Т | 699,61 | 123,1 |
| | Т | 705,48*33 | — |
| Sb ₄ O ₆ *20 | Т | — | 265,44±8,37 |
| *33 | Т | 1418,07±5,86 | 282,19±8,37 |
| SbO ₂ | Т | 447,99 | 63,64 |
| Sb ₂ O ₄ | Т | 908,12±4,6 | 127,28±8,37 |
| Sb ₆ O ₁₃ | Т | 2806,83 | — |
| Sb ₂ O ₅ | Т | 1008,18 | 125,19±8,37 |
| TeO | Т | 234,46 | 54,43 |
| | Г | —174,016±6,7 | 240,74±0,42 |
| TeO ₂ | Т | 321,96±5,0 | 58,62±8,37 |
| | Г | 51,92±9,63 | 273,40±1,67 |
| IO | Г | —168,041±25,1 | 245,447±1,05 |
| I ₂ O ₅ | Г | 183,38 | — |
| Cs ₂ O | Т | 317,78 | 96,3 |
| Cs ₂ O ₂ | Т | 401,9±62,8 | 167,5 |
| Cs ₂ O ₃ | Т | 465,6 | 196,78 |
| CsO ₂ | Т | 289,73±2,09 | — |
| Ba ₂ O | Т | 615,460 | 98,39 |

| 1 | 2 | 3 | 4 |
|--|---|------------------------|-------------|
| BaO | Г | 298,94 | — |
| | Т | 558,94 | 70,338 |
| | Г | 136,49 | 235,516 |
| Ba ₂ O ₂ | Г | 638,91 | — |
| BaO ₂ | Т | 635,93±1,05 | 77,46 |
| La ₂ O | Г | —51,92±33,49 | — |
| LaO | Г | 116,81* ¹¹ | — |
| La ₂ O ₂ | Г | 510,79 | — |
| La ₂ O ₃ | Т | 1799,00±5,44 | 127,40 |
| CeO | Г | 93,37* ¹¹ | — |
| Ce ₂ O ₃ | Т | 1821,26±25,12 | 152,40 |
| CeO ₂ | Т | 1089,32±1,382 | 74,11 |
| PrO | Г | 139,42* ¹¹ | — |
| Pr ₂ O ₃ | Т | 1824,61±0,67 | 158,68 |
| PrO _{1,703} | — | 935,75±3,35 | — |
| PrO _{1,717} | — | 938,56 | — |
| PrO _{1,804} | — | 948,31±3,35 | — |
| Pr ₆ O ₁₁ | Т | 5717,494±20,097 | 488,6 |
| PrO ₂ | Т | 962,96 | 71,18 |
| NdO | Г | 139,42* ¹¹ | — |
| A-Nd ₂ O ₃ | Т | 1784,0±1,26 | 158,68 |
| SmO | Г | 144,44* ¹¹ | — |
| C-Sm ₂ O ₃ * ³⁴ | Т | 1827,5±7,1 | — |
| B-Sm ₂ O ₃ * ³⁵ | Т | 1833,4±7,9 | — |
| Sm ₂ O ₃ | Т | — | 152,82 |
| EuO | Т | 607,92±17,17 | 86,67±12,56 |
| | Г | 136,91 | — |
| C-Eu ₂ O ₃ * ³⁴ | Т | 1734,6±6,7 | — |
| B-Eu ₂ O ₃ * ³⁵ | Т | 1726,64±5,11 | — |
| GdO | Г | 74,53* ¹¹ | — |
| B-Gd ₂ O ₃ | Т | 1825,44±1,80 | — |
| Gd ₂ O ₃ | Т | — | 150,72 |
| TbO | Г | 83,74* ¹¹ | — |
| Tb ₂ O ₃ | Т | 1828,79±8,37 | 158,26 |
| TbO _{1,71} | Т | 934,91±4,19 | — |
| TbO _{1,80} | Т | 947,891±4,19 | — |
| DyO | Г | 84,15* ¹¹ | — |
| Dy ₂ O ₃ | Т | 1866,64±3,89 | 149,89 |
| HoO | Г | 99,65* ¹¹ | — |
| Ho ₂ O ₃ | Т | 1882,0±5,0 | 158,26 |
| ErO | Г | 71,59* ¹¹ | — |
| Er ₂ O ₃ | Т | 1899,0±1,9 | 153,24 |
| TuO | Г | 87,09* ¹¹ | — |
| Tu ₂ O ₃ | Т | 1890,0±6,0 | 153,24 |
| YbO | Г | >—30,14* ¹¹ | — |
| Yb ₂ O ₃ | Т | 1816,0±44,1 | 133,14 |
| LuO | Г | 23,03* ¹¹ | — |

| 1 | 2 | 3 | 4 |
|--------------------------|---|-----------------|-------------|
| Lu_2O_3 | T | 1896,0±13,8 | 110,033 |
| $\text{HfO}_{0,104}$ | T | 59,45±5,86 | — |
| $\text{HfO}_{0,152}$ | T | 87,92±5,86 | — |
| $\text{HfO}_{0,199}$ | T | 115,14±5,86 | — |
| $\text{HfO}_{0,255}$ | T | 153,24±5,86 | — |
| HfO | Г | —120,316±25,54 | 237,72±0,84 |
| HfO_2^{*36} | T | 1118,29±2,09 | 59,37±0,63 |
| *32 | T | 1127,09±2,09 | — |
| | Г | 224,965±20,9 | 275,91±5,02 |
| TaO | Г | 236,387±41,87 | 241,16±0,08 |
| TaO_2 | T | — | 385,2 |
| | Г | 184,2±20,9 | 279,68±1,67 |
| Ta_2O_5 | T | 2048,6±1,67 | 143,19±1,67 |
| W_3O | T | 316,52 | 83,7±8,4 |
| WO_2 | T | 589,92±0,84 | 50,58±0,42 |
| | Г | —76,20±29,31 | — |
| W_2O_5 | T | 1402,6 | — |
| W_3O_8 | Г | 1710,31±41,9 | — |
| $\text{WO}_{2,72}^{*37}$ | T | 776,23±8,37 | 68,66±1,26 |
| $\text{WO}_{2,90}^{*38}$ | T | 818,94±8,37 | 73,27±0,84 |
| $\text{WO}_{2,96}^{*39}$ | T | 838,59±8,37 | 74,94±0,84 |
| WO_3 | T | 843,22±0,84 | 76,0±0,5 |
| | Г | 299,77±29,3 | — |
| $(\text{WO}_3)_2$ | Г | 1168,1±41,9 | 415,75 |
| $(\text{WO}_3)_3$ | Г | 2026,4±41,9 | 504,93 |
| $(\text{WO}_3)_4$ | Г | 2805,2±41,9 | 605,41 |
| ReO | Г | — | 242,42±4,19 |
| Re_2O_3 | T | 519,58±7,54*32 | — |
| ReO_2 | T | 451,76±3,77 | 56,52±8,37 |
| | T | 1001,48±5,02*40 | — |

| 1 | 2 | 3 | 4 |
|-----------------------------------|---|---------------|-------------|
| ReO ₃ | т | 593,27±4,19 | 80,81±8,37 |
| Re ₂ O ₇ | т | 1272,79±8,39 | 207,37±0,84 |
| | г | 1116,2±9,2 | — |
| ReO ₄ | т | 645,6 | 144,45 |
| OsO | г | — | 254,14±8,37 |
| OsO ₂ | т | 259,58±41,87 | 71,2±8,4 |
| OsO ₃ | г | 280,1±12,6 | — |
| OsO ₄ *41 | т | 383,93 | 145,3 |
| *42 | т | 391,047 | 124,95 |
| | т | 393,98±8,37 | 136,9±8,4 |
| | г | 336,41±8,79 | 293,83±0,33 |
| IrO | г | —563,598±20,9 | 257,49±8,37 |
| Ir ₂ O ₃ | т | 284,70 | 110,95 |
| IrO ₂ | т | 254,98±1,67 | 58,6±12,6 |
| | г | —216,04±12,56 | 263,8 |
| IrO ₃ | г | —13,40±6,28 | 288,9 |
| PtO | т | 71,18 | 56,52 |
| | г | —442,641 | 256,65±8,37 |
| Pt ₃ O ₄ | т | 267,96±100,48 | 167,5±16,8 |
| PtO _{1,39} | т | 56,94±4,61 | — |
| Pt ₃ O _{4,17} | т | 170,82±13,82 | — |
| PtO ₂ | т | 133,98±41,87 | 69,08 |
| | г | —170,82±6,28 | 259,6 |
| AuO | г | — | 254,98±1,67 |
| Au ₂ O ₃ | т | 12,98±2,51 | 125,6 |
| Hg ₂ O | т | 92,11 | 125,6 |
| HgO*42 | т | 90,52±0,13 | 71,335 |
| *43 | т | 90,937±0,100 | 70,34±0,21 |
| *27 | т | 90,31±0,29 | 71,531 |
| | г | — | 241,58±2,09 |
| Tl ₂ O | т | 167,47±7,54 | 99,65 |
| | т | —8,79±6,28 | 314,00±2,93 |
| Tl ₂ O ₃ | т | 390,63±4,19 | 140,26 |
| Tl ₂ O ₄ | т | 448,0 | — |

| 1 | 2 | 3 | 4 |
|--------------------------------|---|---------------|--------------|
| PbO ^{*42} | T | 217,76±0,71 | 68,75±0,21 |
| *43 | T | 219,43±0,63 | 66,15±1,26 |
| | G | —68,89±5,44 | 240,07±0,13 |
| Pb ₂ O ₃ | G | 122,67 | — |
| Pb ₃ O ₃ | G | 315,68 | — |
| Pb ₄ O ₄ | G | 561,03 | — |
| Pb ₅ O ₄ | T | 723,90±1,88 | 211,43±6,7 |
| PbO ₂ | T | 276,75±1,26 | 76,62±2,1 |
| BiO | T | 209,3 | 62,8 |
| | G | —118,97±83,7 | 246,23±0,21 |
| Bi ₂ O ₃ | T | 578,2±4,2 | 151,6±4,2 |
| PoO ₂ | T | 251,2 | 71,18±8,4 |
| RaO | T | 544,28 | 71,18 |
| Ac ₂ O ₃ | T | 1858,94 | 152,82 |
| ThO | T | 607,09 | 67,0 |
| ThO ₂ | T | 1227,57 | 65,272±0,209 |
| | G | >510,37 | — |
| PaO ₂ | T | 1029,95 | 74,53 |
| Pa ₂ O ₅ | T | 2093,40 | 157,0 |
| UO | T | 540,1 | 67,0 |
| U ₃ O ₅ | T | 3573,43 | 276,33 |
| UO ₂ | T | 1086,48±8,37 | 78,00 |
| U ₂ O ₅ | T | 2386,48 | — |
| U ₃ O ₈ | T | 3579,71 | 281,8 |
| UO ₃ | T | 1226,73 | 98,68 |
| | G | 569,40 | — |
| NpO ₂ | T | 1029,95 | 80,35 |
| Np ₂ O ₅ | T | 2135,27 | 180,03 |
| PuO | T | 481,48 | 83,74 |
| Pu ₂ O ₃ | T | 1666,35±41,87 | 159,10 |
| PuO ₂ | T | 1058,7±1,60 | 82,48 |
| Am ₂ O ₃ | T | 1758,46 | 154,91 |
| AmO ₂ | T | 1004,41 | 83,74 |

*1 S_0^0 253,15. *2 Корунд, гексагональный. *3 Тетрагональный. *4 α -кварц.
 *5 α -кристобалит. *6 Мелкодисперсный. *7 Коэсит. *8 Стишовит. *9 Тугоплавкое, волокнистое. *10 Легкоплавкое, волокнистое. *11 $\Delta H_f, \text{ кДж/моль}$. *12 Приведено S_0^0 298,15—
 S_0^0 . *13 Рутил. *14 Анатаз. *15 Гидратированный, осажденный. *16 $\text{Cr}_2\text{O}_3 \cdot \text{H}_2\text{O}$.
 *17 $\text{Cr}_2\text{O}_3 \cdot 2\text{H}_2\text{O}$. *18 $\text{Cr}_2\text{O}_3 \cdot 3\text{H}_2\text{O}$. *19 Гексагональный. *20 Кубический. *21 1% катионных вакансий. *22 2% катионных вакансий. *23 4% катионных вакансий. *24 Микрокристаллический. *25 Макрокристаллический. *26 Тетрагональный. *27 Гексагональный. *28 Клауденит. *29 Арсенолит. *30 99,8% чистоты. *31 Бадделеит. *32 Гидратированный. *33 Ромбический. *34 Низкотемпературная модификация. *35 Высокотемпературная модификация. *36 Молоклинный. *37 $\frac{1}{18} \text{W}_{18}\text{O}_{49}$.
 *38 $\frac{1}{10} \text{W}_{10}\text{O}_{29}$. *39 $\frac{1}{50} \text{W}_{50}\text{O}_{148}$. *40 $\text{ReO}_2 \cdot 2\text{H}_2\text{O}$. *41 Белый. *42 Желтый. *43 Красный.

2. ТЕМПЕРАТУРНАЯ ЗАВИСИМОСТЬ ТЕПЛОТЫ ОБРАЗОВАНИЯ [19, 75]
 $(-\Delta H_f^0 \cdot 10^{-3}, \text{ кДж/кмоль})$

| Оксид | Состояние | Температура, К | | | | | | | | | | | |
|---|-----------|----------------|--------|--------|--------|--------|--------|--------|--------|--------|-------|-------|-------|
| | | 298,15 | | | 400 | | | 600 | | | 800 | | |
| | | 1 | 2 | 3 | 4 | 5 | 6 | 7 | 8 | 9 | 10 | 11 | 12 |
| H ₂ O | ж, г | 286,0 | 243,0 | 244,9 | 246,6 | 248,1 | 249,1 | 250,0 | 251,4 | 251,4 | 252,3 | | |
| H ₂ O ₂ | ж, г | 187,4 | 187,4 | 139,8 | 140,7 | 141,1 | 141,1 | 140,9 | — | — | — | 135,7 | |
| Li ₂ O | т | 596,9 | 573,2 | 580,3 | 579,7 | 578,0 | 575,1 | 571,7 | — | — | — | — | 598,3 |
| BeO | т | 599,2 | 599,4 | 599,2 | 597,9 | 596,9 | 595,0 | 593,3 | — | — | — | — | |
| B ₂ O ₃ | т, ж | 1278,6 | 1278,6 | 1277,0 | 1249,1 | 1243,1 | 1237,6 | 1234,7 | 1233,0 | — | — | — | |
| CO | г | 110,5 | 110,1 | 110,3 | 111,0 | 112,0 | 113,0 | 114,5 | 115,8 | 117,2 | 119,1 | | |
| CO ₂ | г | 393,8 | 393,8 | 394,2 | 394,4 | 395,2 | 394,8 | 394,8 | 396,5 | 396,5 | 397,1 | | |
| N ₂ O | г | -81,6 | -81,2 | -81,4 | -82,1 | -82,9 | -83,7 | -85,0 | -86,2 | -87,1 | -87,9 | | |
| NO | г | -90,4 | -90,4 | -90,4 | -90,4 | -90,4 | -90,6 | -90,6 | -90,9 | -90,9 | -90,9 | -90,9 | |
| N ₂ O ₃ | г | -73,3 | -73,3 | — | — | — | — | — | — | — | — | — | |
| NO ₂ | г | -33,9 | -33,5 | -32,7 | -32,4 | -32,4 | -33,1 | -33,7 | -33,5 | -34,3 | -34,8 | -34,3 | |
| N ₂ O ₄ | г | -9,6 | -9,2 | -10,5 | -13,0 | -16,3 | — | — | — | — | — | — | |
| Na ₂ O | т, ж | 416,2 | 421,6 | 421,4 | 420,4 | 417,8 | 578,2 | 569,8 | 561,4 | 553,1 | 544,7 | | |
| Na ₂ O ₂ | т, ж | 511,2 | 516,2 | 514,1 | 485,7 | — | — | — | — | — | — | — | |
| Na ₂ O ₂ | т, т | 260,0 | 259,6 | 255,4 | 251,2 | 247,0 | — | — | — | — | — | — | |
| MgO | т | 601,7 | 601,7 | 601,7 | 610,5 | 610,5 | 609,6 | 740,5 | 737,7 | 735,1 | 732,9 | | |
| Al ₂ O | т | 140,3 | 144,4 | 148,6 | 154,9 | 180,0 | 184,2 | 188,4 | 192,6 | 196,8 | — | | |
| AlO | т | 41,9 | 39,8 | 37,7 | 35,6 | 23,0 | 20,9 | 18,8 | 16,7 | 14,7 | — | | |
| Al ₂ O ₃ ¹ | т | 1676,0 | 1676,5 | 1675,6 | 1673,5 | 1693,2 | 1690,0 | 1686,0 | 1683,0 | 1680,0 | — | | |
| SiO ₂ ² | т | 878,8 | 878,8 | 878,0 | 876,3 | 872,8 | 871,1 | 869,6 | 868,0 | 866,7 | 866,7 | 910,7 | |
| SiO ₂ ³ | т | 877,2 | 877,2 | 875,3 | 873,6 | 871,5 | 870,0 | 868,4 | 866,7 | 911,7 | 911,7 | | |
| SiO ₂ ⁴ | т | 876,8 | 876,5 | 875,5 | 873,8 | 872,2 | 870,3 | 868,6 | 866,9 | 866,9 | 911,9 | — | |

| | | | | | | | | | | |
|---------------------------|--------------------|--------|--------|--------|--------|--------|--------|--------|--------|--------|
| SiO_2^5 | Γ | 847,9 | 847,9 | 846,4 | 844,5 | 842,4 | 840,3 | 837,6 | 880,7 | 877,6 |
| PO | Γ | 39,8 | 41,9 | 54,4 | 56,5 | 58,6 | 58,6 | — | — | — |
| P_4O_{10} | Γ, Γ | 3014,0 | 3019,1 | 3059,3 | 2971,4 | 2960,5 | 2948,8 | 2939,1 | — | — |
| K_2O | $\Gamma, \text{Ж}$ | 420,6 | 366,8 | 367,2 | 367,6 | 368,0 | 522,1 | 516,2 | — | — |
| K_2O_2 | $\Gamma, \text{Ж}$ | 494,0 | 498,2 | 496,1 | 468,9 | 460,5 | 609,2 | 598,7 | — | — |
| K_2O_3 | $\Gamma, \text{Ж}$ | 523,3 | 525,4 | 521,3 | 483,6 | 475,2 | — | — | — | — |
| KO_2 | $\Gamma, \text{Ж}$ | 283,0 | 283,4 | 279,7 | 257,5 | 250,8 | — | — | — | — |
| KO_3 | $\Gamma, \text{Ж}$ | 259,6 | 259,6 | — | — | — | — | — | — | — |
| CaO | Γ | 635,5 | 635,2 | 634,5 | 634,3 | 633,9 | 642,3 | 641,4 | — | — |
| CaO_2 | Γ | 655,2 | 653,1 | — | — | — | — | — | — | — |
| Sc_2O_3 | Γ | 1720,8 | 1720,8 | 1722,9 | 1722,9 | 1722,9 | 1720,8 | 1718,7 | 1751,1 | 1748,0 |
| TiO | Γ | 518,8 | 518,4 | 517,1 | 515,8 | 514,4 | 516,2 | 509,6 | 505,6 | 501,4 |
| Ti_2O_3 | Γ | 1519 | 1518 | 1511 | 1505 | 1499 | 1500 | 1494 | 1487 | 1480 |
| Ti_3O_6 | Γ | 2458 | 2454 | 2437 | 2432 | 2429 | 2433 | 2426 | — | — |
| TiO^6 | Γ | 944,6 | 943,7 | 942,1 | 940,2 | 938,7 | 941,2 | 939,4 | 937,2 | 935,2 |
| VO | Γ | 410,0 | 409,0 | 407,8 | 405,5 | 403,0 | 400,0 | 397,6 | 395,0 | — |
| V_2O_3 | Γ | 1239 | 1238 | 1233 | 1228 | 1223 | 1218 | 1212 | 1207 | 1201 |
| V_2O_4 | Γ | 1432 | 1421 | 1416 | 1410 | 1404 | 1397 | 1390 | 1387 | 1384 |
| V_2O_5 | $\Gamma, \text{Ж}$ | 1560 | 1557 | 1551 | 1545 | 1473 | 1464 | 1457 | — | — |
| Cr_2O_3 | Γ | 1142,0 | 1142,0 | 1136,0 | 1134,0 | 1132,0 | 1131,0 | 1130,1 | 1130,5 | 1131,5 |
| Cr_2O_2 | Γ | 596,6 | 596,6 | 596,5 | — | — | — | — | — | — |
| CrO_3 | $\Gamma, \text{Ж}$ | 586,2 | 582,0 | 556,8 | — | — | — | — | — | — |
| MnO | Γ | 385,4 | 385,2 | 384,9 | 384,2 | 384,4 | 386,2 | 389,0 | 406,3 | 407,8 |
| Mn_3O_4 | Γ | 1387 | 1387 | 1385 | 1382 | 1381,9 | 1387 | 1390 | 1418 | 1419 |
| Mn_2O_3 | Γ | 959,7 | 958,4 | 957,0 | 955,0 | 956,9 | 954,2 | 961,0 | — | — |
| MnO_2 | Γ | 521,0 | 520,9 | 520,0 | 518,6 | 517,3 | — | — | — | — |
| FeO | $\Gamma, \text{Ж}$ | 267,1 | 266,7 | 264,8 | 264,4 | 265,4 | 267,5 | 266,9 | 266,1 | 234,0 |
| Fe_3O_4 | Γ | 1121 | 1119 | 1111 | 1098 | 1092 | 1097 | 1093 | 1091 | 1092 |
| Fe_2O_3 | Γ | 824,0 | 822,3 | 817,3 | 811,4 | 806,4 | 808,9 | 806,0 | 803,5 | 236,0 |
| CoO | Γ | 240,0 | 239,0 | 236,8 | 235,5 | 235,0 | 236,0 | 236,0 | 236,0 | 249,8 |

| | 1 | 2 | 3 | 4 | 5 | 6 | 7 | 8 | 9 | 10 | 11 | 12 |
|------------------------------|---------|--------|--------|--------|--------|--------|--------|--------|--------|--------|--------|-------|
| Co_3O_4 | | | | | | | | | | | | |
| NiO | T | 866,7 | 867,1 | 865,8 | 864,2 | 859,8 | — | 233,0 | 232,2 | 248,7 | — | — |
| Cu_2O | T | 239,9 | 239,3 | 237,2 | 236,1 | 235,1 | — | 184,6 | 123,9 | — | — | — |
| CuO | T | 170,8 | 170,2 | 168,7 | 167,1 | 165,4 | 162,4 | 157,8 | 154,5 | — | — | — |
| ZnO | T | 157,0 | 156,4 | 155,0 | 152,8 | 150,7 | 147,8 | 464,0 | 461,0 | — | — | — |
| $\text{As}_2\text{O}_3^{*7}$ | T, Ж, Г | 348,5 | 348,3 | 347,2 | 354,0 | 353,2 | 467,5 | — | — | — | — | — |
| $\text{As}_2\text{O}_3^{*8}$ | T, Ж, Г | 657,3 | 656,3 | 614,8 | 578,0 | 644,8 | 645,0 | 645,6 | 646,4 | 647,5 | 648,7 | — |
| As_2O_4 | T, Ж, Г | 640,2 | 638,9 | 614,6 | 578,2 | 644,8 | 645,2 | 645,6 | 646,4 | 647,3 | 649,0 | — |
| As_2O_5 | T, Ж, Г | 734,8 | 734,8 | 730,6 | 722,2 | 772,5 | 749,4 | 722,2 | — | — | — | — |
| SrO | T, Ж, Г | 914,8 | 914,8 | 916,8 | 914,8 | 973,4 | 965,1 | 952,5 | 940,0 | 923,2 | 904,3 | — |
| SrO_2 | T, Ж, Г | 590,4 | 590,0 | 588,7 | 587,8 | 587,4 | 592,0 | — | — | — | — | — |
| Y_2O_3 | T, Ж, Г | 631,4 | 629,3 | 627,2 | 623,0 | 618,8 | — | — | — | — | — | — |
| ZrO_2 | T, Ж, Г | 1907 | 1907 | 1905 | 1903 | 1901 | 1899 | 1895 | 1884 | 1884 | 1922 | — |
| NbO_2 | T, Ж, Г | 1095 | 1094 | 1093 | 1092 | 1090 | 1089 | 1081 | 1080 | — | — | — |
| Nb_2O_5 | T, Ж, Г | 1905,0 | 1903,2 | 1898,0 | 1892,0 | 1887,0 | 1879,0 | 1872,4 | 1866,0 | 1755,0 | 1738,0 | — |
| MoO_2 | T, Ж, Г | 548,5 | 546,4 | 546,4 | 544,3 | 542,2 | 542,2 | 540,1 | 538,0 | 538,0 | 535,9 | 513,3 |
| MoO_3 | T, Ж, Г | 755,0 | 753,8 | 750,3 | 745,9 | 740,4 | 682,2 | 675,5 | — | — | — | — |
| Ag_2O | T, Ж, Г | 30,1 | 29,3 | 25,5 | — | — | — | — | — | — | — | — |
| Ag_2O_2 | T, Ж, Г | 256,2 | 255,8 | 261,7 | 261,3 | 261,3 | — | — | — | — | — | — |
| CdO | T, Ж, Г | 286,2 | 285,7 | 292,4 | 291,8 | 289,9 | 288,3 | — | — | — | — | — |
| SnO | T, Ж, Г | 581,2 | 580,7 | 586,6 | 584,1 | 581,2 | 577,4 | 572,8 | — | — | — | — |
| SnO_2 | T, Ж, Г | 705,5 | 704,6 | 701,7 | 696,7 | 672,0 | 661,5 | 651,0 | 641,0 | 990,6 | 993,1 | — |
| $\text{Sb}_2\text{O}_3^{*7}$ | T, Ж, Г | 711,3 | 710,5 | 707,6 | 702,5 | 672,0 | 661,5 | 651,0 | 641,0 | 990,6 | 993,1 | — |
| $\text{Sb}_2\text{O}_3^{*9}$ | T | 875,0 | 875,0 | 870,9 | 866,7 | 902,3 | 893,9 | — | — | — | — | — |

| | | | | | | | | | | |
|-------------------------|---------|--------|--------|--------|--------|--------|--------|--------|--------|--------|
| Sb_2O_5 | T | 958,8 | 557,7 | 555,6 | 553,5 | 563,6 | 559,0 | 556,9 | 554,8 | 699,2 |
| BaO | T | 558,5 | 636,4 | 632,2 | 630,1 | 636,4 | 634,3 | 630,1 | — | — |
| BaO_2 | T, Ж | 636,4 | 1794,0 | 1791,0 | 1788,0 | 1784,0 | 1801,0 | — | — | — |
| La_2O_3 | T | 1794,0 | 1821,0 | 1819,0 | 1817,0 | 1815,0 | 1834,0 | 1832,0 | 1830,0 | 1093,0 |
| Ce_2O_3 | T | 1821,0 | 1089,0 | 1088,0 | 1087,0 | 1087,0 | — | — | — | — |
| CeO_2 | T | 1089,0 | 1830 | 1828 | 1826 | 1823 | 1821 | 1844 | 1842 | 1840 |
| Pr_2O_3 | T | 1830 | 965,1 | 963,0 | 965,1 | 965,1 | 967,2 | — | — | 1838 |
| PrO_2 | T | 965,1 | 1809,4 | 1808,8 | 1806,7 | 1804,6 | 1829,3 | — | — | — |
| Nd_2O_3 | T | 1809,4 | 1817,0 | 1817,0 | 1815,0 | 1813,0 | 1781,0 | 1779,0 | 1777,0 | 1834,0 |
| Sm_2O_3 | T | 1817,0 | 1114 | 1113 | 1111 | 1108 | 1105 | 1102 | 1098 | 1090 |
| HfO_2 | T | 1114 | 2047 | 2045 | 2039 | 2032 | 2025 | 2016 | 2008 | 1082,5 |
| Ta_2O_5 | T | 2047 | 573,6 | 573,2 | 572,8 | 572,3 | 571,9 | 571,5 | 570,7 | — |
| WO_2 | T, Ж | 573,6 | 840,9 | 828,4 | 815,2 | 797,2 | 777,3 | 757,2 | 736,0 | — |
| WO_3 | T, Ж | 840,9 | 615,5 | 613,4 | 579,9 | 569,4 | 556,8 | — | — | — |
| ReO_3 | T, Ж | 615,5 | 1243,5 | 1237,2 | 1157,7 | 1078,1 | 1080,2 | 1082,3 | 1082,3 | — |
| Re_2O_7 | T, Ж, Г | 1243,5 | 1291,6 | 1283,3 | 1237,2 | — | — | — | — | — |
| Re_2O_8 | T, Ж, Г | 1291,6 | 3349 | 1465 | — | — | — | — | — | — |
| Au_2O_3 | T, Г | 3349 | 91,3 | 90,0 | 87,9 | 87,9 | 201,0 | 196,8 | — | — |
| Hg_2O | T, Г | 90,77 | 90,2 | 88,3 | 143,8 | 143,8 | 139,0 | 133,6 | 127,1 | — |
| HgO | T, Г | 218,0 | 217,5 | 216,0 | 218,8 | 218,8 | 215,4 | 199,7 | 195,7 | 191,5 |
| PbO^{*10} | T, Ж | 218,0 | 218,6 | 217,3 | — | — | — | — | — | — |
| PbO^{*11} | T | 219,4 | 219,4 | 218,6 | 217,3 | 217,3 | — | — | — | — |
| Pb_3O_4 | T | 219,4 | 734,8 | 734,8 | 730,6 | 739,0 | 724,3 | — | — | — |
| PbO_2 | T, Ж | 276,7 | 275,9 | 274,2 | 274,2 | 276,3 | 272,1 | — | — | — |
| BiO | T, Ж | 208,7 | 207,2 | 207,2 | 215,6 | 215,6 | 213,5 | 211,4 | 209,3 | 207,2 |
| Bi_2O_3 | T, Ж | 577,4 | 575,9 | 594,5 | 591,6 | 587,4 | 550,6 | 540,1 | 529,6 | — |
| ThO_2 | T | 1228,0 | 1085 | 1084 | 1082 | 1079 | 1081 | 1224,7 | 1223,6 | 1223,2 |
| UO_2 | T | 3574 | 3570 | 3562 | 3556 | 3560 | 3567 | 3559 | 3559 | — |
| U_3O_8 | T | 1221 | 1217 | 1215 | 1215 | — | — | — | — | — |

*1 Глиноzem, *2 Кварц, *3 Кристобалит. *4 Тридимит, *5 Кварцевое стекло. *6 Рутил. *7 Ромбический. *8 Моноклинный.

3. ТЕМПЕРАТУРНАЯ ЗАВИСИМОСТЬ ЭНТАЛЬПИИ (ТЕПЛОСОДЕРЖАНИЯ) $H_T - H_{298,15}$, кДж/кмоль
 [27; 53; 56; 95; 141; 163; 164; 189; 194; 632; 633]

| Оксид | Со- стои- ние | Температура, К | | | | | | | | | |
|-------------------------------|---------------------|--|--------|--------|--------|---------|---------|---------|---------|---|----|
| | | 400 | 600 | 800 | 1000 | 1200 | 1400 | 1600 | 1800 | 9 | 10 |
| 1 | 2 | 3 | 4 | 5 | 6 | 7 | 8 | 9 | 10 | 9 | 10 |
| H_2O^{*1} | Г | 47 500 | 54 540 | 62 050 | 70 070 | 78 570 | 87 570 | 96 460 | 106 050 | — | — |
| $\text{H}_2\text{O}_2^{*2}$ | Г | 8 918 | 65 680 | 77 180 | 89 600 | 102 580 | 116 670 | — | — | — | — |
| Li_2O | Т | 30 580 | 44 460 | 59 950 | 76 690 | 94 550 | 113 240 | — | — | — | — |
| *3 | Т | $H_T - H_{298,15} = 117,216 T + 13,339 \cdot 10^{-3} T^2 + 76,598 \cdot 10^6 / T - 15352$ для 980—1700 К | | | | | | | | | |
| *3 | Ж | $H_T - H_{298,15} = 116,404 T - 33755$ для 1700—2015 К | | | | | | | | | |
| BeO^{*4} | Т | $H_T - H_{298,15} = 39,627 T + 4,372 \cdot 10^{-3} T^2 - 14811$ для 1200—2820 К | | | | | | | | | |
| | Т | 3051 | 10 790 | 19 730 | 29 350 | 39 450 | — | — | — | — | — |
| | Т | $H_T - H_{298,15} = 57,062 T + 39,955 \cdot 10^{-3} T^2 - 34709$ для 2000—2828 К | | | | | | | | | |
| | Ж | $H_T - H_{298,15} = 89,953 T - 39096$ для 2828—3200 К | | | | | | | | | |
| $\text{B}_2\text{O}_3^{*5}$ | Т, Ж | 6866 | 24 535 | 70 380 | 95 920 | 121 450 | 146 900 | 172 550 | 185 320 | — | — |
| *6 | Ж | $H_T - H_{298,15} = 127,779 T - 49873$ для 1000—2200 К | | | | | | | | | |
| CO*7 | Г | 2970 | 8 950 | 15 150 | 21 710 | 28 470 | 35 040 | 41 950 | 49 000 | — | — |
| CO ₂ *8 | Г | 4010 | 12 900 | 22 850 | 33 460 | 44 590 | 56 020 | 66 360 | 78 250 | — | — |
| N ₂ O*9 | Г | 4140 | 13 290 | 23 380 | 34 100 | 45 280 | 56 750 | 68 430 | 80 260 | — | — |
| NO*10, *11 | Г | 3040 | 9 160 | 15 570 | 22 220 | 29 000 | 35 880 | 42 920 | 50 070 | — | — |
| NO ₂ *12 | Г | 4020 | 12 790 | 22 480 | 32 780 | 43 440 | 54 320 | 65 420 | 76 620 | — | — |
| N ₂ O ₄ | Г | 8620 | 40 780 | 50 160 | 73 520 | — | — | — | — | — | — |

| | | | | | | | | | |
|------------------------------------|-------------|--|---------------------|----------------------|----------------------|----------------------|----------------------|----------------------|----------------------|
| $\text{Na}_2\text{O}^{*13}$ | T, K | 7 330 (10 890) | 23 030 (29 730) | 39 150 (76 620) | 56 520 (59 030) | (104 870) — | (125 190) — | (145 280) — | (165 800) — |
| Na_2O_2 | T, K | (9 210) | (25 540) | (42 290) | 31 740 | — | — | — | — |
| MgO^{*14} | T | 4 040 | 12 640 | 21 880 | 42 080 | 52 630 | 63 180 | 63 180 | 73 730 |
| *4 | T | $H_T - H_{298.15} = 44,267 T + 3,473 \cdot 10^{-3} T^2 + 0,628 \cdot 10^6 / T - 16502$ для 1000—2500 K | | | | | | | |
| Al_2O | Γ | (2340) (1930) | (12 060) (8 370) | (20 980) (15 490) | (32 970) (23 240) | (43 880) (30 350) | (54 930) (37 680) | (66 070) (45 000) | (77 330) (52 340) |
| AlO | Γ | 9211 | 30 230 | 53 760 | 78 340 | 103 600 | 129 200 | 154 900 | 180 800 |
| $\text{Al}_2\text{O}_3^{*15, *18}$ | T | $H_T - H_{298.15} = 126,913 T + 3,516 \cdot 10^{-3} T^2 + 11,782 \cdot 10^6 / T - 63932$ для 1100—2322 K | | | | | | | |
| *16 | K | $H_T - H_{298.15} = 144,963 T + 37 028$ для 2322—2500 K | | | | | | | |
| *16 | T | $H_T - H_{298.15} = 41,730 T + 2,6268 \cdot 10^{-2} T^2 + 19615$ для 2000—2323 K | | | | | | | |
| *17 | K | $H_T - H_{298.15} = 199,346 T - 12,389 \cdot 10^{-4} T^3 - 90502$ для 2323—3100 K | | | | | | | |
| *17 | K | $H_T - H_{298.15} = 199,346 T - 12,389 \cdot 10^{-4} T^3 - 90502$ для 2323—3100 K | | | | | | | |
| SiO_2^{*19} | T | 5 024 | 16 920 | 30 650 | 45 720 | 59 660 | 73 906 | 88 350 | 103 100 |
| *20 | T | 5 070 | 18 050 | 31 200 | 44 930 | 58 950 | 73 310 | 87 880 | 102 700 |
| *21 | T | 5 320 | 17 500 | 30 600 | 44 340 | 58 370 | 72 730 | 87 300 | 102 100 |
| *22 | T | 5 150 | 16 540 | 29 270 | 43 040 | 57 360 | 72 180 | 87 840 | 104 300 |
| PO | Γ | (2 510) | (10 260) | (15 280) | (22 820) | (29 300) | (35 800) | — | — |
| P_4O_{10} | T, Γ | 23 240 | 82 480 | 218 970 | 280 720 | 342 270 | 403 820 | — | — |
| K_2O | T, K | (7 540) | (22 610) | (37 470) | (52 340) | (71 180) | (88 970) | — | — |
| K_2O_2 | T, K | (9 840) | (30 560) | (76 200) | (103 620) | (131 260) | (157 000) | — | — |
| K_2O_3 | T, K | (13 610) | (39 400) | (98 810) | (129 580) | — | — | — | — |
| KO_2 | T, K | (8 160) | (24 280) | (59 030) | (78 500) | — | — | — | — |
| KO_3 | T, K | (10 050) | — | — | — | — | — | — | — |
| CaO | T | 4 606 | 14 240 | 24 370 | 34 630 | 45 220 | 56 230 | 56 230 | — |
| CaO_2 | T | (7 850) | — | — | — | — | — | — | — |
| $\text{Sc}_2\text{O}_3^{*23}$ | T | (9 630) | (29 520) | (50 240) | (71 600) | (93 370) | (115 560) | (139 000) | (195 100) |

| | 1 | 2 | 3 | 4 | 1 | 5 | 6 | 7 | 8 | 9 | 10 |
|---|--|---|--|------------------|--------------------|--------------------|--------------------|-------------------|-------------------|---|----|
| TiO Ti ₂ O ₃ | T T | 4 522 10 930 | 14 280 38 270 | 24 704 66 700 | 36 010 95 210 | 48 110 124 800 | 64 600 154 700 | 78 300 185 000 | 92 490 215 600 | | |
| Ti ₃ O ₅ ^{*24} | T | $H_T - H_{298,15} = 153,643 T + 27,283 \cdot 10^{-3} T^2 - 34102$ для 500—2040 К $H_T - H_{298,15} = 163,550 T + 11,535 \cdot 10^{-3} T^2 + 7,893 \cdot 10^4/T - 74434$ для 500—2080 К | | | | | | | | | |
| Ti ₄ O ₇ ^{*25} | T | 19 510 67 910 | 107 000 | 146 700 | 190 600 | 233 700 | — | — | — | — | |
| TiO ₂ ^{*26} **27 | T T | 6 448 19 820 | 34 160 | 48 780 | 63 640 | 78 800 | 94 370 | 110 300 | | | |
| VO V ₂ O ₃ | T T | 4 860 11 390 | 15 240 36 010 | 26 290 62 260 | 38 100 89 480 | 50 500 117 100 | 63 500 146 300 | 76 900 177 900 | 210 800 | | |
| V ₂ O ₅ ^{*25} | T | $H_T - H_{298,15} = 109,205 T + 10,539 \cdot 10^{-3} T^2 + 0,291 \cdot 10^4/T - 34470$ для 500—2200 К | | | | | | | | | |
| V ₂ O ₅ ^{*27} | T, Ж | 22 060 15 280 | 50 240 47 270 | 80 520 81 180 | 112 300 182 500 | 145 200 220 600 | 178 400 258 800 | 211 900 — | 246 400 — | | |
| | $H_T - H_{298,15} = 122,993 T + 30,924 \cdot 10^{-3} T^2 + 0,632 \cdot 10^6/T - 41540$ для 500—952 К | | | | | | | | | | |
| Cr ₂ O ₃ CrO ₂ CrO ₃ MnO Mn ₃ O ₄ Mn ₂ O ₃ | T T T, Ж T T T | 11 470 (5 440) (11 300) 4 730 15 620 21 860 | 35 090 (17 580) (51 500) 14 530 48 500 46 000 | 59 600 — — | 84 740 — — | 110 700 — — | 136 800 — — | 163 000 — — | 189 200 — — | | |

| | | | | | | | | | |
|---|---------|--|----------|-----------|-----------|-----------|-----------|-----------|-----------|
| MnO ₂ | T | 6 070 | 19 640 | 34 300 | (49 600) | — | — | — | — |
| FeO | T | 5 070 | 15 490 | 26 290 | 37 350 | 60 800 | 73 150 | 117 800 | 117 800 |
| Fe ₃ O ₄ | T | 16 710 | 54 680 | 101 600 | 148 000 | 188 200 | 228 400 | 268 600 | 308 800 |
| Fe ₂ O ₃ | T | 11 510 | 37 720 | 67 540 | 100 600 | 129 200 | 157 600 | 186 500 | 200 000 |
| CoO | T | 5 400 | 16 160 | 27 100 | 38 200 | 49 490 | 61 300 | 73 000 | 86 900 |
| Co ₃ O ₄ | T | 13 690 | 44 630 | 78 800 | 118 280 | — | — | — | — |
| NiO | T | 4 878 | 16 500 | 27 220 | 37 980 | 48 990 | 60 500 | 72 440 | 84 830 |
| Cu ₂ O | T | 7 200 | 22 110 | 37 900 | 54 500 | 72 500 | (92 200) | (169 200) | — |
| CuO | T | 4 650 | 14 490 | 25 120 | 36 340 | 48 570 | (61 300) | (78 720) | — |
| ZnO | T | 4 480 | 14 020 | 24 030 | 34 400 | 45 200 | 56 300 | 67 700 | — |
| Ga ₂ O ₃ *28, *29 | T | 10 161 | 32 640 | 56 857 | 82 187 | 108 480 | 135 610 | 163 580 | — |
| GeO ₂ *31 | T | 5 765 | 18 635 | 32 644 | 47 478 | 63 011 | 75 111*30 | — | — |
| *31 | | $H_T - H_{298,15} = 62,26 T + 7,49 \cdot 10^{-3} T^2 + 12,98 \cdot 10^5 / T - 23580$ для 298,15—1316,0 K | | | | | | | |
| *32 | T | 5 727 | 18 862 | 33 122 | 48 023 | 63 388 | 67 282*33 | — | — |
| *32 | | $H_T - H_{298,15} = 70,13 T + 3,77 \cdot 10^{-3} T^2 + 19,72 \cdot 10^5 / T - 27859$ для 298,15—1251,8 K | | | | | | | |
| As ₂ O ₃ , *35 | T, Ж, Г | (10 680) | (72 170) | (130 210) | (159 940) | (173 750) | (187 150) | (200 970) | (215 200) |
| As ₂ O ₃ , *37 | T, Ж, Г | (10 890) | (55 270) | (112 620) | (142 770) | (156 170) | (169 980) | (183 800) | (197 620) |
| As ₂ O ₄ | T, Ж, Г | (11 300) | (38 520) | (71 180) | (109 700) | (146 540) | (187 980) | — | — |
| As ₂ O ₅ *38 | T, Ж, Г | (12 560) | (41 030) | (66 570) | (111 370) | (140 260) | (174 590) | (208 500) | (247 860) |
| SrO | T | 4 786 | 14 930 | 25 560 | 36 490 | 47 650 | — | — | — |
| SrO ₂ | T | (7 950) | (21 980) | (39 150) | (58 620) | — | — | — | — |
| Y ₂ O ₃ *39, *40 | T | (9 714) | (29 440) | (52 170) | (74 530) | (99 230) | (123 800) | (150 900) | (192 600) |
| ZrO ₂ | T | 6 180 | 19 640 | 34 000 | 49 110 | 64 560 | 80 180 | 101 360 | 116 260 |
| NbO ₂ *41 | T | (6 280) | (19 680) | (33 500) | (43 130) | (61 550) | (76 200) | (90 800) | (105 900) |

| | 1 | 2 | 3 | 4 | 5 | 6 | 7 | 8 | 9 | 10 |
|---|---------|----------|----------|----------|-----------|-----------|-------------|-------------|-----------|----|
| Nb ₂ O ₅ ^{*42} | T, Ж | 14 650 | 45 550 | 78 300 | 112 200 | 147 600 | 183 800 | 220 700 | 361 900 | |
| MoO ₂ ^{*43} | T | (16 750) | (33 080) | (51 920) | (70 760) | (89 180) | (112 210) | (136 070) | (159 520) | |
| MoO ₃ ^{*44} | T, Ж, Г | 8 250 | 26 250 | 45 890 | 69 290 | (141 390) | (164 580) | — | — | |
| Ag ₂ O ^{*45} | T, Ж | (7 540) | (22 610) | (38 520) | (54 850) | — | — | — | — | |
| CdO | T | (4 606) | (13 610) | (22 820) | (32 660) | — | (59 250)*46 | — | — | |
| SnO | T | 4 730 | 14 490 | 24 830 | 35 920 | 47 190 | — | — | — | |
| SnO ₂ | T | 6 320 | 20 010 | 35 130 | 51 120 | 67 870 | 85 160 | — | — | |
| Sb ₂ O ₃ ^{*34} | T, Ж, Г | (9 300) | (32 660) | (59 700) | (146 620) | (179 780) | (213 320) | (246 770) | — | |
| Sb ₂ O ₃ ^{*47} | T, Ж, Г | (9 300) | (32 660) | (59 700) | (152 480) | (185 650) | (219 180) | (252 630) | — | |
| Sb ₂ O ₄ | T | (11 300) | (38 520) | (66 990) | (97 130) | (131 470) | — | — | — | |
| Sb ₂ O ₆ | T | (12 770) | (45 220) | — | — | — | — | — | — | |
| BaO | T | 5 020 | 15 500 | 26 380 | 37 500 | — | — | (66 570)*46 | (96 900) | |
| BaO ₂ | T, Ж | (5 440) | (21 350) | (35 590) | (49 820) | — | — | (92 110)*46 | — | |

| | | | | | | | | | | |
|----------|---|----------|---|-----------|-----------|-----------|-----------|-----------|--------------|-----------|
| 4 | La₂O₃ | T | 11 180 | 34 630 | 59 330 | 87 380 | (113 300) | - | - | - |
| | Ce ₂ O ₃ | T | (10 050) | (33 910) | (60 290) | (89 180) | - | - | - | - |
| | CeO ₂ ^{*48} | T | 6 780 | 20 390 | 34 420 | 48 900 | - | - | 86 800*46 | - |
| | Nd ₂ O ₃ | T | 12 980 | 38 310 | 65 320 | 93 370 | 122 680 | - | - | - |
| | EuO | T | $H_T - H_{298.15} = 52,50 T + 4,35 \cdot 10^{-3} T^2 - 16035$ | | | | | | | |
| | Dy ₂ O ₃ ^{*49} | T | 12 272 | 37 736 | 64 142 | 91 105 | 118 654 | 146 622 | 175 008 | - |
| | HfO ₂ ^{*50} | T | 6 490 | 20 520 | 35 800 | 51 710 | 68 040 | 84 580 | 101 500 | 118 900 |
| | Ta ₂ O ₆ | T | 14 360 | 45 850 | 80 093 | 115 700 | 152 400 | 190 000 | 228 700 | - |
| | WO ₃ | T | (6 030) | (17 750) | (30 020) | (42 710) | (55 310) | (68 870) | (75 780)*46 | - |
| | WO ₃ ^{*51} | T, K | (12 560) | (25 750) | (43 750) | (63 640) | (83 740) | (104 880) | (127 280) | (201 390) |
| | ReO ₃ | T, K, r | (9 210) | (57 360) | (83 320) | (111 790) | - | - | - | - |
| | Re ₂ O ₇ | T, K, r | (22 190) | (133 980) | (247 860) | (280 930) | (315 270) | (351 270) | (371 790)*46 | - |
| | Re ₂ O ₈ | T, K, r | (25 540) | (107 180) | - | - | - | - | - | - |

| | 1 | 2 | 3 | 4 | 5 | 6 | 7 | 8 | 9 | 10 |
|-------------------------|------------------|----------|----------|----------|-----------|----------|----------|-------------|---------|----|
| Au_2O_3 | T | (11 720) | — | — | — | — | — | — | — | — |
| Hg_2O | τ, Γ | (8 370) | (24 700) | (40 820) | (56 730) | — | — | — | — | — |
| HgO | τ, Γ | (4 810) | (15 320) | (26 170) | (38 520) | (51 500) | (65 650) | (73 230)*46 | — | — |
| PbO^{*52} | $\tau, \text{Ж}$ | 4 810 | 15 070 | 26 420 | 38 770 | (63 640) | (77 250) | (90 640) | — | — |
| PbO^{*53} | T | 5 110 | 15 660 | — | — | — | — | — | — | — |
| Pb_3O_4 | T | (14 190) | (48 020) | (85 290) | (130 540) | — | — | — | — | — |
| PbO_2 | $\tau, \text{Ж}$ | (7 690) | (20 200) | (35 550) | (52 170) | — | — | — | — | — |
| BiO | $\tau, \text{Ж}$ | (5 866) | (17 170) | (26 800) | (38 520) | (50 240) | (62 800) | (72 850) | — | — |
| Bi_2O_3 | $\tau, \text{Ж}$ | 11 600 | 35 800 | 61 210 | (87 920) | — | — | — | — | — |
| ThO_2 | T | 6 699 | 20 470 | 35 130 | 50 450 | 66 410 | 82 740 | 99 400 | 116 270 | — |
| UO_2 | T | 7 030 | 22 400 | 38 700 | 55 600 | 72 940 | 90 520 | — | — | — |

| | | | | | | | | | | |
|------------------------|--|----------|----------|-----------|-----------|-----------|-----------|---|---|---|
| U_3O_8 | T | (24 540) | (76 750) | (132 900) | (190 100) | (248 000) | (307 500) | - | - | - |
| $H_T - H_{273,15}$ | = 331,797547 — 338,33828 · 10 ⁻⁴ $T^2 + 65,31316 \cdot 10^5 / T - 111,98007 \cdot 10^3$ для 273—480 K | | | | | | | | | |
| $H_T - H_{273,15}$ | = 238,37956 $T + 217,56463 \cdot 10^{-4} T^2 - 397,93679 \cdot 10^4 / T - 57,78772 \cdot 10^3$ для 480—1000 K | | | | | | | | | |
| UO_3 | T | 8750 | 27 300 | 46 700 | - | - | - | - | - | - |

*¹ При 2000K 116860, при 2500K 143180. *² При 2000K (163890), при 2500K (209340). *³ В капсуле Pt—Rh. *⁴ В капсуле из Mo. *⁵ При 1700K. *⁶ В капсуле из Pt, Mo. *⁷ При 2000K 56810. *⁸ При 2000K 92240. *⁹ При 2000K 92240. *¹⁰ При 2000K 92240. *¹¹ Для N_{2}O_3 при 400K (7540). *¹² При 500K (15070). *¹³ При 2000K 87800. *¹⁴ При 2000K 185940. *¹⁵ Глинозем. *¹⁶ Al_2O_3 99,98% в капсule из Mo. *¹⁷ Монокристалл сапфира 99,98% чистоты. *¹⁸ [19]: $H_1 - H_0$ для синтетического сапфира при 17K 0,218; при 25K 1,063; при 50K 17,34; при 75K 98,82; при 100K 325,4; при 150K 1431; при 200K 3524; при 250K 6489; при 298K 10031; $H_T - H_{273,15}$ для расплава синтетического корунда (образец 99,8—99,9% Al_2O_3 , в ампулах из Mo, в атмосфере чистого аргона при давлении 10⁵ Па) при 2350K 15180, при 2400K 15590, при 2500K 16410, при 2600K 17240, при 2700K 18050, при 2800K 18870. *¹⁹ Кварц. *²⁰ Кристобалит, при 2000K 111770. *²¹ Тридимит. *²² Кварцевое стекло, при 2000K 121500. *²³ при 2000K 220640. *²⁴ Измерения в аргоне при давлении 1333—2666 Pa, погрешность ±1%. *²⁵ В аргоне при 1333—2666 Pa. *²⁶ Рутил. *²⁷ В аргоне, ампулы Pt—Rh, W. *²⁸ [19] $H - H_0$ для монокристалла $\beta\text{-Ga}_2\text{O}_3$ чистоты 98,67%; при 16K 1,386; при 25K 8,268; при 50K 129,1; при 75K 513,8; при 100K 1189,4; при 150K 3357; при 200K 6452; при 250K 10250; при 298K 14520. *²⁹ $\beta\text{-Ga}_2\text{O}_3$, сложенные значения. *³⁰ При 2000K (228180). *³¹ Моноклинный. *³² Тетрагональный. *³³ При 2000K (211850). *³⁴ При 2000K (228180). *³⁵ При 2000K (21250K). *³⁶ Ромбический. *³⁷ При 2000K (228180). *³⁸ При 2000K (21250K). *³⁹ При 2000K (21250K). *⁴⁰ [19] $H_T - H_0$ при 16K 5,62; при 20K 11,71; при 40K 86,1; при 60K 321,4; при 80K 760,4; при 100K 1418; при 120K 2291; при 140K 3365; при 160K 4622; при 180K 6043; при 220K 9281; при 240K 11055; при 260K 12920; при 280K 12870; при 298,16K 16700. *⁴¹ При 2000K (122300). *⁴² При 2000K (411300). *⁴³ При 2000K (185890). *⁴⁴ При 2000K (380160). *⁴⁵ Ag_2O_3 (г, г) при 400K (8580). *⁴⁶ При 1500K. *⁴⁷ Кубический. *⁴⁸ При 2000K (127300). *⁴⁹ Сглаженные значения. *⁵⁰ При 2000K (136500). *⁵¹ При 2000K (135900). *⁵² Желтый. *⁵³ Красный.

4. СТАНДАРТНАЯ СВОБОДНАЯ ЭНЕРГИЯ ОБРАЗОВАНИЯ ОКИСЛОВ ($-\Delta F_{298,15}^0 \cdot 10^{-3}$, кДж/кмоль)
Температурная зависимость свободной энергии образования окислов ($-\Delta F_T \cdot 10^{-3}$ кДж/кмоль) [1, 19, 36, 75]

| Оксид | Состояние | Temperatura, K | | | | | | | | | | | |
|----------------------------------|-----------|-----------------|---------|---------|---------|---------|----------|----------|----------|---------|---------|---------|----|
| | | 298,15 | 400 | 600 | 800 | 1000 | 1200 | 1400 | 1600 | 1800 | 2000 | 11 | 12 |
| 1 | 2 | 3 | 4 | 5 | 6 | 7 | 8 | 9 | 10 | 11 | 12 | | |
| H ₂ O | ж, г | 237,48 | 223,37 | 213,11 | 202,22 | 191,76 | 179,6 | 167,5 | 156,38 | 144,0 | 132,5 | | |
| H ₂ O ₂ | ж, г | 228,75 | 94,6 | 73,7 | 51,5 | 28,9 | 6,7 | -15,1 | - | - | -82,1 | | |
| D ₂ O | ж | 117,65 | - | - | - | - | - | - | - | - | - | | |
| NDO | ж | 243,70 | - | - | - | - | - | - | - | - | - | | |
| Li ₂ O | ж | 234,74 | - | - | - | - | - | - | - | - | - | | |
| Li ₂ O ₂ | т | 242,52 | - | - | - | - | - | - | - | - | - | | |
| BeO*1 | т | 233,74 | - | - | - | - | - | - | - | - | - | | |
| BeO*2 | т | 560,82 | 523,77 | 496,97 | 469,13 | 441,71 | 414,7 | 388,95 | - | - | - | | |
| BeO*3 | т | 571,5± ±16,8 | - | - | - | - | - | - | - | - | - | | |
| BO | г | 569,9 | 559,8 | 539,3 | 520,6 | 501,4 | 482,6 | (465,4) | - | - | - | (406,1) | |
| B ₂ O ₃ *2 | т, ж | 48,57 | - | - | - | - | - | - | - | - | - | | |
| CO | т, ж | 1199,1 | 1171,9 | 1117,9 | 1067,2 | 1023,7 | 979,7 | (940,4) | - | - | - | | |
| CO ₂ | т, ж | 137,33 | 146,54 | 164,75 | 182,96 | 200,76 | 218,34 | (235,5) | (253,7) | 270,68 | 287,84 | | |
| N ₂ O | т, ж | 394,61 | 394,82 | 395,44 | 395,65 | 396,07 | 396,28 | 396,70 | 396,9 | 397,33 | 397,75 | | |
| NO | т, ж | -103,41 | -109,28 | -125,81 | -140,47 | -155,12 | -169,36 | -183,8 | -197,62 | -211,22 | -228,2 | | |
| N ₂ O ₃ | т, ж | -86,67 | -85,41 | -82,9 | -80,39 | -78,08 | -75,57 | -73,27 | -70,76 | -68,04 | -61,71 | | |
| NO ₂ | т, ж | -140,26 | - | - | - | - | - | - | - | - | - | | |
| NO ₂ ² | т, ж | -51,92 | -58,20 | -70,13 | -82,69 | -95,67 | -108,44 | -120,16 | -132,9 | -144,86 | -157,84 | | |
| N ₂ O ₄ | т, ж | -98,39 | -128,74 | -184,22 | -247,23 | -305,64 | - | - | - | - | - | | |
| O ₂ | т, ж | 0,000 | - | - | - | - | - | - | - | - | - | | |
| O ₃ | т, ж | -163,536 | - | - | - | - | - | - | - | - | - | | |
| F ₂ O | т, ж | -40,61 | - | - | - | - | - | - | - | - | - | | |
| Na ₂ O | т, ж | 376,6 | 362,58 | 333,27 | 303,12 | 275,07 | (243,67) | (188,82) | (134,81) | (82,06) | (30,14) | | |

| | | | | | | | | |
|------------------------------|------------|-----------|-----------|-----------|-----------|-----------|-----------|-----------|
| Na_2O_2 | (47, 99) | (381, 42) | (339, 97) | (123, 51) | — | — | — | — |
| NaO_2 | 218, 13 | (203, 06) | (175, 85) | (148, 63) | 494, 3 | 471, 5 | 404, 9 | 362, 5 |
| MgO | 569, 9 | 559, 0 | 537, 6 | 516, 3 | (259, 58) | (247, 02) | (284, 7) | (295, 17) |
| Al_2O | 177, 94 | (188, 41) | (211, 43) | (230, 27) | (52, 34) | (75, 36) | (62, 8) | (87, 92) |
| AlO | -16, 75 | (-6, 28) | (+8, 37) | (25, 12) | (39, 77) | (1164, 0) | (1164, 0) | (1102, 0) |
| $\text{Al}_2\text{O}_3^{*3}$ | 1583, 0 | 1550, 0 | 1425, 0 | 1362, 0 | 1295, 0 | (1230, 0) | — | — |
| SiO | 137, 201 | — | — | — | — | — | — | — |
| SiO^{*4} | 824, 4 | 805, 6 | 769, 4 | 734, 2 | 698, 0 | 663, 2 | (628, 4) | (557, 3) |
| SiO_2^{*5} | 823, 2 | 804, 5 | 768, 5 | 733, 1 | 697, 8 | 663, 4 | (628, 9) | (559, 2) |
| SiO_2^{*6} | 822, 7 | 804, 1 | 768, 3 | 732, 9 | 697, 8 | 663, 0 | (628, 0) | (557, 3) |
| SiO_2^{*7} | 795, 1 | 777, 1 | 741, 5 | 706, 3 | 671, 6 | 637, 3 | (602, 9) | (568, 6) |
| PO | (62, 8) | (71, 18) | (83, 74) | (92, 11) | (102, 58) | (110, 95) | (119, 32) | (533, 0) |
| P_4O_{10} | (2739, 8) | (2645, 2) | (2502, 9) | (2276, 4) | (2103, 0) | (1931, 4) | (1762, 2) | (494, 1) |
| SO | -53, 507 | — | — | — | — | — | — | — |
| SO_2 | 300, 570 | — | — | — | — | — | — | — |
| ClO_3 | 370, 615 | — | — | — | — | — | — | — |
| Cl_2O | -93, 78 | — | — | — | — | — | — | — |
| ClO_2 | -123, 51 | — | — | — | — | — | — | — |
| K_2O | (319, 5) | (304, 0) | (272, 6) | (241, 16) | (209, 34) | (155, 33) | (94, 62) | — |
| K_2O_2 | (427, 05) | (404, 03) | (357, 97) | (314, 0) | (276, 33) | (215, 62) | (152, 82) | — |
| K_2O_3 | 429, 15 | (397, 75) | (334, 94) | (276, 33) | (226, 09) | — | — | — |
| KO_2 | 237, 81 | (221, 9) | (192, 17) | (167, 47) | (145, 7) | — | — | — |
| KO_3 | (190, 5) | (165, 38) | — | — | — | — | — | — |
| CaO | 604, 4 | 593, 9 | 573, 4 | 552, 9 | 532, 6 | (512, 5) | (490, 5) | — |
| CaO_2 | (600, 8) | (584, 06) | — | — | — | — | — | — |
| Sc_2O_3 | (1628, 67) | (1595, 2) | (1532, 4) | (1469, 6) | (1406, 8) | (1339, 8) | (1214, 2) | (1151, 4) |
| TiO | 489, 5 | 475, 4 | 460, 6 | 441, 7 | 423, 3 | 387, 3 | 369, 9 | 354, 8 |
| Ti_2O_3 | 1440, 0 | 1403, 0 | 1348, 0 | 1295, 0 | 1247, 0 | 1191, 0 | 1140, 0 | 1044, 0 |
| $\text{Ti}_3\text{O}_5^{*8}$ | 2316, 0 | 2269, 0 | 2180, 0 | 2096, 0 | 2014, 0 | 1930, 0 | 1845, 0 | — |
| $\text{Ti}_4\text{O}_7^{*9}$ | 3370, 4 | — | — | — | — | — | — | — |
| TiO_2^{*9} | 889, 3 | 870, 5 | 834, 5 | 798, 7 | 763, 5 | 728, 1 | 692, 7 | 658, 4 |
| VO | 382, 7 | 373, 1 | 355, 5 | 338, 3 | 321, 6 | 290, 2 | 274, 7 | 625, 3 |

| 1 | 2 | 3 | 4 | 5 | 6 | 7 | 8 | 9 | 10 | 11 | 12 |
|-------------------|---------|---------|---------|---------|---------|---------|---------|---------|---------|---------|---------|
| V_2O_3 | T | 1160,0 | 1123,0 | 1081,0 | 1031,0 | 981,8 | 936,6 | 888,9 | 844,9 | 800,7 | - |
| V_2O_4 | T | 1323,0 | 1287,0 | 1220,0 | 1157,0 | 1094,0 | 1028,0 | 971,8 | 914,4 | 853,5 | - |
| V_2O_5 | T | 1429,0 | 1384,0 | 1300,0 | 1215,0 | 1136,0 | 1069,0 | 1004,0 | - | 674,0 | - |
| Cr_2O_3 | T | 1060,0 | 1035,0 | 980,0 | 928,3 | 877,0 | 826,0 | 775,0 | 723,5 | - | - |
| CrO_2 | T | (544,3) | (525,4) | (491,9) | - | - | - | - | - | - | - |
| CrO_3 | T | (506,6) | (479,4) | (433,3) | 326,6 | 312,0 | 297,3 | 282,4 | 266,0 | 249,0 | - |
| MnO | T | 363,0 | 355,7 | 341,4 | 326,6 | 312,0 | 297,3 | 282,4 | 266,0 | 249,0 | - |
| Mn_3O_4 | T | 1290,0 | 1245,0 | 1176,0 | 1105,0 | 1036,0 | 965,0 | 894,0 | 822,0 | 750,0 | - |
| Mn_2O_3 | T | 882,0 | 829,0 | 778,2 | 728,1 | 676,0 | 626,0 | (574,9) | - | - | - |
| MnO_2 | T | 466,0 | 447,6 | 411,0 | 375,4 | (339,8) | - | - | - | - | - |
| FeO | T, Ж | 245,6 | 238,6 | 224,2 | 211,4 | 198,2 | 184,0 | 170,6 | 156,6 | 145,5 | - |
| Fe_3O_4 | T | 1018,0 | 983,5 | 917,4 | 855,0 | 795,1 | 734,8 | 674,5 | 614,6 | 556,9 | - |
| Fe_2O_3 | T | 742,8 | 715,1 | 662,8 | 612,1 | 563,2 | 514,2 | 465,2 | 416,2 | - | - |
| CoO | T | 216,5 | 208,7 | 194,3 | 180,2 | 166,4 | 152,6 | 138,8 | 124,6 | 111,0 | - |
| Co_3O_4 | T | 763,25 | 727,7 | 658,2 | 589,3 | 521,9 | - | - | 345,8 | 4*10 | - |
| NiO^{*11} | T | 211,9 | 202,2 | 184,2 | 166,6 | 149,5 | 132,3 | 115,4 | 98,39 | 81,86 | - |
| Cu ₂ O | T, Ж | 148,4 | 140,9 | 126,6 | 112,8 | 99,4 | 86,5 | (73,3) | (57,4) | - | - |
| CuO | T | 129,2 | 119,75 | 101,7 | 84,4 | 67,2 | 50,9 | (35,6) | (18,0) | - | - |
| ZnO | T | 318,5 | 312,5 | 288,7 | 268,0 | 247,0 | (223,6) | (200,5) | (176,7) | - | - |
| GeO | Г | 118,07 | - | - | - | - | - | - | - | - | - |
| $As_2O_3^{*12}$ | T, Ж, Г | 576,5 | (549,1) | (500,3) | (466,8) | (430,0) | (387,1) | (344,2) | (301,0) | (257,7) | (214,4) |
| $As_2O_3^{*13}$ | T, Ж, Г | 569,4 | (545,5) | (500,3) | (466,8) | (430,0) | (387,3) | (344,2) | (301,0) | (257,9) | (214,4) |
| As_2O_4 | T, Ж, Г | 623,8 | (586,2) | (510,8) | (439,6) | (360,1) | (280,5) | (205,2) | - | - | - |
| As_2O_5 | T, Ж, Г | 772,5 | (724,3) | (628,0) | (531,7) | (429,1) | (320,3) | (213,5) | (108,9) | (6,3) | (-94,2) |
| Rb_2O_2 | T | 362,16± | - | - | - | - | - | - | - | - | - |
| $\pm 48,15$ | - | - | - | - | - | - | - | - | - | - | - |
| RbO ₂ | T | 262,10 | - | - | - | - | - | - | - | - | - |
| SrO | T | 560,4 | (550,4) | (530,7) | (511,9) | (491,6) | (466,0) | (471,5) | - | - | - |
| SrO ₂ | T | 579,0 | (562,3) | (528,8) | (497,4) | (466,0) | - | - | - | - | - |

| | | | | | | | | | |
|-------------------------------|----------------|----------|----------|----------|----------|-----------|----------|-------------|----------|
| Y_2O_3 | T | (1782,0) | (1723,0) | (1660,0) | (1600,0) | (1541,0) | (1480,0) | (1419,0) | (1361,0) |
| ZrO_2 | T | 1037,0 | 1018,0 | 941,6 | 904,4 | 318,2 | — | (794,3) | (757,6) |
| NbO | T | 368,44 | — | — | (652,0) | (617,0) | (582,0) | — | 238,65 |
| NbO_2 | T | (742,0) | (723,5) | 1638,0 | 1553,0 | 1469,0 | 1385,0 | (514,2) | (446,8) |
| Nb_2O_5 | T | 1771,0 | 1726,0 | — | — | 389,37 | — | 1144,0 | (1072,7) |
| MoO_2 | T | 502,42 | — | — | 553,7 | 506,2 | (458,5) | 318,2*10 | 251,2 |
| MoO_3 | T | — | (495,3) | (481,5) | (452,2) | (422,9) | — | (307,7) | (280,5) |
| RuO_2 | T | 678,39 | 651,05 | 602,5 | — | 50,24 | (422,9) | — | (376,8) |
| Ag_2O | T, K | 10,5 | (3,8) | (-8,58) | (-20,5) | (-32,2) | — | — | -83,74 |
| Ag_2O_2 | T, Γ | (-27,6) | (-45,6) | (216,5) | (185,9) | (164,1) | (136,9) | — | — |
| CdO | T | 226,5 | 247,1 | 226,9 | 205,6 | 183,8 | 162,4 | — | — |
| SnO | T | — | — | — | — | — | — | — | — |
| SnO_2 | T | 520,4 | 499,5 | 457,6 | 415,4 | 373,5 | 332,0 | 291,0 | — |
| $\text{Sb}_2\text{O}_3^{*12}$ | T, K, Γ | 624,3 | 596,6 | (543,0) | (491,1) | (440,5) | (395,2) | (351,7) | (168,7) |
| $\text{Sb}_2\text{O}_3^{*14}$ | T, K, Γ | 628,0 | (599,5) | (544,7) | (491,5) | (440,5) | (395,2) | (351,7) | (168,7) |
| Sb_2O_4 | T | (764,1) | (726,4) | (653,1) | (579,9) | (504,5) | (427,1) | — | — |
| Sb_2O_5 | T | (818,5) | (768,3) | (676,2) | — | — | — | — | — |
| TeO_2 | T, K, Γ | 269,6 | — | — | — | 132,3 | — | 39,36*10 | -30,56 |
| Cs_2O | T, K, Γ | 276,33 | — | — | — | 146,96 | — | 15,07*10 | -65,7 |
| Cs_2O_2 | T | 332,9± | — | — | — | — | — | — | — |
| CsO_2 | T | — | ±71,2 | — | — | — | — | — | — |
| BaO | T | 267,1 | 519,2 | 499,9 | 481,5 | 465,2 | (444,0) | (425,0) | (360,0) |
| BaO_2 | T, K | 528,8 | (567,3) | (531,7) | (500,3) | (466,8) | (433,3) | (399,8) | — |
| La_2O_3 | T | 584,1 | 1703,2 | — | — | 1548,7 | — | 1406,8*10 | — |
| Ce_2O_3 | T | 1723,0 | 1686,0 | 1646,0 | 1577,0 | 1507,0 | (1434,0) | 1369,0 | — |
| CeO_2 | T | 1030,0 | (1689,0) | (1622,0) | (1558,0) | (1493,0) | (1426,0) | (1359,0) | (1223,0) |
| Pr_2O_3 | T | 1766,0 | — | 970,8 | 931,4 | (892,7) | — | (793,4)*10 | (674,1) |
| PrO_2 | T | (1761,1) | (1733,0) | (1679,0) | (1627,0) | (1574,25) | — | (1340,2)*10 | 1184,45 |
| | | 910,6 | (690,8) | (854,1) | (818,5) | (782,9) | (1465,0) | (1356,0) | (1300,0) |

| 1 | 2 | 3 | 4 | 5 | 6 | 7 | 8 | 9 | 10 | 11 | 12 |
|--------------------------------|---------|----------|----------|------------------------|----------|----------|----------|----------|------------------------|----------|----------|
| Nd ₂ O ₃ | т | (1727,0) | (1695,7) | (1640,0) | (1585,2) | (1529,1) | (1474,9) | — | (1377,5) | (1321,0) | (1266,0) |
| Sm ₂ O ₃ | т | (1719,0) | (1692,0) | (1637,0) | (1585,0) | (1532,0) | (1480,0) | (1428,0) | 847,9 | 813,7 | (743,6) |
| HfO ₂ | т | 1054,0 | 1034,0 | 994,6 | 957,4 | 919,9 | 884,3 | 847,9 | 1364,0 | 1364,0 | — |
| Ta ₂ O ₅ | т | 1911,0 | 1865,9 | 1777,0 | 1692,0 | 1607,0 | 1523,0 | 1443,0 | 1332,9 | 1332,9 | (368,6) |
| WO ₂ | т | (521,7) | (504,1) | (469,3) | (435,0) | (401,1) | (366,8) | (332,9) | (495,5) | (449,7) | (406,3) |
| WO ₃ | т, ж | (763,9) | (737,9) | (687,5) | (638,3) | (589,9) | (542,4) | (495,5) | — | — | — |
| ReO ₃ | т, ж | (535,9) | (508,7) | (468,9) | (433,3) | (399,8) | — | — | — | — | — |
| Re ₂ O ₇ | т, ж, г | (1055,1) | (992,3) | (877,1) | (803,9) | (736,9) | (667,8) | (598,7) | — | — | — |
| Re ₂ O ₈ | т, ж, г | (1076,0) | (1002,7) | (875,0) | — | — | — | — | — | — | — |
| Au ₂ O ₃ | т, г | (—77,7) | (—105,1) | (—105,1) | (—105,1) | (—105,1) | (—9,42) | (—37,7) | (—96,3) | (—119,7) | — |
| Hg ₂ O | т, г | (54,4) | (41,9) | (41,9) | (16,7) | (26,6) | (—9,42) | (—47,1) | (—83,95) | (—119,7) | — |
| HgO | т, г | 58,6 | (47,5) | (47,5) | — | — | — | — | — | — | — |
| Tl ₂ O | т | 136,07 | — | — | 137,7 | 118,3 | (102,2) | (86,0) | (70,55) | — | — |
| PbO* ¹⁶ | т, ж | 188,2 | 179,0 | 167,1 | 167,1 | 137,7 | — | — | — | — | — |
| PbO* ¹⁶ | т | 188,95 | 178,8 | 159,5 | — | (420,8) | (341,2) | — | — | — | — |
| Pb ₃ O ₄ | т | 617,6 | (577,8) | (500,3) | (187,1) | (161,6) | (123,1) | (85,0) | — | — | — |
| PbO ₂ | т, ж | (219,0) | (187,1) | (171,7) | (152,8) | (131,9) | (110,95) | (92,1) | (71,2) | (52,3) | — |
| BiO | т, ж | (182,1) | (182,1) | (171,7) | (152,8) | (131,9) | (110,95) | (92,1) | (192,6) | (144,4) | (427,05) |
| Bi ₂ O ₃ | т, ж | 497,0 | 469,55 | 414,9 | 355,25 | (515,0) | (296,6) | (242,8) | (473,1)* ¹⁰ | (923,4) | (886,4) |
| ThO | т | (577,8) | — | (561,0)* ¹⁷ | — | — | — | — | — | — | — |
| ThO ₂ | т | 1170,0 | 1150,0 | 1112,0 | 1074,0 | 1036,0 | 998,2 | 960,7 | (823,6)* ¹⁰ | — | — |
| UO ₂ | т | 1032,0 | 1014,0 | 980,2 | 946,7 | 913,2 | 879,3 | — | — | — | — |
| U ₃ O ₈ | т | 3366,0 | (3296,0) | (3160,0) | (3028,0) | (2895,0) | (2761,0) | (2627,0) | — | — | — |
| UO ₃ | т | 1144,0 | 1117,0 | 1067,0 | 1017,0 | — | — | — | — | — | — |
| PuO ₂ | т | 978,04 | — | — | 837,36 | — | — | — | 795,49* ¹⁰ | — | — |

*¹ Для BeO (г) стандартная свободная энергия [CCЭ]=—23,86 [1, с. 89]. *² Для B₂O₃ ст ССЭ=1173,98 [1, с. 89]. *³ Глиозем. *⁴ Кварц. *⁵ Кристобальит. *⁶ Трилимит. *⁷ Кварцевое стекло. *⁸ ССЭ для Ti₂O₃, Ti₆O₁₁, Ti₁₀O₁₈ соответственно равны 4294,8; 5212,6; 6142,5; 7989,3; 8915,4 [174, с. 118]. *⁹ Рутил. *¹⁰ При 1500 К. *¹¹ Для NiO (г) ССЭ=—216,88 [1, с. 91]. *¹² Ромбический. *¹³ Моноклинный. *¹⁴ Кубический. *¹⁵ Желтый. *¹⁶ Красный.

5. ФУНКЦИЯ СВОБОДНОЙ ЭНЕРГИИ

| Оксид | Метод определения* ¹ | Функция свободной энергии, кДж/(кмоль·К), в зависимости от температуры, К | | | | | |
|-------|---------------------------------|---|------|------|------|------|------|
| | | 298,15 | 1000 | 1500 | 2000 | 2500 | 3000 |
| 1 | 2 | 3 | 4 | 5 | 6 | 7 | 8 |

А. Функция $\left(-\frac{F^\circ - H_{298}^0}{T} \right)$ для газообразных окислов [1]

| | | | | | | | |
|-------------------|---|-------|-------|-----------------------|-----------------------|-----------------------|-------|
| <chem>SiO2</chem> | p | 228,2 | 253,7 | 270,5 | 283,9 | 294,8 | 304,4 |
| | p | — | — | 278,4 (при 1800 К) | 280,9 (при 1900 К) | — | — |
| | э | — | — | 273,4 (при 1800 К) | 275,1 (при 1900 К) | — | — |
| | о | — | — | — | — | — | — |
| <chem>TiO2</chem> | p | 237,0 | 263,8 | 280,9 | 294,8 | 306,1 | 315,7 |
| | p | — | — | — | 291,4 (при 1800 К) | — | — |
| | э | — | — | — | 284,3 (при 1880 К) | — | — |
| | о | — | — | — | — | — | — |
| <chem>VO2</chem> | p | 251,2 | 279,7 | 297,7 | 312,3 | 324,1 | 333,7 |
| | p | 256,7 | 287,2 | 306,1 | 320,7 | 332,9 | 342,9 |
| | о | 260,4 | 291,4 | 310,7 | 326,2 | 338,3 | 349,2 |
| | з | 245,3 | 272,1 | 289,7 | 303,5 | 315,3 | 324,9 |
| <chem>ZrO2</chem> | p | — | — | — | — | 312,8 (при 2400 К) | — |
| | э | — | — | — | — | 314,0 (при 2400 К) | — |
| | о | — | — | — | — | — | — |
| | з | — | — | — | — | — | — |
| <chem>NbO2</chem> | p | 256,7 | 284,3 | 302,7 | 317,8 | 329,5 | 340,0 |
| | p | 261,3 | 290,1 | 309,4 | 324,9 | 337,5 | 347,9 |
| | п | — | — | 312,3 (при 1600 К) | — | — | — |
| | э | — | — | 322,0 (при 1600 К) | — | — | — |
| <chem>MoO2</chem> | о | 262,9 | 291,8 | 311,1 | 326,6 | 338,7 | 349,6 |
| | о | 261,3 | 290,1 | 309,4 | 324,9 | 337,0 | 347,9 |
| | э | 262,9 | 291,8 | 311,1 | 326,6 | 338,7 | 349,6 |
| | п | — | — | — | — | — | — |
| <chem>TcO2</chem> | о | 262,9 | 291,8 | 311,1 | 326,6 | 338,7 | 349,6 |
| | о | 261,3 | 290,1 | 309,4 | 324,9 | 337,0 | 347,9 |
| | э | 262,9 | 291,8 | 311,1 | 326,6 | 338,7 | 349,6 |
| | п | — | — | — | — | — | — |
| <chem>RuO2</chem> | о | 261,3 | 290,1 | 309,4 | 324,9 | 337,0 | 347,9 |
| | о | 261,3 | 290,1 | 309,4 | 324,9 | 337,0 | 347,9 |
| | э | 262,9 | 291,8 | 311,1 | 326,6 | 338,7 | 349,6 |
| | п | — | — | — | — | — | — |
| <chem>RhO2</chem> | о | 262,9 | 291,8 | 311,1 | 326,6 | 338,7 | 349,6 |
| | о | 261,7 | 290,6 | 309,8 | 334,3 | 337,5 | 348,3 |
| | э | 262,9 | 291,8 | 311,1 | 326,6 | 338,7 | 349,6 |
| | п | — | — | — | — | — | — |
| <chem>PdO2</chem> | о | 261,7 | 290,6 | 309,8 | 334,3 | 337,5 | 348,3 |
| | о | 261,7 | 290,6 | 309,8 | 334,3 | 337,5 | 348,3 |
| | э | 262,9 | 291,8 | 311,1 | 326,6 | 338,7 | 349,6 |
| | п | — | — | — | — | — | — |
| <chem>HfO2</chem> | п | 253,3 | 280,5 | 298,1 | 311,9 | 323,6 | 333,3 |
| | п | — | — | — | — | — | — |
| | о | 265,4 | 293,1 | 311,1 | 334,3 | 337,5 | 347,5 |
| | о | 269,6 | 297,7 | 315,7 | 329,9 | 342,5 | 352,5 |
| <chem>TaO2</chem> | п | 265,4 | 293,1 | 311,1 | 334,3 | 337,5 | 347,5 |
| | п | — | — | — | — | — | — |
| | о | 269,6 | 297,7 | 315,7 | 329,9 | 342,5 | 352,5 |
| | о | 269,2 | 297,3 | 315,3 | 329,5 | 342,1 | 352,1 |

| 1 | 2 | 3 | 4 | 5 | 6 | 7 | 8 |
|------------------|---|-------|-------|-------|--------------------------|-------|-------|
| OsO ₂ | о | 264,2 | 291,8 | 309,8 | 324,1 | 336,2 | 346,2 |
| IrO ₂ | о | 260,4 | 288,1 | 306,1 | 320,3 | 322,4 | 342,5 |
| PtO ₂ | о | 258,7 | 286,4 | 304,4 | 318,6 | 330,8 | 340,8 |
| ThO ₂ | э | 265,4 | 294,8 | 313,6 | 328,7 | 341,6 | 352,5 |
| PaO ₂ | о | 268,8 | 298,5 | 317,8 | 333,3 | 346,2 | 357,1 |
| UO ₂ | р | 273,0 | 303,5 | 323,2 | 339,1 | 352,5 | 363,8 |
| | р | — | — | — | 332,9 (при 1800 K) | — | — |
| | э | — | — | — | 319,5 (при 1800 K) | — | — |

$$\text{Б. Функция } \left(-\frac{F^\circ - H_0^0}{T} \right)$$

| | | | | | | | |
|--|---|---------------------------------------|---------------------------------------|-------------------------|--------------------------|--------------------------|--------------------------|
| BeO ^{*2,*4} | — | 4,48 400 K) | 8,0 (при 600 K) | 15,6 (при 800 K) | 22,9 (при 1000 K) | 29,6 (при 1200 K) | 35,6 (при 1200 K) |
| | — | 41,5 ^{*3} (при 1400 K) | 44,2 ^{*3} (при 1500 K) | — | — | — | — |
| MgO ^{*5} | — | 9,622 400 K) | 15,58 (при 600 K) | 26,51 (при 800 K) | 35,98 (при 1000 K) | 44,16 (при 1200 K) | 51,34 (при 1200 K) |
| Al ₂ O ₃ ^{*6} | — | 0,004 (при 17 K) | 0,013 (при 25 K) | 0,110 (при 50 K) | 0,404 (при 75 K) | 1,025 (при 100 K) | 3,440 (при 150 K) |
| | — | 7,267 200 K) | 12,10 250 K) | 17,28 298 K) | — | — | — |
| Ga ₂ O ₃ ^{*7} | — | 0,0293 16 K) | 0,1089 25 K) | 0,875 50 K) | 2,692 75 K) | 5,343 100 K) | 12,15 150 K) |
| | — | 19,97 200 K) | 28,13 250 K) | 36,00 298 K) | — | — | — |
| Y ₂ O ₃ ^{*8} | — | 0,118 16 K) | 1,65 50 K) | 7,17 100 K) | 24,47 200 K) | 43,2 298 K) | 78,51 500 K) |
| | — | 143,00 1000 K) | 221,4 2000 K) | 249,2 2500 K) | — | — | — |

^{*1} Метод определения: р — расчет, о — оценка, э — эксперимент. ^{*2} Твердый. ^{*3} Получено экстраполяцией. ^{*4} [19, с. 44]. ^{*5} [19, с. 122]. ^{*6} [19, с. 21].

^{*7} [19, с. 69]. Монокристалл β-Ga₂O₃ 98,67% чистоты. ^{*8} [19, с. 86].

**6. ТЕМПЕРАТУРЫ ПЛАВЛЕНИЯ И КИПЕНИЯ [1; 9, Вып. I—V;
19; 39; 42; 43; 52; 62; 67; 75; 81, тт. 1—5; 103; 113; 125; 171]**

| Оксид | Температура плавления, °C | Температура кипения, °C |
|--|-------------------------------|----------------------------|
| 1 | 2 | 3 |
| H ₂ O | 0,00 0,01*1 — | 100,0 25,00*2 0,00*3 |
| H ₂ O ₂ | —0,42±0,03 | 152,0±0,5 25,0*4 |
| D ₂ O | 3,813±0,005*1 | 101,43 |
| D ₂ O ₂ | 1,5 | 25,0*5 |
| T ₂ O | 4,49±0,02 | 101,6 |
| HDO | — | 100,85 25,0*6 |
| HTO | — | 100,8 |
| Li ₂ O | 1727 | 2600 |
| Li ₂ O ₂ | 197*7 | — |
| BeO | 2520—2570 | 3900—4260 |
| B ₂ O ₃ | 450—470*8 ~294*9 | 2124 1250*10 |
| C ₃ O ₂ | —108—107 | 7 |
| CO | —205,02 | —191,50 |
| CO ₂ | —56,6*11 | —78,515*12 |
| N ₂ O | —91,0±0,5 | —88,5±0,5 |
| NO | —163,65 | —151,65 |
| N ₂ O ₃ | —101 | +3,5*7 —40*13 |
| NO ₂ и N ₂ O ₄ | —11,2 | 21*14 |
| N ₂ O ₅ | 33±1*15 41*16 | 47*7 — |
| O ₂ | —218,79 | —182,97 |
| O ₃ | —192,5±0,4 | —111,9±0,3 |
| F ₂ O | —223,85 | —145,05±0,5 |
| F ₂ O ₂ | —163,4 | — |
| F ₂ O ₃ | —189 | — |
| Na ₂ O | 920 | 1350 |
| Na ₂ O ₂ | >596*7 | (675)*17 |
| NaO ₂ | 552*7 | — |
| MgO | 2800 | 3600 |
| MgO ₂ | 88*7 | — |
| Al ₂ O ₃ | 2046,5*18 2053±4 | 2980*18 — |
| SiO | 2277*19 | — |
| SiO ₂ | 1720*20 1610*21 1680*22 | 2950*20 — — |
| P ₂ O ₃ , P ₄ O ₆ | 23,9±0,1 | 175,4 |
| PO ₃ | 77*7 | — |
| P ₂ O ₄ | 100*15 | 180 |
| P ₂ O ₅ , P ₄ O ₁₀ | 420±3*23 | — |

| 1 | 2 | 3 |
|--|---|---|
| (P ₂ O ₅) _n | 562±2 ^{*24} 580±2 ^{*25} —75, 46±0, 01 | 588 588 —10, 01±0, 03 |
| SO ₂ | — | 44, 5 |
| SO ₃ | 16, 79±0, 02 ^{*26} 32, 5 ^{*27} 62, 2 ^{*28} | 62, 2 ^{*15} 44, 7±0, 3 — |
| S ₂ O ₇ | 0 | — |
| SO ₄ | 3 ^{*29} | — |
| Cl ₂ O | —116±1 ^{*30} | 2, 2 ^{*30} |
| ClO ₂ | —59, 8 ^{*30} —59 | 11, 1 ^{*30} 9, 7±0, 3 |
| Cl ₂ O ₆ | 3, 50±0, 05 ^{*30} | 203 ^{*30} |
| Cl ₂ O ₇ | —90±2 ^{*30} | 78, 8 ^{*30} |
| K ₂ O | 707 ^{*7} | — |
| K ₂ O ₂ | 490 | 1527 |
| K ₂ O ₃ | 430 | 700 |
| KO ₂ | 380 | 543 ^{*7} |
| KO ₃ | 60±2 ^{*7} | — |
| CaO | ~2587 ~2910 | (3500) — |
| CaO ₂ | 375—425 ^{*7} | — |
| Sc ₂ O ₃ | 2405 | — |
| Ti ₃ O | 1940±30 | — |
| TiO ^{*31} | 1750—2020 | — |
| Ti ₂ O ₃ ^{*31} | 1900—2130 1830±10 | 3027 — |
| Ti ₃ O ₅ ^{*31} | 2177 | 3327 |
| * ³² | 1774±20 | — |
| TiO ₂ | 1870±15 ^{*33} | 2927 ^{*7} |
| TiO ₃ | 670 | — |
| VO | 1830±20 | 3127 |
| V ₂ O ₃ | 1970±20 | 3027 ^{*7} |
| V ₃ O ₅ | 1827 ^{*7} | — |
| VO ₃ | 1545 | 3027 ^{*7} |
| V ₂ O ₄ ^{*31} | 1542±20 | — |
| V ₆ O ₁₃ | 662±10 | — |
| V ₁₂ O ₂₆ ^{*34} | 708±5 | — |
| V ₂ O ₅ | 670—685 | 2052 ^{*7} |
| Cr ₂ O ₃ | 2334±25 2257—2427 ^{*15} | ~3000 — |
| CrO ₂ | 427 ^{*7} | — |
| CrO ₃ | 180—202 ^{*35} | 727 ^{*7} |
| MnO | 1785 | 3127 ^{*36} |
| Mn ₃ O ₄ ^{*31} | 1842±10 1560±10 | — 2627 |

| 1 | 2 | 3 |
|--------------------------------|---|---------------------|
| Mn ₂ O ₃ | 1347* ⁷ | — |
| MnO ₂ | 847* ⁷ | — |
| Mn ₂ O ₇ | 6±1* ³⁷ | — |
| Fe _{0.947} O | 1374±5* ³⁸ | — |
| FeO | — | 2512 |
| FeO _{1.05} | 1371±5* ³⁸ | — |
| FeO _{1.056} | 1374±5* ³⁸ | — |
| FeO _{1.10} | 1388±5* ³⁸ | — |
| FeO _{1.15} | 1406±5* ³⁸ | — |
| FeO _{1.20} | 1424±5* ³⁸ | — |
| Fe ₃ O ₄ | 1583±2* ³³ 1594±2* ³⁹ 1597±2* ⁴⁰ | 2623* ⁷ |
| Fe ₂ O ₃ | 1350* ⁴¹ 1562* ⁷ | — |
| CoO | 1810±10* ⁴² 1830±5* ⁴³ 1817±5* ⁴⁴ 1769±5* ⁴⁵ | 2627 |
| Co ₃ O ₄ | 967* ⁷ | — |
| Co ₂ O ₃ | 895* ⁷ | — |
| NiO | 1957±20 1552* ⁴⁶ | —* ⁷ |
| Cu ₂ O | 1242±5 | 1800* ⁷ |
| CuO | 1336 | —* ⁷ |
| Cu ₂ O ₃ | 100* ⁷ | — |
| ZnO | 1975 | — |
| | 1800* ⁴⁷ | — |
| Ca ₂ O | 652 | 727 |
| Ca ₂ O ₃ | 1725±15 | — |
| GeO | 710* ¹⁵ | — |
| GeO ₂ | 1116±4* ⁴⁸ 1086±5* ⁵⁰ | 2352* ⁴⁹ |
| As ₂ O ₃ | 278±3* ⁵¹ 314±2* ⁵² | 457 465 |
| As ₄ O ₆ | 313* ⁵ | 461±2 |
| AsO ₂ | 927* ⁷ | — |
| As ₂ O ₅ | 827* ⁷ | — |
| SeO | 1102 | 1802 |
| SeO ₂ | 340—390* ¹⁵ | — |
| Se ₂ O ₅ | 224±1* ²⁹ | — |
| SeO ₃ | 121±2* ⁷ | — |
| Br ₂ O | —17* ⁷ | — |
| Rb ₂ O | 627 | —* ⁷ |
| Rb ₂ O ₃ | 570 | —* ⁷ |

| 1 | 2 | 3 |
|---------------------------------|----------------------------|--------------------|
| Rb ₂ O ₃ | 489. | —*7 |
| RbO ₂ | 412 | 567*7 |
| SrO | 2430 | 3000 |
| SrO ₂ | 410—450*7 | — |
| Y ₂ O ₃ | 2410—2435 | 4300 |
| Zr ₃ O | 1975±30 | — |
| ZrO ₂ | 2900 | 4300 |
| | 2700±25 | — |
| Nb ₄ O | 350*7 | — |
| NbO | 1940±15 | —*7 |
| | 2377 | — |
| Nb ₂ O ₃ | 1772 | — |
| NbO ₂ | 2080±20 | 3527 |
| Nb ₂ O ₅ | 1490±20 | 2927 |
| MoO ₂ | 1927 | 1977*7 |
| Mo ₄ O ₁₁ | 824±10*53 | — |
| Mo ₈ O ₂₃ | 700*7 | — |
| Mo ₉ O ₂₆ | 800±10*54 | — |
| MoO ₃ | 801±2 | 1257 |
| TcO ₂ | 2127 | 3727 |
| TcO ₃ | 927*7 | — |
| Tc ₂ O ₇ | 120±1 | 311±2 |
| RuO ₂ | 1127*7 | — |
| RuO ₄ | 25—25, 5*55 27*56 | —*7 |
| Rh ₂ O | 1127*7 | — |
| RhO | 1121*7 | — |
| Rh ₂ O ₃ | 1115*7 | — |
| PdO | 877*7 | — |
| Ag ₂ O | 187*7 | — |
| | 815±20 | — |
| CdO | 826*57 1084*58 | — |
| | >1500 | — |
| In ₂ O | 327 | 527 |
| InO | 1052 | 1727 |
| In ₂ O ₃ | ~2000 | 3327 |
| | 1910±10 | — |
| SnO | 1042*7 | 1527 |
| Sn ₃ O ₄ | 1100*59 | — |
| SnO ₂ | 1625*60 2000 2300*59 | ~2000 2500 — |
| Sb ₂ O ₃ | 655*61 | 1425*62 |
| Sb ₄ O ₆ | 656 | 1456 |
| Sb ₅ O ₄ | 930*63 | — |
| Sb ₆ O ₁₃ | 700*64 | 1423 |
| Sb ₂ O ₅ | 380*63 | — |
| TeO ₂ | 733±1 | 1257 |
| TeO ₃ | >400*7 | — |

| 1 | 2 | 3 |
|---|--|-------------------------------------|
| I ₂ O ₄ | 130 | — |
| I ₄ O ₉ | 75 | — |
| I ₂ O ₅ | 200* ⁷ | — |
| Cs ₇ O | 4 | — |
| Cs ₄ O | 10* ⁶⁴ | — |
| Cs ₃ O | 165 | — |
| Cs ₂ O | 490 | —* ⁷ |
| Cs ₂ O ₂ | 594 | 960* ⁷ , * ⁶⁴ |
| Cs ₂ O ₃ | 502 | 870* ⁷ , * ⁶⁴ |
| CsO ₂ | 450 | >597* ⁷ |
| Ba ₂ O | 607 | 767 |
| BaO | 1920* ⁶² | 2200 |
| | — | 2727 |
| BaO ₂ | 450 | 790—973* ⁷ |
| La ₂ O ₃ | 2217±30 | — |
| Ce ₂ O ₃ | 1690 | 3227 |
| | 1920 | — |
| CeO ₂ | 2600 | — |
| Pr ₂ O ₃ | 2127±30 | 3727 |
| Pr ₆ O ₁₁ | 2042±30* ⁶⁵ | — |
| PrO ₂ | 427* ⁷ | — |
| Nd ₂ O ₃ | 2212±30 | 3000 |
| Pm ₂ O ₃ | 2320 | — |
| Sm ₂ O ₃ | ~2320 | 3527 |
| EuO | 1700 | — |
| Eu ₂ O ₃ | 2050±30 | — |
| Gd ₂ O ₃ | 2322±30 | — |
| Tb ₂ O ₃ | 2292±30 | — |
| Tb ₄ O ₇ | 2337±30* ⁶⁶ | — |
| Dy ₂ O ₃ | ~2385 | — |
| Ho ₂ O ₃ | ~2395 | — |
| Er ₂ O ₃ | ~2400 | 3000 |
| Tu ₂ O ₃ | 2392±30* ⁶⁷ | — |
| Yb ₂ O ₃ | ~2420 | — |
| | 2260 | — |
| Lu ₂ O ₃ | 2467±30* ⁶⁸ | — |
| HfO ₂ | 2780±30 | — |
| Ta ₂ O ₅ ^{*69} | 1785±30* ⁷⁰ | 2227 |
| * ⁷¹ | 1872±10 | — |
| WO ₂ ^{*72} | 1227÷1327* ¹⁵ | 1727 |
| WO ₃ | 1570 | 1852* ² |
| WO ₃ | 1473—2130 | 1850 |
| ReO ₂ | 1202 | 2977 |
| | 1363±20* ⁶² , * ⁷³ | — |
| ReO ₃ | 160±3 | 620±10 |

| 1 | 2 | 3 |
|--------------------------------|------------------------|--------------------------------|
| Re ₂ O ₇ | 301,5±0,5 | 359±1 |
| ReO ₄ | 147 | 187 |
| Re ₂ O ₈ | 150±3 | — |
| OsO | 40 | — |
| OsO ₃ | 650* ⁷ | — |
| OsO ₄ | 39,50* ⁵⁵ | 130±2* ^{55, *74} |
| | 41,0±1* ⁷⁴ | — |
| Ir ₂ O ₃ | 1177 | 1977 |
| IrO ₂ | 1100* ⁷ | — |
| PtO | 507* ⁷ | — |
| PtO ₂ | 450 | 477* ⁷ |
| Au ₂ O | ~200* ⁷ | — |
| HgO | 400* ^{55, *7} | — |
| | 500* ^{75, *7} | — |
| Tl ₂ O | 579±5 | — |
| Tl ₂ O ₃ | ~717* ⁷⁰ | —* ⁷ |
| | 834 | — |
| TlO ₂ | (490)* ⁷⁷ | — |
| PbO | 886±2* ⁵⁵ | 1472 1535±20* ⁷³ |
| | — | |
| Pb ₂ O ₄ | 500* ⁷ | — |
| | 830 | — |
| PbO ₂ | 290* ⁷ | — |
| BiO | 902 | 1647 |
| Bi ₂ O ₃ | 817 | 1890 |
| | 825±5 | 1890 |
| Bi ₂ O ₄ | 305* ⁷ | — |
| PoO ₂ | 552 | —* ⁷ |
| RaO | >2227 | — |
| Ac ₂ O ₃ | 1977 | — |
| ThO | 1877 | 2977 |
| ThO ₂ | 3050 | 4400* ⁷⁸ |
| PaO ₂ | 2287 | — |
| Pa ₂ O ₆ | 1777 | 3077 |
| UO | 2477 | — |
| UO ₂ | 2840±20 | — |
| U ₂ O ₄ | 2405 | — |
| U ₃ O ₈ | 2500* ⁷ | — |
| UO ₃ | 652* ⁷ | — |
| UO ₄ | 150* ⁷ | — |
| NpO ₃ | 2560±50 | — |
| Np ₂ O ₈ | 527—627* ⁷ | — |
| PuO | 1017 | 2052 |
| Pu ₂ O ₉ | 2240 | 2977 |
| | 2085 | — |

| 1 | 2 | 3 |
|-------------------------|---------------|------|
| Pu_4O_7 | 2340 | — |
| PuO_3 | 2390 ± 20 | 3227 |
| Am_2O_3 | 2205 ± 15 | 3127 |
| Cm_2O_3 | 2275 ± 50 | — |
| Bk_2O_3 | 1920 ± 25 | — |
| Cf_2O_3 | 1750 ± 25 | — |

*¹ Тройная точка. *² При 3166,4 Па, расчетные данные для состояния пара, отвечающего стандартным условиям. *³ При 610,615 Па, то же. *⁴ При 279,98 Па, расчетные данные. *⁵ При 2762,4 Па, расчетные данные. *⁶ При 2933,08 Па, расчетные данные. *⁷ Разлагается. *⁸ На воздухе. *⁹ Аморфная стекловидная масса переходит в вязкую жидкость. *¹⁰ При 266,64 Па. *¹¹ Тройная точка, давление 535 кПа. *¹² Температура сублимации. *¹³ Равновесная смесь NO и N_2O_4 . *¹⁴ Смесь NO_2 и N_2O_4 . *¹⁵ Сублимирует. *¹⁶ При 142,9 кПа. *¹⁷ Полностью разлагается. *¹⁸ Корунд. *¹⁹ При 400–700°C диспропорционирует. *²⁰ Кристобалит. *²¹ Кварц. *²² Тридимит. *²³ Гексагональный (Н-форма), при 360°C возгоняется. *²⁴ Ромбический (О-форма), при 605°C возгоняется. *²⁵ Ромбический (О'-форма), при 605°C возгоняется. *²⁶ У, ромбический, S_3O_5 . *²⁷ В, моноклинный, волокнистый. *²⁸ α моноклинный, волокнистый, возгоняется. *²⁹ Плавится с разложением. *³⁰ Взрывается. *³¹ В. *³² Жидкость с кристаллами Ti_2O_5 . *³³ При давлении $p_{\text{O}_2} = 101,325$ кПа. *³⁴ Жидкость с VO_2 . *³⁵ В зависимости от степени разложения, начавшегося еще в твердом состоянии. *³⁶ Возгоняется с диссоциацией. *³⁷ Температура затвердевания. *³⁸ Куб. \rightarrow Ж+т. *³⁹ При $p_{\text{O}_2} = 21,28$ кПа. *⁴⁰ При $p_{\text{O}_2} = 5,83$ кПа. *⁴¹ Гематит. *⁴² Плавление на воздухе. *⁴³ Бескислородная атмосфера, $p_{\text{общ}} = 101,325$ кПа, состав жидкой фазы $\text{CoO}_{1,000}$. *⁴⁴ $p_{\text{общ}} = 101,325$ кПа, $p_{\text{O}_2} = 101,325$ кПа, состав жидкой фазы $\text{CoO}_{1,014}$. *⁴⁵ $p_{\text{O}_2} = 101,325$ кПа, состав жидкой фазы $\text{CoO}_{1,014}$. *⁴⁶ В вакууме. *⁴⁷ Сублимирует при этой температуре. *⁴⁸ Стабильная точка плавления, высокотемпературная форма. *⁴⁹ Заметно испаряется. *⁵⁰ Метастабильная точка плавления, низкотемпературная форма. *⁵¹ Арсенолит, куб. *⁵² Клаудеит I, моноклинный. *⁵³ Жидкость + ($\text{MoO}_2 + \text{MoO}_3$). *⁵⁴ Жидкость + ($\text{MoO}_3 + \text{MoO}_{11}$). *⁵⁵ Желтый. *⁵⁶ Коричневый. *⁵⁷ При 700°C возгоняется без плавления. *⁵⁸ Возгоняется без плавления. *⁵⁹ Расчетные данные. *⁶⁰ Касситерит, сублимирует. *⁶¹ Валентинит. *⁶² Возгоняется. *⁶³ Теряет кислород. *⁶⁴ Расчетная температура диссоциации. *⁶⁵ 99,5%, в аргоне. *⁶⁶ 99,70%, в аргоне. *⁶⁷ 99,56%, в аргоне. *⁶⁸ 99,88%, в аргоне. *⁶⁹ α . *⁷⁰ Ромбический. *⁷¹ Триклинический. *⁷² δ . *⁷³ p пара = 101,325 кПа. *⁷⁴ Белый. *⁷⁵ Красный. *⁷⁶ При $p_{\text{O}_2} = 101,325$ кПа. *⁷⁷ Диссоциирует. *⁷⁸ Торианит.

7. ТЕПЛОТЫ ПЛАВЛЕНИЯ И ИСПАРЕНИЯ

[1; 9, вып. I—VII; 19; 42; 43; 49; 52; 66; 77; 79, т. 1; 81, т. 5; 96]

| Оксид | Теплота плавления, кДж/моль | Теплота испарения, кДж/моль | Температура, °С | Давление, Па |
|----------------------|-----------------------------|-----------------------------|-----------------|--------------|
| 1 | 2 | 3 | 4 | 5 |
| H_2O | $6,0131 \pm 0,004^{*1, *2}$ | — | — | — |
| | $6,0135 \pm 0,0042^{*3}$ | $45,079 \pm 0,013^{*3}$ | 0,01 | 610,8 |
| | — | $44,020 \pm 0,013$ | 25 | 3170 |

| 1 | 2 | 3 | 4 | 5 |
|--|---------------------|---------------------|----------------------------|-----------------------|
| H_2O_2 | — | $44,041 \pm 0,013$ | 25 | 101 300 |
| | — | 40,683 | $t_{\text{кип}} = 100$ | 101 300 |
| H_2O_4 D_2O | $12,506 \pm 0,042$ | $52,858 \pm 0,134$ | $t_{\text{пл}} = -0,42$ | 50,65 |
| | — | $51,66 \pm 0,13$ | 25 | 285,7 |
| D_2O_2 T_2O | — | 50,24 | 25 | — |
| | — | $46,494 \pm 0,084$ | $t_{\text{пл}} = 3,813$ | 667,6 |
| HDO HTO | $6,314 \pm 0,021$ | $44,67 \pm 0,25$ | 25 | 2928 |
| | — | $46,89 \pm 1,26$ | 25 | 2897 |
| Li_2O BeO | 58,62 | 234,46 | $t_{\text{кип}} = 2600$ | — |
| | $85,41 \pm 6,28$ | — | — | — |
| B_2O_3 | — | 608,76 | $t_{\text{пл}} = 2550$ | — |
| | $24,58 \pm 0,08$ | $489,86 \pm 43,96$ | $t_{\text{кип}} = 3850$ | $3,34 \cdot 10^{-15}$ |
| CO | — | $403,44 \pm 8,37$ | $t_{\text{пл}} = 450$ | 101 300 |
| | — | 356,3 ± 12,6 | $t_{\text{кип}} = 2124$ | 266,64 |
| CO_2 | — | 322,38 | $t_{\text{кип}} = 1250$ | 15 367 |
| | $8,37 \pm 0,13$ | $6,531 \pm 0,004$ | $t_{\text{пл}} = -205,02$ | — |
| N_2O | — | $6,0441 \pm 0,0042$ | $t_{\text{кип}} = -191,50$ | 101 300 |
| | — | $16,24 \pm 0,42$ | $t_{\text{пл}} = -56,58$ | 517 846 |
| NO | 6,544 | 5,28 ± 0,84 | 25 | 6 422 400 |
| | — | $16,571 \pm 0,021$ | $t_{\text{пл}} = -91,0$ | 87 827 |
| N_2O_3 N_2O_4 | $2,303 \pm 0,008$ | 16,62 | $t_{\text{кип}} = -88,5$ | 101 300 |
| | — | $14,24$ | $t_{\text{пл}} = -163,65$ | 22 083 |
| N_2O_5 O_2 | — | $13,783 \pm 0,013$ | $t_{\text{кип}} = -151,65$ | 101 300 |
| | $14,662 \pm 0,013$ | 39,356 | $t_{\text{кип}}$ | — |
| O_3 F_2O | — | 37,14*5 | $t_{\text{пл}} = -11,2$ | 18 740 |
| | — | 38,56*6 | $t_{\text{кип}} = 21$ | 101 300 |
| Na_2O NaO_2 | — | 28,68*7 | 25 | — |
| | — | 56,940 | $t_{\text{кип}}$ | — |
| MgO Al_2O_3 | $0,4459 \pm 0,0008$ | $7,653 \pm 0,021$ | $t_{\text{пл}} = -218,79$ | 156 |
| | — | $6,833 \pm 0,017$ | $t_{\text{кип}} = -182,97$ | 101 300 |
| Na_2O MgO | 2,09 | 15,193 | $t_{\text{кип}} = -111,9$ | 101 300 |
| | — | 11,10 | $t_{\text{кип}} = -145,05$ | 101 300 |
| Al_2O_3 | 29,73 | — | — | — |
| | 25,96 | 117,23 | $t_{\text{кип}}$ | — |
| Al_2O_3 | $77,46 \pm 4,19$ | — | — | — |
| | — | 544,28 | $t_{\text{кип}}$ | — |
| Al_2O_3 | 113,04 ± 8,37 | — | — | — |

| 1 | 2 | 3 | 4 | 5 |
|-----------------------------------|--|---|---|------------------------------|
| SiO | — | 485,67 | $t_{\text{кип}}$ | — |
| SiO ₂ | 50,24 8,541*8 9,002*9 7,704*10 | — — — — | — — — — | — — — — |
| P ₂ O ₃ | — | 573,59*10 | 25 | — |
| P ₄ O ₆ | 14,07 | 18,84 46,64 46,64 | $t_{\text{кип}} = 23,9$ 25 | 233 |
| PO ₂ | — | 43,46 | $t_{\text{кип}} = 175,4$ | 101 300 |
| P ₄ O ₁₀ *2 | 20,93 | 37,26 | $t_{\text{пл}} = 420$ | 491 305 |
| SO ₂ | 63,64*11 — 74,11*13 67,41*14 — | 73,69 — 78,29*12 — 84,99*15 | $t_{\text{кип}}$ $t_{\text{пл}} = 580$ $t_{\text{пл}} = 562$ $t_{\text{пл}} = 571$ | — — — — — |
| SO ₃ *16 | 7,406±0,008 | 28,22±0,04 24,953±0,017 | $t_{\text{кип}} = 584$ $t_{\text{пл}} = -75,46$ $t_{\text{кип}} = -10,01$ | 101 300 15 702 101 300 |
| SO ₃ *17 | 30,14 | 38,1±2,1 | $t_{\text{пл}} = 62,2$ | 234 003 |
| SO ₃ *18 | 12,14 | 42,37±1,7 | $t_{\text{пл}} = 31,5$ | 50 144 |
| Cl ₂ O | — | 40,82±1,7 | $t_{\text{кип}} = 44,7$ | 101 300 |
| ClO ₂ | 5,61 | 44,21±1,7 | $t_{\text{пл}} = 16,79$ | 20 463 |
| Cl ₂ O ₆ | — | 43,17±1,3 | 25 | 34 341 |
| Cl ₂ O ₇ | — | 26,335 25,96 | $t_{\text{кип}} = 2,2$ $t_{\text{кип}} = 2$ | — 101 300 |
| K ₂ O | — | 29,64 | $t_{\text{кип}} = 11,1$ | — |
| K ₂ O ₂ | 11,72±6,28 | 26,33±0,4 | $t_{\text{кип}} = 9,7$ | 101 300 |
| K ₂ O ₃ | — | 39,78±4,19 | 12 | 91,17 |
| KO ₂ | — | 34,00±0,4 | 25 | 12 156 |
| CaO | — | 35,67 | $t_{\text{кип}} = 78,8$ | — |
| Sc ₂ O ₃ | — | 32,36±0,63 | $t_{\text{кип}} = 80$ | 101 300 |
| TiO | 28,47 | 154,91 | $t_{\text{кип}}$ | — |
| Ti ₂ O ₃ | 29,31 | 188,41 | $t_{\text{кип}} = 1527$ | — |
| Ti ₃ O ₅ | 25,54 | 104,67 | $t_{\text{кип}} = 700$ | — |
| KO ₂ | 20,52 | — | — | — |
| CaO | 75,36 | — | — | — |
| Sc ₂ O ₃ | 96,30 | 625,33 | $t_{\text{кип}}$ | — |
| TiO | 54,43± ±4,2*19 | — | — | — |
| Ti ₂ O ₃ | 100,48 | — | — | — |
| Ti ₃ O ₅ | 209,34 | 355,88 | $t_{\text{кип}} = 3327$ | — |

| 1 | 2 | 3 | 4 | 5 |
|---|----------------------------|-------------|-------------------------|--------|
| TiO ₂ ^{*20} | 66,99 | 598,71 | 25 | — |
| VO | 62,80 | 560,61 | 25 | — |
| | — | 293,08 | $t_{\text{кип}} = 3127$ | — |
| V ₂ O ₃ | 100,48 | — | — | — |
| V ₃ O ₅ | 175,85 | — | — | — |
| VO ₂ | 56,94 | — | — | — |
| V ₂ O ₄ ^{*21} | 113,92 ± 1,26 | — | — | — |
| V ₂ O ₅ | 65,147 ± ± 0,419 | — | — | — |
| | — | 263,77 | $t_{\text{кип}}$ | — |
| Cr ₂ O ₃ | 104,67 | — | — | — |
| | 117,23 | — | — | — |
| CrO ₃ | 25,54 | 104,67 | $t_{\text{кип}}$ | — |
| MnO | 43,96 ± 6,28 | — | — | — |
| Mn ₂ O ₄ | 127,70 ± 12,6 | — | — | — |
| | — | 314,0 | $t_{\text{кип}}$ | — |
| Fe _{0,947} O | 32,20 ± 2,1 ^{*22} | — | — | — |
| Fe _{0,95} O ^{*23} | 31,4 | 230,3 | $t_{\text{кип}} = 2512$ | — |
| | — | ~432,42 | $t_{\text{кип}}$ | — |
| FeO _{1,05} | 34,33 ± 2,1 ^{*22} | — | — | — |
| FeO _{1,056} | 34,04 ± 2,1 ^{*22} | — | — | — |
| FeO _{1,10} | 32,70 ± 2,1 ^{*22} | — | — | — |
| FeO _{1,15} | 31,07 ± 2,1 ^{*22} | — | — | — |
| FeO _{1,20} | 29,43 ± 2,1 ^{*22} | — | — | — |
| Fe ₃ O ₄ | 138,16 | — | — | — |
| | — | 298 | $t_{\text{кип}} = 2623$ | — |
| CoO | 50,24 | 255,4 | $t_{\text{кип}} = 2627$ | — |
| NiO | 50,66 | — | — | — |
| Cu ₂ O | 56,10 | — | — | — |
| | 64,27 ± 0,8 | — | — | — |
| CuO | 37,26 | — | — | — |
| Ga ₂ O | 35,59 | 83,74 | $t_{\text{кип}} = 727$ | — |
| Ga ₂ O ₃ | 92,11 | 314,01 | $t_{\text{кип}} = 2627$ | — |
| GeO | 209,34 | — | — | — |
| GeO ₂ | 43,96 | 255,40 | $t_{\text{кип}} = 2352$ | — |
| | 17,17 ± 2,1 ^{*22} | — | — | — |
| As ₂ O ₃ | 18,42 | 29,94 | $t_{\text{кип}} = 465$ | — |
| As ₄ O ₆ ^{*24} | 36,84 | 96,30 | $t_{\text{кип}} = 461$ | — |
| As ₄ O ₆ ^{*24} | 45,22 ± 9,21 | 56,10 ± 4,2 | $t_{\text{пл}} = 314$ | 10 029 |
| As ₄ O ₆ ^{*25} | 40,82 | 109,28 | $t_{\text{кип}}$ | — |
| As ₄ O ₆ ^{*26} | 48,57 ± 9,21 | 56,10 ± 4,2 | $t_{\text{пл}} = 278$ | 4 812 |

| 1 | 2 | 3 | 4 | 5 |
|---------------------------------|-------------|------------|-------------------------|---------|
| AsO ₃ | — | 56,10±4,2 | $t_{\text{кип}} = 461$ | 101 300 |
| SeO | 37,68 | — | $t_{\text{кип}} = 1802$ | — |
| SeO ₂ | 31,82 | 188,41 | $t_{\text{кип}} = 1802$ | — |
| SeO ₂ | 25,54 | 84,57 | $t_{\text{кип}} = 1802$ | — |
| SeO ₃ ²⁷ | 7,12±0,8 | 30,56 | $t_{\text{пл}} = 121$ | 729,4 |
| Rb ₂ O | 23,87 | — | — | — |
| Rb ₂ O ₂ | 30,56 | — | — | — |
| Rb ₂ O ₃ | 31,82 | — | — | — |
| RbO ₂ | 17,17 | — | — | — |
| SrO | 69,92±8,37 | — | — | — |
| Y ₂ O ₃ | — | 534,24 | $t_{\text{кип}} = 3000$ | — |
| Y ₂ O ₃ | 104,67 | — | — | — |
| ZrO ₂ | — | 2047,4±4,2 | $t_{\text{кип}} = 4300$ | — |
| ZrO ₂ | 87,09 | 752,79 | 25 | — |
| NbO | — | 643,09 | $t_{\text{кип}} = 4300$ | — |
| NbO | 66,99 | — | — | — |
| NbO ₂ | 66,99 | 355,88 | $t_{\text{кип}} = 3527$ | — |
| Nb ₂ O ₅ | 117,23 | 334,94 | $t_{\text{кип}} = 2927$ | — |
| MoO ₂ | 103,33±0,42 | — | — | — |
| MoO ₃ | 66,99 | — | — | — |
| MoO ₃ | 52,50 | 138,16 | 1155 | — |
| TcO ₃ | 48,99 | — | — | — |
| TcO ₃ | 75,36 | 439,61 | $t_{\text{кип}} = 3727$ | — |
| Tc ₂ O ₇ | 47,48±2,1 | 78,84±1,26 | $t_{\text{пл}} = 120$ | 79,72 |
| — | — | 58,82±1,26 | $t_{\text{кип}} = 311$ | 101 300 |
| RuO ₄ | 10,89±1,3 | 44,38±0,84 | $t_{\text{пл}} = 25,$ | 1 418 |
| Ag ₂ O | 15,49±2,1 | — | — | — |
| In ₂ O | 18,84 | 66,99 | $t_{\text{кип}} = 527$ | — |
| InO | 16,75 | 251,21 | $t_{\text{кип}} = 1727$ | — |
| In ₂ O ₃ | 83,74 | 355,88 | $t_{\text{кип}} = 3327$ | — |
| SnO | 26,80 | 251,21 | $t_{\text{кип}} = 1527$ | — |
| — | — | 161,1 | $t_{\text{кип}}$ | — |
| SnO ₂ | 47,69 | 314,01 | $t_{\text{кип}} = 2000$ | — |
| Sb ₂ O ₃ | 61,71 | 37,35 | $t_{\text{кип}} = 1425$ | — |
| Sb ₄ O ₆ | 110,11 | 74,53 | $t_{\text{пл}} = 656$ | 1114 |
| Sb ₆ O ₁₃ | — | 74,55 | $t_{\text{кип}} = 1423$ | — |
| TeO ₃ | 29,52±0,84 | 225,88±8,4 | $t_{\text{кип}} = 733$ | 14,18 |
| — | — | 205,2 | $t_{\text{кип}} = 1257$ | 101 300 |
| Cs ₂ O | 19,18 | — | — | — |
| Cs ₂ O ₂ | 23,03 | — | — | — |
| Cs ₂ O ₃ | 32,45 | — | — | — |
| Ba ₂ O | 21,77 | 83,74 | $t_{\text{кип}} = 767$ | — |
| BaO | 57,77±8,38 | 259,58 | $t_{\text{кип}} = 2727$ | — |
| BaO ₂ | 23,87 | — | — | — |
| La ₂ O ₃ | 75,36 | — | — | — |
| — | — | 1783,6±2,9 | $t_{\text{кип}} = 4200$ | — |
| Ce ₂ O ₃ | 83,74 | 339,94 | $t_{\text{кип}} = 3227$ | — |
| CeO ₃ | 79,55 | — | — | — |
| — | 44,88 | — | — | — |

| 1 | 2 | 3 | 4 | 5 |
|-------------------------|---------------------------------|-------------------|-------------------------|----------------|
| Pr_2O_3 | — | $565,2 \pm 25,1$ | $t_{\text{кип}}$ | — |
| Nd_2O_3 | 92,11 | 376,81 | $t_{\text{кип}} = 3727$ | — |
| Sm_2O_3 | 92,11 | — | — | — |
| HfO_2 | 83,74 | $334,94$ | $t_{\text{кип}} = 3527$ | — |
| | 71,18 | — | — | — |
| | 94,20 | — | — | — |
| Ta_2O_5 | 66,99 | — | — | — |
| WO_2 | 48,15 | — | — | — |
| WO_3 | 71,18 | 180,03 | $t_{\text{кип}} = 1827$ | — |
| | $73,48 \pm 0,84$ | — | — | — |
| ReO_2 | 50,24 | 334,94 | $t_{\text{кип}} = 2977$ | — |
| ReO_4 | 21,77 | $228,18 \pm 4,19$ | 337 | 0,069 |
| Re_2O_7 | 66,15 | 74,11 | $t_{\text{кип}} = 362$ | — |
| | $63,22 \pm 2,1$ | $75,78 \pm 1,3$ | $t_{\text{пл}} = 301,5$ | 24 515 |
| | — | $69,92 \pm 1,3$ | $t_{\text{кип}} = 359$ | 101 300 |
| ReO_4 | 17,58 | 38,94 | $t_{\text{кип}} = 187$ | — |
| Re_2O_8 | $12,06 \pm 1,67$ | $19,38 \pm 0,84$ | $t_{\text{пл}} = 150$ | 3,049 |
| OsO_4 | $14,28 \pm 0,13$ | $42,29 \pm 2,1$ | $t_{\text{пл}} = 41$ | 3 464 |
| | — | $37,26 \pm 2,1$ | $t_{\text{кип}} = 131$ | 101 300 |
| Ir_2O_3 | 41,87 | 209,34 | $t_{\text{кип}} = 1977$ | — |
| PtO_2 | 19,26 | — | — | — |
| Tl_2O | $30,31 \pm 0,84$ | — | — | — |
| | — | 71,18 | $t_{\text{кип}}$ | — |
| Tl_2O_3 | 51,92 | — | — | — |
| PbO | $25,54 \pm$ $\pm 0,84^{*28}$ | — | — | — |
| | — | $246,18 \pm 5,86$ | $t_{\text{пл}} = 886$ | 3,24 |
| | — | $228,18 \pm 6,28$ | $t_{\text{кип}} = 1535$ | $38 494^{*29}$ |
| BiO | 15,49 | 226,09 | $t_{\text{кип}} = 1647$ | — |
| Bi_2O_3 | 28,47 | — | — | — |
| | $62,8 \pm$ $\pm 8,4^{*24}$ | — | — | — |
| | $16,33 \pm$ $\pm 0,84^{*28}$ | 273,82 | 1127 | — |
| PoO_2 | 23,03 | — | — | — |
| Ac_2O_3 | 83,74 | — | — | — |
| ThO | 54,43 | 272,14 | $t_{\text{кип}} = 2977$ | — |
| ThO_2 | 75,36 | 752,37 | 25 | — |
| | 109,69 | — | — | — |
| PaO_2 | 83,74 | — | — | — |

| I | 2 | 3 | 4 | 5 |
|-------------------------|--------|--------|-------------------------|---|
| Pa_2O_5 | 108,86 | 397,75 | $t_{\text{кип}} = 3077$ | — |
| UO | 58,62 | 573 | $t_{\text{кип}}$ | — |
| UO_2 | 136,07 | 623,83 | 25 | — |
| NpO_2 | 62,80 | — | — | — |
| PuO | 30,14 | 196,78 | $t_{\text{кип}} = 2052$ | — |
| Pu_2O_3 | 66,99 | 314,01 | $t_{\text{кип}} = 2977$ | — |
| PuO_2 | 62,80 | 376,81 | $t_{\text{кип}} = 3227$ | — |
| Am_2O_3 | 71,18 | 355,88 | $t_{\text{кип}} = 3127$ | — |

*1 При 0° С и 101,325 кПа. *2 Гексагональный. *3 В тройной точке. *4 Даные для процесса испарения D_2O (ж) в идеальный газ при $p=101,325$ кПа.
 *5 Равновесная смесь: 16,7% NO_2 и 83,3% N_2O_4 . *6 Равновесная смесь: 28% NO_2 и 72% N_2O_4 . *7 Газ N_2O_4 . *8 Кварц. *9 Тридимит. *10 Кристобалит. *11 Ромбический I-жI. *12 жI-г. *13 Ромбический II-жI. *14 Ромбический II-жII. *15 жII-г. *16 Моноклинный а. *17 Моноклинный б. *18 Ромбический —γ. *19 ж+ +кр. Ti_2O_3 . *20 Рутил. *21 Тетрагональный —β. *22 Куб. →ж+т. *23 Вюстит. *24 Моноклинный. *25 Октаэдрический. *26 Кубический. *27 Равновесный пар в указанных условиях состоит из $(\text{SeO}_3)_4$. *28 Желтый. *29 Суммарное давление продуктов испарения PbO равно 101,325 кПа.

8. ИЗМЕНЕНИЕ ЭНТРОПИИ ПРИ ПЛАВЛЕНИИ И ИСПАРЕНИИ [9, вып. I—VII; 42]

| Оксид | Изменение энтропии ΔS при плавлении, кДж/(кмоль·К) | Изменение энтропии ΔS при испарении жидкости, кДж/(кмоль·К) | Температура, °С | Давление, Па | |
|------------------------|--|---|---|---|---|
| | | | | 1 | 2 |
| H_2O | 22,014*1 22,014*2, *3 | 165,027*1 — — — — | 0,01 — 25 25 25 | 610,8 — 3 170 101 300 101 300 | |
| H_2O_2 | 45,85 | 193,81 173,29 — — | $t_{\text{кип}} = 100$ $t_{\text{пл}} = -0,42$ 25 25 | 50,65 285,7 — — | |
| H_2O_4 | — | 16,75 | 25 | — | |
| D_2O | 22,797 | 167,89 122,34*4 | $t_{\text{пл}} = 3,813$ 25 25 | 667,6 101 300 | |
| D_2O_2 | — | 175,68 | 25 | — | |
| T_2O | — | 154,5 | 25 | 2644 | |
| HDO | — | 149,85 | 25 | 2928 | |
| HTO | — | 157,0 | 25 | 2897 | |

| I | 2 | 3 | 4 | 5 |
|---|----------------------|----------------------|----------------------------|-----------------------|
| B ₂ O ₃ | 34,00 | 558,02 | $t_{\text{пл}} = 450$ | $3,34 \cdot 10^{-15}$ |
| | — | 148,63 | $t_{\text{кип}} = 2124$ | 101 300 |
| CO | 12,309 | 95,865 | $t_{\text{пл}} = -205,02$ | 15 367 |
| | — | 74,023 | $t_{\text{кип}} = -191,50$ | 101 300 |
| CO ₂ | 38,64 | 75,03 | $t_{\text{пл}} = -56,58$ | 517 846 |
| | — | 17,71 | 25 | 6 422 400 |
| N ₂ O | 35,84 | 91,27 | $t_{\text{пл}} = -91,0$ | 87 827 |
| | — | 89,76 | $t_{\text{кип}} = -88,5$ | 101 300 |
| NO | 21,02 | 130,00 | $t_{\text{пл}} = -163,65$ | 22 083 |
| | — | 113,42 | $t_{\text{кип}} = -151,65$ | 101 300 |
| N ₂ O ₄ ^{*5} | 55,98 | 141,77 | $t_{\text{пл}} = -11,2$ | 18 740 |
| | — | 131,17 | $t_{\text{кип}} = 21$ | 101 300 |
| | — | 96,21 ^{*6} | 25 | — |
| O ₂ | 8,202 | 140,80 | $t_{\text{пл}} = -218,79$ | 156 |
| | — | 75,78 | $t_{\text{кип}} = -182,97$ | 101 300 |
| O ₃ | 25,96 ^{*7} | — | — | — |
| | — | 94,20 | $t_{\text{кип}} = -111,9$ | 101 300 |
| F ₂ O | — | 86,62 | $t_{\text{кип}} = -145,05$ | 101 300 |
| Al ₂ O ₃ | 48,61 | — | — | — |
| O ₂ | 4,52 ^{*8} | — | — | — |
| | 3,85 ^{*9} | — | — | — |
| P ₄ O ₆ | 47,35 | 157,01 | $t_{\text{пл}} = -23,9$ | 233 |
| | — | 156,42 | 25 | — |
| | — | 96,88 | $t_{\text{кип}} = 175,4$ | 101 300 |
| P ₄ O ₁₀ ^{*3} | 30,14 | 53,59 | $t_{\text{пл}} = 420$ | 491 305 |
| P ₄ O ₁₀ ^{*10} | 88,76 | 93,78 | $t_{\text{пл}} = 562$ | 58 754 |
| P ₄ O ₁₀ ^{*11} | 79,97 | 100,48 | $t_{\text{пл}} = 571$ | 75 975 |
| P ₄ O ₁₀ ^{*12} | 74,5 | 91,69 | $t_{\text{пл}} = 580$ | 73 949 |
| P ₄ O ₁₀ | — | 92,53 ^{*13} | $t_{\text{кип}} = 584$ | 101 300 |
| SO ₂ | 37,47 | 142,73 | $t_{\text{пл}} = -75,46$ | 15 702 |
| | — | 94,83 | $t_{\text{кип}} = -10,01$ | 101 300 |
| SO ₃ ^{*14} | 90,02 | 113,46 | $t_{\text{пл}} = 62,2$ | 234 003 |
| SO ₃ ^{*15} | 39,77 | 139,09 | $t_{\text{пл}} = 31,5$ | 50 144 |
| | — | 128,41 | $t_{\text{кип}} = 44,7$ | 101 300 |
| SO ₃ ^{*16} | 19,34 | 152,48 | $t_{\text{пл}} = 16,79$ | 20 463 |
| | — | 144,78 | 25 | 34 341 |
| Cl ₂ O | — | 94,20 | $t_{\text{кип}} = 2$ | 101 300 |
| ClO ₂ | — | 93,11 | $t_{\text{кип}} = 9,7$ | 101 300 |
| Cl ₂ O ₆ | 42,29 ^{*17} | — | — | — |
| | — | 139,42 | 12 | 91,17 |
| Cl ₂ O ₇ | — | 113,88 | 25 | 12 156 |
| | — | 91,69 | $t_{\text{кип}} = 80$ | 101 300 |
| TiO | 26,50 ^{*18} | — | — | — |

| 1 | 2 | 3 | 4 | 5 |
|---|----------------------|--------|-------------------------------|---------|
| V ₂ O ₄ | 62,63 | — | — | — |
| V ₂ O ₅ | 68,37 | — | — | — |
| MnO | 20,77 | — | — | — |
| Mn ₃ O ₄ | 69,67 | — | — | — |
| Fe _{0,947} O | 19,55* ¹⁹ | — | — | — |
| FeO _{1,05} | 20,89* ¹⁹ | — | — | — |
| FeO _{1,056} | 20,68* ¹⁹ | — | — | — |
| FeO _{1,10} | 19,68* ¹⁹ | — | — | — |
| FeO _{1,15} | 18,51* ¹⁹ | — | — | — |
| FeO _{1,20} | 17,33* ¹⁹ | — | — | — |
| Cu ₂ O | 42,41 | — | — | — |
| GeO ₂ | 12,35 | — | — | — |
| As ₄ O ₆ ^{*20} | 88,34 | 101,74 | <i>t_{пл}</i> = 278 | 4 812 |
| As ₄ O ₆ ^{*21} | 77,04 | 95,46 | <i>t_{пл}</i> = 314 | 10 029 |
| | — | 76,62 | <i>t_{кип}</i> = 461 | 101 300 |
| SeO ₂ | 38,52 | — | — | — |
| SeO ₃ ^{*22} | 18,0 | 77,46 | <i>t_{пл}</i> = 121 | 729,4 |
| ZrO ₂ | 29,31 | — | — | — |
| Nb ₂ O ₅ | 58,62 | — | — | — |
| MoO ₃ | 45,59 | — | — | — |
| Tc ₂ O ₇ | 120,79 | 200,63 | <i>t_{пл}</i> = 120 | 79,72 |
| | — | 100,73 | <i>t_{кип}</i> = 311 | 101 300 |
| RuO ₄ | 36,47 | 148,63 | <i>t_{пл}</i> = 25,4 | 1 418 |
| Ag ₂ O | 14,24 | — | — | — |
| Sb ₄ O ₆ ^{*23} | 118,49 | 80,39 | <i>t_{пл}</i> = 656 | 1114 |
| TeO ₃ | 29,35 | 224,54 | <i>t_{пл}</i> = 733 | 14,18 |
| | — | 133,98 | <i>t_{кип}</i> = 1257 | 101 300 |

| I | 2 | 3 | 4 | 5 |
|--------------------------------|--------|--------|-------------------------|----------------------|
| WO ₃ | 42,08 | — | — | — |
| ReO ₃ | — | 374,05 | 337 | 0,069 |
| Re ₂ O ₇ | 110,03 | 131,84 | $t_{\text{пл}} = 301,5$ | 24 515 |
| | — | 110,62 | $t_{\text{кип}} = 359$ | 101 300 |
| Re ₂ O ₈ | 28,51 | 45,80 | $t_{\text{пл}} = 150$ | 3 049 |
| OsO ₄ | 45,47 | 134,69 | $t_{\text{пл}} = 41$ | 3 464 |
| | — | 92,24 | $t_{\text{кип}} = 131$ | 101 300 |
| Tl ₂ O | 35,588 | — | — | — |
| PbO | 22,02 | 212,44 | $t_{\text{пл}} = 886$ | 3,24 |
| | — | 126,19 | $t_{\text{кип}} = 1535$ | 38494* ²⁴ |
| Bi ₂ O ₃ | 7,83 | 195,52 | 1127 | — |

*¹ В тройной точке. *² При 0° С и 101,325 кПа. *³ Гексагональный. *⁴ Для процесса испарения D₂O (ж) в идеальный газ. *⁵ Равновесная смесь: 16,7% NO₂ и 83,3% N₂O₄. *⁶ Газ N₂O₄. *⁷ 114,50 Па. *⁸ Кварц. *⁹ Кристобалит. *¹⁰ Ромбический II→ж. I. *¹¹ Ромбический II→жII. *¹² Ромбический I→жI. *¹³ жII→г. *¹⁴ Моноклинный α . *¹⁵ Моноклинный β . *¹⁶ Ромбический γ . *¹⁷ При 52,69 Па. *¹⁸ Куб→ж+кр. Ti₂O₅. *¹⁹ Кубический →ж+т. *²⁰ Кубический. *²¹ Моноклинный. *²² Равновесный пар в указанных условиях состоит из (SeO₄)₄. *²³ Ромбический. *²⁴ Суммарное давление продуктов испарения PbO равно 101,325 кПа.

9. ТЕПЛОТА СУБЛИМАЦИИ И ИЗМЕНЕНИЕ ЭНТРОПИИ ПРИ СУБЛИМАЦИИ

[1; 9, вып. I—VII; 19; 29; 42; 43; 77; 180; 195]

| Оксид | Теплота субли- мации $\Delta H_{\text{субл}}$, кДж/моль | Температура, °С | Давление, Па | Изменение энтропии ΔS при субли- мации, кДж/ (кмоль·К) |
|-------------------------------|--|-------------------------|-----------------|--|
| | | | | 1 |
| 1 | 2 | 3 | 4 | 5 |
| H ₂ O | 47,428±0,025 | —273,15 | — | — |
| | 51,092±0,013* ¹ | 0,01 | 610,8 | 187,037* ¹ |
| | 51,020 | 0,0 | — | — |
| H ₂ O ₂ | 64,757±0,226 | —273,15 | — | — |
| D ₂ O | 49,965±0,059 | —273,15 | — | — |
| | 52,808±0,088 | $t_{\text{пл}} = 3,813$ | 667,6 | 190,67 |
| Li ₂ O | 460,55±12,56 | —273,15 | — | — |

| 1 | 2 | 3 | 4 | 5 |
|--------------------------------|---------------|---------------------------|-----------------------|---------|
| BeO | 719,57±13,40 | —273,15 | — | — |
| | 636,40±41,87 | 327—2727 | — | — |
| | 609,18±16,75 | $t_{\text{пл}} = 2570$ | — | — |
| B_2O_3 | 427,05±8,37 | —273,15 | — | — |
| | 431,730 | 25 | $1,52 \cdot 10^{-59}$ | 1448,05 |
| | 428,02±8,37 | $t_{\text{пл}} = 450$ | $3,34 \cdot 10^{-15}$ | 592,01 |
| CO | 7,3700±0,0050 | $t_{\text{пл}} = -205,02$ | 15 367 | 108,174 |
| CO_2 | 25,246±0,021 | —78,50 | 101 300 | 129,707 |
| | 24,62±0,46 | $t_{\text{пл}} = -56,58$ | 517,846 | 113,67 |
| N_2O | 23,07 | $t_{\text{пл}} = -91,0$ | 87 827 | 126,65 |
| NO | 16,54 | $t_{\text{пл}} = -163,65$ | 22 083 | 151,02 |
| $\text{N}_2\text{O}_4^{*2}$ | 51,800 | $t_{\text{пл}} = -11,2$ | 18 740 | 197,74 |
| N_2O_5 | 54,4 | 25 | 49 637 | 182,54 |
| | 54,0 | $t_{\text{пл}} = 33$ | 101 300 | 176,68 |
| O_2 | 8,101±0,021 | $t_{\text{пл}} = -218,79$ | 156 | 149,05 |
| MgO | 568,99 | —273,15 | — | — |
| Al_2O_3 | 844,9 | —273,15 | — | — |
| SiO | 322,4 | —273,15 | — | — |
| SiO_2^{*3} | 565,22±20,93 | —273,15 | — | — |
| P_4O_6 | 60,71 | $t_{\text{пл}} = 23,9$ | 233 | 204,36 |
| $\text{P}_4\text{O}_{10}^{*4}$ | 89,60±4,2 | 25 | — | 300,61 |
| $\text{P}_4\text{O}_{10}^{*4}$ | 65,31±4,2 | 359 | 101 300 | 103,41 |
| $\text{P}_4\text{O}_{10}^{*4}$ | 58,20±4,2 | $t_{\text{пл}} = 420$ | 491 305 | 83,74 |
| $\text{P}_4\text{O}_{10}^{*5}$ | 152,40 | $t_{\text{пл}} = 562$ | 58 754 | 182,54 |
| $\text{P}_4\text{O}_{10}^{*5}$ | 152,40 | $t_{\text{пл}} = 571$ | 75 975 | 180,45 |

| 1 | 2 | 3 | 4 | 5 |
|--------------------------------|-----------------------|--------------------------|----------------------|--------|
| $\text{P}_4\text{O}_{10}^{*6}$ | 141,93 | $t_{\text{пл}} = 580$ | 73 949 | 166,22 |
| SO_2 | $35,63 \pm 0,04$ | $t_{\text{пл}} = -75,46$ | 15 702 | 180,20 |
| SO_3^{*7} | 68,24 | $t_{\text{пл}} = 62,2$ | 234 003 | 203,48 |
| SO_3^{*8} | 54,43 | $t_{\text{пл}} = 31,5$ | 50 144 | 178,65 |
| SO_3^{*9} | 49,82 | $t_{\text{пл}} = 16,79$ | 20 463 | 171,66 |
| Cl_2O_6 | $51,50 \pm 2,09$ | -22 | 3,47 | 205,15 |
| CaO | 574,01 | -273,15 | - | - |
| TiO | $563,33 \pm 2,18$ | 1574—1695 | - | - |
| | 583,6 | -273,15 | - | - |
| TiO_2 | $581,55 \pm 2,09$ | 1576—1737 | - | - |
| | 609,2 | -273,15 | - | - |
| VO_2 | $435,43 \pm 8,37$ | 1027—1377 | - | - |
| Cr_2O_3 | 523,98 ^{*10} | - | - | - |
| | 445,56 ^{*11} | - | - | - |
| | 589,5 ^{*12} | - | - | - |
| MnO | 508,3 | -273,15 | - | - |
| FeO | 463,4 | - | - | - |
| Fe_3O_4 | 436,2 | - | - | - |
| CoO | 510,8 | -273,15 | - | - |
| NiO | 466,41 | 1227 | - | - |
| | 500,0 | -273,15 | - | - |
| $\text{Ga}_2\text{O}_3^{*13}$ | $573,6 \pm 25,1$ | 25 | - | 1923,8 |
| | $519,2 \pm 12,6$ | $t_{\text{пл}} = 1725$ | 80,0 | 259,83 |
| GeO_2 | 415,7 | -273,15 | - | - |
| $\text{As}_4\text{O}_6^{*14}$ | $104,67 \pm 8,37$ | 25 | $5,37 \cdot 10^{-6}$ | 351,3 |

| 1 | 2 | 3 | 4 | 5 |
|---|--------------|------------------------|---------|---------|
| | 104,67±8,37 | $t_{\text{пл}} = 278$ | 4 812 | 190,08 |
| As ₄ O ₆ ^{*13} | 101,32±8,37 | $t_{\text{пл}} = 314$ | 10 029 | 172,5 |
| SeO ₃ | 98,81±4,19 | 25 | — | 331,59 |
| | 91,27±4,19 | 337 | 101 300 | 149,47 |
| | 110,11 | — | — | — |
| SeO ₃ | 37,68 | $t_{\text{пл}} = 121$ | 729,4 | 95,46 |
| SrO | 530,64±12,14 | —273,15 | — | — |
| ZrO ₃ | 741,06±25,12 | —273,15 | — | — |
| NbO | 590,34±12,56 | 1400—1700 | — | — |
| NbO ₃ | 577,78±20,93 | 1400—1900 | — | — |
| MoO ₃ | 582,8 | 25 | — | — |
| MoO ₃ | 272,14 | 700 | — | — |
| | 315,68±4,19 | — | — | — |
| Tc ₂ O ₇ | 132,30±1,67 | 25 | — | 443,76 |
| | 126,32±1,26 | $t_{\text{пл}} = 120$ | 79,72 | 321,42 |
| RuO ₄ | 55,47±0,84 | 25 | 1398 | 185,35 |
| | 55,27±0,84 | $t_{\text{пл}} = 25,4$ | 1418 | 185,10 |
| CdO | 243,7 | — | — | — |
| | 225,25 | — | — | — |
| In ₂ O ₃ | 531,7±8,4 | 1387 | 0,588 | 320,33 |
| SnO | 307,035 | 25 | — | 1029,12 |
| Sb ₄ O ₆ | 184,64 | $t_{\text{пл}} = 656$ | 1114 | 198,87 |
| TeO ₃ | 270,05±8,37 | 25 | — | 905,60 |
| | 259,58±8,37 | $t_{\text{пл}} = 733$ | 14,18 | 258,03 |
| Ba ₂ O | 228,6 | —273,15 | — | — |
| BaO | 422,87 | —273,15 | — | — |
| | 372,63±2,93 | 900—1200 | — | — |

| 1 | 2 | 3 | 4 | 5 |
|-------------------------|--------------------|-------------------------|--------|--------|
| La_2O_3 | $1783,6 \pm 2,9$ | — | — | — |
| Nd_2O_3 | 1738,8 | — | — | — |
| ReO_2 | $274,65 \pm 2,1$ | 717 | 0,192 | 277,42 |
| Re_2O_7 | $156,59 \pm 4,19$ | 25 | — | 525,19 |
| | $139,00 \pm 1,26$ | $t_{\text{пл}} = 301,5$ | 24 515 | 241,87 |
| Re_2O_8 | $31,44 \pm 1,26$ | $t_{\text{пл}} = 150$ | 3 049 | 74,32 |
| OsO_4 | $57,57 \pm 2,5$ | 25 | 1 307 | 193,10 |
| | $56,56 \pm 2,5$ | $t_{\text{пл}} = 41$ | 3 464 | 180,16 |
| PbO^{*15} | $288,47 \pm 5,44$ | —273,15 | — | — |
| | $288,33 \pm 5,44$ | 25 | — | 967,15 |
| PbO^{*16} | $286,930 \pm 5,44$ | —273,15 | — | — |
| | $286,653 \pm 5,44$ | 25 | — | 961,29 |
| | $271,72 \pm 5,86$ | $t_{\text{пл}} = 886$ | 3,24 | 234,46 |
| ThO | 689,1 | —273,15 | — | — |
| ThO_2 | $711,8 \pm 4,2$ | 25 | — | — |
| | 644,8 | 1877 | — | — |
| | 732,7 | —273,15 | — | — |
| UO_2 | 668,2 | 25 | — | — |
| | 574,0 | 1527 | — | — |
| | $581,96 \pm 20,93$ | 1750—1900 | — | — |

*¹ В тройной точке. *² Равновесная смесь: 16,7% NO_2 и 83,3% N_2O_4 . *³ Кварц.
 *⁴ Гексагональный. *⁵ Ромбический II. *⁶ Ромбический I. *⁷ Моноклинный α .
 *⁸ Моноклинный β . *⁹ Ромбический у. *¹⁰ Для Cr (г). *¹¹ Для CrO_3 (г). *¹² Для
 CrO_2 (г). *¹³ Моноклинный. *¹⁴ Кубический. *¹⁵ Тетрагональный. *¹⁶ Ромби-
 ческий.

10. ПАРАМЕТРЫ ПОЛИМОРФНЫХ И НЕКОТОРЫХ ФАЗОВЫХ ПРЕВРАЩЕНИЙ

[α — низкотемпературная; β, γ, δ — высокотемпературные модификации; p — давление, МПа; ΔH — теплота перехода, кДж/моль; ΔS — изменение энтропии, кДж/(кмоль·К)]

| Тип перехода | Температура, °C |
|--|--------------------|
| 1 | 2 |
| H_2O [9, вып. 1] | |
| Гекс. I→тетр. III ^{*1, *2} | |
| Гекс. II→тетр. III ^{*1, *3} | -34,7 |
| Гекс. II→гекс. I ^{*1, *4} | |
| Гекс. I→тетр. III ^{*5} | -22 |
| Гекс. II→тетр. III ^{*6, *7} | |
| Гекс. II→кр. V ^{*6, *8} | -24,3 |
| Кр. V→тетр. III ^{*6, *9} | |
| Кр. V→тетр. III ^{*10} | -17 |
| Кр. VI→кр. V ^{*11} | 0,16 |
| Кр. VII→кр. VI ^{*12} | 81,6 |
| D_2O [9, вып. 1] | |
| Гекс. I→тетр. III ^{*13, *14} | |
| Гекс. II→тетр. III ^{*13, *15} | -31 |
| Гекс. II→гекс. I ^{*13, *16} | |
| Гекс. II→тетр. III ^{*17, *18} | |
| Гекс. II→кр. V ^{*17, *19} | -21,5 |
| Кр. V→тетр. III ^{*17, *20} | |
| Гекс. I→тетр. III ^{*21} | -18,75 |
| Кр. V→тетр. III ^{*22} | -14,5 |
| Кр. VI→кр. IV ^{*23} | -6,2 |
| Кр. V→кр. VI ^{*24} | 2,6 |

| 1 | 2 |
|---|--|
| BeO [104] ^{*25} | |
| $\alpha \rightarrow \beta^{*26}$ $\beta \rightarrow \alpha$ | 2107 ± 7 2097 ± 7 |
| CO [9, вып. IV] | |
| Kуб. (α) → гекс. (β) ^{*27} | —211,59 |
| N ₂ O ₃ [9, вып. III] | |
| Kр. II → кр. I | —125 |
| O ₂ [9, вып. I] | |
| Ромб. (α) → гекс. (β) ^{*28} Гекс. (β) → куб. (γ) ^{*29} | —249,30 —229,38 |
| Al ₂ O ₃ ^{*30} [19, с. 6; 90, с. 434; 52, с. 18—19] | |
| Куб. (γ) → α^{*31} Куб. (γ) → (θ) $\theta \rightarrow \alpha$ Г. ц. куб. (γ') → α Гекс. (δ) → (α) ^{*32} Октаэдр. (ξ) → α $\chi \rightarrow \alpha^{*33}$ | > 1200 850—900 1100—1150 750—1000 950 > 1600 — |
| SiO ₂ [9, вып. IV] ^{*34} | |
| Кварц IX → α -кварц α -кварц → β -кварц ^{*35} α -Кварц → β -кварц ^{*36} α -Кварц → коэсит ^{*36} β -Кварц → коэсит ^{*36} β -Кварц → тридимит ^{*37} β -Кварц → тридимит ^{*38} β -Кварц → β -кристобалит ^{*38} Тридимит → β -кристобалит ^{*38} β -Кварц → β -кристобалит ^{*39} α -Тридимит → β -тридимит ^{*40} β -Тридимит → тридимит ^{*41} Тридимит → тридимит ^{*42} Тридимит → β -кристобалит ^{*43} α -Кристобалит → β -кристобалит ^{*44} α -Кристобалит → β -кристобалит ^{*45} β -Кварц → β -кристобалит ^{*47} β -Кварц → кремнеземистое стекло *48 | —182 573 1300 ± 100 867 1190 ± 20 1735 ± 50 117 163 225 1470 242 $200—275^{*46}$ ~ 1050 1723 |

| I | 2 |
|--|---------------|
| Кремнеземистое стекло→β-кристобалит ^{*48} | — |
| Cl_2O_7 [9, вып. 1] | |
| Кр. II→кр. I | —100 |
| KO_2 [1, с. 166] | |
| $\alpha \rightarrow \beta$ | 80 |
| Ti_6O [9, вып. VII] | |
| Гекс→кр. ^{*49} | 440 ± 20 |
| Кр. I'→кр. I ^{*50} | 830 ± 20 |
| Ti_3O [9, вып. VII] | |
| Гекс.→кр. ^{*50, *51} | 540 ± 30 |
| Ti_3O_2 [9, вып. VII] | |
| Ромб.→ K_1+K_2 ^{*52} | 910 ± 15 |
| TiO [9, вып. VII] | |
| Монокл. (α)→куб. (β) ^{*53} | 980 ± 10 |
| Куб. (β)→куб. | 1250 ± 10 |
| $\text{TiO}_{1,20}$ [9, вып. VII] | |
| Ромб.→ K_1+K_2 | 820 ± 10 |
| $\text{TiO}_{1,25}$ [9, вып. VII] | |
| Тетр.→ K_1+K_2 | 720 |
| Ti_2O_3 [9, вып. VII] | |
| Монокл.→гекс. ^{*54, *55} | 160 ± 20 |
| Ti_3O_5 [9, вып. VII] | |
| Монокл.(α)→монокл. (β) ^{*56} | 175 ± 5 |
| TiO_2 | |
| Рутил→кр. IV ^{*57} | 400 ± 50 |
| α -Анатаз→ β -анатаз ^{*58} | 642 |

| 1 | 2 |
|---|---------------------|
| β -Анатаз \rightarrow рутил ^{*59} | 915 |
| β -Анатаз \rightarrow рутил ^{*60} | 800—850 |
| Брукит \rightarrow рутил ^{*61} | 650 |
| Анатаз \rightarrow брукит ^{*62} | 800 |
| Брукит \rightarrow рутил ^{*63} | 1040 |
| α -Анатаз \rightarrow рутил ^{*63} | > 400 |
| VO [9, вып. VII] | |
| Куб. I' \rightarrow куб. ^{*64} | -153 ± 10 |
| V_2O_3 [9, вып. VII] | |
| Монокл. \rightarrow гекс ^{*65} | —105 |
| Монокл. \rightarrow гекс. ^{*66} | -193 ± 10 |
| Монокл. \rightarrow гекс. ^{*67} | $-298, 95$ |
| V_3O_5 | |
| Монокл. I' \rightarrow монокл. I ^{*68} ^{*69} | -140 ± 5 —98 |
| V_4O_7 [9, вып. VII] | |
| Трикл. I' \rightarrow трикл. I ^{*70, *71} | -36 ± 4 |
| Трикл. I' \rightarrow трикл. I ^{*71, *72} | -35 ± 2 |
| V_5O_9 [9, вып. VII] | |
| Трикл. I' \rightarrow трикл. I | -134 ± 5 |
| V_6O_{11} [9, вып. VII] | |
| Трикл. I' \rightarrow трикл. I | -96 ± 5 |
| V_8O_{15} [9, вып. VII] | |
| Трикл. I' \rightarrow трикл. ^{*73} | 70 ± 5 |
| V_2O_4 [9, вып. VII] | |
| Монокл. \rightarrow тетр. ^{*74} | 67 ± 2 |
| Монокл. \rightarrow тетр. ^{*75} | 72 |
| V_6O_{13} [9, вып. VII] | |
| Монокл. I' \rightarrow монокл. I ^{*76, *77} | -135 ± 3 |
| Монокл. I' \rightarrow монокл. I | —118 |

| 1 | 2 |
|----------------------------|---------------------|
| V_2O_5 [9, вып. VII] | |
| Kр. II → ромб. *78 | 23 |
| Cr_2O_3 [9, вып. VII] | |
| Гекс. I → гекс. I' *79 | 32 ± 1 |
| Гекс. I → гекс. I' *80 | 12 ± 2 |
| $\beta + \gamma$ *81 | > 800 |
| CrO_2 [9, вып. VII] | |
| Тетр. I → тетр. I' *82 | 116 ± 2 |
| CrO_3 [9, вып. VII] | |
| Ромб. I → кр. II *83 | 23 |
| MnO [9, вып. VII] | |
| Гекс. II → кр. I *77, *84 | $-155, 35 \pm 2, 0$ |
| Гекс. II → кр. I *85 | $-153, 85 \pm 0, 5$ |
| Куб. I → кр. III *86 | 20 |
| Mn_3O_4 [9, вып. VII] | |
| Ромб. → тетр. *77 | $-231, 15 \pm 1, 0$ |
| Тетр. → куб. *87 | 1160 ± 10 |
| Mn_2O_3 [9, вып. VII] | |
| Ромб. II' → ромб. II *88 | $-193, 75 \pm 1, 0$ |
| Ромб. II → кр. I | 670 ± 100 |
| MnO_2 [9, вып. VII] | |
| Тетр. I' → тетр. I *89 | $-181, 15 \pm 0, 1$ |
| $Fe_{0,947}O$ [9, вып. VI] | |
| Куб. I' → куб. I *77, *90 | -87 ± 3 |
| $FeO_{1,056}$ [9, вып. VI] | |
| Kр. I' → кр. I *91 | -87 ± 3 |
| Fe_3O_4 [9, вып. VI] | |
| Ромб. → куб. *92 | $-154, 25$ |
| Куб. → кр. | 578 ± 7 |
| Ромб. → куб. *93 | $-163, 45$ |
| Ромб. → куб. *94 | $-161, 95$ |

| 1 | 2 |
|---|------------------|
| Fe_2O_3 [9, вып. VI] | |
| Kр. II' \rightarrow кр. I'* ⁹⁵ | -15 ± 2 |
| Kр. I' \rightarrow кр. I* ⁹⁸ | 680 ± 10 |
| CoO [9, вып. VI] | |
| Тетр. \rightarrow куб. * ^{77, 97} | 17 ± 3 |
| Куб. \rightarrow кр. I | 985 ± 25 |
| Co_3O_4 [9, вып. VI] | |
| Куб. I' \rightarrow куб. I* ⁷⁷ | -233 ± 5 |
| NiO [9, вып. VI] | |
| Куб. I \rightarrow куб. I' | 252 ± 15 |
| Ga_2O_3 [9, вып. V] | |
| Куб. (δ) \rightarrow (ε)* ⁹⁸ | 500 ± 20 |
| (ε) \rightarrow монокл. (β)* ⁹⁸ | 870 ± 15 |
| Куб. (γ) \rightarrow монокл. (β)* ⁹⁸ | 650 ± 20 |
| Куб. (γ) \rightarrow гекс. (α)* ⁹⁸ | 500 ± 20 |
| Гекс. (α) \rightarrow монокл. (β)* ⁹⁸ | 625 ± 20 |
| GeO_2 [9, вып. IV] | |
| Тетр. \rightarrow гекс.* ⁹⁹ | 1049 ± 5 |
| Гекс. I \rightarrow гекс.* ⁹⁵ | 1000 ± 20 |
| As_2O_3 [81, т. 3] | |
| Арсенолит (куб.) \rightarrow клодетит (монокл.)* ¹⁰⁰ | — |
| RbO_2 | |
| Тетр. (α) \rightarrow куб. (β)* ¹⁰¹ | $130 - 150$ |
| — | $-258, 15^{102}$ |
| — | $-94, 85^{102}$ |
| Zr_6O_3 [9, вып. VII] | |
| Kр. $\rightarrow K_1 + K_2$ | 940 ± 20 |
| ZrO_2 [9, вып. VII] | |
| Монокл. \rightarrow тетр.* ¹⁰³ | 1175 ± 30 |
| Монокл. \rightarrow тетр.* ¹⁰⁴ | 300 ± 20 |
| Тетр. \rightarrow куб.* ¹⁰⁵ | |
| Ромб. \rightarrow тетр.* ¹⁰⁵ | 850 ± 100 |
| Ромб. \rightarrow куб.* ¹⁰⁵ | |

| I | 2 |
|--|---|
| Тетр. \rightarrow куб.* ¹⁰⁶ Ромб. \rightarrow тетр.* ¹⁰⁷ Ромб. \rightarrow куб.* ¹⁰⁸ Монокл. \rightarrow тетр.* ¹⁰⁹ Монокл. \rightarrow тетр.* ¹¹⁰ | 2350 \pm 50 160 \pm 50 800 \pm 50 1147 1000—1205 |
| Тетр. I \rightarrow тетр. I' * ⁵⁰ , * ¹¹¹ | NbO ₂ [9, вып. VII] 795 \pm 10 |
| Kр. III \rightarrow кр. II* ¹¹² Кр. III \rightarrow кр. II* ¹¹³ Кр. II \rightarrow МОНОКЛ.* ¹¹² $\alpha(L)\rightarrow\beta(M)*^{114}$ $\beta(M)\rightarrow\gamma(N)*^{114}$ $\alpha\rightarrow\beta*^{115}$ $\beta\rightarrow\gamma*^{116}$ | 780 \pm 100 1000 \pm 100 1300 \pm 100 900 1100 900 1280 |
| Монокл. \rightarrow ромб. | Mo ₄ O ₁₁ [9, вып. VII] 655 \pm 10 |
| Трикл. \rightarrow МОНОКЛ. | Mo ₉ O ₂₆ [9, вып. VII] 770 \pm 10 |
| Ромб. \rightarrow кр. I | MoO ₃ [9, вып. VII] 467 \pm 10 |
| Гекс. \rightarrow кр.I | Rh ₂ O ₃ [9, вып. VI] 750 |
| Ам. \rightarrow кр.* ¹¹⁷ | CdO [19] Красного кале- ния |
| Куб. I \rightarrow II ¹¹⁸ | In ₂ O ₃ [9, вып. V] 1250 |
| Тетр. \rightarrow кр. I* ¹¹⁹ | SnO ₂ [9, вып. IV] 425 \pm 25 |
| Куб. \rightarrow ромб.* ¹²⁰ | Sb ₄ O ₆ [9, вып. III] 572 |
| Орторомб. (α) \rightarrow тетр. (β)* ¹²¹ | TeO ₂ [143] 485 |

| 1 | 2 |
|--|--------------------------|
| CsO_2 [54] | |
| Тетр. \rightarrow куб.* ¹²² | 130—200 |
| La_2O_3 | |
| Монокл. (B) \rightarrow гекс. (A)* ¹²³ | 800 |
| Гекс. (A) \rightarrow гекс. (H)* ¹²⁴ | 2047 |
| Гекс. (H) $\rightarrow X$ * ¹²⁴ , * ¹²⁵ | 2107 |
| Pr_2O_3 | |
| Куб. (C) \rightarrow гекс. (A)* ¹²⁶ | 650 |
| Монокл. (B_1) \rightarrow гекс. (A)* ¹²⁶ | 810 |
| Гекс. (A) \rightarrow гекс. (H)* ¹²⁴ | 1947 |
| Гекс. (H) $\rightarrow X$ * ¹²⁴ , * ¹²⁵ | 2147 |
| Nd_2O_3 [77] | |
| Куб. (C) \rightarrow гекс. (A) | 600—810 |
| Куб. (C) \rightarrow гекс. (A)* ¹²⁷ | 750—1100* ¹²⁸ |
| Куб. (C) \rightarrow монокл. (B) | 915 |
| Монокл. (B_1) \rightarrow гекс. (A) | 1000 |
| Монокл. (B) \rightarrow гекс. (A) | 1030 |
| Гекс. (A) \rightarrow гекс. (H)* ¹²⁴ | 2097 |
| Гекс. (H) $\rightarrow X$ * ¹²⁴ , * ¹²⁵ | 2197 |
| Pm_2O_3 [102]* ¹²⁹ | |
| Куб. (C) \rightarrow монокл. (B) | 750—800 |
| Монокл. (B_1) \rightarrow гекс. (A) | 1740 |
| Гекс. (A) \rightarrow высокотемпературный гекс. (H) | 2135 |
| Высокотемпературный гекс. (H) \rightarrow высокотемпературный куб. (X) | 2225 |
| Sm_2O_3 [77] | |
| Куб. (C) \rightarrow монокл. (B) | 735 |
| Монокл. (B_1) \rightarrow гекс. (A) | 850 |
| Куб. (C) \rightarrow гекс. (A) | 840—1150 |
| Куб. (C) \rightarrow монокл. (B)* ¹³⁰ | 840—880 |
| Куб. (C) \rightarrow монокл. (B)* ¹³¹ | 950 |
| Монокл. (B) \rightarrow гекс. (A)* ¹²⁴ | 1897 |
| Гекс. (A) \rightarrow гекс. (H)* ¹²⁴ | 2097 |
| Гекс. (H) $\rightarrow X$ * ¹²⁴ , * ¹²⁵ | 2247 |

| 1 | 2 |
|---|----------------|
| Eu_2O_3 [77] | |
| Куб. (C) → монокл. (B ₁) | 800 |
| Куб. (C) → монокл. (B) | 1075—1350 |
| Куб. → монокл. * ¹³² | 1050 |
| Куб. (C) → монокл. (B) * ¹³⁰ | 1100—1400 |
| Монокл. (B) → гекс. (A) * ¹²⁴ | 2037 |
| Гекс. (A) → гекс. (H) * ¹²⁴ | 2137 |
| Гекс. (H) → X * ¹²⁴ , * ¹²⁵ | 2267 |
| Gd_2O_3 [77] | |
| Куб. (C) → монокл. (B ₂) | 875 |
| Куб. (C) → монокл. (B) | 1025—1250 |
| Куб. (C) → монокл. (B) * ¹³⁰ | 1400 |
| Куб. (C) → монокл. (B) * ¹³³ | 1225 |
| Монокл. (B) → гекс. (H) * ¹²⁴ | 2167 |
| Гекс. (H) → X * ¹²⁴ , * ¹²⁵ | 2357 |
| Tb_2O_3 [77] | |
| Куб. (C) → монокл. (B ₁) | 1150 |
| Куб. (C) → монокл. (B) | 1875 |
| Куб. (C) → монокл. (B) * ¹³³ | 1850 |
| Монокл. (B) → гекс. (H) * ¹³⁴ | 2157 |
| Dy_2O_3 [77] | |
| Куб. (C) → монокл. (B ₂) | 1600 |
| Куб. (C) → монокл. (B) | 2150 |
| Монокл. (B) → гекс. (H) * ¹³⁴ | 2197 |
| Ho_2O_3 [137; 138; 156] | |
| Куб. (C) → монокл. (B) | 2197 |
| Монокл. (B) → гекс. (H) | 2237 |
| Er_2O_3 [137; 138; 156] | |
| Куб. (C) гекс. (H) | 2277 |
| Yb_2O_3 [137; 138; 156] | |
| Куб. (C) → гекс. (H) | 2377 |
| HfO_2 [9, вып. VII] | |
| Ромб. → монокл. * ¹³⁵ | 630 ± 50 |
| Монокл. → тетр. * ¹³⁶ | 900 ± 50 |
| Монокл. → ромб. * ¹³⁶ | 1450 ± 50 |
| Ромб. → тетр. * ¹³⁶ | 1650 ± 100 |
| Ромб. → тетр. * ⁸⁶ | 2500 ± 100 |
| Монокл. → тетр. * ¹³⁷ | |
| Тетр. → куб. | |

Ta_2O_5 [9, вып. VII]

Ромб. → трикл. | 1340 ± 20

$WO_{2.96}$ [9, вып. VII] $*^{138}$

Монокл. → кр. I | 1250 ± 20

 WO_3 [9, вып. VII]

Трикл. IV' → трикл. | -45 ± 5

Трикл. → монокл. | 18 ± 2

Монокл. → ромб. $*^{139}$ | 330 ± 20

Ромб. → тетр. I'' $*^{140}$ | 740 ± 10

Тетр. I'' → тетр. I' $*^{141}$ | 900 ± 10

Тетр. I' → тетр. I $*^{142}$ | 1220 ± 20

 PbO [9, вып. IV]

Тетр. → ромб. $*^{143}$ | 540

α (красный) → β (желтый) $*^{144}$ | $475 - 583$

 PbO_2 [52]

$\alpha \rightarrow \beta *^{145}$ | $50 - 230$

 Bi_2O_3 [9, вып. III]

Монокл. → куб. $*^{146}$ | 730 ± 5

Тетр.(метастаб.) → монокл. $*^{147}$ | 450

Куб. → тетр.(метастаб.) $*^{147}$ | 650

Куб. → тетр.(метастаб.) $*^{148}$ | 650

Тетр.(метастабильный) → монокл. $*^{149}$ | $550 - 450$

Монокл. (α) → куб. гранецентр. (δ) $*^{150}$ | $725 - 730$

Куб. гранецентр. (δ) → тетр. $*^{151}$ | 646 ± 1

Тетр. (β) → монокл. (α) $*^{152}$ | $620 - 605$

Куб. гранецентр. (δ) → куб. объемноцентр. (γ) $*^{153}$ | $820 - 800$

 U_2O_3 [52]

$\alpha \rightarrow \beta$ | 750

 U_3O_8 [52]

Ромб. → тригон. | 400

 Pu_2O_3 [171]

Куб. (C) → гекс. (A) | 1600

Am_2O_3 [171]

| | |
|-------------------------|-----|
| Куб. (C) → монокл. (B) | 800 |
| Монокл. (B) → гекс. (A) | 950 |

 Cm_2O_3 [171]

| | |
|---|----------|
| Куб. (C) → монокл. (B) | 1000 |
| Монокл. (B) → гекс. (A) ^{*154} | 1600 |
| Куб. (C) → монокл. (B) ^{*155} | 800—1300 |

 Bk_2O_3 [171]

| | |
|--|---------|
| Куб. (C) → монокл. (B) ^{*156} | 1200±50 |
| Монокл. (B) → гекс. (A) | >1750 |

 Cf_2O_3 [171]

| | |
|--|------|
| Куб. (C) → монокл. (B) ^{*157} | 1400 |
|--|------|

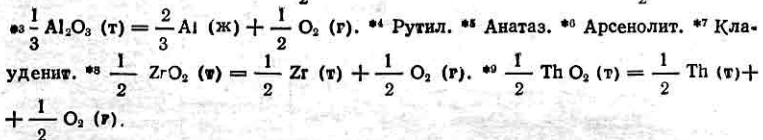
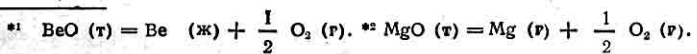
*1 $p=(212,7)$. *2 $\Delta H=0,167$, $\Delta S=0,712$. *3 $\Delta H=0,921$, $\Delta S=3,852$. *4 $\Delta H=0,754$, $\Delta S=3,140$. *5 $p=(207,4)$, $\Delta H=0,381$, $\Delta S=1,507$. *6 $p=(344,1)$. *7 $\Delta H=1,273$, $\Delta S=-5,108$. *8 $\Delta H=1,206$, $\Delta S=4,857$. *9 $\Delta H=0,067$, $\Delta S=0,251$. *10 $p=(346,0)$, $\Delta H=0,071$, $\Delta S=0,293$. *11 $p=625,5$, $\Delta H=0,017$, $\Delta S=0,042$. *12 $p=(2196)$, $\Delta H=0$. *13 $p=(224,5)$. *14 $\Delta H=0,306$, $\Delta S=1,256$. *15 $\Delta H=0,825$, $\Delta S=3,391$. *16 $\Delta H=0,519$, $\Delta S=-2,135$. *17 $p=(-347,1)$. *18 $\Delta H=1,478$, $\Delta S=5,862$. *19 $\Delta H=1,432$, $\Delta S=5,694$. *20 $\Delta H=0,046$, $\Delta S=0,167$. *21 $p=(220,1)$, $\Delta H=0,322$, $\Delta S=1,256$. *22 $p=(348,6)$, $\Delta H=0,050$, $\Delta S=0,209$. *23 $p=(-530,4)$, $\Delta H=0,008$, $\Delta S=0,042$. *24 $p=(628,1)$, $\Delta H=0,008$, $\Delta S=0,042$. *25 Ширина температурного гистерезиса 10—24° С, результат не зависит от степени чистоты BeO в интервале 99,0—99,9% чистоты. *26 $\Delta H=5,8±1,05$. *27 $p=3748\cdot10^{-6}$ $\Delta H=-0,6326±0,0033$, $\Delta S=10,279$. *28 $\Delta H=0,09387±0,0004$, $\Delta S=3,936$. *29 $\Delta H=0,7436±0,0021$, $\Delta S=16,990$. *30 Модификации γ , γ' , δ , ξ , χ низкотемпературные, при нагревании они необратимо превращаются в α - Al_2O_3 (корунд). *31 $\Delta H=-32,66$ [90], $\Delta H=-22,19$ [52]. *32 $\Delta H=-11,30$. *33 $\Delta H=-15,07$. *34 Превращение низкотемпературной разновидности той или иной модификации в высокотемпературную и обратно протекает быстро, тогда как превращение одной из трех главных модификаций в другую совершается довольно медленно [19]. *35 $\Delta H=0,628$, $\Delta S=-0,754$, *36 $p=3390$. *37 $\Delta H=0,50$, $\Delta S=0,461$. *38 $p=(140)$. *39 $p=(248)$. *40 $\Delta H=0,29$, $\Delta S=0,754$. *41 $\Delta H=0,17$, $\Delta S=0,377$. *42 $\Delta H=0,21$, $\Delta S=0,335$. *43 $\Delta H=0,21$, $\Delta S=-0,126$. *44 $\Delta H=1,30$, $\Delta S=2,51$. *45 Для кристобалита переход $\alpha \rightleftharpoons \beta$ обычно обнаруживается в интервале 220—272° С при нагревании и в интервале 238—198° С при охлаждении [81, т. 2]. *46 [67]. *47 [90]. *48 [81, т. 2]. *49 $\Delta H=1,63±0,17$, $\Delta S=2,30$, кр. I→кр. I'. *50 Переход типа порядок — беспорядок. *51 $\Delta H=1,63±0,17$, $\Delta S=2,01$. *52 K_1 — твердый раствор на основе α -Ti, K_2 — TiO. *53 $\Delta H=-3,43±1,26$, $\Delta S=2,72$. *54 Переход типа полупроводник — полуметалл. *55 $\Delta H=-0,151±0,008$, $\Delta S=0,335$. *56 $\Delta H=9,38±0,84$, $\Delta S=20,93$. *57 $p=(1,06\cdot10^4)$ [9, в. VII]. *58 Превращение протекает быстро [19], $\Delta H=1,26$ [1, с. 166]. *59 Превращение протекает медленно [19]. *60 $\Delta H=5,19±0,80$ [31], $\Delta H=6,70-7,12$, расчетные данные [32]. *61 [90]. *62 В присутствии примесей [52]. *63 В присутствии минерализаторов [90]. *64 Фазовый переход второго рода (типа диэлектрик — металл). *65 Фазовый переход первого рода, температура перехода по различным работам в пределах 150—175 К. $\Delta H=1,84±0,21$ вычислено в интервале 140—205 К. *66 Фазовый переход первого рода, $p=(2030)$. *67 То же, $p=(2530)$. *68 [9, вып. VIII]. *69 [52]. *70 $p=(4050)$. *71 Фазовый переход типа полупроводник — металла. *72 $\Delta H=0,63±0,04$ вычислено в интервале 210—260 К. *73 Фазовый переход второго рода (типа полупроводник — металл). *74 $\Delta H=6,28±0,4$, $\Delta S=18,46$. *75 $\Delta H=8,62$ [1]. *76 $p=(1,62\cdot10^4)$. *77 Точка Нееля (переход антиферромагнетик — парамагнетик). *78 $p=(8610)$. *79 Точка Нееля, $\Delta H=0,80±0,04$ вычислено в интервале 210—350 К. *80 $p=(1520)$, точка Нееля. *81 [90]. *82 Точ-

ка Юори (переход ферромагнетик–антиферромагнетик). ^{*83} $p = (1,16 \cdot 10^4)$. ^{*84} $\Delta H = -0,775 \pm 0,084$ вычислено в интервале 75–150 К. ^{*85} $p = (304)$, точка Нееля. ^{*86} $p = -(1,01 \cdot 10^4)$. ^{*87} $\Delta H = 20,9 \pm 2,1$, $\Delta S = 14,61$. ^{*88} $\Delta H = 0,377 \pm 0,08$ вычислено в интервале 35–110 К. ^{*89} $\Delta H = 0,234 \pm 0,013$. ^{*90} $\Delta H = 0,21 \pm 0,04$ вычислено в интервале 158–204 К. ^{*91} Точка Нееля, $\Delta H = 0,222 \pm 0,04$. ^{*92} Фазовый переход первого рода, связанный с упорядочением ионов Fe^{+2} и Fe^{+3} в октаэдрических узлах, $\Delta H = 0,662$ вычислено в интервале 110–125 К. ^{*93} 1% катионных вакансий, $\Delta H = 0,410$ вычислено в интервале 106–113 К. ^{*94} 2% катионных вакансий, $\Delta H = 0,092$ вычислено в интервале 100–120 К. ^{*95} Фазовый переход второго рода. ^{*96} Точка Нееля, $\Delta H = 3,22 \pm 0,42$. ^{*97} $\Delta H = 0,306$ вычислено в интервале 240–298 К. ^{*98} Монотектическое превращение. ^{*99} $\Delta H = 21,14 \pm 2,5$, $\Delta S = 15,99$. ^{*100} Очень медленное превращение. ^{*101} В интервале от 130 до 150° С обе фазы регистрируются одновременно [54]. ^{*102} Вероятно, фазовые переходы второго рода, [144]. ^{*103} $\Delta H = -17,53 \pm 1,26$, $\Delta S = 4,77$. ^{*104} $p = (3040)$. ^{*105} $p = (8100)$. ^{*106} $\Delta H = 13,0$, $\Delta S = 4,94$. ^{*107} $p = -5100$. ^{*108} $p = (10100)$. ^{*109} $\Delta H = 4,75$ [1, с. 167]. ^{*110} $\Delta H = 5,95 \pm 0,42$ [1]. ^{*111} $\Delta H = 2,9$, $\Delta S = 2,76$. ^{*112} $p = (2030)$. ^{*113} $p = (6080)$. ^{*114} По Брауэру [1, с. 167]. ^{*115} По Гольдшмидту [1]. ^{*116} По Шеферу и Рою [1]. ^{*117} $\Delta H = 226,1$. ^{*118} $p = (6580)$. ^{*119} $\Delta H = 1,88$, $\Delta S = 2,700$. ^{*120} $p = (1216 \cdot 10^{-6})$, $\Delta H = 13,4$, $\Delta S = 15,9$. ^{*121} $\Delta H = -0,976 \pm 0,126$, необратимый переход. ^{*122} Предположительно. ^{*123} При 400° С обнаруживаются кубическая (C) и моноклинная (B) формы, с 500 до 700° С – только моноклинная (B) форма, с 900 до 1300° С – только гексагональная форма (A) [99]. ^{*124} [137, 138, 156]. ^{*125} X – пока не идентифицированная фаза [137, 138], по [102] – высокотемпературная кубическая фаза. ^{*126} [138, 77]. ^{*127} Необратимое превращение без промежуточной B -формы [154]. ^{*128} [113]. ^{*129} Погрешность при измерении температуры $\pm 20^\circ$ С, все переходы (кроме $C \rightarrow B$) обратимы. ^{*130} Необратимое превращение [113]. ^{*131} [137, 138]. ^{*132} [19]. ^{*133} [137, 138]. ^{*134} [137, 138, 156]. ^{*135} $p = (4050)$. ^{*136} $p = (5070)$. ^{*137} Обратное превращение протекает с гистерезисом в интервале 1600–1500° С. ^{*138} 1/50 $\text{W}_{50}\text{O}_{148}$. ^{*139} $\Delta H = 1,38 \pm 0,21$, $\Delta S = 2,30$. ^{*140} $\Delta H = 1,88 \pm 0,21$, $\Delta S = 1,84$. ^{*141} $\Delta H = 1,17 \pm 0,13$. ^{*142} $\Delta H = 0,50 \pm 0,13$. ^{*143} $\Delta H = 0,4$, $\Delta S = 0,50$. ^{*144} $\Delta H = 1,68$, переход $\alpha \rightarrow \beta$ замедленный [1]. ^{*145} При нагревании на воздухе, переход $\alpha \rightarrow \beta$, происходит также при повышенном давлении и размалывании. ^{*146} $\Delta H = 41,4 \pm 2,1$, $\Delta S = 41,28$. ^{*147} Необратимый переход. ^{*148} При охлаждении ниже 730° С [52]. ^{*149} При охлаждении [52]. ^{*150} При нагревании, в образце 99, 97% (по массе) Bi_2O_3 , $\Delta H = 78,29$, $\Delta S = 75,4$, [98]. ^{*151} При охлаждении переход не зависит от состава газовой среды и температуры предварительного нагрева. ^{*152} При охлаждении переход существенно зависит от вышеуказанных факторов. ^{*153} При охлаждении, переходе Bi_2O_3 в γ -фазу способствует увеличение парциального давления кислорода и увеличение выдержки при указанной температуре, γ -фаза устойчива при нормальных условиях, снижение парциального давления кислорода и увеличение выдержки при 750° С расширяют интервал устойчивости β -фазы [98]. ^{*154} [171, 179]. ^{*155} $A - \text{Cm}_2\text{O}_3$ стабильна до температуры плавления [179]. ^{*156} $\text{Bk}_2\text{O}_3 > 99,8\%$ (ат.). ^{*157} $\text{Cf}_2\text{O}_3 > 99,8\%$ (ат.). Численные значения величин p , ΔH и ΔS даны в единицах, указанных в начале параграфа.

**11. ЭНЕРГИЯ АТОМИЗАЦИИ КРИСТАЛЛИЧЕСКИХ
ОКИСЛОВ ПРИ О К**
[1; 9, вып. I, III—VII; 185]

| Окисел | Структура | Энергия атомиза- ции $D_0 \cdot 10^{-3}$, Дж/кмоль | Окисел | Структура | Энергия атомиза- ции $D_0 \cdot 10^{-3}$, Дж/кмоль |
|----------------------------------|----------------------|---|--------------------------------|----------------------|---|
| 1 | 2 | 3 | 1 | 2 | 3 |
| H ₂ O | Гекс. | 965761 ± 142 | CrO ₃ | Ромб. | 1733300 |
| H ₂ O ₂ | Тетр. | 1120928 ± 293 | MnO | Гекс. | 915682 ± 2596 |
| D ₂ O | Гекс. | 983195 ± 172 | Mn ₃ O ₄ | Ромб. | 3218800 ± 6280 |
| Li ₂ O | Куб. | 1168100 | Mn ₂ O ₃ | » | 2260625 ± 4187 |
| BeO | * ₁ | 418680 | MnO ₂ | Тетр. | 1294324 ± 2261 |
| | Гекс. | 1165600 | Fe _{0.947} O | Куб. | 906208 ± 2093 |
| B ₂ O ₃ | » | 3122164 ± 25121 | FeO | » | 927782 ± 4605 |
| Na ₂ O | Куб. | 977200 | FeO _{1.056} | » | 956939 ± 4605 |
| MgO | * ₂ | 221900 | Fe ₃ O ₄ | Ромб. | 3344395 ± 4187 |
| | Куб. | 1001100 | Fe ₂ O ₃ | Гекс. | 2386983 ± 5024 |
| Al ₂ O ₃ | * ₃ | 343318 | CoO | Тетр. | 913388 ± 4187 |
| | Гекс. | 3059525 ± 8374 | Co ₃ O ₄ | Куб. | 3142918 ± 15072 |
| SiO ₂ | α-корунд | 1848489 ± 7955 | NiO | » | 911538 ± 2177 |
| | α-кварц | 1843113 | Cu ₂ O | Монокл. | 1091846 ± 2847 |
| | α-триди- мит | 1845868 ± 7955 | CuO | Гекс. | 738535 ± 1758 |
| | α-кристо- балит | 1843381 ± 7955 | ZnO | Монокл. | 724852 ± 377 |
| | Коэсит | 1797448 ± 7955 | Ga ₂ O ₃ | (β) | 2365366 ± 9211 |
| | Стишовиг | 2546000 | GeO ₂ | Тетр. | 1444923 ± 4605 |
| P ₂ O ₃ | — | 6688061 | As ₄ O ₆ | Гекс. * ₆ | 1421059 ± 4187 |
| P ₄ O ₁₀ | Гексаг. | 791300 | | Куб. * ₆ | 3956555 ± 26796 |
| K ₂ O | — | 1062200 | | | |
| CaO | Куб. | 3151000 | | | |
| Sc ₂ O ₃ | Куб. | 1241478 | | | |
| TiO | — | 1248705 | As ₂ O ₅ | — | 2723823 ± 13398 |
| Ti ₂ O ₃ | » | 3193708 | Rb ₂ O | Куб. | 743600 - |
| Ti ₃ O ₅ | » | 5092740 | SrO | » | 1003600 |
| Ti ₄ O ₇ | Трикл. | 6988167 | Y ₂ O ₃ | » | 3508500 |
| Ti ₅ O ₉ | » | 8878938 | ZrO ₂ | * ₈ | 351690 |
| Ti ₆ O ₁₁ | — | 10768495 | | | |
| Ti ₇ O ₁₃ | Трикл. | 12658680 | NbO ₂ | Монокл. | 2188846 |
| Ti ₈ O ₁₅ | » | 14546102 | Nb ₂ O ₅ | Тетр. | 2005117 |
| Ti ₉ O ₁₇ | » | 16437334 | MoO ₂ | Монокл. | 4563880 ± 8374 |
| Ti ₁₀ O ₁₉ | — | 18329483 | MoO ₃ | Ромб. | 1733766 ± 3056 |
| TiO ₂ | Тетр. * ₄ | 1904764 | Ag ₂ O | Куб. | 2136817 ± 29726 |
| | * ₅ | 1899543 | CdO | » | 845750 ± 1675 |
| VO | Куб. | 1187829 ± 6280 | In ₂ O ₃ | » | 615878 ± 1256 |
| VO _{1.24} | » | 1338708 ± 7118 | SnO | Тетр. | 2152850 |
| V ₂ O ₃ | Монокл. | 2979507 ± 8792 | SnO ₂ | Тетр. | 833395 ± 2596 |
| V ₄ O ₇ | Трикл. | 6428237 ± 17585 | Sb ₂ O ₃ | — | 1371219 ± 3856 |
| V ₂ O ₄ | Монокл. | 3429492 ± 10048 | Sb ₂ O ₄ | — | 1956100 |
| V ₂ O ₅ | — | 3801941 ± 12560 | Sb ₂ O ₄ | Ромб. | 2422884 ± 8374 |
| Cr ₂ O ₃ | Гекс. | 2667540 ± 8374 | Sb ₂ O ₅ | Куб. | 3963464 ± 15072 |
| | | | | | 2765859 |

| 1 | 2 | 3 | 1 | 2 | 3 |
|--------------------------------|---------|----------------|--------------------------------|----------------|-----------------|
| Cs ₂ O | Гекс. | 723500 | WO ₃ | Трикл. | 2434674 ± 4187 |
| BaO | — | 981000 | ReO ₃ | Тетр. | 2136500 |
| La ₂ O ₃ | — | 3383800 | Re ₂ O ₇ | Ромб. | 4541497 ± 15070 |
| Ce ₂ O ₃ | — | 3280800 | OsO ₂ | Тетр. | 1428100 |
| CeO ₂ | Куб. | 1943900 | IrO ₂ | » | 1352800 |
| Pr ₂ O ₃ | — | 3290000 | HgO | Ромб. | 397893 |
| Nd ₂ O ₃ | — | 3200400 | Tb ₂ O | — | 1035000 |
| Sm ₂ O ₃ | — | 2983500 | PbO | Красный | 660221 ± 1047 |
| HfO ₂ | Монокл. | 2227625 | | Желтый | 658680 ± 1089 |
| Ta ₂ O ₅ | Ромб. | 4845652 ± 5862 | PbO ₂ | Тетр. | 962005 ± 1507 |
| WO ₂ | Монокл. | 1935110 ± 4187 | Pb ₃ O ₄ | » | 2291385 ± 3140 |
| WO _{2,72} | » | 2298725 | Bi ₂ O ₃ | Монокл. | 1723710 ± 5862 |
| WO _{2,90} | » | 2385773 | ThO ₂ | * ⁹ | 464735 |
| WO _{2,96} | » | 2415193 ± 9211 | UO ₂ | — | 2074140 |
| | | | UO ₃ | — | 2461000 |



12. ЭНЕРГИЯ КРИСТАЛЛИЧЕСКОЙ РЕШЕТКИ [1, 36]

| Оксид | Энергия кристаллической решетки W, кДж/моль | Оксид | Энергия кристаллической решетки W, кДж/моль | Оксид | Энергия кристаллической решетки W, кДж/моль |
|--------------------------------|---|--------------------------------|---|--------------------------------|---|
| Li ₂ O | 2901,45 | Cr ₂ O ₃ | 15186 | ZrO ₂ | 11195,50 |
| Li ₂ O ₂ | 2593,30 | MnO | 3876,98 | MoO ₃ | 12363,62 |
| LiO ₂ | 879,2 ± 41,9 | MnO ₂ | 13067,00 | Ag ₂ O | 3056,36 |
| BeO | 4521,72 ± 4601,29 | FeO | 4036,08 | CdO | 3876,98 |
| B ₂ O ₃ | 18254,45 | CoO | 4036,08 | In ₂ O ₃ | 14528,20 |
| Na ₂ O | 2579,07 | NiO | 4044,45 | SnO | 3696,94 |
| Na ₂ O ₂ | 2310,28 | Cu ₂ O | 3324,32 | SnO ₂ | 11867,02 |
| NaO ₂ | 799,26 | CuO | 3872,79 | Cs ₂ O | 2239,94 |
| MgO | 3935,59 | ZnO | 4107,25 | Cs ₂ O ₂ | 1948,96 |
| | 3893,72* ¹ | Ga ₂ O ₃ | 15608,39 | CsO ₂ | 679,10 |
| Al ₂ O ₃ | 15520,47 | | 15185,52 | BaO | 3127,54 |
| SiO ₂ | 13134,00 | GeO ₂ | 12836,73 | | 3081,49* ¹ |
| K ₂ O | 2327,86 | Rb ₂ O | 2294,37 | La ₂ O ₃ | 12585,52 |
| K ₂ O ₂ | 2115,59 | RbO | 3567,15 | CeO ₂ | 10621,91 |
| KO ₂ | 741,48 | Rb ₂ O ₂ | 2026,4 | HgO* ² | 3981,65 |
| CaO | 3571,34 | RbO ₂ | 706,31 | Tl ₂ O | 2704,67 |
| | 3479,23* ¹ | SrO | 3311,76 | PbO | 3567,15 |
| TiO ₂ | 12158,47 | | 3257,33* ¹ | PbO ₂ | 11748,16 |

*¹ При 25° С. *² Красный.

13. ТЕПЛОТА РАЗЛОЖЕНИЯ [I]

(Теплоты разложения относятся к образованию 1 моля кислорода и твердой фазы в низшем состоянии окисления)

| Оксид | Теплота разложения, кДж | Оксид | Теплота разложения, кДж | Оксид | Теплота разложения, кДж |
|---------------------------------|-------------------------|---------------------------------|-------------------------|---------------------------------|-------------------------|
| Li_2O | 1194,1 | $\text{Mn}_2\text{O}_3(\alpha)$ | 212,7* ¹³ | SnO | 572,8 |
| $\text{Li}_2\text{O}_2(\alpha)$ | 77,5 | $\text{MnO}_2(\alpha)$ | 160,8* ¹⁴ | $\text{SnO}_2(\alpha)$ | 580,7 |
| BeO | 1198,3 | Mn_2O_7 | -207,25 | $\text{Sb}_2\text{O}_3(\alpha)$ | 465,6* ²¹ |
| Na_2O | 843,2 | FeO | 529,6* ¹⁵ | $\text{Sb}_2\text{O}_3(\beta)$ | 460,5* ²² |
| Na_2O_2 | 186,7 | Fe_3O_4 | 605,0 | $\text{SbO}_2(\alpha)$ | 209,3 |
| NaO_2 | 8,4 | $\text{Fe}_2\text{O}_3(\alpha)$ | 461,4* ¹⁶ | Cs_2O | 636,4 |
| MgO | 1203,3 | $\text{Fe}_2\text{O}_3(\gamma)$ | 457,6 | Cs_2O_3 | 318,2 |
| $\text{Al}_2\text{O}_3(\alpha)$ | 1117,0 | CoO | 478,1* ¹⁷ | Cs_2O_3 | 175,8 |
| $\text{Al}_2\text{O}_3(\gamma)$ | 1059,7 | NiO | 481,5* ¹⁸ | CsO_2 | 142,4 |
| SiO | (833,2) | Cu_2O | 334,9 | BaO | 1136,9* ²³ |
| SiO_2 | 880,1* ¹ | CuO | 286,4 | BaO_2 | 163,3 |
| | 879,2* ² | ZnO | 698,4 | La_2O_3 | 1244,7 |
| | 876,3* ³ | Ga_2O | 686,6 | CeO_2 | (523,4) |
| | 875,5* ⁴ | $\text{Ga}_2\text{O}_3(\beta)$ | 734,8 | Ta_2O_5 | 818,9* ²⁴ |
| K_2O | 723,5 | $\text{GeO}_2(\beta)$ | 540,1 | WO_2 | 589,9 |
| K_2O_2 | 173,3 | Rb_2O | 660,7 | $\text{WO}_3(\alpha)$ | 561,5 |
| $\text{KO}_2(\alpha)$ | 117,2 | Rb_2O_2 | 192,6 | ReO_2 | 425,0 |
| CaO | 1268,6 | Rb_2O_3 | 129,8 | ReO_3 | 372,6 |
| CaO_2 | 50,2 | RbO_2 | 83,7 | Re_2O_7 | 39,8 |
| Sc_2O_3 | (1214,2) | SrO | 1180,7 | OsO_2 | 257,5 |
| $\text{TiO}(\alpha)$ | 1037,5* ⁵ | SrO_2 | 100,5 | OsO_4 | 195,9* ²⁵ |
| $\text{TiO}(\beta)$ | 1036,8* ⁶ | Y_2O_3 | 1271,1 | IrO_2 | 221,9 |
| $\text{Ti}_2\text{O}_3(\alpha)$ | 963,8 | $\text{ZrO}_2(\alpha)$ | 1086,5 | HgO | 180,9* ²⁶ |
| $\text{Ti}_2\text{O}_3(\beta)$ | 971,3 | NbO | (816,4) | Tl_2O | 355,9 |
| $\text{Ti}_3\text{O}_5(\beta)$ | 782,9 | NbO_2 | 782,9 | Tl_2O_3 | 175,8 |
| $\text{TiO}_{1,91-2,0}$ | 737,7* ⁷ | Nb_2O_5 | 614,6* ¹⁹ | $\text{PbO}(\alpha)$ | 438,8* ²⁶ |
| VO | 854,1* ⁸ | MoO_2 | 588,7 | $\text{PbO}(\beta)$ | 441,7* ²⁵ |
| V_2O_3 | 753,6 | $\text{Mo}_{4,11}$ | 311,5 | Pb_2O_4 | 154,1* ²⁷ |
| $\text{VO}_2(\alpha)$ | 401,9 | MoO_3 | 324,9 | $\text{Pb}_2\text{O}_3(\alpha)$ | 95,0 |
| $\text{VO}_2(\beta)$ | 385,2 | RuO_2 | 439,6 | PbO_2 | 100,5* ²⁸ |
| V_2O_5 | 251,2* ⁹ | RuO_4 | 0,0 | $\text{Bi}_2\text{O}_3(\alpha)$ | 385,2 |
| Cr_2O_3 | 753,6* ¹⁰ | RhO | 181,7 | ThO_2 | 1227,6 |
| CrO_2 | 75,4 | Rh_2O_3 | 208,5 | UO_2 | 1084,4 |
| CrO_3 | -6,28 | PdO | 182,1 | U_4O_9 | 351,7 |
| MnO | 770,4* ¹¹ | Ag_2O | 61,1 | U_3O_8 | 305,6 |
| $\text{Mn}_3\text{O}_4(\alpha)$ | 463,9* ¹² | CdO | 511,6* ²⁰ | UO_3 | 233,6 |
| $\text{Mn}_3\text{O}_4(\beta)$ | 422,0 | In_2O_3 | 620,9 | | |

Примечания: *¹ α -Кварц. *² β -Кварц. *³ β -Кристобалит. *⁴ β -Тридимит
 ** TiO_2 0,95—1,25. *⁵ TiO_2 0,8—1,23. *⁶ Рутил. *⁷ VO_2 0,9—1,1. *⁸ VO_2 2,495—2,50. *⁹
 CrO₃ 1,5—1,54. *¹⁰ MnO_2 1,0—1,12. *¹¹ MnO_2 1,33—1,41. *¹² MnO_2 1,50—1,6. *¹³ MnO_2 1,96—2,0
 *¹⁴ FeO 1,055—1,19. *¹⁵ Гематит. *¹⁶ CoO 1,0017. *¹⁷ NiO 1,005. *¹⁸ NbO_2 2,43—2,50.
 *¹⁹ CdO 0,999—1,000. *²⁰ Сенармонтит. *²¹ Валентинит. *²² BaO 0,997—1,00.
 *²³ TaO_2 2,35—2,50. *²⁴ Желтый. *²⁵ Красный. *²⁶ PbO 1,33—1,57. *²⁷ PbO 1,87—2,0.

14. ЭНЕРГИЯ РАЗРЫВА ХИМИЧЕСКИХ СВЯЗЕЙ

(энергия, теплота диссоциации газообразных окислов)

[1; 9, вып. I—VII; 47; 66; 79; т. 1; 81, т. 5; 101; 156; 195; 197]

| Оксид | Уравнение диссоциации | Энергия диссоциации при 0 К $D_0 \cdot 10^{-3}$, Дж/кмоль | Энергия диссоциации при 298,15 К $D \cdot 10^{-3}$, Дж/кмоль |
|-------------------------------|---|--|---|
| 1 | 2 | 3 | 4 |
| H ₂ O | H ₂ O=OH+H | 490690±4190 | 495720 |
| | H ₂ O=2H+O | 918350±140 | — |
| HO | HO=O+H | 424370±1260 | 428480 |
| H ₂ O ₂ | H ₂ O ₂ =2OH | 197200 | 203900±10470 |
| | H ₂ O ₂ =HO ₂ +H | 369280 | 374720 |
| | H ₂ O ₂ =2H+2O | 1056170±356 | — |
| HO ₂ | HO ₂ =H+O ₂ | ~204320 | ~209340 |
| | HO ₂ =OH+O | 266280±8370 | 271720 |
| | HO ₂ =H+2O | 686618±8374 | — |
| D ₂ O | D ₂ O=OD+D | 502840±1260 | 508280 |
| | D ₂ O=2D+O | 933229±172 | — |
| D ₂ O ₂ | D ₂ O ₂ =2DO | 211430±1260 | 218130 |
| | D ₂ O ₂ =2D+2O | 1071972±376 | — |
| | D ₂ O ₂ =DO ₂ +D | — | 387280±2090 |
| DO | DO=D+O | 431240±1260 | 434260 |
| DO ₂ | DO ₂ =D+O ₂ | — | 200970±20930 |
| | DO ₂ =D+2O | 694163±8370 | — |
| T ₂ O | T ₂ O=OT+T | 505200±1260 | 512050 |
| | T ₂ O=2T+O | 939800±250 | — |
| TO | TO=T+O | 433330±1260 | 436680 |
| TO ₂ | TO ₂ =T+2O | 715516±8374 | — |
| HDO | HDO=H+D+O | 925630±167 | — |
| HTO | HTO=H+T+O | 928700±250 | — |
| DTO | DTO=D+T+O | 936470±250 | — |
| HDO ₂ | HDO ₂ =H+D+2O | 1064090±390 | — |
| Li ₂ O | Li ₂ O=LiO+Li | 282600 | 286380 |
| | Li ₂ O=2Li+O | 696680±12560 | — |
| LiO | LiO=Li+O | 326570±20934 | 330760 |
| | LiO=Li+O | (373000±30000) | — |
| BeO | BeO=Be+O | 445480±12560 | 449660 |
| (BeO) ₂ | (BeO) ₂ =2BeO | 665700±50240 | — |
| (BeO) ₃ | (BeO) ₃ =(BeO) ₂ +BeO | 745250±62800 | — |
| (BeO) ₄ | (BeO) ₄ =(BeO) ₃ +BeO | 640580±62800 | — |
| (BeO) ₅ | (BeO) ₅ =(BeO) ₄ +BeO | 640580±83740 | — |
| (BeO) ₆ | (BeO) ₆ =(BeO) ₅ +BeO | 669900±104670 | — |
| BO | BO=B+O | 793400 | — |
| | BO=B+O | 800520±9630 | — |
| | BO=B+O | — | 774560 |
| B ₂ O ₃ | B ₂ O ₃ =2BO | 498230±83740 | 502420 |
| | B ₂ O ₃ =BO ₂ +B | 728500±29300 | 732690 |
| | B ₂ O ₃ =2B+2O | 2065244±26380 | — |
| B ₂ O ₃ | B ₂ O ₃ =B ₂ O ₂ +O | 653140±25120 | 661510 |
| | B ₂ O ₃ =BO+BO ₂ | 611270±29300 | 619650 |

| Оксид | Уравнение диссоциации | Энергия диссоциации при 0 К $D_0 \cdot 10^{-3}$, Дж/кмоль | Энергия диссоциации при 298,15 К $D \cdot 10^{-4}$, Дж/кмоль |
|-------------------------------|---|--|---|
| | | | 1 |
| 1 | 2 | 3 | 4 |
| BO ₂ | B ₂ O ₂ =2B+3O | 2695114± | — |
| | BO ₂ =BO+O | 540097±41868 | 544284 |
| | BO ₂ =B+2O | 1344630±24500 | — |
| C ₂ O | C ₂ O=2C+O | 1381389±12560 | — |
| C ₃ O ₂ | C ₃ O ₂ =CO ₂ +C ₂ | — | 167470 |
| | C ₃ O ₂ =3C+2O | 2659600±20934 | — |
| CO | CO=C+O | 1070900±1930 | 1075550 |
| CO ₂ | CO ₂ =CO+O | 526490±167 | 532560 |
| | CO ₂ =C+2O | 1597386±126 | 1607730 |
| N ₂ O | N ₂ O=NO+N | 476000±4190 | 481900 |
| N ₂ O | N ₂ O=2N+O | 1103790±628 | — |
| | N ₂ O=N ₂ +O | 162030 | 167472±5020 |
| NO | NO=N+O | 628200±4190 | 632200 |
| | NO=N+O | 628317±377 | — |
| N ₂ O ₂ | N ₂ O ₂ =2NO | — | 16116 |
| | N ₂ O ₂ =N ₂ O+O | — | 162440 |
| N ₂ O ₃ | N ₂ O ₃ =NO ₂ +NO | 36430±419 | 41030 |
| | N ₂ O ₃ =N ₂ O ₂ +O | — | 335363 |
| | N ₂ O ₃ =2N+3O | 1592927±1256 | — |
| NO ₂ | NO ₂ =NO+O | 300600±6280 | 306474 |
| | NO ₂ =N+2O | 928800±837 | 937840±419 |
| N ₂ O ₄ | N ₂ O ₄ =N ₂ O ₃ +O | — | 322400±12560 |
| | N ₂ O ₄ =2NO ₂ | 53465 | 57315±209 |
| | N ₂ O ₄ =2N+4O | 1911048±1675 | — |
| N ₂ O ₅ | N ₂ O ₅ =NO ₃ +NO ₂ | — | 90020 |
| | N ₂ O ₅ =N ₂ O ₄ +O | — | 246180±8400 |
| | N ₂ O ₅ =2N+5O | 2155813±2093 | — |
| NO ₃ | NO ₃ =NO ₂ +O | — | 213530±6280 |
| | NO ₃ =N+3O | 1134464±20930 | — |
| O ₂ | O ₂ =2O | 493920±209 | 498730 |
| O ₃ | O ₃ =O ₂ +O | 100060±2090 | 105090 |
| | O ₃ =O+2O | — | 607090±4190 |
| | O ₃ =3O | 595857±2135 | — |
| O ₄ | O ₄ =4O | 988379±963 | — |
| F ₂ O | F ₂ O=2F+O | 374470±8790 | — |
| FO | FO=F+O | 188400 | 188830 |
| F ₂ O ₂ | F ₂ O ₂ =2FO | — | 260840±83740 |
| | F ₂ O ₂ =F ₂ O+O | — | 284700±12560 |
| F ₂ O ₃ | F ₂ O ₃ =F ₂ O ₂ +O | — | 243353 |
| FO ₂ | FO ₂ =FO+O | 181700±41870 | 186300 |
| | FO ₂ =F+2O | -- | <(418680) |
| Na ₂ O | Na ₂ O=NaO+Na | — | ≥263770 |
| NaO | NaO=Na+O | (280000±25000) | — |
| NaO ₂ | NaO ₂ =Na+2O | — | 669900±41860 |
| MgO | MgO=Mg+O | 360070±20934 | — |
| | MgO=Mg+O | 422870±8370 | 427050 |

| Оксид | Уравнение диссоциации | Энергия диссоциации при 0К $D \cdot 10^{-3}$, Дж/кмоль | Энергия диссоциации при 298,15 К $D \cdot 10^{-3}$, Дж/кмоль |
|--------------------------------|---|---|---|
| 1 | 2 | 3 | 4 |
| Al ₂ O | Al ₂ O=2Al+O | 1027215 | — |
| | Al ₂ O=AlO+Al | 544280±41870 | 548470 |
| AlO | AlO=Al+O | 484237 | — |
| | AlO=Al+O | — | 485670 |
| Al ₂ O ₂ | Al ₂ O ₂ =2AlO | 565200±62800 | — |
| | Al ₂ O ₂ =Al ₂ O+O | 502400±62800 | — |
| | Al ₂ O ₂ =2Al+2O | 1528200 | — |
| Al ₂ O ₃ | Al ₂ O ₃ =Al ₂ O ₂ +O | 682450±104670 | — |
| | Al ₂ O ₃ =2Al+3O | 2210600 | — |
| SiO | SiO=Si+O | 799410±8790 | — |
| | SiO=Si+O | — | 808890 |
| SiO ₂ | SiO ₂ =SiO+O | 464700±20900 | 468900 |
| | SiO ₂ =Si+2O | 1267700±29700 | — |
| PO | PO=P+O | 510790 | — |
| | PO=P+O | 592400±2500 | 595780 |
| | PO=P+O | 590340±8400 | — |
| P ₄ O ₆ | P ₄ O ₆ =4P+6O | 4315670 | — |
| P ₄ O ₂ | P ₄ O ₂ =PO+O | — | 607100 |
| | PO ₂ =P+2O | — | (1130400±104700) |
| P ₄ O ₈ | P ₄ O ₈ =4P+8O | 5617128±25100 | — |
| P ₄ O ₁₀ | P ₄ O ₁₀ =4P+10O | 6594620±6280 | — |
| S ₂ O | S ₂ O=2S+O | 895480±5020 | — |
| | S ₂ O=SO+S | 378490±4190 | 382700 |
| | S ₂ O=S ₂ +O | 483580±4190 | 486900 |
| SO | SO=S+O | 517360±209 | 522050 |
| SO ₂ | SO ₂ =SO+O | 541940±1260 | 546880 |
| | SO ₂ =S+2O | 1059290±1260 | 1073900±4190 |
| SO ₃ | SO ₃ =SO ₂ +O | 342060±628 | 347500 |
| | SO ₃ =S+3O | 1402080±1260 | — |
| Cl ₂ O | Cl ₂ O=ClO+Cl | 142770 | 146540 |
| | Cl ₂ O=2Cl+O | 407598 | — |
| ClO | ClO=Cl+O | 265190±126 | 269340 |
| ClO ₂ | ClO ₂ =ClO+O | 241160±6280 | 245770 |
| | ClO ₂ =Cl+2O | 506470±6280 | 516230±8370 |
| | ClO ₂ =Cl+O ₂ | 15072 | 19260 |
| ClO ₃ | ClO ₃ =ClO ₂ +O | — | 199290 |
| Cl ₂ O ₆ | Cl ₂ O ₆ =2ClO ₃ | — | 7120±2090 |
| KO | KO=K+O | (299000±25000) | — |
| CaO | CaO=Ca+O | 481480±16747 | 485670 |
| | CaO=Ca+O | 489860±20900 | — |
| | CaO=Ca+O | 381000±6280 | — |
| Sc ₂ O | Sc ₂ O=2Sc+O | 1025800±46000 | — |
| ScO | ScO=Sc+O | 692080±14656 | — |
| | ScO=Sc+O | 673656±14650 | — |
| TiO | TiO=Ti+O | 661500±8370 | — |

| Оксид | Уравнение диссоциации | Энергия диссоциации при 0К $D_g \cdot 10^{-3}$, Дж/кмоль | Энергия диссоциации при 298,15 К $D \cdot 10^{-3}$, Дж/кмоль |
|---------|-----------------------|---|---|
| 1 | 2 | 3 | 4 |
| TiO_2 | $TiO = Ti + O$ | 653140 ± 25120 | 657330 |
| | $TiO = Ti + O$ | 602900 ± 20930 | — |
| | $TiO_2 = TiO + O$ | — | 644800 ± 33500 |
| | $TiO_2 = Ti + 2O$ | 1297900 | — |
| | $TiO_2 = Ti + 2O$ | — | 1318850 ± 20900 |
| | $TiO_2 = Ti + 2O$ | 1260230 ± 20934 | — |
| VO | $VO = V + O$ | 1197400 ± 41870 | — |
| | $VO = V + O$ | 607090 ± 41870 | — |
| | $VO_2 = VO + O$ | 617560 ± 20930 | 622160 |
| VO_2 | $VO_2 = VO + O$ | 615460 ± 29300 | — |
| | $VO_2 = V + 2O$ | — | 1247670 ± 41870 |
| | $VO_2 = V + 2O$ | 1235100 ± 20930 | — |
| CrO | $CrO = Cr + O$ | 423290 ± 29310 | 427050 |
| | $CrO = Cr + O$ | 452170 ± 29310 | — |
| CrO_2 | $CrO_2 = CrO + O$ | 527540 | — |
| | $CrO_2 = Cr + 2O$ | — | (963000 ± 62800) |
| | $CrO_2 = Cr + 2O$ | 950400 ± 62800 | — |
| CrO_3 | $CrO_3 = CrO_2 + O$ | 476900 | — |
| | $CrO_3 = Cr + 3O$ | 1427700 ± 83700 | — |
| MnO | $MnO = Mn + O$ | 401930 ± 12560 | 406100 |
| | $MnO = Mn + O$ | 406120 ± 12560 | — |
| MnO_2 | $MnO_2 = Mn + 2O$ | — | (921100 ± 104670) |
| | $FeO = Fe + O$ | 410300 ± 41870 | 414490 |
| CoO | $FeO = Fe + O$ | 406120 ± 12560 | — |
| | $FeO = Fe + O$ | 395200 ± 10500 | — |
| | $CoO = Co + O$ | 364250 ± 20930 | — |
| NiO | $CoO = Co + O$ | 408200 | — |
| | $NiO = Ni + O$ | 406119 | 410306 |
| CuO | $NiO = Ni + O$ | 360070 ± 20930 | — |
| | $CuO = Cu + O$ | 334900 | 339131 |
| ZnO | $CuO = Cu + O$ | 263800 ± 41870 | — |
| | $ZnO = Zn + O$ | < 385190 | — |
| Ga_2O | $ZnO = Zn + O$ | — | ≤ 276330 |
| | $Ga_2O = 2Ga + O$ | 873685 ± 10470 | — |
| GaO | $GaO = Ga + O$ | 376800 ± 16750 | — |
| | $GaO = Ga + O$ | 347500 | 351691 |
| | $GaO = Ga + O$ | 309800 ± 25120 | — |
| GeO | $GeO = Ge + O$ | 653980 ± 7960 | — |
| | $GeO = Ge + O$ | — | 669890 |
| GeO_2 | $GeO_2 = GeO + O$ | 330760 ± 50240 | — |
| | $GeO_2 = Ge + 2O$ | 996460 | — |
| AsO | $AsO = As + O$ | 477300 ± 16750 | — |
| | $AsO = As + O$ | 481500 | — |
| SeO | $SeO = Se + O$ | 418680 ± 83700 | — |
| | $SeO_2 = Se + 2O$ | — | 849920 ± 20900 |

| Оксид | Уравнение диссоциации | Энергия диссоциации при 0 К $D \cdot 10^{-3}$, Дж/кмоль | Энергия диссоциации при 298,15 К $D \cdot 10^{-3}$, Дж/кмоль |
|-------------------------------|---------------------------------------|--|---|
| | | | 1 |
| 1 | 2 | 3 | 4 |
| SeO ₂ | SeO ₂ =Se+2O | 844650±12560 | — |
| BrO | BrO=Br+O | 231530±2512 | 235300 |
| BrO ₂ | BrO ₂ =BrO+O | — | ≥293080 |
| RbO | RbO=Rb+O | 294000±25000 | — |
| SrO | SrO=Sr+O | 397750±6280 | — |
| | SrO=Sr+O | 468900±8370 | 472690 |
| Y ₂ O | Y ₂ O=2Y+2O | 1080200±33500 | — |
| YO | YO=Y+O | 717200±5000 | — |
| | YO=Y+O | 705890±11720 | — |
| Y ₂ O ₃ | Y ₂ O ₂ =2Y+2O | 1863130±50200 | — |
| ZrO | ZrO=Zr+O | 753600±41870 | — |
| | ZrO=Zr+O | 757800±33500 | 762000 |
| ZrO ₂ | ZrO ₂ =Zr+2O | 1449400±33500 | 1452800±20900 |
| | ZrO ₂ =Zr+2O | 1386100±21800 | — |
| | ZrO ₂ =ZrO+O | 690800±37680 | 695000 |
| NbO | NbO=Nb+O | 766200±41870 | — |
| NbO ₂ | NbO ₂ =Nb+2O | 1423500±20900 | — |
| | NbO ₂ =Nb+2O | — | (1339800±104700) |
| MoO | MoO=Mo+O | 502400±41870 | — |
| | MoO=Mo+O | 485670±62800 | 489860 |
| MoO ₂ | MoO ₂ =Mo+2O | — | 1180680±20900 |
| | MoO ₂ =Mo+O+O | 611270±62800 | — |
| MoO ₃ | MoO ₃ =MoO ₂ +O | 623800±41870 | — |
| | MoO ₃ =Mo+3O | 1754947 | — |
| TcO ₂ | TcO ₂ =Tc+2O | — | (1067600±62800) |
| RuO | RuO=Ru+O | 489860±41870 | — |
| RuO ₂ | RuO ₂ =Ru+2O | — | (262960±62800) |
| | RuO ₂ =Ru+2O | 977900±41870 | — |
| RuO ₄ | RuO ₄ =Ru+4O | 1821480±7960 | — |
| RhO | RhO=Rh+O | 392240±62800 | — |
| RhO ₂ | RhO ₂ =Rh+2O | — | 862480±20930 |
| PdO | PdO=Pd+O | 280500±29300 | — |
| PdO ₂ | PdO ₂ =Pd+2O | — | <653140 |
| AgO | AgO=Ag+O | 238650±41870 | — |
| CdO | CdO=Cd+O | 276330 | — |
| | CdO=Cd+O | <368440 | 372630 |
| In ₂ O | In ₂ O=2In+O | 774560±29300 | — |
| InO | InO=In+O | 318200 | — |
| | InO=In+O | 314010 | 318200 |
| SnO | SnO=Sn+O | 526700±8370 | — |
| SbO | SbO=Sb+O | 410300±83700 | — |
| TeO | TeO=Te+O | 263140±420 | — |
| TeO ₂ | TeO ₂ =Te+2O | — | 908540±29300 |
| | TeO ₂ =Te+2O | 486983±12140 | — |
| IO | IO=I+O | 184220±20930 | 188400 |

| Оксид | Уравнение диссоциации | Энергия диссоциации при 0 К $D_0 \cdot 10^{-3}$, Дж/кмоль | Энергия диссоциации 298,15 К $D \cdot 10^{-3}$, Дж/кмоль |
|--------------------------------|---|--|---|
| 1 | 2 | 3 | 4 |
| XeO | XeO=Xe+O | (32347) | — |
| CsO | CsO=Cs+O | 307000±25000 | — |
| Ba ₂ O | Ba ₂ O=BaO+Ba | — | 389370±71180 } |
| | Ba ₂ O=2Ba+O | 963000 | — |
| BaO | BaO=Ba+O | 561000±20900 | — |
| | BaO=Ba+O | 573590±8370 | 577780 |
| | BaO=Ba+O | 481480±9630 | — |
| Ba ₂ O ₂ | Ba ₂ O ₂ =2BaO | — | 372625±46055 |
| La ₂ O | La ₂ O=La+LaO | 314000±29300 | — |
| | La ₂ O=2La+O | 1113700±33500 | — |
| LaO | LaO=La+O | 805960 | — |
| | LaO=La+O | 799680±10470 | — |
| La ₂ O ₂ | La ₂ O ₂ =2LaO | 360100±41900 | — |
| | La ₂ O ₂ =2La+2O | 1959400±46000 | — |
| CeO | CeO=Ce+O | 810150 | — |
| | CeO=Ce+O | 774560±20930 | — |
| Ce ₂ O ₂ | Ce ₂ O ₂ =2CeO | — | 1984540±62800 |
| CeO ₂ | CeO ₂ =CeO+ $\frac{1}{2}$ O ₂ | — | 1465380±62800 |
| PrO | PrO=Pr+O | 715940±29300 | — |
| | PrO=Pr+O | 762000 | — |
| NdO | NdO=Nd+O | 713000 | — |
| | NdO=Nd+O | 690820±25120 | — |
| SmO | SmO=Sm+O | 596200 | — |
| EuO | EuO=Eu+O | 560600 | — |
| GdO | GdO=Gd+O | 724300 | — |
| TbO | TbO=Tb+O | 720100 | — |
| DyO | DyO=Dy+O | 629700±2500 | — |
| HoO | HoO=Ho+O | 639300 | — |
| ErO | ErO=Er+O | 634700±3350 | — |
| TuO | TuO=Tu+O | 582800±2900 | — |
| YbO | YbO=Yb+O | 370000±3350 | — |
| LuO | LuO=Lu+O | 699200 | — |
| HfO | HfO=Hf+O | 745250±41870 | — |
| HfO ₂ | HfO ₂ =Hf+2O | — | (1507250±83700) |
| | HfO ₂ =Hf+2O | 1335950±21350 | ± |
| TaO | TaO=Ta+O | 769100±16750 | ± |
| | TaO=Ta+O | 812200±46060 | 816430 |
| | TaO=Ta+O | 795490±41870 | — |
| TaO ₂ | TaO ₂ =TaO+O | 636390±46060 | — |
| | TaO ₂ =Ta+2O | — | 1469570±62800 |
| | TaO ₂ =Ta+2O | 1461310±20930 | — |
| WO | WO=W+O | 674080±41870 | — |
| | WO=W+O | 644800±41870 | 648960 |
| WO ₂ | WO ₂ =WO+O | 594530±62800 | — |

| Оксид | Уравнение диссоциации | Энергия диссоциации при ОК $D_0 \cdot 10^{-3}$, Дж/кмоль | Энергия диссоциации при 298,15 К $D \cdot 10^{-3}$, Дж/кмоль |
|------------------------|---|---|---|
| 1 | 2 | 3 | 4 |
| | $\text{WO}_2 = \text{W} + 2\text{O}$ | — | 1285350 ± 41870 |
| WO_3 | $\text{WO}_3 = \text{WO}_2 + \text{O}$ | 615460 ± 41870 | — |
| | $\text{WO}_3 = \text{W} + 3\text{O}$ | 1892254 ± 29730 | — |
| $(\text{WO}_3)_2$ | $(\text{WO}_3)_2 = 2\text{W} + 6\text{O}$ | 4356250 ± 41870 | — |
| $(\text{WO}_3)_3$ | $(\text{WO}_3)_3 = 3\text{W} + 9\text{O}$ | 6805350 ± 41870 | — |
| $(\text{WO}_3)_4$ | $(\text{WO}_3)_4 = 4\text{W} + 12\text{O}$ | 9178914 ± 46060 | — |
| ReO_2 | $\text{ReO}_2 = \text{Re} + 2\text{O}$ | — | (1172300 ± 62800) |
| OsO_2 | $\text{OsO}_2 = \text{Os} + 2\text{O}$ | — | (1067600 ± 83700) |
| OsO_4 | $\text{OsO}_4 = \text{Os} + 4\text{O}$ | 2106800 ± 10890 | — |
| IrO | $\text{IrO} = \text{Ir} + \text{O}$ | 351690 ± 20900 | — |
| IrO_2 | $\text{IrO}_2 = \text{Ir} + 2\text{O}$ | — | (983900 ± 62800) |
| PtO | $\text{PtO} = \text{Pt} + \text{O}$ | 368376 ± 20900 | — |
| PtO_2 | $\text{PtO}_2 = \text{Pt} + 2\text{O}$ | — | 891800 ± 20900 |
| Tl_2O | $\text{Tl}_2\text{O} = 2\text{Tl} + \text{O}$ | 596297 ± 7120 | — |
| PbO | $\text{PbO} = \text{Pb} + \text{O}$ | 371750 ± 5440 | — |
| BiO | $\text{BiO} = \text{Bi} + \text{O}$ | 334940 ± 83740 | — |
| ThO | $\text{ThO} = \text{Th} + \text{O}$ | 801350 | — |
| | $\text{ThO} = \text{Th} + \text{O}$ | 820600 | — |
| ThO_2 | $\text{ThO}_2 = \text{Th} + 2\text{O}$ | 1574200 | — |
| | $\text{ThO}_2 = \text{Th} + 2\text{O}$ | — | 1549100 ± 62800 |
| PaO_2 | $\text{PaO}_2 = \text{Pa} + 2\text{O}$ | — | (1507250 ± 83740) |
| UO | $\text{UO} = \text{U} + \text{O}$ | 749400 ± 71180 | 753624 |
| UO_2 | $\text{UO}_2 = \text{UO} + \text{O}$ | 674080 | — |
| | $\text{UO}_2 = \text{U} + 2\text{O}$ | — | 1482130 ± 62800 |
| U_2O_4 | $\text{U}_2\text{O}_4 = 2\text{UO}_2$ | — | 372630 (при 2450 К) |
| UO_3 | $\text{UO}_3 = \text{UO}_2 + \text{O}$ | 414500 | — |

15. СТАНДАРТНАЯ ТЕПЛОЕМКОСТЬ [1; 9, вып. I—VII; 19; 48]

| Оксид | Состо- яние | c_p^o | Оксид | Состо- яние | c_p^o |
|--|----------------|-------------------------|---|----------------|-------------------------|
| | | 298,15° Дж/(моль·°C) | | | 298,15° Дж/(моль·°C) |
| 1 | 2 | 3 | 1 | 2 | 3 |
| H ₂ O | ж | 75,350±0,042 | F ₂ O | г | 43,33±0,04 |
| | г | 33,600±0,013 | FO | г | 31,19±0,63 |
| D ₂ O | ж | 84,36±0,13 | Na ₂ O | т | 72,43 |
| | г | 34,361±0,021 | Na ₂ O ₂ | т | 89,39 |
| T ₂ O | г | 34,99±0,021 | NaO ₂ | т | 72,18 |
| HO | г | 29,906±0,013 | MgO | т | 37,82 |
| DO | г | 29,961±0,013 | Al ₂ O | г | 46,05±0,84 |
| TO | г | 29,994±0,021 | AlO | г | 30,903±0,008 |
| H ₂ O ₂ | ж | 89,39±0,84 | Al ₂ O ₃ * ³ | т | 79,09±0,17 |
| | ж | 88,55 | SiO | г | 29,89±0,08 |
| | г | 43,17±0,84 | SiO ₂ * ⁴ | т | 44,46±0,21 |
| D ₂ O ₂ | г | 46,64±1,05 | SiO ₂ * ⁵ | т | 44,21±0,21 |
| HO ₂ | г | 34,92±0,04 | SiO ₂ * ⁶ | т | 44,63±0,21 |
| DO ₂ | г | 36,00±0,04 | SiO ₂ | ст | 44,41 |
| TO ₂ | г | 36,80±0,08 | SiO ₂ * ⁷ | т | 45,43±0,13 |
| H ₂ O ₄ | г | 61,13±0,42 | | | |
| HDO | г | 33,838±0,021 | | | |
| HTO | г | 33,984±0,021 | | | |
| DTO | г | 34,600±0,021 | | | |
| HDO ₂ | г | 44,80±1,26 | | | |
| Li ₂ O | т | 54,26 | SiO ₂ | г | 43,54±1,67 |
| BeO | т | 25,45 | PO | г | 31,78±0,04 |
| B ₂ O | г | 39,77±0,84 | P ₄ O ₆ | г | 145,7±0,8 |
| BO | г | 29,22±0,04 | P ₄ O ₂ | г | 41,45±1,26 |
| B ₂ O ₃ | г | 57,36±0,4 | P ₄ O ₈ | г | 167,5±4,2 |
| B ₂ O ₃ * ¹ | т | 62,80±0,29 | P ₄ O ₁₀ | т | 211,85±0,42 |
| B ₂ O ₃ * ² | т | 62,80±0,84 | | | 204,94 |
| B ₂ O ₃ | т | 63,01 | | | 190,92±4,2 |
| | г | 66,15±0,84 | S ₂ O | г | 44,30±0,25 |
| BO ₃ | г | 43,04±0,21 | SO | г | 30,19±0,04 |
| C ₂ O | г | 43,12±0,42 | SO ₂ | г | 39,90±0,04 |
| CO | г | 29,132±0,004 | SO ₃ | г | 50,70±0,08 |
| CO ₂ | г | 37,14±0,04 | Cl ₂ O | г | 45,43±0,04 |
| CO ₃ | г | 49,82±0,84 | ClO | г | 31,37±1,26 |
| N ₂ O | г | 38,64±0,04 | ClO ₂ | г | 42,00±0,04 |
| NO | г | 29,89±0,04 | KO ₃ | г | 77,58 |
| N ₂ O ₃ | г | 65,31±0,84 | CaO | т | 50,45 |
| NO ₂ | г | 37,51±0,13 | | | 42,83 |
| N ₂ O ₄ | ж | 142,77 | Sc ₂ O ₃ | т | 88,34 |
| | г | 78,7±0,8 | TiO | т | 39,98±0,21 |
| N ₂ O ₅ | т | 143,19 | | | 33,08±0,42 |
| | г | 108,02 | | | 42,29±0,42 |
| | г | 95,04±2,9 | TiO _{1,01} | т | 95,92±0,42 |
| NO ₃ | г | 46,9±2,9 | Ti ₂ O ₃ | т | 151,48±0,63 |
| O | г | 21,926±0,008 | Ti ₃ O ₅ | т | 215,87±0,63 |
| O ₂ | г | 29,370±0,008 | Ti ₄ O ₇ | т | |
| O ₃ | г | 39,27±0,13 | | | |

| 1 | 2 | 3 | 1 | 2 | 3 |
|---|---|--------------|---|---|--------------|
| Ti ₅ O ₉ | T | 275, 91±0,84 | ZnO | Г | 35, 59±0,42 |
| Ti ₆ O ₁₁ | T | 301, 45±0,84 | | Т | 40, 28±0,21 |
| Ti ₇ O ₁₃ | T | 351, 69±4,19 | | Г | 32, 66±0,84 |
| Ti ₈ O ₁₅ | T | 401, 93±4,19 | Ga ₂ O | Г | 48, 15±1,67 |
| Ti ₉ O ₁₇ | T | 452, 17±4,19 | GaO | Г | 32, 20±0,08 |
| Ti ₁₀ O ₁₉ | T | 502, 42±1,26 | Ga ₂ O ₃ ^{*22} | Т | 92, 11±0,08 |
| TiO ₂ ^{*9} | T | 55, 06±0,21 | GeO | Г | 30, 81±0,08 |
| TiO ₂ ^{*10} | T | 55, 52±0,21 | GeO ₂ ^{*23} | Г | 50, 20±0,13 |
| TiO ₂ | Г | 43, 96±0,84 | GeO ₂ ^{*1} | Т | 52, 13±0,21 |
| VO _{0,86} | T | 35, 67±0,42 | AsO | Г | 32, 36±0,17 |
| VO | T | 38, 60±0,42 | As ₂ O ₃ | Т | 95, 71 |
| | Г | 30, 56±0,84 | | | |
| VO _{1,24} | T | 46, 18±0,42 | As ₄ O ₆ ^{*24} | Т | 203, 90±2,1 |
| VO _{1,30} | T | 50, 45±0,42 | As ₄ O ₆ ^{*22} | Т | 221, 9 |
| V ₂ O ₃ ^{*11} | T | 103, 29±0,63 | As ₂ O ₅ | Т | 116, 60±0,42 |
| V ₄ O ₇ | T | 229, 44±0,04 | | Т | 117, 65 |
| V ₂ O ₄ | T | 114, 72±0,84 | SeO | Г | 31, 15±0,08 |
| V ₂ O ₅ ^{*12} | T | 127, 74±0,63 | SeO ₂ | Г | 42, 71±0,42 |
| Cr ₂ O ₃ | T | 118, 91±1,26 | BrO | Г | 32, 15±1,51 |
| CrO ₃ | T | 58, 20±2,09 | SrO | Т | 44, 56 |
| MnO ^{*13} | T | 44, 13±0,21 | | Г | 45, 06 |
| | Г | 31, 65±0,21 | Y ₂ O ₃ | Т | 97, 15 |
| Mn ₃ O ₄ ^{*14} | T | 139, 42±0,42 | ZrO | Г | 33, 91±1,67 |
| Mn ₂ O ₃ | T | 107, 60±0,42 | ZrO ₂ ^{*25} | Т | 56, 23±0,29 |
| MnO ₂ ^{*15} | T | 54, 05±0,21 | NbO | Т | 45, 22±0,84 |
| Fe _{0,947} O ^{*16} | T | 48, 15±0,42 | NbO ₂ | Т | 41, 29±0,42 |
| FeO | T | 49, 95±0,42 | Nb ₂ O ₅ | Т | 30, 98±0,42 |
| | Г | 31, 40±0,13 | MoO ₂ | Т | 57, 53±0,42 |
| FeO _{1,056} | T | 50, 83±0,42 | MoO ₃ | Т | 132, 18±0,42 |
| | | | | Т | 56, 02±0,42 |
| Fe ₃ O ₄ ^{*17} | T | 150, 89±0,84 | RuO | Г | 75, 08±0,42 |
| Fe ₃ O ₄ ^{*18} | T | 150, 31±0,84 | RuO ₂ | Т | 59, 45±2,09 |
| Fe ₃ O ₄ ^{*19} | T | 150, 31±0,84 | RuO ₄ | Г | 31, 40±0,42 |
| Fe ₃ O ₄ ^{*20} | T | 150, 31±0,84 | Rh ₂ O | Т | 56, 52±4,19 |
| Fe ₂ O ₃ ^{*21} | T | 103, 83±0,21 | RhO | Т | 75, 86±0,33 |
| CoO | T | 55, 27±0,42 | Rh ₂ O ₃ | Г | 73, 28 |
| | Г | 33, 49±2,09 | PdO | Т | 48, 16 |
| Co ₃ O ₄ | T | 122, 88±0,42 | Ag ₂ O ^{*26} | Г | 31, 82±0,84 |
| NiO | T | 44, 34±0,42 | Ag ₂ O ^{*27} | Т | 103, 83 |
| | Г | 33, 91±0,84 | AgO | Г | 65, 90±0,21 |
| Cu ₂ O | T | 63, 68±0,21 | CdO | Т | 65, 98±0,21 |
| CuO | T | 42, 33±0,21 | In ₂ O | Г | 35, 42±0,21 |
| | | | | Г | 43, 67±0,21 |
| | | | | Г | 33, 91±0,84 |
| | | | | Г | 49, 82±1,67 |

| 1 | 2 | 3 | 1 | 2 | 3 |
|---|---|--------------|---|---|-------------|
| In ₂ O ₃ | т | 92,11±2,1 | WO _{2,96} ^{*31} | т | 73,27±0,84 |
| | т | 93,78 | WO ₃ | т | 73,90±0,42 |
| SnO | т | 44,39±2,51 | (WO ₃) ₂ | г | 59,45±2,09 |
| | г | 31,778±0,017 | (WO ₃) ₃ | г | 153,66 |
| SnO ₂ | т | 52,75±2,93 | (WO ₃) ₄ | г | 223,16 |
| SbO | г | 31,86±0,13 | ReO | г | 309,40 |
| Sb ₂ O ₃ | т | 101,34 | Re ₂ O ₇ | т | 32,03±0,21 |
| Sb ₄ O ₆ ^{*24} | т | 209,34±2,1 | OsO | г | 166,34±0,42 |
| Sb ₄ O ₆ ^{*28} | т | 224,0±2,1 | OsO ₄ | г | 31,82±0,84 |
| Sb ₂ O ₄ | т | 114,68±0,84 | IrO | г | 74,06±0,17 |
| Sb ₂ O ₅ | т | 117,69±1,26 | IrO ₂ | т | 31,82±0,84 |
| TeO | г | 31,82±0,42 | PtO | г | 57,37 |
| TeO ₂ ^{*23} | т | 64,06±2,10 | AuO | г | 31,82±0,84 |
| | г | 44,38±0,84 | HgO ^{*32} | т | 35,17±0,84 |
| IO | г | 32,91±1,67 | Tl ₂ O | г | 44,09±0,21 |
| BaO | т | 45,31 | PbO ^{*32} | т | 34,33±0,84 |
| | т | 47,27 | PbO ^{*33} | т | 51,08±2,1 |
| La ₂ O ₃ | т | 101,34 | Pb ₃ O ₄ | т | 45,85±0,17 |
| CeO ₂ | т | 63,23 | Pb ₂ O ₃ | т | 45,80±0,04 |
| Pr ₂ O ₃ | т | 107,5 | PbO ₂ | т | 146,96±1,26 |
| Pr ₆ O ₁₁ | т | 387,80 | PbO ₂ ^{*32} | т | 107,60±0,84 |
| Nd ₂ O ₃ | т | 111,6 | BiO | т | 64,81±0,21 |
| Sm ₂ O ₃ | т | 117,2 | Bi ₂ O ₃ ^{*22} | т | 62,93 |
| Dy ₂ O ₃ | т | 114,26 | PoO ₂ | т | 32,78±0,08 |
| Er ₂ O ₃ | т | 108,56 | ThO ₂ | т | 113,88±1,26 |
| HfO | г | 30,98±1,67 | UO | т | 61,55±4,19 |
| HfO ₂ | т | 60,29±0,42 | U ₃ O ₅ | т | 61,96 |
| | г | 45,22±0,84 | UO ₂ | т | 62,34 |
| TaO | г | 30,56±0,08 | UO | т | 46,89 |
| TaO ₂ | г | 44,38±0,84 | U ₃ O ₅ | т | 230,1 |
| Ta ₂ O ₅ | т | 134,90±0,42 | UO ₂ | т | 72,43 |
| WO ₂ | т | 55,77±0,42 | U ₄ O ₉ | т | 63,76 |
| WO _{2,72} ^{*29} | т | 68,66±0,84 | U ₃ O ₈ | т | 293,54 |
| WO _{2,90} ^{*30} | т | 72,01±0,84 | UO ₃ | т | 250,37 |
| | | | | | 85,00 |

*1 Гексагональный. *2 Аморфный. *3 Корунд. *4 α -кварц. *5 α -кристобалит.
 *6 α -тридимит. *7 Коэсит. *8 Стишовит. *9 Рутил. *10 Анатаз. *11 Каорелинит.
 *12 Шербинаит. *13 Манганозит. *14 Гаусманит. *15 Пиролюзит. *16 Виостит.
 *17 Магнетит. *18 1% катионных вакансий. *19 2% катионных вакансий. *20 4%
 катионных вакансий. *21 α -гематит. *22 Моноклинный. *23 Тетрагональный.
 *24 Кубический. *25 Бадделеит. *26 Макрокристаллы, размер частиц ~ 0,02 мм.
 *27 Тонкоизмельченный образец. *28 Ромбический. *29 1/18W₁₈O₄₉. *30 1/10W₁₀O₂₉.
 *31 1/50W₅₀O₁₄₈. *32 Красный. *33 Желтый.

16. УРАВНЕНИЯ МОЛЬНОЙ ТЕПЛОЕМКОСТИ [1]
 $(c_p = a + bT - cT^{-2}$, Дж/(моль·К)

| Оксид | Состояние | Коэффициенты в уравнении теплоемкости | | | Точность, % | Температурный интервал, К |
|-------------------------|-----------|---------------------------------------|----------------------------|-----------------------------|-------------|---------------------------|
| | | <i>a</i> | <i>b</i> · 10 ³ | <i>c</i> · 10 ⁻⁵ | | |
| 1 | 2 | 3 | 4 | 5 | 6 | 7 |
| H_2O | т | -0,197 | 140,26 | — | — | ≤ 273 |
| | ж | 46,89 | 30,02 | — | — | 298—373 |
| | г | 30,56 | 10,30 | — | 0,7 | 298—2750 |
| D_2O | г | 32,20 | 12,39 | 1,42 | 0,8 | 298—2200 |
| T_2O | г | 33,58 | 13,31 | 2,30 | 0,8 | 298—2000 |
| HO | г | 26,71 | 3,94 | 1,84 | 0,2 | 298—3000 |
| DO | г | 27,72 | 4,19 | 0,92 | 0,6 | 298—3000 |
| TO | г | 27,76 | 4,94 | 0,63 | 0,5 | 298—2200 |
| H_2O_2 | ж | 53,63 | 117,23 | — | 0,1 | 298—450 |
| | г | 49,15 | 14,32 | 9,13 | 0,5 | 298—1500 |
| D_2O_2 | г | 53,59 | 14,57 | 10,05 | 0,4 | 298—1500 |
| HDO | г | 32,41 | 10,30 | 1,47 | 1 | 298—2750 |
| HTO | г | 31,65 | 12,06 | 1,17 | 0,7 | 298—2200 |
| TO | г | 32,20 | 13,57 | 1,51 | 0,7 | 298—2000 |
| HDO_2 | г | 50,83 | 14,91 | 9,38 | 0,5 | 298—1500 |
| Li_2O | т | 62,59 | 25,48 | 14,16 | — | 298—1700 |
| | т | 47,73 | 22,61 | — | — | 298—2000 |
| | ж | 87,92 | — | — | — | 2000—2500 |
| Li_2O_2 | ж | 100,50 | — | — | — | 1700—5300 |
| | т | 71,18 | 22,61 | — | — | 298—470 |
| BeO | т | 35,41 | 16,76 | 13,28 | — | 298—1200 |
| BO | г | 28,85 | 4,52 | 0,88 | 0,7 | 298—2500 |
| B_2O_3 | т | 36,58 | 106,43 | 5,49 | 1 | 298—723 |
| | ам | 9,55 | 176,26 | — | 2 | 298—723 |
| | ж | 127,70 | — | — | 0,1 | 723—2000 |
| C_3O_2 | г | 65,44 | 36,34 | 9,29 | 0,4 | 298—1000 |
| CO | г | 28,43 | 4,10 | 0,46 | 0,8 | 298—2500 |
| CO_2^{*1} | г | 44,17 | 9,04 | 8,54 | — | 298—2500 |
| N_2O | г | 45,75 | 8,63 | 8,55 | 1 | 298—2000 |
| NO | г | 29,43 | 3,85 | 0,59 | 1 | 298—2500 |
| NO_2 | г | 42,16 | 9,55 | 6,99 | 1 | 298—2000 |
| N_2O_4 | г | 84,01 | 39,81 | 14,92 | 0,4 | 298—1000 |
| O | г | 20,85 | 0,0 | -1,00 | 0,2 | 298—3000 |
| O_2 | г | 29,98 | 4,19 | 1,67 | 0,8 | 298—3000 |
| O_3 | г | 47,02 | 8,04 | 9,04 | 0,6 | 298—1500 |
| F_2O | г | 52,25 | 4,10 | 9,04 | 0,4 | 298—1500 |
| Na_2O | т | 65,78 | 22,63 | — | 0,7 | 298—1100 |
| | ж | 92,11 | — | — | — | 1193— $T_{\text{разлож}}$ |
| Na_2O_2 | т | 84,57 | 15,91 | — | — | 298—919 |
| NaO_2 | т | 67,83 | 15,07 | — | — | 298—825 |
| | ж | 96,30 | — | — | — | 825—1300 |
| | г | 62,80 | — | — | — | 1300—2500 |
| MgO | т | 45,47 | 5,01 | 8,74 | — | 298—2500 |

| 1 | 2 | 3 | 4 | 5 | 6 | 7 |
|---|---|--------|--------|--------|-----|-------------------------|
| MgO* ² | т | 42,62 | 7,29 | 6,20 | 0,8 | 298—2100 |
| MgO | — | 56,02 | 0,86 | — | — | 2100—3075 |
| MgO ₂ | т | 50,66 | 10,05 | — | — | 298—361 |
| AlO | г | 34,42 | 1,84 | 3,64 | 0,5 | 298—2000 |
| Al ₂ O ₃ | т | 115,10 | 11,81 | 35,09 | 0,5 | 298—1800 |
| Al ₂ O ₃ * ³ | т | 109,36 | 18,372 | 30,434 | — | 298—2300 |
| Al ₂ O ₃ | ж | 138,16 | — | — | — | 2320—2500 |
| SiO | т | 30,56 | 10,05 | — | — | 298—2500 |
| | г | 32,24 | 3,10 | 2,93 | 0,5 | 298—2000 |
| SiO ₂ * ⁴ | т | 47,01 | 34,36 | 11,31 | 0,1 | 298—848 |
| SiO ₂ * ⁵ | т | 60,38 | 8,13 | — | 0,1 | 848—1883 |
| SiO ₂ * ⁶ | т | 17,93 | 88,24 | — | 1,0 | 298—523 |
| SiO ₂ * ⁷ | т | 60,34 | 8,55 | — | 0,2 | 523—1993 |
| SiO ₂ * ⁸ | т | 13,70 | 103,91 | — | 0,2 | 298—390 |
| SiO ₂ * ⁹ | т | 57,15 | 11,06 | — | 0,7 | 390—1953 |
| SiO ₂ * ¹⁰ | т | 56,06 | 15,42 | 14,46 | 0,4 | 298—2000 |
| SiO ₂ | ж | 83,73 | — | — | — | T _{пл} —2250 |
| PO | г | 32,95 | 2,51 | 1,72 | 0,6 | 298—2000 |
| P ₂ O ₃ | ж | 144,44 | — | — | — | 298—448,5 |
| | г | 62,80 | 41,87 | — | — | 448,5—2500 |
| PO ₄ | т | 47,31 | 20,93 | — | — | 298—350 |
| P ₂ O ₅ | ж | 83,74 | — | — | — | 350—T _{разлож} |
| | т | 35,06 | 22,61 | — | — | 298—631 |
| | г | 154,07 | — | — | — | 1400 |
| P ₄ O ₁₀ | т | 70,13 | 452,17 | — | 0,1 | 298—631 |
| | г | 308,15 | — | — | 0,1 | 631—1500 |
| SO | г | 34,58 | 1,34 | 4,19 | 0,7 | 298—3000 |
| SO ₂ | г | 46,22 | 7,87 | 7,70 | 0,8 | 298—3000 |
| SO ₂ * ¹¹ | г | 42,58 | 12,56 | 5,65 | — | 298—1800 |
| SO ₃ * ¹² | г | 57,36 | 26,88 | 13,06 | — | 298—1200 |
| SO ₃ | г | 58,20 | 25,54 | 13,48 | 0,7 | 298—1500 |
| Cl ₂ O | г | 53,21 | 3,35 | 7,79 | 0,5 | 298—2000 |
| ClO ₂ | г | 48,32 | 7,54 | 7,75 | 0,6 | 298—1500 |
| K ₂ O | т | 66,57 | 26,80 | — | — | 298—980 |
| | ж | 92,11 | — | — | — | 980—T _{разлож} |
| K ₂ O ₃ | т | 87,09 | 22,61 | — | — | 298—763 |
| | ж | 121,42 | — | — | — | 763—1800 |
| | г | 83,74 | — | — | — | 1800—2500 |
| K ₂ O ₃ | т | 79,97 | 97,13 | — | — | 298—703 |
| | ж | 148,63 | — | — | — | 703—973 |
| | г | 83,74 | 20,93 | — | — | 973—2500 |

| 1 | 2 | 3 | 4 | 5 | 6 | 7 |
|--|---|--------|--------|-------|-----|----------------------------------|
| KO ₂ | т | 62,80 | 50,24 | — | — | 298—653 |
| | ж | 100,48 | — | — | — | 653— <i>T</i> _{разлож} |
| CaO | т | 48,40 | 4,53 | 6,54 | 0,3 | 298—2000 |
| | т | 53,76 | 1,72 | — | — | 1800—2860 |
| | г | 36,43 | 0,67 | 3,10 | 0,2 | 298—2000 |
| ScO | г | 34,42 | 1,84 | 3,64 | 0,5 | 298—2000 |
| Sc ₂ O ₃ | т | 97,08 | 23,63 | — | — | 298—2523 |
| TiO* ¹³ | т | 44,29 | 15,08 | 7,79 | 1,5 | 298—1264 |
| TiO* ¹⁴ | т | 49,65 | 12,57 | — | 0,1 | 1264—2000 |
| TiO | г | 35,09 | 1,09 | 3,64 | 0,7 | 298—5000 |
| Ti ₂ O ₃ * ¹⁵ | т | 30,63 | 224,25 | — | 0,8 | 298—473 |
| Ti ₂ O ₃ * ¹⁶ | т | 145,20 | 5,44 | 42,71 | 0,1 | 473—2000 |
| | ж | 157,01 | — | — | — | 2400—2500 |
| Ti ₃ O ₅ * ¹⁷ | т | 148,62 | 12,36 | — | 0,1 | 298—450 |
| Ti ₃ O ₅ * ¹⁸ | т | 174,30 | 33,56 | — | — | 450—2450 |
| | ж | 251,21 | — | — | — | 2450—2500 |
| Ti ₄ O ₇ * ¹⁹ | т | 238,65 | 40,82 | — | — | 1100—1323 |
| TiO ₂ * ²⁰ | т | 71,76 | 4,10 | 14,65 | — | 298—1800 |
| TiO ₂ * ²¹ | т | 72,05 | 4,52 | 15,03 | — | 298—1300 |
| | ж | 89,60 | — | — | — | 2128—2500 |
| VO | т | 47,39 | 13,48 | 5,28 | 0,3 | 298—2000 |
| | ж | 60,71 | — | — | — | 2350—2500 |
| | г | 34,33 | 1,76 | 3,77 | 0,4 | 298—2000 |
| V ₂ O ₃ * ²² | т | 122,88 | 19,93 | 22,69 | 0,6 | 298—1800 |
| | ж | 159,10 | — | — | — | 2243—2500 |
| V ₃ O ₅ | т | 150,72 | 125,60 | — | — | 298—2100 |
| | ж | 232,79 | — | — | — | 2100— <i>T</i> _{разлож} |
| VO ₂ * ²³ | т | 62,63 | — | — | — | 298—345 |
| VO ₂ * ²⁴ | т | 74,73 | 7,12 | 16,50 | — | 345—1818 |
| | ж | 106,76 | — | — | — | 1818—2500 |
| V ₂ O ₄ * ²⁵ | т | 125,23 | — | — | 0,1 | 298—345 |
| V ₂ O ₄ * ²⁶ | т | 149,47 | 14,24 | 33,03 | 0,4 | 345—1818 |
| | ж | 213,53 | — | — | 0,1 | 1818—2000 |
| V ₂ O ₅ | т | 194,85 | 16,33 | 55,35 | — | 298—943 |
| | ж | 190,92 | — | — | 0,1 | 943—2000 |
| | г | 167,47 | — | — | — | 2325—2500 |
| Cr ₂ O ₃ | т | 108,88 | 16,75 | — | — | 273—2263 |
| Cr ₂ O ₃ * ²⁷ | т | 119,45 | 9,21 | 15,66 | — | 350—1800 |
| CrO ₂ | т | 67,41 | 12,56 | 12,56 | — | 298—700 |
| CrO ₃ | т | 75,78 | 16,75 | 8,37 | — | 298—460 |
| | ж | 113,04 | — | — | — | 460—1000 |
| | г | 83,74 | — | — | — | 1000—2500 |

| 1 | 2 | 3 | 4 | 5 | 6 | 7 |
|---|---|--------|--------|-------|-----|---------------------------|
| MnO | т | 46,52 | 8,12 | 3,69 | — | 298—1800 |
| | ж | 56,52 | — | — | — | 2058— $T_{\text{разлож}}$ |
| | г | 35,38 | 1,26 | 3,64 | 0,4 | 298—2000 |
| Mn ₃ O ₄ ^{*28} | т | 145,03 | 45,30 | 9,21 | 0,5 | 298—1445 |
| Mn ₃ O ₄ ^{*29} | т | 210,18 | — | — | 0,1 | 1445—1800 |
| | ж | 205,15 | — | — | — | 1863—2500 |
| Mn ₂ O ₃ | т | 103,54 | 35,09 | 13,52 | 0,1 | 298—1350 |
| MnO ₂ | т | 69,50 | 10,22 | 16,24 | — | 298—1120 |
| FeO | т | 38,81 | 20,10 | — | — | 298—1250 |
| FeO ^{*30} | т | 52,84 | 6,25 | 3,19 | — | 298—1600 |
| | ж | 60,71 | — | — | — | 1651—2500 |
| Fe ₃ O ₄ ^{*31} | т | 91,61 | 201,80 | — | 0,5 | 298—900 |
| Fe ₃ O ₄ ^{*30} | т | 167,14 | 78,96 | 41,91 | — | 298—900 |
| Fe ₃ O ₄ ^{*32} | т | 200,97 | — | — | 0,1 | 900—1800 |
| Fe ₂ O ₃ ^{*33} | т | 91,61 | 201,80 | — | — | 298—950 |
| Fe ₂ O ₃ ^{*30} | т | 97,80 | 72,18 | 12,90 | — | 298—1000 |
| Fe ₂ O ₃ ^{*34} | т | 200,97 | — | — | — | 950—1050 |
| Fe ₂ O ₃ ^{*35} | т | 98,35 | 77,87 | 14,86 | — | 1050—1800 |
| CoO | т | 41,03 | 9,21 | — | — | 298—2078 |
| CoO ^{*36} | т | 48,32 | 8,54 | 1,67 | 0,6 | 298—2000 |
| CoO | ж | 64,90 | — | — | — | 2078—2500 |
| Co ₃ O ₄ | т | 123,51 | 71,18 | — | — | 298—1240 |
| Co ₃ O ₄ ^{*36} | т | 129,12 | 71,51 | 23,95 | 0,5 | 298—1000 |
| NiO ^{*37} | т | 20,89 | 157,34 | 16,29 | 0,4 | 298—525 |
| NiO ^{*38} | т | 58,11 | — | — | 0,1 | 525—565 |
| NiO ^{*39} | т | 46,81 | 8,46 | — | 0,4 | 565—2000 |
| | ж | 59,87 | — | — | — | 2230— $T_{\text{разлож}}$ |
| | г | 36,55 | 0,59 | 3,10 | 0,1 | 298—2000 |
| Cu ₂ O | т | 56,10 | 36,01 | — | — | 298—1503 |
| Cu ₂ O ^{*30} | т | 62,38 | 23,86 | — | — | 298—1200 |
| | ж | 90,02 | — | — | — | 1503— $T_{\text{разлож}}$ |
| CuO | т | 60,04 | 25,96 | — | — | 298—1609 |
| | ж | 92,11 | — | — | — | 1609— $T_{\text{разлож}}$ |
| | г | 36,51 | 0,59 | 3,06 | 0,2 | 298—2000 |
| ZnO | т | 49,03 | 5,11 | 9,13 | 0,4 | 298—2000 |
| | г | 35,17 | 1,42 | 3,43 | 0,3 | 298—2000 |
| Ga ₂ O | т | 150,72 | — | — | — | 298—925 |
| | ж | 132,63 | 7,54 | — | — | 925—1000 |
| | г | 57,78 | 36,01 | — | — | 1000—1700 |
| GaO | г | 35,84 | 1,00 | 3,52 | 0,2 | 298—2000 |
| Ga ₂ O ₃ | т | 90,02 | — | — | — | 298—2013 |
| Ga ₂ O ₃ ^{*40} | т | 49,28 | 105,51 | — | — | 298—923 |

| I | 2 | 3 | 4 | 5 | 6 | 7 |
|---|---|--------|--------|-------|-----|--------------------------|
| GeO | т | 49,28 | 105,51 | — | — | 298—923 |
| | г | 34,25 | 1,93 | 3,56 | 0,5 | 298—2000 |
| GeO ₂ ^{*41} | т | 43,54 | 10,89 | 2,09 | — | 298—1389 |
| GeO ₂ ^{*30} | т | 46,89 | 30,02 | — | — | 298—1300 |
| | ж | 34,33 | 1,67 | 0,84 | — | 1398—2500 |
| AsO | г | 40,78 | 1,26 | 7,20 | 0,4 | 298—2000 |
| As ₂ O ₃ | т | 35,04 | 203,48 | — | — | 298—548 |
| | ж | 163,29 | — | — | — | 550—730 |
| | г | 90,02 | — | — | — | 730—2500 |
| AsO ₂ | т | 35,59 | 39,36 | — | — | 298—1200 |
| | ж | 87,92 | — | — | — | 1200—T _{разлож} |
| As ₂ O ₅ | т | 130,21 | 68,66 | 22,61 | — | 298—1100 |
| SeO | т | 38,10 | 15,91 | — | — | 298—1375 |
| | ж | 64,90 | — | — | — | 1375—2075 |
| | г | 34,33 | 2,09 | 3,35 | — | 2075—2500 |
| | г | 34,96 | 1,51 | 3,68 | 0,4 | 298—2000 |
| SeO ₂ | т | 53,59 | 25,54 | 0,84 | — | 298—613 |
| | г | 60,71 | — | — | — | 613—2500 |
| BrO | г | 36,09 | 0,84 | 3,31 | 0,2 | 298—2000 |
| Rb ₂ O | т | 64,48 | 24,28 | — | — | 298—900 |
| | ж | 92,11 | — | — | — | 900—T _{разлож} |
| Rb ₂ O ₂ | т | 87,50 | 33,49 | — | — | 298—843 |
| | ж | 121,42 | — | — | — | 843—T _{разлож} |
| Rb ₂ O ₃ | т | 85,83 | 54,43 | — | — | 298—762 |
| | ж | 142,35 | — | — | — | 762—T _{разлож} |
| RbO ₂ | т | 57,78 | 26,80 | — | — | 298—685 |
| | ж | 87,92 | — | — | — | 685—T _{разлож} |
| SrO | т | 50,79 | 5,28 | 6,49 | 0,5 | 298—1800 |
| | т | 55,32 | 1,21 | — | — | 1200—2703 |
| | — | 67,00 | — | — | — | 2703—6000 |
| | г | 36,43 | 0,67 | 3,10 | 0,2 | 298—2000 |
| SrO ₂ | т | 70,34 | 9,21 | 12,56 | — | 298—488 |
| YO | г | 35,21 | 1,34 | 3,52 | 0,4 | 298—2000 |
| Y ₂ O ₃ | т | 108,86 | 34,33 | 9,21 | — | 298—2500 |
| ZrO ₂ ^{*42, *43} | т | 69,67 | 7,54 | 14,07 | — | 298—1478 |
| ZrO ₂ ^{*42} | т | 57,80 | 16,68 | — | 1 | 1000—1420 |
| ZrO ₂ ^{*44} | т | 78,63 | — | — | 1 | 1420—2500 |
| | т | 74,54 | — | — | — | 1478—2950 |
| | — | 100,50 | — | — | — | 2950—6000 |
| NbO | т | 40,19 | 18,42 | — | — | 298—2218 |
| NbO ₂ | т | 71,59 | 6,70 | 11,72 | — | 298—2275 |
| | ж | 100,48 | — | — | — | 2275—2500 |
| Nb ₂ O ₅ | т | 91,61 | 118,07 | — | — | 298—1783 |
| Nb ₂ O ₅ ^{*45} | т | 151,69 | 23,20 | 20,43 | — | 298—1795 |
| | ж | 185,06 | — | — | — | 1783—2500 |

| 1 | 2 | 3 | 4 | 5 | 6 | 7 |
|---|---|--------|--------|-------|-----|-------------------------|
| MoO ₂ | Т | 67,83 | 12,56 | 12,56 | — | 298—2200 |
| | Ж | 96,30 | — | — | — | 2200—2250 |
| MoO ₃ | Т | 56,94 | 56,52 | — | — | 298—1068 |
| | Ж | 118,91 | — | — | — | 1068—1530 |
| MoO ₃ ^{*36} | Г | 75,78 | — | — | — | 1530—2500 |
| | Т | 86,79 | 21,69 | 17,50 | — | 298—1068 |
| TcO ₂ | Г | 43,54 | 38,52 | — | — | 298—2400 |
| | Ж | 104,67 | — | — | — | 2400—2500 |
| TcO ₃ | Т | 81,22 | 21,77 | 8,37 | — | 298—1200 |
| | Т | 163,70 | 77,87 | 10,05 | — | 298—392,7 |
| Tc ₂ O ₇ | Ж | 267,96 | — | — | — | 392,7—583,8 |
| | Г | 104,67 | 117,23 | — | — | 583,8—2500 |
| RuO ₂ | Т | 47,73 | 25,12 | — | — | 298—1400 |
| | Т | 83,74 | — | — | — | 298—300 |
| RuO ₄ | Ж | 138,16 | — | — | — | 300—T _{разлож} |
| | Т | 65,27 | 27,09 | — | — | 273—1273 |
| Rh ₂ O | Т | 41,20 | 23,15 | — | — | 273—1273 |
| | Т | 86,79 | 57,78 | — | — | 273—1273 |
| PdO | Т | 13,82 | 59,45 | — | — | 298—823 |
| | Т | 46,60 | 64,81 | — | 0,2 | 298—460 |
| Ag ₂ O | Т | 55,52 | 29,48 | — | — | 298—460 |
| | Г | 37,01 | 0,25 | 2,26 | 0,1 | 298—2000 |
| Ag ₂ O ₂ | Т | 68,66 | 51,08 | — | — | 298—T _{разлож} |
| | Т | 40,40 | 8,71 | — | — | 273—1200 |
| CdO ^{*1} | Т | 40,95 | 8,46 | — | — | 298—2086 |
| | Т | 61,55 | 32,66 | — | — | 298—600 |
| In ₂ O | Ж | 92,11 | — | — | — | 600—800 |
| | Г | 62,80 | — | — | — | 800—2500 |
| InO | Т | 41,87 | 13,40 | — | — | 298—1325 |
| | Ж | 58,62 | — | — | — | 1325—2000 |
| In ₂ O ₃ | Г | 37,68 | — | — | — | 2000—2500 |
| | Г | 36,30 | 0,67 | 3,43 | 0,2 | 298—2000 |
| In ₂ O ₃ | Т | 94,62 | 25,12 | — | — | 298—2000 |
| | Т | 93,78 | — | — | — | 273—373 |
| In ₂ O ₃ ^{*27} | Ж | 146,54 | — | — | — | 2273—2500 |
| | Т | 39,36 | 15,16 | — | — | 273—1273 |
| SnO | Ж | 60,71 | — | — | — | 1315—1800 |
| | Г | 37,68 | — | — | — | 1800—2500 |
| SnO ₂ | Г | 35,25 | 1,34 | 3,52 | 0,4 | 298—2000 |
| | Т | 73,95 | 10,05 | 21,61 | 0,8 | 298—1500 |
| SbO | Ж | 94,20 | — | — | — | 1898—2273 |
| | Г | 35,46 | 3,52 | 4,14 | 0,9 | 298—2000 |
| Sb ₂ O ₃ | Т | 79,98 | 71,61 | — | — | 273—928 |
| | Ж | 150,72 | — | — | — | 928—1698 |
| Sb ₂ O ₄ | Г | 87,09 | — | — | — | 1698—2500 |
| | Т | 47,31 | 33,91 | — | — | 298—1198 |
| Sb ₂ O ₅ | Т | 94,62 | 67,83 | — | — | 298—1198 |
| | Т | 93,78 | 98,81 | — | — | 298—T _{разлож} |

| 1 | 2 | 3 | 4 | 5 | 6 | 7 |
|---|---|--------|--------|-------|-----|---------------|
| TeO | Г | 35,34 | 1,34 | 3,48 | 0,3 | 298—2000 |
| TeO ₂ | Т | 57,99 | 28,76 | — | — | 298—1006 |
| | Ж | 83,74 | — | — | — | 1006—T разлож |
| Cs ₂ O | Т | 69,08 | 22,61 | — | — | 298—763 |
| | Ж | 92,11 | — | — | — | 763—T разлож |
| Cs ₂ O ₂ | Т | 89,60 | 47,73 | — | — | 298—867 |
| | Ж | 123,51 | — | — | — | 867—T разлож |
| Cs ₂ O ₃ | Т | 100,48 | 94,62 | — | — | 298—775 |
| | Ж | 146,54 | — | — | — | 775—T разлож |
| Ba ₂ O | Т | 83,74 | 9,21 | — | — | 298—880 |
| | Ж | 92,11 | — | — | — | 880—1040 |
| | Г | 62,80 | — | — | — | 1040—2500 |
| BaO | Т | 53,34 | 4,36 | 8,31 | — | 298—2196 |
| | Ж | 58,20 | — | — | — | 2283—3000 |
| | — | 67,00 | — | — | — | 2283—6000 |
| | Г | 36,09 | 0,84 | 2,81 | 0,3 | 298—2000 |
| BaO ₂ | Т | 56,94 | 8,37 | — | — | 298—723 |
| | Ж | 87,92 | — | — | — | 723—1110 |
| LaO | Г | 35,42 | 1,26 | 3,52 | 0,3 | 298—2000 |
| La ₂ O ₃ | Т | 120,83 | 12,88 | 13,71 | — | 298—2573 |
| CeO | Г | 35,25 | 1,34 | 3,77 | 0,3 | 298—2000 |
| Ce ₂ O ₃ | Т | 96,30 | 37,68 | — | — | 298—1960 |
| Ce ₂ O ₃ * ⁴⁷ | Т | 139,25 | 11,22 | 24,62 | — | 298—1050 |
| | Т | 126,86 | 32,32 | 9,29 | — | 1050—1800 |
| Ce ₂ O ₃ | Ж | 154,91 | — | — | — | 1963—2500 |
| CeO ₂ | Т | 62,81 | 10,47 | — | — | 298—2500 |
| Pr ₂ O ₃ | Т | 121,42 | 16,75 | 16,75 | — | 298—2200 |
| | Ж | 151,72 | — | — | — | — |
| Pr ₆ O ₁₁ | Т | 399,04 | 109,72 | 38,99 | 0,1 | 298—1200 |
| PrO ₂ | Т | 73,69 | 14,24 | 11,72 | — | 298—700 |
| Nd ₂ O ₃ | Т | 121,25 | 24,12 | 14,42 | 0,1 | 298—1500 |
| Nd ₂ O ₃ * ⁴⁷ | Т | 115,85 | 29,81 | 11,89 | — | 298—1395 |
| | Т | 155,75 | — | — | — | 1395—2000 |
| Sm ₂ O ₃ * ⁴⁸ | Т | 134,81 | 5,44 | — | — | 273—1273 |
| Sm ₂ O ₃ | Т | 108,44 | 29,31 | — | — | 298—2150 |
| Sm ₂ O ₃ * ^{49, *47} | Т | 128,28 | 21,27 | 16,58 | — | 298—1150 |
| Sm ₂ O ₃ * ^{50, *47} | Т | 128,74 | 19,43 | 18,00 | — | 298—1195 |
| Sm ₂ O ₃ * ^{50, *47} | Т | 154,49 | — | — | — | 1195—2000 |
| Sm ₂ O ₃ | Ж | 150,72 | — | — | — | 2593 |
| EuO* ⁵¹ | Т | 52,50 | 8,71 | — | — | 298—1760 |
| Eu ₂ O ₃ * ^{52, *47} | Т | 136,91 | 14,74 | 16,41 | — | 298—1371 |
| Eu ₂ O ₃ * ^{53, *47} | Т | 123,93 | 27,13 | 8,71 | — | 298—895 |
| Eu ₂ O ₃ * ^{53, *47} | Т | 130,04 | 17,42 | — | — | 895—1800 |

| 1 | 2 | 3 | 4 | 5 | 6 | 7 |
|------------------------------------|---|--------|-------|-------|-----|---------------|
| $\text{Eu}_2\text{O}_3^{*54}$ | т | 147,7 | — | — | — | 273—873 |
| | т | 139,5 | — | — | — | 273—1073 |
| Gd_2O_3 | т | 108,04 | 15,08 | — | — | 273—1273 |
| $\text{Gd}_2\text{O}_3^{*55}$ | т | 127,5 | — | — | — | 273—1273 |
| $\text{Gd}_2\text{O}_3^{*56}, *47$ | т | 120,24 | 11,89 | 16,24 | — | 298—1550 |
| $\text{Gd}_2\text{O}_3^{*57}, *47$ | т | 114,22 | 14,82 | 10,63 | — | 298—2000 |
| $\text{Dy}_2\text{O}_3^{*58}, *47$ | т | 122,88 | 13,23 | 8,46 | — | 298—1550 |
| | т | 148,21 | — | — | — | 1550—1800 |
| $\text{Dy}_2\text{O}_3^{*59}$ | т | 139,0 | — | — | — | 273—1073 |
| $\text{Ho}_2\text{O}_3^{*60}, *47$ | т | 121,12 | 10,89 | 10,05 | — | 298—2000 |
| $\text{Er}_2\text{O}_3^{*61}, *47$ | т | 124,18 | 8,37 | 18,84 | — | 298—2000 |
| Er_2O_3 | т | 104,08 | — | — | — | 273—373 |
| $\text{Er}_2\text{O}_3^{*62}$ | т | 129,50 | 3,27 | 19,47 | — | — |
| $\text{Tu}_2\text{O}_3^{*63}, *47$ | т | 129,79 | 3,27 | 14,32 | — | 298—1680 |
| | т | 133,98 | — | — | — | 1680—2000 |
| $\text{Yb}_2\text{O}_3^{*64}, *47$ | т | 136,41 | —2,60 | 19,34 | — | 298—1365 |
| | т | 134,81 | — | — | — | 1365—2000 |
| $\text{Lu}_2\text{O}_3^{*65}, *47$ | т | 123,01 | 7,37 | 24,53 | — | 298—1800 |
| HfO_2 | т | 72,81 | 8,71 | 14,57 | 0,3 | 298—2000 |
| Ta_2O_5 | т | 122,25 | 41,87 | — | — | 298—2145 |
| $\text{Ta}_2\text{O}_5^{*36}$ | т | 154,91 | 27,47 | 24,79 | 0,4 | 298—2000 |
| Ta_2O_5 | ж | 192,59 | — | — | — | 2145 |
| WO_3 | т | 73,69 | 17,58 | 16,75 | — | 298—1843 |
| | ж | 100,48 | — | — | — | 1843—2125 |
| WO_3 | т | 72,56 | 32,41 | — | — | 298—1743 |
| | ж | 125,60 | — | — | — | 1743—2100 |
| | г | 75,36 | — | — | — | 2100—2500 |
| ReO_2 | т | 45,22 | 41,03 | — | — | 298—1475 |
| | ж | 102,58 | — | — | — | 1475—2500 |
| ReO_3 | т | 75,36 | 24,28 | — | — | 298—433 |
| | ж | 121,42 | — | — | — | 433—7 разлож. |
| Re_2O_7 | т | 175,01 | 61,96 | 12,56 | — | 298—569 |
| | ж | 275,07 | — | — | — | 569—635,5 |
| | г | 159,94 | — | — | — | 635,5—2500 |
| ReO_4 | т | 89,60 | 45,22 | 8,38 | — | 298—420 |
| | ж | 138,16 | — | — | — | 420—460 |
| | г | 69,08 | 36,01 | 20,93 | — | 460—2500 |
| OsO_2 | т | 48,15 | 25,12 | — | — | 298—923 |
| OsO_4 | т | 68,66 | 96,72 | 10,05 | — | 298—313,3 |
| | ж | 138,12 | — | — | — | 313,3—403 |
| | г | 68,91 | 36,01 | 19,26 | — | 403—1000 |
| | г | 86,04 | 20,43 | 15,99 | 0,3 | 298—1000 |

| 1 | 2 | 3 | 4 | 5 | 6 | 7 |
|-------------------------|---|--------|-------|-------|-----|--------------------------|
| Ir_2O_3 | т | 91,27 | 60,29 | — | — | 298—1450 |
| | ж | 146,54 | — | — | — | 1450—2250 |
| | г | 83,74 | 41,87 | — | — | 2250—2500 |
| IrO_2 | т | 38,39 | 63,64 | — | 0,5 | 298—1300 |
| PtO | т | 37,68 | 26,80 | — | — | 298—780 |
| Pt_3O_4 | т | 128,95 | 72,85 | — | — | 298— $T_{\text{разлож}}$ |
| PtO_2 | т | 46,47 | 40,19 | — | — | 298—723 |
| | ж | 87,92 | — | — | — | 723—750 |
| Au_2O_3 | т | 98,39 | 20,10 | — | — | 298— $T_{\text{разлож}}$ |
| Hg_2O | т | 30,02 | 10,72 | 0,33 | — | 298— $T_{\text{разлож}}$ |
| HgO | т | 72,81 | 8,71 | 14,57 | — | 298— $T_{\text{разлож}}$ |
| $\text{HgO}^{*66, *27}$ | т | 45,76 | — | — | — | 298—371 |
| Tl_2O | т | 66,15 | 25,12 | 1,26 | — | 298—573 |
| | ж | 92,53 | — | — | — | 573—773 |
| | г | 57,36 | — | — | — | 773—2500 |
| Tl_2O_3 | т | 96,30 | 20,93 | — | — | 298—990 |
| | ж | 148,63 | — | — | — | 990— $T_{\text{разлож}}$ |
| PbO^{*67} | т | 37,89 | 26,80 | — | 0,2 | 298—1159 |
| PbO^{*66} | т | 44,39 | 16,75 | — | 0,1 | 298—900 |
| | ж | 61,13 | — | — | — | 1160—1745 |
| | г | 33,91 | 1,67 | — | — | 1745—2500 |
| | г | 35,88 | 1,00 | 3,31 | 0,2 | 298—2000 |
| Rb_3O_4 | т | 130,21 | 73,69 | — | — | 298— $T_{\text{разлож}}$ |
| PbO_2 | т | 53,17 | 32,91 | — | — | 298—1000 |
| BiO | т | 40,61 | 12,56 | — | — | 298—1175 |
| | ж | 58,62 | — | — | — | 1175—1920 |
| | г | 37,26 | — | — | — | 1920—2500 |
| Bi_2O_3 | г | 36,13 | 0,84 | 3,31 | 0,2 | 298—2000 |
| | т | 103,60 | 33,50 | — | 0,3 | 298—800 |
| PoO_2 | ж | 149,47 | — | — | — | 1090 |
| | т | 59,87 | 23,45 | — | — | 298—825 |
| RaO | ж | 92,11 | — | — | — | 825— $T_{\text{разлож}}$ |
| | т | 43,96 | 8,38 | — | — | 298—2500 |

| 1 | 2 | 3 | 4 | 5 | 6 | 7 |
|--|---|--------|-------|-------|-----|-------------------------|
| Ac ₂ O ₃ | т | 83,74 | 85,41 | — | — | 298—2250 |
| | ж | 167,47 | — | — | — | 2250—2500 |
| ThO | т | 46,05 | 10,05 | — | — | 298—2150 |
| | ж | 62,80 | — | — | — | 2150—2500 |
| ThO ₂ | т | 66,32 | 12,06 | 6,70 | 0,4 | 298—2000 |
| PaO ₂ | т | 60,29 | 10,89 | — | — | 298—2500 |
| Pa ₂ O ₅ | т | 118,91 | 47,73 | — | — | 298—2050 |
| | ж | 200,97 | — | — | — | 2050—2500 |
| UO | т | 44,38 | 8,37 | — | — | 298—1500 |
| U ₃ O ₅ | т | 272,14 | 31,40 | 45,64 | — | 298—900 |
| UO ₂ | т | 80,39 | 6,78 | 16,58 | 0,1 | 298—2000 |
| U ₃ O ₈ | т | 250,37 | — | — | — | 275—315 |
| U ₃ O ₈ ^{*12} | т | 238,02 | — | — | — | 373—593 |
| UO ₃ | т | 92,49 | 10,63 | 12,43 | 0,1 | 298—1000 |
| NpO ₂ | т | 74,11 | 13,40 | 10,89 | — | 298—2600 |
| Np ₂ O ₅ | т | 135,65 | 52,75 | — | — | 298—800 |
| PuO | т | 50,24 | 10,05 | — | — | 298—1290 |
| | ж | 60,71 | — | — | — | 1290—2325 |
| | г | 37,26 | — | — | — | 2325—2500 |
| Pu ₂ O ₃ | т | 88,76 | 76,20 | — | — | 298—2513 |
| | ж | 167,47 | — | — | — | 2513 |
| PuO ₂ | т | 71,59 | 14,24 | 10,89 | — | 298—2663 |
| | ж | 85,83 | — | — | — | 2663 |
| Am ₂ O ₃ | т | 83,74 | 65,31 | — | — | 298—2225 |
| | ж | 161,19 | — | — | — | 2225—2500 |
| AmO ₂ | т | 58,62 | 28,47 | — | — | 298—T _{разлож} |

*¹ [78, с. 12]. *² [78, с. 16]. *³ [19, с. 19]. *⁴ α-кварц. *⁵ β-кварц. *⁶ α-кри-
 стобаллит. *⁷ β-кристобаллит. *⁸ α-тридимит. *⁹ β-тридимит. *¹⁰ Стекловидный.
 *¹¹ [78, с. 18]. *¹² [78, с. 20]. *¹³ α-TiO. *¹⁴ β-TiO. *¹⁵ α-Ti₂O₃. *¹⁶ β-Ti₂O₃.
 *¹⁷ α-Ti₃O₅. *¹⁸ β-Ti₃O₅. *¹⁹ [91]. *²⁰ Рутин. [78, с. 20]. *²¹ Анатаз [78, с. 20]. *²² Ка-
 релианит. *²³ α-VO₂. *²⁴ β-VO₂. *²⁵ α-V₂O₄. *²⁶ β-V₂O₄. *²⁷ [78, с. 14]. *²⁸ α-Mn₂O₃.
 *²⁹ β-Mn₂O₃. *³⁰ [78, с. 14]. *³¹ α-Fe₂O₃. *³² β-Fe₂O₃. *³³ α-Fe₃O₄. *³⁴ β-Fe₃O₄.
 *³⁵ γ-Fe₂O₃. *³⁶ [1, с. 448, ист. 406]. *³⁷ α-NiO. *³⁸ β-NiO. *³⁹ γ-NiO. *⁴⁰ [19, с. 68].
 *⁴¹ α- и β- ZrO₂. *⁴² [78, с. 20]. *⁴³ β-ZrO₂. *⁴⁴ [19, с. 156]. *⁴⁵ [78, с. 10].
 *⁴⁶ [156, с. 58]. *⁴⁷ [77, с. 294]. *⁴⁸ Sm₂O₃—C. *⁴⁹ Sm₂O₃—B. *⁵⁰ [189]. *⁵¹ Eu₂O₃—C.
 *⁵² Eu₂O₃—B. *⁵³ [19, с. 185]. *⁵⁴ [19, с. 187]. *⁵⁵ Gd₂O₃—C. *⁵⁶ Gd₂O₃—B.
 *⁵⁷ Dy₂O₃—C. *⁵⁸ [19, с. 191]. *⁵⁹ Ho₂O₃—C. *⁶⁰ Er₂O₃—C. *⁶¹ [48]. *⁶² Tu₂O₃—C.
 *⁶³ Yb₂O₃—C. *⁶⁴ Lu₂O₃—C. *⁶⁵ Красный. *⁶⁶ Желтый.

17. ТЕПЛОЕМКОСТЬ c_p ПРИ НИЗКИХ ТЕМПЕРАТУРАХ [1; 19] [I — Дж/(кг·К), II — Дж/(моль·К)]

| Оксид | Обозна- чение | Теплоемкость c_p при температуре, К | | | | | | | | | | |
|--------------------------------|------------------|---------------------------------------|-----------------------|-------------------|-------------------|-------------------|-------------------------|-------------------------|-------------------------|-------------------------|-------------------------|-------------------------|
| | | 10 | 20 | 25 | 4 | 50 | 5 | 100 | 6 | 150 | 7 | 200 |
| 1 | 2 | 3 | 4 | 5 | 6 | 7 | 8 | 9 | 9 | 9 | 9 | 9 |
| H ₂ O | I | — | 171,66 | 435,43 | 883,42 | 1222,55 | 1565,86 | 4190,99(ж) | 4345,90(ж) | 4345,90(ж) | 4345,90(ж) | 4345,90(ж) |
| D ₂ O | I | — | 175,85 | 431,24 | 891,79 | 1343,96 | 1766,83 | 573,59 | 1017,39 | 1017,39 | 1017,39 | 1017,39 |
| BeO | I | 0,837 | 3,349 | 1549,12 | 1042,51(r) | 1042,51(r) | 1042,51(r) | 1042,51(r) | 1042,51(r) | 1042,51(r) | 1042,51(r) | 1042,51(r) |
| CO | I | 117,23 | 816,43 | 203,49 | 58,197 | 904,35 | 109,72 | 738,88(r) | 845,73(r) | 845,73(r) | 845,73(r) | 845,73(r) |
| CO ₂ | I | 21,77 | 216,46 | 623,83 | 946,22 | 1159,74 | 762,00(r) | 879,23(r) | 879,23(r) | 879,23(r) | 879,23(r) | 879,23(r) |
| NO ₂ | I | 38,94 | 329,50 | 711,76 | 1201,61 | 1038,33(r) | 1013,21(r) | 996,46(r) | 996,46(r) | 996,46(r) | 996,46(r) | 996,46(r) |
| NO | I | 15,07 | 146,54 | 400,68 | 661,93 | 835,27 | 999,39 | 1099,02 | 1099,02 | 1099,02 | 1099,02 | 1099,02 |
| N ₂ O ₄ | I | — | 198,04 | 838,62 | 838,62 | 838,62 | 838,62 | 838,62 | 838,62 | 838,62 | 838,62 | 838,62 |
| O ₂ | I | 79,55 | 695,01 | 1440,26 | 908,54(r) | 908,54(r) | 908,54(r) | 908,54(r) | 908,54(r) | 908,54(r) | 908,54(r) | 908,54(r) |
| O ₃ | I | — | 2,93 | — | 693,48(ж) | — | — | — | — | — | — | — |
| MgO | I | 0,42 | 0,0 | 0,13 | 0,92 | 23,03 | 211,85 | 464,74 | 678,26 | 817,35(r) | 937,84 | 937,84 |
| Al ₂ O ₃ | I | 0,42 | 0,42 | 2,09 | 18,42 | 18,42 | 8,54 | 18,8 | 27,3 | 37,8 | 37,8 | 37,8 |
| SiO ₄ ⁴⁻ | I | 0,04 | 0,20 | 1,9 | 13,4 | 13,4 | 328,66 | 509,12 | 509,12 | 774,98 | 774,98 | 774,98 |
| SiO ₂ | I | 2,09 | 26,38 | 96,30 | 259,58 | 259,58 | 33,5 | 51,92 | 51,92 | 79,13 | 79,13 | 79,13 |
| SiO ₂ ²⁻ | I | 3,35 | 40,61 | 108,86 | 265,02 | 265,02 | 420,77 | 420,77 | 548,47 | 741,06 | 741,06 | 741,06 |
| SiO ₃ | I | 3,35 | 40,61 | 111,79 | 272,14 | 272,14 | 427,05 | 556,84 | 556,84 | 743,99 | 743,99 | 743,99 |
| SiO ₂ | I | 4,19 | 38,94 | 113,88 | 269,21 | 411,14 | 540,93 | 739,81 | 739,81 | 739,81 | 739,81 | 739,81 |
| SiO ₂ ⁴⁻ | I | 18,42 | 178,36 | 481,48 | 748,60 | 903,51 | 1314,66(ж) | 628,02(r) | 628,02(r) | 628,02(r) | 628,02(r) | 628,02(r) |
| SO ₂ | I | 1 ^{**} | 2,2 ^{*6} | 2,8 ^{*7} | 1,9 ^{*8} | 2,2 ^{*9} | — | — | — | — | — | — |
| KO [*] 13 | II | 1,8 ^{*12} | — | — | — | — | 485,67 | 619,65 | 900,16 | 900,16 | 900,16 | 900,16 |
| KO ₂ | I | 0,42 | 4,19 | 46,06 | 288,89 | 485,67 | 619,65 | 619,65 | 619,65 | 619,65 | 619,65 | 619,65 |
| CaO | II | 0,00 | 0,3 ⁴ | 2,51 | 16,2 | 27,2 | 34,8 | 42,83 | 42,83 | 42,83 | 42,83 | 42,83 |
| TlO ₂ | I | — | 242,83 ^{*14} | 1787,76 | 6472,79 | 10718,21 | 12025,78 ^{*15} |
| V ₂ O ₃ | I | 0,084 | 1,05 | 6,36 | 19,2 | 31,95 | 43,34 | 56,48 | 56,48 | 56,48 | 56,48 | 56,48 |
| V ₂ O ₄ | I | 0,84 | 9,63 | 51,92 | 191,76 | 407,79 | 538,84 | 689,15 | 689,15 | 689,15 | 689,15 | 689,15 |
| V ₂ O ₅ | II | 0,1256 | 1,424 | 7,79 | 28,7 | 61,0 | 80,7 | 103,3 | 103,3 | 103,3 | 103,3 | 103,3 |
| V ₂ O ₆ | II | 0,1256 | 10,05 | 58,62 | 222,32 | 401,51 | 511,21 | 706,31 | 706,31 | 706,31 | 706,31 | 706,31 |
| | | 0,1256 | 1,675 | 9,71 | 36,84 | 66,49 | 89,81 | 117,1 | 117,1 | 117,1 | 117,1 | 117,1 |

| | | | | |
|--|-------------------------|------------------------------|------------------------------|-------------------------------|
| V ₂ O ₅ | 1,26 18,00 | 104,67 285,96 | 442,55 556,01 | 701,29 127,7 |
| Cr ₂ O ₃ | 0,2094 0,42 25,12 | 3,26 3,85 0,0837 | 19,0 52,0 30,31 | 101,2 794,66 495,30 |
| MnO | 0,1675 | 31,82 2,261 | 0,586 4,606 | 118,8 607,09 |
| Mn ₃ O ₄ | 1,26 0,2512 | 19,68 4,145 | 10,47 21,69 | 43,0 659,00 |
| MnO ₂ | 1,26 0,1256 | 18,00 1,549 | 93,37 8,123 | 139,40 658,17 |
| FeO | 1,26 0,0837 | 13,82 1,0005 | 84,57 6,07 | 57,24 725,15 |
| Fe ₃ O ₄ | 1,26 0,251 | 15,49 3,56 | 67,41 15,58 | 52,04 620,90 |
| Fe ₂ O ₃ | 1,26 0,21 | 17,58 3,29 | 74,94 11,97 | 143,6 116,6 |
| NiO | 0,42 0,04 | 6,28 0,46 | 43,54 3,3,3 | 43,29 33,7 |
| Cu ₂ O | 16,75 | 101,32 | 190,92 27,00 | 404,86 322,01 |
| CuO | 2,39 0,84 | 14,5 14,65 | 27,4 79,55 | 92,82 39,8 |
| ZnO | 0,084 0,084 | 1,17 18,42 | 6,32 95,46 | 76,50 24,6 |
| Ga ₂ O ₃ ¹⁷ | II | 0,347 ^{*18} | 1,327 | 9,676 |
| GeO ₂ ¹⁹ | II | 0,0031 ^{*20} | 0,0061 ^{*21} | 32,71 |
| As ₂ O ₃ ²² | II | 0,791 ^{*27} | 2,064 ^{*28} | 9,676 |
| As ₂ O ₃ ²³ | II | 5,44 | 45,64 | 32,71 |
| Rb ₂ O ₂ | II | 0,42 5,359 ^{*32} | 9,21 7,432 ^{*11} | 101,32 |
| SnO | 1,26 0,126 | 13,825 1,591 | 33,264 84,57 | 172,08 56,02 |
| Y ₂ O ₃ ²⁴ | II | 1,35 ^{*18} 19,51 | 3,253 ^{*9} 95,04 | 205,57 11,75 |
| Ag ₂ O ₂₅ | II | 0,84 0,1256 | 16,75 0,214 | 47,73 7,432 ^{*12} |
| CdO | 1,67 0,42 | 18,84 7,12 | 9,96 83,74 | 189,24 24,1 |
| SnO | 0,084 | 1,05 | 182,54 43,12 | 246,60 138,58 |
| SnO ₂ | II | 0,084 | 6,49 | 20,85 |

Продолжение

| 1 | 2 | 3 | 4 | 5 | 6 | 7 | 8 | 9 |
|--------------------------------|----|---------------------|----------------------|-------|--------|----------------------|--------|----------------------|
| Sb ₂ O ₃ | 1 | 3,31 | 31,02 | 79,13 | 172,50 | 241,16 | 292,66 | 347,92 |
| Sb ₂ O ₄ | 1 | 3,56 | 31,49 | 73,27 | 151,98 | 235,30 | 274,65 | 372,63 |
| Sb ₂ O ₅ | 1 | 0,84 | 13,31 | 51,08 | 164,12 | 239,07 | 294,33 | 368,41 |
| BaO | II | 0,2931 | 4,44 | 15,95 | 32,0 | 40,0 | 43,8 | 47,5 |
| La ₂ O ₃ | II | 2,20 ^{*18} | 3,60 ^{*16} | 22,94 | 54,18 | 79,89 ^{*11} | 91,53 | 108,0 |
| Nd ₂ O ₃ | II | 8,32 ^{*18} | 10,02 ^{*16} | 27,97 | 57,53 | 83,24 ^{*11} | 94,84 | 111,3 |
| Sm ₂ O ₃ | II | 1,281 | 8,072 | 27,29 | 57,91 | 80,43 | 95,97 | 114,6 |
| Gd ₂ O ₃ | II | 4,149 | 5,179 | 19,32 | 47,31 | 70,47 | 86,88 | 105,6 |
| Ta ₂ O ₅ | I | 0,84 | 11,47 | 50,24 | 131,47 | 195,52 | 243,25 | 306,06 |
| | II | 0,38 | 5,07 | 22,15 | 58,1 | 86,6 | 107,6 | 135,2 |
| HgO | I | 3,68 | 37,47 | 83,32 | 133,14 | 162,03 | 178,36 | 211,43 |
| PbO | I | 4,31 | 36,63 | 74,94 | 126,86 | 160,77 | 184,64 | 217,71 |
| Pb ₂ O ₄ | I | — | — | — | 188,83 | 244,09 | 283,03 | 317,36 |
| Pb ₂ O ₅ | I | 1,26 | 18,21 | 63,64 | 132,30 | 182,96 | 219,81 | 270,89 |
| Bi ₂ O ₃ | I | 4,61 | 26,50 | 65,31 | 135,23 | 175,01 | 207,67 | 244,09 |
| TnO ₃ | II | 0,134 [*] | 2,06 | 10,17 | 26,20 | 40,00 | 50,1 | 61,8 |
| UO ₂ | II | — | — | — | 29,13 | — | 52,21 | 64,40 ^{*14} |

^{*1} α-кварц. ^{*2} Кристобалит. ^{*3} Трилимит. ^{*4} Плавленый. ^{*5} При 3 К. ^{*6} При 5 К. ^{*7} При 8 К. ^{*8} При 10 К. ^{*9} При 12,5 К. ^{*10} При 13 К. ^{*11} При 14 К. ^{*12} В интервале 14–20 К. ^{*13} Ср = 4,3·10⁻⁴. ^{*14} T₃+120/7² [165]. ^{*15} При 24 К. ^{*16} При 201 К. ^{*17} При 297,7 К. ^{*18} β-Ga₂O₃, содержащий 98,67% Ga₂O₃. ^{*19} При 16 К. ^{*20} При 7,444 К. ^{*21} Плавленый, плотность 3609 кг/м³. ^{*22} При 2,357 К. ^{*23} При 3,469 К. ^{*24} При 5,468 К. ^{*25} При 9,486 К. ^{*26} При 11,823 К. ^{*27} При 15,147 К. ^{*28} При 17,991 К. ^{*29} При 20,985 К. ^{*30} При 22,737 К. ^{*31} При 12 К. ^{*32} При 15 К. ^{*33} При 17 К. ^{*34} При 20 К. ^{*35} При 20 К. ^{*36} При 250 К. ^{*37} При 30 К. ^{*38} При 140 К. ^{*39} При 160 К. ^{*40} При 300 К.

18. ХАРАКТЕРИСТИЧЕСКАЯ ТЕМПЕРАТУРА

[1; 40; 45; 50; 55; 56; 61; 65; 145; 165; 166; 173]

| Оксид | Температура Дебая, К | Характеристическая температура, К | |
|---------------------------------|---------------------------|-----------------------------------|---------------------|
| | | для металла | для кислорода |
| BeO | 1553 830* ¹ | — — | — — |
| O ₂ | — | — | 62,34 |
| MgO | 630* ¹ | — | — |
| Al ₂ O ₃ | 590* ¹ | — | — |
| KO ₂ | 208 | — | — |
| TiO* ² | 612 | — | — |
| TiO | 410 | — | — |
| Ti ₂ O ₃ | 674±12 | — | — |
| VO | 614 | — | — |
| VO ₂ | 750±20 | — | — |
| CrO ₂ | 260 | — | — |
| GeO ₂ * ³ | 870±30 | — | — |
| Y ₂ O ₃ | 451 465 | — — | — — |
| ZrO ₂ | 340* ¹ | — | — |
| MoO ₂ | — | 309,8* ⁴ | 401,6* ⁴ |
| MoO ₃ | — | 213,4* ⁴ | 276,7* ⁴ |
| Ag ₂ O | 90 | — | — |
| La ₂ O ₃ | 433 | — | — |
| Sm ₂ O ₃ | 426 | — | — |
| Er ₂ O ₃ | 458 | — | — |
| WO ₂ | — | 191,1* ⁴ | 343,1* ⁴ |
| W ₂ O ₅ | — | 199,4* ⁴ | 359,2* ⁴ |
| WO ₃ | — | 196,6* ⁴ | 354,1* ⁴ |
| ReO ₃ | — | 106,45* ⁴ | 176,2* ⁴ |
| Re ₂ O ₇ | — | 122,02* ⁴ | 202,0* ⁴ |
| PbO | ~90 | — | — |
| ThO ₂ | 285* ¹ | — | — |

*¹ Расчетные данные, характеристическая температура. *² Кубический.

*³ Тетрагональный. *⁴ Расчетные данные.

19. КОЭФФИЦИЕНТ ТЕПЛОПРОВОДНОСТИ

| Коэффициент тепло- проводности λ , Вт/(м·К) | Температура, К | Коэффициент тепло- проводности λ , Вт/(м·К) | Температура, К |
|--|--|---|---|
| 1 | 2 | 1 | 2 |
| $\text{H}_2\text{O}(\text{l})$ [1] | | | [77]*6 |
| ~2,3446 | 273,15 | 209,340 88,341 25,749 16,454 14,486 13,900 | 373 673 1073 1473 1873 2073 |
| $\text{H}_2\text{O}(\text{j})^*1$ [1] | | | |
| 0,55126 0,59894 0,63384 0,65942 0,67454 0,68036 | 273 293 313 333 353 363 | | |
| $\text{H}_2\text{O}(\text{n})^*1$ [1] | | | [90] |
| 0,023725 | 373 | $\lambda = 23194,87 /$ $(T-125) +$ $+ 3558,78 \cdot 10^{-36} T^{10}$ | 1273—2073 |
| BeO [1] ^{*2,*3} | | | CO [148]*7 |
| 0,105 0,209 2,931 18,84 125,60 418,68 | 3 5 10 20 50 100 | 0,637 0,569 0,479 0,416 0,317 0,334 0,303 0,273 | 22,5 25 30 35 40 45 50 55 |
| $[19]^*4$ | | | CO (г) [1] |
| 234,2 | 323 | | |
| $[1]^*4$ | | | |
| 219,807 92,947 27,005 17,250 15,993 15,449 | 373 673 1073 1473 1873 2073 | 0,006908 0,02152 0,02746 0,03835 0,04953 0,06021 0,06979 0,07423 | 82 273 373 573 773 973 1173 1273 |
| $[77]^*5$ | | | $[81, \text{ т. } 5]^*1$ |
| 209,340 19,259 | 373 1273 | 0,02219 | 373 |

| 1 | 2 | 1 | 2 |
|---|--------|--|-----------------------|
| | | | [19] ^{*4,*9} |
| CO ₂ (г) [1] | | | |
| 0,01066 | 194,5 | 36,0 | 373 |
| 0,01373 | 273 | 16,5 | 673 |
| 0,02139 | 373 | 8,5 | 1073 |
| 0,03672 | 573 | 6,11 | 1473 |
| 0,05129 | 773 | 6,87 | 1873 |
| 0,06452 | 973 | (9,46) | 2073 |
| 0,07662 | 1173 | | |
| 0,08215 | 1273 | | |
| | | [19] ^{*11} | |
| N ₂ O (г) [1] | | | |
| 0,01135 | 201,35 | 34,46 | 373 |
| 0,01472 | 273 | 15,8 | 673 |
| 0,02119 | 373 | 8,12 | 1073 |
| | | 5,86 | 1473 |
| | | 6,57 | 1873 |
| NO (г) [1] | | (9,04) | 2073 |
| 0,01742 | 201,75 | 14,0 ^{*12} | 2273 |
| 0,02324 | 273 | | |
| | | [90] | |
| NO ₂ (г) [1] | | | |
| 0,03718 | 328 | $\lambda = 7871,18 / (T - 125) + 3558,78 \cdot 10^{-36} T^{10}$ или $\lambda = 8499,20 / T + 1256,04 \cdot 10^{-29} T^8$ | 293—2073 |
| O ₂ (г) [1] | | | |
| 0,007205 | 81,75 | | |
| 0,017970 | 194,75 | | |
| 0,02466 | 273 | | |
| 0,03291 | 373 | | |
| 0,04802 | 573 | | |
| 0,06150 | 773 | | |
| 0,07285 | 973 | | |
| 0,08206 | 1173 | | |
| 0,08583 | 1273 | | |
| MgO ^{*10} [147] ^{*2,*8} | | Al ₂ O ₃ ^{*17} [19] ^{*13} | |
| 122 | 80 | | |
| 115 | 00 | | |
| 67 | 200 | 16 | 2 |
| 40 | 400 | 200 | 5 |
| 25 | 600 | 1100 | 10 |
| 18 | 800 | 3500 | 20 |
| 16 | 0 | 5500 | 50 |
| 15 | 1000 | 400 | 100 |
| | 110 | 40 | 298 |
| | | [19] ^{*4,*14} | |

| 1 | 2 | 1 | 2 |
|--------------------------------------|-----------|-----------------------------|-------|
| [77] ^{*15} | | [1] | |
| 28,889 | 373 | 13,61 ^{*19} | 273 |
| 12,560 | 673 | 9,00 ^{*19} | 373 |
| 6,866 | 1073 | 7,247 ^{*18} | 273 |
| 5,275 | 1473 | 5,581 ^{*18} | 373 |
| 5,778 | 1873 | | |
| 9,0 ^{*18} | 2273 | [19] ^{*23} | |
| [90] | | 0,343 | 50 |
| $\lambda = 6782,62 / (T - 125) +$ | 673—2073 | 0,686 | 100 |
| $+ 3558,78 \cdot 10^{-36} T^{10}$ | | 1,12 | 200 |
| | | 1,38 | 300 |
| [169] | | [19] ^{*2, *4, *24} | |
| 23 ^{*18} | 296 | 1,55 | 373 |
| 17 ^{*18} | 350 | 1,90 | 673 |
| 25 ^{*19} | 299 | 2,85 | 973 |
| 17,2 ^{*19} | 343 | 5,20 | 1273 |
| | | 9,30 | 1473 |
| [162] ^{*20} | | [38] ^{*23, *25} | |
| 6,0 | 1173 | 1,456 | 385 |
| 5,0±0,8 | 1223 | 1,549 | 415 |
| 10,0 | 1373 | 1,546 | 431 |
| 11,0 | 1473 | 1,605 | 484,5 |
| 18,0 | 1573 | 1,601 | 509 |
| 30,0±8 | 1673 | 1,668 | 531 |
| | | 1,723 | 576 |
| | | 1,742 | 585 |
| | | 1,764 | 594 |
| | | 1,820 | 626 |
| SiO ₂ [19] ^{*21} | | | |
| 0,05 | 2 | 1,975 | 676 |
| 0,12 | 5 | 1,979 | 676,5 |
| 0,13 | 10 | 1,963 | 680 |
| 0,15 | 20 | 2,099 | 721 |
| 0,3 | 50 | 2,350 | 751,5 |
| 0,6 | 100 | 2,318 | 768,5 |
| 1,0 | Комнатная | 2,218 | 769,5 |
| | | 2,709 | 811,5 |
| | | 2,624 | 820,5 |
| [19] ^{*22} | | | |
| 810 | 8 | 3,106 | 858 |
| 1100 | 16 | 2,960 | 882,5 |
| 450 | 30 | 3,644 | 907 |
| 50 | 55 | 3,653 | 930 |
| 20 | 120 | 4,349 | 962,5 |

Продолжение

| I | 2 | 1 | 2 |
|--|--|---|---------------------------------|
| 5,379 5,943 6,601 | 1026,5 1078 1090,5 | CaO [147] ^{*2, *8} | |
| | | 109 45 20 14 11 | 100 200 400 600 800 |
| [142] ^{*23, *26} | | | |
| 1,88 2,06 2,22 2,60 3,02 | 680 790 865 1007 1137 | 10 9 | 1000 1100 |
| | | [19] ^{*4, *31} | |
| | | 12,25 9,17 7,99 7,79 | 373 673 1073 1273 |
| [142] ^{*23, *27} | | | |
| 1,73 1,80 1,83 1,95 2,06 | 680 790 865 1007 1137 | [19] ^{*32} | |
| | | 13,95 8,37 7,28 7,115 | 373 673 1073 1273 |
| [210] | | | |
| 7,16±0,16 ^{*28} 6,15±0,16 ^{*29} | 298 298 | Sc ₂ O ₃ [140] ^{*33} | |
| | | 7,9 6,3 5,0 4,6 4,6 | 373 473 573 673 773 |
| [19] ^{*30} | | | |
| 0,44—0,82 | Комнатная | Ti ₆ O [44] | |
| SO ₂ (г) [209] ^{*1} | | 4,39 | 300—1100 |
| 0,0084 0,0166 0,0258 0,0358 0,0463 0,0576 | 273 473 673 873 1073 1273 | Ti ₅ O [44] | |
| | | 3,95 | 300—1100 |
| SO ₂ (ж) [1] | | Ti ₃ O [44] | |
| λ = 38,2971— —0,0628T | 233—353 | 2,92 | 300—1100 |
| | | Ti ₂ O [44] | |
| | | 11,47 | 300—1100 |

| 1 | 2 | 1 | 2 |
|------|----------|---|---|
| | | $\text{TiO}_{0,83}$ [45] ^{*2} | $\text{TiO}_{1,6}$ [44] |
| 5,4 | 77 | | 2,30 |
| 4,6 | 173 | | 300—1100 |
| 2,9 | 373 | | |
| 5,0 | 673 | $\text{TiO}_{1,9}$ [44] | |
| 6,7 | 873 | | |
| 7,5 | 1073 | 2,36 | 300—1100 |
| | | TiO [44] | TiO_2^{*36} [1] ^{*37} |
| 3,17 | 300—1100 | | 6,531 |
| | | | 4,995 |
| | | $\text{TiO}_{1,04}$ [45] ^{*2} | 3,915 |
| | | | 3,617 |
| 7,1 | 77 | | 3,391 |
| 5,4 | 173 | | 3,307 |
| 3,6 | 373 | | 3,307 |
| 5,9 | 673 | | |
| 7,5 | 873 | VO_2 [1] | |
| 8,4 | 1073 | | 9,797 |
| | | | 4,396 |
| | | $\text{TiO}_{1,1}$ [44] | 3,412 |
| 2,61 | 300—1100 | | |
| | | V_2O_5 [19] | |
| | | | 4,4 |
| | | | |
| 1,6 | 300 | | |
| 1,7 | 700 | | |
| 3,5 | 1100 | [19] ^{*2} | |
| | | | 3,45 |
| | | | 2,6 |
| | | | 1,8 |
| | | | 2,5 |
| 4,8 | 77 | | 2,8 |
| 3,3 | 173 | | |
| 1,9 | 373 | Co_2O_3 [1] ³⁸ | |
| 4,2 | 673 | | |
| 6,3 | 873 | 0,42 | 321,65 |
| 7,1 | 1073 | | |
| | | NiO [1] ^{*37, *4, *39} | |
| | | | |
| 0,4 | 300 | | |
| 1,1 | 700 | | |
| 3,2 | 1100 | 12,393 | 373 |
| | | 9,923 | 473 |
| | | 7,159 | 673 |

| 1 | 2 | 1 | 2 |
|--|--------|--|------|
| 5,694 | 873 | 200 | 5 |
| 4,605 | 1073 | 600 | 10 |
| 4,479 | 1273 | 800 | 20 |
| | | 400 | 50 |
| [19] ^{*37, *40} | | 200 | 100 |
| | | 100 | 200 |
| | | 70 | 300 |
| 9,21 | 373 | | |
| 7,37 | 473 | | |
| 5,32 | 673 | [151] ^{*2, *46} | |
| 4,19 | 873 | | |
| 3,43 | 1073 | 110 | 3,5 |
| 3,14 | 1273 | 180 | 5 |
| | | 600 | 10 |
| Ni ₂ O ₃ [1] ^{*38, *41} | | 800 | 20 |
| | | 400 | 50 |
| 0,938 | 319,35 | 180 | 100 |
| | | 80 | 200 |
| | | 60 | 300 |
| CuO [1] ^{*38} | | | |
| 1,013 | 318,75 | SrO [147] ^{*2, *8} | |
| ZnO [1] ^{*38, *42} | | 60 | 80 |
| | | 40 | 100 |
| 0,595 | 322,85 | 15 | 200 |
| | | 7,5 | 400 |
| [19] ^{*2, *37, *4, *43} | | 5,5 | 600 |
| | | 5 | 800 |
| 17,05 | 473 | 5,5 | 1000 |
| 11,0 | 673 | | |
| 7,0 | 873 | Y ₂ O ₃ [145] ^{*47} | |
| 5,0 | 1073 | | |
| [151] ^{*2, *44} | | 6,28 | 293 |
| | | 4,39 | 473 |
| | | 3,31 | 673 |
| 80 | 3,5 | 2,65 | 873 |
| 300 | 5 | 2,18 | 1073 |
| 900 | 10 | 2,01 | 1173 |
| 1000 | 20 | | |
| 500 | 50 | ZrO ₂ [19] ^{*4, *48} | |
| 300 | 100 | | |
| 120 | 200 | 1,95 | 373 |
| [151] ^{*2, *45} | | 2,05 | 673 |
| | | 2,20 | 1073 |
| 6 | 1,1 | 2,39 | 1473 |
| 30 | 2 | 2,44 | 1673 |

| 1 | 2 | 1 | 2 |
|---|--------|---|----------|
| [19] ^{*49} | | BaO [147] ^{*2, *8} | |
| 1,7 | 373 | 7,8 | 80 |
| 1,76 | 673 | 6 | 100 |
| 1,88 | 1073 | 3,8 | 200 |
| 2,05 | 1473 | 3,1 | 400 |
| 2,09 | 1673 | 3 | 600 |
| | | 3,2 | 800 |
| | | 3,9 | 1000 |
| [1] | | 4,8 | 1100 |
| 2,3 | 1773 | CeO ₂ [51] ^{*53} | |
| [150] ^{*2, 50*} | | 11,78 | 400 |
| | | 8,59 | 500 |
| 3,39 | 293 | $\lambda = (3,156 \cdot 10^{-4})$ | 700-1500 |
| 2,76 | 673 | $T - 0,0413)^{-1} +$ | |
| 2,93 | 973 | $+ 8,81 \times 10^{-12} \times$ | |
| | | $\times T^3 \exp(1,85 \times$ | |
| | | $\times 10^{-3} T)$ | |
| RuO ₂ [152] ^{*2, *51} | | [51] ^{*4, *54} | |
| 30 | 5 | 12,46 | 400 |
| 58 | 10 | 9,11 | 500 |
| 95 | 20 | 5,90 | 700 |
| 95 | 20 | 4,37 | 900 |
| 121 | 30 | 3,56 | 1100 |
| 120 | 40 | 3,10 | 1300 |
| 108 | 50 | 2,96 | 1500 |
| 95 | 60 | | |
| 90 | 70 | | |
| 83 | 80 | | |
| 82 | 90 | Sm ₂ O ₃ [145] ^{*47} | |
| 76 | 100 | 2,05 | 293 |
| | | 1,72 | 473 |
| | | 1,48 | 673 |
| | | 1,38 | 873 |
| CdO [1] ^{*38} | | 1,34 | 1073 |
| 0,682 | 319,65 | 1,30 | 1173 |
| | | [19] | |
| SnO ₂ [19] ^{*2, *52} | | 2,1 | 1273 |
| 30,7 | 323 | Eu ₂ O ₃ [167] ^{*55} | |
| 26,8 | 373 | 3,42 | 298 |
| 22,4 | 423 | 3,20 | 323 |

| 1 | 2 | 1 | 2 |
|--|---------|---|----------|
| 3,15 | 413 | ThO_2 [19] ^{*4, *53} | |
| 3,08 | 523 | | |
| 3,01 | 623 | 10,26 | 373 |
| 2,96 | 753 | 5,99 | 673 |
| | | 3,41 | 1073 |
| | | 2,51 | 1473 |
| Gd_2O_3 [19] | | (2,45) | 1673 |
| 2,1 | 1273 | [77] ^{*59} | |
| Er_2O_3 [145] ^{*47} | | 9,21 | 373 |
| | | 2,93 | 1273 |
| 5,19 | 293 | [77] ^{*60} | |
| 4,61 | 373 | | |
| 3,48 | 573 | | |
| 2,93 | 773 | 8,54 | 373 |
| 2,57 | 973 | 4,98 | 673 |
| 2,22 | 1173 | 2,85 | 1073 |
| | | 2,09 | 1473 |
| | | 2,05 | 1673 |
| Lu_2O_3 [145] ^{*47} | | | |
| 5,99 | 293 | [155] ^{*61} | |
| 5,11 | 373 | | |
| 38 | 573 | $\lambda^{-1} = 22,14 \cdot 10^{-5} \times$ | 400—1400 |
| | | $\times T - 1,01 \cdot 10^{-2}$ | |
| 3,14 | 773 | | |
| 2,72 | 973 | UO_2 [19] ^{*4, *37, *62} | |
| 2,34 | 1173 | | |
| | | (9,8) | 373 |
| HfO_2 [150] ^{*2, *56} | | 5,78 | 673 |
| | | 3,41 | 1273 |
| 4,6 | 293 | [77] ^{*63} | |
| 3,3 | 473 | | |
| 2,8 | 673 | 8,37 | 373 |
| 2,5 | 873 | 2,93 | 1273 |
| 2,9 | 1073 | [77] ^{*64} | |
| | | | |
| [19] | | 5,19 | 473 |
| 1,702 | 323 | 2,26 | 1273 |
| PbO [166] ^{*57} | | [77] ^{*65} | |
| $\lambda = 212 \rho^{2/3} T^{-1}$ | 300—900 | 3,52 | 473 |
| | | 1,76 | 1273 |

| 1 | 2 | 1 | 2 |
|---|-------------------------|---|----------|
| [19] ^{*66, *37} | | [158] ^{*74} | |
| (7,33) | 373 | 5,36 | 670 |
| 4,31 | 673 | 4,41 | 870 |
| 2,76 | 1073 | 3,70 | 1070 |
| 2,55 | 1273 | 3,06 | 1270 |
| [155] ^{*67} | | [158] ^{*75} | |
| 7,90—8,04 | 333 | 4,43 | 670 |
| [155] ^{*68} | | 3,61 | 870 |
| 7,92—7,35 | 333 | 2,98 | 1070 |
| [155] ^{*69} | | 2,50 | 1270 |
| 4,62 | 80 | 4,18 | 670 |
| 6,03 | 100 | 3,56 | 870 |
| 8,59 | 200 | 3,07 | 1070 |
| 7,39 | 400 | 2,65 | 1270 |
| 6,53 | 500 | [158] ^{*77} | |
| $\lambda^{-1} = 22,85 \cdot 10^{-5}$ | 500—1400 ^{*61} | 4,05 | 670 |
| $T + 3,45 \cdot 10^{-2}$ | | 3,40 | 870 |
| [149] ^{*70} | | 2,91 | 1070 |
| $\lambda = 0,0031 +$ $+ 0,239/t (0,4848 -$ $- 0,4465D)$ | 1073—2273 | 2,46 | 1270 |
| [153] ^{*2, *71} | | [158] ^{*78} | |
| 3 | 3 | 3,55 | 670 |
| 10 | 10 | 2,73 | 870 |
| 1 | 30 | 2,43 | 1070 |
| 5 | 100 | 2,22 | 1270 |
| 10 | 300 | [158] ^{*79} | |
| [116] ^{*2, *72} | | 2,70 | 670 |
| 5,19 | 100 | 2,04 | 870 |
| 7,62 | 200 | 1,97 | 1070 |
| 7,70 | 250 | 1,90 | 1270 |
| 7,45 | 300 | [159] ^{*80, *81} | |
| [158] ^{*73} | | $\lambda = 100/(3,77 +$ $+ 0,0258T) +$ $+ 1,1 \cdot 10^{-4} T +$ $+ 1,01 \cdot 10^{-11} \times$ $\times T^3 \exp 7,2 \cdot 10^{-4} T$ | 350—2700 |
| 5,88 | 670 | [160] ^{*81} | |
| 4,84 | 870 | $\lambda = 11,5 - 1,14 \times$ $\times 10^{-2} T + 4,4 \times$ $\times 10^{-6} T^2 - 5 \times$ $\times 10^{-10} T^3$ | 350—2700 |
| 4,05 | 1070 | | |
| 3,33 | 1270 | | |

| 1 | 2 | 1 | 2 |
|---|---------|--------------------|---------|
| U_4O_9 [116] ^{*82} | | UO_3 [19] | |
| 1,09 | 100 | 0,2805 | 298—423 |
| 1,34 | 150 | 0,264 | 433—613 |
| 1,42 | 200—300 | 0,255 | 583—873 |

*¹ При 101,325 кПа. *² Из графика. *³ Плотность образца 2940 кг/м³. *⁴ Беспористый. *⁵ Общая объемная пористость 3—7%. *⁶ Общая объемная пористость 4,07—9,95%. *⁷ Твердые поликристаллические образцы чистотой 99,99%, погрешность $\pm 5\%$. *⁸ Монокристалл, в аргоне. *⁹ Теоретическая плотность 3580 кг/м³. *¹⁰ Анизотропное отношение для MgO равно единице [19, с. 122]. *¹¹ Пористость 2,8—8,1%, плотность 3290—3480 кг/м³. *¹² [1, с. 128]. *¹³ Монокристалл искусственного сапфира, диаметр образца 3 мм. *¹⁴ Теоретическая плотность 3970 кг/м³. *¹⁵ Общая объемная пористость 4,5—7,3%. *¹⁶ [1, с. 128]. *¹⁷ Анизотропное отношение для Al₂O₃ равно 0,93. *¹⁸ \perp к оси с. *¹⁹ \parallel к оси с. *²⁰ Al₂O₃ (Lucalox) 99,9% чистоты, плотность 3970 кг/м³, размер зерна 30 мкм. *²¹ Кварцевое стекло. *²² Из графика, монокристалла кварца, вакуум. *²³ Плавленый кварц. *²⁴ Чистый плавленый кварц. *²⁵ Образцы марки КВ, плотность 2201,5±0,1 кг/м³, данные нельзя использовать в качестве стандартных при температурах выше 600 К без введения поправки на лучистую составляющую. *²⁶ Эффективный коэффициент теплопроводности, погрешность 5%. *²⁷ Истинный коэффициент теплопроводности, погрешность 5%. *²⁸ α -кварц. *²⁹ α -кристобалит. *³⁰ Кварцевый песок. *³¹ Теоретическая плотность 3320 кг/м³. *³² Общая объемная пористость 8,75%, плотность 3030 кг/м³. *³³ Спеченный, относительная плотность 0,96—0,97 при нулевой открытой пористости. *³⁴ Полная теплопроводность. *³⁵ Электронная составляющая. *³⁶ Анизотропное отношение для TiO₂ равно 0,68 [19, с. 209]. *³⁷ Поликристаллический. *³⁸ Прессованный порошок. *³⁹ Теоретическая плотность 6800 кг/м³. *⁴⁰ Плотность 5050 кг/м³, пористость 25,7%. *⁴¹ Плотность 1445 кг/м³. *⁴² Плотность 4886 кг/м³. *⁴³ Плавленый, теоретическая плотность 5660 кг/м³. *⁴⁴ Нелегированный образец, $\rho=0,052$ Ом·м при 300 К, \parallel оси «с». *⁴⁵ Образец легирован литием, $\rho=10^4$ Ом·м при 300 К, \perp оси с. *⁴⁶ Монокристалл, суммарная относительная погрешность 15—20%. *⁴⁷ Теоретическая плотность 6100 кг/м³. *⁴⁸ Плотность 5220—5350 кг/м³, пористость 12,3—14,6%. *⁴⁹ Примесь $\text{HfO}_2 < 0,1\%$, остальные примеси <0,16%. *⁵⁰ Очень чистые кристаллы. *⁵¹ Плотность 6620 кг/м³, 98% SnO₂. *⁵² Пористый образец, плотность 6700 кг/м³. *⁵³ Теоретическая плотность 7100 кг/м³. *⁵⁴ Спеченный, 99,85% Eu₂O₃, средняя плотность 7100—7300 кг/м³, закрытая пористость не более 10%. *⁵⁵ Примесь ZrO₂≈0,57%, остальные примеси около 0,06%. *⁵⁶ Спеченный, желтый, примеси до 0,25% (по массе), ρ — плотность образцов от 6500 до 9600 кг/м³, т. К. *⁵⁷ Плотность 9650 кг/м³. *⁵⁸ Общая объемная пористость 3—7%. *⁵⁹ Общая объемная пористость 16,75%. *⁶⁰ Термосопротивление. *⁶¹ Плотность 10 900 кг/м³. *⁶² Общая объемная пористость 3—10%. *⁶³ Общая объемная пористость 5%. *⁶⁴ Общая объемная пористость 25,5%. *⁶⁵ Плотность 8000 кг/м³. *⁶⁶ Пористость 26,7%. *⁶⁷ Монокристалл, 99,27% (ат.) чистоты, погрешность $\pm 3,5\%$. *⁶⁸ Поликристалл 99,86% (ат.) чистоты, O/U=2,001+1,996, погрешность $\pm 1,5\%$. *⁶⁹ Расчетные значения для UO₂ теоретической плотности, погрешность $\pm 2\%$. *⁷⁰ t , °C, D — плотность, % к теоретической ($82 \leq D \leq 95\%$). *⁷¹ Монокристалл, общая примесь менее 200 частей на миллион (прт). *⁷² Плавленый UO₂, плотность 10 920 кг/м³, относительная пористость 0,004, размер зерна 0,5 мм. *⁷³ При O/U=2,00 и относительной объемной пористости $\varepsilon=0,014$. *⁷⁴ При O/U=2,00 и $\varepsilon=0,053$. *⁷⁵ При O/U=2,00 и $\varepsilon=0,096$. *⁷⁶ При O/U=2,02 и $\varepsilon=0,037$. *⁷⁷ При O/U=2,02 и $\varepsilon=0,073$. *⁷⁸ При O/U=2,05 и $\varepsilon=0,047$. *⁷⁹ При O/U=2,11 и $\varepsilon=0,036$. *⁸⁰ Для спеченного поликристаллического UO₂,00. *⁸¹ Наиболее достоверные значения теплопроводности лежат между расчетными значениями по приведенным уравнениям. *⁸² Спеченный, плотность 10 510 кг/м³, пористость 0,075, размер зерна несколько мкм.

20. ЛИНЕЙНЫЙ КОЭФФИЦИЕНТ ТЕПЛОВОГО РАСШИРЕНИЯ

| Линейный коэффициент теплового расширения $\alpha \cdot 10^6, 1/\text{ }^\circ\text{C}$ | Temperatura, $^\circ\text{C}$ | Линейный коэффициент теплового расширения $\alpha \cdot 10^6, 1/\text{ }^\circ\text{C}$ | Temperatura, $^\circ\text{C}$ |
|--|----------------------------------|--|----------------------------------|
| 1 | 2 | 1 | 2 |
| BeO [19]^{*1} | | | [19]^{*3} |
| 4,8 | 0 | 13,8 | 0—1000 |
| 5,0 | 50 | [1] | |
| 7,2 | 200 | | |
| 9,0 | 400 | | |
| 10,0 | 600 | | |
| 10,8 | 800 | 14,0 | 20—1400 |
| 11,4 | 1000 | 15,7 | 0—1500 |
| 11,9 | 1200 | | |
| 12,4 | 1400 | [19] ^{*4} | |
| 12,8 | 1600 | | |
| | [77] | 17,49 | 20—2000 |
| | | 18,60 | 20—2300 |
| Al_2O_3 [77]^{*6} | | | [19]^{*5} |
| MgO [77] | | | 6,2 |
| 12,0 | 200 | [77] | 0—300 |
| 12,8 | 400 | | |
| 13,4 | 600 | 7,33 | 0—600 |
| 14,1 | 800 | 7,50 | 0—800 |
| 14,7 | 1000 | 8,00 | 0—1000 |
| 16,2 | 1600 | 8,0—8,5 ^{*7} | 0—1000 |
| 16,7 | 1800 | 8,30 | 0—1200 |
| 17,3 | 2000 | 8,60 | 0—1400 |
| | [1] ^{*2} | 8,90 | 0—1600 |
| | | 9,00 | 0—1800 |
| | | 9,14 | 0—2000 |
| 11,7 | 20—100 | 7,5±0,4 ^{*8} | 1000—1600 |
| 12,1 | 20—300 | [19] ^{*9} | |
| 12,8 | 20—500 | | |
| 13,4 | 20—700 | 8,1 | 20—1000 |
| 14,0 | 20—900 | 9,1 | 20—1200 |
| 14,2 | 20—1000 | 9,8 | 20—1400 |

| 1 | 2 | 1 | 2 |
|---|---|--|--|
| 10,3 10,6 | 20—1600 20—1800 | TiO [62] | |
| SiO ₂ [1] | | 6,73 | 25 |
| 4,3 3,0* ¹⁰ 0,5* ¹¹ | 20—300 300—1100 20—1300 | TiO ₂ [1] | |
| [19]* ¹² | | [19] | |
| 0,67 0,60 0,53 | 300 600 900 | 8,3* ¹⁸ 15,0* ¹⁸ | 0—500 500—1000 |
| CaO [77]* ¹³ | | [19] | |
| 10,2 11,6 12,8 13,6—13,7 14,7 14,5* ¹⁴ 13,8* ¹⁵ | 25—300 25—600 25—900 25—1200 25—1500 300—700 0—1700 | 8,85* ¹⁹ 8,95* ²⁰ 9,1—9,2* ²¹ | 25—1000 25—1000 400—800 |
| [19]* ¹⁶ | | Cr ₂ O ₃ [1] | |
| 12,52 13,73 14,75 15,71 16,02 16,29 14,49 | 25—400 25—800 25—1200 25—1400 25—1800 25—2000 25—2100 | 9,6 | 20—1400 |
| Sc ₂ O ₃ [77] | | MnO [1] | |
| 8,5 | 20—380 | 11,0 | Выше точки Нееля |
| [140]* ¹⁷ | | FeO [1] | |
| 7,5—7,8 7,7 | 20—900 20—1800 | 12,4 12,3 12,6 13,4 15,2 | 100—200 100—400 100—600 100—800 100—1000 |
| Ti ₆ O [1] | | 12,27±0,36* ²² | 22—450 |
| 4,5 | 20—100 | Fe ₃ O ₄ [19]* ¹ | |
| Ti ₃ O [1] | | 9,3 18,8 | 20—300 300—700 |
| 3,3 | 20—100 | Fe ₂ O ₃ [19]* ¹ | |
| | | 12,5 | 100—1200 |
| | | CoO [19]* ²³ | |
| | | 14,0 | 0—400 |

| 1 | 2 | 1 | 2 |
|--|-----------|-----------------------|----------|
| NiO [1] ^{*1, *24} | | 7,7 | 600 |
| 10,0 | 0 | 8,1 | 800 |
| 13,0 | 200 | 8,3 | 1000 |
| 15,0 | 250 | 8,6 | 1200 |
| [1] | | 8,8 | 1400 |
| 12,0 | 100—600 | 9,1 | 1600 |
| 12,6 | 100—800 | 9,3 | 1800 |
| 14±1 | 300—800 | | |
| 13,9 ^{*25} | 60—1300 | | |
| [52] ^{*2, *26} | | ZrO ₂ [52] | |
| 13,2 | 200 | 2,0 | —130÷—80 |
| 13,5 | 400 | 8,0 | —80÷—50 |
| 14,1 | 1000 | 7,2 | До 1000 |
| 14,9 | 1400 | | |
| 16,3 | 1800 | | |
| GeO ₂ [19] | | [19] ^{*33} | |
| 7,59 ^{*27} | 25—350 | (10,5) | 1100 |
| 9,98 ^{*28} | 25—480 | 10,8 | 1200 |
| 5,36 ^{*29} | 25—480 | (11,2) | 1300 |
| 7,0 ^{*29} | 400—800 | 11,6 | 1500 |
| SrO [19] | | [19] | |
| 13,9 | Комнатная | 5,5—11,0 | 20—1200 |
| 13,3 ^{*1} | 0—1200 | 10,2 ^{*34} | 20—1600 |
| | | 12,7 ^{*35} | 20—1600 |
| | | 13,0 ^{*36} | 20—1600 |
| Y ₂ O ₃ [139] ^{*30} | | [77] ^{*37} | |
| 7,2 | 20—1000 | 10,8 | 25—1200 |
| | | 11,6 | 25—1500 |
| [19] | | [146] ^{*38} | |
| 8,2 | 0—1000 | 7,6 | 20—127 |
| 8,8 ^{*31} | 20—1000 | 8,2 | 20—327 |
| 9,3 | 0—1400 | 8,2 | 20—527 |
| 1,2 ^{*32, *2} | 200 | 8,4 | 20—727 |
| 2,9 ^{*32, *2} | 400 | 9,7 | 20—927 |
| 4,7 ^{*32, *2} | 600 | 10,7 | 20—1127 |
| 6,3 ^{*32, *2} | 800 | 11,3 | 20—1327 |
| 8,0 ^{*32, *2} | 1000 | 11,8 | 20—1527 |
| 9,8 ^{*32, *2} | 1200 | 12,2 | 20—1727 |
| 11,7 ^{*32, *2} | 1400 | 12,5 | 20—1927 |
| | | 12,7 | 20—2127 |
| [77] | | 13,0 | 20—2327 |
| 6,9 | 200 | [1] | |
| 7,3 | 400 | 7,5 | 0—1000 |

| 1 | 2 | 1 | 2 |
|--|--|---|--|
| Nb₂O₅ [19]^{*39} | | CeO₂ [19] | |
| 0,0 -1,2 +1,4 [120] ^{*40} | 0—200 200—400 400—850 | 11,9 ^{*45} 13,4 ^{*46} 8,5—8,6 ^{*47} | 0—1200 0—1200 0—1000 |
| $a = 21,1848 \times (1 + 0,56328 \cdot 10^{-5}T)$, $c = 19,3680 \times (1 + 0,58856 \times 10^{-5}T)$, $\beta = 119,63 \times (1 + 0,26456 \cdot 10^{-5}T)$, $V = 1363,4 (1 + 0,880152 \cdot 10^{-5}T)$ | 25—800 | | |
| In₂O₃ [131]^{*41} | | Pr₂O₃ [19] | |
| 7,20±0,06 | 30—968 | 8,0 [1] | 25—100 25—1050 |
| SnO₂ [19] | | PrO_{1,70} [1] | |
| 3,4 3,76 4 ^{*42} 5,28 ^{*43} | Комнатная 22—650 0—800 — | 22 | 25—1050 |
| La₂O₃ [19]^{*44} | | PrO_{1,78} [1] | |
| 5,86 7,92 8,45 9,11 9,38 9,78 10,05 10,36 10,46 10,68 10,88 11,20 11,61 11,81 12,01 12,04 | 100 150 200 250 300 350 400 450 500 550 600 700 800 900 1000 1050 | 11 | 25—1050 |
| Nd₂O₃ [19]^{*48} | | Pr₆O₁₁ [1] | |
| | | 8 | 25—1050 |
| [19] | | Nd₂O₃ [19]^{*48} | |
| 12, | Комнатная | 1,53 4,26 6,91 8,90 9,97 10,60 10,99 11,44 11,35 11,23 11,37 11,41 | 100 150 250 300 400 500 600 700 800 900 1000 1050 |
| [19] | | [19] | |
| | | Sm₂O₃ [19]^{*49} | |
| | | 9,9 | 100—1000 |

| 1 | 2 | 1 | 2 |
|-------------------------------------|---|------------------------------|---|
| | [145] | | HfO₂ [19, c.71] |
| 10,8 | 20—1000 | 6,12 7,06 6,84 | —231— +287 —231— +1468 +287— +847 |
| | Eu₂O₃ [19] | | [1] ^{*54} |
| 10,5 ^{*50} 10,4 10,3 | 30—800 0—1000 0—1200 | 5,8 | 250—1300 |
| | Gd₂O₃ [19] | | [77] |
| 10,0 10,5 ^{*51} | 30—840 25—1000 | 6,19 6,84 7,05 6,45 | 24—538 538—1093 24—1482 20—1700 |
| | TbO_{1,81} [1] | | |
| 3 | 25—1050 | | Ta₂O₅ [19] ^{*1} |
| | Dy₂O₃ [19] | 0,8 4,0 | 0—400 500—800 |
| 8,3 | 30—840 | | ThO₂ [19] ^{*55} |
| | Ho₂O₃ [19] | | |
| 8,44 | — | 8,95 9,9 11,07 | —230— +287 287—847 847—1407 |
| | Er₂O₃ [132] ^{*52} | 12,31 13,31 10,9 | 1407—1967 1967—2247 —230—2247 |
| 5,7 | 100—300 | | |
| | [145] | | [1] |
| 7,9—8,2 | 20—1000 | 9,1 9,67 ^{*56} | 20—800 100—1230 |
| | Tu₂O₃ [132] ^{*52} | | UO₂ [19] ^{*57} |
| 7,1 8,2 ^{*53} | 100—300 — | 9,07 10,8 13,0 | 27—400 400—800 800—1260 |
| | Yb₂O₃ [132] ^{*52} | | |
| 4,9 | 100—300 | | [19] ^{*58} |
| | [19] | | |
| 8,2 9,3 | 0—1000 25—1000 | 9,28 10,7 12,9 • | 27—400 400—800 800—1260 |
| | Lu₂O₃ [145] | | [19] ^{*59} |
| 7,8 | 20—1000 | 9,03 11,04 12,9 | 27—400 400—800 800—1260 |

| 1 | 2 | 1 | 2 |
|----------------------------|----------|--|---------|
| [19] ^{*60} | | Сm₂O₃ [179] | |
| 9,76 | 27—400 | 6,6 ^{*61} | 500—800 |
| 10,8 | 400—800 | | |
| 12,9 | 800—1260 | | |
| [1] | | Сm₇O₁₂ [179] | |
| 10,0 | 0—1000 | 8,8 | До 650 |
| PuO₂ [1] | | СmO₂ [179]^{*62} | |
| 9±1 | 20—500 | 8,1 | До 440 |
| 11,4 | до 1000 | | |
| 15,2 | 125—911 | | |

^{*1} Из графика. ^{*2} Спеченные поликристаллические образцы. ^{*3} Истинный коэффициент линейного расширения. ^{*4} На воздухе. ^{*5} В аргоне. ^{*6} Спеченный глиноzem. ^{*7} 99% Al₂O₃ [19]. ^{*8} [1]. ^{*9} 100% Al₂O₃, кажущаяся пористость 1,7%, объемная плотность 3830 кг/м³, температура обжига 1730° С. ^{*10} Кристаллический. ^{*11} Кремнистое стекло. ^{*12} Плавленый SiO₂. ^{*13} Образец грубозернистый. ^{*14} [19]. ^{*15} [1]. ^{*16} Образец из плавленого окисла. ^{*17} Спеченный, относительная плотность 0,96—0,97 при нулевой открытой пористости. ^{*18} Из графика, в вакууме. ^{*19} Плотность 3310 кг/м³. ^{*20} Плотность 3960 кг/м³. ^{*21} Руттил. ^{*22} Виостит. ^{*23} В азоте. ^{*24} Прессованный порошок. ^{*25} [19]. ^{*26} В кислороде, среднее значение коэффициента. ^{*27} Стекловидный. ^{*28} Гексагональный. ^{*29} Тетрагональный. ^{*30} Спеченная керамика 99,85% Y₂O₃, относительная плотность 96,5%, нулевая кажущаяся пористость. ^{*31} [145]. ^{*32} Образец обожжен до 1400° С, кажущаяся пористость 42,3%, кажущаяся плотность 2860 кг/м³. ^{*33} Плавленый, кубический, 100% ZrO₂. ^{*34} Термопарные чехлы, объемная плотность 5430 кг/м³, пористость 0,68%. ^{*35} То же, объемная плотность 5450 кг/м³, пористость 0,28%. ^{*36} То же, объемная плотность 4950 кг/м³, пористость 2,93%. ^{*37} Стабилизованный. ^{*38} Чистота 99,8%, стабилизированный 6% (по массе) CaO. ^{*39} 99,6% Nb₂O₅, остатки Ta₂O₅. ^{*40} Термическое расширение по кристаллографическим осям a -Nb₂O₅, a и c — в нм, b — const, β — в градусах, t — в °С, V — в куб. нм. ^{*41} Порошок, спеченный при 1000° С в течение 24 ч, параметры решетки a_f и a_0 определяются из уравнения $a_f = a_0(1 + \alpha t + \beta t^2)$, $\alpha = (7,20 \pm 0,06)10^{-6}$, $\beta = (1,15 \pm 0,08)10^{-9}$ для интервала 30—968° С, a_f и a_0 справедливы для (t и 0° С). ^{*42} [1]. ^{*43} Средний коэффициент [52]. ^{*44} В образце спектральным анализом примеси: 0,05% Sm, 0,04% Si, 0,02% Eu, 0,01% Fe, 0,0005% Mg, 0,02% Dy, 0,01% Gd. ^{*45} Образец: 80% CeO₂, 20% ZrO₂, нулевая открытая пористость. ^{*46} То же, открытая пористость 0,3% ^{*47} [1]. ^{*48} Примеси спектральным анализом: 0,02% Sm, 0,002% Si, 0,005% Eu, 0,05% Fe, 0,0005% Mg, 0,02% Dy, 0,01% Gd. ^{*49} После обжига при 1500° С, плотность 7400 кг/м³. ^{*50} Горячепрессованный образец с плотностью, составляющей 95% теоретической, вероятно, моноклинный окисел. ^{*51} Плотность 7400 кг/м³. ^{*52} Спеченный 48 ч при 1100° С. ^{*53} [19]. ^{*54} Моноклинный. ^{*55} Спеченный при 968° С. ^{*56} Чистый. ^{*57} Величина частиц от 0 до 5 мкм, при нагревании. ^{*58} То же, при охлаждении. ^{*59} Величина частиц от 15 до 20 мкм, при нагревании. ^{*60} То же, при охлаждении. ^{*61} С-форма, в атмосфере водорода с гелием. ^{*62} В кислороде.

21. АНИЗОТРОПИЯ ЛИНЕЙНОГО КОЭФФИЦИЕНТА ТЕПЛОВОГО РАСШИРЕНИЯ

| Линейный коэффициент теплового расширения $\alpha \cdot 10^4$, $1/\text{ }^\circ\text{C}$ | | Температура, $^\circ\text{C}$ | | Линейный коэффициент теплового расширения $\alpha \cdot 10^4$, $1/\text{ }^\circ\text{C}$ | | Температура, $^\circ\text{C}$ | |
|--|-------|-------------------------------|------|--|-----|-------------------------------|---|
| осн. с | | ⊥ осн. с | | осн. с | | ⊥ осн. с | |
| 1 | 2 | 3 | 1 | 2 | 3 | 2 | 3 |
| BeO [19] | | | | | | [1] | |
| 5,1 | 5,3 | 18 | 6,0 | 7,1 | — | 100 | |
| 9,8 | 11,0 | 1025 | 8,9 | 9,7 | — | 500 | |
| Al ₂ O ₃ [37]*1 | 5,819 | 127 | 6,66 | — | — | 1000 | |
| | 6,303 | 227 | 9,03 | — | — | 20—50 | |
| | 6,675 | 327 | — | — | 5,0 | 20—1000 | |
| | 6,975 | 427 | — | SiO ₂ [127]*3 | — | 50 | |
| 6,460 | 7,228 | 527 | 4,1 | 6,6* | — | 25—400 | |
| 6,983 | 7,447 | 627 | — | TiO ₂ [133]*5 | — | 25—400 | |
| 7,385 | 7,641 | 727 | — | | — | 25—400 | |
| 7,713 | 7,814 | 827 | — | | — | 25—400 | |
| 7,991 | 7,973 | 927 | — | | — | 25—400 | |
| 8,232 | 8,119 | 1027 | — | | — | 25—400 | |
| 8,447 | 8,255 | 1127 | — | | — | 25—400 | |
| 8,641 | 8,383 | 1227 | — | | — | 25—400 | |
| 8,818 | 8,504 | 1327 | — | | — | 25—400 | |
| 8,983 | 8,618 | 1427 | — | | — | 25—400 | |
| 9,138 | 8,728 | 1527 | — | | — | 25—400 | |
| 9,283 | 8,833 | 1627 | — | | — | 25—400 | |
| 9,421 | 8,932 | 1727 | — | | — | 25—400 | |
| 9,552 | 9,032 | 1827 | — | | — | 25—400 | |
| 9,678 | — | — | — | | — | — | |
| 9,800 | — | — | — | | — | — | |
| 9,917 | — | — | — | | — | — | |
| 10,031 | — | — | — | | — | — | |

| 1 | 2 | 3 | 1 | 2 | 3 |
|--------------------------|--|-----------------------|---|---|---|
| | $[127]^{*5}$ | | | $ZrO_2 [134]^{*11}$ | |
| 10,1 10,8*7 | $8,0$ $8,3^{*7}, *4$ | $25-400$ $400-800$ | $14,2$ $14,2$ | $8,5^{*4}$ $9,7^{*4}$ $\sim 11,6^{*4}$ | $20-800$ $800-1000$ $1000-1200$ |
| 21,4 | $VO_3 [127]$ | $100-400$ | $\sim 15,8$ | $Nb_2O_5 [120]^{*12}$ | |
| -10,3 | $CrO_2 [127]$ | $25-290$ | 5,886 | $Rh_2O_3 [58]^{*13}$ | $25-800$ |
| 6,93 | $MnO_2 [19]^{*8}$ | $25-500$ | $\alpha_c=5,246 \cdot 10^{-6} +$ $+ 6,369 \cdot 10^{-9} t -$ $- 7,480 \cdot 10^{-14} t^2$ | $\alpha_z=5,350 \cdot 10^{-6} +$ $+ 1,281 \cdot 10^{-9} t -$ $- 1,135 \cdot 10^{-14} t^2$ | $20-850$ |
| $\sim 5,0$ $\sim 4,6$ | $ZnO [19]$ | $0-400$ $400-1200$ | 5,6 | $SnO_2 [127]^{*14}$ | |
| | $\sim 5,5^{*4}$ $\sim 9,0^{*4}$ | | | $4,3^{*4}$ | $25-400$ |
| | $GeO_3 [23]^{*9}$ | | | $La_2O_3 [99]^{*15}$ | |
| | $\alpha_{\perp}=10,558 \cdot 10^{-6} +$ $+ 8,813 \cdot 10^{-9} t -$ $- 5,785 \cdot 10^{-12} t^2$ | $30-516$ | 17,10 | $HfO_2 [134]^{*16}$ | $900-1300$ |
| | | $[127]$ | | $5,1^{*4}$ $5,9^{*4}$ $7,6^{*4}$ $8,8^{*4}$ $10,2^{*4}$ | $20-200$ $200-400$ $400-600$ $600-800$ $800-1200$ |
| 3,7 | $119, c. 74]^{*10}$ | $8,0^{*4}$ | $25-400$ | | |
| 3,8 | $10,8^{*4}$ | $400-800$ | | | |

* Состав монокристаллов, % (по массе): 99,992 Al_2O_3 , $7 \cdot 10^{-4}$ Fe , $< 10^{-3}$ Cu , $2 \cdot 10^{-4}$ Mg , $5 \cdot 10^{-5}$ Mn , $4 \cdot 10^{-3}$ Si , $3 \cdot 10^{-4}$ Cr , $4 \cdot 10^{-4}$ Ca , $7,10^{-4}$ Ga , $< 2 \cdot 10^{-4}$ V , $8 \cdot 10^{-5}$ Mo . ** Корунд, *** Стиловит. *** В долю осн. *** Рутил. *** Анагаз. *** Рутил. *** α -Манган. *** Гексагональный. *** Тетрагональный. *** Моноклинный, чистота 99,7%. *** α - Nb_2O_6 , моноклинный. *** Структура корунда. *** Касситерит. *** Гексагональная А-форма. *** Моноклинный, чистота 99,1% (0,8% ZrO_2).

22. ПАРАМЕТРЫ ДИФФУЗИИ КИСЛОРОДА В МЕТАЛЛЫ И НЕМЕТАЛЛЫ

$D = D_0 \exp(-E/RT)$ [1; 77; 202—205; 631]

| Основной элемент | Temperatura, K | D и $D_0 \cdot 10^4$, м ² /с. | | Энергия активации $E \cdot 10^{-3}$, кДж/кмоль |
|------------------|---|---|---|--|
| | | Значения D_0 даются без буквенного символа | 3 | |
| 1 | 2 | 3 | 4 | |
| Si | — 1573 | 0,21 $D=1,8 \cdot 10^{-10}$ | | 240,74*1 — |
| α -Ti | 963—1113 1023—1423 | 5,08 · 10 ⁻³ 4+13 (ΔC) ² | | 140,26*2 200,97+18,00 ΔC *3 |
| β -Ti | 1193—1473 1403—1623 1023—1423 | 3,14 · 10 ⁴ 0,083 0,14 | | 287,63*2 142,35*4 138,16*5 |
| V | 343—453 — | 0,011 $(1,3 \pm 0,32) \cdot 10^{-2}$ | | 121,42 121,46±0,80*6 |
| Fe | 1833—1933 | $(5,59 \pm 0,80) \cdot 10^{-3}$ | | 81,64±3,14*7 |
| Cu | 928—1073 1073—1273 | 4,5 — | | 179,20*8 —*9 |
| Ge | — | 0,17 | | 129,6*1 |
| α -Zr | 673—858 673—858 673—1773 973 973 | 5,2 9,4 5,4 $9,13 \cdot 10^{-5}$ 69,2 | | 213,53 216,79±0,92 212,69 124,77*2 235,3*2 |
| β -Zr | 1553 1350 1450 1550 | 5,25 · 10 ⁻⁶ $D=0,32 \cdot 10^{-7}$ $D=1,18 \cdot 10^{-7}$ $D=3,69 \cdot 10^{-7}$ | | — — — — |
| Nb | — — — — 313—423 421—441 473—548 873—1273 | 1,47 · 10 ⁻² 0,015 0,021 0,021 $0,0212 \pm 0,0073$ 0,0147 $2 \cdot 10^{-5}$ 0,00407 | | 115,87*10 115,14 112,4 120,58*6 112,67±1,05*6 115,56*6 95,46*11 104,25*12 |
| Ag | 685—1135 | $2,72 \cdot 10^{-2}$ | | 46,0*10 |
| Hf | 773—1620 | 0,4—1,4 | | 233,83*2 |
| Ta | — — 323—423 429—628 523—723 973—1673 | 0,03 $44 \cdot 10^{-4}$ $0,0044 \pm 0,0008$ 0,019 $8 \cdot 10^{-5}$ 0,015 | | 121,42*2 106,2 106,55±0,54*6 114,30*6 114,72*11 111,79*13 |

| 1 | 2 | 3 | 4 |
|---|----------------|------------------------------------|--|
| W | — — 1973 | 1,3 0,01 $D=3 \cdot 10^{-7}$ | 100,48* ⁶ 261,26 —* ¹⁴ |

*¹ Специфические методы, применяемые для полупроводников. *² Химический метод. *³ Параметры определены методами рентгеноструктурным и измерения микротвердости при снятии слоев; ΔC — избыточная концентрация кислорода по отношению к концентрации в сердцевине образца; для области растворов до 1% ат. кислорода; иодидный титан в очищенном кислороде. *⁴ При большом разбавлении. *⁵ Рентгеноструктурный, микротвердости при снятии слоев; объемная диффузия для технического титана на воздухе; погрешность $\pm 3\%$; практически не зависит от концентрации кислорода; при всех температурах $D_\alpha < D_\beta$; при температуре полиморфного превращения $D_\beta/D_\alpha \approx 40$. *⁶ Метод внутреннего трения. *⁷ Жидкое железо, капиллярный метод. *⁸ Монокристалл. *⁹ $\lg D = 0,8805 - 11,985/T$, для грани [110] $\lg D = -9,078 - 2044/T$, для грани [100] $\lg D = -3,447 - 8229/T$, для грани [111] $\lg D = -7,427 - 3799/T$, медь чистоты 99,999%. *¹⁰ Металлографический метод. *¹¹ Метод измерения привеса образца. *¹² Метод насыщения образца кислородом. *¹³ Метод измерения микротвердости. *¹⁴ Поликристалл.

23. ПАРАМЕТРЫ ДИФФУЗИИ ЭЛЕМЕНТОВ В ОКИСЛЫ

$$(D=D_0 \cdot \exp(-E/RT), \text{ м}^2/\text{с})$$

[1; 24—26; 40; 59; 60; 105—112; 117; 119; 121—123; 126; 129; 130; 157; 161; 168; 170; 172; 174; 175; 177; 199—201]

| Диффундирующий элемент | Temperatura, °C | D и $D_0 \cdot 10^4$, $\text{м}^2/\text{с}^*$ | Энергия активации | |
|------------------------|-----------------|--|-------------------------------|------------------------|
| | | | $E \cdot 10^{-3}$, кДж/кмоль | E , эВ* ¹ |
| 1 | 2 | 3 | 4 | 5 |

BeO

| | | | | |
|----|-----------|----------------------|--------|--------------------|
| He | 1080—1400 | $2,5 \cdot 10^{-3}$ | 333,00 | 3,45* ² |
| Be | — | $1,26 \cdot 10^{-6}$ | 151,14 | 1,57* ³ |

B₂O₃

| | | | | |
|---|--------|----------------------|--------------------|----------------------|
| O | 77—377 | $2,49 \cdot 10^{-2}$ | $137,33 \pm 33,49$ | $1,42 \pm 0,35^{*4}$ |
|---|--------|----------------------|--------------------|----------------------|

MgO

| | | | | |
|-----------------|-----------|----------------------------------|------------------|----------------------|
| O ²⁻ | 1100—1400 | $4,5 \cdot 10^{-5}$ | 252,05 | 2,61* ⁵ |
| | 1100—1400 | $1,3 \cdot 10^{-5}$ | 252,05 | 2,61* ⁶ |
| | 1300—1750 | $2,5 \cdot 10^{-6}$ | 261,6 | 2,71 |
| O | — | $(11,37 \pm 0,26) \cdot 10^{-2}$ | $460,5 \pm 17,6$ | $4,78 \pm 0,18^{*7}$ |
| | 1020—1450 | — | 233,62 | 2,42* ⁸ |
| | 1020—1250 | — | 252,05 | 2,62* ⁹ |
| ¹⁸ O | 1250—1450 | — | 430,4 | 4,46* ⁹ |
| | 1415 | $D=2 \cdot 10^{-13}$ | — | —* ¹⁰ |
| | 1400—1600 | 0,249 | 330,76 | 3,43* ¹¹ |

| I | 2 | 3 | 4 | 5 |
|--------------------|-----------|---|--------------------|-----------------------|
| ^{26}Mg | 1450—2400 | $4,19(+2,45; -1,55) \cdot 10^{-4}$ | $266,40 \pm 7,72$ | $2,76 \pm 0,08^{*12}$ |
| $^{28}\text{Mg}^+$ | 1100—1450 | 0,54 | $308,87 \pm 9,65$ | $3,2 \pm 0,1^{*13}$ |
| | 1450—1750 | $1,2 \cdot 10^{-5}$ | $154,44 \pm 9,65$ | $1,6 \pm 0,1^{*14}$ |
| | 1450—1750 | $1,6 \cdot 10^{-5}$ | $173,74 \pm 9,65$ | $1,8 \pm 0,1^{*15}$ |
| Mg^+ | 1900—2350 | $7,43(+12,17; -4,61) \cdot 10^{-2}$ | $333,97 \pm 18,34$ | $3,46 \pm 0,19$ |
| Be^+ | 1000—1700 | $1,41 \cdot 10^{-5}$ | $154,44$ | 1,60 |
| | 1000—1650 | $1,99(+0,24; -0,22) \cdot 10^{-5}$ | $162,16 \pm 1,93$ | $1,68 \pm 0,02^{*16}$ |
| | 1800—2340 | $1,99(+0,24; -0,22) \cdot 10^{-5}$ | $162,16 \pm 1,93$ | $1,68 \pm 0,02^{*17}$ |
| Al^3+ | 1565—1900 | 2,20 | 318,2 | $3,3^{*18}$ |
| Ca^2+ | 910—1700 | $2,95 \cdot 10^{-5}$ | 205,59 | 2,13 |
| | 790—1850 | $8,9 \cdot 10^{-4}$ | 266,40 | 2,76 |
| ^{45}Ca | 1850—2400 | $3,43(+4,95; -2,03) \cdot 10^{-3}$ | $308,87 \pm 19,30$ | $3,2 \pm 0,2^{*19}$ |
| ^{46}Sc | 1500 | $D=3 \cdot 10^{-10} + 7,4 \cdot 10^{-12}$ | — | —*11 |
| Cr^3+ | 1300—1700 | $9,8 \cdot 10^{-4}$ | 284,74 | 2,95 |
| Mn^2+ | 1300—1700 | $4,1 \cdot 10^{-7}$ | 116,79 | 1,21 |
| Fe^2+ | 1050—1720 | $8,93 \cdot 10^{-5}$ | 174,71 | 1,81 |
| | 1310—1690 | $3,2 \cdot 10^{-4}$ | 175,67 | 1,82 |
| Co^2+ | 1000—1810 | $5,78 \cdot 10^{-5}$ | 198,84 | 2,06 |
| Ni^2+ | 1900—2460 | $1,80 \cdot 10^{-5}$ | 202,70 | 2,10 |
| ^{63}Ni | 1200—1300 | $6 \cdot 10^{-6}$ | 173,74 | $1,8^{*16}$ |
| $^{63}\text{Ni}^+$ | 1900—2500 | $1,4(+4,8; -1,1) \cdot 10^{-2}$ | $318,52 \pm 28,96$ | $3,3 \pm 0,3^{*20}$ |
| Ni | 1450 | $D=0,2 \cdot 10^{-10}$ | — | —*21 |
| | 1480 | $D=0,28 \cdot 10^{-10}$ | — | — |
| | 1510 | $D=0,57 \cdot 10^{-10}$ | — | — |
| | 1550 | $D=0,74 \cdot 10^{-10}$ | — | — |
| | 1480 | $D=0,52 \cdot 10^{-10}$ | — | —*22 |
| | 1510 | $D=0,73 \cdot 10^{-10}$ | — | — |
| | 1550 | $D=1,5 \cdot 10^{-10}$ | — | — |
| | 1450 | $D=1,2 \cdot 10^{-10}$ | — | —*23 |
| | 1510 | $D=3,15 \cdot 10^{-10}$ | — | — |
| | 1550 | $D=6,1 \cdot 10^{-10}$ | — | — |
| | 1450 | $D=1,7 \cdot 10^{-10}$ | — | —*24 |
| | 1400 | $D=1,45 \cdot 10^{-10}$ | — | —*25 |
| | 1450 | $D=2,8 \cdot 10^{-10}$ | — | — |
| | 1510 | $D=5,87 \cdot 10^{-10}$ | — | — |
| | 1550 | $D=1,0 \cdot 10^{-10}$ | — | — |
| | 1450 | $D=8,0 \cdot 10^{-10}$ | — | —*26 |
| | 1450 | $D=19 \cdot 10^{-10}$ | — | —*27 |
| | 1480 | $D=0,25 \cdot 10^{-10}$ | — | —*28 |
| | 1510 | $D=0,60 \cdot 10^{-10}$ | — | —*28 |
| | 1550 | $D=0,80 \cdot 10^{-10}$ | — | — |
| | 1450 | $D=0,23 \cdot 10^{-10}$ | — | —*29 |
| | 1510 | $D=0,58 \cdot 10^{-10}$ | — | — |
| | 1550 | $D=0,70 \cdot 10^{-10}$ | — | — |

| 1 | 2 | 3 | 4 | 5 |
|---------------------------------|-----------|----------------------------------|--------------------|--------------------------------|
| Zn ²⁺ | 1000—1645 | $1,48 \cdot 10^{-5}$ | 178,57 | 1,85 |
| ⁶⁸ Ge | 1850—2400 | $0,34(+0,70; -0,23)$ | $386,10 \pm 19,30$ | $4,0 \pm 0,2$ |
| ⁸⁵ Sr ²⁺ | 1000—1600 | $6,0(+10,7; -3,8) \cdot 10^{-4}$ | $280,88 \pm 12,55$ | $2,91 \pm 0,13^{*19, 20, *30}$ |
| Sr ²⁺ | выше 1900 | $1,14 \cdot 10^{-2}$ | $337,83 \pm 38,61$ | $3,5 \pm 0,4$ |
| ⁹¹ Y ³⁺ | 1440—1760 | $(2,11 \pm 0,18) \times 10^{-2}$ | $299,00 \pm 6,70$ | $3,10 \pm 0,07^{*31}$ |
| Cd ²⁺ | 1800—2300 | $1,7(+6,0; -1,4) \cdot 10^{-2}$ | $328,18 \pm 28,9$ | $3,4 \pm 0,3^{*17}$ |
| Ba ²⁺ | 1008—1724 | $7 \cdot 10^{-2}$ | $326,25$ | $3,83^{*32}$ |
| | 1008—1724 | $6,3 \cdot 10^{-5}$ | $178,57$ | $1,85^{*33}$ |
| ¹³⁸ Ba ²⁺ | 1900—2500 | $2,8(+13,2; -2,3) \cdot 10^{-2}$ | $337,83 \pm 28,9$ | $3,5 \pm 0,3$ |

Al_2O_3

| | | | | |
|------------------|-----------|-------------------------------|-------------------|-----------------------|
| O | 1200—1600 | $6,3 \cdot 10^{-8}$ | $241,16 \pm 14,6$ | $2,50 \pm 0,15^{*11}$ |
| | 1500—1780 | 1900 | $636,4$ | $6,59^{*11}$ |
| O ^{2—} | 1500 | $D=2 \cdot 10^{-16}$ | — | $—^{*35, *3}$ |
| | 1600 | $D=2 \cdot 10^{-15}$ | — | — |
| | 1700 | $D=2 \cdot 10^{-14}$ | — | — |
| | 1800 | $D=2 \cdot 10^{-13}$ | — | — |
| | 1500 | $D=3 \cdot 10^{-14}$ | — | $—^{*34, *36, *36}$ |
| | 1600 | $D=2 \cdot 10^{-13}$ | — | — |
| | 1700 | $D=1 \cdot 10^{-12}$ | — | — |
| | 1800 | $D=8 \cdot 10^{-12}$ | — | — |
| | 1727 | $D=8,1 \cdot 10^{-14}$ | — | $—^{*11}$ |
| | 1727 | $D=2,7 \cdot 10^{-12}$ | — | $—^{*36}$ |
| | 1727 | $D=7,5 \cdot 10^{-10}$ | — | $—^{*37}$ |
| | 1727 | $D=4,6 \cdot 10^{-9}$ | — | — |
| | — | $1,6 \cdot 10^3$ | $636,39$ | $6,59^{*11}$ |
| | — | $2,5 \cdot 10^5$ | $565,22$ | $5,86^{*37}$ |
| | — | $3,6 \cdot 10^8$ | $594,53$ | $6,16$ |
| | — | 10^7 | $690,82$ | $7,16$ |
| Al ³⁺ | 1727 | $D=1,4 \cdot 10^{-11}$ | — | $—^{*38}$ |
| ²⁶ Al | 1670—1905 | 28 | $477,30 \pm 63,6$ | $4,94 \pm 0,66^{*38}$ |
| Al ³⁺ | 1700 | $D=7 \cdot 10^{-12}$ | — | $—^{*39, *3}$ |
| | 1800 | $D=4 \cdot 10^{-11}$ | — | — |
| | 1900 | $D=2 \cdot 10^{-10}$ | — | — |
| ²² Na | 1223—1750 | $(2,0 \pm 0,6) \cdot 10^{-2}$ | $209,34 \pm 8,37$ | $2,17 \pm 0,09^{*40}$ |
| | 1505 | $D=0,0158 \pm 0,0184$ | — | $—^{*41}$ |
| | 1568 | $D=0,0229$ | — | — |
| | 1568 | $D=0,0123$ | — | $—^{*42}$ |
| ⁴⁵ Ca | 1397 | $D=30$ | — | $—^{*40}$ |
| ⁵⁹ Fe | 900—1100 | $1,37 \cdot 10^{-8}$ | 46,06 | $0,48^{*43}$ |
| | 900—1100 | $9,18 \cdot 10^{-8}$ | 113,04 | $1,17^{*44}$ |
| | 900—1100 | $3,17 \cdot 10^{-8}$ | 79,55 | $0,82^{*45}$ |

| 1 | 2 | 3 | 4 | 5 |
|------------------------------------|-----------|---------------------------------|---------------------|------------------------|
| SiO₂ | | | | |
| D ₂ | 385 | $D=2,1 \cdot 10^{-7}$ | — | —*48 |
| | 385 | $D=9,7 \cdot 10^{-7}$ | — | —*47 |
| ³ He | 306 | $D=2,88 \cdot 10^{-6}$ | — | —*48 |
| | 415 | $D=6,73 \cdot 10^{-6}$ | — | — |
| | 513 | $D=12,5 \cdot 10^{-6}$ | — | — |
| | 602 | $D=19,1 \cdot 10^{-6}$ | — | — |
| ⁴ He | 306 | $D=2,67 \cdot 10^{-6}$ | — | —*48 |
| | 415 | $D=6,14 \cdot 10^{-6}$ | — | — |
| | 513 | $D=11,3 \cdot 10^{-6}$ | — | — |
| | 602 | $D=17,1 \cdot 10^{-6}$ | — | — |
| O | 1000 | $D=10^{-14}$ | — | —*11 |
| ¹⁸ O | 850—1250 | $2 \cdot 10^{-9}$ | $121,4 \pm 0,8$ | $1,26 \pm 0,009^{*49}$ |
| B | — | $3,01 \cdot 10^{-2}$ | 343,62 | $3,56^{*31}$ |
| | — | $1,61 \cdot 10^{-5}$ | 272,19 | 2,82 |
| | — | $1,23 \cdot 10^{-4}$ | 327,21 | 3,39 |
| | — | $7,38 \cdot 10^{-4}$ | 345,55 | $3,58^{*50}$ |
| P | До 1150 | $3,9 \cdot 10^{-12}$ | 133,98 | 1,39 |
| | 900—1250 | $3,2 \cdot 10^{-9}$ | 105,27 | $1,09^{*19, *31}$ |
| | — | $1,9 \cdot 10^{-9}$ | 105,27 | 1,09 |
| | — | $1,86 \cdot 10^{-1}$ | 389,00 | $4,03^{*51, *50}$ |
| Ga | — | $1,04 \cdot 10^6$ | 402,50 | $4,17^{*52}$ |
| As | 1100 | $D=3,5 \cdot 10^{-15}$ | — | —*31, *53 |
| | 1100 | $D=1,5 \cdot 10^{-16}$ | — | —*54 |
| | — | $2,48 \cdot 10^2$ | 473,00 | $4,90^{*31, *55}$ |
| Sb | — | $1,31 \cdot 10^{16}$ | 844,57 | $8,75^{*56, *57}$ |
| CaO | | | | |
| Ca | 900—1640 | 0,4 | 339,13 | $3,51^{*58}$ |
| | 1100 | $D=2,1 \cdot 10^{-13}$ | — | —*11, *59 |
| | 1200 | $D=8 \cdot 10^{-13}$ | — | — |
| | 1300 | $D=2,2 \cdot 10^{-12}$ | — | — |
| | 1400 | $D=6,7 \cdot 10^{-12}$ | — | — |
| | 1500 | $D=2 \cdot 10^{-11}$ | — | — |
| ⁴⁵ Ca | 1000—1400 | $(8,75 \pm 1,32) \cdot 10^{-8}$ | $144,86 \pm 3,98$ | $1,50 \pm 0,04^{*60}$ |
| | 1000—1400 | $(1,95 \pm 0,6) \cdot 10^{-7}$ | 142,43 | $1,48^{*61}$ |
| Sc₂O₃ | | | | |
| ¹⁸ O | 1106—1298 | $7,72 \cdot 10^{-4}$ | 160 | $1,6^{*62}$ |
| TiO^{*63} | | | | |
| ⁴⁴ Ti | 1250—1555 | $0,3^{*64}$ и $1,0^{*65}$ | $\sim 272,14^{*66}$ | $\sim 2,82^{*19}$ |

| 1 | 2 | 3 | 4 | 5 |
|------------------------------------|--|---|--|---|
| TiO₂ | | | | |
| O | 900—1000 710—1300 860—1025 | 2,88·10 ⁻¹ 2,0·10 ⁻³ 1,1 | 222,74 251,21 305,64 | 2,31* ⁶⁷ 2,60* ⁶⁸ 3,17* ⁶⁹ |
| ¹⁸ O | 950—1400 806 806 | 1,7·10 ⁻² $D=(1,7 \pm 0,05)10^{-15}$ $D=(0,32 \pm 0,01) \times 10^{-15}$ | 276,33 — — | 2,86* ^{11, *3} —* ⁷⁰ —* ⁷¹ |
| | 806 806 806 806 806 806 806 806 806 806 806 710—950 950—1300 | $D=(6,7 \pm 0,2)10^{-15}$ $D=(6,2 \pm 0,1)10^{-15}$ $D=(6,6 \pm 0,1)10^{-15}$ $D=(6,1 \pm 0,2)10^{-15}$ $D=(5,9 \pm 0,2)10^{-15}$ $D=(6,3 \pm 0,1)10^{-15}$ $D=(2,1 \pm 0,03)10^{-15}$ $D=(7,3 \pm 0,2)10^{-15}$ $D=(6,8 \pm 0,2)10^{-15}$ $D=(6,3 \pm 0,3)10^{-15}$ — — | — — — — — — — — — — 255,4 или 314,0 | —* ⁷² —* ⁷³ —* ⁷⁴ —* ⁷⁵ —* ⁷⁶ —* ⁷⁷ —* ⁷⁸ —* ⁷⁹ —* ⁸⁰ —* ⁸¹ 2,65 или 3,25* ⁸² |
| | 950—1300 | — | 96,3 или 221,9 | 1,0 или 2,30* ⁸² |
| ⁵⁹ Fe | 800—1000 800—1000 800—1000 800—1000 770—1000 770—1000 770—1000 770—1000 950—1050 | 1,73·10 ⁻⁵ 1,10·10 ⁻⁸ 1,98·10 ⁻² 1,55·10 ⁻⁵ 2,69·10 ⁻⁴ 6,17·10 ⁻⁶ 0,192 1,13·10 ⁻³ 2,04·10 ⁻² | 142,35 52,96 230,27 142,35 142,35 57,78 231,95 145,28 139,84 | 1,47* ⁸³ 0,55* ⁸⁴ 2,38* ⁸⁵ 1,47* ⁸¹ 1,47* ⁸⁶ 0,60* ⁸⁷ 2,40* ⁸⁸ 1,50* ⁸¹ 1,45* ⁸⁹ |
| V₂O₅ | | | | |
| O | 560—650 | 2·10 ⁴ | 255,39 | 2,65* ⁹⁰ |
| Cr₂O₃ | | | | |
| ⁵⁹ Fe | До 1000 | — Незначительное проникновение | 422,9 — | 4,38 —* ⁹¹ |
| Cr | 1000—1350 | 4·10 ³ | 418,68 | 4,34 |
| MnO₂ | | | | |
| H ⁺ | 25 | $D=(8 \pm 5)10^{-8}$ | — | —* ⁹² |
| FeO | | | | |
| O | 600—910 | 6·10 ⁻⁵ | 104,67±12,56 | —* ⁹³ |
| Fe | 1200 | $D \approx 10^{-7}$ | — | —* ⁹⁴ |
| S | 1050 | $D=4,1 \cdot 10^{-8}$ | — | —* ⁹⁵ |

| 1 | 2 | 3 | 4 | 5 |
|--|-----------|--|--------|----------------------|
| FeO_{1,087} | | | | |
| Fe | 690—1010 | 0,014 | 126,44 | 1,31* ³ |
| FeO_{1,09} | | | | |
| Fe | — | 4,1·10 ⁻³ | 116,39 | 1,21* ⁹⁶ |
| FeO_{1,10} | | | | |
| Fe | 1050 | D=(0,9—5)·10 ⁻⁷ | — | —* ⁹⁷ |
| FeO_{1,103} | | | | |
| Fe | — | 0,012 | 124,35 | 1,29* ⁹⁷ |
| Fe₃O₄ | | | | |
| ⁵⁹ Fe | 770—1200 | 9,37·10 ⁻² | 204,32 | 2,12* ⁸⁶ |
| | 770—1200 | 1,27·10 ⁻³ | 151,56 | 1,57* ⁸⁷ |
| | 770—1200 | 0,250 | 225,67 | 2,34* ⁸⁸ |
| Fe | 770—1200 | 1,78·10 ⁻² | 188,41 | 1,95* ⁸¹ |
| | 750—1000 | 5,2 | 230,27 | 2,38 |
| Fe₂O₃ | | | | |
| O ²⁻ | 900 | D=10 ⁻⁵ | — | —* ³⁶ |
| | 900 | D=2·10 ⁻¹⁰ | — | —* ³⁷ |
| | — | 10 ¹¹ | 590,34 | 6,12* ³⁶ |
| | — | 5,5·10 ¹⁰ | 464,73 | 4,81* ³⁷ |
| Fe₂O₃*⁹⁸ | | | | |
| O | 1150—1250 | 10 ¹¹ | 611,3 | 6,33 |
| Fe ³⁺ | 900 | D=3,5·10 ⁻¹⁶ | — | —* ³⁶ |
| | — | 10 ⁵ | 468,92 | 4,86* ³⁶ |
| ⁵⁹ Fe | 950—1050 | 1,3·10 ⁻⁶ | 419,52 | 4,35* ⁹⁹ |
| Fe | 930—1270 | 4·10 ⁴ | 468,92 | 4,86 |
| α-Fe₂O₃ | | | | |
| ⁵⁵ Fe | 1200 | D=1,1·10 ⁻¹² | — | —* ¹⁰⁰ |
| | 1200 | D=5,9·10 ⁻¹² | — | —* ¹⁰¹ |
| | 1200 | D=21,9·10 ⁻¹² | — | —* ¹⁰² |
| | 1300 | D=6,9·10 ⁻¹² | — | —* ¹⁰⁰ |
| | 1300 | D=31,4·10 ⁻¹² | — | —* ¹⁰¹ |
| CoO | | | | |
| Co | 800—1300 | 2,2·10 ⁻³ | 144,45 | 1,50* ¹⁰³ |
| | 1000 | D=2,6·10 ⁻⁹ × ×(p _{O₂}) ^{0,35} | — | —* ¹⁰⁴ |
| | 1350 | D=5,1·10 ⁻⁸ × ×(p _{O₂}) ^{0,28} | — | —* ¹⁰⁴ |

| 1 | 2 | 3 | 4 | 5 |
|--|--|---|--|---|
| | 1150 | $D = 9,0 \cdot 10^{-9} \times$ $\times (p_{O_2})^{0,3}$ | — | — |
| ³⁵ S | 1000—1090 1050 | $5 \cdot 10^{-3}$ $D = 3,5 \cdot 10^{-12}$ | 244,51 — | 2,53 ^{*11, *62} — ^{*105} |
| | | NiO | | |
| H+ | — 25 | $D = 2 \cdot 10^{-10}$ $D \approx 10^{-15} \div 10^{-16}$ | — | — ^{*106} |
| ³⁵ S | 1000—1090 1015 1050 1090 | $3,87 \cdot 10^{-3}$ $D \approx 10^{-11}$ $D = 1,2 \cdot 10^{-11}$ $D = 3,8 \cdot 10^{-11}$ | 238,65 — — — | 2,47 ^{*11, *62} — ^{*107} |
| ⁶³ Ni | 1000—1400 1000—1400 | $5 \cdot 10^{-4}$ $3,9 \cdot 10^{-4}$ | $185,06 \pm 2,51$ $185,06 \pm 0,84$ | $1,92 \pm$ $\pm 0,03$ ^{*36, *62} $1,92 \pm$ $\pm 0,01$ ^{*11, *62} |
| ⁶³ Ni | 1182—1762 1182—1762 | $(4,8 \pm 1,3) \cdot 10^{-2}$ $(2,1 \pm 0,4) \cdot 10^{-2}$ | $254,56 \pm 2,51$ $262,51 \pm 1,26$ | $2,64 \pm 0,03$ $2,72 \pm 0,01$ |
| Ni | 800 740—1400 | $D = (6,0 \pm 1,5) \cdot 10^{-14}$ 0,017 | — 234,46 | — ^{*36, *3} 2,43 |
| Ni | 1140—1400 | $2,8 \cdot 10^6$ | 496,32 | 5,14 |
| ⁵¹ Cr | 1192—1642 | $(8,6 \pm 1,2) \cdot 10^{-3}$ | $282,19 \pm 4,61$ | $2,92 \pm$ $\pm 0,05$ ^{*110} |
| | 1000 1300 | $D = 2 \cdot 10^{-12}$ $D = 2,5 \cdot 10^{-10}$ | — — | — ^{*111} — ^{*112} |
| Cr ³⁺ | 1330—1580 1330 1383 1450 1580 | $4 \cdot 10^{-3}$ $D = 3,3 \cdot 10^{-10}$ $D = 7,0 \cdot 10^{-10}$ $D = 1,2 \cdot 10^{-9}$ $D = 6,2 \cdot 10^{-9}$ | 230,27 — — — — | $2,39 \pm 1,13$ — ^{*114} — ^{*115} — ^{*116} — ^{*117} |
| ⁵¹ Cr | 1100—1250 | $9,36 \cdot 10^{-5}$ | 196,78 | $2,04 \pm 1,18$ |
| ⁵⁵ Fe | 1000—1400 | $(1,81 \pm 0,02) \cdot 10^{-3}$ | $186,31 \pm 0,84$ | $1,93 \pm 0,01$ ^{*11} |
| ⁵⁵ Co и ⁶⁰ Co | 1085—1649 | $(9,12 \pm 0,58) \cdot 10^{-3}$ | $226,770 \pm$ $\pm 1,947$ | $2,349 \pm$ $\pm 0,020$ ^{*110} |
| | | Cu₂O | | |
| O Cu | 800—1050 800 850 900 950 1000 | 0,0065 0,12 $1,9 \cdot 10^{-9}$ $4,0 \cdot 10^{-9}$ $7,7 \cdot 10^{-9}$ $1,4 \cdot 10^{-8}$ $3,2 \cdot 10^{-8}$ | 164,54 151,14 — — — — | $1,70 \pm 1,20$ 1,57 — ^{*121} |
| Cu | 900—1050 | $D \sim p_{O_2}^{1/3,9}$ | $100,48 \pm 8,37$ | $1,04 \pm 0,1$ ^{*3} |
| ⁵⁹ Fe | До 800 | Незначительное проникновение | — | — |

| 1 | 2 | 3 | 4 | 5 |
|------------------------------------|-----------|---|-------------------|--------------------------------------|
| ZnO | | | | |
| O | 1100—1300 | $6,5 \cdot 10^{11}$ | 690,32 | $7,15^{*96, *122}$ |
| Cu | 1100—1250 | $2 \cdot 10^7$ | $460,6 \pm 9,7$ | $4,8 \pm 0,1^{*123}$ |
| Zn | 950—1370 | 1,3 | 307,73 | $3,19^{*124}$ |
| | 900—1200 | 4,8 | 305,64 | $3,17^{*125}$ |
| | — | $5,3 \cdot 10^{-4}$ | 53,17 | $0,55^{*126}$ |
| GeO₂ | | | | |
| He | 31—253 | $6,1 \cdot 10^{-6}$ | 20,52 | $0,21^{*127}$ |
| Ne | 37—400 | $5,6 \cdot 10^{-6}$ | 37,26 | $0,39^{*127}$ |
| | — | $2,5 \cdot 10^{-4}$ | 55,27 | $0,57^{*128}$ |
| SrO | | | | |
| O | 1300 | $D \sim 2,4 \cdot 10^{-5}$ | — | $—^{*3}$ |
| ⁸⁶ Sr | 1200—1400 | $4,48 (+11,42; -3,22) 10^{-4}$ | $263,51 \pm 3,67$ | $2,76 \pm$ $\pm 0,038^{*3, *129}$ |
| | 1450—1600 | $2,52 (+15,18; -2,16) 10^2$ | $444,97 \pm 6,37$ | $4,61 \pm 0,066$ |
| | 1500 | $D \sim p_{O_2}^{1/6}, 23$ | — | — |
| Y₂O₃ | | | | |
| ¹⁸ O | 1064—1241 | $6,06 \cdot 10^{-6}$ | 81,97 | $0,8^{*62, *11}$ |
| Y | 1400—1670 | $1,65 \cdot 10^{-2}$ | 289,73 | 3,00 |
| ZrO₂ | | | | |
| ¹⁸ O | 600—1000 | $2,34 \cdot 10^{-2}$ | 189,66 | $1,96^{*130, *3}$ |
| O | 990 | $D = (1,9 \pm 0,3) 10^{-12}$ | — | $—^{*131}$ |
| | — | — | 234,46 | 2,43 |
| Nb₂O₅ | | | | |
| ¹⁸ O | 850 | $D \parallel [010] \approx 2,1 \cdot 10^{-8}$ | — | $—^{*132}$ |
| ¹⁸ O | 850 | $D \perp [010] \approx 1,1 \times 10^{-12}$ | — | $—^{*132}$ |
| ¹⁸ O | 900 | $D \parallel [010] \approx 8,3 \times 10^{-11}$ | — | $—^{*133}$ |
| | 900 | $D \perp [010] \approx 1,4 \times 10^{-12}$ | — | $—^{*133}$ |
| O | 900 | — | 209,34 | 2,17 |
| | 870—1000 | $1,07 \cdot 10^{-2}$ | 179,20 | $1,86^{*134}$ |
| | 850—1200 | $1,72 \cdot 10^{-2}$ | 206,00 | $2,13^{*135}$ |
| MoO₃ | | | | |
| O | 410—500 | $9,1 \cdot 10^{-8}$ | 84,99 | $0,88^{*134}$ |
| | — | — | 203,06 | 2,10 |
| ¹⁴ C | 300 | $D = 6,5 \cdot 10^{-12}$ | — | $—^{*136}$ |
| | 350 | $D = 50 \cdot 10^{-12}$ | — | $—^{*136}$ |
| | 400 | $D = 87 \cdot 10^{-12}$ | — | $—^{*136}$ |
| | 450 | $D = 43 \cdot 10^{-11}$ | — | $—^{*136}$ |

| 1 | 2 | 3 | 4 | 5 |
|--------------------|--------------------|---|---|---|
| ^{99m}Tc | 300—450 480—700 | $8,9 \cdot 10^{-4}$ $2,0 \cdot 10^{-6}$ | 88,76 $121,4 \pm 12,6$ | $0,92^{*136}$ $1,3 \pm 0,13$ |
| | | CdO | | |
| ^{115m}Cd | 1780—2270 | $0,017(+0,060;$ $-0,014)$ | $328,18 \pm$ $\pm 28,96$ | $3,4 \pm 0,3^{*137}$ |
| ^{18}O | 630—850 | $3,8 \cdot 10^6$ | $386,0 \pm 17$ | $4,0 \pm 0,2^{*138}$ |
| | | SnO₂ | | |
| Sn | — | 10^7 | 527,54 | 5,46 |
| | | BaO | | |
| Ba^{2+} | 1080—1230 | 10^{31} | 1155,56 | $11,97^{*139}$ |
| Ba | 327—1077 | $10^{-9 \pm 1}$ | $41,87 \pm 2,90$ | $0,44 \pm$ $\pm 0,03^{*140}$ |
| | 1077—1277 | $10^{29 \pm 7}$ | $1059 \pm 212,3$ | $11 \pm 2,2^{*140}$ |
| | 327—1077 | $3 \cdot 10^{-10 \pm 1}$ | $28,97 \pm 4,81$ | $0,3 \pm 0,05^{*141}$ |
| | 1077—1277 | $10^{31 \pm 8}$ | $1158,3 \pm$ $\pm 221,9$ | $12 \pm 2,3^{*141}$ |
| ^{133}Ba | 900—950 | $7,52 \cdot 10^{-8}$ | $101,35$ | $1,05^{*142}$ |
| | 950—1100 | $1,20(+6,52;$ $-1,01)$ | $271,23 \pm$ $\pm 20,27$ | $2,81 \pm 0,21^{*142}$ |
| | 1200—1400 | $1,35(+4,97;$ $-1,06)$ | $386,09 \pm$ $\pm 6,47$ | $4,00 \pm 0,067^{*142}$ |
| | | CeO₂ | | |
| O | 850—1330 | $534 (+5160; -480)$ | $305,97 \times$ $\times (+26,06;$ $-24,13)$ | $3,17$ $(+0,27;$ $-0,25)^{*62, *143}$ |
| | 780—1230 | $9,55 (+145;$ $-8,76) 10^{-5}$ | $90,73$ $(+28,96;$ $-25,10)$ | $0,94 (+0,3;$ $-0,26)^{*62, *144}$ |
| | | Pr₇O₁₂ (i) | | |
| ^{18}O | 735—865 | $(5,5 \pm 0,6) 10^{-6}$ | $77,205 \pm$ $\pm 1,047$ | $0,800 \pm$ $\pm 0,011^{*145}$ |
| | 730—800 | $(9 \pm 3) 10^{-8}$ | $34,374 \pm$ $\pm 3,140$ | $0,356 \pm$ $\pm 0,033^{*146}$ |
| | 830—930 | $(1,3 \pm 0,3) 10^{-5}$ | $79,947 \pm$ $\pm 1,968$ | $0,828 \pm$ $\pm 0,020^{*146}$ |
| | — | $D = (2,9 \pm 0,5) \times$ $\times 10^{-6} \cdot p_{\text{O}_2} \times 0,28 \pm$ $\pm 0,01 \cdot \exp \times$ $\times (-19,050 \pm$ $\pm 0,375) / RT$ | — | — $*147$ |
| | — | $D = (6 \pm 4) 10^{-9} \times$ $\times p_{\text{O}_2}^{0,25 \pm 0,03} \exp \times$ $(-8,210 \pm 0,750) / RT$ | — | — $*148$ |

| 1 | 2 | 3 | 4 | 5 |
|------------------------------------|----------------|--------------------------------|------------------|---------------------------------|
| Gd₂O₃ | | | | |
| O | 750—1050 | 5,87·10 ⁻⁴ | 120,5 | 1,2 ^{*62} |
| Dy₂O₃ | | | | |
| ¹⁸ O | 1087—1235 | 1,63·10 ⁻⁵ | 109,86 | 1,1 ^{*11, *62} |
| Ho₂O₃ | | | | |
| ¹⁸ O | 1050—1274 | 7,18·10 ⁻³ | 169,69 | 1,8 ^{*11, *62} |
| Er₂O₃ | | | | |
| ¹⁸ O | 1060—1292 | 1,31·10 ⁻⁴ | 126,10 | 1,3 ^{*11, *62} |
| Tu₂O₃ | | | | |
| ¹⁸ O | 1015—1235 | 1,14·10 ⁻² | 190,75 | 2,0 ^{*11, *62} |
| Lu₂O₃ | | | | |
| ¹⁸ O | 1020—1297 | 1,88·10 ⁻⁴ | 124,59 | 1,3 ^{*11, *62} |
| Ta₂O₅ | | | | |
| O | 900—1000 | 4,26·10 ⁻² | 179,61 | 1,86 ^{*67} |
| PbO | | | | |
| O Pb | 514 490—600 | $D \approx 10^{-10}$ 10^5 | — 276,33 | — 2,86 |
| ThO₂ | | | | |
| Th | 1846—2045 | 0,35 | 625,93 | 6,48 ^{*149} |
| UO₂ | | | | |
| H | 500—1000 | 0,037 | 59,87 \pm 3,77 | 0,62 \pm $\pm 0,04^{*150}$ |
| O | 450—600 | 2,6·10 ⁻⁵ | 124,35 | 1,29 ^{*151} |
| | 160—350 | 5,5·10 ⁻³ | 110,12 | 1,14 ^{*152} |
| | 445 | 0,21·10 ⁻¹³ | — | — ^{*3} |
| | 465 | 0,40·10 ⁻¹³ | — | — |
| | 497 | 1,8·10 ⁻¹³ | — | — |
| | 517 | 1,8·10 ⁻¹³ | — | — |
| | 522 | 2,7·10 ⁻¹³ | — | — |
| | 535 | 1,4·10 ⁻¹³ | — | — |
| | 540 | 1,9·10 ⁻¹³ | — | — |
| | 571 | 5,5·10 ⁻¹³ | — | — |

| 1 | 2 | 3 | 4 | 5 |
|-------------------|-----------|-------------------------------------|------------------------|------------------------|
| ¹⁸ O | 600 | $6 \cdot 8 \cdot 10^{-13}$ | — | — |
| | 603 | $14 \cdot 10^{-13}$ | — | — |
| | 650 | $13 \cdot 10^{-13}$ | — | — |
| | 686 | $6,5 \cdot 10^{-13}$ | — | — |
| | 855 | $11,5 \cdot 10^{-13}$ | — | — |
| | 650—1247 | 0,26 | 247,0 | $2,56^{*153}$ |
| | 400—900 | $5 \cdot 10^{-5}$ | $87,9 \pm 12,6$ | $0,9 \pm 0,1^{*154}$ |
| | 400—800 | 10^{-4} | $87,9 \pm 12,6$ | $0,9 \pm 0,1^{*155}$ |
| | 500—800 | $2,7 \cdot 10^{-4}$ | $90,0 \pm 12,6$ | $0,93 \pm 0,1^{*156}$ |
| | 600—800 | $5 \cdot 10^{-4}$ | 92,1 | $0,95^{*157}$ |
| Ne | 800—910 | $\sim 6 \cdot 10^{-4}$ | $\sim 92,1$ | $\sim 0,95^{*158}$ |
| | 925±5 | $D = (1,8 \pm 0,2) \times 10^{-12}$ | — | — |
| | 1025±5 | $D = (2,3 \pm 0,1) \times 10^{-12}$ | — | — |
| | 1425±5 | $D = (6,9 \pm 0,3) \times 10^{-12}$ | — | — |
| | 1000—1600 | $2,25 \cdot 10^{-9}$ | 139,84 | 1,45 |
| Kr | 800—1600 | $4,5 \cdot 10^{-8}$ | $196,78 \pm 8,37$ | $2,04 \pm 0,09^{*159}$ |
| | 900—1500 | $1,6 \cdot 10^{-3}$ | $276,33 \pm 41,87$ | $2,86 \pm 0,43^{*160}$ |
| | 900—1900 | — | $293,08 \pm 41,87$ | $3,04 \pm 0,43^{*161}$ |
| Kr, Xe | 1100—1600 | $1,9 \cdot 10^{-8}$ | $318,20 \pm 16,75$ | $3,30 \pm 0,17^{*162}$ |
| | 900—1400 | $2,9 \cdot 10^{-3}$ | $334,94 \pm 16,75$ | $3,47 \pm 0,17^{*163}$ |
| Xe | 800—1100 | $1,1 \cdot 10^{-14}$ | $100,48 \pm 4,19$ | $1,04 \pm 0,04^{*160}$ |
| | 800—1150 | $2,5 \cdot 10^{-8}$ | $205,15 \pm 4,19$ | $2,12 \pm 0,04^{*159}$ |
| | 1000—1500 | $5,9 \cdot 10^{-8}$ | $192,59 \pm 8,37$ | $2,0 \pm 0,1^{*164}$ |
| | 800—1500 | — | $205,15 \pm 8,37$ | $2,12 \pm 0,09^{*165}$ |
| | 900—1450 | $2,6 \cdot 10^{-9}$ | 217,71 | $2,25^{*164}$ |
| ¹³³ Xe | 1100—1400 | $2,0 \cdot 10^{-2}$ | $293,08 \pm 20,93$ | $3,04 \pm 0,22$ |
| | 1200—1600 | $5,0 \cdot 10^{-3}$ | $293,08 \pm 41,87$ | $3,04 \pm 0,43^{*160}$ |
| | 800—1600 | $7,8 \cdot 10^{-6}$ | $297,26 \pm 25,12$ | $3,08 \pm 0,26^{*160}$ |
| | 800—1300 | $6,3 \cdot 10^{-6}$ | $301,45 \pm 16,75$ | $3,12 \pm 0,17^{*162}$ |
| | 1100—1550 | — | $393,56 \pm 16,75$ | $4,08 \pm 0,17^{*166}$ |
| 1100—1500 | 24 | 531,72±37,68 | $5,51 \pm 0,39^{*164}$ | |
| | 1100—1400 | 23 | $535,91 \pm 41,87$ | $5,55 \pm 0,43^{*160}$ |
| | 1065—1300 | $2,88 (+13,4; -2,4) \cdot 10^3$ | $461,38 \pm 14,48$ | $4,78 \pm 0,15^{*11}$ |

| 1 | 2 | 3 | 4 | 5 |
|------------------|-----------|--|--------------------|----------------------|
| Xe | 1400—2200 | $4 \cdot 10^2 \div 1,6 \cdot 10^3$ | 579,13 \pm 9,65 | $6,0 \pm 0,1^{*167}$ |
| | 950—1700 | $5 \cdot 10^{-2} \div 5$ | 376,44 \pm 38,61 | $3,9 \pm 0,4$ |
| | 600—1300 | $1 \cdot 10^{-8} \div 1 \cdot 10^{-4}$ | 164,09 \pm 38,61 | $1,7 \pm 0,4^{*168}$ |
| U | 1050—1350 | $1,3 \cdot 10^{-6}$ | 230,27 | $2,38^{*3}, *169$ |
| ^{233}U | 1400 | $D < 10^{-17}$ | — | — $*170$ |
| U | 1410 | $0,6 \div 1,3 \cdot 10^{-13}$ | — | — $*3$ |
| | 1590 | $3 \cdot 10^{-13}$ | — | — $*3$ |
| | 1712 | $6 \cdot 10^{-13}$ | — | — $*3$ |
| | 1730 | $25 \cdot 10^{-13}$ | — | — $*3$ |
| | 1750 | $43 \cdot 10^{-13}$ | — | — $*3$ |
| PuO_2 | | | | |
| ^{18}O | 680—1027 | $1,19 \cdot 10^{-3}$ | 176,2 | $1,81^{*3}, *171$ |

*¹ В уравнении $D=D_0 \exp(-E/KT)$ дано в расчете на один атом. *² Значения для D_0 даны в колонках без буквенного индекса. *³ Отожженный BeO .

*⁴ Самодиффузия. *⁵ Плавленый, самодиффузия, примеси: Mg 10 ppm, Si 10 ppm, следы Na , K и Ca . *⁶ Самодиффузия, поликристалл, размер частиц 80—115 меш.

*⁷ То же, размер частиц 1700—200 меш. *⁸ Самодиффузия иона кислорода. *⁹ Для хорошо спеченного образца. *¹⁰ Для свободно спеченного. *¹¹ Отжиг в Ar при $p_{\text{O}_2} = 1,013 \text{ kPa}$, поликристалл, размер зерна 8 мкм. *¹² Монокристалл.

*¹³ Отжиг в аргоне, общие примеси 700 ppm. *¹⁴ Отжиг в воздухе, для монокристаллов 99,99% чистоты двух типов (M и V). *¹⁵ Тип M , примеси, ppm: 250Ca, 30Al, 11Si, 200Fe, 10Mn, 15Cr, 20Na, $K < 5$. *¹⁶ Тип V , примеси, ppm: 190Ca, 20Al, 3Si, 200Fe, 8Mn, 12Cr, 15Na, $< 5 \text{ K}$. *¹⁷ Монокристалл 99,99% чистоты, воздух. *¹⁸ То же, аргон. *¹⁹ При 1% (мол.) Al_2O_3 в MgO . *²⁰ Радиоактивный метод (снятие слоев). *²¹ Монокристалл 99,99% чистоты. *²² Чистый MgO , химическая диффузия. *²³ 0,2% (мол.) Fe_2O_3 . *²⁴ 1% (мол.) Fe_2O_3 . *²⁵ 0,2% (мол.) Cr_2O_3 . *²⁶ 0,5% (мол.) Cr_2O_3 . *²⁷ 1% (мол.) Cr_2O_3 . *²⁸ 2,5% (мол.) Cr_2O_3 . *²⁹ 1% (мол.) CoO . *³⁰ 5% (мол.) CoO . *³¹ Объемная решеточная диффузия. *³² Отжиг в аргоне. *³³ Слабое проникновение. *³⁴ Из графика. *³⁵ Из графика, монокристалл. *³⁶ Поликристалл. *³⁷ Из опытов по спеканию. *³⁸ Поликристалл, 99,5% Al_2O_3 , отжиг на воздухе. *³⁹ Из графика, поликристалл. *⁴⁰ Коммерческий Al_2O_3 , 95% теоретической плотности, 0,15% Na_2O , $< 0,03\%$ K_2O . *⁴¹ Монокристалл, || оси c . *⁴² То же, \perp оси c . *⁴³ Корунд, 0,133 Па, давление прессования 19,62 МПа, радиоактивный метод (снятие слоев), диффузия по границам зерен. *⁴⁴ То же, диффузия по объему зерен. *⁴⁵ То же, усредненные данные. *⁴⁶ Плавленый, чистота 99,9%, до расстеклования. *⁴⁷ То же, после расстеклования. *⁴⁸ Стекловидный в кислороде при 101,325 кПа. *⁴⁹ Отжиг в азоте. *⁵⁰ Примеси 0,1—3,5% (мол.). *⁵¹ Отжиг в водороде с азотом. *⁵² Примеси 5,8% мол. *⁵³ Отжиг в кислороде, примеси 5% (мол.) AS_2O_3 . *⁵⁴ Примеси 0,8% (мол.). *⁵⁵ Отжиг в кислороде с азотом. *⁵⁶ Примеси 3,0% (мол.). *⁵⁷ Плотность 91%. *⁵⁸ Оценочные данные. *⁵⁹ Монокристалл, примесь Al_2O_3 0,001% (по массе), самодиффузия вблизи поверхности. *⁶⁰ То же, внутри кристалла. *⁶¹ Отжиг в воздухе. *⁶² TiO_x , $x = 0,807 \pm 1,259$. *⁶³ При $x = 0,807$.

*⁶⁵ При $x=1,06$. *⁶⁶ Не зависит от x . *⁶⁷ $p_{O_2} = (21,3 \div 101,3)$ кПа. *⁶⁸ $p_{O_2} = 1,013 \div 101,3$ кПа. *⁶⁹ $p_{O_2} = 50,66$ кПа. *⁷⁰ Стхиометрический, \perp оси с. *⁷¹ То же, || оси с, *⁷² \perp оси с, восстановлен в вакууме при 1200°C , 1 ч. *⁷³ То же, 5 ч. *⁷⁴ То же, 10 ч. *⁷⁵ То же, на воздухе, 1 ч. *⁷⁶ То же, 5 ч. *⁷⁷ То же, 10 ч. *⁷⁸ Зернистый образец, стхиометрический. *⁷⁹ То же, восстановлен в вакууме при 1200°C , 1 ч. *⁸⁰ То же, на воздухе. *⁸¹ Усредненная величина. *⁸² По разным источникам. *⁸³ Отжиг на воздухе при атмосферном давлении, давление прессования 19,62 МПа, радиоактивный адсорбционный метод. *⁸⁴ То же, радиоактивный метод (снятие слоев), диффузия по границам зерен. *⁸⁵ То же, диффузия по объему зерен. *⁸⁶ Отжиг в вакууме, $p=0,133$ Па, давление прессования 19,62 МПа, радиоактивный адсорбционный метод. *⁸⁷ То же, радиоактивный метод (снятие слоев), диффузия по границам зерен. *⁸⁸ То же, диффузия по объему зерен. *⁸⁹ Рутиль, отжиг на воздухе при атмосферном давлении, давление прессования 14,715 МПа, усредненные данные. *⁹⁰ Отжиг в кислороде при $p=16,665$ кПа в интервале давлений кислорода 667–74 660 Па, $D \sim p^{-2/3}$. *⁹¹ Радиоактивные методы: адсорбционный и снятия слоев.

*⁹² $\gamma\text{-MnO}_2$. *⁹³ Объемная диффузия кислорода в вюстите пренебрежимо мала. *⁹⁴ Объемная диффузия в вюстите. *⁹⁵ Вюстит. *⁹⁶ Метод изотопного обмена. *⁹⁷ Химический коэффициент самодиффузии. *⁹⁸ Гематит. *⁹⁹ Отжиг на воздухе при атмосферном давлении, давление прессования 19,62 МПа, усредненные данные. *¹⁰⁰ Монокристалл, $p_{O_2}=1,01325$ кПа. *¹⁰¹ То же, $p_{O_2}=10,1325$ кПа. *¹⁰² То же, $p_{O_2}=1,01325$ кПа. *¹⁰³ $p_{O_2}=101,325$ кПа. *¹⁰⁴ $p_{O_2}=101,3 \div 101325$ Па. *¹⁰⁵ Отжиг на воздухе, поликристалл 99,995% (ат.). *¹⁰⁶ Пленка. *¹⁰⁷ Отжиг на воздухе, поликристалл 99,999% (по массе). *¹⁰⁸ Монокристалл, коэффициент

самодиффузии пропорционален величине давления p , где $\beta=0,16$ при 1245°C и 0,20 при 1380°C , отжиг на воздухе. *¹⁰⁹ То же, отжиг в CO_2 . *¹¹⁰ Монокристалл 99,999% чистоты. *¹¹¹ Для монокристалла при 0,012 долях ионов хрома. *¹¹² То же, при 0,032 долях ионов хрома. *¹¹³ Химическая диффузия в монокристалле, чистота 99,92%, через плоскость [100] при 1% (мол.) Cr_2O_3 . *¹¹⁴ То же, при 4,1% (мол.) Cr_2O_3 . *¹¹⁵ То же, при 4,5% (мол.) Cr_2O_3 . *¹¹⁶ То же, при 5,2% (мол.) Cr_2O_3 . *¹¹⁷ То же, при 8,1% (мол.) Cr_2O_3 . *¹¹⁸ Отжиг в кислороде при $p=101,325$ кПа, монокристалл, примеси Со 220 ррт, Ag 80 ррт, Fe 60 ррт. *¹¹⁹ Совместная диффузия в монокристалле. *¹²⁰ $p_{O_2}=18,239$ кПа. *¹²¹ D_{Cu} по Муру и Заликсону. *¹²² $D \sim \sqrt{p_{O_2}}$. *¹²³ Химическая диффузия. *¹²⁴ Плотность 95%, отжиг на воздухе. *¹²⁵ $p_{O_2}=101,325$ кПа. *¹²⁶ Отжиг в насыщенном паре цинка, эффективный коэффициент диффузии. *¹²⁷ Плавленый, стекловидный. *¹²⁸ Диффузия в аморфный и незначительно расстеклованный окисел ниже температуры превращения. *¹²⁹ Отжиг в кислороде при $p=2,026$ Па, монокристалл. *¹³⁰ Отжиг в кислороде при 93,325 кПа. *¹³¹ Моноклинный ZrO_2 , примеси 0,08%, самодиффузия не зависит от p_{O_2} при давлениях от 21278 до 1,01325×

$\times 10^{-14}$ Па. *¹³² $\alpha\text{-Nb}_2\text{O}_5$ отжиг в $\text{H}_2+\text{H}_2\text{O}$, метод изотопного обмена, $p_{O_2}=1,3332$ кПа. *¹³³ То же, $p_{O_2}=1,013$ кПа. *¹³⁴ $p_{O_2}=21,278 \div 101,325$ кПа. *¹³⁵ $p_{O_2}=101,325$ кПа. *¹³⁶ Отжиг в аргоне, радиоактивный метод (снятие слоев), значения D при 400 и 450°C и энергии активации несколько занижены. *¹³⁷ Монокристалл 99,99% чистоты. *¹³⁸ Монокристалл, $D \approx p_{O_2}^{-1/5}$. *¹³⁹ Через вакантные места. *¹⁴⁰ Через междуузлия (объемная диффузия). *¹⁴¹ Поверхностная диффузия. *¹⁴² Отжиг в аргоне, коэффициент диффузии не зависит от парциального давления кислорода в интервале от 101325 до 2,0265 Па, в монокристалле примеси: 0,15% SrO , 0,08% CaO , 0,004% MgO , 0,003% Fe_2O_3 , 0,002% Al_2O_3 , 0,002% Cr_2O_3 . *¹⁴³ Оптический метод, примеси $\sim 0,1$ ат. %. *¹⁴⁴ Оптический метод, примесь 0,3 ат. % Gd . *¹⁴⁵ Метод изотопного обмена, отжиг в кислороде при $p_{O_2}=3,920$ кПа. *¹⁴⁶ То же, при 28,598 кПа. *¹⁴⁷ Метод изотопного обмена, для окисла близкого к стхиометрическому. *¹⁴⁸ То же, для окисла, далеко отклоняющегося от стхиометрического. *¹⁴⁹ Монокристалл, объемная самодиффузия. *¹⁵⁰ Монокристалл высокой чистоты. *¹⁵¹ $\text{O}/\text{U}=2,0 \div 2,1$. *¹⁵² $\text{O}/\text{U}=2,0 \div 2,34$. *¹⁵³ Отжиг в $\text{Ar}+\text{O}_2$, UO_2+x , $x \leq 0,0015$. *¹⁵⁴ То же, $x=0,006$. *¹⁵⁵ То же, $x=0,020$. *¹⁵⁶ То же, $x=0,10$. *¹⁵⁷ То же, $x=0,12$. *¹⁵⁸ То же, $x=0,16$. *¹⁵⁹ Спеченный, восстановление из UO_2 . *¹⁶⁰ Спеченный. *¹⁶¹ Спеченный, 93%. *¹⁶² Спеченный, 97%. *¹⁶³ Неспеченный порошок. *¹⁶⁴ Плавленый. *¹⁶⁵ Плавленый, $\text{O}/\text{U}=1,98$. *¹⁶⁶ Спеченный, 90%. *¹⁶⁷ UO_2-y , $0,00 < y \leq 0,066$. *¹⁶⁸ UO_2+x $0,00 < x \leq 0,250$. *¹⁶⁹ $\text{O}/\text{U}=2,08$, отжиг в воздухе. *¹⁷⁰ Монокристалл, отжиг в $\text{CO}+\text{CO}_2$, решеточная диффузия. *¹⁷¹ Микрокристаллический $^{238}\text{PuO}_2$, метод изотопного обмена.

24. СКОРОСТЬ ИСПАРЕНИЯ [1; 139; 140; 156; 183; 187; 202]

| Оксид | Температура, K | Скорость испарения G, кг/(м ² ·с) | Состав паров | |
|--------------------------------|----------------|--|---|---|
| | | | 3 | 4 |
| BeO | 1500—3000 | — | BeO, Be, O, O ₂ , (BeO) _n , n=2, 3, 4, 5, 6 — ^{*1, *2} | |
| | 1773 | 0,2·10 ⁻⁸ | | |
| | 2023 | 0,55·10 ⁻⁶ | | |
| | 2273 | 0,33·10 ⁻⁴ | | |
| | 2423 | 0,24·10 ⁻³ | | |
| NO ₂ | 313 | — | 31% NO ₂ 69% N ₂ O ₄ 88% NO ₂ 12% N ₂ O ₄ 100% NO ₂ | |
| | — | — | | |
| | 373 | — | | |
| | — | — | | |
| N ₂ O ₄ | ~413 | — | | |
| | — | — | | |
| | — | — | | |
| MgO | 1500—3000 | — | MgO, Mg, O, O ₂ ^{*1, *4} | |
| | 2273 | 3,5·10 ⁻⁴ | | |
| Al ₂ O ₃ | — | — | — ^{*1, *5} | |
| SiO ₂ | 2273 | 1,6·10 ⁻⁶ | — ^{*1, *6} | |
| CaO | 1500—3000 | — | CaO, Ca, O, O ₂ ^{*1, *7} Ca, O ScO, O — ^{*8} | |
| Sc ₂ O ₃ | 1623—1750 | lg G=9,16—27400/T | | |
| | 2073—2173 | — | | |
| Ti ₂ O ₃ | 2173—2473 | lg G=11,1—37 000/T | | |
| | 2553—2673 | lg G=10,39—35 000/T | | |
| VO ₂ | 3300±300 | — | ScO, Sc, O, Sc ₂ O TiO, TiO ₂ VO ₂ | |
| | 1573—1923 | — | | |
| Ga ₂ O ₃ | 1523—1723 | — | O ₂ , Ga, GaO, Ga ₂ O GeO, O ₂ , (GeO ₂), (GeO ₃) (AS ₂ O ₃) ₂ | |
| | 1223—1323 | — | | |
| As ₂ O ₃ | <2073 | — | — ^{*9} | |
| | 418—553 | lg(G'V ^{1/T})=(11,85± ±0,11)—5109/T | | |
| | 418—553 | lg(G'V ^{1/T})=(17,10± ±0,10)—8946/T | | |
| SrO | 1500—3000 | — | SrO, Sr, O, O ₂ ^{*1, *11} Sr, O | |
| Y ₂ O ₃ | 700—1600 | lg G=7,91—23 660/T | | |
| | 2273 | 1,2·10 ⁻⁶ | — ^{*12} | |
| ZrO ₂ | 2443—2703 | lg G=9,35—32 500/T | YO, O, Y ₂ O, Y ₂ O ₂ — ^{*1, *13} | |
| NbO | 1673—2173 | — | NbO ₂ , NbO, (Nb) ^{*1, *14} NbO ₂ — | |
| NbO ₂ | 1673—1973 | — | | |
| Nb ₂ O ₅ | 1653 | 2·10 ⁻⁶ | | |
| MoO ₂ | 1723 | 4,1·10 ⁻⁶ | — | |
| | — | — | MoO ₂ , MoO ₃ , O ₂ (MoO ₃) ₃ | |
| MoO ₃ | 1223—1273 | — | | |
| | 811 | 0,568·10 ⁻⁶ | — | |

| 1 | 2 | 3 | 4 |
|---------------------------------|--------------------|--|---|
| | 922 977 1033 | $4,867 \cdot 10^{-6}$ $39,5 \cdot 10^{-6}$ $6,183 \cdot 10^{-4}$ | — — — |
| In ₂ O | 1073—1273 | — | In, In ₂ O, O ₂ |
| In ₂ O ₃ | 1423—1723 | — | In, In ₂ O, O ₂ |
| Sb ₂ O ₃ | 773—953 | $\lg(G' \sqrt{T}) = (12,12 \pm 0,07) - 8880/T$ | —* ¹⁵ |
| | 773—953 | $\lg(G' \sqrt{T}) = (15,10 \pm 0,17) - 12\,248/T$ | —* ¹⁶ |
| BaO | 1173—1473 | — | BaO |
| | — | — | BaO, Ba ₂ O ₂ , Ba ₂ O ₃ ^{*17} |
| | 1100—1500 | $\lg G = 8,7 - 20\,000/T$ | — |
| | 1200—1800 | $\lg G = 7,56 - 18\,900/T$ | BaO, Ba ₂ O, BaO ₂ , Ba ₂ O ₂ ^{*18} |
| La ₂ O ₃ | 1173—2073 | — | LaO, O |
| | 2233—2503 | $\lg G = 9,42 - 28\,500/T$ | LaO, O, La, La ₂ O, La ₂ O ₂ , La ₂ O ₃ |
| Ce ₂ O ₃ | — | — | CeO, CeO ₂ , O |
| CeO ₂ | 1673—1823 | — | CeO, CeO ₂ , O |
| Pr ₂ O ₃ | 1723—2023 | — | PrO, PrO ₂ , O, Pr |
| Pr ₆ O ₁₁ | — | — | O, PrO, PrO ₂ , Pr |
| Nd ₂ O ₃ | 1773—2073 | — | NdO, O |
| | 2253—2433 | $\lg G = 7,76 - 24\,800/T$ | NdO, O |
| Sm ₂ O ₃ | 1873—2123 | — | Sm, SmO, O |
| | 2233—2653 | $\lg G = 10,40 - 31\,800/T$ | Sm, SmO, O |
| Eu ₂ O ₃ | 1773—2023 | — | EuO, Eu, O |
| | 1973—2193 | $\lg G = 11,68 - 30\,400/T$ | EuO, Eu, O |
| Gd ₂ O ₃ | 1973—2173 | — | GdO, Gd, O |
| | 2343—2603 | $\lg G = 11,17 - 35\,200/T$ | GdO, Gd, O |
| Tb ₂ O ₃ | 1973—2173 | — | TbO, Tb, TbO ₂ |
| Tb ₄ O ₇ | — | — | O, TbO, TbO ₂ |
| Dy ₂ O ₃ | 1973—2173 | — | DyO, Dy, O |
| | 2433—2643 | $\lg G = 9,35 - 30\,900/T$ | DyO, Dy, O |
| Ho ₂ O ₃ | 2073—2273 | — | HoO, Ho, O |
| | 2493—2693 | $\lg G = 16,0 - 48\,700/T$ | HoO, Ho, O |
| Er ₂ O ₃ | 2073—2223 | — | ErO, Er, O |
| | 2493—2693 | $\lg G = 9,74 - 33\,100/T$ | ErO, ErO, O |
| Tu ₂ O ₃ | 2443—2643 | $\lg G = 7,82 - 27,500/T$ | TuO, Tu, O |
| Yb ₂ O ₃ | 1873—2073 | — | Yb, O |
| | 2363—2623 | $\lg G = 8,85 - 29\,600/T$ | Yb, O, YbO |
| Lu ₂ O ₃ | 2073—2223 | — | LuO, Lu, O |
| | 2553—2703 | — | LuO, Lu, O |
| HfO ₂ | 2173—2443 | — | HfO, O |
| Tl ₂ O ₃ | 723—1173 | — | Tl ₂ O, Tl, O ₂ |

| 1 | 2 | 3 | 4 |
|------------------|-----------|----------------------------------|---|
| ThO ₂ | 2173—2373 | $\lg G = 10,84 - 37 \frac{1}{T}$ | ThO, ThO ₂ , O — ^{*1, *19} |
| UO ₂ | 2023—2173 | — | UO ₂ |

*¹ Температура заметного улетучивания. *² В вакууме 2100° С, в воздухе 2400° С. *³ Давление 101,325 кПа. *⁴ В вакууме 1600, в воздухе 1900° С. *⁵ В воздухе 1750° С. *⁶ В воздухе 1800° С. *⁷ В воздухе 1700° С. *⁸ Спеченый, относительная плотность 0,96—0,97, нулевая открытая пористость. *⁹ Скорость конденсации, арсенолит. *¹⁰ То же, клаудетит. *¹¹ В воздухе 1600° С. *¹² Спеченная керамика, 99,85% Y₂O₃. Относительная плотность 96,5%, нулевая кажущаяся пористость. *¹³ В воздухе 2300° С. *¹⁴ В вакууме 1700° С. *¹⁵ Скорость конденсации, сенармонтит. *¹⁶ То же, валентинит. *¹⁷ При высоких температурах. *¹⁸ Преимущественно BaO. *¹⁹ В вакууме >2300° С.

25. ДАВЛЕНИЕ ПАРОВ

[1; 27; 29; 33; 42; 43; 66; 77; 81; 113; 124; 136; 140; 156; 174; 180; 187; 195]

| Температура или интервал темпе- ратур, К | Давление паров P , Па | |
|--|--|---------------------------------------|
| 1 | 2 | |
| H₂O | | |
| — | $\lg p = 8,882065 - 2445,5645/T + 8,2312 \lg T - 0,0167006 T + 1,205 \cdot 10^{-5} T^2$ * ¹ | |
| $T_{\text{пл}} - T_{\text{кип}}$ | $\lg p = 3,332 - 2940/T + 3,86 \lg T - 3,41 \cdot 10^{-3} T + 4,9 \cdot 10^{-8} T^2$ * ² | |
| D₂O | | |
| 298 | Общее | $2673,1^{*2}$ |
| 373 | » | $95938,5^{*2}$ |
| Li₂O | | |
| 1233—1573 | $\lg p = 15,31 - 16,200/T$ * ¹ | |
| 1000—1600 | Металла | $\lg p = 11,71 - 18,760/T$ |
| 298 | Общее | $1,439 \cdot 10^{-66}$ * ³ |
| 800 | Окисла | $7,787 \cdot 10^{-16}$ * ³ |
| 2800 | » | $3,236 \cdot 10^4$ |
| 4800 | » | $5,948 \cdot 10^6$ |
| BeO | | |
| 1500 | Окисла | $3,50 \cdot 10^{-10}$ * ³ |
| 2000 | » | $1,59 \cdot 10^{-5}$ |
| 2500 | » | $7,04 \cdot 10^{-2}$ |
| 3000 | » | 31,9 |
| 1500 | Металла | $6,03 \cdot 10^{-8}$ * ³ |

| 1 | 2 |
|-----------------------------------|---|
| 2000 | Металла $1,28 \cdot 10^{-3}$ |
| 2500 | » $1,41$ |
| 3000 | » $1,99 \cdot 10^2$ |
| 1500 | Атомарного кислорода $5,64 \cdot 10^{-8} *3$ |
| 2000 | » » $1,21 \cdot 10^{-3}$ |
| 2500 | » » $1,25$ |
| 3000 | » » $1,61 \cdot 10^2$ |
| 1500 | Молекулярного кислорода $1,96 \cdot 10^{-9} *3$ |
| 2000 | » » $3,25 \cdot 10^{-5}$ |
| 2500 | » » $7,42 \cdot 10^{-2}$ |
| 3000 | » » $20,3$ |
| 1500 | Общее $1,19 \cdot 10^{-7} *3$ |
| 2000 | » $2,97 \cdot 10^{-3}$ |
| 2500 | » $2,80$ |
| 3000 | » $4,13 \cdot 10^2$ |
| 2103—2573 | $\lg p = 13,162 - 33240/T^{*1}, *4$ |
| 2250—2413 | $\lg p = 20,63 - 34230/T - 2 \lg T^{*4}$ |
| — | Металла $\lg p = 12,10 - 29800/T$ |
| 293 | Окисла $2,656 \cdot 10^{-115} *3$ |
| 800 | » $1,528 \cdot 10^{-33}$ |
| 2800 | » $2,489$ |
| 4800 | » $1,179 \cdot 10^5$ |
| B₂O₃ | |
| 1330—1808 | $\lg p = 11,748 - 16960/T$ |
| 293 | Окисла $6,464 \cdot 10^{-58} *3$ |
| 800 | » $1,327 \cdot 10^{-11}$ |
| 2800 | » $1,272 \cdot 10^6$ |
| CO | |
| — | $\lg p = 11,01 - 1410/T - 0,87 \lg T - 3,89 \cdot 10^{-3} T^{*5}$ |
| N₂O | |
| 129—183 | $\lg p = 11,704 - 1232/T^{*1}$ |
| 285—309 | $\lg p = 9,6313 - 858,63/T^{*2}$ |
| NO | |
| 73—92 | $\lg p = 12,173 - 851,8/T^{*1}$ |
| 109,3—125 | $\lg p = 10,565 - 681,1/T^{*2}$ |
| N₂O₃ | |
| 248—273 | $\lg p = 12,42 - 2058/T^{*2}$ |

$\text{NO}_2 (\text{N}_2\text{O}_4)$

| | |
|-----------|-------------------------------|
| 202,3—262 | $\lg p = 14,77 - 2750/T^{*1}$ |
| 262—375 | $\lg p = 10,94 - 1746/T^{*2}$ |
| 283 | Общее $58,75 \cdot 10^{3*6}$ |
| 313 | » $24,11 \cdot 10^4$ |
| 343 | » $74,46 \cdot 10^4$ |

 N_2O_5

| | |
|-----------|-------------------------------|
| 118,8—305 | $\lg p = 14,89 - 3017/T^{*1}$ |
|-----------|-------------------------------|

 O_3

| | |
|--------|---|
| 90—243 | $\lg p = 10,37803 - 0,001966943/T - 814,941587/T$ |
|--------|---|

 F_2O

| | |
|---|-----------------------------|
| — | $\lg p = 9,5141 - 578,64/T$ |
|---|-----------------------------|

 Na_2O

| | |
|----------|--------------------------------|
| 298—1190 | $\lg p = 13,74 - 24044/T^{*1}$ |
|----------|--------------------------------|

 MgO

| | |
|------|---|
| 1500 | Окисла $2,60 \cdot 10^{-6} *3$ |
| 2000 | » $2,02 \cdot 10^{-1}$ |
| 2500 | » $1,59 \cdot 10^2$ |
| 3000 | » $1,29 \cdot 10^4$ |
| 1500 | Металла $2,06 \cdot 10^{-5} *3$ |
| 2000 | » $3,80 \cdot 10^{-1}$ |
| 2500 | » $1,29 \cdot 10^2$ |
| 3000 | » $6,01 \cdot 10^3$ |
| 1500 | Атомарного кислорода $3,72 \cdot 10^{-6} *3$ |
| 2000 | » » $8,21 \cdot 10^{-2}$ |
| 2500 | » » $31,9$ |
| 3000 | » » $1,67 \cdot 10^3$ |
| 1500 | Молекулярного кислорода $8,40 \cdot 10^{-6} *3$ |
| 2000 | » » $1,48 \cdot 10^{-1}$ |
| 2500 | » » $48,6$ |
| 3000 | » » $2,19 \cdot 10^3$ |
| 1500 | Общее $3,54 \cdot 10^{-5} *3$ |
| 2000 | » $8,11 \cdot 10^{-1}$ |
| 2500 | » $3,69 \cdot 10^2$ |
| 3000 | » $2,27 \cdot 10^4$ |
| — | Металла $\lg p = 12,37 - 26100/T$ |
| 293 | Окисла $1,145 \cdot 10^{-88} *3$ |
| 800 | » $9,152 \cdot 10^{-24}$ |
| 2800 | » $2,387 \cdot 10^3$ |
| 4800 | » $1,158 \cdot 10^7$ |

Al_2O_3

| | |
|-----------|--------------------------------|
| 2000 | Общее $5,77 \cdot 10^{-1}$ |
| 2323 | » $46,263$ |
| 2600—2900 | $\lg p = 13,42 - 27320/T^{*2}$ |

 SiO

| | |
|-----------|----------------------------|
| 1345 | Окисла $0,871^{*2}$ |
| 1345 | » $3,95^{*8}$ |
| 1345 | » $0,507^{*9}$ |
| 1336—1450 | $\lg p = 13,078 - 16790/T$ |

 SiO_2

| | |
|-----------|------------------------------------|
| 1800 | Общее $162,65 \cdot 10^{-5}^{*10}$ |
| 1900 | » $1013,25 \cdot 10^{-5}$ |
| 2133—2503 | $\lg p = 15,55 - 26430/T^{*2}$ |
| 293 | Окисла $2,818 \cdot 10^{-87}^{*3}$ |
| 800 | » $3,081 \cdot 10^{-23}$ |
| 2800 | » $1,790 \cdot 10^3$ |
| 4800 | » $9,068 \cdot 10^6$ |

 P_2O_3

| | |
|-----|-------------------------------|
| 343 | Общее $\sim 29,33 \cdot 10^2$ |
|-----|-------------------------------|

 P_2O_5

| | |
|---------|--------------------------------|
| 842 | Общее $73,33 \cdot 10^2$ |
| 298—842 | $\lg p = 14,67 - 8250/T^{*11}$ |
| 298—631 | $\lg p = 12,82 - 4940/T^{*12}$ |
| 942—964 | $\lg p = 10,23 - 4520/T^{*2}$ |

 SO_2

| | |
|---------|--|
| 293 | Общее $32,92 \cdot 10^4^{*2}$ |
| 323 | » $85,09 \cdot 10^4$ |
| 197—264 | $-\lg p = 14,200 - 1868/T - 15,9 \cdot 10^{-3}T + 15,6 \cdot 10^{-6}T^2$ |

 SO_3

| | |
|----------------------------------|--------------------------------|
| 297 | Общее 32064^{*2} |
| 312,95 | » 78927 |
| 371,35 | » $93,20 \cdot 10^4$ |
| 407,65 | » $18,94 \cdot 10^5$ |
| O— $T_{\text{пл}}$ | $\lg p = 13,56 - 2680/T^{*13}$ |
| O— $T_{\text{пл}}$ | $\lg p = 14,09 - 2860/T^{*14}$ |
| O— $T_{\text{пл}}$ | $\lg p = 16,12 - 3610/T^{*15}$ |
| $T_{\text{пл}} - T_{\text{кип}}$ | $\lg p = 12,02 - 2230/T^{*2}$ |

Cl_2O

| | |
|-----|-----------------------------|
| — | $\lg p = 10,002 - 1375,7/T$ |
| 273 | Общее 93 190 |

 ClO_2

| | |
|-----|--------------------------|
| — | $\lg p = 10,48 - 1548/T$ |
| 273 | Общее 65 327 |

 Cl_2O_8

| | |
|-----|------------------------------|
| — | $\lg p = 9,2 - 2070/T^{*1}$ |
| 273 | Общее 41,33 |
| — | $\lg p = 11,4 - 2690/T^{*2}$ |

 Cl_2O_7

| | |
|---------|----------------------------|
| 270—303 | $\lg p = 10,29 - 1861,8/T$ |
| 273 | Общее 2986,4 |

 K_2O

| | |
|----------|---------------------------|
| 298—2500 | $\lg p = 13,74 - 24262/T$ |
|----------|---------------------------|

 CaO

| | |
|------|---|
| 1500 | Окисла $6,05 \cdot 10^{-7} *3$ |
| 2000 | » $3,99 \cdot 10^{-2}$ |
| 2500 | » $27,8$ |
| 3000 | » $1,73 \cdot 10^3$ |
| 1500 | Металла $4,78 \cdot 10^{-7} *3$ |
| 2000 | » $1,77 \cdot 10^{-2}$ |
| 2500 | » $9,27$ |
| 3000 | » $5,28 \cdot 10^2$ |
| 1500 | Атомарного кислорода $3,38 \cdot 10^{-7} *3$ |
| 2000 | » » $1,16 \cdot 10^{-7}$ |
| 2500 | » » $5,92$ |
| 3000 | » » $3,43 \cdot 10^2$ |
| 1500 | Молекулярного кислорода $6,94 \cdot 10^{-8} *3$ |
| 2000 | » » $3,04 \cdot 10^{-3}$ |
| 2500 | » » $1,67$ |
| 3000 | » » $91,9$ |
| 1500 | Общее $1,49 \cdot 10^{-6} *3$ |
| 2000 | » $7,19 \cdot 10^{-2}$ |
| 2500 | » $44,6$ |
| 3000 | » $2,69 \cdot 10^3$ |
| 2000 | » $2,53 \cdot 10^{-2}$ |

| 1 | 2 |
|--|--|
| 1617—1728 293 800 2800 4800 1000—2860 2860— $T_{\text{кпп}}$ | $\lg p = 12,26 - 27400/T^{*16}$ Оксида $6,598 \cdot 10^{-89*3}$ » $3,755 \cdot 10^{-24}$ » $4,413 \cdot 10^2$ » $1,105 \cdot 10^6$ Общее $\lg p = 12,85 - 28020/T$ » $\lg p = 11,22 - 23370/T$ |
| | Sc_2O_3 |
| 2400—2573 2173—2473 2551 2567 2551 2567 | $\text{ScO} \lg p = 12,59 - 32800/T$ $\text{ScO} \lg p = 14,42 - 37400/T$ 0,582 0,796 Атомарного кислорода 0,148 » » 0,203 |
| | TiO |
| 1847—1968 1000—2020 2020—... 1000—1980 1980—2020 2020—3330 | $\lg p = 15,44 - 29421/T - 0,583 \cdot 10^{-3} T^{*17}$ Общее $\lg p = 14,24 - 29560/T^{*18}$ » $\lg p = 12,70 - 26450/T$ » $\lg p = 13,42 - 26320/T^{*19}$ » $\lg p = 11,74 - 23000/T$ » $\lg p = 12,19 - 23910/T$ |
| | Ti_2O_3 |
| 1971—2151 | $\lg(p_{\text{TiO}} p_{\text{TiO}_2}) = 31,68 - 64700/T - 1,26 \cdot 10^{-3} T^{*17}$ |
| | TiO_2 |
| 1000—2020 1849—2010 298—2113 | Общее $\lg p = 14,37 - 300060/T^{*1}$ $\lg p = 16,20 - 30361/T - 0,492 \cdot 10^{-3} T^{*20}$ $\lg p = 13,618 - 29945/T^{*21}$ |
| | VO |
| 298—1950 | $\lg p = 13,028 - 26820/T$ |
| | V_2O_5 |
| $T_{\text{пл}}—1500$ 1215—1530 750—850 835—940 870—950 | $\lg p = 7,17 - 7100/T^{*2}$ $\lg p = 4,64 - 5905/T^{*22}$ $\lg p (\text{O}_2) = 18,20 - 16300/T^{*1}$ $\lg p (\text{V}_4\text{O}_{10}) = 7,32 - 9800/T^{*1}$ $\lg p (\text{V}_6\text{O}_{14}) = 6,50 - 9500/T^{*1}$ |

Cr₂O₃

1690—1930
1820—2020
1840—2010

$$\begin{aligned}\lg p(\text{Cr}) &= 13,77 - 27\,350/T \\ \lg p(\text{CrO}) &= 10,55 - 23\,256/T \\ \lg p(\text{CrO}_2) &= 14,14 - 30\,769/T\end{aligned}$$

MnO

—
1000—2058
2058—3000

$$\begin{aligned}\text{Окисла } \lg p &= 14,540 - 26\,400/T - 5,72 \cdot 10^{-4} T^{*23} \\ \text{Общее } \lg p &= 11,62 - 21\,880/T^{*1} \\ \gg \lg p &= 10,861 - 20\,320/T^{*2}\end{aligned}$$

FeO

843—3000
—
—

$$\begin{aligned}\text{Окисла } \lg p &= 14,56 - 27\,016/T - 0,55 \cdot 10^{-3} T \\ \lg p &= 14,70 - 24\,200/T^{*1}, ^{*3} \\ \lg p &= 13,72 - 22\,580/T^{*2}, ^{*3}\end{aligned}$$

Fe₃O₄

—
—

$$\begin{aligned}\lg p &= 14,24 - 22\,780/T^{*1}, ^{*3} \\ \lg p &= 10,38 - 15\,560/T^{*2}, ^{*3}\end{aligned}$$

CoO

1000—2000

$$\text{Окисла } \lg p = 14,75 - 26\,670/T - 4,37 \cdot 10^{-4} T^{*3}$$

NiO

1438—1566
298—1600

$$\begin{aligned}\text{Окисла } \lg p &= 5,01 - 25\,568/T - 7,67 \cdot 10^{-4} T + \\ &\quad + 7,21 \cdot 10^{-8} T^2 {}^{*24} \\ \lg p &= 15,20 - 25\,500/T - 0,767 \cdot 10^{-3} T + 7,21 \times \\ &\quad \times 10^{-8} T^2\end{aligned}$$

CuO

873
1073
1223

$$\begin{aligned}\text{Общее } \lg p &= 178,65 \cdot 10^{-7} \\ \gg \lg p &= 153,32 \cdot 10^{-4} \\ \gg \lg p &= 906,59 \cdot 10^{-4}\end{aligned}$$

ZnO

1573
1673
1773

$$\begin{aligned}\text{Общее } \lg p &= 200 (160) {}^{*25} \\ \gg \lg p &= 400 (413) \\ \gg \lg p &= 1387\end{aligned}$$

Ga₂O₃

1796—1955

$$\lg p = 15,464 - 27\,098/T^{*1}$$

GeO

| | |
|---------|--------------------------------|
| 915—978 | $\lg p = 17,65 - 13770/T^{*1}$ |
| 1000 | Общее $\lg p = -12,575$ |
| 2000 | » $\lg p = -1,25$ |

GeO₂

| | |
|------------------------|---|
| 1000—1389 | Общее $\lg p = 14,11 - 17240/T^{*1}$ |
| 1389—2000 | » $\lg p = 12,26 - 14540/T^{*2}$ |
| 1000—1389 | $(\text{GeO}_2)_n \lg p = 14,99 - 22460/T^{*1}$ |
| 1389— $T_{\text{кип}}$ | $(\text{GeO}_2)_n \lg p = 14,81 - 22340/T^{*2}$ |
| — | $\text{GeO} \lg p = 13,42 - 11350/T^{*3}, *26$ |
| — | $\text{GeO} \lg p = 14,20 - 11980/T^{*26}, *27$ |
| 1150—1350 | Общее $0,133 - 1,33$ |
| 1153—1253 | $\lg p = 12,28 - 15620/T^{*1}, *28$ |
| 1313—1373 | $\lg p = 18,370 - 25517/T^{*2}, *28$ |

As₂O₃

| | |
|--------------------------------|---|
| 298—586 | $\lg p = 12,28 - 4880/T^{*29}$ |
| 298—506 | $\lg p = 15,82 - 6680/T^{*30}$ |
| $T_{\text{пл}}—T_{\text{кип}}$ | $\lg p = 2,12 - 3130/T^{*2}$ |
| 413—553 | Общее $\lg p = (13,48 \pm 0,06) - 5402/T^{*1}, *31$ |
| 413—573 | » $\lg p = (12,93 \pm 0,07) - 5246/T^{*1}, *32$ |
| 583—673 | » $\lg p = (8,64 \pm 0,06) - 2788/T^{*2}$ |

SeO₂

| | |
|------------------------|---------------------------------------|
| 298— $T_{\text{субл}}$ | $\lg p = 23,52 - 6170/T - 3,02 \lg T$ |
| 523—663 | $\lg p = 14,63 - 5740/T^{*1}$ |
| 533—663 | $\lg p = 12,63 - 4420/T^{*2}$ |

SeO₃

| | |
|---------|-------------------------------|
| 400—453 | $\lg p = 9,327 - 2562/T^{*2}$ |
|---------|-------------------------------|

SrO

| | |
|------|--|
| 1500 | Окисла $1,08 \cdot 10^{-5} *3$ |
| 2000 | » $0,274$ |
| 2500 | » $1,06 \cdot 10^3$ |
| 3000 | » $3,96 \cdot 10^3$ |
| 1500 | Металла $4,56 \cdot 10^{-6} *3$ |
| 2000 | » $8,18 \cdot 10^{-2}$ |
| 2500 | » $27,5$ |
| 3000 | » $1,07 \cdot 10^3$ |
| 1500 | Атомарного кислорода $1,57 \cdot 10^{-6} *3$ |
| 2000 | » $3,29 \cdot 10^{-2}$ |

| 1 | 2 |
|--|--|
| 2500 | Атомарного кислорода 12,5 |
| 3000 | » » $5,72 \cdot 10^2$ |
| 1500 | Молекулярного кислорода $1,50 \cdot 10^{-6} *3$ |
| 2000 | » » $2,43 \cdot 10^{-2}$ |
| 2500 | » » 7,52 |
| 3000 | » » $2,55 \cdot 10^2$ |
| 1500 | Общее $1,84 \cdot 10^{-5} *3$ |
| 2000 | » 0,412 |
| 2500 | » $1,53 \cdot 10^2$ |
| 3000 | » $5,86 \cdot 10^3$ |
| 1495—1635 | $\lg p = 15,48 - 30700/T^{*16}$ |
| 1290—1650 | $\lg p = 9,264 - 23660/T + 0,5 \lg T^{*33}$ |
| 293 | Окисла $4,009 \cdot 10^{-81} *3$ |
| 800 | » $1,791 \cdot 10^{-21}$ |
| 2800 | » $1,219 \cdot 10^3$ |
| 4800 | » $1,399 \cdot 10^6$ |
| 1000—2730 | Общее $\lg p = 13,62 - 26130/T$ |
| 2730— $T_{\text{кип}}$ | » $\lg p = 11,127 - 22070/T$ |
| Y_2O_3 | |
| 2500 | YO 0,274 |
| 2600 | YO 0,874 |
| 2700 | YO 2,432 |
| 2500 | Атомарного кислорода 0,0537 |
| 2600 | » » 0,1712 |
| 2700 | » » 0,4357 |
| 2493—2703 | Общее $\lg p = 13,82 - 36150/T$ |
| ZrO_2 | |
| 2000 | Общее $3,28 \cdot 10^{-9}$ |
| 2273 | » 8,00 |
| 3273 | » $2,13 \cdot 10^2$ |
| 2014—2290 | $\lg p = 16,99 - 34383/T - 7,98 \cdot 10^{-4} T$ |
| 2200—2500 | $\lg p = 13,312 - 37421/T$ |
| 1000—2950 | Общее $\lg p = 13,94 - 37150/T$ |
| 2950— $T_{\text{кип}}$ | » $\lg p = 12,60 - 33170/T$ |
| 1000—1478 | ZrO $\lg p = 14,15 - 32860/T$ |
| 1478—2128 | ZrO $\lg p = 13,74 - 32200/T$ |
| 2128—2950 | ZrO $\lg p = 13,321 - 31320/T$ |
| 2950— $T_{\text{кип}}$ | ZrO $\lg p = 12,21 - 28020/T$ |
| 293 | Окисла $4,785 \cdot 10^{-118} *3$ |
| 800 | » $2,025 \cdot 10^{-34}$ |
| 2800 | » 1,259 |
| 4800 | » $5,550 \cdot 10^4$ |
| NbO_2 | |
| 1938 | Общее 0,0803 |
| 2031 | » 0,425 |

| 1 | 2 |
|----------------------------------|---|
| 2081 | Общее 1,006 |
| 2122 | » 1,493 |
| 2213—2393 | $\lg p = 14,54 - 30300/T$ |
| | Nb₂O₅ |
| 1653 | Общее $11,47 \cdot 10^{-4}$ |
| 1723 | » $2,40 \cdot 10^{-3}$ |
| | MoO₃ |
| 298—1066 | $\lg p = 32,81 - 16140/T - 5,53 \lg T$ |
| — | $\lg p = 14,077 - 15110/T + 1,46 \lg T - 1,32 \times$ $\times 10^{-2} T^{*1, *34}$ |
| $T_{\text{пл}} - T_{\text{кип}}$ | $\lg p = 36,19 - 14560/T - 7,04 \lg T^{*2}$ |
| 298— $T_{\text{пл}}$ | $\lg p = 34,20 - 16150/T - 5,53 \lg T^{*4, *35}$ |
| $T_{\text{пл}} - T_{\text{кип}}$ | $\lg p = 36,66 - 14110/T - 7,08 \lg T$ |
| 873 | (MoO ₃) _n 0,616 |
| 898 | (MoO ₃) _n 1,49 |
| 923 | (MoO ₃) _n 6,91 |
| 948 | (MoO ₃) _n 20,5 |
| 973 | (MoO ₃) _n 47,5 |
| — | $4,576 \lg p = (85,2 \pm 0,2) - 75400/T^{*1}$ |
| — | $4,576 \lg p = 47,48 - 35200/T^{*2}$ |
| | Tc₂O₇ |
| — | $\lg p = 20,404 - 7205/T \pm 8\%^{*1}$ |
| — | $\lg p = 11,124 - 3571/T \pm 1\%^{*2}$ |
| | CdO |
| 1773 | Общее $10,13 \cdot 10^4$ |
| 298— $T_{\text{субл}}$ | $\lg p = 18,95 - 14590/T - 1,76 \lg T$ |
| | In₂O₃ |
| 1563—1763 | $\lg p = 16,478 - 27791/T$ |
| | SnO |
| — | $\lg p = 12,900 - 13160/T^{*36}$ |
| | SnO₂ |
| 1623—1748 | $\lg p = 18,6 - 28800/T^{*37}$ |
| | Sb₂O₃ |
| 742—914 | $\lg p = 13,437 - 9625/T^{*38}$ |
| 742—839 | $\lg p = 14,320 - 10360/T^{*39}$ |
| 929—1073 | $\lg p = 7,262 - 3900/T^{*2}$ |

| 1 | 2 |
|---------------------------------|--|
| 773—929 773— $T_{\text{пл}}$ | Общее $\lg p = (13,86 \pm 0,07) - 9568/T^{*40}$ » $\lg p = (13,47 \pm 0,08) - 9535/T^{*41}$ |
| | TeO₃ |
| 298— $T_{\text{пл}}$ | $\lg p = 25,63 - 13\,940/T - 3,52 \lg T^{*42}$ |
| | Cs₂O |
| 298—1800 | $\lg p = 13,74 - 33\,880/T$ |
| | BaO |
| 1500 | Окисла $1,71 \cdot 10^{-2} *3$ |
| 2000 | » $46,3$ |
| 2500 | » $3,17 \cdot 10^3$ |
| 3000 | » $3,85 \cdot 10^4$ |
| 1500 | Металла $4,62 \cdot 10^{-6} *3$ |
| 2000 | » $6,67 \cdot 10^{-2}$ |
| 2500 | » $16,0$ |
| 3000 | » $5,45 \cdot 10^2$ |
| 1500 | Атомарного кислорода $1,58 \cdot 10^{-6} *3$ |
| 2000 | » » $1,90 \cdot 10^{-2}$ |
| 2500 | » » $8,72$ |
| 3000 | » » $3,52 \cdot 10^2$ |
| 1500 | Молекулярного кислорода $1,52 \cdot 10^{-6} *3$ |
| 2000 | » » $1,87 \cdot 10^{-2}$ |
| 2500 | » » $3,64$ |
| 3000 | » » $96,3$ |
| 1500 | Общее $1,71 \cdot 10^{-2} *3$ |
| 2000 | » $46,4$ |
| 2500 | » $3,19 \cdot 10^3$ |
| 3000 | » $3,95 \cdot 10^4$ |
| — | Окисла $\lg p = 12,12 - 21\,900/T$ |
| — | Металла $\lg p = 9,936 - 9718/T$ |
| 1200—1700 | $\lg p = 10,99 - 19\,700/T$ |
| 1200—1555 | $\lg p = 15,57 - 26\,000/T$ |
| 1200—1800 | $\lg p = 10,76 - 19\,400/T$ |
| 1100—1500 | $\lg p = 11,72 - 20\,000/T$ |
| 293 | Окисла $6,889 \cdot 10^{-63} *3$ |
| 800 | » $3,667 \cdot 10^{-15}$ |
| 2800 | » $1,361 \cdot 10^4$ |
| 4800 | » $2,454 \cdot 10^6$ |
| 1000—2196 | Общее $\lg p = 12,10 - 21\,110/T$ |
| 2196— $T_{\text{кип}}$ | » $\lg p = 10,130 - 16\,800/T$ |
| | La₂O₃ |
| — | Металла $\lg p = 10,36 - 20\,850/T^{*43}$ |
| — | LaO $\lg p = 12,54 - 23\,360/T^{*43}$ |

| 1 | 2 |
|---|--|
| — | $\text{LaO} \lg p = 12,33 - 28\,500/T$ |
| 2234 | $\text{LaO } 0,4908$ |
| 2307 | $\text{LaO } 1,062$ |
| 2353 | $\text{LaO } 2,382$ |
| 2412 | $\text{LaO } 3,842$ |
| 2441 | $\text{LaO } 5,619$ |
| 2234 | Атомарного кислорода 0,0787 |
| 2307 | » » 0,1702 |
| 2353 | » » 0,3820 |
| 2412 | » » 0,6162 |
| 2441 | » » 0,9013 |
| 2233—2443 | Общее $\lg p = 13,03 - 29\,370/T$ |
| 4473 | $\gg 1,013 \cdot 10^5$ |
| CeO_2 | |
| 1800 | Атомарного кислорода 1,013 |
| Pr_2O_3 | |
| 2000 | $\text{PrO } 0,0101$ |
| 2000 | $\text{PrO}_2 < 5,07 \cdot 10^{-4}$ |
| 2000 | Металла $1,013 \cdot 10^{-3}$ |
| Nd_2O_3 | |
| 2000 | $\text{NdO} < 5,07 \cdot 10^{-3}$ |
| 2000 | Металла $< 5,07 \cdot 10^{-4}$ |
| — | $\text{NdO} \lg p = 10,67 - 24\,800/T$ |
| 2255 | » 0,502 |
| 2281 | » 0,664 |
| 2306 | » 0,858 |
| 2332 | » 1,117 |
| 2383 | » 1,692 |
| 2434 | » 2,676 |
| 2255 | Атомарного кислорода 0,080 |
| 2281 | » » 0,108 |
| 2306 | » » 0,137 |
| 2332 | » » 0,178 |
| 2383 | » » 0,270 |
| 2434 | » » 0,427 |
| 2253—2433 | Общее $\lg p = 12,89 - 29\,370/T$ |
| Sm_2O_3 | |
| 2000 | $\text{SmO}, \text{ Sm} \approx 3,04 \cdot 10^{-4}$ |
| — | $\text{SmO} \lg p = 13,30 - 31\,800/T$ |
| EuO | |
| 1334—1758 | $\text{Металла } \lg p = (11,27 \pm 0,13) - (16\,590 \pm 205)/T$ |

| 1 | 2 |
|----------------------|--|
| | Eu₃O₄ |
| 1604—2016 | Металла $\lg p = (11,17 \pm 0,18) - (18\,840 \pm 305)/T$ |
| | Eu₂O₃ |
| 2000 | Металла $\approx 7,09 \cdot 10^{-3}$ |
| 2000 | EuO $\approx 9,12 \cdot 10^{-4}$ |
| — | EuO $\lg p = 14,58 - 30\,400/T$ |
| | Gd₂O₃ |
| — | GdO $\lg p = 14,06 - 34\,200/T$ |
| | Er₂O₃ |
| — | ErO $\lg p = 12,62 - 33\,100/T$ |
| | Tu₂O₃ |
| 2300 | Металла 0,1013 |
| | Yb₂O₃ |
| 2300 | Металла 0,1013 |
| — | $\lg p = 11,72 - 29\,600/T$ |
| | Lu₂O₃ |
| 2300 | LuO 0,0101 |
| | HfO₂ |
| 2940 | Общее 3,039* ⁴⁴ |
| | WO₃ |
| 1000— $T_{пл}$ | $\lg p = 17,75 - 24\,600/T$ |
| | ReO₃ |
| 923—1058 | $\lg p = 10,89 - 14\,347/T^{*1}$ |
| | ReO₃ |
| 598—693 | $\lg p = 14,40 - 10\,882/T^{*1}$ |
| 573—713 | $\lg p = 9,870 - 4966/T$ |
| | Re₂O₇ |
| — | $\lg p = 14,90 - 7320/T^{*1}$ |
| 523—598 | $\lg p = 15,14 - 6416,9/T^{*45}$ |
| 273— $T_{пл}$ | $\lg p = 17,12 - 7300/T$ |
| $T_{пл}$ — $T_{кпп}$ | $\lg p = 11,22 - 3950/T$ |

ReO₄

473—593

$$\lg p = 7,6100 - 1738,7/T$$

OsO₄

273—315

$$\lg p = 12,82 - 2580/T^{*46}$$

273—329

$$\lg p = 11,76 - 2955/T^{*47}$$

 $T_{\text{пл}} - T_{\text{кип}}$

$$\lg p = 10,13 - 2065/T$$

Tl₂O

453—588

$$\lg p = 13,63 - 6612/T$$

PbO

887—1151

$$\lg p = 13,71 - 13\,900/T^{*48}$$

 $T_{\text{пл}} - T_{\text{кип}}$

$$\lg p = 16,48 - 13\,480/T - 0,92 \lg T - 0,35 \times 10^{-3} T^{*49}$$

 $T_{\text{пл}} - T_{\text{кип}}$

$$\lg p = 16,97 - 13\,300/T - 0,81 \lg T - 0,43 \cdot 10^{-3} T$$

 $T_{\text{пл}} - T_{\text{кип}}$

$$\lg p = 21,59 - 13\,310/T - 2,77 \lg T^{*50}$$

273

$$\text{Окисла } 2,510 \cdot 10^{-34} *3$$

800

$$\gg 2,034 \cdot 10^{-4}$$

2800

$$\gg 10,116 \cdot 10^6$$

ThO₂

1200

$$\text{Общее } 133 \cdot 10^{-15}$$

2050—2250

$$\lg p = 13,65 - 37\,100/T$$

2500—2900

$$\lg p = 12,991 - 34\,890/T$$

2000—3273

$$\lg p = 12,21 - 31\,600/T$$

1000—3273

$$\text{Общее } \lg p = 14,51 - 37\,610/T$$

1000—3278

$$\gg \lg p = 13,26 - 30\,830/T^{*50}$$

UO

2000

$$\text{Общее } 1,013 *3$$

UO₂

1600—2800 | Общее $\lg p = 15,423 - 37,195/T + 3,5162 \cdot 10^6 \cdot T^2 + 2,6178 \cdot 10^9 / T^3$

1603—1803 | $\lg p = 12,181 - 38,220/T^{*51}$

UO₃

1600 | Общее 10,13^{*3}

PuO₂

> 1793 | $\lg p = 13,135 - 27,900/T$

— | $\lg p = 13,078 - 29,240/T$

Am₂O₃

4540 | Общее $1,013 \cdot 10^5$

1000—1340 | Атомарного кислорода $\lg p = 11,835 - 31,690/T^{*3}$

1340—2225 | » » $\lg p = 11,592 - 31,280/T$

1000—1340 | Молекулярного кислорода $\lg p = 11,761 - 36,870/T^{*3}$

1340—2225 | » » $\lg p = 11,149 - 36,050/T$

1000—1340 | Металла $\lg p = 11,358 - 31,560/T^{*3}$

1340—2225 | » $\lg p = 11,149 - 31,280/T$

1000—1340 | AmO $\lg p = 12,027 - 32,000/T^{*3}$

1340—2225 | AmO $\lg p = 11,512 - 31,310/T$

1000—1340 | Общее $\lg p = 12,280 - 31,790/T^{*3}$

1340—2225 | » $\lg p = 11,899 - 31,280/T$

^{*1} Над твердой фазой. ^{*2} Над жидккой фазой. ^{*3} Расчетные значения.
^{*4} Метод Кнудсена. ^{*5} Над твердой фазой при температуре жидкого H₂.
^{*6} Смесь NO₂ и N₂O₄. ^{*7} По данным Гюнтера, Гельда, Коинева. ^{*8} По данным Шефера, Хорнле. ^{*9} По данным Портера, Чулка. ^{*10} Кристобалит. ^{*11} Пар α-P₄O₁₀. ^{*12} Метастабильный P₂O₅, пар P₄O₁₀. ^{*13} α-SO₃. ^{*14} β-SO₃. ^{*15} γ-SO₃.
^{*16} Метод Лэнгмюра, Клаасен. ^{*17} Метод Кнудсена, Грове. ^{*18} Над конденсированным TiO. ^{*19} Над системой Ti(t)-TiO(t). ^{*20} По данным Грове. ^{*21} Анализ. ^{*22} V₂O₁₀. ^{*23} При возгонке. ^{*24} Метод Лэнгмюра. ^{*25} Файзер, данные требуют подтверждения. ^{*26} Над системой Ge—GeO₂. ^{*27} Данные эксперимента. ^{*28} Нерастворимая форма. ^{*29} Клаудетит I, пар As₄O₆. ^{*30} Арсенолит, пар As₄O₆.
^{*31} Арсенолит. ^{*32} Клаудетит. ^{*33} Метод Лэнгмюра, Мур. ^{*34} Келли. ^{*35} Метод Кубашевского, Эванса. ^{*36} По данным Платтеева, Мейера. ^{*37} По данным Файзера, Веселовского. ^{*38} Ромбический, пар Sb₄O₆. ^{*39} Кубический, Sb₄O₆, пар.
^{*40} Сенармонит, давление сублимации. ^{*41} Валентин, давление сублимации. ^{*42} Теллурит. ^{*43} Вдоль низкокислородной границы поля La₂O₃. ^{*44} Вольфрамовая эфузионная яйка. ^{*45} Порошок 99,99% Re. ^{*46} Тетрагональный. ^{*47} Кубический. ^{*48} Pb₂O. ^{*49} Желтый. ^{*50} Над системой Th—ThO₃. ^{*51} Уранинит, пар U₂O₄. В тех случаях, когда не указано, к какому компоненту окисла относится давление, следует считать, что данные относятся к общему давлению паров окисла.

26. ДАВЛЕНИЕ ДИССОЦИАЦИИ

[1; 62; 174; 182; 184; 195; 202]

| Температура или интервал, К | Давление диссоциации p , уравнение давления диссоциации, Па |
|-----------------------------------|--|
| 1 | 2 |
| | Li_2O_2 |
| 468 | $1,013 \cdot 10^5$ |
| | BeO |
| 2000 | $6,69 \cdot 10^{-4}$ |
| 298—1556 | $\lg p_{\text{O}_2} = 17,27 - 62,710/T - 0,726 \lg T^*1$ |
| 1556—2673 | $\lg p_{\text{O}_2} = 17,98 - 63,710/T - 0,726 \lg T$ |
| 298—1556 | $\lg p_{\text{O}} = 14,62 - 44,540/T - 0,363 \lg T$ |
| 1556—2673 | $\lg p_{\text{O}} = 14,97 - 45,080/T - 0,363 \lg T$ |
| 1000 | $\lg p_{\text{O}_2} = -24,78^*2$ |
| 2000 | $\lg p_{\text{O}_2} = -4,494$ |
| 3000 | $\lg p_{\text{O}_2} = +1,01$ |
| 1000 | $\lg p_{\text{O}} = -28,19$ |
| 2000 | $\lg p_{\text{O}} = -2,920$ |
| 3000 | $\lg p_{\text{O}} = +2,06$ |
| | MgO |
| 2000 | 0,506 |
| 923—1380 | $\lg p_{\text{O}_2} = 16,79 - 63,540/T - 0,11 \lg T^*3$ |
| 923—1380 | $\lg p_{\text{O}} = 14,37 - 45,000/T - 0,05 \lg T$ |
| 1000 | $\lg p_{\text{O}_2} = -13,648^*2$ |
| 2000 | $\lg p_{\text{O}_2} = -0,787$ |
| 3075 | $\lg p_{\text{O}_2} = +3,560$ |
| 1000 | $\lg p_{\text{O}} = -14,126$ |
| 2000 | $\lg p_{\text{O}} = -1,068$ |
| 3075 | $\lg p_{\text{O}} = +3,442$ |
| | Al_2O_3 |
| 2000 | $2,63 \cdot 10^{-3}$ |
| 1000 | $\lg p_{\text{O}_2} = -23,135^*2$ |

| 1 | 2 |
|------|------------------------|
| 2000 | $\lg p_{O_2} = -4,581$ |
| 3000 | $\lg p_{O_2} = +1,318$ |
| 1000 | $\lg p_O = -18,871$ |
| 2000 | $\lg p_O = -2,965$ |
| 3000 | $\lg p_O = +2,213$ |

SiO

| | |
|-----------|---------------------------------------|
| 298—1690 | $\lg p_{O_2} = 13,05 - 44,240/T^{*4}$ |
| 1690—2075 | $\lg p_{O_2} = 16,17 - 49,520/T$ |
| 1000 | $\lg p_{O_2} = -28,03^{*2}$ |
| 2000 | $\lg p_{O_2} = -7,70$ |
| 3000 | $\lg p_{O_2} = -0,964$ |
| 1000 | $\lg p_O = -21,319$ |
| 2000 | $\lg p_O = -4,52$ |
| 3000 | $\lg p_O = +1,08$ |

SiO₂

| | |
|------|------------------------------|
| 1000 | $\lg p_{O_2} = -13,150^{*2}$ |
| 2000 | $\lg p_{O_2} = +0,258$ |
| 3000 | $\lg p_{O_2} = +4,492$ |
| 1000 | $\lg p_O = -13,877$ |
| 2000 | $\lg p_O = -0,543$ |
| 3000 | $\lg p_O = +3,799$ |

CaO

| | |
|-----------|---------------------------------------|
| 2000 | $2,13 \cdot 10^{-3}$ |
| 298—1122 | $\lg p_{O_2} = 15,35 - 66,150/T^{*5}$ |
| 1122—1760 | $\lg p_{O_2} = 16,22 - 67,130/T$ |
| 298—1122 | $\lg p_O = 13,65 - 46,260/T$ |
| 1122—1760 | $\lg p_O = 14,09 - 46,750/T$ |
| 1000 | $\lg p_{O_2} = -16,60^{*2}$ |
| 2000 | $\lg p_{O_2} = -2,519$ |
| 3500 | $\lg p_{O_2} = +3,060$ |

| 1 | 2 |
|------------------------------------|--|
| 1000 | $\lg p_O = -15,60^{*2}$ |
| 2000 | $\lg p_O = -1,93$ |
| 3500 | $\lg p_O = +3,713$ |
| TiO | |
| 298—1980 | $\lg p_{O_2} = 19,95 - 59,280/T - 1,57 \lg T^{*6, *7}$ |
| 1980—2020 | $\lg p_{O_2} = 20,96 - 61,250/T - 1,57 \lg T$ |
| 2020—3240 | $\lg p_{O_2} = 17,93 - 55,130/T - 1,57 \lg T$ |
| 1000 | $\lg p_{O_2} (\max) = -39,09^{*8}$ |
| 1000 | $\lg p_{O_2} (\min) = -36,49$ |
| 1000 | $\lg p_{O_2} = -31,514^{*2}$ |
| 2020 | $\lg p_{O_2} = -9,526$ |
| 3240 | $\lg p_{O_2} = -1,666$ |
| 1000 | $\lg p_O = -23,059^{*2}$ |
| 2020 | $\lg p_O = -5,374$ |
| 3240 | $\lg p_O = +1,151$ |
| Ti₂O₃ | |
| 1000 | $\lg p_{O_2} (\max) = -36,49^{*8}$ |
| 1000 | $\lg p_{O_2} (\min) = -25,09$ |
| 1000 | $\lg p_{O_2} = -33,15^{*6, *9}$ |
| 1873 | $\lg p_{O_2} = -12,43$ |
| 1000 | $\lg p_O = -23,87^{*6, *9}$ |
| 1873 | $\lg p_O = -7,35$ |
| 1000 | $\lg p_{O_2} = -25,478^{*2}$ |
| 2020 | $\lg p_{O_2} = -6,16$ |
| 2400 | $\lg p_{O_2} = -2,84$ |
| 1000 | $\lg p_O = -20,041$ |
| 2020 | $\lg p_O = -3,69$ |
| 2400 | $\lg p_O = -0,98$ |
| Ti₃O₅ | |
| 1000 | $\lg p_{O_2} = -25,07^{*2, *10}$ |

| 1 | 2 |
|-----------|--|
| 2020 | $\lg p_{O_2} = -6,24$ |
| 1000 | $\lg p_O = -19,839^{*2}, *10$ |
| 2020 | $\lg p_O = -3,73$ |
| 1100—1323 | $\lg p_{O_2}^* = 14,56 - 36,800/T^{*11}$ |

TiO_2

| | |
|----------|---|
| 1000 | $\lg p_{O_2} \text{ (max)} = -20,69^{*8}$ |
| 2000 | $1,52 \cdot 10^{-5}$ |
| 298—2183 | $\lg p_{O_2} = 15,06 - 31,910/T^{*2}$ |
| 1000 | $\lg p_O = -15,73^{*2}$ |
| 2020 | $\lg p_O = -0,98$ |

TiO_x

| | |
|------|--|
| 1400 | $5,77 \cdot 10^{-11}^{*2}, *12; 6,15 \cdot 10^{-11}^{*2}, *13$ |
| » | $7,19 \cdot 10^{-11}^{*2}, *14; 7,90 \cdot 10^{-11}^{*2}, *15$ |
| » | $7,70 \cdot 10^{-11}^{*2}, *16; 9,12 \cdot 10^{-11}^{*2}, *17$ |

VO

| | |
|------|--|
| 1000 | $\lg p_{O_2} \text{ (max)} = -29,5^{*8} \quad \lg p_{O_2} \text{ (min)} = -28,2$ |
|------|--|

V_2O_3

| | |
|---|--|
| — | $\lg p_{O_2} = 15,61 - 40,600/T^{*18}$ |
|---|--|

V_3O_5

| | |
|-----------|--|
| 1400—1700 | $\lg p_{O_2} = 11,91 - 19,400/T^{*19}$ |
|-----------|--|

V_4O_7

| | |
|------|-----------------------------|
| 1400 | $\lg p_{O_2} = -3,62^{*20}$ |
| 1500 | $\lg p_{O_2} = -2,58^{*21}$ |
| 1600 | $\lg p_{O_2} = -1,59^{*22}$ |
| 1700 | $\lg p_{O_2} = -0,67^{*23}$ |

VO₂

| | |
|-----------|--------------------------------------|
| 1000—1120 | $\lg p_{O_2} = 5,51 - 11200/T^{*24}$ |
| 1120 | $\lg p_{O_2} = 6,06 - 11020/T$ |

MnO

| | |
|-----------|--|
| 1000 | $\lg p_{O_2} (\max) = -29,7^{*8}$ |
| 1000 | $\lg p_{O_2} (\min) = -5,7$ |
| 1517—2058 | $\lg p_{O_2} = 13,63 - 41700/T^{*6,*25}$ |
| 2058—2368 | $\lg p_{O_2} = 10,54 - 35410/T$ |
| 298—1517 | $\lg p_O = 12,29 - 33280/T^{*6,*25}$ |
| 1517—2058 | $\lg p_O = 12,79 - 34030/T$ |
| 2058—2368 | $\lg p_O = 11,24 - 30910/T$ |
| 1000 | $\lg p_{O_2} = -10,74^{*2}$ |
| 2000 | $\lg p_{O_2} = +0,09$ |
| 3000 | $\lg p_{O_2} = +3,300$ |
| 1000 | $\lg p_O = -12,57^{*2}$ |
| 2000 | $\lg p_O = -0,57$ |
| 3000 | $\lg p_O = +3,238$ |

Mn₃O₄

| | |
|-----------|--|
| 1073 | 1373,2 ^{*26} |
| 1173 | 1106,6 |
| 1273 | 906,6 |
| 1373 | 733,3 |
| 1473 | 573,3 |
| 800—1445 | $\lg p_{O_2} = 18,574 - 23750/T^{*8}$ |
| 1445—1800 | $\lg p_{O_2} = 16,073 - 20170/T$ |
| 800—1445 | $\lg p_{O_2} = 19,02 - 26270/T^{*6,*27}$ |
| 1445—1773 | $\lg p_{O_2} = 19,60 - 27110/T$ |

Mn₂O₃

| | |
|----------|---------------------------------------|
| 849—1029 | $\lg p_{O_2} = 13,06 - 10100/T^{*28}$ |
|----------|---------------------------------------|

| 1 | 2 |
|-----------|--|
| 1152—1257 | $\lg p_{O_2} = 12,59 - 9520/T$ |
| — | $\lg p_{O_2} = 13,629 - 10\,910/T$ |
| | MnO₂ |
| — | $\lg p_{O_2} = 13,132 - 6890/T$ |
| | FeO |
| 1023 | $213,58 \cdot 10^{-17}$ |
| 1223 | $198,65 \cdot 10^{-11}$ |
| 2723 | $21,27 \cdot 10^{-3}$ |
| 1000 | $\lg p_{O_2} (\max) = -15,5^{*8}; \lg p_{O_2} (\min) = -14,2$ |
| 813—1473 | $\lg p_{O_2} = (11,62 \pm 0,02) - (27\,300 \pm 20)/T^{*8}, ^{*29}$ |
| 923—1623 | $\lg p_{O_2} = (11,68 \pm 0,02) - (27\,360 \pm 50)/T$ |
| 1000 | $\lg p_{O_2} = -15,78^{*6}, ^{*30}$ |
| 2000 | $\lg p_{O_2} = -2,33$ |
| 3000 | $\lg p_{O_2} = +1,83$ |
| 830—1670 | $\lg p_{O_2} = 11,73 - 27\,500/T$ |
| 1000 | $\lg p_O = -15,19^{*6}, ^{*30}$ |
| 2000 | $\lg p_O = -1,84$ |
| 3000 | $\lg p_O = +2,47$ |
| 1000 | $\lg p_{O_2} = -11,01^{*31}$ |
| 2000 | $\lg p_{O_2} = +0,22$ |
| 3000 | $\lg p_{O_2} = +3,63$ |
| 660—1670 | $\lg p_{O_2} = 11,76 - 22\,740/T$ |
| 1000 | $\lg p_O = -12,69^{*31}$ |
| 2000 | $\lg p_O = -0,50$ |
| 3000 | $\lg p_O = +3,401$ |
| | Fe₃O₄ |
| 996—1496 | $\lg p_{O_2} = 18,01 - 32\,500/T^{*8}, ^{*32}$ |
| 1173—1473 | $\lg p_{O_2} = (18,36 \pm 0,06) - (33\,210 \pm 90)/T^{*8}, ^{*32}$ |
| 1000 | $\lg p_{O_2} (\max) = -14,2^{*8}; \lg p_{O_2} (\min) = -9,0$ |

| 1 | 2 |
|-----------|--|
| 1452 | $\lg p_{O_2} = +1,06^{*8, *33}$; $\lg p_{O_2} = +2,08^{*8, *34}$ |
| 1581 | $\lg p_{O_2} = +1,61^{*8, *35}$; $\lg p_{O_2} = +2,14^{*8, *36}$ |
| | $\lg p_{O_2} = +3,599^{*8, *37}$ |
| 1666 | $\lg p_{O_2} = +1,93^{*8, *38}$; $\lg p_{O_2} = +2,24^{*8, *39}$ |
| | $\lg p_{O_2} = +3,60^{*8, *40}$; $\lg p_{O_2} = +4,314^{*8, *41}$ |
| 1731 | $\lg p_{O_2} = +2,15^{*8, *42}$; $\lg p_{O_2} = +2,35^{*8, *43}$ |
| | $\lg p_{O_2} = +3,61^{*8, *44}$; $\lg p_{O_2} = +4,324^{*8, *45}$ |
| | $\lg p_{O_2} = +5,01^{*8, *46}$ |
| 998 | $5,666 \cdot 10^{-15}$ |
| 1200 | $6,11 \cdot 10^{-10}$ |
| 1400 | $5,10 \cdot 10^{-6}$ |
| 1490—1600 | $\lg p_{O_2} = 19,568 - 34,400/T$ |
| 298—1642 | $\lg p_{O_2} = 18,09 - 32,650/T^{*6, *47}$ |
| 1642—1870 | $\lg p_{O_2} = 23,98 - 42,330/T^{*6, *47}$ |
| 700 | $\lg p_{O_2} = -21,59^{*31}$ |
| 1000 | $\lg p_{O_2} = -11,32$ |
| 1400 | $\lg p_{O_2} = -4,70$ |
| 1650 | $\lg p_{O_2} = -2,02$ |
| 670—1670 | $\lg p_{O_2} = 12,40 - 23,790/T$ |
| 700 | $\lg p_O = -23,74^{*31}$ |
| 1000 | $\lg p_O = -12,96$ |
| 1400 | $\lg p_O = -5,87$ |
| 1650 | $\lg p_O = -3,10$ |

Fe_2O_3

| | |
|-----------|--|
| 700 | $29,878 \cdot 10^{-25}$ |
| 1030—1200 | $\lg p_{O_2} = 19,11 - 25,200/T$ |
| 900—1000 | $\lg p_{O_2} = 11,14 - 13,750/T^{*48}$ |
| 843—1873 | $\lg p_{O_2} = 19,71 - 26,090/T^{*8}$ |

| 1 | 2 |
|-----------|---|
| 1373—1573 | $\lg p_{O_2} = 19,91 - 25\ 900/T^{*49}$ |
| 1193—1373 | $\lg p_{O_2} = 11,01 - 14\ 882/T$ |
| 1373—1703 | $\lg p_{O_2} = 9,01 - 32\ 406/T$ |

\mathbf{CoO}

| | |
|-----------|---|
| 298—1768 | $\lg p_{O_2} = 12,42 - 24\ 440/T^{*6}, \ *50$ |
| 1768—2077 | $\lg p_{O_2} = 13,32 - 26\ 080/T$ |
| 2077— | $\lg p_{O_2} = 10,60 - 20\ 390/T$ |
| 298—1768 | $\lg p_O = 12,18 - 25\ 280/T^{*6}, \ *50$ |
| 1768—2083 | $\lg p_O = 12,64 - 26\ 220/T$ |
| 2083— | $\lg p_O = 11,28 - 23\ 380/T$ |
| 1227 | $\lg p_{O_2} = 19,16 - 25\ 200/T^{*8}, \ *51$ |
| 1000 | $\lg p_{O_2 \ (\max)} = -9,5^{*8}$ |
| 1000 | $\lg p_{O_2 \ (\min)} = +2,5$ |
| 1000—1240 | $\lg p_{O_2} = 17,61 - 15\ 600/T^{*8}, \ *52$ |

$\mathbf{Co_3O_4}$

| | |
|------|------------------|
| 1073 | 1333 |
| 1243 | $102 \cdot 10^3$ |

\mathbf{NiO}

| | |
|-----------|---|
| 1000 | $\lg p_{O_2} = -10,24^{*6}, \ *53$ |
| 2000 | $\lg p_{O_2} = +2,71$ |
| 2500 | $\lg p_{O_2} = 5,15$ |
| 1000 | $\lg p_O = -12,42^{*6}, \ *50$ |
| 2000 | $\lg p_O = +0,68$ |
| 2500 | $\lg p_O = 3,24$ |
| 1000 | $\lg p_{O_2 \ (\max)} = -11,5^{*8}$ |
| 1000—1500 | $\lg p_{O_2} = 13,91 - 24\ 100/T^{*54}$ |

Ni₂O₃673 10 266^{*8, *55}

773 14 799

873 20 132

Cu₂O1000 $\lg p_{O_2} \text{ (max)} = -4,6^{*8}; \lg p_{O_2} \text{ (min)} = -2,0^{*8}$ 1000—1300 $\lg p_{O_2} = 12,57 - 17\ 390/T^{*56};$ » $\lg p_{O_2} = 14,03 - 12\ 780/T^{*57}$ » $\lg p_{O_2} = 10,57 - 10\ 800/T^{*58}$ 298 $3 \cdot 10^{-48}$ 473 $3 \cdot 10^{-47}$ 673 $1 \cdot 10^{-23}$

1337 0,019

1363 0,049

1423 0,187

1523 4,00

1623 30,66

— $\lg p_{O_2} = 14,423 - 17\ 940/T - 0,242 \lg T - 0,000641 \cdot T$ **GeO**1000 $\lg p_{O_2} = -14,30^{*2}$ 2000 $\lg p_{O_2} = -0,88$ 1000 $\lg p_O = -14,45^{*2}$ 2000 $\lg p_O = -1,12$ **GeO₂**700—1210 $\lg p_{O_2} = 14,38 - 28\ 870/T^{*6, *59}$ 1210—1389 $\lg p_{O_2} = 15,73 - 30\ 530/T^{*6, *59}$ 1389—2000 $\lg p_{O_2} = 13,23 - 27\ 190/T$ 1000 $\lg p_{O_2} = -3,61^{*2}$

| 1 | 2 |
|------|------------------------------|
| 2000 | $\lg p_{O_2} = +4,49$ |
| 1000 | $\lg p_O = -9,10^{*2}$ |
| 2000 | $\lg p_O = +1,57$ |
| 1100 | $5,07 \cdot 10^{-26} *_{60}$ |
| 1200 | $3,20 \cdot 10^{-24}$ |
| 1300 | $13,20 \cdot 10^{-23}$ |
| 1350 | $6,53 \cdot 10^{-22}$ |

SrO

| | |
|------|------------------------------|
| 2000 | $6,99 \cdot 10^{-2}$ |
| 1000 | $\lg p_{O_2} = -14,381^{*2}$ |
| 2000 | $\lg p_{O_2} = -5,614$ |
| 3500 | $\lg p_{O_2} = +3,402$ |
| 1000 | $\lg p_O = -14,494^{*2}$ |
| 2000 | $\lg p_O = -1,481$ |
| 3500 | $\lg p_O = +3,894$ |

Y_2O_3

| | |
|------|----------------------|
| 2000 | $1,62 \cdot 10^{-6}$ |
|------|----------------------|

ZrO_2

| | |
|-----------|---------------------------------|
| 2000 | $3,34 \cdot 10^{-9}$ |
| 1673—2673 | $\lg p_{O_2} = 8,01 - 22,800/T$ |
| 1000 | $\lg p_{O_2} = -32,54^{*2}$ |
| 2000 | $\lg p_{O_2} = -8,623$ |
| 2950 | $\lg p_{O_2} = -1,132$ |
| 4000 | $\lg p_{O_2} = +2,453$ |
| 1000 | $\lg p_O = -23,575^{*2}$ |
| 2000 | $\lg p_O = -4,986$ |
| 2950 | $\lg p_O = +0,911$ |
| 4000 | $\lg p_O = +3,899$ |

| 1 | 2 |
|------------------------|---|
| NbO | |
| 1000 | $4,05 \cdot 10^{-30 * 62}$ |
| NbO₂ | |
| 1050—1300 | $\lg p_{\text{O}_2} = 12,61 - 37700/T^{* 63}$ |
| » | $\lg p_{\text{O}_2} = 13,21 - 32800/T^{* 64}$ |
| MoO₃ | |
| 1025—1325 | $\lg p_{\text{O}_2} = 13,74 - 30050/T^{* 65}$ |
| 1000 | $1,013 \cdot 10^{-5 * 66}$ |
| PdO | |
| 1148 | $1,013 \cdot 10^6$ |
| Ag₂O | |
| 298 | 50,65 |
| 473 | $1,77 \cdot 10^5$ |
| 575 | $20,77 \cdot 10^5$ |
| 673 | $110,62 \cdot 10^5$ |
| 773 | $393,35 \cdot 10^5$ |
| 873 | $1039,34 \cdot 10^5$ |
| 1073 | $4233 \cdot 10^5$ |
| — | $\lg p_{\text{O}_2} = 11,2909 - 2859/T$ |
| — | $\lg p_{\text{O}_2} = 11,390 - 2942/T$ |
| SnO₂ | |
| 873 | $1,47 \cdot 10^{-35}$ |
| 1273 | $5,13 \cdot 10^{-22}$ |
| 1473 | $6,69 \cdot 10^{-10}$ |
| BaO | |
| 2000 | 0,101 |
| 983—2090 | $\lg p_{\text{O}_2} = 16,64 - 59450/T^{* 8}$ |

| 1 | 2 |
|-----------|--|
| 1000 | $\lg p_{O_2} = -14,77^{*2}$ |
| 2000 | $\lg p_{O_2} = -2,063$ |
| 3000 | $\lg p_{O_2} = +1,740$ |
| 1000 | $\lg p_O = -14,690^{*2}$ |
| 2000 | $\lg p_O = -1,706$ |
| 3000 | $\lg p_O = +2,424$ |
| | La₂O₃ |
| 2000 | $4,36 \cdot 10^{-7}$ |
| | CeO₂ |
| 2000 | $2,33 \cdot 10^{-4}$ |
| | Pr₂O₃ |
| 1073—1473 | $\lg p_{O_2} = 16,21 - 17\,390/T^{*67}$ |
| | HfO₂ |
| 2000 | $1,01 \cdot 10^{-10}$ |
| | Ta₂O₅ |
| 1050—1300 | $\lg p_{O_2} = 13,61 - 42\,000/T^{*68}$ |
| | W₁₈O₄₉ |
| 973—1273 | $\lg p_{O_2} = 15,61 - 29\,600/T^{*69}$ |
| | PtO₂ |
| 1373—1823 | $\lg p = (5,210 \pm 0,047) - (8585 \pm 74)/T^{*70}$ |
| | Pb₃O₄ |
| — | $\lg p_{O_2} = 4,9 - 7089/T + 1,75 \lg T + 0,000216 \cdot T$ |
| 723 | 1399,88 |
| 748 | 3199,73 |
| 773 | 6932,74 |
| 798 | 14 798,7 |
| 823 | 29 730,8 |
| 848 | 56 261,9 |
| 873 | 113 323,7 |

ThO₂

| | |
|-----------|---|
| 2000 | 1,82·10 ⁻¹⁰ |
| 298—1968 | $\lg p_{O_2} = 14,41 - 64,040/T^{*6}$, *71 |
| 1968—3273 | $\lg p_{O_2} = 14,820 - 64,860/T$ |
| 1000 | $\lg p_{O_2} = -33,82^{*2}$ |
| 2000 | $\lg p_{O_2} = -9,66$ |
| 3000 | $\lg p_{O_2} = -1,758$ |
| 1000 | $\lg p_O = -24,21^{*2}$ |
| 2000 | $\lg p_O = -5,509$ |
| 3000 | $\lg p_O = +0,674$ |

UO₂

| | |
|------|---|
| 1723 | 3,039·10 ⁻² |
| 2000 | 4,66·10 ⁻⁸ |
| — | $\lg p_{O_2} = 18,49 - 24,100/T^{*72}$; $\lg p_{O_2} = 13,75 - 56,400/T^{*73}$ |
| — | $\lg p_{O_2} = -6,944^{*74}$; $\lg p_{O_2} = 6,644^{*75}$ |
| 1273 | $\lg p_{O_2} = -6,284^{*76}$; $\lg p_{O_2} = -6,034^{*77}$ |
| » | $\lg p_{O_2} = -5,914^{*78}$; $\lg p_{O_2} = -5,804^{*79}$ |
| » | $\lg p_{O_2} = -5,674^{*80}$; $\lg p_{O_2} = -5,584^{*81}$ |
| » | $\lg p_{O_2} = -5,529^{*82}$; $\lg p_{O_2} = -5,419^{*83}$ |
| » | $\lg p_{O_2} = -5,324^{*84}$; $\lg p_{O_2} = -5,244^{*85}$ |
| » | $\lg p_{O_2} = -5,184^{*86}$; $\lg p_{O_2} = -5,114^{*87}$ |
| » | $\lg p_{O_2} = -4,999^{*88}$; $\lg p_{O_2} = -4,904^{*89}$ |
| » | $\lg p_{O_2} = -4,829^{*90}$; $\lg p_{O_2} = -4,494^{*91}$ |
| » | $\lg p_{O_2} = -4,254^{*92}$; $\lg p_{O_2} = -4,084^{*93}$ |
| » | $\lg p_{O_2} = -3,924^{*94}$ |

U₃O₈

| | |
|------|--------|
| 1018 | 3866 |
| 1123 | 14 399 |

AmO₂

| | |
|------|----------------------|
| 1397 | 266,6 ^{*95} |
| 1450 | 400,0 |
| 1464 | 533,3 |

| 1 | 2 |
|------|--------|
| 1508 | 666,6 |
| 1572 | 933,3 |
| 1606 | 1333,2 |
| 1662 | 2000,0 |
| 1770 | 2666,4 |
| 1933 | 4000,0 |

*¹ Равновесное парциальное давление в системе BeO(т)–Be(т)–O₂–O.

*² Парциальные давления при диссоциации. *³ Равновесные парциальные давления в системе MgO–Mg. *⁴ Равновесное давление в конденсированной системе (Si–SiO). *⁵ Равновесное парциальное давление в системе CaO–Ca.

*⁶ Равновесное давление в системе (Ti–TiO). *⁷ В конденсированной системе (Ti–TiO).

*⁸ Равновесное давление. *⁹ TiO–Ti₂O₃. *¹⁰ Такие же равновесные давления в системе Ti₃O₅–Ti₂O₃. *¹¹ Равновесное давление вдоль высококислородной границы поля Ti₃O₆. *¹² $x=1,9297$. *¹³ $x=1,9326$. *¹⁴ $x=1,9363$. *¹⁵ $x=1,9396$.

*¹⁶ $x=1,9428$. *¹⁷ $x=1,954$. *¹⁸ Давление вдоль низкокислородной границы поля V₂O₃. *¹⁹ Парциальное давление кислорода вдоль высококислородной границы поля V₃O₅. *²⁰ При CO₂/H₂=51,2, $x=1,666$ в VO_x. *²¹ При CO₂/H₂=33,7 и $x=1,667$.

*²² При CO₂/H₂=26,7 и $x=1,666$. *²³ При CO₂/H₂=21 и $x=1,667$. *²⁴ Равновесное давление кислорода вдоль низкокислородной границы поля VO₂. *²⁵ MnO(т)–Mn(т)–O₂–O. *²⁶ Над механической смесью гаусманит–магнанит. *²⁷ Mn₂O₄–MnO–O₂. *²⁸ Над стабильной окисью марганца, находящейся в равновесии с гаусманитом. *²⁹ Вюстит в равновесии с железом. *³⁰ Вюстит–железо–кислород. *³¹ Парциальное давление при газообразной диссоциации. *³² Вюстит в равновесии с магнетитом. *³³ При $\delta=0,0149$ в формуле Fe₃–δO₄. *³⁴ То же, при $\delta=0,0411$. *³⁵ То же, при $\delta=0,0036$. *³⁶ То же, при $\delta=0,0116$. *³⁷ То же, при $\delta=0,0608$. *³⁸ То же, при $\delta=0,0018$. *³⁹ То же, при $\delta=0,0043$. *⁴⁰ То же, при $\delta=0,0420$. *⁴¹ То же, при $\delta=0,0812$. *⁴² То же, при $\delta=(0)$. *⁴³ То же, при $\delta=0,0028$. *⁴⁴ То же, при $\delta=0,0276$. *⁴⁵ То же, при $\delta=0,060$. *⁴⁶ То же, при $\delta=0,1051$. *⁴⁷ Вюстит–магнетит. *⁴⁸ Для гематита, близкого к стехиометрическому составу. *⁴⁹ Вдоль низкокислородной границы гематитового поля. *⁵⁰ CoO(т)–Co(т)–O₂–O. *⁵¹ Вдоль низкокислородной границы поля CoO.

*⁵² Вдоль высококислородной границы. *⁵³ NiO–Ni. *⁵⁴ Равновесное давление на низкокислородной границе поля NiO. *⁵⁵ Над механической смесью окиси и закиси никеля. *⁵⁶ Равновесное давление над закисью меди, находящейся в равновесии с металлической медью. *⁵⁷ То же, с окисью меди. *⁵⁸ Равновесное давление для стехиометрической закиси меди. *⁵⁹ Ge–GeO₂. *⁶⁰ Очень низкие величины давлений диссоциации свидетельствуют о практическом отсутствии диссоциации на Ge и O₂; диссоциация на GeO и O₂ маловероятна в силу неустойчивости GeO при высоких температурах. *⁶¹ Равновесное давление вдоль низкокислородной границы поля ZrO₂. *⁶² Парциальное давление кислорода для NbO в равновесии с металлической фазой. *⁶³ Равновесное давление вдоль низкокислородной границы поля NbO₂. *⁶⁴ То же, вдоль высококислородной границы. *⁶⁵ Равновесное давление вдоль низкокислородной границы поля MoO₂–γ. *⁶⁶ Точка прохода высококислородной границы, отвечающей равновесию двуокиси с фазой Mo₄O₁₁. *⁶⁷ Равновесное давление над низкокислородной границей нестехиометрической фазы PrO_y(Pr₂O₃+Pr₆O₈). *⁶⁸ Равновесное давление вдоль низкокислородной границы поля Ta₂O₅–γ. *⁶⁹ Вдоль высококислородной границы поля WO_{2,72}. *⁷⁰ Упругость диссоциации. *⁷¹ ThO₂–Th.

*⁷² Равновесное давление вдоль высококислородной границы поля UO₂(UO₂–U₃O₈). *⁷³ То же, вдоль низкокислородной границы поля. *⁷⁴ Равновесное давление при $\gamma=0,0025$ в UO₂–γ. *⁷⁵ То же, при $\gamma=0,0027$. *⁷⁶ То же, при $\gamma=0,0030$.

*⁷⁷ То же, при $\gamma=0,0033$. *⁷⁸ То же, при $\gamma=0,0035$. *⁷⁹ То же, при $\gamma=0,0037$. *⁸⁰ То же, при $\gamma=0,0040$. *⁸¹ То же, при $\gamma=0,0043$. *⁸² То же, при $\gamma=0,0045$.

*⁸³ То же, при $\gamma=0,0050$. *⁸⁴ То же, при $\gamma=0,0055$. *⁸⁵ То же, при $\gamma=0,0060$. *⁸⁶ То же, при $\gamma=0,0065$. *⁸⁷ То же, при $\gamma=0,0070$. *⁸⁸ То же, при $\gamma=0,0080$. *⁸⁹ То же, при $\gamma=0,0090$. *⁹⁰ То же, при $\gamma=0,0100$. *⁹¹ То же, при $\gamma=0,0150$. *⁹² То же, при $\gamma=0,0200$. *⁹³ То же, при $\gamma=0,0250$. *⁹⁴ То же, при $\gamma=0,0300$.

*⁹⁵ Из графика.

ГЛАВА III

МОЛЕКУЛЯРНЫЕ СВОЙСТВА

1. ПОВЕРХНОСТНОЕ НАТЯЖЕНИЕ ЖИДКИХ ОКИСЛОВ [224; 257; 258; 305]

| Темпера- тура, °C | Поверхно- стное натяже- ние σ , мДж/м ² | Темпера- тура, °C | Поверхно- стное натяже- ние σ , мДж/м ² | Темпера- тура, °C | Поверхно- стное натяже- ние σ , мДж/м ² |
|-------------------------|--|--------------------------------------|--|--|--|
| 1 | 2 | 1 | 2 | 1 | 2 |
| | H₂O^{*1} [260] | | | | PO^{*1} [224] |
| -10 | 77,1 | 980 | 82,26 | 23,8 | 13,2 |
| 0 | 75,6 | 1000 | 82,97 | | |
| 5 | 74,9 | 1060 | 85,09 | | |
| 10 | 74,2 | 1100 | 86,51 | | |
| 15 | 73,5 | 1140 | 87,93 | | |
| 20 | 72,8 | 1200 | 90,05 | 100 | 60,0 |
| 25 | 72,0 | 1260 | 92,17 | 150 | 59,0 |
| 30 | 71,2 | 1300 | 93,59 | 200 | 57,9 |
| 35 | 70,4 | 1340 | 95,01 | 250 | 56,9 |
| 40 | 69,5 | 1400 | 97,13 | 300 | 55,8 |
| 45 | 68,7 | | | 569 | 50,7 |
| 50 | 67,9 | | | | |
| 60 | 66,2 | | | | |
| 70 | 64,4 | Al ₂ O ₃ [224] | 690 | | |
| 80 | 62,6 | 2050 ^{*2} | 690 | | |
| 90 | 60,7 | 2320 ^{*3, *4} | 690 | | |
| 100 | 58,8 | 2350 ^{*3, *4} | 670 | | |
| 110 | 56,9 | | | | |
| 120 | 54,9 | 2400 ^{*3, *4} | 650 | 700 | 94 |
| 130 | 52,8 | 2500 | 610 | | |
| | D ₂ O ^{*1} [260] | 2550 | 580 | | |
| | | 2600 | 560 | | |
| 15 | 73,4 | 2700 | 520 | 1415— | 585 |
| 20 | 72,6 | 2800 | 470 | 1423 | |
| 25 | 71,9 | 2900 | 420 | | |
| 30 | 71,1 | 2950 | 400 | | |
| 35 | 70,3 | 3000 | 370 | 1116 | 248 |
| 99 | 58,5 | 3100 | 350 | 1200 | 252,8 |
| 110,8 | 56,0 | | | 1250 | 255,6 |
| | B ₂ O ₃ ^{*1} [224, 257] | | | 1300 | 258,4 |
| | | SiO ₂ ^{*4} [224] | | | |
| 450 | 63,5 | 1470 | 295,8 | 1350 | 261,2 |
| 700 | 72,35 | 1500 | 298,2 | 1400 | 264,0 |
| 740 | 73,77 | 1520 | 298,8 | | |
| 780 | 75,18 | 1550 | 299,4 | | |
| 800 | 75,89 | 1600 | 301,3 | | |
| 820 | 76,6 | 1650 | 302,9 | 1460 | 220 |
| 860 | 78,01 | 1700 | 304,7 | 825 | 70 |
| 900 | 79,43 | 1750 | 305,9 | | |
| 940 | 80,85 | 1800 | 307,5 | Ta ₂ O ₅ ^{*3} [305] | |
| | | | | 1910 | 280 |

| 1 | 2 | 1 | 2 | 1 | 2 |
|--------------------------|-----|------------------------------|--------------|-------------------------------|--------------------------------------|
| WO_3^{*3} [305] | | PbO^{*3} [305, 259] | | Bi_2O_3 [128] | |
| 1490 | 100 | 900 1000 | 132 134,8 | 824 830–900 | 209,7 $\sigma = 232,3 - 0,0274 t$ |

*¹ В воздухе. *² В гелии. *³ В вакууме. *⁴ В аргоне.

2. ВЯЗКОСТЬ ОКИСЛОВ

A. Динамическая вязкость η воды в зависимости от температуры и давления [1; 638]

| Temperatura, K | Вязкость, 10^1 Па·с при давлении, 10^5 Па (kg/cm^2) | | | | |
|-------------------|---|--------------|----------------|----------------|----------------|
| | 1,02 (1,0) | 51,0 (50) | 102,0 (100) | 204,0 (200) | 306,0 (300) |
| 273 | 1792 | 1781 | 1770 | 1748 | 1726 |
| 283 | 1307 | 1301 | 1296 | 1289 | 1281 |
| 293 | 1002 | 1001 | 1000 | 998 | 995 |
| 303 | 797 | 797 | 798 | 798 | 800 |
| 313 | 653 | 653 | 654 | 656 | 658 |
| 323 | 546 | 547 | 549 | 552 | 555 |
| 333 | 466 | 468 | 469 | 472 | 476 |
| 343 | 404 | 406 | 408 | 411 | 416 |
| 353 | 355 | 358 | 361 | 366 | 372 |
| 363 | 315 | 317 | 324 | 330 | 337 |
| 373 | 282 | 287 | 293 | 301 | 309 |
| 473 | — | 139 | 141 | 145 | 149 |
| 573 | — | — | 94 | 96 | 99 |
| 673 | — | — | — | — | 43 |

П р и м е ч а н и е. Данные относятся к случаю, когда в качестве абсолютной величины вязкости при 293 K взято значение 1002 по предложению Национального бюро стандартов США (NBS).

B. Динамическая вязкость η водяного пара в зависимости от температуры и давления [637]

| Temperatura, °C | Насыщенные | $\eta \cdot 10^7$ Па·с при давлении 10^5 Па (kg/cm^2) | | | | | | | |
|--------------------|------------|---|--------------|--------------|--------------|--------------|----------------|----------------|----------------|
| | | 1,02 (1,0) | 20,4 (20) | 40,8 (40) | 61,2 (60) | 81,6 (80) | 107,0 (100) | 153,0 (150) | 204,0 (200) |
| 100 | 124 | 124 | — | — | — | — | — | — | — |
| 120 | 133 | 132 | — | — | — | — | — | — | — |
| 140 | 142 | 140 | — | — | — | — | — | — | — |
| 160 | 152 | 148 | — | — | — | — | — | — | — |

| 1 | 2 | 3 | 4 | 5 | 6 | 7 | 8 | 9 | 10 |
|-----|-----|-----|-----|-----|-----|-----|-----|-----|-----|
| 180 | 163 | 155 | — | — | — | — | — | — | — |
| 200 | 175 | 163 | — | — | — | — | — | — | — |
| 220 | 188 | 171 | 184 | — | — | — | — | — | — |
| 240 | 201 | 179 | 190 | — | — | — | — | — | — |
| 260 | 217 | 186 | 196 | 211 | — | — | — | — | — |
| 280 | 235 | 194 | 203 | 217 | 232 | — | — | — | — |
| 300 | 257 | 202 | 210 | 223 | 236 | 250 | — | — | — |
| 320 | 282 | 209 | 217 | 230 | 242 | 255 | 268 | — | — |
| 340 | 318 | 217 | 225 | 236 | 248 | 261 | 272 | 318 | — |
| 360 | 365 | 225 | 232 | 243 | 254 | 266 | 278 | 308 | — |
| 380 | — | 232 | 240 | 250 | 261 | 272 | 283 | 311 | 361 |
| 400 | — | 240 | 247 | 257 | 268 | 279 | 289 | 316 | 354 |
| 420 | — | 247 | 254 | 264 | 275 | 284 | 295 | 322 | 354 |
| 440 | — | 254 | 262 | 271 | 282 | 291 | 302 | 329 | 358 |
| 460 | — | 262 | 269 | 279 | 288 | 298 | 308 | 335 | 363 |
| 480 | — | 269 | 277 | 285 | 294 | 304 | 315 | 342 | 370 |
| 500 | — | 277 | 284 | 292 | 301 | 311 | 322 | 349 | 380 |

В. Динамическая вязкость некоторых газов η в зависимости от температуры и давления [637]

Окись углерода CO

| Давление, 10^5 Па ($\text{kg}\cdot\text{см}^{-2}$) | Динамическая вязкость $\eta \cdot 10^8$ Па·с, при температуре, °C | | | | | | |
|--|---|------|------|------|------|------|------|
| | 0 | 25 | 50 | 100 | 150 | 200 | 250 |
| 2,04(2) | 1660 | 1765 | 1870 | 2075 | 2270 | 2450 | 2625 |
| 20,4(20) | 1690 | 1795 | 1900 | 2105 | 2290 | 2470 | 2645 |
| 51,0(50) | 1750 | 1850 | 1945 | 2145 | 2320 | 2500 | 2670 |
| 102,0(100) | 1895 | 1990 | 2050 | 2225 | 2385 | 2560 | 2715 |
| 153,0(150) | 2080 | 2140 | 2175 | 2320 | 2465 | 2630 | 2770 |
| 204,0(200) | 2300 | 2305 | 2315 | 2430 | 2550 | 2710 | 2830 |
| 306,0(300) | 2740 | 2680 | 2640 | 2680 | 2765 | 2870 | 2970 |
| 408,0(400) | 3175 | 3065 | 2985 | 2950 | 2970 | 3035 | — |
| 510,0(500) | 3600 | 3450 | 3330 | 3225 | 3185 | 3200 | — |
| 612,0(600) | — | 3825 | 3660 | 3490 | 3405 | 3400 | — |
| 816,0(800) | — | 4550 | 4300 | 4010 | 3820 | 3760 | — |

Двухокись углерода CO₂

| Давление, 10^5 Па (кгс·см ²) | Temperatura, °C | | | | | | | | |
|--|-----------------|--------|--------|--------|--------|--------|--------|------|------|
| | 20 | 30 | 40 | 60 | 90 | 100 | 150 | 200 | 250 |
| 1,02 (1) | 1 463 | 1 510 | 1 560 | 1 650 | 1 790 | 1 825 | 2045 | 2254 | 2456 |
| 20,4 | 1 560 | 1 590 | 1 630 | — | 1 820 | 1 855 | 2075 | 2280 | 2485 |
| (20) | 51,0 | 1 850 | 1 830 | 1 805 | — | 1 900 | 1 950 | 2140 | 2340 |
| (50) | 71,4 | 2 320 | 2 500 | 2 120 | — | 2 030 | 2 040 | 2190 | 2385 |
| (70) | 81,4 | 2 680 | 5 310 | 2 470 | — | 2 110 | 2 100 | 2220 | 2420 |
| (80) | 91,8 | 8 000 | 5 980 | 3 350 | — | 2 200 | 2 160 | 2250 | 2450 |
| (90) | 102,0 | 8 280 | 6 500 | 4 875 | — | 2 300 | 2 240 | 2290 | 2480 |
| (100) | 122,4 | 8 820 | 7 300 | 6 030 | — | 2 590 | 2 440 | 2390 | 2540 |
| (120) | 153,0 | 9 520 | 8 080 | 6 950 | 4 650 | 3 120 | 2 850 | 2560 | 2660 |
| (150) | 204,0 | 10 400 | 9 090 | 8 000 | 6 020 | 4 190 | 3 800 | 2980 | 2900 |
| (200) | 255,0 | 11 170 | 9 930 | 8 850 | 6 980 | 5 130 | 4 700 | 3480 | 3200 |
| (250) | 306,0 | 11 820 | 10 610 | 9 590 | 7 810 | 5 960 | 5 470 | 3980 | 3540 |
| (300) | 408,0 | 12 960 | 11 780 | 10 800 | 9 130 | 7 300 | 6 780 | 4980 | 4260 |
| (400) | 510,0 | 14 000 | 12 860 | 11 850 | 10 230 | 8 400 | 7 880 | 5920 | 4960 |
| (500) | 612,0 | 15 000 | 13 850 | 12 820 | 11 200 | 9 370 | 8 800 | 6760 | 5640 |
| (600) | 714,0 | — | 14 840 | 13 720 | 12 110 | 10 200 | 9 620 | 7530 | 6280 |
| (700) | 816,0 | — | 15 600 | 14 600 | 12 950 | 11 000 | 10 400 | 8250 | 6900 |
| (800) | | | | | | | | | 6100 |

Приложение. Динамическая вязкость ($\eta \cdot 10^8$, Па·с) CO₂ при 15° С
при низких давлениях:

| Давление, Па | Вязкость |
|-------------------|----------|
| $1 \cdot 10^5$ | 1490 |
| $0,51 \cdot 10^5$ | 1490 |
| $0,27 \cdot 10^4$ | 1480 |
| $0,27 \cdot 10^3$ | 1470 |
| 79 | 1380 |

Кислород O_2

| Давление, 10^5 Па ($\text{кгс}/\text{см}^2$) | Температура, $^{\circ}\text{C}$ | | |
|--|---------------------------------|------|------|
| | 15 | 50 | 100 |
| 1,02(1,0) | 1993 | 2182 | 2437 |
| 22,4(22,0) | 2013 | 2211 | 2460 |
| 42,9(42,0) | 2055 | 2249 | 2490 |
| 63,2(62,0) | 2114 | 2295 | 2525 |
| 83,7(82,0) | 2188 | 2345 | 2564 |
| 104,0(102,0) | 2269 | 2401 | 2608 |
| 122,4(120,0) | 2351 | 2463 | 2655 |

| Давление, 10^5 Па ($\text{кгс}/\text{см}^2$) | Температура, $^{\circ}\text{C}$ | | Давление, 10^5 Па ($\text{кгс}/\text{см}^2$) | Температура, $^{\circ}\text{C}$ | |
|--|---------------------------------|------|--|---------------------------------|------|
| | 15,8 | 54,8 | | 15,8 | 54,8 |
| 1,02(1,0) | 1997,5 | 2207 | 306,0(300) | 3220 | — |
| 20,4(20) | 2024,0 | — | 408,0(400) | 3769 | — |
| 51,0(50) | 2093,5 | 2288 | 510,0(500) | 4330 | — |
| 102,0(100) | 2250,0 | 2434 | 612,0(600) | 4862,0 | — |
| 153,0(150) | 2451,5 | 2610 | 714,0(700) | 5392,0 | — |
| 204,0(200) | 2688,5 | — | | | |

г. Динамическая вязкость окислов

| Темпера- тура, К | η , Па | | Темпера- тура, К | η , Па | | Темпера- тура, К | η , Па | |
|------------------------|-----------------------|---|------------------------|----------------------|---------------------|------------------------|-------------------|---|
| | 1 | 2 | | 1 | 2 | | 1 | 2 |
| H_2O [638] | | | 523 | $1800 \cdot 10^{-8}$ | | BeO [1] | | |
| 259*1 | $85 \cdot 10^9$ | | 573 | $1985 \cdot 10^{-8}$ | | 1473 | $185 \cdot 10^9$ | |
| 273*1 | $1 \cdot 10^{10}$ | | 673 | $2350 \cdot 10^{-8}$ | | 1573 | $68 \cdot 10^9$ | |
| 273*2 | $17921 \cdot 10^{-7}$ | | 773 | $2720 \cdot 10^{-8}$ | | 1673 | $38 \cdot 10^9$ | |
| 283 | $13077 \cdot 10^{-7}$ | | 873 | $3090 \cdot 10^{-8}$ | | 1773 | $127 \cdot 10^8$ | |
| 293 | $10050 \cdot 10^{-7}$ | | 973 | $3460 \cdot 10^{-8}$ | | 1873 | $93 \cdot 10^8$ | |
| 303 | $8007 \cdot 10^{-7}$ | | 1073 | $3820 \cdot 10^{-8}$ | | 1973 | $72 \cdot 10^8$ | |
| 313 | $6560 \cdot 10^{-7}$ | | 1273 | $4560 \cdot 10^{-8}$ | | | | |
| 323 | $5494 \cdot 10^{-7}$ | | | D_2O [638] | | B_2O_3 [1] *4 | | |
| 333 | $4688 \cdot 10^{-7}$ | | | 303 | $969 \cdot 10^{-6}$ | 573 | $4193 \cdot 10^5$ | |
| 343 | $4061 \cdot 10^{-7}$ | | | 318 | $713 \cdot 10^{-6}$ | 773 | 3990 | |
| 353 | $3565 \cdot 10^{-7}$ | | | 333 | $552 \cdot 10^{-6}$ | 973 | 1000 | |
| 363 | $3165 \cdot 10^{-7}$ | | | 348 | $445 \cdot 10^{-6}$ | 1273 | 6,31 | |
| 373 | $2838 \cdot 10^{-7}$ | | | 363 | $365 \cdot 10^{-6}$ | | | |
| 273*3 | $883 \cdot 10^{-8}$ | | | 373 | $323 \cdot 10^{-6}$ | | | |
| 298 | $975 \cdot 10^{-8}$ | | | 398 | $252 \cdot 10^{-6}$ | | | |
| 323 | $1065 \cdot 10^{-8}$ | | | 423 | $208 \cdot 10^{-6}$ | 1023 | 43,6 | |
| 348 | $1157 \cdot 10^{-8}$ | | | 448 | $175 \cdot 10^{-6}$ | 1073 | 26,0 | |
| 373 | $1250 \cdot 10^{-8}$ | | | 473 | $151 \cdot 10^{-6}$ | 1173 | 11,8 | |
| 423 | $1435 \cdot 10^{-8}$ | | | 498 | $135 \cdot 10^{-6}$ | 1273 | 7,0 | |
| 473 | $1615 \cdot 10^{-8}$ | | | 523 | $124 \cdot 10^{-6}$ | 1373 | 4,0 | |

| 1 | 2 | 1 | 2 | 1 | 2 |
|---|----------------------|------|-----------------------------------|--------|---|
| CO [637] ^{*5} | | 423 | $2045 \cdot 10^{-8}$ | 773 | $3700 \cdot 10^{-8}$ |
| 68,55 | $287 \cdot 10^{-6}$ | 473 | $2254 \cdot 10^{-8}$ | 873 | $4010 \cdot 10^{-8}$ |
| 73,2 | $224 \cdot 10^{-6}$ | 523 | $2456 \cdot 10^{-8}$ | 973 | $4275 \cdot 10^{-8}$ |
| 75,2 | $203 \cdot 10^{-6}$ | 573 | $2646 \cdot 10^{-8}$ | 1073 | $4535 \cdot 10^{-8}$ |
| 77,8 | $186 \cdot 10^{-6}$ | 673 | $2994 \cdot 10^{-8}$ | 1273 | $5075 \cdot 10^{-8}$ |
| 82,8 | $165 \cdot 10^{-6}$ | 773 | $3309 \cdot 10^{-8}$ | | NO₂ [1] |
| 90,1 | $146 \cdot 10^{-6}$ | 873 | $3605 \cdot 10^{-8}$ | 293 | $189 \cdot 10^{-7}$ |
| 99,6 | $116 \cdot 10^{-6}$ | 973 | $3876 \cdot 10^{-8}$ | | |
| 111,6 | $100 \cdot 10^{-6}$ | 1073 | $4140 \cdot 10^{-8}$ | | |
| 129,6 | $66 \cdot 10^{-6}$ | 1273 | $4658 \cdot 10^{-8}$ | | |
| CO [637] ^{*6} | | | N₂O[*] | | N₂O₄ [637] ^{*6} |
| 80 ^{*7} | $533 \cdot 10^{-8}$ | 198 | $990 \cdot 10^{-8}$ | 273,87 | $5220 \cdot 10^{-7}$ |
| 100 ^{*7} | $668 \cdot 10^{-8}$ | 223 | $1115 \cdot 10^{-8}$ | 278,24 | $4954 \cdot 10^{-7}$ |
| 120 ^{*7} | $796 \cdot 10^{-8}$ | 248 | $1240 \cdot 10^{-8}$ | 282,30 | $4720 \cdot 10^{-7}$ |
| 153 | $1030 \cdot 10^{-8}$ | 273 | $1360 \cdot 10^{-8}$ | 288,51 | $4401 \cdot 10^{-7}$ |
| 163 | $1090 \cdot 10^{-8}$ | 293 | $1460 \cdot 10^{-8}$ | | O₂ [637] ^{*5} |
| 173 | $1130 \cdot 10^{-8}$ | 298 | $1482 \cdot 10^{-8}$ | 54,4 | $873 \cdot 10^{-6}$ |
| 198 | $1275 \cdot 10^{-8}$ | 323 | $1595 \cdot 10^{-8}$ | 54,9 | $772 \cdot 10^{-6}$ |
| 223 | $1400 \cdot 10^{-8}$ | 348 | $1712 \cdot 10^{-8}$ | 56,4 | $717 \cdot 10^{-6}$ |
| 248 | $1528 \cdot 10^{-8}$ | 373 | $1822 \cdot 10^{-8}$ | 57,1 | $638 \cdot 10^{-6}$ |
| 273 | $1662 \cdot 10^{-8}$ | 423 | $2040 \cdot 10^{-8}$ | 59,7 | $631 \cdot 10^{-6}$ |
| 293 | $1749 \cdot 10^{-8}$ | 473 | $2245 \cdot 10^{-8}$ | 61,7 | $521 \cdot 10^{-6}$ |
| 298 | $1766 \cdot 10^{-8}$ | 523 | $2450 \cdot 10^{-8}$ | 63,5 | $476 \cdot 10^{-6}$ |
| 323 | $1872 \cdot 10^{-8}$ | 573 | $2649 \cdot 10^{-8}$ | 68,9 | $377 \cdot 10^{-6}$ |
| 348 | $1980 \cdot 10^{-8}$ | 673 | $3030 \cdot 10^{-8}$ | 72,3 | $323 \cdot 10^{-6}$ |
| 373 | $2076 \cdot 10^{-8}$ | 773 | $3375 \cdot 10^{-8}$ | 77,4 | $273 \cdot 10^{-6}$ |
| 423 | $2271 \cdot 10^{-8}$ | | | 80,0 | $250 \cdot 10^{-6}$ |
| 473 | $2452 \cdot 10^{-8}$ | | | 90,1 | $190 \cdot 10^{-6}$ |
| 523 | $2622 \cdot 10^{-8}$ | | | | |
| 573 | $2788 \cdot 10^{-8}$ | 123 | $860 \cdot 10^{-8}$ | | O₂ [637] ^{*6} |
| 673 | $3090 \cdot 10^{-8}$ | 133 | $930 \cdot 10^{-8}$ | | |
| 773 | $3370 \cdot 10^{-8}$ | 143 | $1000 \cdot 10^{-8}$ | 83 | $635 \cdot 10^{-8}$ |
| 873 | $3630 \cdot 10^{-8}$ | 153 | $1064 \cdot 10^{-8}$ | 93 | $710 \cdot 10^{-8}$ |
| 973 | $3870 \cdot 10^{-8}$ | 163 | $1130 \cdot 10^{-8}$ | 103 | $785 \cdot 10^{-8}$ |
| 1073 | $4100 \cdot 10^{-8}$ | 173 | $1198 \cdot 10^{-8}$ | 113 | $860 \cdot 10^{-8}$ |
| 1273 | $4530 \cdot 10^{-8}$ | 198 | $1357 \cdot 10^{-8}$ | 123 | $935 \cdot 10^{-8}$ |
| | | 223 | $1510 \cdot 10^{-8}$ | 133 | $1010 \cdot 10^{-8}$ |
| | | 248 | $1656 \cdot 10^{-8}$ | 143 | $1085 \cdot 10^{-8}$ |
| | | 273 | $1800 \cdot 10^{-8}$ | 153 | $1150 \cdot 10^{-8}$ |
| CO₂ [637] ^{*6} | | 293 | $1899 \cdot 10^{-8}$ | 163 | $1218 \cdot 10^{-8}$ |
| 173 | $886 \cdot 10^{-8}$ | 298 | $1920 \cdot 10^{-8}$ | 173 | $1286 \cdot 10^{-8}$ |
| 198 | $1007 \cdot 10^{-8}$ | 323 | $2035 \cdot 10^{-8}$ | 198 | $1452 \cdot 10^{-8}$ |
| 223 | $1126 \cdot 10^{-8}$ | 348 | $2156 \cdot 10^{-8}$ | 223 | $1612 \cdot 10^{-8}$ |
| 248 | $1247 \cdot 10^{-8}$ | 373 | $2272 \cdot 10^{-8}$ | 248 | $1753 \cdot 10^{-8}$ |
| 273 | $1367 \cdot 10^{-8}$ | 423 | $2475 \cdot 10^{-8}$ | 273 | $1910 \cdot 10^{-8}$ |
| 293 | $1463 \cdot 10^{-8}$ | 473 | $2682 \cdot 10^{-8}$ | 293 | $2026 \cdot 10^{-8}$ |
| 323 | $1607 \cdot 10^{-8}$ | 523 | $2870 \cdot 10^{-8}$ | 298 | $2052 \cdot 10^{-8}$ |
| 348 | $1716 \cdot 10^{-8}$ | 573 | $3055 \cdot 10^{-8}$ | 323 | $2182 \cdot 10^{-8}$ |
| 373 | $1827 \cdot 10^{-8}$ | 673 | $3400 \cdot 10^{-8}$ | | |

| 1 | 2 | 1 | 2 | 1 | 2 |
|--|---------------------------|--|--------------------------------------|--|------------------|
| 348 | $2310 \cdot 10^{-8}$ | 298 | $1270 \cdot 10^{-8}$ | ZnO | $[236]^{*10}$ |
| 373 | $2437 \cdot 10^{-8}$ | 323 | $1390 \cdot 10^{-8}$ | | |
| 423 | $2674 \cdot 10^{-8}$ | 348 | $1500 \cdot 10^{-8}$ | 1173 | $122 \cdot 10^8$ |
| 473 | $2867 \cdot 10^{-8}$ | 373 | $1611 \cdot 10^{-8}$ | 1353 | $43 \cdot 10^8$ |
| 523 | $3103 \cdot 10^{-8}$ | 423 | $1830 \cdot 10^{-8}$ | 1453 | $28 \cdot 10^8$ |
| 573 | $3310 \cdot 10^{-8}$ | 473 | $2040 \cdot 10^{-8}$ | 1533 | $21 \cdot 10^8$ |
| 673 | $3686 \cdot 10^{-8}$ | 523 | $2255 \cdot 10^{-8}$ | | |
| 773 | $4030 \cdot 10^{-8}$ | 573 | $2455 \cdot 10^{-8}$ | | |
| 873 | $4350 \cdot 10^{-8}$ | 673 | $2820 \cdot 10^{-8}$ | GeO₂ [1] | |
| 973 | $4652 \cdot 10^{-8}$ | 773 | $3155 \cdot 10^{-8}$ | | |
| 1073 | $4940 \cdot 10^{-8}$ | 873 | $3465 \cdot 10^{-8}$ | | |
| 1273 | $5470 \cdot 10^{-8}$ | 973 | $3760 \cdot 10^{-8}$ | 1773*12 | 200 |
| O₃ [81, T. 3] *8 | | 1273 | $4540 \cdot 10^{-8}$ | 1823 | 120 |
| | | | | 1873 | 80 |
| 78 | $420 \pm 1 \cdot 10^{-5}$ | TiO₂ [236] *10 | | 1923 | 50 |
| 90 | $155 \pm 2 \cdot 10^{-5}$ | 1593 | $382 \cdot 10^7$ | 1973 | 32 |
| Al₂O₃ [1] *9 | | 1673 | $196 \cdot 10^7$ | | |
| 1573 | $12 \cdot 10^{10}$ | 1753 | $100 \cdot 10^7$ | 1573*13 | 2800 |
| 1723 | $4 \cdot 10^{10}$ | 2123 | $\eta = 5 \cdot 10^{-5} \text{ exp}$ | 1673 | 750 |
| 1873 | $9 \cdot 10^9$ | 2623 | $(33000/RT)^{*11}$ | 1773 | 200 |
| 1973 | $78 \cdot 10^8$ | V₂O₅ [236] *10 | | 1573*14 | 9000 |
| Al₂O₃ [236] *10 | | 713 | $250 \cdot 10^8$ | 1673 | 1100 |
| 1873 | $45 \cdot 10^8$ | 753 | $505 \cdot 10^7$ | 1773 | 380 |
| 1973 | $196 \cdot 10^7$ | 793 | $124 \cdot 10^7$ | | |
| 2073 | $92 \cdot 10^7$ | Cr₂O₃ [236] *10 | | ZrO₂ [236] *10 | |
| SiO₂ [1] *4 | | 1773 | $625 \cdot 10^7$ | | |
| 1673 | $563 \cdot 10^7$ | 1853 | $330 \cdot 10^7$ | 2123 | $134 \cdot 10^7$ |
| 1973 | $3162 \cdot 10^3$ | 1933 | $184 \cdot 10^7$ | 2273 | $86 \cdot 10^7$ |
| 2273 | $399 \cdot 10^2$ | Fe₂O₃ [236] *10 | | 2423 | $59 \cdot 10^7$ |
| 2573 | 3990 | 1373 | $635 \cdot 10^7$ | | |
| SO₂ [1] *8 | | 1443 | $321 \cdot 10^7$ | Nb₂O₅ [236] *10 | |
| 239,5 | $551 \cdot 10^{-6}$ | 1523 | $157 \cdot 10^7$ | 1493 | $161 \cdot 10^8$ |
| 262,5 | $428 \cdot 10^{-6}$ | CoO [236] *10 | | 1553 | $75 \cdot 10^8$ |
| 272,9 | $394 \cdot 10^{-6}$ | 1173 | $123 \cdot 10^8$ | 1633 | $30 \cdot 10^8$ |
| SO₂ *3 | | 1253 | $45 \cdot 10^8$ | | |
| 198 | $855 \cdot 10^{-8}$ | 1353 | $196 \cdot 10^7$ | MoO₃ [236] *10 | |
| 223 | $955 \cdot 10^{-8}$ | 1443 | $103 \cdot 10^7$ | 723 | $465 \cdot 10^7$ |
| 248 | $1053 \cdot 10^{-8}$ | NiO [236] *10 | | 773 | $270 \cdot 10^7$ |
| 273 | $1158 \cdot 10^{-8}$ | 1423 | $575 \cdot 10^7$ | 823 | $163 \cdot 10^7$ |
| 293 | $1250 \cdot 10^{-8}$ | 1523 | $346 \cdot 10^7$ | 873 | $103 \cdot 10^7$ |
| | | 1623 | $225 \cdot 10^7$ | | |

| 1 | 2 | 1 | 2 | 1 | 2 |
|-------------------------------------|------------------|--|-------------------|------------------------------------|-------------------|
| HfO_2 [236]* ¹⁰ | | Ta_2O_5 [236]* ¹⁰ | | WO_3 [236]* ¹⁰ | |
| 2100 | $214 \cdot 10^7$ | 1583 | $1430 \cdot 10^7$ | 1143 | $1280 \cdot 10^7$ |
| 2473 | $166 \cdot 10^7$ | 1673 | $500 \cdot 10^7$ | 1243 | $440 \cdot 10^7$ |
| 2573 | $124 \cdot 10^7$ | 1773 | $164 \cdot 10^7$ | 1303 | $250 \cdot 10^7$ |
| | | | | 1373 | $137 \cdot 10^7$ |

*¹ Лед. *² Вода. *³ Вязкость газов и паров при давлении $1,013 \cdot 10^5$ Па [637]. *⁴ Из графика. *⁵ Сжиженный газ. *⁶ Газ при давлении 101325 Па. *⁷ [1]. *⁸ Жидкость. *⁹ Из графика, 99,9% чистоты, горячепрессованный. *¹⁰ Вязкость определялась в процессе горячего прессования при $176,52 \cdot 10^5$ Па. *¹¹ TiO_2 , 99,5% чистоты, метод затухающих колебаний в вакууме $133,322 \cdot 10^{-4}$ Па и в аргоне, расчетная погрешность $\pm 8\%$, энергия активации вязкого течения 135,65 кДж/моль, энтропия вязкого течения — 16,747 Дж/(моль·К). *¹² Из графика; шкала логарифмическая. *¹³ Данные Куркьяна и Дугласа. *¹⁴ Данные Маккензи.

3. ПОСТОЯННЫЕ В УРАВНЕНИИ ВАН-ДЕР-ВААЛЬСА *¹

$$\left(p + \frac{a}{v^2} \right) (v - b) = RT$$

| Оксисел | $a \cdot 10^{-5}$, Н·м ⁴ /кмоль ² | b , м ³ /кмоль | Оксисел | $a \cdot 10^{-5}$, Н·м ⁴ /кмоль ² | b , м ³ /кмоль |
|----------------------|---|-----------------------------|------------------------|---|-----------------------------|
| H_2O | 5,445 | 0,03053 | N_2O_4 | 5,265 | 0,04427 |
| CO | 1,480 | 0,03988 | O_2 | 1,355 | 0,03185 |
| CO_2 | 3,580 | 0,04270 | O_3 | 1,840* ³ | 0,03544* ² |
| N_2O | 3,770 | 0,04418 | SO_2 | 6,690 | 0,05640 |
| NO | 1,335 | 0,02791 | | | |

*¹ При переходе от значений величины b , взятой из Справочника химика (т. I, изд. 2, М.—Л., «Химия», 1966), к указанным здесь использован коэффициент 22,415, для величины a — коэффициент 0,0050. *² В источнике [81, т. III, с. 655] указано ошибочное значение. *³ Расчет по зависимости $a=p \cdot 27b^2$.

4. КРИТИЧЕСКИЕ ПАРАМЕТРЫ [1; 9]

| Оксисел | Критическая температура T_{kp} , К | Критическое давление $p_{kp} \cdot 10^{-5}$, Па | Критический объем $V_{kp} \cdot 10^{+3}$, м ³ /кмоль | Критическая плотность ρ_{kp} , кг/м ³ |
|------------------------|--------------------------------------|--|--|---|
| H_2O | $647,30 \pm 0,05$ | $221,1 \pm 0,1$ | 56,3 | 320 ± 10 |
| H_2O_2 | 730 | 216,8 | — | — |
| D_2O | $644,05 \pm 0,10$ | $218,5 \pm 0,3$ | 55,1 | 363 |
| Li_2O | > 6000 | — | — | — |

| 1 | 2 | 3 | 4 | 5 |
|--|-------------|-------------|-----------|--------|
| BeO | >6000 | — | — | — |
| B ₂ O ₃ | >6000 | — | — | — |
| CO | 132,92±0,03 | 34,978±0,05 | 93,06±1,0 | 301±3 |
| CO ₂ | 304,15±0,05 | 73,85±0,05 | 94,04 | 468±1 |
| N ₂ O | 309,58±0,01 | 72,53±0,01 | 57,27 | 453±1 |
| NO | 180,3 | 65,46±0,2 | 58 | 520 |
| N ₂ O ₄ (NO ₂) | 431,2 | 100,29±1,01 | 82 | 560 |
| O ₂ | 154,78±0,05 | 50,79±0,10 | 78 | 410±20 |
| O ₃ | 261,05 | 55,4±0,1 | 89,4 | 537 |
| F ₂ O | 215,15±0,1 | 49,5 | 97,6 | 553 |
| MgO | >6000 | — | — | — |
| Al ₂ O ₃ | >6000 | — | — | — |
| SiO ₂ | >6000 | — | — | — |
| SO ₂ | 430,65±0,2 | 78,8±0,1 | 122 | 524±5 |
| SO ₃ | 491,15±0,5 | 82,05±0,5 | 126 | 633 |
| CaO | >6000 | — | — | — |
| SrO | >6000 | — | — | — |
| PbO | 5300 | 3292 | — | — |

5. МОЛЕКУЛЯРНЫЕ ПАРАМЕТРЫ [1]

| Окисел | Среднеарифметическая скорость молекул при 0° С, м/с | Среднее число столкновений молекулы за 1 с при 0° С и 101325 Па, $\bar{z} \cdot 10^9$ | Средняя длина свободного пробега молекулы при 0° С и 101325 Па $\bar{\lambda} \cdot 10^{10}$, м |
|------------------|---|---|--|
| H ₂ O | 566,5 | 14,02 | 404 |
| CO | 471,3 | 7,99 | 590 |
| CO ₂ | 375,99 | 9,67 | 389 |
| SO ₂ | 300,4 | 10,3 | 290 |

6. СРЕДНЯЯ ДЛИНА СВОБОДНОГО ПРОБЕГА ФОНОНОВ

| Температура, К | $\bar{\lambda}$, нм | Температура, К | $\bar{\lambda}$, нм |
|----------------|----------------------|----------------|----------------------|
| 1 | 2 | 1 | 2 |
| BeO [19] *1 | | 773 | 3,4 |
| 373 | 13,8 | 873 | 2,8 |
| 473 | 8,0 | 973 | 2,0 |
| 573 | 5,1 | 1073 | 1,7 |
| 673 | 4,3 | 1173 | 1,4 |
| | | 1273 | 1,2 |

| 1 | 2 | 1 | 2 |
|--|-------|---|---------------------------------------|
| MgO [19] *1 | | TiO₂[19] *1 | |
| 373 | 7,7 | 423 | 1,0 |
| 473 | 4,5 | 473 | 0,8 |
| 573 | 3,0 | 673 | 0,6 |
| 673 | 2,5 | 873 | 0,4 |
| 773 | 2,0 | 1073 | 0,3 |
| 873 | 1,7 | | |
| 973 | 1,5 | VO [50] *2 | |
| 1073 | 1,2 | 77 | 83,2 |
| 1173 | 1,1 | 200 | 13,1 |
| 1273 | 1,0 | | |
| Al₂O₃ [19] *1 | | 273 | 6,6 |
| 373 | 2,8 | 300 | 6,1 |
| 473 | 2,1 | 400 | 4,2 |
| 573 | 1,7 | 500 | 3,0 |
| 673 | 1,2 | 600 | 3,1 |
| 773 | 1,0 | 700 | 3,6 |
| 873 | 0,8 | 800 | 3,8 |
| 973 | 0,7 | 900 | 4,1 |
| 1073 | 0,6 | | |
| 1173 | 0,5 | | |
| 1273 | 0,4 | | |
| TiO [45] *2 | | 1000 | 4,3 |
| 77 | 191,0 | 1100 | 4,3 |
| 200 | 35,0 | | |
| 273 | 19,0 | | |
| 300 | 13,0 | UO₂ [116] *3 | |
| 400 | 10,0 | 140—300 | $1/\bar{\lambda} = 2,21 \cdot 10^8 +$ |
| 500 | 10,0 | | $+ 9,42 \cdot 10^5 T$ |
| 600 | 10,0 | | |
| 700 | 12,0 | | |
| 800 | 14,0 | U₄O₉ [116]*3 | |
| 900 | 16,0 | 100—300 | $1/\bar{\lambda} =$ |
| 1000 | 18,0 | | $+ 5,01 \cdot 10^{-4}$ |
| 1100 | 20,0 | | |

*1 Из графика. *2 Расчет. *3 м⁻¹.

ГЛАВА IV

МЕХАНИЧЕСКИЕ СВОЙСТВА

1. МОДУЛЬ НОРМАЛЬНОЙ УПРУГОСТИ

| Модуль нормальной упругости E , ГПа | Температура, К | Модуль нормальной упругости E , ГПа | Температура, К | Модуль нормальной упругости E , ГПа | Температура, К |
|--|----------------|---|-----------------------------------|---|--|
| 1 | 2 | 1 | 2 | 1 | 2 |
| H₂O [1] | | SiO₂ [1] | | ZrO₂ [1] | |
| 2,8 | 271 | 111* ²⁶ 103* ²⁷ 98* ²⁸ 90* ²⁹ | 293 293 293 293 | 114,0* ⁴⁷ 123,5* ⁴⁸ 123,6* ⁴⁹ | 298 298 298 |
| BeO [1] | | CaO [211] | | Gd₂O₃ [212] | |
| 304,02— 127,49* ¹ 49,04* ² 61,78* ³ 102,97* ⁴ 157,89* ⁵ 227,52* ⁶ 294,21* ⁷ 356*97* ⁸ 308,92— 127,49* ⁹ | 293—1473 | 85* ³⁰ 79* ³¹ 76* ³² 71* ³³ 52* ³⁴ 181* ³⁵ | 293 293 293 293 0—273 | 168,68— 94,15* ⁵⁰ 186,83* ⁵¹ 168,68— 100,03* ⁵² 141,2—100* ⁵⁴ 166,72— 81,4* ⁵⁵ 122,3* ⁵⁶ | 293—1633 293—1773 293—1473 293—1573 — |
| MgO [1] | | TiO₂ [1] | | Al₂O₃ [1] | |
| 209,87— 27,46* ¹⁰ 208,9* ¹¹ 295,20— 219,68* ¹² 246,7* ¹³ 309,6* ¹⁴ 345,8* ¹⁵ 307,2* ¹⁶ 284*0* ¹⁷ | 296—1573 | 177* ³⁶ 175* ³⁶ 173* ³⁶ 170* ³⁶ | 293 473 673 873 1073 | 150,0* ⁵⁷ 128,0* ⁵⁸ 107,5* ⁵⁹ 88,0* ⁶⁰ 67,0* ⁶¹ 45,0* ⁶² 142,0* ⁶³ 135,0* ⁶³ 128,0* ⁶³ 122,0* ⁶³ | 293 293 293 293 293 293 273 673 1073 1473 1673 |
| FeO [1] | | ZnO [238] | | | |
| 374,63— 147,1 370,70* ¹⁸ 348,7* ¹⁹ 542,0* ²¹ 360,0* ²² 377,0* ²³ 395* ²⁴ 403,9* ²⁵ | 293—1773 | 1,079* ⁴³ 1,177* ⁴³ | 1073 1073 | 83,0* ⁶⁴ 77,0* ⁶⁴ 74* ⁶⁴ 70* ⁶⁴ 54* ⁶⁵ 50* ⁶⁵ 40* ⁶⁵ | 673 1073 1473 1673 273 1073 1473 |

| 1 | 2 | 1 | 2 | 1 | 2 |
|--------------------------------------|-----|--------------------------------|----------|-----------------------------------|----------|
| Dy ₂ O [240] | | 132* ⁷⁹ | 473 | 240,27— 192,2* ⁸⁴ | 293—1473 |
| 51,6* ⁶⁶ | — | 130* ⁷⁹ | 773 | 236,35* ⁸⁵ | 573 |
| 89,6* ⁶⁷ | — | 124* ⁷⁹ | 1273 | 216,7* ⁸⁵ | 873 |
| 124,0* ⁶⁸ | — | 104* ⁸⁰ | 273 | 205,95* ⁸⁵ | 1173 |
| 170,0* ⁶⁹ | — | 102* ⁸⁰ | 473 | 137,3* ⁸⁶ | 293 |
| Yb ₂ O ₃ [218] | | 100* ⁸⁰ | 773 | 125,5* ⁸⁶ | 873 |
| 188* ⁷⁰ | 293 | 95* ⁸⁰ | 1273 | 107,88* ⁸⁶ | 1273 |
| 178* ⁷¹ | 293 | 86* ⁸¹ | 273 | 83,36* ⁸⁶ | 1473 |
| 162* ⁷² | 293 | 84* ⁸¹ | 473 | 144,16* ⁸⁷ | 293 |
| 150* ⁷³ | 293 | 82* ⁸¹ | 773 | UO ₂ [1] | |
| 135* ⁷⁴ | 293 | 80* ⁸¹ | 1273 | 171,62* ⁸⁸ | — |
| 120* ⁷⁵ | 293 | ThO ₂ [1] | | 181,43— 162,8 | 293—1073 |
| 105* ⁷⁶ | 293 | 137,30— 97,1* ⁸² | 293—1473 | U ₃ O ₈ [1] | |
| 90* ⁷⁷ | 293 | 223,6* ⁸³ | 293 | 172,2 | 293 |
| 77* ⁷⁸ | 293 | | | | |
| 135* ⁷⁹ | 273 | | | | |

*¹ Метод изгиба, плотность 2700—2800 кг/м³. *² Плотность 1800 кг/м³. *³ 2000 кг/м³. *⁴ 2200 кг/м³. *⁵ 2400 кг/м³. *⁶ 2600 кг/м³. *⁷ 2800 кг/м³. *⁸ 3000 кг/м³. *⁹ Пористость 3—7%. *¹⁰ Пористость 11%. Плотность 3150 кг/м³. *¹¹ Пористость 3—7%. *¹² Пористость 2%, плотность 3510 кг/м³. *¹³, *¹⁴, *¹⁵ Монокристалл, методом статического нагружения для направления E_{100} , E_{110} , E_{111} . *¹⁶ Плотность 3580 кг/м³ по источнику [215]. *¹⁷ Плотность 3460 кг/м³, пористость 3,3% по источнику [216, с. 46]. *¹⁸ Горячепрессованный. *¹⁹ Обожжен при 2023 К. *²⁰ Плотность 3580 кг/м³, пористость 3,5% по источнику [216]. *²¹—*²⁵ Из графика, плотность: 3800; 3850; 3900; 3950; 3990 кг/м³ соответственно по источнику [238]. *²⁶—*³⁴ Кварцевая нить диаметром 3; 4; 5; 7; 10; 15; 26; 71; 52*³⁵ мкм соответственно. *³⁵ При 0 К методом экстраполяции. Образцы поликристаллические. *³⁶ Статический методом. Образцы в виде диска $d=32$ мм, $h=1$ мм. *³⁷ Плотность 4100 кг/м³ по источнику [1]. *³⁸—*⁴¹ Из графика, плотность: 4000; 4100; 4200; 4250 кг/м³ соответственно по источнику [238]. *⁴² Монокристалл по источнику [238]. *⁴³ Методом растяжения, образцы поликристаллические, пористость 1%, спекались под давлением $p=22$ МПа, $T=1353$ К. *⁴⁴—*⁴⁸ Поликристаллические, из графика. *⁴⁴ Плотность 4000 кг/м³. *⁴⁵ 4500 кг/м³. *⁴⁶ 5000 кг/м³. *⁴⁷ 5500 кг/м³. *⁴⁸ 5680 кг/м³. *⁴⁹ Монокристалл. *⁵⁰ Спеченный, метод изгиба тонких стержней. *⁵¹ Плотность 6100 кг/м³. *⁵² Стабилизированный 4,2% (по массе) MgO. *⁵³ Стабилизированный 2% (по массе) MgO. *⁵⁴ Стабилизированный 5% (по массе) CaO, плотность 4930 кг/м³. *⁵⁵ Стабилизированный 4% (по массе) CaO, общая пористость 4%. *⁵⁶ Плотность 5430 кг/м³, пористость 5,6% по источнику [216]. *⁵⁷—*⁵⁹ Поликристаллический, моноклинный, из графика. *⁵⁷ Объемная пористость 0,00%. *⁵⁸ 0,08. *⁵⁹ 0,16. *⁶⁰ 0,24. *⁶¹ 0,32. *⁶² 0,40. *⁶³ Пористость 3,47%. *⁶⁴ Пористость 22,97%. *⁶⁵ Пористость 36,6%. *⁶⁶—*⁶⁸ Поликристаллический, из графика. *⁶⁶ Плотность 3300 кг/м³. *⁶⁷ 5000 кг/м³. *⁶⁸ 10 000 кг/м³. *⁶⁹ Беспористая. *⁷⁰—*⁷⁸ Поликристаллический. *⁷⁰ Объемная пористость 0,00. *⁷¹ 0,10. *⁷² 0,06. *⁷³ 0,10. *⁷⁴ 0,14. *⁷⁵ 0,18. *⁷⁶ 0,22. *⁷⁷ 0,26. *⁷⁸ 0,30. *⁷⁹ Пористость 14,3%. *⁸⁰ Пористость 21,4%. *⁸¹ Пористость 27,1%. *⁸² Образцы спечены при 2173 К. *⁸³ Горячепрессованные, плотность 9570 кг/м³. *⁸⁴ Плотность 9630 кг/м³ с добавкой 0,5% CaO. *⁸⁵ Состав 99,5% ThO₂+0,5% CaO. *⁸⁶ Образцы обожженны при 2173 К. *⁸⁷ Образцы спеченные, пористость 3—7%. *⁸⁸ Пористость 3—10%.

2. МОДУЛЬ СДВИГА

| Модуль сдвига G , ГПа | Температура, К | Модуль сдвига G , ГПа | Температура, К | Модуль сдвига G , ГПа | Температура, К |
|---------------------------------|----------------|-----------------------------|----------------------|-------------------------|----------------------|
| 1 | 2 | 1 | 2 | 1 | 2 |
| | | H_2O [1] | 225,86* ⁸ | 1373 | TiO_2 [238] |
| 2,746— 2,942* ¹ | — | 202,51* ⁸ | 1473 | 96,0* ²³ | 298 |
| | | 119,45* ⁸ | 1573 | 107,0* ²⁴ | 298 |
| | | BeO [1] | 15,79* ⁸ | 111,5* ²⁵ | 298 |
| 100,03* ² | 273—1073 | 12,36* ⁸ | 1773 | 113,54* ²⁶ | 298 |
| 96,11* ² | 1273 | 163,4* ⁹ | 298 | | |
| 48,05* ² | 1373 | 85* ¹⁰ | — | | ZnO [238] |
| | | MgO [1] | 115* ¹¹ | 21,0* ²⁷ | 298 |
| | | 135* ¹² | — | 27,0* ²⁸ | 298 |
| 76,49— 22,56* ³ | 573—1573 | 160* ¹³ | — | 34,0* ²⁹ | 298 |
| 113,76— 35,31* ⁴ | 573—1673 | | SiO_2 [1] | 42,5* ³⁰ | 298 |
| 129,3* ⁵ | 298 | 31 | 293 | 45,6* ³¹ | 298 |
| | | 66* ¹⁴ | 293 | 45,5* ³² | 298 |
| | | Al_2O_3 [1] | 61* ¹⁵ | 293 | ZrO_2 [1] |
| 124,55— 105,92* ⁶ | 298—1323 | 58* ¹⁶ | 293 | 60,80 | 293 |
| 89,24* ⁶ | 1473 | 53* ¹⁷ | 293 | 67,67* ³³ | 298 |
| 77,48* ⁶ | 1623 | 48* ¹⁸ | 293 | 97,09* ³³ | 1573 |
| 60,00* ⁶ | 1773 | 42* ¹⁹ | 293 | 96,79* ³⁴ | 1573 |
| 186,33* ⁷ | 293 | 39* ²⁰ | 293 | | |
| 347,36* ⁸ | 293 | 35* ²¹ | 293 | | CeO_2 [1] |
| 347,36* ⁸ | 293 | | CaO [211] | 62,47 | 303 |
| 291,76* ⁸ | 773 | 73,5* ²² | 0 | 34,32 | 1373 |
| 274,60* ⁸ | 1273 | 74,0* ²² | 273 | | |

| 1 | 2 | 1 | 2 | 1 | 2 |
|--|------|----------------------|----------|--------------------------------|---------|
| 15,79 | 1573 | 35* ⁴³ | 273 | 79,44* ⁴⁸ | 1073 |
| 69,04* ³⁵ | — | 30* ⁴³ | 1073 | 58,84* ⁴⁸ | 1373 |
| Gd₂O₃ [212] | | 28* ⁴³ | 1473 | 38,25* ⁴⁸ | 1573 |
| 58,0* ³⁶ | 293 | 56—53* ⁴⁴ | 273—1473 | 93,17— 83,36* ⁴⁹ | 303—973 |
| Yb₂O₃ [218] | | | | | |
| 51,0* ³⁷ | 293 | | | UO₂ [1] | |
| 43,0* ³⁸ | 293 | 52* ⁴⁵ | 273 | 0,98—1,96 | 298 |
| 35,0* ³⁹ | 293 | 50* ⁴⁵ | 773 | | |
| 27,0* ⁴⁰ | 293 | 48* ⁴⁵ | 1273 | | |
| 17,5* ⁴¹ | 293 | 41—40* ⁴⁶ | 273—1273 | | |
| 21* ⁴² | 273 | 34—32* ⁴⁷ | 273—1273 | | |
| 18* ⁴² | 1073 | | | | |
| 16* ⁴² | 1473 | | | ThO₂ [1] | |
| | | 98,07* ⁴⁸ | 303 | | |

*¹ Лед. *² Плотность 2700—2800 кг/м³. *³ Образцы получены литьем из шликера, пористость 12%. *⁴ Гидростатическим прессованием, пористость 2%. *⁵ Поликристаллический, резонансный метод по источнику [215]. *⁶ Из чистой α -Al₂O₃, плотность 3840 кг/м³. *⁷ Монокристалл. *⁸ Беспористые. *⁹ Монокристалл по источнику [238]. *¹⁰ Из графика, плотность 3400 кг/м³. *¹¹ Плотность 3600 кг/м³. *¹² 3800 кг/м³. *¹³ 4000 кг/м³. *¹⁴—*²¹ Кварцевая плавленая нить. *¹⁴ Диаметр 3 мкм. *¹⁵ 4 мкм. *¹⁶ 5 мкм. *¹⁷ 7 мкм. *¹⁸ 10 мкм. *¹⁹ 15 мкм. *²⁰ 20 мкм. *²¹ 30 мкм. *²² Поликристалл, методом экстраполяции при ОК. *²³—*²⁵ Поликристаллический, из графика. *²³ Плотность 4050 кг/м³. *²⁴ 4200 кг/м³. *²⁵ 4250 кг/м³. *²⁶ Монокристалл. *²⁷—*³¹ Поликристаллический, из графика. *²⁷ Плотность 4000 кг/м³. *²⁸ 4500 кг/м³. *²⁹ 5000 кг/м³. *³⁰ 5400 кг/м³. *³¹ 5700 кг/м³. *³² Монокристалл. *³³ Стабилизирован 2,5% (по массе) MgO. *³⁴ Плотность 5200 кг/м³, общая пористость 4%, открыта 0%, стабилизирован 4% (по массе) CaO. *³⁵ Обжиг при 1773 К, получены прессованием, $p=490$ МПа. *³⁶—*³⁹ Поликристаллический, моноклинный, из графика. *³⁸ Объемная пористость 0,00. *³⁷ 0,08. *³⁸ 0,16. *³⁹ 0,24. *⁴⁰ 0,32. *⁴¹ 0,40. *⁴² Из графика, пористость 36,6%. *⁴³ Пористость 22,97%, из графика. *⁴⁴ Пористость 3,47%, из графика. *⁴⁵ Пористость 14,3%, из графика. *⁴⁶ Пористость 21,4%. *⁴⁷ Пористость 27,1%. *⁴⁸ Пористость 1,7%, плотность 9530 кг/м³, спечены при 2103 К. *⁴⁹ Плотность 9700 кг/м³, состав: 99,5% ThO₂+0,5% CaO.

3. КОЭФФИЦИЕНТ ПУАССОНА

| Коэффициент Пуассона | Темпера- тура, К | Коэффициент Пуассона | Темпера- тура, К | Коэффициент Пуассона | Темпера- тура, К | Коэффициент Пуассона | Темпера- тура, К | Коэффициент Пуассона | Темпера- тура, К |
|--|---------------------|-------------------------|------------------------|-------------------------|------------------------|----------------------------|------------------------|--------------------------------|------------------------|
| | | | | | | | | | |
| BeO [1] | | | | | | | | | |
| 0,36—0,38* ¹ | 293 | 0,25—0,44* ⁶ | 298—1473 | 0,13—0,30* ⁷ | 298—1473 | 0,515* ¹² | 293 | 0,17* ¹⁶ | 293 |
| 0,34—0,35 | 293—1273 | SiO ₂ [47] | | 1373 | | | | 0,28—0,29* ¹⁷ | 873—1173 |
| 0,40 | | 0,17* ⁸ | | | | | | 0,280— 0,285* ¹⁸ | 303—1173 |
| MgO [1] | | | | | | | | | |
| 0,36—0,33 | 298—1273 | CaO [211] | | 1373 | 0,23* ⁹ | 0,266—0,268* ¹³ | 293 | | |
| 0,47 | | 0,22* ⁹ | | | 0 | | | | |
| Al₂O₃ [1] | | | | | | | | | |
| 0,27—0,36* ² | 293—1273 | ZrO ₂ [1] | | 1373 | 0,264* ¹⁴ | 0,265—0,288* ¹⁵ | 273 | 273—1273 | |
| 0,47* ² | | | | | | | | | |
| 0,26—0,45* ³ | 298—1473 | | | | | | | | |
| 0,32—0,53* ⁴ | 298—1473 | | | | | | | | |
| 0,29—0,49* ⁵ | 298—1473 | | | | | | | | |
| | | 0,29* ¹⁰ | | | 293 | | | | |
| | | 0,36* ¹¹ | | | 293 | | | | |

*¹ Плотность 2700—2800 кг/м³. *² Спеченный глиноzem, беспористый. *³ Пористость 0,1%. *⁴ Пористость 0,2%. *⁵ Пористость 0,3%. *⁶ Пористость 0,4%. *⁷ Пористость 0,5%. *⁸ Кварцевая нить плавленая. *⁹ Глинокристаллический, при ОК методом экстраполации. *¹⁰ Плотность 5200 кг/м³, стабилизирован 4% (по массе) CaO. *¹¹ Стабилизирован 2,5% MgO. *¹² Обжиг при 1773 К; прессован при $P=0,5$ МПа. *¹³ Поликристаллический, объемная пористость 0,00—0,40. *¹⁴ Пористость 27,1%. *¹⁵ Пористость 14,3%. *¹⁶ Спеченные, $T=2193$ К, высокой степени чистоты. *¹⁷ 99,5% ThO₂+0,5% CaO. *¹⁸ Плотность 9700 кг/м³.

4. ПРЕДЕЛ ПРОЧНОСТИ ПРИ РАСТЯЖЕНИИ

| Предел прочности при растяжении σ , МПа | Температура, К | Предел прочности при растяжении σ , МПа | Температура, К | Предел прочности при растяжении σ , МПа | Температура, К |
|--|----------------|--|----------------|--|----------------|
| 1 | 2 | 1 | 2 | 1 | 2 |
| H₂O [1] | | Al₂O₃ [1] | | FeO [1] | |
| 0,98* ¹ | 258—261 | 258,62— 29, ₅₀ * ¹⁵ | 293—1673 | 36,26* ³⁰ 29,40* ³¹ | 1073 1073 |
| BeO [1] | | 259— 127, ₄₀ * ¹⁶ | 293—1473 | Zr₂O₃ [1] | |
| 144,55 | 293 | 44,10— 10, ₇₈ * ¹⁶ | 1583— 1773 | 145,53— 12, ₇₄ * ³² | 293—1813 |
| 137,2— 68, ₆ * ² | 293—1273 | 258, ₇₂ * ¹⁷ | 293 | 137, ₂₀ * ³³ | 293 |
| 102,9— 27, ₄₄ * ³ | 293—1473 | 43,90— 12, ₀₃ * ¹⁷ | 1573— 1773 | 119,56— 69, ₉₇ * ³⁴ | 673—1573 |
| MgO [1] | | SiO₂ [1] | | ThO₂ [1] | |
| 96,04— —41,16* ⁴ | 293—1573 | 9000* ¹⁸ 8000* ¹⁹ | 293 | 137,20— 69, ₉₇ * ³⁵ | 293—1573 |
| 110,25— 98,00* ⁵ | 873—1073 | 6500* ²⁰ | 293 | 145,53— 82, ₅₂ * ³⁶ | 473—1473 |
| 55,17—41,3* ⁵ | 473—1573 | 5500* ²¹ 4800* ²² | 293 | 12, ₇₄ * ³⁶ | 1813 |
| 96,0—82,3* ⁶ | 293—1273 | 3900* ²³ | 293 | | |
| 64,19— 21,95* ⁷ | 303—1673 | 3000* ²⁴ 2300* ²⁵ | 293 | | |
| 29, ₄ * ⁸ 392* ⁹ | — | 1700* ²⁶ | 293 | 82,32— 48, ₀₂ * ³⁷ | 293—1273 |
| 980* ¹⁰ | — | 14500* ²⁷ | 293 | | |
| 490* ¹¹ | — | | | | |
| 88* ¹² | — | TiO₂ [1] | | UO₂ [1] | |
| 68, ₆ * ¹³ | — | 54,88— 41, ₁₆ * ²⁸ | 293—1273 | 82,30— 123, ₄₈ * ³⁸ | 293—1273 |
| 58, ₆ * ¹⁴ | — | 58,8—68,6* ²⁹ | 293 | | |

*¹ При малых скоростях нагружения. *² Пористость 3—7%. *³ Плотность 2800 кг/м³. *⁴ Пористость 11%. *⁵ Прямоугольные образцы, полученные литьем. *⁶ Пористость 3—7%. *⁷ Пористость 11%. *⁸ Монокристалл без специальной обработки. *⁹ Монокристалл после химической полировки и отжига. *¹⁰—*¹⁴ Нитевидные монокристаллы, выращенные путем конденсации. Диаметр: 6—2; 10; 20; 30 мкм соответственно. *¹⁴ 40 мкм. *¹⁵ Плотные изделия из очень чистой Al₂O₃. *¹⁶ Спеченный глинозем. *¹⁷ Плотность 3900 кг/м³. *¹⁸—*²⁷ Кварцевая нить диаметром: 1,5; 2,0; 3,0; 4,0; 5,0; 7,0; 10,0; 15; 20,0; 30,0 мкм соответственно. *²⁸ Пористость 3—7%. *²⁹ Плотность 4100 кг/м³. *³⁰ Поликристаллические, пористость 1%, спекались при $T=1353$ К. *³¹ Монокристалл. *³² Стабилизирован 4,2% MgO (по массе). *³³ Плотность 5600 кг/м³. *³⁴ Плотность 6100 кг/м³. *³⁵ Пористость 1—4%. *³⁶ Образцы обожжены при 2173 К. *³⁷ Пористость 3—7%. *³⁸ Пористость 3—10%. *³⁹ Плотность 10 020—8300 кг/м³.

5. ПРЕДЕЛ ПРОЧНОСТИ ПРИ СЖАТИИ

| Продел прочности при сжатии $\sigma_{\text{сж}}$, МПа | Температура, К | Продел прочности при сжатии $\sigma_{\text{сж}}$, МПа | Температура, К | Продел прочности при сжатии $\sigma_{\text{сж}}$, МПа | Температура, К |
|--|----------------|--|----------------|--|----------------|
| 1 | 2 | 1 | 2 | 1 | 2 |
| H₂O [1] | | MgO [1] | | ThO₂ [1] | |
| 0,98—1,96* ¹ | 273 | 1372,00— | 293—2073 | 490* ²⁶ | 293 |
| 5,586— | 261—258 | 33,32* ¹⁴ | | 98* ²⁷ | 293 |
| 6,86* ¹ | | | | 49* ²⁸ | 293 |
| 0,49—0,98* ² | 273 | Al₂O₃ [1] | | 39,2* ²⁹ | 293 |
| 1,47— | 261—258 | 2940* ¹⁵ | 293 | 1372* ³⁰ | 293 |
| 4,704* ² | | 1740—49* ¹⁵ | 673—1873 | 1078* ³⁰ | 673 |
| | | 2548—96* ¹⁶ | 273—1773 | 588* ³⁰ | 873 |
| BeO [1] | | SiO₂ [228] | | 490* ³⁰ | 1073 |
| 782,04 | 293 | | | 353* ³⁰ | 1273 |
| 243,53— | 1273— | 176—970* ¹⁷ | 293—1573 | 196—39* ³⁰ | 1473— |
| 48,02 | 1873 | | | | 1673 |
| 784,0* ² | 293 | CaO [227] | | 1509,2* ³¹ | 293 |
| 490,0—49* ³ | 773—1873 | 181—220* ¹⁸ | 1773 | 1558,2* ³² | 293 |
| 48,02* ⁴ | 293 | 140—159* ¹⁹ | 2273 | 950,6* ³³ | 293 |
| 89,18* ⁵ | 293 | | | 499,8* ³⁴ | 293 |
| 137,20* ⁶ | 293 | TiO₂ [1] | | 216,58* ³⁵ | 293 |
| 205,80* ⁷ | 293 | 245* ²⁰ | 293 | 1468* ³⁶ | 293 |
| 411,60* ⁸ | 293 | ZrO₂ [1] | | 487* ³⁶ | 1073 |
| 754,60* ⁹ | 293 | 2058—19,6* ²¹ | 293—1773 | 350* ³⁶ | 1273 |
| 1176,0* ¹⁰ | 293 | 1173,06— | 1273— | 196,00* ³⁶ | 1473 |
| 1372,0* ¹¹ | 293 | 19* ²² | 1773 | 10,29* ³⁶ | 1773 |
| 782,04* ¹² | 293 | UO₂ [1] | | | |
| 439,04— | 1073— | 2058* ²³ | | | |
| 48,02* ¹² | 1873 | 1960* ²⁴ | | | |
| 784,98* ¹³ | 298 | 980* ²⁵ | 293 | | |
| 489,02—49* ¹³ | 1073— | | | | |
| | 1873 | | | | |

*¹ При малых скоростях нагружения. *² При больших скоростях нагружения. *³ Плотность 2800—2900 кг/м³, пористость 6%. *⁴—*⁶ Плотность 1800—2800 кг/м³, изменяется через каждые 200 кг/м³. *¹⁰ Плотность 2900 кг/м³. *¹¹ Плотность 2950 кг/м³. *¹² Плотность 3030 кг/м³. *¹³ Плотность 2700—2800 кг/м³, по источнику [14, с. 347]. *¹⁴ Спеченный. Плотность 3480 кг/м³. *¹⁵ Спеченный глиноzem. *¹⁶ Плотность 3900 кг/м³, по источнику [226]. *¹⁷ Кварцевая керамика 99,99% SiO₂. *¹⁸ Плотность 3140—3180 кг/м³, среда — вакуум, размер зерна — 50—90 мкм. *¹⁹ Плотность 3160 кг/м³, среда — аргон, размер зерна 120—250 мкм. *²⁰ Плотность 3100 кг/м³. *²¹ Плотность 5600 кг/м³. *²² Плотность 6100 кг/м³. *²³—*²⁹ Марка Х. Ч., стабилизированы 4,2% (по массе) MgO. *³³—*³⁹ Пористость: 5; 9; 16; 26; 48; 58; 62% соответственно. *³⁰ Спеченный при 2173 К. *³¹—*³⁵ Спеченные при 2073 К, 99,9% ThO₂, в зависимости от пористости и размера диаметра зерна. *³¹ Пористость 6,7%, диаметр 25,1 мкм. *³² Пористость 8,6%, диаметр 16,4 мкм. *³³ Пористость 23,2%, диаметр 6,1 мкм. *³⁴ Пористость 31,3%, диаметр 9,4 мкм. *³⁵ Пористость 31,3%, диаметр 42,9 мкм. *³⁸—*³⁹ Плотность: 9690; 10 020; 90 800; 8300 кг/м³ соответственно.

6. ПРЕДЕЛ ПРОЧНОСТИ ПРИ ИЗГИБЕ

| Предел прочности при изгибе, МПа | Темпера-тура, К | Примечание | |
|--|-----------------|--|---|
| | | 1 | 2 |
| BeO [1] | | | |
| 178,4—96,0 | 293—1473 | | |
| 17,84—99,96 | 293 | Плотность 1960—2380 кг/м ³ | |
| 250,9—61,7 | 293 | Размер зерна 7—100 мкм | |
| 34,3 | 293 | Размер зерна 200 мкм | |
| MgO [1] | | | |
| 89,18 | 293 | Плотность 3400 кг/м ³ | |
| 43,61—8,82 | 1623—1903 | Плотность 3400 кг/м ³ | |
| 245 | — | Нитевидные монокристаллы [219] | |
| 441 | — | Теоретический для монокристаллов | |
| Al₂O₃ [1] | | | |
| 294—393 | 293 | Плотность 3900 кг/м ³ | |
| 156,8 | 293 | Обожжены при 2023 К | |
| 26,5—27,4 | 293 | Сапфир | |
| 185 | 293 | Плотность 3850 кг/м ³ , пористость 3,5% [216] | |
| SiO₂ [229] | | | |
| 35,8—73,5 | 273—1273 | Плотность из графика: | |
| 58,8—110,0 | 273—1273 | 1930—1970 кг/м ³ | |
| 69,5—137,0 | 273—1273 | 1980—2020 кг/м ³ | |
| 106—171 | 873—1273 | 2100—2150 кг/м ³ | |
| 88—177 | 673—1353 | 2170—2200 кг/м ³ | |
| | | Кварцевая керамика [228] | |
| Sc₂O₃ [140] | | | |
| 176—186 | 293—973 | Обожжены при 1900—2100° С | |
| 176—1873 | 1273—1873 | <i>v</i> =5 Н/с (скорость нагружения) | |
| TiO₂ [1] | | | |
| 134,26 | 293 | Плотность 4100 кг/м ³ | |
| SmO₂ [1] | | | |
| 196—245 | 293 | Плотность 6100 кг/м ³ | |
| 9,75—0,61 | 300—2300 | Пористость 18,6%, стабилизирован CaO техн. | |
| 132 | — | Плотность 5430 кг/м ³ , пористость 5,6% | |
| Sm₂O₃ [1] | | | |
| 12,74 | 293 | Прессованы при 19,6 МПа, среда — кислородно- | |
| 13,72 | 293 | акрилоновая, обжиг при 1573 К | |
| | | Обжиг при 1773 К | |

| 1 | 2 | 3 |
|---|---|---|
|---|---|---|

TaO [235]

345 | 293 | Пленка $d=0,2$ мкм

Gd₂O₃ [219]

18,82 | 293 | Обжиг при 1573 К
19,60 | 293 | Обжиг при 1773 К

ThO₂ [1]

| | | |
|--------------|------|----------------------------|
| 73,5—19,1 | 293 | Спеченный при 1923—2123 К |
| 98,98—27,44 | 293 | Пористость, %: 7,2—33,1 |
| 109,76—31,56 | 293 | 6,1—33,1 |
| 115,64—16,46 | 1273 | 6,7—33,1 |
| 107,80—38,42 | 293 | 6,7—33,1 8,6—33,0 |

UO₂ [1]

| | | |
|-------------|---------|--|
| 82,3—59,1 | 298 | Спеченный при 2273 К |
| 94,08—79,18 | 673—973 | Плотность 10100—8500 кг/м ³ |
| 123,5—56,84 | 1273 | То же, 10060—9560 кг/м ³ |

Спеченный при 2273 К
Плотность 10100—8500 кг/м³
То же, 10060—9560 кг/м³
То же, 10020—8390 кг/м³

7. ТВЕРДОСТЬ ПО МИНЕРАЛОГИЧЕСКОЙ ШКАЛЕ [1, с. 256—258]

| Оксид | Твердость, условные единицы | Примечание | Оксид | Твердость, условные единицы | Примечание |
|--------------------------------|-----------------------------------|----------------------------|--------------------------------|-----------------------------------|------------------------|
| | | | | | |
| 1 | 2 | 3 | 1 | 2 | 3 |
| H ₂ O | 1,5— 6,0 | 268—198 К | | 4,0 3,5 | Кальцоксид Известь |
| BeO | 9 | Бромеллит | TiO ₂ | 5—6,5 | Анатаз, рутил |
| | 7—9 | — | V ₂ O ₃ | 8,5 | Карелианит |
| MgO | 5—6,5 | — | VO ₂ | 3,5 | |
| | 5,50— 5,75 | Периклаз | Cr ₂ O ₃ | 8,5 | Эсколаит |
| Al ₂ O ₃ | 9 | Корунд, сап- фир, рубин | MnO | 5,6— | Манганозит |
| | | Кварц, триди- мит | Mn ₂ O ₃ | 4,75 | Браунит, бикс- бийт |
| SiO ₂ | 7 | Агат, кремень, яшмы | Mn ₃ O ₄ | 5,5— 7,0 | Гаусманит |
| | 6 | Кристобалит | MnO ₂ | 4 2,0— 6,0 | Пиролюзит |
| | 6,5 | Минеральный | | 7,0 | Полианит |
| CaO | 8,5 | — | FeO | 5,0 | Иоцит (вюцит) |
| | 4,0— 4,5 | | | | |

| 1 | 2 | 3 | 1 | 2 | 3 |
|-------------------------|-----------------------------------|------------------------------------|---|---------------------------|---|
| Fe_3O_4 | 5,5— 6,5 | Магнетит | Sb_2O_3 | 6,5 2,0— 2,5 | — Сенармонтит |
| Fe_2O_3 | 6,75 | Гематит | | 2,5— 2,5 | Валентинит |
| NiO | 5,0— 5,5 | Бунзенит | | 3,0 | |
| Cu_2O | 3,5— 4,0 | Куприте | Sb_4O_6 | 2,0— 2,5 | Сенармонтит |
| CuO | 3,5 3,5 | — Тенорит | Sb_2O_4 | 4,0— 5,0 | Серванти |
| ZnO | 4,0— 5,7 4,0 | — Цинкит | TeO_3 BaO Ce_2O_3 | 2,0 3,0 5,0— 5,5 | Теллурит — — |
| Ga_2O_3 | 9,0 | — | CeO_2 | 6,0 | |
| GeO_2 | 7,5 | — | | 6,0 | |
| As_2O_3 | 1,5 2,5 2,5 | Арсенолит Клаудетит Клодетит | Yb_2O_3 Ta_2O_5 WO_3 | 6,0 6,0 5,5— 6,0 | Церианит — — |
| As_4O_6 | 1,5— 2,0 | Арсенолит | HgO | 2,0 | |
| SeO_2 | 2,0 | Селенолит | Tl_2O_3 | 6,5 | Мотроидит |
| SrO | 3,5 | — | PbO | 2,0 | Авиценнит |
| Y_2O_3 | 5,5 | — | Pb_3O_4 | 2,0— 3,0 | Глет, массикот |
| ZrO_2 | 6,5— 7,0 7,0— 8,0 6,5 | — Спеченный Бадделит | PbO_2 Bi_2O_3 | 5,5 4,5 | Сурик Платерит Бисмит, суплени |
| Nb_2O_3 | 6,5 | — | | | — |
| MoO_3 | 1,5 1,0— 2,0 | Молибдит | ThO_2 UO_2 | 6,5 3,5 | Торианит Плотность 10 750 кг/м ³ |
| CdO | 3,0 | — | | 5,5— 60 | Уранинит |
| In_2O_3 | 7,0 | — | | | |
| SnO_2 | 6,0— 7,0 | Касситерит | U_3O_8 | 3,5 | — |

8. МИКРОТВЕРДОСТЬ

| Микротвердость, МПа | Нагрузка, $P \cdot 10^{-5}$, Н | Примечание | | |
|------------------------|------------------------------------|------------|---|---|
| | | 1 | 2 | 3 |
| | | | | |

BeO [1]

| | | |
|----------|--------|--------------------------|
| 14906,64 | 98 070 | Время под нагрузкой 10 с |
| 12 290 | 49 035 | — |
| 9950 | | |

| 1 | 2 | 3 |
|--|---|--|
| MgO [1] | | |
| 9081,3—9277,4 7453,3—1961,4 11 250 | 49035—98070 49 035 | Монокристалл периклаза 293—923 К Монокристалл |
| Al₂O₃ [1] | | |
| 20153,4—21487,1 20447,6—20202,4 19614,0—21575,4 26675,04 25498,2 24674,4 24321,36 22458,03 23370,08 25253,02 21575,40 19025,60 22703,2 24600±1120* ¹ | 196 140 49 035 196 140 49 035 196 140 98 070 98 070 98 070 196 140 49 035 49 035 98 070 98 070 98 070 196 140 | Корунд, минерал Синтетический корунд Синтетический корунд Сапфир синтетический » » Синтетический лейкосапфир Светло-красный рубин Темно-красный рубин Рубин — положение плоскости наблюдения: параллельно оси перпендикулярно оси Корунд синтетический — положение оси наконечника к главной оси кристалла: перпендикулярное параллельное образует угол 60° |
| SiO₂ [1] | | |
| 11033,56—12121,45 7571,0—8394,8 9708,9 12062,6* ² 10983,8—10817,1* ² 12356,82* ³ 10983,84* ³ 11081,9* ³ 10591—10737,7* ³ | 196 140 50 016 50 016 49 035 49 035 49 035 49 035 49 035 49 035 | Кварц Кварц дымчатый, грань (0001) Кварц светлый, грань (0001) Кварцит, грань (1010) Кварц. Положение оси наконечника к главной оси кристалла: перпендикулярное параллельное Грань (1010) Грань (1011) оникс |
| CaO [1] | | |
| 6045 | 49 035 | Марки «ч», спекание При $T=2023\text{K}$, среда — воздух и аргон, пористость 12 %. Время под нагрузкой 10 с |

| 1 | 2 | 3 |
|---|-------------|--|
| Ti₆O [1] | | |
| 5099,64 | 196 140 | Температура отжига, К: 673 |
| 5393,85 | 196 140 | 873 |
| 5688,06 | 196 140 | 1073 |
| Ti₂O [1] | | |
| 5197,71 | 196 140 | Температура отжига, К: 673 |
| 5295,78 | 196 140 | 873 |
| 5589,99 | 196 140 | 1073 |
| TiO [1] | | |
| 19614,00—6374,55 | 49035—98070 | 293—1023 К |
| TiO₂ [1] | | |
| 7845,66—1961,40 | 49035—98070 | 398—923 К |
| 6001,88 | 98 070 | Рутил |
| 10 750 | 49 035 | Горячепрессованный при $T=1723$ К, отожженный при $T=1473$ К, время под нагрузкой 10 с |
| 19400±274* ⁴ | 98 070 | |
| V₂O₅ [236] | | |
| 1380±264 | 19 614 | |
| VO₂ [233] | | |
| 8560—6410 | 29 421 | Монокристалл 278—364 К |
| Cr₂O₃ [1] | | |
| 29 150 | 98 070 | Марки ч. д. а., среда — аргон, спекание при $T=2273$ К, пористость 21%, время под нагрузкой 10 с |
| 27300±1190* ⁴ | 196 140 | |
| MnO [1] | | |
| 5727,29 | 98 070 | Манганит |
| 1961,40—411,89 | 49035—98070 | 353—1073 К, из графика |
| Mn₃O₄ [1] | | |
| 4207,20 | 98 070 | Хаусманит |

| 1 | 3 | 3 |
|--|--------------|-------------------------------|
| FeO [1] | | |
| 5393,85—98,07 | 49035—98070 | 293—1273 K, из графика |
| Fe₃O₄ [1] | | |
| 4677,94—7884,83 | 49 035 | Магнетит |
| 4677,94—7257,18 | 49035—98070 | Магнетит, плоскость (1101) |
| Fe₂O₃ [1] | | |
| 10983,84—6864,9 | 49 035 | Гематит |
| 9022,44—10415,03 | 98070—196140 | Гематит крупнокристаллический |
| 12400—705* ¹ | 98 070 | |
| CoO [1] | | |
| 3775,7—196,1 | 49035—98070 | 293—1163 K, из графика |
| 3610±235* ¹ | 49 035 | |
| NiO [1] | | |
| 3922,80—1961,40 | 49035—98070 | 393—723 K, из графика |
| 4310±402* ¹ | 49 035 | |
| Cu₂O [1] | | |
| 2010,43—2030,05 | 49 035 | Куприт |
| CuO [1] | | |
| 2049,66—2490,98 | 49 035 | Тенорит |
| ZnO [1] | | |
| 1471,05—3118,63 | 49 035 | Цинкит |
| 3150±362* ¹ | 49 035 | |
| Ga₂O₃ [237] | | |
| 6370±245 | — | Монокристалл |
| 8420±245 | — | Плоскость (100) |
| | | Плоскость (001) |
| Y₂O₃ [242] | | |
| 7250—1765 | — | 293—1373 K |

| 1 | 2 | 3 |
|--|---------|--|
| ZrO₂ [1] | | |
| 9807—2942 | 49 035 | 543—1073 K, стабилизирован- ный |
| 12 080 | 98 070 | Стабилизированный CaO, отож- женный при $T=1173$ K, Горячепрессованный при $T=2253$ K |
| 1153±28*1 | 98 070 | |
| Nb₂O₅ [1] | | |
| 7260 | 39 228 | Горячепрессованный при $T=1473$ K, Отожженный при $T=1273$ K, пористость 16%. Под нагрузкой 10 с |
| 7340*1 | 98 070 | |
| MoO₃ [236] | | |
| 5700±461 | 98 070 | |
| SnO₂ [1] | | |
| 9885,46—12043 | 196 140 | Касситерит |
| 14318,22 | 98 070 | » |
| 13533,66 | 49 035 | Касситерит |
| Hf₂O [230] | | |
| 5390 | — | После отжига при $T=1073$ K |
| Hf₃O [230] | | |
| 6860—7840 | — | Отжиг при $T=1073$ —1923 K. |
| 9310 | — | Образцы литые |
| HfO₂ [236] | | |
| 10250±822 | 98 070 | |
| 7650—2540*4 | — | 293—1373 K |
| Ta₂O₅ [236] | | |
| 10 400±254 | 98 070 | |
| WO₃ [236] | | |
| 1500±147 | 49 035 | |

1

2

3

ThO₂ [1]

9689,32—10934,81 | 98070—196140 | Торианит

UO₂ [1]7669,07—8228,07 | 98070—196140 | Уранинит
6600,1—7875,02 | 98070—196140 | Урановая смолка*¹ По [236]. *² По [231]. *³ По [232]. *⁴ По [242].**9. СЖИМАЕМОСТЬ [1]**

| Оксид | Коэффициент сжимаемости, $\beta \cdot 10^{-11} \text{ м}^2/\text{Н}$ | Давление, $p \cdot 10^{-11} \text{ Па}$ | Температура, К | Примечание |
|--------------------------------|---|--|----------------|---|
| H ₂ O | 120 47 | 300 7500 | 266 283 | Лед I Лед II |
| MgO | 0,72 | 125 | 273 | |
| Al ₂ O ₃ | 0,40 | 125 | 273 | Корунд |
| SiO ₂ | 2,75 | 1 | 298 | Кварц |
| CaO | — 0,92 0,89 | — — — | — 273 0 | Поликристаллические образцы По [211] Рассчитано методом экстраполяции |
| TiO ₂ | 0,59 | 125 | 273 | Рутил |
| Fe ₂ O ₃ | 0,60 | 125 | 273 | Гематит |
| Fe ₃ O ₄ | 0,55 | 1 | 273 | Магнетит |
| Cu ₂ O | 0,93 | — | 293 | По [217] |
| ZnO | 0,78 | 125 | 273 | Цинкит |
| SnO ₂ | 0,49 | 125 | 273 | Кассiterит |

10. УПРУГИЕ КОНСТАНТЫ C_{ij} , ГПа

| C_{11} | C_{12} | C_{13} | C_{33} | C_{44} | C_{55} | Темпера- тура, К |
|-----------------------------|----------|----------|----------|----------|----------|---------------------|
| 1 | 2 | 3 | 4 | 5 | 6 | 7 |
| H₂O [225] | | | | | | |
| 15,00 | 7,75 | 6,75 | 16,25 | 3,25 | — | 150 |
| 14,25 | 7,25 | 6,50 | 15,50 | 3,00 | — | 200 |
| 13,25 | 6,75 | 6,00 | 14,75 | 2,75 | — | 250 |

| 1 | 2 | 3 | 4 | 5 | 6 | 7 |
|---|-------|-------|-------|-------|-------|----------------|
| D₂O [225] | | | | | | |
| 16,00 | 8,00 | 5,25 | 18,50 | 4,00 | — | 150 |
| 15,00 | 7,50 | 4,75 | 17,75 | 3,75 | — | 200 |
| 14,25 | 7,25 | 4,50 | 16,75 | 3,70 | — | |
| MgO*¹ [250] | | | | | | |
| 289,3 | 87,7 | — | — | 154,8 | — | 300 |
| 306,17 | 93,8 | — | — | 157,6 | — | 4-77 |
| 296,47 | 95,1 | — | — | 155,9 | — | 296 |
| Al₂O₃*² [1] | | | | | | |
| 492,0 | 168,4 | 116,4 | 490,2 | 146,8 | — | — |
| 496 | 109 | 48 | 502 | 206 | 193,5 | 300 |
| SiO₂ [1] | | | | | | |
| 77,8 | — | — | — | 31,58 | — | — |
| CaO*³ [211] | | | | | | |
| 205 | 62 | — | — | 76 | — | 200 |
| 207 | 63 | — | — | 75 | — | 150 |
| 209 | 64 | — | — | 75 | — | 100 |
| 223 | 59 | — | — | 81 | — | Комнат- ная |
| TiO₂*⁴ [244] | | | | | | |
| 288,6 | 197,0 | — | — | — | 227,2 | 4 |
| 284,2 | 192,4 | — | — | — | 216,2 | 100 |
| 274,0 | 181,0 | — | — | — | 197,5 | 250 |
| 271,4 | 178,0 | 149,6 | 484,0 | 124,4 | 194,8 | 298 |
| 270,1 | 176,4 | 148,6 | 481,8 | 124,0 | 192,5 | 323 |
| 267,4 | 173,4 | 146,9 | 477,0 | 123,0 | 188,2 | 373 |
| 262,3 | 167,7 | 143,2 | 468,3 | 121,3 | 180,2 | 473 |
| 257,1 | 162,0 | 140,8 | 459,2 | 119,4 | 173,1 | 573 |
| MnO*⁵ [245] | | | | | | |
| 223 | 120 | — | — | 79 | — | 298 |
| Cu₂O*⁶ [217] | | | | | | |
| 116,5 | 100,3 | — | — | 12,1 | — | Комнат- ная |
| 121,1 | 105,4 | — | — | 10,9 | — | 4,2 |

| 1 | 2 | 3 | 4 | 5 | 6 | 7 |
|--|--------------|--------------|----------------|--------------|--------------|-----------------------|
| ZnO*⁷ [1] | | | | | | |
| 209,7 | 121,1 | 105,1 | 210,9 | 42,5 | 44,3 | |
| SrO*⁸ [246] | | | | | | |
| 177,6 173,0 | 41,3 45,0 | — | — | 59,5 56,0 | — | 140 Комнат- ная |
| ZrO₂*⁹ [247] | | | | | | |
| 204 223 | 87 97,3 | — | — | 158 154 | — | 77 77 |
| TeO₂*¹⁰ [248] | | | | | | |
| 53,2 56 | 48,6 51,6 | 21,2 27,2 | 108,5 105,1 | 24,4 27,0 | 55,2 66,8 | |

*¹ 1-я строка по [215], плотность 3580 кг/м³. *² 2-я строка по [250], моно-
кристалл, плотность 3986 кг/м³. *³ 4-я строка по [243], монокристалл. *⁴ Моно-
кристалл, рутил. *⁵ Монокристалл. *⁶ Методом «импульс — эхо». *⁷ Монокри-
сталл, фазовым методом. *⁸ 2-я строка по [243], монокристалл. *⁹ Стабилизи-
рован 8 и 12% (мол.) Y₂O₃ соответственно. *¹⁰ 2-я строка по [249].

УПРУГИЕ КОНСТАНТЫ $S_{ij} \cdot 10^{14}$, м²/Н [215; 238]

| Оксид | S_{11} | S_{12} | S_{13} | S_{14} | S_{33} | S_{44} | S_{66} | Темпера- тура, К | Плот- ность, кг/м ³ |
|--------------------------------|----------|----------|----------|----------|----------|----------|----------|---------------------|--------------------------------------|
| MgO | 4,024 | 0,936 | — | — | — | 6,461 | — | — | 3580 |
| Al ₂ O ₃ | 2,18 | 0,50 | 0,16 | -0,49 | 2,02 | 5,04 | 5,36 | 300 | 3980* ¹ |
| | 2,353 | 0,716 | 0,364 | 0,489 | 2,170 | 6,940 | 6,138 | 298 | |
| | 2,404 | 0,747 | 0,382 | 0,503 | 2,216 | 7,038 | 6,302 | 300 | |
| | 2,408 | 0,756 | 0,756 | -0,504 | 2,218 | 6,328 | 6,328 | 300 | |

| Оксид | S_{11} | S_{12} | S_{13} | S_{14} | S_{33} | S_{44} | S_{66} | Темпера- тура, К | Плот- ность, кг/м ³ |
|------------------|---------------|--------------|--------------|----------|--------------|--------------|--------------|---------------------|--------------------------------------|
| TiO ₂ | 11,80 6,55 | 9,03 3,76 | 0,86 0,86 | — | 2,74 2,59 | 8,33 8,00 | 6,25 5,16 | 298 298 | 4260 * ² |
| ZnO | 7,855 | 3,431 | 2,205 | — | 6,939 | 23,546 | 22,573 | 298 | 5680 * ³ |

*¹ Монокристалл, данные разных авторов. *² Монокристалл. *³ Монокри-
сталл, $C_{144}=113$, $C_{166}=-659$, $C_{456}=147$.

11. СКОРОСТЬ ЗВУКА [1; 45; 50; 135]

| Оксид | Температу- ра, К | Скорость звука, м/с | Примечание |
|------------------|---------------------|----------------------------|------------------|
| H ₂ O | 273 | 3980 | Лед |
| H ₂ O | 293 | 1410 | — |
| | 298 | 1496 | — |
| | 313 | 1530 | — |
| D ₂ O | 283 | 13,48—13,83 | — |
| | 313 | 14,30 | — |
| | 333 | 14,53 | — |
| | 353 | 14,57 | — |
| | 373 | 14,46 | — |
| BeO | — | $v_L=11\ 910$; $v_S=7280$ | Пористость 0,006 |
| | — | $v_L=11\ 450$; $v_S=7020$ | » 0,047 |
| | — | $v_L=10\ 940$; $v_S=6770$ | » 0,064 |
| | — | $v_L=10\ 250$; $v_S=6370$ | » 0,116 |
| | — | $v_L=9060$; $v_S=5630$ | » 0,189 |
| CO ₂ | 293 | 260 | — |
| O ₂ | 293 | 316 | — |
| TiO | — | 3330 | Расчет |
| VO | — | 4510 | » |

ГЛАВА V

ЭЛЕКТРИЧЕСКИЕ И МАГНИТНЫЕ СВОЙСТВА

1. ЭЛЕКТРОСОПРОТИВЛЕНИЕ [1]

| Удельное электросопро- тивление, Ом·м | Темпера- тура, К | Удельное электросо- противление, Ом·м | Темпера- тура, К | Удельное электросо- противление, Ом·м | Темпера- тура, К |
|--|---------------------|--|---------------------|--|---------------------|
| | | | | | |
| 1 | 2 | 1 | 2 | 1 | 2 |
| H₂O | | $8,1 \cdot 10^2$ | 1873 | VO₂ | |
| | | $4,2 \cdot 10^2$ | 1998 | | |
| $33,2 \cdot 10^{14}$ | 273 | $2,9 \cdot 10^2$ | 2083 | $10,7$ | 295 |
| $53 \cdot 10^3$ | 323 | $2,2 \cdot 10^2$ | 2148 | $2,7$ | 369 |
| | | | | $0,4$ | 600 |
| BeO | | SiO₂ | | V₂O₅ | |
| | | $1 \cdot 10^{12}$ | 293 | | |
| $9 \cdot 10^9$ | 773 | $1 \cdot 10^4$ | 973 | $4,9 \cdot 10^2$ | 148 |
| $3 \cdot 10^{7*1}$ | 1073 | $2 \cdot 10^3$ | 1173 | $8,5 \cdot 10$ | 169 |
| $1,6 \cdot 10^6$ | 1273 | $3 \cdot 10^2$ | 1473 | $13,7$ | 195 |
| $3 \cdot 10^4$ | 1573 | $2 \cdot 10^2$ | 1673 | $5,6$ | 213 |
| $2 \cdot 10^3$ | 1773 | | | $1,9$ | 233 |
| 350^{*1} | 1873 | | | $8,1 \cdot 10^{-1}$ | 158 |
| 65^{*1} | 2073 | | | $4,1 \cdot 10^{-1}$ | 273 |
| 16 | 2273 | $66 \cdot 10^3$ | 308 | $3,0 \cdot 10^{-1}$ | 292 |
| | | | | $2,7 \cdot 10^{-1}$ | 298 |
| | | | | $7,9 \cdot 10^{-2}$ | 375 |
| Na₂O₂ | | CaO | | $4,9 \cdot 10^{-2}$ | 440 |
| $2,5 \cdot 10^2$ | 293 | $70 \cdot 10^4$ | 1036 | $1 \cdot 10^{-2}$ | 1273 |
| 60 | 392 | $41,7 \cdot 10^3$ | 1203 | | |
| $1 \cdot 10$ | 557 | $10,4 \cdot 10^2$ | 1508 | | |
| | | 20,4 | 1643 | Cr₂O₃ | |
| MgO | | | | $1,3 \cdot 10^3$ | 623 |
| | | | | $2,3 \cdot 10^1$ | 1473 |
| $10^{12}—10^{13}$ | 573 | Sc₂O₃ | | $12,65 \cdot 10^2$ | 618 |
| $9 \cdot 10^{11}$ | 773 | | | $7,8 \cdot 10^1$ | 1023 |
| $1 \cdot 10^7$ | 973 | $4,4 \cdot 10^5$ | 1000 | $4,0 \cdot 10^1$ | 1273 |
| $6 \cdot 10^6$ | 1273 | | | $2,13 \cdot 10^1$ | 1488 |
| $7 \cdot 10^4$ | 1573 | | | | |
| $2 \cdot 10^3$ | 1773 | TiO₂ | | CrO₂ | |
| | | $2,6 \cdot 10^2$ | 200 | | |
| 5 | 2273 | $3,0 \cdot 10^2$ | 300 | | |
| | | $3,1 \cdot 10^2$ | 400 | $5 \cdot 10^{-5}$ | 513 |
| Al₂O₃ | | TiO₂ | | MnO | |
| | | | | | |
| $1 \cdot 10^{14}$ | 287 | $3 \cdot 10^5$ | 773 | $1 \cdot 10^8$ | 293 |
| $3 \cdot 10^{12}$ | 473 | $1,2 \cdot 10^2$ | 1073 | | |
| $3 \cdot 10^{10}$ | 673 | $8,5 \cdot 10^2$ | 1473 | | |
| $4 \cdot 10^8$ | 873 | | | Mn₃O₄ | |
| $3,5 \cdot 10^6$ | 1073 | V₂O₃ | | | |
| $5 \cdot 10^4$ | 1273 | $5,5 \cdot 10^{-5}$ | 293 | $2,0 \cdot 10^3$ | 833 |
| $1 \cdot 10^4$ | 1373 | $1,75 \cdot 10^{-5}$ | 2233 | $1,43 \cdot 10^1$ | 1273 |
| | | | | $7,42 \cdot 10^{-1}$ | 1553 |

| 1 | 2 | 1 | 2 | 1 | 2 |
|------------------------------------|------|-------------------------------------|----------------|---|------|
| FeO | | Ga₂O | | In₂O₃ | |
| ~15, 6·10 ⁻⁴ | 873 | 0,25—0,02 | 40—4,2 | 10 ⁴ —10 ^{7*5} | — |
| 15·10 ⁻⁵ | 1173 | | | 10 ⁻³ | 293 |
| 2·10 ⁻³ | 1473 | SrO | | | |
| 8,6·10 ⁻⁴ | 1573 | 40 | — | SnO₂ | |
| Fe₃O₄ | | | | 4·10 ⁻⁴ | 293 |
| 1·10 ⁻⁴ | 293 | SrO₂ | | 65,6 | 1058 |
| 1,3·10 ⁻¹ | 873 | 8·10 ² | 1473 | 2,56 | 1273 |
| 2,2·10 ⁻² | 1273 | | | 0,6 | 1473 |
| 7,7·10 ⁻³ | 1593 | Y₂O₃ | | 0,1 | 1593 |
| Fe₂O₃ | | 5,4·10 ⁴ | 1000 | BaO | |
| 62,4 | 843 | | | 1·10 ⁴ | 573 |
| 10,4 | 973 | ZrO₂ | | 0,22 | 773 |
| 8,2·10 ⁻¹ | 1273 | 3·10 ⁴ | 573 | La₂O₃ | |
| 6,8·10 ⁻¹ | 1285 | 8·10 ³ | 673 | | |
| CoO | | 7·10 ² | 873 | CeO^{*6} | |
| 1·10 ⁶ | 293 | 80 | 1073 | 10 ⁶ | 833 |
| 1 | 573 | 10 | 1273 | 100 | 1373 |
| 1·10 ⁻³ | 1273 | 4 | 1473 | | |
| Co₃O₄ | | 6·10 ⁻¹ | 1673 | Ce₂O₃^{*7} | |
| | | 1·10 ⁻¹ | 1873 | | |
| 1·10 ² | — | 5·10 ⁻² | 2073 | 4·10 ¹⁰ | 293 |
| | | 1·10 ⁻² | 2273 | | |
| NiO | | Nb₂O₅ | | Ce₂O₃^{*7} | |
| 10 ¹¹ | 293 | 8·10 ⁻² | 1473 | 2·10 ⁷ | 293 |
| 6,7 | 863 | 2,8·10 ⁻³ | 1773 | | |
| 1,4 | 1273 | | | CeO₂ | |
| 0,24 | 1518 | RuO₂^{*3} | | 10 ⁴ | 770 |
| Cu₂O | | 35,2·10 ⁻⁶ | 300 | 650 | 1073 |
| 10 ⁶ —10 ⁷ | 293 | | | 3,4 | 1473 |
| 70 | 400 | PdO^{*4} | | 22,4 | 1103 |
| | | 0,01—10 | Комнат- ная | 2,13 | 1273 |
| CuO | | | | 1,87·10 ⁻¹ | 1483 |
| 1—10 | 293 | — | — | | |
| 5·10 ⁻² | 973 | | | | |
| 1·10 ⁻³ | 1273 | CdO | | | |
| ZnO | | 67,3 | 1068 | Pr₂O₃ | |
| 94,4 | 433 | 7,13 | 1273 | | |
| 0,59 | 878 | 0,32 | 1473 | 1950 | 1000 |
| 0,026 | 1273 | 0,05 | 1603 | | |
| 0,02 | 1593 | (0,01—0,05)× ×10 ⁻² | — | Pr₆O₁₁ | |
| | | | | 8,3·10 ⁻² | 1000 |

| 1 | 2 | 1 | 2 | 1 | 2 |
|------------------------------------|------------|-------------------------------------|-------------|------------------------------------|------|
| Nd₂O₃ | | Yb₂O₃ | | Bi₂O₃ | |
| 110 | 1000 | $3,5 \cdot 10^3$ | 1000 | $10^6 - 10^8$ | 293 |
| Sm₂O₃ | | Lu₂O₃ | | $2,34 \cdot 10^6$ | 498 |
| 420 | 1000 | $\sim 10^6$ | 1000 | $1,44 \cdot 10^3$ | 697 |
| | | | | 60,1 | 918 |
| | | | | 1,0 | 973 |
| EuO | | HfO₂ | | ThO₂ | |
| 10^2 | 20^{*8} | $5 \cdot 10^7$ | 673 | $4 \cdot 10^{11}$ | 293 |
| 10^6 | 298^{*9} | 10 | 177 | $1,2 \cdot 10^{10}$ | 773 |
| Eu₂O₃ | | Ta₂O₅ | | $2,6 \cdot 10^6$ | 823 |
| 10 | 1380 | 10^3 | 293 | $8 \cdot 10^8$ | 1073 |
| | | | | $1,1 \cdot 10^3$ | 1273 |
| | | | | 150 | 1478 |
| Gd₂O₃ | | WO₃ | | 7 | 1573 |
| $1 \cdot 10^4$ | 1000 | $2 \cdot 10^3$ | — | 2 | 1773 |
| | | | | 0,01 | 2000 |
| Tb₂O₃ | | ReO₂ | | UO₂ | |
| | | $8 \cdot 10^{-6}$ | 293 | $14 \cdot 10^3$ | 293 |
| | | $2 \cdot 10^{-6}$ | жидкого | $5 \cdot 10^2$ | 373 |
| 10 | 667 | | воздуха | 50 | 473 |
| ~ 1 | 1000 | | | 5 | 673 |
| Dy₂O₃ | | ReO₃ | | 0,33 | 973 |
| | | $2 \cdot 10^{-5}$ | 293 | 0,11 | 1273 |
| $1,67 \cdot 10^2$ | 1000 | IrO₂^{*3} | | $3 \cdot 10^{-3}$ | 1375 |
| Ho₂O₃ | | $(49 \pm 2) \cdot 10^{-8}$ | 300 | U₃O₈ | |
| | | | | $1 \cdot 10^5$ | 293 |
| 10^7 | 690 | PbO | | $4 \cdot 10^4$ | 323 |
| | | 10^7 | 293^{*10} | $1,1 \cdot 10^4$ | 373 |
| Er₂O₃ | | $2,6 \cdot 10^5$ | 657 | $3,3 \cdot 10^3$ | 423 |
| | | $2,7 \cdot 10^3$ | 745 | $6 \cdot 10^2$ | 473 |
| $\sim 10^6$ | 1000 | 12,2 | 1060 | $2 \cdot 10^2$ | 523 |
| | | 1 | 1123 | $8 \cdot 10^2$ | 573 |
| Tu₂O₃ | | PbO₂ | | 33 | 623 |
| | | $9,08 \cdot 10^{-5}$ | 273 | 14,3 | 673 |
| $\sim 10^6$ | 833 | 10^{-4} | — | 7 | 723 |
| | | | | 4 | 773 |

*¹ Спеченный окисел, объемная масса $2,25 \cdot 10^3$ кг/м³. *² Из графика. *³ [322].
 монокристалл. *⁴ [314]. *⁵ [323], поликристаллические пленки. *⁶ [326]. *⁷ [325].
 *⁸ [327]. *⁹ [328]. *¹⁰ [290].

2. ТЕРМОЭЛЕКТРИЧЕСКИЕ СВОЙСТВА

| Темпера- тура, К | Коэффициент т. э. д. с., мкВ/К | Темпера- тура, К | Коэффициент т. э. д. с., мкВ/К | Темпера- тура, К | Коэффициент т. э. д. с., мкВ/К |
|------------------------------|--------------------------------------|--|--------------------------------------|---|--------------------------------------|
| 1 | 2 | 1 | 2 | 1 | 2 |
| H₂O [1] | | V₄O₇ [267] | | Fe₃O₄ [1] | |
| — | 1000 | >250 | —(10—12) | — | —430 |
| Ti₆O [283] | | V₅O₉ [267] | | Fe₂O₃ [1] | |
| 400 | —4 | — | ~(10—20) | 95 | 380 |
| 600 | —6,5 | | | 360 | 75 |
| 800 | —8,2 | | | | |
| 1000 | —6,5 | V₆O₁₁ [330] | | CoO [1] | |
| 1200 | —5,5 | 177 | —10 | 1000 | —400 |
| 1400 | —5,5 | | | 1400 | —250 |
| Ti₅O [283] | | V₇O₁₃ [330] | | NiO [1] | |
| 400 | —3,1 | 120 | —1 | — | 240 |
| 600 | —7,5 | | | | |
| 800 | —1 | VO₂ [285] | | Cu₂O [1] | |
| 1000 | —10 | — | —500 | 293 | 700 |
| 1200 | —8 | | | | |
| 1400 | —7,8 | V₂O₅ [1] | | CuO*² [289] | |
| | | 293 | 1320 | 500 | 1050 |
| 400 | —3,2 | 873 | 700 | 554 | 930 |
| 600 | —6 | 973 | 400—420 | 667 | 760 |
| 800 | —9 | 1073 | 290—300 | 714 | 800 |
| 1000 | —11,5 | 1273 | 200 | 853 | 950 |
| 1200 | —11,25 | 1373 | 170—200 | | |
| 1400 | —11 | | | | |
| TiO* [1] | | Cr₂O₃ [1] | | ZnO [1] | |
| 100 | —6 | 273 | 900 | 313 | 220 |
| 200 | —4 | | | 423 | 290 |
| 293 | —5 | | | 513 | 330 |
| 400 | —7 | | | Y₂O₃ [282] | |
| | | MnO [272] | | 1450 | 270±30* ³ |
| 600 | —9 | 400 | 1800 | 1450 | 100±10* ⁴ |
| 800 | —11,75 | 500 | 1500 | | |
| 1000 | —13 | 660 | 1200 | | |
| 1400 | —12,5 | 1000 | 500 | | |
| TiO₂ [283] | | Mn₂O₃ [1] | | Nb₂O₅ [1] | |
| 400 | 0,75 | — | 385 | 1573 | 800—300 |
| 600 | —2,75 | | | 1673 | 500—510 |
| 800 | —6 | FeO [1] | | 1773 | 190—210 |
| 1000 | —9 | | | | |
| 1200 | —12 | | | | |
| 1400 | —11,5 | — | —500 | | |

| 1 | 2 | 1 | 2 | 1 | 2 |
|--------------------------------------|------------|--------------------------------------|-------------------|-------------------------------------|----------------------|
| CdO [1] | | Cd ₂ O ₃ [282] | | Bi ₂ O ₃ [1] | |
| — | —30 —40 | 1450 | 600 | 773 | 1000 960 |
| In ₂ O ₃ [1] | | WO ₃ [1] | | 853 | 1000 |
| 500 | 3000 | — | —740 | 973 | —30 |
| 563 | 1400 | PbO [290] | | 1013 | 0 |
| SnO [1] | | 573 | 910* ⁵ | 1043 | 200 |
| — | —140 | 673 | 800* ⁵ | 1213 | 300 |
| Pr ₂ O ₃ [1] | | 763 | 900* ⁵ | 1273 | 400—500 |
| 300—1000 | 1—15 | 773 | 830* ⁵ | Th ₂ O [1] | 1400—1800 2200—4000 |
| Nd ₂ O ₃ [282] | | 973 | 800* ⁵ | U ₃ O ₈ [291] | 30—850 Положительная |
| 1450 | 300 | 573 | 700* ⁶ | ≥850 Изменяется | на отрицательную |
| | | 673 | 550* ⁶ | | |

*¹ Из графика. *² Из графика, $p_{O_2} = 67$ Па. *³ Поликристалл, $p_{O_2} = 50$ Па.
 *⁴ Поликристалл, $p_{O_2} = 1$ Па. *⁵ Скорость нагрева 100° С/ч. *⁶ Скорость нагрева 15—20° С/ч.

3. ТЕРМОЭМИССИОННЫЕ СВОЙСТВА [1, с. 284—287]

| Оксид | Работа выхода | | Оксид | Работа выхода | |
|--|------------------------|--------------|---|------------------------|----------|
| | $A \cdot 10^{19}$, Дж | A , эВ | | $A \cdot 10^{19}$, Дж | A , эВ |
| 1 | 2 | 3 | 1 | 2 | 3 |
| BeO | 5,45— 7,50 | 3,4— 4,7 | TiO ₂ ^{*4, *1} | 9,97 | 6,21 |
| B ₂ O ₃ | 7,5 | 4,7 | TiO ₂ ^{*5, *1} | 6,2 | 3,87 |
| MgO | 4,95— 7,05 | 3,1— 4,4 | FeO | 6,15 | 3,85 |
| Al ₂ O ₃ | 7,5 | 4,7 | NiO | 8,9 | 5,55 |
| SiO ₂ | 8,0 | 5,0 | Cu ₂ O | 7,85 | 4,9 |
| CaO * ^{1, *2} | 2,82 3,8 | 1,76 2,4 | Cu ₂ O ^{*6} | 8,25 | 5,15 |
| Sc ₂ O ₃ ^{*3} | 6,45 | 4,04 | CuO ^{*6} | 8,55 | 5,34 |
| TiO | 4,78— 4,98 | 2,96— 3,1 | CuO | 6,95 | 4,35 |
| | | | SrO ^{*1, *7} | 2,04 | 1,27 |
| | | | Y ₂ O ₃ ^{*8, *1} | 3,2 | 2,0 |

| 1 | 2 | 3 | 1 | 2 | 3 |
|---|---------------|---------------|---|------|------|
| ZrO ₂ ^{*9, *1} | 5,00 | 3,12 | Tb ₂ O ₃ ^{*11} | 5,3 | 3,3 |
| MoO ₃ | 6,80 | 4,25 | Dy ₂ O ₃ ^{*12, *1} | 4,4 | 2,75 |
| Cs ₂ O | 1,58— 1,87 | 0,99— 1,17 | Ho ₂ O ₃ ^{*12, *1} | 5,12 | 3,2 |
| BaO ^{*1, *2} | 1,58 | 0,99 | Er ₂ O ₃ ^{*12, *1} | 4,8 | 3,0 |
| La ₂ O ₃ ^{*10, *1} | 4,95 | 3,1 | Yb ₂ O ₃ ^{*12, *1} | 5,3 | 3,3 |
| Ce ₂ O ₃ ^{*11} | 5,12 | 3,21 | Lu ₂ O ₃ ^{*12, *1} | 6,18 | 3,86 |
| Pr ₂ O ₃ ^{*10, *1} | 5,55 | 3,47 | HfO ₂ ^{*13, *1} | 6,00 | 3,76 |
| Nd ₂ O ₃ ^{*10, *1} | 5,28 | 3,3 | HfO ₂ ^{*14, *1} | 4,5 | 2,81 |
| Sm ₂ O ₃ ^{*10, *1} | 5,12 | 3,21 | Ta ₂ O ₅ | 7,42 | 4,65 |
| Eu ₂ O ₃ ^{*10, *1} | 5,4 | 3,38 | WO ₂ | 7,9 | 4,95 |
| Gd ₂ O ₃ ^{*10, *1} | 5,25 | 3,29 | ThO ₂ ^{*15, *1} | 4,34 | 2,71 |

*¹ Постоянная Ричардсона $R=10^4 \text{ A}/(\text{м}^2 \cdot \text{кг} \cdot ^\circ\text{C}^2)$. *² $R=10^{-2}$. *³ $A_1=400$, $A_2=9,3$ получены из прямых Ричардсона выше и ниже точки излома. *⁴ Неактивированный, $R=4,08 \cdot 10^5$. *⁵ Активированный, измерения при 1750—2000 К, $R=0,458$. *⁶ Фотоэмиссия. *⁷ $R=10^{-3}$. *⁸ Температура активирования 1723—1773 К, $R=0,55$. *⁹ Активированный, измерения при 1700—2000 К, $R=0,363$. *¹⁰ Эффективная работа выхода при 1700 К, $R=120$ при 1600 К. *¹¹ Эффективная работа выхода при 1700 К. *¹² Эффективная работа выхода при 1600 К, $R=120$. *¹³ Активированный, измерения при 1300—1500 К, $R=3,81$. *¹⁴ Активированный, измерения при 1500—1900 К, $R=0,49$. *¹⁵ $R=21$.

4. ГАЛЬВАНОМАГНИТНЫЕ СВОЙСТВА [1]

[Д — подвижность дырок, ϑ — подвижность электронов]

| Оксид | Постоянная Холла, $\text{м}^3/\text{Кл}$ | Температура, К | Подвижность, $\text{м}^2/(\text{В} \cdot \text{с})$ | | | |
|-------------------------------|---|--------------------------|--|---|---|---|
| | | | 1 | 2 | 3 | 4 |
| SiO ₂ | — | — | $\vartheta 10^{-11}$ | | | |
| TiO | $5,4 \cdot 10^{-10}$ — | 80—400 293 | $\vartheta 1 \cdot 10^{-4}$ | | | |
| TiO ₂ | $4 \cdot 10^{-6}^{*1}$ $2 \cdot 10^{-6}$ — | 300 500 1375—1573 | $\vartheta 0,36 \cdot 10^{-4}$ — — | | | |
| VO | — | 1200 | $\vartheta 1 \cdot 10^{-5}$ | | | |
| V ₂ O ₃ | — | — | $\vartheta 7 \cdot 10^{-6}$ | | | |
| VO ₂ | $(0,1+0,15) \cdot 10^{-6}$ | — | $\vartheta 5 \cdot 10^{-7}$ | | | |
| V ₂ O ₅ | $288,00 \cdot 10^{-6}$ $61,32 \cdot 10^{-6}$ $22,40 \cdot 10^{-6}$ $16,20 \cdot 10^{-6}$ | 241 259 277 287 | $\vartheta 0,1 \cdot 10^{-4}$ — — — | | | |

| 1 | 2 | 3 | 4 |
|-----------------|-----------------------------------|---------|--|
| | $2,93 \cdot 10^{-6}$ | 302 | — |
| | $-11,73 \cdot 10^{-6}$ | 318 | — |
| | $-50,4 \cdot 10^{-6}$ | 347 | — |
| | $-93,7 \cdot 10^{-6}$ | 359 | — |
| | $-129,1 \cdot 10^{-6}$ | 374 | — |
| $V_2O_5^{*2}$ | $(7,5 \div 17,6) \cdot 10^{-6}$ | 293 | $\mathcal{E} 10^{-6} \div 10^{-5}$ |
| MnO^{*3} | — | — | $\mathcal{D} 9,57 \cdot 10^{-4}$ |
| MnO_2^{*4} | $-53 \cdot 10^{-6}$ | — | — |
| Fe_3O_4 | $(8 \div 15) \cdot 10^{-4}$ | 293 | $\mathcal{E} 1 \cdot 10^{-3}$ |
| Fe_2O_3 | $\sim 2,2 \cdot 10^{-6}$ | — | — |
| CoO | — | 700 | $\mathcal{D} 7 \cdot 10^{-2}$ |
| NiO | — | — | $\mathcal{E} 5 \cdot 10^{-2}$ |
| | — | 293 | $\mathcal{D} 7 \cdot 10^{-6}$ |
| | — | 300 | $\mathcal{D} 4 \cdot 10^{-7}$ |
| | $1 \cdot 10^3$ | 500 | — |
| Cu_2O | 0,26 | 293 | $\mathcal{D} (6 \div 8) \cdot 10^{-3}$ |
| | 0,10 | 400 | — |
| | 0,01 | 500 | — |
| CuO | — | 293 | $\mathcal{E} 0,26 \cdot 10^{-4}$ |
| ZnO | — | 293 | $\mathcal{E} 2 \cdot 10^{-2}$ |
| ZnO^{*5} | — | — | $\mathcal{E} 5 \cdot 10^{-3}$ |
| ZnO | $-2,05 \cdot 10^{-6}$ | 300 | — |
| $\beta-Ga_2O_3$ | — | 160 | $\mathcal{E} 11 \cdot 10^{-3}$ |
| Nb_2O_5 | — | Высокие | $\mathcal{E} 0,4 \cdot 10^{-4}$ |
| CdO | $-(0,24 \div 1,12) \cdot 10^{-6}$ | | $\mathcal{E} 65 \cdot 10^{-4}$ |
| CdO^{*6} | — | — | $\mathcal{E} 50 \cdot 10^{-2}$ |
| $In_2O_3^{*7}$ | — | — | $\mathcal{E} (55 \div 60) \cdot 10^{-4}$ |
| In_2O_3 | — | 293 | $\mathcal{E} 16 \cdot 10^{-3}$ |
| SnO_2 | — | 293 | $\mathcal{E} (2 \div 3) \cdot 10^{-3}$ |
| | — | 1023 | $\mathcal{E} (5 \div 6) \cdot 10^{-3}$ |
| BaO^{*8} | — | 400—820 | $\mathcal{E} (3 \div 5) \cdot 10^{-4}$ |
| $PrO_{<1,5}$ | — | — | $\mathcal{E} 0,1 \div 1$ |
| PbO^{*9} | — | 300 | $\mathcal{E} (5 \div 100) \cdot 10^{-4}$ |
| PbO_2 | — | 293 | $\mathcal{E} 1 \cdot 10^{-4}$ |
| UO_2 | — | 293 | $\mathcal{D} 1 \cdot 10^{-3}$ |
| U_3O_8 | — | — | $\mathcal{E} 0,79 \cdot 10^{-4}$ |

*1 Образец выдерживался в водороде при 973 К 5 мин. *2 [286]. *3 С примесью других окислов до 3%. *4 Египетский пиролюзит, содержит 80% MnO_2 . *5 Спеченные образцы. *6 [293]. *7 [282]. *8 Неокрашенный кристалл. *9 [294].

5. МАГНИТНЫЕ СВОЙСТВА

A. Магнитная восприимчивость [1; 261; 262; 268; 276; 277; 281; 334]
 (В таблице магнитная восприимчивость обозначена через МВ)

| Оксид | МВ·10 ⁹ , м ³ /кг | Темпера- тура, К | Оксид | МВ·10 ⁹ , м ³ /кг | Темпера- тура, К |
|---------------------------------|---|---------------------|---------------------------------|--|--|
| | 1 | 2 | | 3 | 1 |
| H ₂ O | -0,7019* ¹ -0,7177* ² | 273 273 | Mn ₂ O ₃ | 55,8 25,5 | 293 1354 |
| Li ₂ O | -0,727 | 413 | MnO ₂ | 69,0 29,5 | 294 1201 |
| BeO | 0 | — | Fe ₃ O ₄ | 68,5 27 | 84 298 |
| B ₂ O ₃ | -0,55 | 293 | Fe ₂ O ₃ | 18,5 11,1 | 973 1173 |
| CO | -0,4 | 293 | Cu ₂ O | 10,5 10,0 | 973 1173 |
| CO ₂ | -0,42 | — | CoO | 74,5 | — |
| N ₂ O | -0,3* ³ | 293 | Co ₂ O ₃ | 34,3 | 293 |
| NO | 48,66 | 295 | NiO | 54 | 293 |
| N ₂ O ₂] | 3,59 | 100 | Cu ₂ O | -(0,213± ±0,003)* ⁸ | 298 |
| N ₂ O ₃ | -0,206* ⁴ | 291 | CuO | 3,8 | 298 |
| N ₂ O ₄ | -0,276* ³ | 257 | ZnO | -0,36 | — |
| NO ₂ | -0,429* ⁴ 3,26* ⁵ | 285 428 | GeO | -0,33 | 293 |
| N ₂ O ₅ | -0,332* ³ | 289 | As ₂ O ₃ | -0,27 | — |
| O ₂ | 5* ³ 310* ⁴ 107,8* ⁵ | 20 54 289 | SeO ₂ | -0,24 | 293 |
| MgO | -0,25* ⁶ | — | BrO ₃ | -39,8 | — |
| Al ₂ O ₃ | -0,36 | 298 | SrO | -0,06 | — |
| SiO ₂ | -0,45 | — | Y ₂ O ₃ | -0,5 | 293 |
| P ₂ O ₅ | -0,46 | 291 | ZrO ₂ | -0,112 | — |
| SO ₂ | -0,285* ⁴ | 298 | NbO ₃ | 0,31 0,18 | 90 293 |
| ClO ₃ ⁻ | -30,2 | — | Nb ₂ O ₅ | -0,10 | 293 |
| KO ₂ | 45 | 298 | Mo ₃ O | 0,30 | 289 |
| CaO | -0,27 | — | Mo ₂ O ₃ | -0,35 | 289 |
| Sc ₂ O ₃ | -0,117 | — | MoO ₃ | 0,33 | 293 |
| TiO | 2,3±0,3 | 100—40, | Mo ₅ O ₁₄ | 0,53—0,80 0,57—0,85 | 350* ⁹ 598* ⁹ |
| Ti ₃ O ₅ | 8,1 | 298 | AgO | 0,16 | 298 |
| TiO ₂ | -0,066 | — | SnO | -0,14 | 293 |
| VO | 50,1 | 288 | SnO ₂ | -0,26 | 293 |
| V ₂ O ₃ | ~7,5* ⁷ | 180 | Sb ₂ O ₃ | -0,19 | 287 |
| VO ₂ | 3,75 | 286 | TeO ₂ | -0,14 | 291 |
| Cr ₂ O ₃ | 25,5 | — | IO ₃ ⁻ | -51,4* ¹⁰ | — |
| CrO ₂ | 20,1 | 87 | Ba ₂ O | -0,24 | — |
| | 12,6 | 1608 | BaO | -0,13 | — |
| CrO ₃ | 60 | — | La ₂ O ₃ | -0,4 | 293 |
| MnO | 89,9 | 84 | CeO ₂ | 30 | — |
| | 68,3 | 293 | | | |
| | 51,8 | 692 | | | |
| Mn ₃ O ₄ | 126 | 98 | | | |

| 1 | 2 | 3 | 1 | 2 | 3 |
|----------------------------|------------------------------|-------|-------------------------|-------------------|--------|
| | $1,7059 \pm$ $\pm 0,0038$ | 77*11 | Lu_2O_3 | -0,3 | 293 |
| | $0,5381 \pm$ $\pm 0,0014$ | 305 | HfO_2 | -0,110 | — |
| Pr_2O_3 | 26,4 | 296 | TaO_2 | 0,32 | 293 |
| Pr_4O_7 | 16 | 288 | Ta_2O_5 | -0,07 | — |
| Pr_6O_{11} | 14,6 | 296 | WO_2 | 0,216 | 298 |
| PrO_2 | 10,7 | 296 | WO_3 | -0,065 | 298 |
| Nd_2O_3 | 29,1 | 293 | Re_3O_7 | 90 | — |
| | 16,6 | 556 | ReO_2 | $157 \pm 5^{*12}$ | 80 |
| Pm_2O_3 | 7,85 | 293 | ReO_3 | $148 \pm 5^{*12}$ | 300 |
| Sm_2O_3 | 5,8 | 293 | OsO_2 | 0,086 | 77—300 |
| Eu_2O_3 | 30 | 293 | OsO_4 | 0,528 | 55 |
| Gd_2O_3 | 140 | 293 | | 0,536 | 77 |
| | 57,8 | 673 | | -0,045 | 77 |
| | 44,8 | 873 | $\text{PtO}_{1,38}$ | -0,048 | 300 |
| | 32,4 | 1273 | Pt_2O_3 | 0,783 | — |
| Tb_2O_3 | 195,5 | 296 | HgO | -0,085 | 298 |
| Tb_4O_7 | 160,7 | 296 | PbO | $-0,216^{*13}$ | 298 |
| Tb_6O_{11} | 145,0 | 296 | | $-0,221^{*14}$ | 298 |
| Dy_2O_3 | 219 | 293 | | $0,21^{*13}$ | 293 |
| | 89,8 | 723 | | $0,20^{*14}$ | 293 |
| Ho_2O_3 | 229 | 292 | Pb_3O_4 | -0,13 | 291 |
| | 50,4 | 1273 | Bi_2O_3 | -0,24 | 291 |
| Er_2O_3 | 189 | 293 | ThO_2 | -0,17 | 298 |
| | 102 | 553 | UO_2 | -0,06 | 298 |
| Yb_2O_3 | 38 | 293 | U_2O_5 | 7,5 | — |
| | | | U_3O_8 | 1,80 | 293 |
| | | | | 0,95 | — |

Б. Эффективный магнитный момент [1]

| Оксид | Эффективный момент $P_{\text{эф}}$, Магнетон Бора | | Темпера- тура, К | Оксид | Эффективный момент $P_{\text{эф}}$, Магнетон Бора | | Темпера- тура, К |
|----------------------------|---|-------|----------------------------|-----------------|---|-------------|---------------------|
| | 1 | 2 | | | 3 | 1 | |
| NO | 1,535 | 112,5 | PrO_3 | 2,51 | 296 | | |
| | 1,732 | 194,7 | Nd_2O_3 | 3,79 | 293 | | |
| | 1,841 | 289,2 | EuO | 7,3 | — | | |
| O_2 | 2^{*15} | — | Gd_2O_3 | 7,95 | 293 | | |
| NaO_2 | $1,77^{*18}$ | 225 | Tb_2O_3 | 9,62 | 296 | | |
| KO_2 | $1,20^{*18}$ | 150 | Tb_4O_7 | 8,70 | 296 | | |
| | 1,03 | 150 | Tb_6O_{11} | 8,49 | 296 | | |
| Ti_3O_5 | 0,2 | — | Dy_2O_3 | $9,67^{*17}$ | 423 | | |
| CrO_2 | 2,95 | 293 | | 10,6 | | 573^{*18} | |
| Fe_3O_4 | 4,2 | 858 | Ho_2O_3 | 10,09 | 673 | | |
| RbO_2 | 1,89 | 90 | Tu_2O_3 | 7,2 | — | | |
| | 1,89 | 293 | UO_2 | 2,92 | — | | |
| CsO_2 | 1,91 | 90 | U_2O_5 | $1,77 \pm 0,03$ | 293 | | |
| | 1,89 | 293 | U_3O_8 | $1,59 \pm 0,04$ | 293 | | |
| Pr_2O_3 | 3,55 | 293 | UO_3 | 2,06 | 289 | | |
| Pr_6O_{11} | 2,77 | 296 | | | | | |

В. Температура магнитного перехода [1; 279; 336] (С — точка Кюри, Н — точка Нееля)

| Оксид | Температура магнитного перехода, К | Оксид | Температура магнитного перехода, К |
|----------------------------------|------------------------------------|---------------------------------|------------------------------------|
| 1 | 2 | 1 | 2 |
| Ti ₂ O ₃ | 475 (С) | Nb ₂ O | 450 (С) |
| V ₂ O ₃ | 338 (С) | Pr ₂ O ₃ | 57 (С) |
| V ₄ O ₇ | 250* ¹⁹ (С) | Pr ₆ O ₁₁ | 85 (С) |
| V ₅ O ₉ | 130 (С) | PrO ₂ | 127 (С) |
| V ₂ O ₄ | 343 (С) | Nd ₂ O ₃ | 32 (С) |
| CrO | 393—403 (С) | EuO | 70,3 (С) |
| CrO ₂ | 397 (С) | | 71,5 (С) |
| | 100* ²⁰ (Н) | Eu ₂ O ₄ | 7,8 (С) |
| α-Cr ₂ O ₃ | 32±1 (Н) | Gd ₂ O ₃ | 18 (С) |
| MnO | 116 (Н) | TbO | 3 (Н) |
| MnO ₂ | 92 (Н) | Tb ₂ O ₃ | 24 (С) |
| | 610* ⁸ С | Tb ₄ O ₇ | 19 (С) |
| FeO | 198 (Н) | Tb ₆ O ₁₁ | 32 (С) |
| Fe ₂ O ₄ | 858 (С) | Dy ₂ O ₃ | 21 (С) |
| Fe ₃ O ₄ | 950 (Н) | Ho ₂ O ₃ | 14 (С) |
| CoO | 291 (Н) | Er ₂ O ₃ | 13 (С) |
| | 289* ⁸ (Н) | Tu ₂ O ₃ | 42 (Н) |
| Co ₃ O ₄ | 40* ²¹ (Н) | Yb ₂ O ₃ | 104 (С) |
| Co ₂ O ₃ | 33±1 (Н) | UO ₂ | 30 (С) |
| NiO | 550 (Н) | U ₃ O ₈ | 170 (С) |
| CuO | 458 (С) | | |

*¹ Лед. *² Вода. *³ Твердый. *⁴ Жидкость. *⁵ Газ. *⁶ Поликристалл спеченный. *⁷ Из графика. *⁸ Монокристалл. *⁹ Метастабильный. *¹⁰ Ионная динамагнитная восприимчивость. *¹¹ Добавка 0,4% Gd, измерения проводили в атмосфере азота методом Фарадея. *¹² Моноклинный. *¹³ Красный. *¹⁴ Желтый. *¹⁵ Широкий диапазон температур, газ. *¹⁶ Порошок, примесь <2%. *¹⁷ Опытные. *¹⁸ Теоретически. *¹⁹ Монокристаллы, полученные методом транспортных реакций. *²⁰ Добавки серы и технеция >0,17%. *²¹ Ниже температуры 40 К испытывает ферромагнитное превращение.

6. ДИЭЛЕКТРИЧЕСКИЕ СВОЙСТВА [1]

| Оксид | Частота, Гц | Температура, К | Диэлектрическая проницаемость | | | |
|------------------|-----------------|----------------|-------------------------------|---|---------|---|
| | | | 1 | 2 | 3 | 4 |
| H ₂ O | — | 255 | | | 3,2 | |
| | — | 273 | | | 87,83 | |
| | — | 293 | | | 81 | |
| | — | 303 | | | 76,47 | |
| | — | 323 | | | 69,73 | |
| | 10 ⁶ | 383 | | | 1,0126 | |
| | — | 413—423 | | | 1,00785 | |
| D ₂ O | 10 ⁸ | 273 | | | 88 | |
| | — | 298 | | | 78,54 | |

| 1 | 2 | 3 | 4 |
|--------------------------------|---|-----------------|----------------------------------|
| BeO | 10^6 — | 293 — | 6,3 7,35 |
| | $(0,3 \div 10) 10^6$ | 298 | $1,86 \div 0,20$ |
| | $(45 \div 90) 10^4$ | 473 | $1,3 \div 1,4$ |
| | $(45 \div 90) 10^4$ | 673 | $2,0 \div 2,1$ |
| B ₂ O ₃ | $(1 \div 50) 10^3$ $4,5 \cdot 10^8$ — | 773—1073 273 | $3,1 \div 3,2$ 3—8 1,00069 |
| CO | 10^6 | 298 | 1,00634 |
| CO ₂ | 10^6 | 273 | 1,00099 |
| NO | 10^6 | 298 | 1,00059 |
| N ₂ O | 10^6 | 298 | 1,00103 |
| Na ₂ O | $4,5 \cdot 10^8$ | — | 15,0 |
| MgO | $(0,3 \div 10) 10^6$ | 298 | $3,20 \div 0,20^{*1}$ |
| | $(45 \div 90) 10^4$ | 473 | $3,2 \div 3,1$ |
| | $(45 \div 90) 10^4$ | 673 | $3,5 \div 3,6$ |
| | — | — | $9,8^{*2}$ |
| Al ₂ O ₃ | — | 293 | $10,5 \div 12^{*3}$ |
| | — | 293 | $12,3^{*4}$ |
| SiO | — | — | $2,6 \div 4^{*5}$ |
| SiO ₂ | — | — | $3,5 \div 4,1^{*6}$ |
| | $3 \cdot 10^7$ | 290—295 | $4,34^{*7}$ |
| | $3 \cdot 10^7$ | 290—295 | $4,27^{*8}$ |
| SO ₂ | 10^6 | 265 | 1,0100 |
| | — | 293 | 14^{*7} |
| SO ₃ | 10^6 | 350 | 1,001270 |
| K ₂ O | $4,5 \cdot 10^8$ | — | $16,0(20,3)^{*8}$ |
| CaO | $(0,3 \div 10) 10^6$ | 298 | $3,00 \pm 0,10$ |
| | $(45 \div 90) 10^4$ | 473 | 3,00 |
| | $(45 \div 90) 10^4$ | 673 | $3,8 \div 3,7$ |
| | — | — | 11,8 |
| TiO ₂ | — | — | $40,0 \div 80,0$ |
| | 10^8 | 290—295 | 86^{*9} |
| | — | 290—295 | 170^{*10} |
| | 10^4 | 298 | 160^{*11} |
| | $3 \cdot 10^7$ | 303 | 100^{*12} |
| V ₂ O ₅ | — | — | 13,84 |
| Cr ₂ O ₃ | $4,5 \cdot 10^8$ | — | 9,2 |
| MnO | $4,5 \cdot 10^8$ | — | 13,8 |
| | $10^2 \div 10^4$ | 303 | $18,1^{*13}$ |
| FeO | $4,5 \cdot 10^8$ | — | 16,0 |
| CoO | $10^2 \div 10^{10}$ | 298 | 12,9 |
| | $4,5 \cdot 10^8$ | — | 13,4 |
| Co ₂ O ₃ | — | — | 9,59 |
| NiO | — | — | 5—10 |
| | 10^6 | 298 | 11,9 |
| Ni ₂ O ₃ | — | — | $8,88^{*14}$ |
| | — | — | $11,24^{*15}$ |
| | — | — | $12,29^{*16}$ |
| | — | — | $12,87^{*17}$ |

| 1 | 2 | 3 | 4 |
|----------------------------------|--|---------------|--|
| Cu ₂ O | — — 10 ² —10 ⁵ | — — — | 8,58* ¹⁸ 10,26* ¹⁹ 7,50±0,15 |
| CuO | Низкие частоты — — | — — — | 30* ²⁰ 9,77* ²¹ 10,68* ²² |
| ZnO | (0,3÷10)·10 ⁶ 4,5·10 ⁸ — | 298 — — | 18,00—1,00 14,4 8,22* ²³ |
| β-Ga ₂ O ₃ | (5÷500)10 ³ | 297 | 10,2±0,3* ²⁴ |
| SrO | (45÷90)10 ⁴ | 373 | 3,2—3,25 |
| | (45÷90)10 ⁴ | 473 | 3,8—3,85 |
| | (45÷90)10 ⁴ | 623 | 4,9—4,85 |
| Y ₂ O ₃ | (0,5÷1,5)10 ⁶ | 293 | 14,0* ²⁵ |
| Nb ₂ O ₅ | — | — | 50±5* ²⁶ |
| | — | — | 30±5* ²⁷ |
| CdO | 4,5·10 ⁸ | — | 35±5* ²⁸ |
| SnO ₂ | — | 298 | 17,2* ²⁵ |
| | — | 298 | 24* ¹⁹ |
| | | 298 | 9,0±0,5* ²⁹ |
| | | 298 | 14±2* ³⁰ |
| BaO | (0,3÷10)10 ⁶ | 298 | 4,00—0,10* ¹ |
| La ₂ O ₃ | (0,5÷1,5)10 ⁶ | 293 | 20,8* ²⁵ |
| CeO ₂ | (0,5÷1,5)10 ⁶ | 293 | 21,2* ²⁵ |
| Pr ₂ O ₁₁ | (0,5÷1,5)10 ⁶ | 293 | 69,9 |
| Nd ₂ O ₃ | (0,5÷1,5)·10 ⁶ | 293 | 19,7* ²⁵ |
| Sm ₂ O ₃ | 10 ³ | — | 21,5* ¹ |
| | (0,5÷1,5)·10 ⁶ | 293 | 18,4* ²⁵ |
| Eu ₂ O ₃ | (0,5÷1,5)10 ⁶ | 293 | 10,2* ²⁵ |
| Gd ₂ O ₃ | (0,5÷1,5)10 ⁶ | 293 | 11,4* ²⁵ |
| Tb ₄ O ₇ | (0,5÷1,5)10 ⁶ | 293 | 32,1* ²⁵ |
| Dy ₂ O ₃ | (0,5÷1,5)10 ⁶ | 293 | 12,1* ²⁵ |
| Ho ₂ O ₃ | (0,5÷1,5)10 ⁶ | 293 | 12,3* ²⁵ |
| Er ₂ O ₃ | (0,5÷1,5)10 ⁶ | 293 | 12,5* ²⁵ |
| Tu ₂ O ₃ | (0,5÷1,5)10 ⁶ | 293 | 12,6* ²⁵ |
| Yb ₂ O ₃ | (0,5÷1,5)10 ⁶ | 293 | 12,6* ²⁵ |
| Lu ₂ O ₃ | (0,5÷1,5)10 ⁶ | 293 | 12,9* ²⁵ |
| Ta ₂ O ₅ | — | — | 15* ³¹ |
| WO ₃ | — | — | 20,2* ³² |
| | — | — | 29,08* ³³ |
| HgO | 10 ⁵ | 298 | 12,6* ³⁴ |
| | 10 ⁵ | 298 | 9,4* ³⁵ |
| PbO | 4,5·10 ³ | — | 22,0 |
| | — | — | 31,34* ³⁶ |
| PbO ₂ | — | — | 26* ¹⁹ |
| UO ₂ | 7 | | 21,7÷0,5* ³⁷ |

| 1 | 2 | 3 | 4 |
|----------|------------------|--------|------------|
| U_4O_9 | $9,4 \cdot 10^9$ | Низкая | 70^{*38} |
| U_3O_8 | — | — | $41,77$ |
| UO_3 | — | — | $1,86-11$ |

*¹ Спеченные образцы. *² Кристалл. *³ Спеченный глинозем. *⁴ Не зависит от частоты. *⁵ [262]. Высокочастотная, в зависимости от условий напыления. *⁶ Кварц плавленый. *⁷ Жидкость для очень длинных волн ($\lambda = \infty$). *⁸ 20,3-аномальное значение. *⁹ Перпендикулярно оптической оси. *¹⁰ Параллельно оптической оси. *¹¹ Перпендикулярно оси с. *¹² Вдоль оси с. *¹³ [297]. *¹⁴ Плотность $2,43 \cdot 10^3$ кг/м³. *¹⁵ Плотность $2,46 \cdot 10^3$ кг/м³. *¹⁶ Плотность $2,7 \cdot 10^3$ кг/м³. *¹⁷ Плотность $2,81 \cdot 10^3$ кг/м³. *¹⁸ Прессованный. *¹⁹ Поликристалл. *²⁰ [298], сильно зависит от температуры и частоты. *²¹ Плотность $3,10 \cdot 10^3$ кг/м³. *²² Плотность $4,69 \cdot 10^3$ кг/м³. *²³ Плотность $1,8 \cdot 10^3$ кг/м³. *²⁴ [298]. *²⁵ Точность 1,5%. *²⁶ [299] в направлении оси а. *²⁷ То же, в направлении оси б. *²⁸ То же, оси с. *²⁹ [300], параллельно тетрагональной оси; длина волны 10–50 мкм. *³⁰ То же, перпендикулярно оси с. *³¹ [301]. *³² Плотность $2,9 \cdot 10^3$ кг/м³. *³³ Плотность $4,2 \cdot 10^3$ кг/м³. *³⁴ Красный. *³⁵ Желтый. *³⁶ Плотность $7,06 \cdot 10^3$ кг/м³. *³⁷ [333]. *³⁸ [302].

7. ШИРИНА ЗАПРЕЩЕННОЙ ЗОНЫ И ЭНЕРГИЯ АКТИВАЦИИ

A. Ширина запрещенной зоны [1]

| Оксисел | Ширина запрещенной зоны | | Оксисел | Ширина запрещенной зоны | |
|--------------------------------|-------------------------|---------------------|--------------------------------|-------------------------|---------------------|
| | 10^{19} , Дж | эВ | | 10^{19} , Дж | эВ |
| 1 | 2 | 3 | 1 | 2 | 3 |
| BeO | 8,32 | 5,20 | PdO | 0,06 | 0,04* ³⁰ |
| B_2O_3 | 7,84 | 4,89 | AgO | 2,52 | 1,57* ³¹ |
| MgO | 11,68 | 7,30 | SnO ₂ | 5,65 | 3,54 |
| Al ₂ O ₃ | 4,0 | 2,5 | Sb ₂ O ₃ | 6,72 | 4,20 |
| | 5,75 | 3,58 | TeO ₂ | >4,8 | >3,0 |
| CaO | >8,95 | >5,60 | BaO | 2,88—3,32 | 1,85—2,08 |
| TiO ₂ | 5,9 | 3,7 | | 6,4—6,9 | 4,0—4,3 |
| | 4,87 | 3,05* ¹⁰ | La ₂ O ₃ | 8,65 | 5,40 |
| V ₂ O ₅ | 0,8 | 0,5 | CeO ₂ | 5,45 | 3,41 |
| Cr ₂ O ₃ | 7,7 | 4,8* ¹³ | Nd ₂ O ₃ | 7,02 | 4,40 |
| MnO ₂ | 2,0 | 1,3 | Sm ₂ O ₃ | 8,0 | 5,0 |
| Fe ₂ O ₃ | 3,36 | 2,10 | EuO | 0,68 | 0,42* ³¹ |
| CoO | 0,96 | 0,60 | Eu ₂ O ₃ | 7,2 | 4,5 |
| | 1,12 | 0,70 | Gd ₂ O ₃ | 8,5 | 5,3 |
| NiO | 2,73—3,04 | 1,72—1,90 | Tb ₂ O ₃ | 4,85 | 3,0 |
| Cu ₂ O | 2,91—3,33 | 1,83—2,08 | Dy ₂ O ₃ | 8 | 5 |
| ZnO | 4,18 | 2,62* ² | Ho ₂ O ₃ | 8,65 | 5,42 |
| | 5,1 | 3,2 | Er ₂ O ₃ | 8,65 | 5,42 |
| SrO | 9,1 | 5,7* ¹³ | Tu ₂ O ₃ | 7,24 | 4,53 |
| ZrO ₂ | 3,2 | 2,0 | Yb ₂ O ₃ | 8,35 | 5,22 |
| Nb ₂ O ₅ | 3,55 | 2,21* ²⁷ | Lu ₂ O ₃ | 8,7 | 5,5 |
| | 6,4 | 4,0* ²⁸ | WO ₃ | 3,4 | 2,2* ¹³ |
| MoO ₃ | 6,04 | 3,75* ²⁹ | UO ₂ | 2,08 | 1,30 |

В. Энергия активации [1]

| Оксид | Энергия активации | | Оксид | Энергия активации | |
|--------------------------------|-------------------|---------|------------------------------------|--------------------|----------------------|
| | 10^{10} , Дж | эВ | | 10^{10} , Дж | эВ |
| 1 | 2 | 3 | 1 | 2 | 3 |
| H ₂ O | 0,92 | 0,58*1 | NiO | 1,49 | 0,93 |
| | 1,67 | 0,10*1 | Cu ₂ O | 0,40 | 0,25*22 |
| BeO | 3,42 | 2,14*2 | | 0,26 | 0,16*23 |
| | 0,77 | 0,48*3 | CuO | 1,12 | 0,70 |
| MgO | 1,86 | 1,16 | SrO | 3,00—3,22 | 1,87—2,05 |
| | 4,8 | 3*4 | Y ₂ O ₃ | 2,7 | 1,7*9 |
| | 6,4 | 4*5 | ZrO ₂ | 0,08 | 0,05*24 |
| Al ₂ O ₃ | 2,08 | 1,3*2 | | 2,75 | 1,72*25 |
| SiO ₂ | 2,12 | 1,32*6 | | 1,34 | 0,84*26 |
| | 14,5 | 0,88*7 | CdO | 1,20 | 0,75*32 |
| | 0,16 | 0,1*8 | | 2,68 | 1,67*33 |
| Sc ₂ O ₃ | 0,56 | 0,35*8 | In ₂ O ₃ *34 | 6·10 ⁻² | 3,7·10 ⁻² |
| | 3,52 | 2,2*9 | | 6·10 ⁻⁵ | 3,7·10 ⁻⁵ |
| TiO ₂ | 1,76 | 1,1 | SnO ₂ | 1,12 | 0,70 |
| V ₂ O ₃ | 0,51 | 0,32*11 | La ₂ O ₃ | 4,58 | 2,86 |
| V ₃ O ₅ | 0,77 | 0,48*11 | CeO ₂ | 4,3 | 2,7 |
| V ₄ O ₇ | 0,69 | 0,43*11 | Pr ₂ O ₃ | 1,12 | 0,70 |
| V ₅ O ₈ | 0,48 | 0,30*11 | Pr ₆ O ₁₁ | 1,92 | 1,20 |
| V ₆ O ₁₁ | 0,11 | 0,07*11 | Pr ₂ O ₅ | 1,41 | 0,88 |
| | 0,19 | 0,12*11 | Nd ₂ O ₃ | 3,60 | 2,24 |
| V ₇ O ₁₃ | 0,49 | 0,31*12 | Sm ₂ O ₃ | 3,64 | 2,27 |
| V ₆ O ₁₃ | 0,38 | 0,21*12 | Eu ₂ O ₃ | 2,95 | 1,84 |
| V ₂ O ₅ | 0,32 | 0,20*13 | Gd ₂ O ₃ | 4,65 | 2,9 |
| | 0,72 | 0,45*14 | Tb ₄ O ₇ | 1,28 | 0,8 |
| | 0,75 | 0,47 | Dy ₂ O ₃ | 4,8 | 3,0 |
| | 1,64 | 1,0 | Ho ₂ O ₃ | 4,55 | 2,8 |
| Cr ₂ O ₃ | 0,32 | 0,20 | Er ₂ O ₃ | 5,22 | 3,26 |
| | 0,64 | 0,40*15 | Tu ₂ O ₃ | 5,05 | 3,17 |
| | 2,56 | 1,60 | Yb ₂ O ₃ | 4,78 | 2,99 |
| CrO ₃ | 0,32 | 0,20 | Lu ₂ O ₃ | 6,3 | 3,9 |
| MnO | 3,60 | 2,24*16 | WO ₃ | 1,0 | 0,6*13 |
| | 2,44 | 1,92*17 | PbO | 1,6 | 1,0 |
| | 6,05 | 3,76*18 | | 4,0 | 2,5 |
| Mn ₃ O ₄ | 0,83 | 0,58 | PbO ₂ | 2,4 | 1,5 |
| MnO ₂ | 0,48 | 0,30 | Bi ₂ O ₃ | 2,24 | 1,44*36 |
| FeO | 0,55 | 0,34*19 | ThO ₂ | 5,6 | 3,5*37 |
| Fe ₃ O ₄ | 0,48 | 0,30*19 | U ₂ O ₄ | 1,20 | 0,75*38 |
| | 0,12 | 0,08*20 | | 0,96 | 0,6*38 |
| CoO | 1,09 | 0,67*21 | U ₃ O ₈ | 0,77 | 0,48*39 |

*1 [303], чистый лед. *2 При высоких температурах. *3 При низких температурах. *4 [304], при низких давлениях кислорода. *5 То же, при высоких давлениях. *6 Кварц, перпендикулярно оси. *7 Параллельно оси. *8 [323, с. 86]. *9 [282], $T=1100$ К. *10 $T>800$ К. *11 [328]. *12 [306]. *13 [305]. *14 При $T=243$ К. *15 При $T=279$ —314 К. *16 [307]. *17 При $T=673$ К. *18 При $T=1373$ К. *19 [308]. *20 [309]. *21 [310] при $T=300$ К. *22 [311]. *23 [312]. *24 При $T=373$ К. *25 При $T=1173$ К. *26 При $T=1273$ К. *27 $T=1473$ К. *28 $T=1773$ К. *29 [313]. *30 [314]. *31 [315], при $T=4,2$ К. *32 [316]. *33 [293]. *34 При $T>40$ К и $T<40$ К. *35 Для окислов редкоземельных элементов температурный интервал для энергии активации приблизительно равен 500—1500 К. *36 [262]. *37 Для высокого вакуума. *38 [319], при $T=93$ К и $T=349$ К. *39 [291].

ГЛАВА VI

ОПТИЧЕСКИЕ СВОЙСТВА

1. ЦВЕТ ОКИСЛОВ [1; 19; 45; 52; 67; 80; 81; 171]

| Окисел | Состояние | Цвет окисела |
|----------------|-----------|---------------------------|
| 1 | 2 | 3 |
| H_2O | ж | Бесцветный * ¹ |
| | кр | » * ² |
| Li_2O | кр | » |
| Li_2O_2 | | Желтый |
| LiO_3 | | Красный |
| BeO | кр | Бесцветный |
| | кр | Белый * ³ |
| | п | Белый |
| B_2O_2 | | Бесцветный |
| B_2O_3 | ст | » |
| B_4O_5 | | » |
| CO | г | » |
| CO_2 | г | » |
| N_2O | г | » |
| NO | г | » |
| N_2O_3 | г | Красно-бурый |
| | ж | Синий |
| | ж | Темно-голубой |
| | кр | Белоснежный |
| | кр | Бледно-голубой |
| | г | Бурый |
| $N_2O_4(NO_2)$ | г | Красно-бурый |
| | ж | Светло-желтый |
| | ж | Красно-бурый |
| | кр | Бесцветный |
| N_2O_5 | кр | » |
| O_3 | г | » |
| | ж | Бледно-синий |
| | т | » |
| O_3 | кр | Синий |
| | г | Голубоватый |
| | ж | Синий |
| | т | Синий |
| | ж | Темно-синий |
| | т | Почти черный |
| F_2O | кр | Темно-фиолетовый |
| | г | Бесцветный |
| F_2O_2 | ж | Ярко-желтый |
| | г | Бурый |
| | ж | Вишнево-красный |
| Na_2O | кр | Оранжевый |
| | | Светло-желтоватый |

| 1 | 2 | 3 |
|--------------------------------|------|--|
| Na_2O_2 | кр | Бесцветный |
| NaO_2 | п | Белый *4 |
| NaO_3 | п | Желтый |
| MgO | кр | Красный |
| | п | Бесцветный *5 |
| | | Белый |
| | | Бесцветный до желтоватого или зеленого |
| MgO_2 | | Бесцветный *6 |
| Al_2O_3 | кр | » |
| $\alpha\text{-Al}_2\text{O}_3$ | кр | Синий *8 |
| | кр | Красный *9 |
| | кр | Черный *10 |
| $\beta\text{-Al}_2\text{O}_3$ | кр | Бесцветный *11 |
| $\gamma\text{-Al}_2\text{O}_3$ | а.п. | » *12 |
| SiO | ч.п. | Черный или буро-черный |
| | см | Желтовато-коричневый |
| Si_2O_3 | ч.п. | Золотисто-желтый |
| SiO_2 | ст | Бесцветный |
| | кр | » *13 |
| P_2O_3 | кр | Белый |
| P_4O_6 | кр | » |
| P_2O_4 | кр | Бесцветный, блестящий |
| P_2O_5 | кр | Бесцветный |
| | п | Белый |
| P_2O_6 | р | Фиолетовый |
| SO | т | Бесцветный |
| | | Оранжевый |
| | | Оранжево-красный |
| S_2O_2 | г | Бесцветный |
| S_2O_3 | кр | Зеленовато-синий |
| | кр | Голубой |
| SO_2 | кр | Голубоватый |
| | г | Бесцветный |
| | ж | » |
| SO_3 | т | Белый |
| | г | Бесцветный |
| | ст | » |
| SO_4 | тв | Белый |
| | г | » |
| Cl_2O | р | Желто-коричневый |
| | ж | Буровато-желтый |
| | ж | Красно-коричневый |
| | ж | Красно-бурый |
| ClO_2 | г | Зеленовато-желтый |
| | ж | Красный |
| | кр | Оранжево-красный |
| Cl_2O_6 | м | Темно-красный |
| | тв | Яркий оранжево-красный *14 |
| Cl_2O_7 | ж | Бесцветный |

| 1 | 2 | 3 |
|---------------------------------|--------|--|
| K ₂ O | кр | Желтоватый |
| | кр | Белый |
| | кр | Бесцветный |
| | » | » |
| K ₂ O ₂ | кр | Красный |
| KO ₃ | кр | Бесцветный |
| CaO | кр | Белый |
| | п | Белый |
| | » | » |
| CaO ₂ | п | Желтый |
| CaO ₄ | п | Белый |
| Sc ₂ O ₃ | п | Белый |
| TiO | к.м. | Золотисто-желтый * ¹⁵ |
| | п | Золотисто-желтый |
| | п | Темно-коричневый * ¹⁶ |
| | | Черный |
| Ti ₃ O ₄ | п | Темно-фиолетовый |
| Ti ₂ O ₃ | п | Голубой |
| Ti ₃ O ₅ | п | Синий |
| α-TiO ₂ | кр | Красный или коричневый, но тонкие пластиночки бесцветные * ¹⁷ |
| β-TiO ₂ | кр | Коричневый или желтый, голубой или зеленый * ¹⁸ |
| γ-TiO ₂ | кр | Коричневый, желтоватый, красноватый, черный * ¹⁹ |
| TiO ₂ | п | Белый |
| VO | кр | Светло-серый с металлическим блеском |
| | п | Серый |
| | п | Черный |
| | » | » |
| V ₂ O ₃ | кр | Сине-черный |
| | п | Сине-голубой |
| | п | Черный или бурый |
| V ₁₂ O ₂₆ | кр | Ярко-зеленый с металлическим блеском |
| V ₂ O ₅ | кр | Красный или красно-желтый |
| | кр.п. | Красный * ²⁰ |
| | п | Оранжево-желтый |
| | п | Коричневый |
| CrO | п | Кирпично-красный |
| | п | Красный |
| | Черный | Черный |
| Cr ₃ O ₄ | кр | Красновато-оранжевый * ²¹ |
| Cr ₂ O ₃ | | Зеленый |
| | | Темно-зеленый |
| | | Зеленый |
| Cr ₅ O ₁₂ | кр | Черный, темно-коричневый |
| Cr ₆ O ₁₅ | | Черный |
| Cr ₈ O ₂₁ | | » |
| CrO ₃ | п | Темно-красный |

| 1 | 2 | 3 |
|---|-----|---|
| CrO_3 | | Синий |
| MnO | кр | В свежем изломе изумрудно-зеленый, но со временем становится черным. Чарта коричневая *22 |
| | кр | Серо-зеленый |
| | кр | Бурый |
| | п | Зеленый |
| | | Изумрудно-зеленый *23 |
| Mn_2O_3 | кр | Бурый |
| | | Черный |
| Mn_3O_4 | кр | Черно-коричневый |
| MnO_2 | кр | Черный |
| | п | » |
| Mn_2O_7 | ж | Серо-стальной *24 |
| FeO | кр | Зеленовато-черный |
| | п | Черный *25 |
| | | » |
| Fe_3O_4 | кр | Темный |
| | | » *26 |
| $\text{Fe}_3\text{O}_4 \cdot 4\text{H}_2\text{O}$ | | Темно-красный |
| $\alpha\text{-Fe}_2\text{O}_3$ | кр | Черный |
| | | От серо-стального до железо-черного с алмазным блеском. В куске темно-красный *27 |
| | | Буро-красный |
| $\gamma\text{-Fe}_2\text{O}_3$ | | Коричневый |
| CoO | п | Оливково-зеленый |
| | | От светло-коричневого до темно-коричневого |
| Co_3O_4 | кр | Черный |
| Co_2O_3 | п | Коричневый или черный *28 |
| NiO | кр | Темно-зеленый или коричневато-черный *29 |
| Ni_2O_3 | п | Черный |
| NiO_2 | ам. | Серо-черный |
| Cu_2O | кр | Черный |
| CuO | кр | Ярко-красный *30 |
| | | Красный, печеночно-красный |
| | | От серо-железного до черного *31 |
| | | Черный |
| Cu_2O_3 | п | Красный |
| CuO_2 | | Коричнево-черный |
| ZnO | кр | Бесцветный до темно-красного *32 |
| | п | Белый |
| ZnO_2 | | Бесцветный *33 |
| Ga_2O | п | Темно-коричневый |
| GaO | | Серый |
| Ga_2O_3 | п | Белый |
| GeO | кр | Желтый |
| | кр | Лимонно-желтый со слабым зеленоватым оттенком *34 |

| 1 | 2 | 3 |
|------------------------------------|---|---|
| GeO ₂ | п п кр кр п ам г кр ж | Темно-серый Желто-коричневый Бесцветный Белый Бесцветный до белого * ³⁵ Белый * ³⁶ » Бесцветный Желто-зеленый Белый блестящий Бесцветный Бурый Коричневый |
| BrO ₂ | тв | » |
| Br ₃ O ₈ | тв | Светло-желтый |
| Rb ₂ O | кр | Бесцветный |
| Rb ₂ O ₂ | | Желтоватый |
| RbO ₂ | | Бесцветный |
| RbO ₃ | | Желтый |
| SrO | кр | Оранжевый |
| SrO ₂ | п | Бесцветный |
| SrO ₄ | п | Белый |
| Y ₂ O ₃ | кр | » |
| | п | Желтый |
| | п | Бесцветный |
| | п | Белый |
| | п | Зеленый * ³⁷ |
| ZrO ₂ | кр | Бледно-коричневый |
| | | Бесцветный до коричневого * ³⁸ |
| NbO | п | Белый |
| | п | Серый |
| | п | Черный |
| Nb ₂ O ₃ | | Черно-коричневый |
| NbO ₂ | | Сине-черный |
| Nb ₂ O ₅ | | Черный |
| | | Сине-черный |
| | | Бесцветный |
| | | Белый * ³⁹ |
| Mo ₂ O ₃ | пл | Серовато-черный |
| MoO ₂ | кр | Черный |
| Mo ₂ O ₅ | | Темно-коричневый с лиловым оттенком |
| γ-Mo ₄ O ₁₁ | кр | Фиолетово-черный |
| η-Mo ₄ O ₁₁ | кр | Темно-фиолетовый |
| β-Mo ₈ O ₂₃ | кр | Винно-красный |
| ε-Mo ₉ O ₂₃ | кр | Голубой |
| β'-Mo ₉ O ₂₆ | кр | Черный |
| MoO ₃ | кр | Темно-синий |
| | | Бесцветный с зеленоватым оттенком |
| | | Палево-желтый * ⁴⁰ |

| 1 | 2 | 3 |
|--------------------------------|----|---|
| Te_2O_7 | кр | Почти черный *41 |
| RuO_2 | кр | Светло-желтый |
| | п | Черно-серый с металлическим блеском *42 |
| RuO_4 | кр | Золотисто-желтый, коричневый, желтый |
| Rh_2O_3 | | Серо-черный |
| PdO | п | Серый |
| Pd_2O_3 | п | Черный |
| PdO_2 | | Шоколадно-черный *43 |
| Ag_2O | кр | Темно-красный |
| AgO | кр | Бурый |
| | | Темно-бурый |
| CdO | кр | Темно-серый с металлическим блеском |
| | кр | Черный |
| | | Коричневый или красный до черного |
| | | От светло-коричневого до темно-бурового *44 |
| | | Бурый *45 |
| | | Темно-коричневый со слабым металлическим блеском *46 |
| | | Зеленовато-желтый *47 |
| | | Темно-синий *48 |
| CdO_2 | | Бесцветный *49 |
| InO | кр | Черный |
| In_2O_3 | кр | Желтый |
| SnO | | Бывают разновидности черного, голубовато-черного, серого, красного, зеленого и зеленовато-коричневого |
| SnO_2 | кр | Желтый до коричневого, редко красный, серый или белый *50 |
| | | Белый |
| $\alpha\text{-Sb}_2\text{O}_3$ | кр | Бесцветный или серовато-белый *51 |
| $\beta\text{-Sb}_2\text{O}_3$ | кр | Бесцветный до белого или окрашен *52 |
| Sb_2O_3 | кр | Бесцветный |
| | п | Белый |
| Sb_4O_6 | | От белого до желтого |
| Sb_2O_4 | кр | Бледно-желтый до желтоватого или красноватого *53 |
| | | Белоснежный *54 |
| Sb_2O_4 | кр | Белый |
| | п | Светло-желтый |
| Sb_2O_5 | кр | Белый *55 |
| TeO_2 | кр | Бесцветный |
| | п | Желтый |
| TeO_3 | | » |
| I_2O_4 | п | Желтоватый |
| I_4O_9 | п | Белый |
| I_2O_5 | кр | Желтый |
| Cs_2O | | |

| 1 | 2 | 3 |
|-------------------------------|----|--|
| Cs_2O_2 | | Оранжевый |
| CsO_2 | | Бесцветный |
| CsO_3 | | Желтый |
| BaO | кр | Красный |
| | п | Бесцветный |
| BaO_2 | кр | Белый |
| | п | Бесцветный *56 |
| BaO_4 | кр | Белый |
| La_2O_3 | п | Желтый |
| Ce_2O_3 | п | Бесцветный |
| CeO_2 | п | Зеленовато-желтый |
| Pr_2O_3 | п | Желтовато-белый |
| Pr_6O_{11} | п | Белый *57 |
| Nd_2O_3 | п | Зеленовато-желтый |
| | | От темно-бурого до черного |
| | | Коричнево-черный |
| Sm_2O_3 | п | Светло-синий или светло-пурпурный *58 |
| | | Лиловый, сиреневый |
| | | Слабо-желтый |
| | | От белого до слабо-желтого |
| | | Рыжевато-коричневый *59 |
| EuO | | Гранатово-красный до черного |
| $\text{Eu}_{16}\text{O}_{21}$ | кр | Оранжево-желтый *60 |
| Eu_3O_4 | п | Темно-красный |
| Eu_2O_3 | п | Белый с красноватым оттенком (светло-розовый) |
| Gd_2O_3 | п | Кремовый |
| | | Белый |
| | | Бесцветный |
| Tb_2O_3 | п | Темно-коричневый *61 |
| | | Белый |
| | | Бесцветный |
| | | Желтый |
| Tb_4O_7 | п | Темно-бурый |
| Dy_2O_3 | п | Темно-коричневый |
| | | Бледно-кремовый, почти белый |
| Ho_2O_3 | п | Бесцветный |
| | | Желтый |
| Er_2O_3 | п | Бледно-желтый |
| | | Бледно-розово-красный |
| | | Розовый |
| Tu_2O_3 | п | Белый со слабо-зеленоватым оттенком |
| Yb_2O_3 | п | Белый |
| Lu_2O_3 | п | Бесцветный |
| HfO_2 | | Белый |
| | | Бесцветный |
| | | Белый |

| 1 | 2 | 3 |
|--------------------------------|----|------------------------------------|
| Ta ₄ O | | Сине-черный |
| TaO ₂ | | Черный |
| TaO _x | | » *62 |
| Ta ₂ O ₅ | п | Белый |
| W ₃ O | кр | Коричневый |
| | п | » |
| WO ₂ | | » |
| WO _{2,03} | | » |
| WO _{2,5} | | Красно-фиолетовый |
| WO _{2,65} | | » |
| WO _{2,82} | | » |
| WO _{2,88} | | Красно-фиолетовый с синим оттенком |
| WO _{2,95} | | Синий |
| WO ₃ | кр | Золотисто-желтый до зеленого *63 |
| | кр | Зеленый *64 |
| | п | Лимонно- или оранжево-желтый |
| | | Светло-желтый, коричневый |
| | | Синий |
| ReO ₂ | кр | Черный |
| ReO ₃ | кр | Красный с металлическим блеском |
| | п | » |
| Re ₂ O ₇ | кр | Светло-желтый |
| | | Желтый |
| OsO | п | Черный |
| OsO ₂ | п | Коричневый или черный |
| OsO ₄ | кр | Бледно-желтый |
| | кр | Почти бесцветный |
| Ir ₂ O ₃ | | Черный |
| IrO ₂ | | Сине-черный |
| PtO | п | Черный |
| | п | Серо-фиолетовый |
| Pt ₂ O ₃ | п | Коричневый |
| PtO ₂ | кр | Черный |
| | п | Темно-коричневый |
| PtO ₃ | | Красно-коричневый |
| Au ₂ O | п | Серо-фиолетовый |
| AuO | | Темно-зеленый |
| Au ₂ O ₃ | п | Черно-бурый |
| | п | Темно-коричневый |
| Hg ₂ O | | Черный |
| HgO | | Оранжево-красный *65 |
| | п | Желтый *66 |
| | | » *67 |
| HgO ₂ | п | Черный |
| Tl ₂ O | п | Коричневый |
| Tl ₂ O ₃ | | Желтовато-красный до красного *68 |
| α-PbO | кр | Желтый *69 |
| β-PbO | кр | Красный *70 |
| Pb ₃ O ₄ | кр | Смоляно-черный *71 |
| PbO ₂ | кр | |

| 1 | 2 | 3 |
|---|----|---|
| $\alpha\text{-Bi}_2\text{O}_3$ | кр | Темно-коричневый То же |
| $\gamma\text{-Bi}_2\text{O}_3$ | кр | Серовато-зеленый до ярко-желтого *72 |
| Bi_2O_3 | п | Оливково-серый до зеленого *73 |
| Bi_2O_4 | п | Желтый **74 |
| Bi_2O_5 | п | Коричневый |
| PoO_2 | кр | Коричнево-красный |
| | | Красный *75 |
| | | Желтый *76 |
| ThO_2 | кр | Темно-серый до черного *77 |
| | кр | Белый |
| | п | Бесцветный |
| PaO | п | Черный |
| PaO_2 | п | » |
| Pa_2O_5 | п | Белый |
| UO | кр | Серый с металлическим блеском |
| UO_2 | | Коричневый *78 |
| | | От бурого до черного |
| | кр | Коричнево-черный |
| | | Фиолетово-черный (изменяется на краях до желтого) *79 |
| | п | От коричневого до черного |
| | | Черный |
| | | » |
| | | » |
| U_4O_9 | | Синевато-черный |
| $\beta\text{-UO}_{2,25}$ | | Черный |
| $\gamma\text{-UO}_{2,34}$ | | Темно-зеленый |
| U_3O_7 | | От оливково-зеленого до черного |
| U_2O_5 | | Темно-зеленый или оливково-зеленый |
| U_3O_8 | | Темно-зеленый или черный |
| | кр | Желтый *80 |
| UO_3 | кр | Янтарно-желтый до коричневато-желтого *81 |
| | п | оранжево-желтый |
| | | Оранжевый |
| | | Темно-оранжевый |
| | | Серо-желтый |
| | | Оранжевый |
| | | Желтый |
| | п | Зеленый *82 |
| U_2O_7 | | Коричневый |
| $\text{UO}_4 \cdot 2\text{H}_2\text{O}$ | | Яблочно-зеленый |
| NpO_2 | | Коричневый |
| | п | Шоколадно-коричневый |
| Np_3O_8 | п | Черный |
| PuO | п | Черный с металлическим блеском |
| Pu_2O_3 | | Серебристый |
| | | Серебристый с полуметаллическим блеском |

| 1 | 2 | 3 |
|--------------------------------|--------------|--|
| PuO ₂ | кр п п | Желтый От желто-зеленого до коричневого Желтый, желто-зеленый, темно-ко- ричневый |
| AmO | | Черный |
| Am ₂ O ₃ | | Коричневый *83 |
| AmO ₂ | п | Красно-оранжевый Красно-коричневый *84 |
| Cm ₂ O ₃ | | Черный |
| CmO ₂ | | Белый |
| Bk ₂ O ₃ | | Черный |
| | | Желто-зеленый *85 |

*¹ В толстых слоях голубовато-зеленый; в слое более 2 м голубоватый.
 *² В большой массе бледно-голубой. *³ Бромеллит. *⁴ Технический продукт имеет слабо-желтую окраску, обусловленную примесью NaO₂. *⁵ Периклаз. *⁶ MgO₂·H₂O. *⁷ Корунд. *⁸ Сапфир. *⁹ Рубин. *¹⁰ Изумруд. *¹¹ Нестабильный. *¹² При обычной температуре неустойчив. *¹³ α-, β-кристобалит, α-, β-тридинит, α-, β-кварц. *¹⁴ При -78° С. *¹⁵ При нагреве в вакууме до 1700° С спрессованной смеси TiO₂+Ti. *¹⁶ При восстановлении TiO₂ магнием. *¹⁷ Рутил. *¹⁸ Анализ или октаэдрит. *¹⁹ Брукит. *²⁰ В мелкораздробленном состоянии оранжевый или желтый. *²¹ В поляризованном свете. *²² Манганозит. *²³ На воздухе быстро темнеет. *²⁴ Пиролюзит. *²⁵ Вьюстит. *²⁶ Магнетит. *²⁷ Гематит. *²⁸ Co₃O₄·H₂O. *²⁹ Бунзенит. *³⁰ Куприт. *³¹ Тенорит. *³² Цинкит. *³³ ZnO₂·H₂O. *³⁴ В проходящем свете зеленово-желтый с ярко выраженным плеохроизмом от густого желто-зеленого до очень бледно-зеленового. *³⁵ Кладит. *³⁶ Арсенолит. *³⁷ При нестехиометрическом составе. *³⁸ Бадделлит. *³⁹ При нагревании приобретает желтую окраску, исчезающую при охлаждении. *⁴⁰ По оси *a* и *b*. *⁴¹ По оси *c*. *⁴² При нагревании в вакууме до 958° С переходит в синюю кристалл. форму. *⁴³ Pd₂O₃·xH₂O. *⁴⁴ В зависимости от способа приготовления. *⁴⁵ Полученный при низких температурах. *⁴⁶ После прокаливания при 800—900° С. *⁴⁷ Полученный из гидрата прокаливанием при 350° С. *⁴⁸ После прокаливания гидрата при 800° С. *⁴⁹ CdO₂·xH₂O. *⁵⁰ Касситерит. *⁵¹ Сенармонит. *⁵² Валентинит. *⁵³ Sb₂O₄·nH₂O (стибионит?). *⁵⁴ При нагревании желтеет. *⁵⁵ Теллурит. *⁵⁶ BaO₂·8H₂O. *⁵⁷ В нагретом состоянии желтый. *⁵⁸ Прокаленный при 900° С. *⁵⁹ После обжига при 1300—1500° С. *⁶⁰ Фаза «Орто-I». *⁶¹ При обжиге до 1300—1500° С. *⁶² 2 < x < 2,5. *⁶³ WO₃·H₂O (тургитит). *⁶⁴ WO₃·2H₂O (гидротургитит). *⁶⁵ Монтронит, красная окись, при нагревании чернеет, но восстанавливает свой ярко-оранжево-красный цвет при остывании. *⁶⁶ Тонкий кристаллический порошок (размерзерна ~ 2 мкм). *⁶⁷ В растворе красный. *⁶⁸ Глет. *⁶⁹ Масникот. *⁷⁰ Миниум. *⁷¹ Платтерит. *⁷² Бисмит. *⁷³ Силленит. *⁷⁴ При нагревании становится оранжевым или бурым (после охлаждения приобретает первоначальный цвет). *⁷⁵ Высокотемпературная модификация. *⁷⁶ Низкотемпературная модификация. *⁷⁷ Торианинит. *⁷⁸ Уранинит. *⁷⁹ 2UO₂·7H₂O (ианитит). *⁸⁰ 4UO₃·9H₂O (скупит). *⁸¹ 7UO₃·11H₂O (беккерелит). *⁸² Были получены черные блестящие кристаллы. *⁸³ Гексагональная модификация. *⁸⁴ Кубическая модификация. *⁸⁵ Моноклинная модификация.

2. ПОКАЗАТЕЛЬ ПРЕЛОМЛЕНИЯ [1; 19; 52; 67; 77; 353; 636]

| Оксид | Показатель преломления | | | Примечание |
|------------------|------------------------|----------------------|----------------------|---------------------------------------|
| | <i>n_g</i> | <i>n_m</i> | <i>n_p</i> | |
| 1 | 2 | 3 | 4 | |
| H ₂ O | 1,3104 — | 1,309 1,33299 | 1,309 — | Лед При 20° С и 101,3 кПа, вода |

| 1 | 2 | 3 | 4 | 5 |
|--------------------------------|---------------------------------|-------------|------------------|---|
| | — | 1,3289 | — | При 50° С |
| | — | 1,3178 | — | При 100° С |
| H ₂ O ₂ | — | 1,4067(D) | — | При 25° С |
| D ₂ O | — | 1,32795(D) | — | Тяжелая вода; при 25° С |
| Li ₂ O | — | 1,644 | — | |
| BeO | 1,733 | — | 1,719 | Кристаллический (бромеллит) |
| | — | 1,590 | — | Непрокаленный порошок |
| | — | 1,692 | — | Обжиг при 900° С |
| | — | 1,716 | — | » » 1300° С |
| | — | 1,718 | — | » » 1700° С |
| B ₂ O ₃ | — | 1,459 | — | Стекло |
| MgO | — | 1,737 | — | Периклаз |
| Al ₂ O ₃ | 1,760 | — | 1,768 | α-модификация (корунд) |
| | — | 1,736 | — | γ-модификация |
| | — | 1,690—1,695 | — | γ-Al ₂ O ₃ , мелкодисперсная кубическая форма |
| | — | 1,65 | — | Гель после прокаливания |
| SiO | 2,15 | — | 2,06 | |
| | — | 2,15—1,95 | — | Для $\lambda = 0,4 \div 0,7$ мкм |
| Si ₂ O ₃ | 1,658 | — | 1,654 | |
| Si ₃ O ₄ | 1,90 | — | 1,80 | |
| SiO ₂ | 1,5405 | — | 1,5329 | α-кварц; для света Na |
| | 1,553 | — | 1,544 | β-кварц |
| | 1,484 | — | 1,487 | α-Кристобалит |
| | — | 1,486 | — | β-Кристобалит |
| | — | 1,486—1,492 | — | Метакристобалит |
| | 1,473 | 1,470 | 1,469 | α-Тридимит |
| | 1,481 | 1,479 | 1,479 | γ-Тридимит |
| | — | 1,462 | — | Кварцевое стекло |
| | 1,538 | — | 1,532 | Халцедон |
| | 1,826± ±0,002 | — | 1,799± ±0,002 | Стишовит |
| | 1,597 | — | 1,594 | Коэсит |
| | 1,513 | — | 1,522 | Китит |
| | — | 1,425±0,002 | — | Меланофлогит |
| P ₂ O ₅ | 1,624 | — | 1,599 | — |
| CaO | — | 1,837 | — | Известь |
| Sc ₂ O ₃ | — | 1,990 | — | — |
| | — | 1,91 | — | |
| TiO ₂ | 2,908 | — | 2,621 | α-Модификация, рутил |
| | 2,488 | — | 2,561 | β-Модификация, анатаз |
| | 2,7004 | 2,5843 | 2,5831 | γ-Модификация, брукит |
| | 2,9467 | — | 2,6506 | Рутил |
| | 2,5688 | — | 2,6584 | Анатаз |
| | 2,809 | — | 2,677 | Брукит |
| Cr ₂ O ₃ | — | 2,5(Li) | — | |
| MnO | — | 2,16(Li) | — | Манганизит |
| FeO | Почти непрозрачный ($n=2,32$) | | | Вюстит |

| 1 | 2 | 3 | 4 | 5 |
|---------------------------------|---|-------------------------|-----------------------|---|
| Fe ₂ O ₃ | 2,759 2,78 | — — | 2,988(Li) 3,01(Li) | Гематит α-модификация |
| Ee ₃ O ₄ | Почти непрозрачный (<i>n</i> =2,42 Na) | | | Магнетит |
| NiO | — — | 2,27(Li) 2,23(Na) | — — | Бунзенит — |
| Cu ₂ O | — — | 2,816—2,534 2,849(D) | — — | Куприте — |
| CuO | — — | 2,63(Li) 3,18—2,63 | — — | Тенорит — |
| ZnO | 2,020 | 2,004(D) | 2,004 | Цинкит |
| GeO ₂ | 1,724± ±0,003 | — — | 1,697± ±0,001 | Кварцеводобная мо- дификация |
| | 1,653 | — | 1,633 | Халцедоноподобная мо- дификация |
| | — | >1,606 1,606 | — — | Аморфный Плавленый |
| As ₂ O ₃ | 2,01 | 1,92 | 1,87 | α-Модификация, клоде- тист |
| | — | 1,755(Na) | — | β-Модификация, арсено- лит |
| | — | 1,748(Li) | — | В красной части спектра |
| SeO ₂ | — | >1,76 | — | — |
| SrO | — | 1,87 | — | — |
| Y ₂ O ₃ | — | 1,910—1,915 | — | — |
| ZrO ₂ | 2,20 | 2,19 | 2,13 | Бадделеит |
| Nb ₂ O ₅ | — | 2,33 | — | — |
| CdO | — | 2,49(Li) | — | — |
| In ₂ O ₃ | — | 1,95(1,25 мкм) | — | В ИК области спектра |
| SnO ₂ | 2,0929 | — | 1,9968 | Касситерит |
| Sb ₂ O ₃ | — | 2,087(Na) 2,073(Li) | — — | Сенармонтит Сенармонтит в красной части спектра |
| | 2,358 | 2,35 | 2,18 | Валентинит |
| Sb ₂ O ₄ | 2,04 | — | 1,83 | Сервантист |
| TeO ₂ | 2,35 | 2,18 | 2,00(Li) | Теллурит |
| BaO | — | 1,98(Na) | — | — |
| La ₂ O ₃ | — | 1,85—1,95 | — | — |
| CeO ₂ | — | 2,00 | — | — |
| | — | 2,40 | — | — |
| Pr ₆ O ₁₁ | — | 1,92—2,05 | — | — |
| Nd ₂ O ₃ | — | 1,85 | — | A—Nd ₂ O ₃ , 500° C |
| | — | 1,88 | — | « 600° C |
| | — | 1,97 | — | « 700° C |
| | — | 2,00 | — | « 800° C |
| | — | 2,05 | — | — |
| Sm ₂ O ₃ | <2,14 | — | 2,08 | Средний для непро- каленного |
| | — | 1,82—1,86 | — | После прокаливания при 1600—1700° C |

| 1 | 2 | 3 | 4 | 5 |
|-------------------------------|---|--|---------------|--|
| Eu_2O_3 | 2,095 — | 2,093 1,87(20° C) 2,03(1400° C) | 2,070 — | — |
| $\text{Eu}_{16}\text{O}_{21}$ | 2,10— 2,14 | — | 2,08—2,1 | — |
| Gd_2O_3 | 2,10— 2,14 | — | 2,05— 2,08 | — |
| Tb_2O_3 | — 2,08— 2,051 | 1,82 | — 2,04 | — |
| Dy_2O_3 | $\geq 2,051$ | — | $\geq 2,03$ | — |
| Ho_2O_3 | — | 1,88 | — | — |
| Er_2O_3 | — | 1,960 | — | — |
| Tu_2O_3 | — | 1,955 | — | — |
| Yb_2O_3 | — | 1,95 | — | — |
| Lu_2O_3 | — | 1,865 | — | — |
| HfO_2 | — | 1,940 | — | — |
| HgO | — | 1,947 | — | — |
| PbO | 2,65 2,535(Li) | 1,98—2,02 2,50 | 2,37 2,665 | Монтродит Глет |
| PbO_2 | 2,71(Li) | — | 2,51 | Массикот |
| Bi_2O_3 | <2,30 2,63 | — 2,42 | 2,30 2,63 | Платтнерит α -Модификация, бисмит γ -Модификация, силленит |
| ThO_2 | — | 2,09—2,15 | — | Торианит |
| UO_2 | Обычно непрозрачен ($R \approx 12 \div 15 \%$) | — | — | В видимой области спектра |
| Pu_2O_3 | — | 2,35 2,44± $\pm 0,02(\text{Li})$ | — | — |
| PuO_2 | — | 2,402(Na) 2,35± $\pm 0,005(\text{Li})$ | — | — |

3. ИЗЛУЧАТЕЛЬНЫЕ ХАРАКТЕРИСТИКИ

A. Интегральная нормальная излучательная способность

| Интегральная нормальная излучательная способность e_{tn} | | Temperatura, K | Интегральная нормальная излучательная способность e_{tn} | | Temperatura, K |
|---|---------|-------------------|---|----------------|-------------------|
| гладкая поверхность | порошок | | гладкая поверхность | порошок | |
| 1 | 2 | 3 | 1 | 2 | 8 |
| BeO^{*1} [19, 93] | — | 0,665 | — | 0,706 0,746 | 1300 1400 |

| 1 | 2 | 3 | 1 | 2 | 3 |
|-------|-------|------|-------------------|----------|------|
| — | 0,785 | 1500 | MgO* ⁵ | [19, 93] | |
| — | 0,819 | 1600 | 0,74 | — | 73 |
| — | 0,843 | 1700 | 0,74 | — | 173 |
| — | 0,867 | 1800 | 0,73 | — | 273 |
| — | 0,894 | 1900 | 0,715 | — | 373 |
| — | 0,931 | 2000 | 0,68 | — | 473 |
| | | | 0,64 | — | 573 |
| | | | 0,60 | — | 673 |
| | | | 0,56 | — | 773 |
| | | | 0,49 | — | 873 |
| 0,336 | — | 1200 | 0,44 | — | 973 |
| 0,361 | — | 1300 | 0,41 | — | 1073 |
| 0,392 | — | 1400 | 0,38 | — | 1173 |
| 0,420 | — | 1500 | 0,37 | — | 1273 |
| 0,439 | — | 1600 | 0,33 | — | 1373 |
| 0,453 | — | 1700 | 0,325 | — | 1473 |
| 0,463 | — | 1800 | 0,32 | — | 1573 |
| 0,470 | — | 1900 | 0,315 | — | 1673 |
| 0,474 | — | 2000 | 0,31 | — | 1773 |
| 0,475 | — | 2100 | | | |
| 0,475 | — | 2150 | | | |
| | | | MgO* ⁶ | [93] | |
| | | | 0,73 | — | 100 |
| | | | 0,73 | — | 200 |
| | | | 0,72 | — | 300 |
| | | | 0,70 | — | 400 |
| | 0,66 | 1173 | 0,65 | — | 500 |
| | 0,70 | 1273 | 0,62 | — | 600 |
| | 0,74 | 1373 | 0,57 | — | 700 |
| | 0,77 | 1473 | 0,52 | — | 800 |
| | 0,81 | 1573 | 0,47 | — | 900 |
| | 0,83 | 1673 | 0,42 | — | 1000 |
| | 0,86 | 1773 | 0,38 | — | 1100 |
| | 0,88 | 1873 | 0,35 | — | 1200 |
| | 0,92 | 1973 | 0,33 | — | 1300 |
| | 0,96 | 2073 | 0,30 | — | 1400 |
| | | | 0,29 | — | 1500 |
| | | | 0,28 | — | 1600 |
| | | | 0,28 | — | 1700 |
| | | | 0,29 | — | 1800 |
| | | | 0,32 | — | 1900 |
| | 0,33 | 1173 | 0,36 | — | 2000 |
| | 0,35 | 1273 | 0,41 | — | 2100 |
| | 0,38 | 1373 | 0,49 | — | 2200 |
| | 0,41 | 1473 | 0,58 | — | 2300 |
| | 0,43 | 1573 | | | |
| | 0,45 | 1673 | | | |
| | 0,47 | 1773 | 0,73 | — | 73 |
| | 0,475 | 1873 | 0,74 | — | 173 |
| | 0,48 | 1973 | 0,74 | — | 273 |
| | 0,48 | 2073 | 0,735 | — | 373 |

| 1 | 2 | 3 | 1 | 2 | 3 |
|--|---|---------------|---|------|-------|
| 0,73 | — | 473 | | | |
| 0,72 | — | 573 | | | |
| 0,71 | — | 673 | | | |
| 0,67 | — | 773 | | | |
| 0,65 | — | 873 | 0,82 | — | 400 |
| 0,62 | — | 973 | 0,83 | — | 500 |
| 0,58 | — | 1073 | 0,84 | — | 600 |
| 0,55 | — | 1173 | 0,85 | — | 700 |
| 0,53 | — | 1273 | 0,86 | — | 800 |
| 0,49 | — | 1373 | 0,87 | — | 900 |
| 0,47 | — | 1473 | 0,875 | — | 1000 |
| 0,45 | — | 1573 | 0,88 | — | 1100 |
| 0,44 | — | 1673 | 0,89 | — | 1200 |
| 0,43 | — | 1773 | 0,90 | — | 1300 |
| Al₂O₃^{*8} [93] | | | Cr₂O₃^{*13} [93] | | |
| 0,79 | — | 400 | — | 0,74 | 1123- |
| 0,71 | — | 600 | | | 1523 |
| 0,60 | — | 800 | | | |
| 0,52 | — | 1000 | | | |
| 0,46 | — | 1200 | | | |
| 0,42 | — | 1400 | | | |
| 0,40 | — | 1600 | | | |
| 0,39 | — | 1800 | | | |
| SiO₂^{*9} [19] | | | Cr₂O₃^{*14} [93] | | |
| 0,72 | — | 573 | — | 0,86 | 1123 |
| 0,69 | — | 673 | — | 0,89 | 1200 |
| 0,65 | — | 773 | — | 0,91 | 1300 |
| 0,61 | — | 873 | — | 0,93 | 1400 |
| 0,57 | — | 973 | — | 0,95 | 1500 |
| 0,52 | — | 1073 | — | 0,95 | 1523 |
| 0,48 | — | 1173 | | | |
| SiO₂^{*10} [93] | | | Fe₂O₃^{*15} [93] | | |
| 0,38—0,42 | — | 1100— 1700 | — | 0,57 | 1100 |
| | | | — | 0,63 | 1200 |
| | | | — | 0,65 | 1300 |
| | | | — | 0,74 | 1400 |
| CaO^{*11} [93] | | | NiO^{*16} [93] | | |
| 0,27 | — | 1123— 1550 | 0,36 | — | 600 |
| | | | 0,38 | — | 700 |
| | | | 0,40 | — | 800 |
| | | | 0,43 | — | 900 |
| | | | 0,47 | — | 1000 |
| | | | 0,50 | — | 1100 |
| | | | 0,55 | — | 1200 |

| 1 | 2 | 3 | 1 | 2 | 3 |
|--|------|------|---|------|------|
| | | | | | |
| ZnO * ¹⁷ [93] | | | | 0,53 | 800 |
| — | 0,24 | 1160 | — | 0,42 | 1000 |
| — | 0,33 | 1200 | — | 0,37 | 1200 |
| — | 0,49 | 1300 | — | 0,37 | 1400 |
| — | 0,58 | 1400 | — | 0,39 | 1600 |
| — | 0,63 | 1500 | — | 0,46 | 1800 |
| ZnO * ¹⁸ [93] | | | — | 0,55 | 2000 |
| — | — | — | — | 0,62 | 2200 |
| — | — | — | — | 0,66 | 2400 |
| — | — | — | — | 0,69 | 2600 |
| 0,91 | — | 1140 | | | |
| 0,81 | — | 1240 | CeO ₂ * ²² [93] | | |
| 0,82 | — | 1330 | | | |
| Y ₂ O ₃ * ¹⁹ [93] | | | | 0,35 | 1100 |
| — | 0,33 | 1273 | — | 0,73 | 1200 |
| — | — | — | — | 0,91 | 1400 |
| — | — | — | — | 0,94 | 1600 |
| — | — | — | — | 0,95 | 1800 |
| — | — | — | — | 0,94 | 2000 |
| — | — | — | — | 0,93 | 2200 |
| ZrO ₂ * ²⁰ [93] | | | — | 0,92 | 2300 |
| — | 0,26 | 1100 | Sm ₂ O ₃ * ²³ [19] | | |
| — | 0,25 | 1200 | | | |
| — | 0,27 | 1300 | — | 0,47 | 623 |
| — | 0,28 | 1400 | — | 0,48 | 673 |
| — | 0,33 | 1500 | — | 0,49 | 773 |
| — | 0,37 | 1600 | — | 0,50 | 873 |
| — | 0,45 | 1700 | — | 0,50 | 973 |
| — | 0,52 | 1800 | — | 0,50 | 1073 |
| — | 0,59 | 1900 | — | 0,48 | 1173 |
| — | 0,65 | 2000 | — | 0,46 | 1273 |
| — | 0,71 | 2100 | — | 0,47 | 1373 |
| — | 0,74 | 2200 | — | 0,50 | 1473 |
| — | 0,77 | 2300 | — | 0,53 | 1573 |
| — | 0,78 | 2400 | — | 0,56 | 1673 |
| — | 0,79 | 2500 | — | 0,56 | 1773 |
| — | 0,80 | 2600 | — | 0,53 | 1873 |
| — | 0,80 | 2700 | | | |
| — | 0,80 | 2800 | Gd ₂ O ₃ * ²⁴ [19] | | |
| ZrO ₂ * ²¹ [93] | | | | | |
| — | 0,81 | 20 | | 0,33 | 773 |
| — | 0,75 | 400 | — | 0,38 | 873 |
| — | 0,65 | 600 | — | 0,38 | 973 |
| | | | — | 0,35 | 1073 |
| | | | — | 0,29 | 1173 |

| 1 | 2 | 3 | 1 | 2 | 3 |
|----------------------|------|------|--------------------|----------------------|------|
| — | 0,20 | 1273 | — | $Ta_2O_5^{*27}$ [93] | |
| — | 0,15 | 1373 | — | | |
| — | 0,12 | 1473 | — | | |
| — | 0,10 | 1573 | — | | |
| — | 0,10 | 1673 | — | 29 | 1273 |
| — | 0,11 | 1773 | — | | |
| — | 0,13 | 1873 | — | | |
| $Er_2O_3^{*25}$ [19] | | | ThO_2^{*28} [93] | | |
| — | 0,05 | 673 | — | 0,64 | 573 |
| — | 0,13 | 773 | — | 0,60 | 673 |
| — | 0,27 | 873 | — | 0,57 | 773 |
| — | 0,35 | 973 | — | 0,52 | 873 |
| — | 0,34 | 1073 | — | 0,48 | 973 |
| — | 0,28 | 1173 | — | 0,43 | 1073 |
| — | 0,22 | 1273 | — | 0,39 | 1173 |
| — | 0,18 | 1373 | — | | |
| — | 0,10 | 1473 | — | | |
| — | 0,08 | 1573 | — | | |
| — | 0,07 | 1673 | — | | |
| — | 0,07 | 1773 | — | | |
| HfO_2^{*26} [93] | | | ThO_2^{*29} [93] | | |
| — | — | — | — | 0,62 | 600 |
| — | — | — | — | 0,52 | 800 |
| — | 0,80 | 1100 | — | 0,43 | 1000 |
| — | 0,82 | 1200 | — | 0,38 | 1200 |
| — | 0,83 | 1400 | — | 0,37 | 1400 |
| — | 0,83 | 1600 | — | 0,41 | 1600 |
| — | 0,81 | 1800 | — | 0,50 | 1800 |
| — | 0,82 | 2000 | — | 0,61 | 2000 |
| — | 0,89 | 2200 | — | 0,68 | 2200 |
| — | 0,88 | 2400 | — | 0,72 | 2400 |

*¹ Горячепрессованный в графитовой форме, обожженный в воздухе до 1300° С, однородно-темный; плотность 2,85 г/см³. *² Горячепрессованный, обожженный в воздухе до 1300° С, белый; плотность 2,778 г/см³. *³ Образцы зачернены непосредственно из формы; из графика. *⁴ Образцы побелены при прокаливании в воздухе; из графика. *⁵ Плавленый; из графика. *⁶ Рекомендуемые значения; из графика. *⁷ Измерения в воздухе; из графика. *⁸ Рекомендуемые значения; из графика. *⁹ Чистый окисел; из графика. *¹⁰ Кристаллический кварц. *¹¹ Пленка. *¹² Полусферическое излучение в вакууме покрытия толщиной 63 мкм; из графика. *¹³ Величина зерна 0,5—1,5 мкм; из графика. *¹⁴ Величина зерна 1,5—8,0 мкм; из графика. *¹⁵ Из графика. *¹⁶ Полусферическое излучение в воздухе пленки толщиной 2 мкм; из графика. *¹⁷ Размер частиц 0,5 мкм; из графика. *¹⁸ Полусферическое излучение в вакууме монокристалла.

*¹⁹ Расчетное значение по $\epsilon_{\lambda n}$. *²⁰ 97,1% ZrO₂ и 2,17% CaO, плотность 4,65 г/см³; из графика. *²¹ Рекомендуемые значения. *²² Прессованный и спеченный, плотность 6,87 г/см³; из графика. *²³ Обжиг при 1850° С, плотность 7,62 г/см³; из графика. *²⁴ Из графика. *²⁵ Из графика. *²⁶ Прессованный и спеченный, плотность 9,55 г/см³; из графика. *²⁷ Расчет из графика $\epsilon_{\lambda n}$. *²⁸ Спектрально чистый; из графика. *²⁹ Рекомендуемые значения; из графика.

Б. Монохроматическая нормальная излучательная способность

| Монохроматическая нормальная излучательная способность $\varepsilon_{\lambda, p}$ | | Длина волны λ , мкм | Температура, К | Монохроматическая нормальная излучательная способность $\varepsilon_{\lambda, p}$ | | Длина волны λ , мкм | Температура, К |
|---|---------|-----------------------------|----------------|---|---------|-----------------------------|----------------|
| гладкая поверхность | порошок | | | гладкая поверхность | порошок | | |
| 1 | 2 | 3 | 4 | 1 | 2 | 3 | 4 |
| BeO*¹ [19] | | | | | | | |
| — | — | 0,542 | 0,665 | 1200 | — | 0,21 | 1,0 |
| — | — | 0,543 | 0,665 | 1300 | — | 0,08 | 2,0 |
| — | — | 0,546 | 0,665 | 1400 | — | 0,13 | 3,0 |
| — | — | 0,552 | 0,665 | 1500 | — | 0,38 | 4,0 |
| — | — | 0,559 | 0,665 | 1600 | — | 0,72 | 5,0 |
| — | — | 0,568 | 0,665 | 1700 | — | 0,87 | 6,0 |
| — | — | 0,577 | 0,665 | 1800 | — | 0,91 | 7,0 |
| — | — | 0,587 | 0,665 | 1900 | — | 0,89 | 8,0 |
| — | — | — | — | — | — | 0,82 | 9,0 |
| BeO*⁵ [93] | | | | | | | |
| — | — | — | — | — | — | 0,49 | 10,0 |
| — | — | — | — | — | — | 0,38 | 11,0 |
| — | — | — | — | — | — | 0,36 | 12,0 |
| — | — | — | — | — | — | 0,34 | 13,0 |
| — | — | — | — | — | — | 0,33 | 14,0 |
| — | — | — | — | — | — | 0,32 | 15,0 |
| BeO*² [19] | | | | | | | |
| 0,212 | — | 0,665 | 1200 | — | — | 0,665 | 1073 |
| 0,209 | — | 0,665 | 1300 | — | — | 0,665 | 1173 |
| 0,210 | — | 0,665 | 1400 | — | — | 0,665 | 1273 |
| 0,213 | — | 0,665 | 1500 | — | — | 0,665 | 1373 |
| 0,217 | — | 0,665 | 1600 | — | — | 0,665 | 1473 |
| 0,222 | — | 0,665 | 1700 | — | — | 0,665 | 1573 |
| 0,228 | — | 0,665 | 1800 | — | — | 0,665 | 1673 |
| 0,235 | — | 0,665 | 1900 | — | — | 0,665 | 1773 |
| — | — | — | — | — | — | 0,665 | 1873 |
| BeO*³ [19] | | | | | | | |
| — | — | 0,55 | 0,665 | 1073 | 0,27 | — | — |
| — | — | 0,54 | 0,665 | 1173 | 0,31 | — | — |
| — | — | 0,54 | 0,665 | 1273 | 0,35 | — | — |
| — | — | 0,54 | 0,665 | 1373 | 0,40 | — | — |
| — | — | 0,55 | 0,665 | 1473 | 0,44 | — | — |
| — | — | 0,56 | 0,665 | 1573 | — | — | — |
| — | — | 0,57 | 0,665 | 1673 | — | — | — |
| — | — | 0,58 | 0,665 | 1773 | — | — | — |
| — | — | 0,59 | 0,665 | 1873 | 0,28 | — | — |
| — | — | 0,595 | 0,665 | 1973 | 0,25 | — | — |
| — | — | 0,60 | 0,665 | 2073 | 0,25 | — | — |
| — | — | — | — | — | — | — | — |
| MgO*⁶ [19, 93] | | | | | | | |
| — | — | — | — | 0,17 | — | 0,665 | 1073 |
| — | — | — | — | 0,18 | — | 0,665 | 1173 |
| — | — | — | — | 0,20 | — | 0,665 | 1273 |
| — | — | — | — | 0,23 | — | 0,665 | 1373 |
| — | — | — | — | 0,27 | — | 0,665 | 1473 |
| — | — | — | — | 0,31 | — | 0,665 | 1573 |
| — | — | — | — | 0,35 | — | 0,665 | 1673 |
| — | — | — | — | 0,40 | — | 0,665 | 1773 |
| — | — | — | — | 0,44 | — | 0,665 | 1873 |
| BeO*⁴ [19] | | | | | | | |
| — | — | — | — | 0,72 | — | — | — |
| — | — | — | — | 0,85 | — | — | — |
| — | — | — | — | 0,93 | — | — | — |
| — | — | 0,23 | 0,665 | 1900 | — | — | — |
| MgO*⁷ [1] | | | | | | | |
| — | — | — | — | 0,28 | — | 1,0 | 293 |
| — | — | — | — | 0,25 | — | 2,0 | 293 |
| — | — | — | — | 0,25 | — | 3,0 | 293 |
| — | — | — | — | 0,30 | — | 4,0 | 293 |
| — | — | — | — | 0,33 | — | 5,0 | 293 |
| — | — | — | — | 0,49 | — | 6,0 | 293 |
| — | — | — | — | — | — | — | — |

| 1 | 2 | 3 | 4 | 1 | 2 | 3 | 4 |
|---------------------------------------|------|---------|------|---------------------------|---------------------------|---------|------|
| $\text{Al}_2\text{O}_3^{*8}$ [19, 93] | | | | SiO^{*12} [93] | | | |
| — | 0,22 | 0,665 | 1073 | 0,32 | — | 2,0 | 873 |
| — | 0,25 | 0,665 | 1173 | 0,38 | — | 3,0 | 873 |
| — | 0,29 | 0,665 | 1273 | 0,33 | — | 4,0 | 873 |
| — | 0,34 | 0,665 | 1373 | 0,28 | — | 5,0 | 873 |
| — | 0,38 | 0,665 | 1473 | 0,25 | — | 6,0 | 873 |
| — | 0,42 | 0,665 | 1573 | 0,23 | — | 7,0 | 873 |
| — | 0,47 | 0,665 | 1673 | 0,24 | — | 8,0 | 873 |
| — | 0,51 | 0,665 | 1773 | 0,37 | — | 9,0 | 873 |
| — | 0,56 | 0,665 | 1873 | 0,38 | — | 10,0 | 873 |
| | | | | 0,30 | — | 11,0 | 873 |
| | | | | 0,23 | — | 12,0 | 873 |
| $\text{Al}_2\text{O}_3^{*9}$ [19] | | | | 0,21 | — | 13,0 | 873 |
| | | | | 0,20 | — | 14,0 | 873 |
| — | 0,29 | 0,665 | 973 | | | | |
| — | 0,25 | 0,665 | 1073 | | | | |
| — | 0,24 | 0,665 | 1173 | | SiO_2^{*13} [93] | | |
| — | 0,24 | 0,665 | 1273 | | 0,06 | 1,0—3,0 | 1273 |
| — | 0,25 | 0,665 | 1373 | | 0,60 | 4,0 | 1273 |
| $\text{Al}_2\text{O}_3^{*10}$ [93] | | | | | 0,92 | 6,0 | 1273 |
| | | | | | 0,96 | 8,0 | 1273 |
| — | 0,12 | 1,0—3,0 | 1273 | | 0,84 | 10,0 | 1273 |
| — | 0,22 | 4,0 | 1273 | | 0,96 | 12,0 | 1273 |
| — | 0,59 | 5,0 | 1273 | | | | |
| — | 0,85 | 6,0 | 1273 | | | | |
| — | 0,97 | 7,0 | 1273 | | | | |
| — | 0,98 | 8,0 | 1273 | | SiO_2^{*14} [1] | | |
| — | 0,96 | 9,0 | 1273 | | 0,25 | 1,0 | 293 |
| — | 0,98 | 10,0 | 1273 | | 0,22 | 2,0 | 293 |
| — | 0,55 | 11,0 | 1273 | | 0,30 | 3,0 | 293 |
| — | 0,50 | 12,0 | 1273 | | 0,62 | 4,0 | 293 |
| — | 0,47 | 13,0 | 1273 | | 0,92 | 5,0 | 293 |
| — | 0,46 | 14,0 | 1273 | | 0,97 | 6,0 | 293 |
| — | 0,45 | 15,0 | 1273 | | 0,98 | 7,0 | 293 |
| $\text{Al}_2\text{O}_3^{*11}$ [93] | | | | | 0,96 | 8,0 | 293 |
| | | | | | 0,85 | 9,0 | 293 |
| | | | | TiO_2^{*15} [93] | | | |
| 0,14 | — | 16,0 | 77 | — | 0,27 | 1,0 | 1223 |
| 0,78 | — | 20,0 | 77 | — | 0,15 | 2,0 | 1223 |
| 0,30 | — | 25,0 | 77 | — | 0,20 | 3,0 | 1223 |
| 0,40 | — | 30,0 | 77 | — | 0,30 | 4,0 | 1223 |
| 0,28 | — | 35,0 | 77 | — | 0,32 | 5,0 | 1223 |
| 0,20 | — | 40,6 | 77 | — | 0,50 | 6,0 | 1223 |
| 0,13 | — | 44,0 | 77 | — | 0,67 | 7,0 | 1223 |

| 1 | 2 | 3 | 4 | 1 | 2 | 3 | 4 |
|------------------------------------|------|---------|------|-----------------------------------|------|-------|------|
| — | 0,76 | 8,0 | 1223 | — | 0,30 | 5,0 | 1273 |
| — | 0,80 | 9,0 | 1223 | — | 0,43 | 6,0 | 1273 |
| — | 0,84 | 10,0 | 1223 | — | 0,60 | 7,0 | 1273 |
| — | 0,85 | 11,0 | 1223 | — | 0,67 | 8,0 | 1273 |
| — | 0,86 | 12,0 | 1223 | — | 0,72 | 9,0 | 1273 |
| — | 0,87 | 13,0 | 1223 | — | 0,77 | 10,0 | 1273 |
| — | 0,88 | 14,0 | 1223 | — | 0,79 | 11,0 | 1273 |
| — | 0,89 | 15,0 | 1223 | — | 0,80 | 12,0 | 1273 |
| $\text{Cr}_2\text{O}_3^{*16}$ [93] | | | | — | 0,79 | 13,0 | 1273 |
| | | | | — | 0,78 | 14,0 | 1273 |
| | | | | — | 0,77 | 15,0 | 1273 |
| — | 0,68 | 1,0—5,0 | 1273 | ZrO_2^{*19} [93, 19] | | | |
| — | 0,69 | 6,0 | 1273 | — | 0,42 | 0,665 | 1200 |
| — | 0,73 | 7,0 | 1273 | — | 0,46 | 0,665 | 1400 |
| — | 0,78 | 8,0 | 1273 | — | 0,49 | 0,665 | 1600 |
| — | 0,81 | 9,0 | 1273 | — | 0,54 | 0,665 | 1800 |
| — | 0,84 | 10,0 | 1273 | ZrO_2^{*20} [93] | | | |
| — | 0,88 | 11,0 | 1273 | — | 0,61 | 0,665 | 2000 |
| — | 0,91 | 12,0 | 1273 | — | 0,69 | 0,665 | 2200 |
| — | 0,88 | 13,0 | 1273 | — | 0,77 | 0,665 | 2400 |
| — | 0,85 | 14,0 | 1273 | — | 0,80 | 0,665 | 2600 |
| — | 0,82 | 15,0 | 1273 | — | 0,82 | 0,665 | 2800 |
| NiO^{*17} [93] | | | | TeO_2^{*21} [93] | | | |
| — | 0,78 | 1,0 | 1273 | — | 0,09 | 2,5 | 533; |
| — | 0,76 | 2,0 | 1273 | — | 0,31 | 3,0 | 643 |
| — | 0,74 | 3,0 | 1273 | — | 0,21 | 4,0 | 533; |
| — | 0,73 | 4,0 | 1273 | — | 0,47 | 5,0 | 643 |
| — | 0,74 | 5,0 | 1273 | — | 0,88 | 6,0 | 533; |
| — | 0,76 | 6,0 | 1273 | $\text{Y}_2\text{O}_3^{*18}$ [93] | | | |
| — | 0,77 | 7,0 | 1273 | — | 0,27 | 1,0 | 1273 |
| — | 0,78 | 8,0 | 1273 | — | 0,27 | 2,0 | 1273 |
| — | 0,80 | 9,0 | 1273 | — | 0,26 | 3,0 | 1273 |
| — | 0,82 | 10,0 | 1273 | — | 0,24 | 4,0 | 1273 |
| — | 0,88 | 11,0 | 1273 | CeO_2^{*22} [93] | | | |
| — | 0,91 | 12,0 | 1273 | 0,29 | — | 0,665 | 1300 |
| — | 0,92 | 13,0 | 1273 | 0,28 | — | 0,665 | 1400 |
| — | 0,88 | 14,0 | 1273 | | | | |
| — | 0,86 | 15,0 | 1273 | | | | |

| 1 | 2 | 3 | 4 | 1 | 2 | 3 | 4 |
|------|-------------------------------|---------|------|---|-------------------------------|---------|------|
| 0,27 | — | 0,665 | 1500 | | $\text{Gd}_2\text{O}_3^{*26}$ | [19] | |
| 0,26 | — | 0,665 | 1600 | — | 0,80 | 1,0 | 1073 |
| 0,25 | — | 0,665 | 1700 | — | 0,62 | 1,0 | 1173 |
| 0,24 | — | 0,665 | 1750 | — | 0,47 | 1,0 | 1273 |
| | | | | — | 0,35 | 1,0 | 1373 |
| | $\text{Sm}_2\text{O}_3^{*23}$ | [19, 1] | | — | 0,27 | 1,0 | 1473 |
| | | | | — | 0,21 | 1,0 | 1573 |
| — | 0,43 | 0,64 | 973 | — | 0,16 | 1,0 | 1673 |
| — | 0,48 | 0,64 | 1073 | — | 0,13 | 1,0 | 1773 |
| — | 0,49 | 0,64 | 1173 | — | 0,11 | 1,0 | 1873 |
| — | 0,49 | 0,64 | 1273 | | $\text{Er}_2\text{O}_3^{*27}$ | [19, 1] | |
| — | 0,46 | 0,64 | 1373 | — | 0,34 | 0,64 | 973 |
| — | 0,39 | 0,64 | 1473 | — | 0,26 | 0,64 | 1073 |
| — | 0,36 | 0,64 | 1573 | — | 0,19 | 0,64 | 1173 |
| — | 0,33 | 0,64 | 1673 | — | 0,15 | 0,64 | 1273 |
| — | 0,32 | 0,64 | 1773 | — | 0,12 | 0,64 | 1373 |
| — | 0,30 | 0,64 | 1873 | — | 0,10 | 0,64 | 1473 |
| | | | | — | 0,08 | 0,64 | 1573 |
| | $\text{Sm}_2\text{O}_3^{*24}$ | [19] | | — | 0,07 | 0,64 | 1673 |
| | | | | — | 0,06 | 0,64 | 1773 |
| — | 0,78 | 1,0 | 973 | | $\text{Er}_2\text{O}_3^{*28}$ | [19] | |
| — | 0,71 | 1,0 | 1073 | — | 0,57 | 1,0 | 973 |
| — | 0,66 | 1,0 | 1173 | — | 0,54 | 1,0 | 1073 |
| — | 0,61 | 1,0 | 1273 | — | 0,53 | 1,0 | 1173 |
| — | 0,57 | 1,0 | 1373 | — | 0,52 | 1,0 | 1273 |
| — | 0,50 | 1,0 | 1473 | — | 0,49 | 1,0 | 1373 |
| — | 0,46 | 1,0 | 1573 | — | 0,41 | 1,0 | 1473 |
| — | 0,39 | 1,0 | 1673 | — | 0,29 | 1,0 | 1573 |
| — | 0,30 | 1,0 | 1773 | — | 0,23 | 1,0 | 1673 |
| — | 0,25 | 1,0 | 1873 | — | 0,20 | 1,0 | 1773 |
| | $\text{Gd}_2\text{O}_3^{*25}$ | [19] | | | $\text{Lu}_2\text{O}_3^{*29}$ | [93] | |
| — | 0,39 | 0,64 | 1073 | — | 0,15 | 0,68 | 500 |
| — | 0,26 | 0,64 | 1173 | — | 0,14 | 0,68 | 600 |
| — | 0,18 | 0,64 | 1273 | — | 0,14 | 0,68 | 700 |
| — | 0,11 | 0,64 | 1373 | — | 0,28 | 0,68 | 800 |
| — | 0,08 | 0,64 | 1473 | — | 0,47 | 0,68 | 900 |
| — | 0,07 | 0,64 | 1573 | — | 0,54 | 0,68 | 1000 |
| — | 0,06 | 0,64 | 1673 | — | 0,56 | 0,68 | 1100 |
| — | 0,03 | 0,64 | 1773 | — | 0,57 | 0,68 | 1200 |
| — | 0,04 | 0,64 | 1873 | | | | |

| 1 | 2 | 3 | 4 | 1 | 2 | 3 | 4 |
|------------------------------------|------|------|------|--------------------------|--------------------------|------|---------------|
| — | 0,57 | 0,68 | 1300 | — | 0,87 | 12,0 | 1223 |
| — | 0,57 | 0,68 | 1400 | — | 0,81 | 14,0 | 1223 |
| HfO_2^{*30} [93] | | | | ThO_2 [19] | | | |
| 0,70 | — | 0,65 | 1800 | — | 0,35 | 0,65 | 1473— 1773 |
| 0,70 | — | 0,65 | 2000 | | | | |
| 0,72 | — | 0,65 | 2200 | | | | |
| 0,77 | — | 0,65 | 2400 | UO_2^{*32} [93] | | | |
| 0,81 | — | 0,65 | 2600 | $0,40 \pm$ $0,02$ | — | 0,65 | 2073— 2373 |
| $\text{Ta}_2\text{O}_5^{*31}$ [93] | | | | UO_2 [93] | | | |
| — | 0,37 | 1,0 | 1223 | — | $0,51 \pm$ $\pm 0,03$ | 0,65 | 2073— 2373 |
| — | 0,08 | 2,0 | 1223 | | | | |
| — | 0,25 | 4,0 | 1223 | | | | |
| — | 0,68 | 6,0 | 1223 | UO_2 [93] | | | |
| — | 0,87 | 8,0 | 1223 | — | 0,416 | 0,65 | 3033— 3133 |
| — | 0,88 | 10,0 | 1223 | | | | |

*¹ Горячепрессованный в графитовой форме, обожженный в воздухе до 1300° С, однородно-темный, плотность 2,85 г/см³. *² Горячепрессованный, полированный и обожженный в воздухе до 1300° С, белый, плотность 2,778 г/см³. *³ Образцы зачернены непосредственно из формы; из графика. *⁴ Образцы побелены при прокаливании в воздухе; из графика. *⁵ Образец в виде пластинки толщиной 1,65 мм спечен при 1700° С в течение 2 ч, плотность 1,84 г/см³; из графика. *⁶ Плавленый; из графика. *⁷ Для оплавленной поверхности, полированной очень тонким нааждаком; из графика. *⁸ Из графика. *⁹ Высокоплотная Al_2O_3 ; из графика. *¹⁰ Горячепрессованный при 2123 К, плотность 3,35 г/см³; толщина 0,81 мм; из графика. *¹¹ Кристалл сапфира, толщина 0,79 мм; из графика. *¹² Пленка толщиной 0,1 мкм; из графика. *¹³ Холоднопрессованный с последующим спеканием при 1823 К в течение 1 ч, плотность 1,53 г/см³; из графика. *¹⁴ Из графика. *¹⁵ Образец толщиной 1,75 мм получен спеканием TiO_2 при 1673 К в течение 2 ч, плотность 3,87 г/см³; из графика. *¹⁶ Холоднопрессованный, спеченный при 1223 К в течение 2 ч, плотность 3,29 г/см³; из графика. *¹⁷ Холоднопрессованный, спеченный при 1673 К в течение 2 ч, плотность 5,32 г/см³; из графика. *¹⁸ Спеченный при 2023 К в течение 2 ч, плотность 4 г/см³; из графика. *¹⁹ Стабилизированный CaO ; из графика. *²⁰ Излучение под углом 44°, стабилизированный CaO ; из графика. *²¹ Толщина образца 7,65 мм; из графика. *²² Расчет по формуле Вина для пленки толщиной 50 мкм; из графика. *²³ Обжиг при 1850° С, плотность 7,62 г/см³; из графика. *²⁴ Из графика. *²⁵ Из графика. *²⁶ Из графика. *²⁷ Из графика. *²⁸ Из графика. *²⁹ Прессованный с последующим обжигом при 1773 К в течение 24 ч, толщина 3 мм; из графика. *³⁰ Покрытие, стабилизированное Y_2O_3 , толщина 0,06—0,3 мм; из графика. *³¹ Спеченный при 1673 К в течение 2 ч, толщина 1,2 мм, плотность 6,51 г/см³; из графика. *³² Полированный плотный.

4. СПЕКТРЫ ОПТИЧЕСКИХ КОНСТАНТ ОКИСЛОВ

[76, 93, 611, 613, 614, 616—619]

Отражение

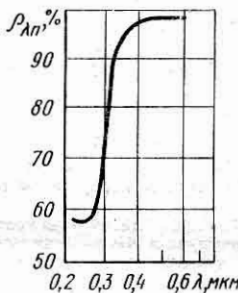
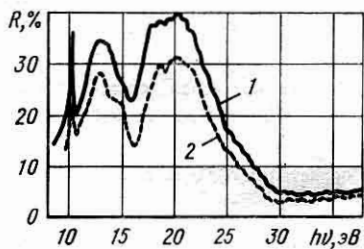


Рис. 1. Коэффициент отражения R монокристалла BeO в УФ области спектра:

1 — $E \perp c$; 2 — $E \parallel c$ при 100 К

Рис. 2. Монохроматическая нормальная отражательная способность $\rho_{\lambda n}$ BeO (спеченный порошок, плотность 1,84 г/см³) в УФ и видимой областях спектра при 298 К

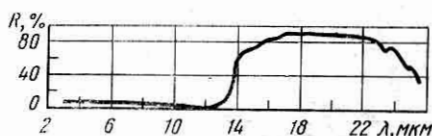
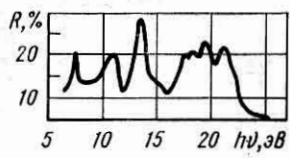


Рис. 3. Коэффициент отражения R монокристалла MgO в УФ области спектра при 300 К

Рис. 4. Коэффициент отражения R монокристалла MgO в ИК области спектра при 298 К

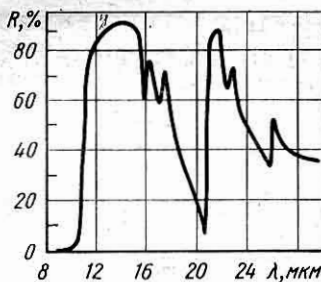
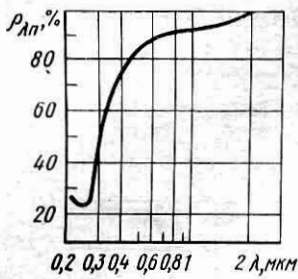


Рис. 5. Монохроматическая нормальная отражательная способность $\rho_{\lambda n}$ Al_2O_3 (спеченный порошок, плотность 3,45 г/см³) в УФ, видимой и ближней ИК областях спектра при 298 К

Рис. 6. Коэффициент отражения R монокристалла Al_2O_3 (сапфир) для обыкновенного луча в ИК области спектра при 298 К

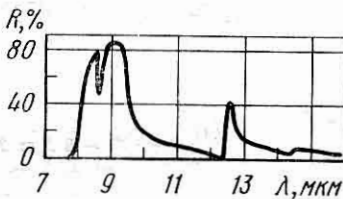
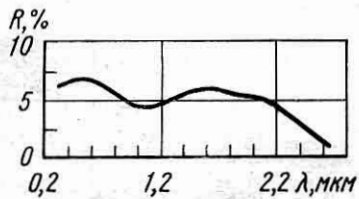


Рис. 7. Коэффициент отражения R кристалла SiO_2 (плавленый кварц) в видимой и ближней ИК областях спектра при 298 К

Рис. 8. Коэффициент отражения R SiO_2 (кристаллический кварц) для обыкновенного луча в ИК области спектра при 298 К

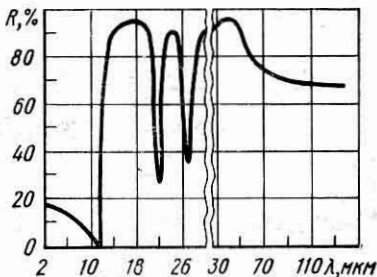
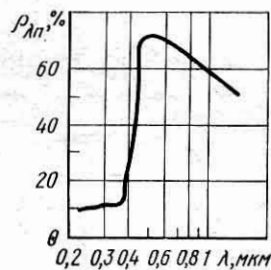


Рис. 9. Монохроматическая нормальная отражательная способность $\rho_{\lambda n}$ TiO_2 (спрессованный порошок, размер зерна ~ 58 мкм) в УФ, видимой и ближней ИК областях спектра при 298 К

Рис. 10. Коэффициент отражения R монокристалла TiO_2 (рутит) для обыкновенного луча в ИК области спектра при 298 К

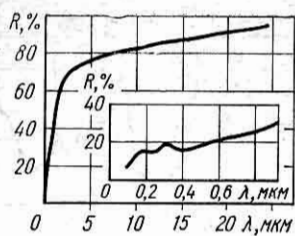


Рис. 11. Коеффициент отражения R монокристалла V_2O_3 в УФ, видимой и ИК областях спектра при 298 К

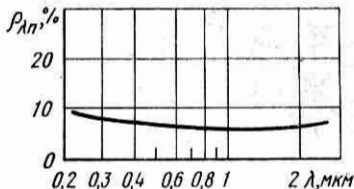


Рис. 12. Монохроматическая нормальная отражательная способность $\rho_{\lambda n}$ Cr_2O_3 (спеченный порошок, плотность 3,15 г/см³) в УФ, видимой и ИК областях спектра при 298 К

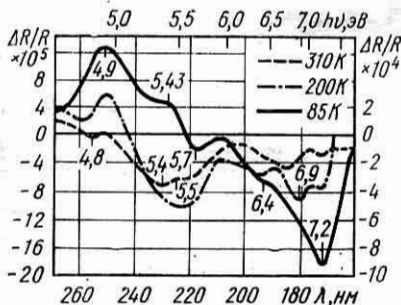


Рис. 13. Спектры термоотражения монокристалла MnO в УФ области при 310 и 200 К (левая шкала) и 85 К (правая шкала)

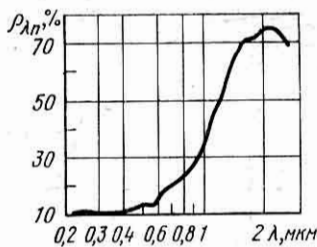


Рис. 14. Монохроматическая нормальная отражательная способность $\rho_{\lambda n}$ MnO (спрессованный порошок, размер зерна ~ 58 мкм) в УФ, видимой и ближней ИК областях спектра при 298 К

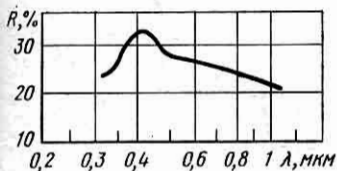


Рис. 15. Коеффициент отражения R монокристалла $\alpha\text{-Fe}_2O_3$ в видимой и ближней ИК областях спектра при 298 К

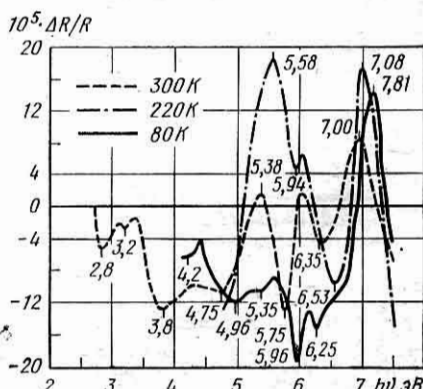


Рис. 16. Спектры термоотражения монокристалла CoO в УФ области при 300, 220 и 80 К

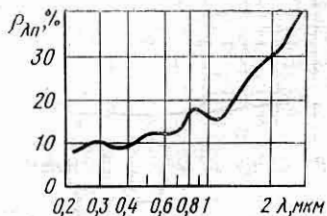


Рис. 17. Монохроматическая нормальная отражательная способность $\rho_{\lambda n}$ NiO (спеченный порошок, плотность 4,81 г/см³) в УФ, видимой и ближней ИК областях спектра при 298 К

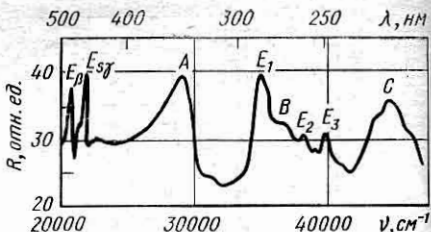


Рис. 18. Коеффициент отражения R монокристалла Cu₂O в видимой и УФ областях спектра при 77 К

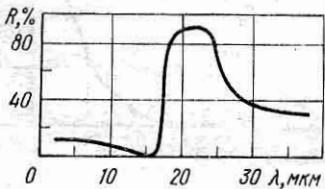


Рис. 19. Коеффициент отражения R монокристалла ZnO в ИК области спектра при 298 К

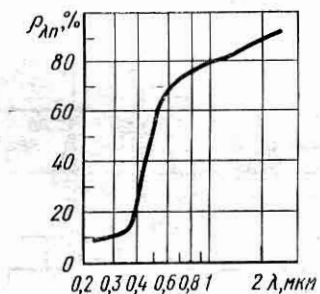


Рис. 20. Монохроматическая нормальная отражательная способность $\rho_{\lambda n}$ ZrO₂ (спрессованный порошок, размер зерна ~58 мкм) в УФ, видимой и ближней ИК областях спектра при 298 К

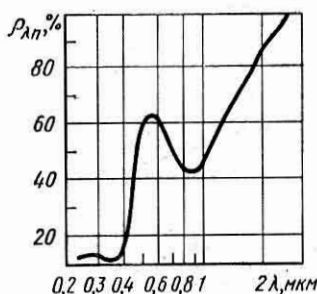


Рис. 21. Монохроматическая нормальная отражательная способность $\rho_{\lambda n}$ MoO₃ (спеченный порошок) в УФ, видимой и ближней ИК областях спектра при 298 К

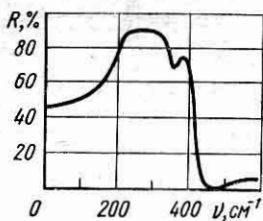
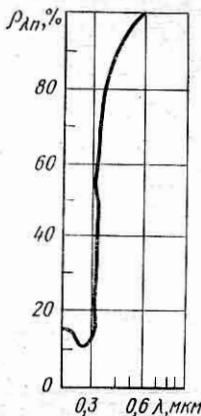


Рис. 22. Коеффициент отражения R монокристалла EuO в ИК области спектра при 300 К

Рис. 23. Монохроматическая нормальная отражательная способность $\rho_{\lambda n}$ Ta_2O_5 (спеченный порошок, плотность 6,51 г/см³) в УФ и видимой областях спектра при 298 К



Преломление

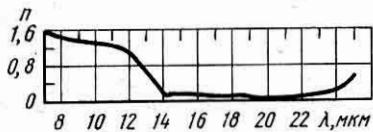


Рис. 24. Показатель преломления n монокристалла MgO при 298 К

Рис. 25. Показатель преломления n монокристалла Al_2O_3 (сапфир) для обычновенного луча в УФ, видимой и ИК областях спектра при 297 К

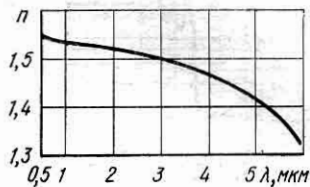
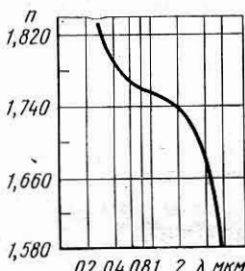
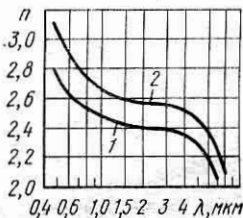


Рис. 26. Показатель преломления n кристаллического кварца SiO_2 для обычного луча в ИК области спектра при 298 К

Рис. 27. Показатель преломления n монокристалла TiO_2 (рутит) для обычного (1) и необычного (2) лучей в видимой и ИК областях спектра при 298 К



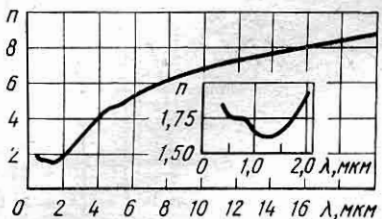


Рис. 28. Показатель преломления n монокристалла V_2O_3 в видимой и ИК областях спектра при 298 К

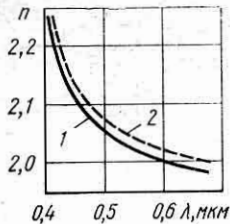


Рис. 29. Показатель преломления n монокристалла ZnO для обычного (1) и необыкновенного (2) лучей в видимой области спектра при 298 К

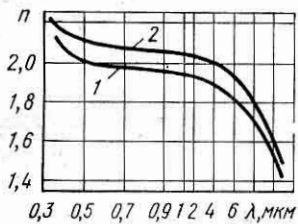


Рис. 30. Показатель преломления n монокристалла SnO_2 для обычного (1) и необыкновенного (2) лучей в видимой и ИК областях спектра при 298 К

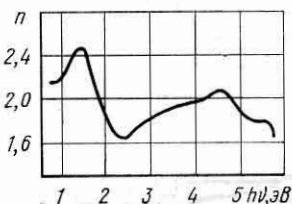


Рис. 31. Показатель преломления n монокристалла EuO в УФ и видимой областях спектра при 298 К

Поглощение

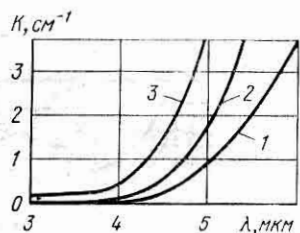


Рис. 32. Коэффициент поглощения K монокристалла Al_2O_3 (сапфир) в ИК области спектра при 293 (1), 773 (2) и 1273 (3) К

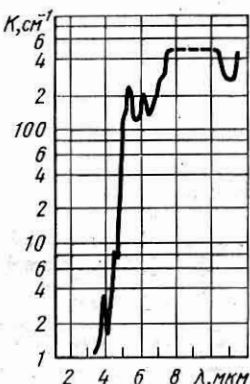


Рис. 33. Коэффициент поглощения K кристалла SiO_2 (плавленый кварц) в ИК области спектра при 298 К

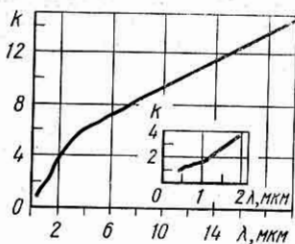


Рис. 34. Показатель поглощения k монокристалла V_2O_3 в видимой и ИК областях спектра при 298 К

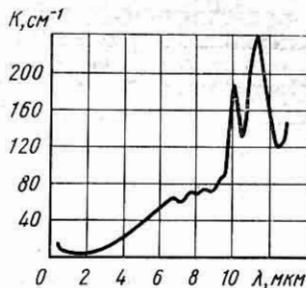


Рис. 35. Коэффициент поглощения K монокристалла ZnO в ИК области спектра при 298 К

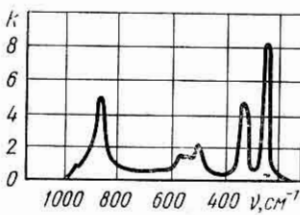


Рис. 36. Показатель поглощения k кристалла GeO_2 (гексагональная модификация) в ИК области спектра при 298 К

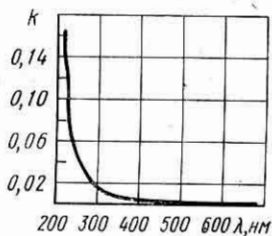


Рис. 37. Показатель поглощения k ZrO (кристаллическая пленка, толщина 90,2 нм) в УФ и видимой областях спектра при 298 К

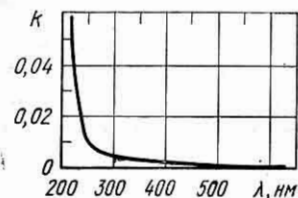


Рис. 38. Показатель поглощения k NdO (кристаллическая пленка, толщина 92,6 нм) в УФ и видимой областях спектра при 298 К

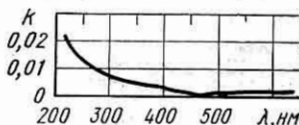


Рис. 39. Показатель поглощения k ThO_2 (кристаллическая пленка, толщина 95,2 нм) в УФ и видимой областях спектра при 298 К

5. ОСОБЕННОСТИ ОПТИЧЕСКИХ СВОЙСТВ

| Особенности оптических свойств | Примечание |
|---|--|
| 1 | 2 |
| H₂O $n_e - n_0 = 0,0014$ (F) [67] В диапазоне динамических давлений 100—1000 МПа коэффициент преломления линейно зависит от плотности [338] В УФ области спектра наблюдается стимулированная люминесценция γ-облученных поликристаллов [343] | Лед при —3° С Вода чистая Лед чистый |
| BeO $n_e - n_0 = 0,014$ [67] В спектральной области 250—1000 нм обладают почти 100%-ным пропусканием света [339] «Красная» граница фотоэффекта 374,5 нм [19] | Бромеллит Поликристаллические слои, $\rho \approx 10^{13}$ Ом·см Кристалл |
| B₂O₃ $n_0 - n_e = 0,033$ [67] | Гексагональная модификация |
| CO Флуоресцирует в области 380—800 нм [340], [341] | При фотодиссоциации молекул CO ₂ линиями 76,4; 78,9; 83,5; 87,9; 90,1; 92,3 нм |
| CO₂ Флуоресцирует в области 280—480 нм [342] | При возбуждении молекул CO ₂ фотонами с $\lambda \approx 46,2; 52,5; 55,5; 58,7; 61,0; 62,9; 63,7; 68,6; 70,3; 71,5$ нм |
| NO Полосы поглощения в ИК спектре: $\nu \approx 1400, 1683, 1840, 1875 \text{ см}^{-1}$ [378] Полосы поглощения в ИК спектре: ($t = -190^\circ \text{ C}$) $\nu \approx 950, 1000, 1075, 1400, 1725 \text{ см}^{-1}$ [378] | Газ Твердый конденсат белого цвета |
| NO₂ Полосы поглощения в ИК спектре: ($t = -190^\circ \text{ C}$) $\nu \approx 970, 1085, 1122, 1150, 1380, 1683 \text{ см}^{-1}$ [378] | Твердый конденсат |

F₂O

В спектральной области для $\lambda \leq 540,0$ нм наблюдается сплошное поглощение с максимумами при 421,0; 358,0 и 294,0 нм [81, т. 5]

MgO

Оптически изотропный [67]

Начало края фундаментального поглощения в УФ области спектра $> 25000 \text{ см}^{-1}$ при $T = 298 \text{ K}$ [350]

Положение экситонных пиков в УФ спектре отражения при 25 К: $h\nu \approx 7,689; 7,715; 7,752; 7,768 \text{ эВ}$ [362]

Тонкая структура УФ спектра термоотражения при 85 К: $h\nu \approx 7,67; 7,70; 7,74; 7,76; 7,84 \text{ эВ}$ (минимумы в спектре термоотражения) [379]

Свежеприготовленные образцы обладают высокой прозрачностью в области 0,22—8,0 мкм, но на воздухе со временем мутнеют. С ростом температуры подложки коэффициент преломления слоя увеличивается [345]

Полосы поглощения в ИК спектре пропускания: $v \approx 400, 560$ и 680 см^{-1} [347]

При 80 К в УФ спектре поглощения вблизи $h\nu \approx 5 \text{ эВ}$ наблюдается полоса F-центра [89]

Полоса поглощения V⁻-центра находится в области $\sim 2,3 \text{ эВ}$ [348]

При 80—90 и 120—130° С в спектрах термолюминесценции и термостимулированной проводимости наблюдаются максимумы, связанные с распадом V⁻ и V⁰-центров [344]

При 298,77 К и лазерном возбуждении фотолюминесцируют в области $v \approx 14350 \text{ см}^{-1}$ [377]

Al₂O₃

$n_0 - n_e = 0,0082$ (D), плеохроирует [67]

Газ

Периклаз

Монокристалл

»

»

Пленки, полученные термическим испарением

Микрокристаллы

Монокристаллы

Кристалл

Чистые монокристаллы, облученные рентгеновскими лучами

Отожженные порошки и монокристаллы, легированные ионами He, Ar, Fe и Cr

Корунд

| 1 | 2 |
|--|---|
| Прозрачен в ближней УФ, видимой и ИК областях спектра до $\lambda \approx 5$ мкм. Длинноволновая область пропускания 100—1000 мкм [76] | Сапфир |
| Термолюминесцирует при возбуждении в рентгеновской области [352] | Сапфир |
| Максимум полосы излучения в спектре термолюминесценции при $\lambda = 540$ нм [349] | Пленка |
| SiO | |
| Оптически анизотропный, но рентгеноаморфен; $n_g - n_p = 0,09$ [52] | Кристалл |
| Характеристические полосы поглощения в ИК-спектре: $\lambda \approx 8,2; 8,4; 9,3; 10,4; 12,7$ мкм [52] | |
| Si₂O₃ | |
| Оптически анизотропный [52] | Чешуйчатые пластиинки |
| Характеристические полосы поглощения в ИК-спектре: $\lambda \approx 9,6$ и 11,5 мкм [52] | |
| SiO₂ | |
| Оптически анизотропный (изотропный в пределах 200—275° С) [52, 67] | α-Кварц |
| (+) 2V° = 0; $n_e - n_0 = 0,0091$; | |
| (+) 2V° = 0; $n_e - n_0 = 0,0066$ [52, 67] | β-Кварц |
| (+) 2V° = 0; 35; $n_g - n_p = 0,004$ [52, 67] | α-Тридимит |
| $n_e > n_0$ [52] | β-Тридимит |
| (+) 2V° = 50; $n_g > n_p$ [52] | γ-Тридимит |
| $n_0 - n_e = 0,003$ [67] | α-Кристобалит |
| (-) 2V° = 40; $n_0 > n_e$ [52] | β-Кристобалит |
| Прозрачен в спектральной области 0,22—4,5 мкм [76] | Плавленый кварц |
| Длинноволновая область пропускания 100—500 мкм [76] | Поликристаллический и плавленый кварц |
| Обладает электрооптическим эффектом с пределом пропускания ~ 4 мкм [76] | Кристаллический кварц |
| В спектральном диапазоне 3—5 мкм коэффициент поглощения линейно зависит от температуры (1270—1870 К) [351] | Плавленый кварц |
| Положение максимумов люминесценции: $h\nu \approx 3,1; 4,4; 6,2; 7,2$ эВ [346] | Кристаллы кварца при фотовозбуждении в УФ-области спектра |

Естественный необлученный кварц обладает термolumинесценцией [64]

P₂O₅

В процессе окисления при уменьшении давления наблюдается свечение [81, т. 5]

P₂O₅

$n_e - n_0 = 0,025$ [67]

(—) $2V^\circ = 65$; $n_g - n_p = 0,044$ [67]

$n_e - n_0 = 0,002$ [67]

Под действием естественного света люминесцирует зеленым светом, интенсивность которого возрастает с понижением температуры [81, т. 5]

CaO

Оптически изотропный [67]

При 85 К в УФ спектре термоотражения наблюдается тонкая структура с минимумами при $h\nu \approx 6,93; 6,97; 7,00; 7,04; 7,098$ эВ [379]

При 77 К в спектральной области 200—300 нм наблюдается заметное поглощение света с максимумами при 215 и 270 нм [372]

Полоса F-центра наблюдается в спектре поглощения при 5 К вблизи $h\nu \approx 3,6$ эВ [89]

В спектре поглощения при 6 К наблюдается полоса F^+ -центра ($\lambda \approx 374$ нм), которой соответствует полоса излучения при $\lambda \approx 398$ нм [380]

Максимум голубой люминесценции ($\lambda_{\text{возб}} = 266$ нм, $T = 295$ К) наблюдается при $h\nu \approx 2,6$ эВ (полуширина полосы $\sim 0,7$ эВ) [372]

Фосфоресцируют, а при адсорбции кислорода наблюдается хемилюминесценция [65]

При 298 К и возбуждении рентгеновским излучением люминесцируют в спектральной области 300—650 нм [381]

Белая кристаллическая масса

Тетрагональная фаза

Ромбическая (метастабильная) фаза
Гексагональная фаза

Известь

Монокристалл

Кристалл, деформированный вдоль <100>

Монокристалл

Монокристалл, легированный Mg

Кристалл, деформированный вдоль <100>

Чистые и легированные Bi-, Sb-, Tl-образцы

Пленки толщиной 1 мкм, легированные Sm и Ti, с последующим отжигом в интервале $t = 100 \div 800^\circ\text{C}$

| 1 | 2 |
|---|--------------------------------------|
| Sc₂O₃ | |
| Коэффициент пропускания в видимой и ближней ИК областях спектра ($\lambda < 2$ мкм) достигает 99,4% [382] | Пленки |
| TiO_{0,83-1,30} | |
| Полосы поглощения в ИК спектре: $\nu \approx 475, 515, 800, 1080$ см ⁻¹ (при 298 К) [176] | Порошок, спрессованный в матрице CsI |
| TiO | |
| Полосы поглощения в ИК спектре: $\nu \approx 410, 465, 515, 590, 1080$ см ⁻¹ (при 298 К) [359] | Порошок, спрессованный в матрице KBr |
| Ti₂O₃ | |
| Полосы поглощения в ИК спектре: $\nu \approx 410, 480, 515, 1080$ см ⁻¹ (при 298 К) [359] | Порошок, спрессованный в матрице KBr |
| TiO₂ | |
| При 25° С $n_e - n_0 = 0,2869$, плеохроирует [67] | Рутил |
| При 25° С $n_0 - n_e = 0,0732$, слабо плеохроирует [67] | Анатаз |
| При 25° С $n_g - n_p = 0,1173$ (Na); слабо плеохроирует [67] | Брукит |
| Двупреломляющий, при $\lambda = 1,0$ мкм $n_e - n_0 = 0,26$ [76] | » |
| Температурная зависимость показателя преломления для $\lambda = 0,436$ мкм: $(dn_0/dT_0)10^5 = -4,36$ и $(dn_e/dT)10^5 = -8,6$ [76] | Рутил |
| В спектре электроотражения при 84 К наблюдается чувствительная к направлению поляризации света тонкая структура в области $h\nu \approx 3,0 - 3,7$ эВ [358] | Монокристалл |
| В ИК спектре при 298 К имеется пик поглощения с $h\nu \approx 1,4$ эВ (поглощение света поляронами малого радиуса) [363] | Рутил |
| При 300 К в ИК спектре коэффициента отражения наблюдаются минимумы с $\nu \approx 380, 460, 870$ см ⁻¹ [365] | Рутил |
| Полосы поглощения в ИК спектре: $\nu \approx 415, 550, 650, 1080$ см ⁻¹ при 298 К [359] | Порошок, спрессованный в матрице KBr |

| 1 | 2 |
|--|--|
| При 77 К максимум широкой асимметричной полосы люминесценции наблюдается при $\lambda=850$ нм [368] | Монокристалл |
| Полоса фотолюминесценции при 77 К характеризуется большим стоксовым смещением $\sim 1,22$ эВ [70] | Поликристалл |
| В спектре фотопроводимости в области края полосы собственного поглощения ($\lambda \approx 390$ нм) наблюдается тонкая структура [70] | Аморфные пленки |
| VO_{0,78-1,29} | |
| Полосы поглощения в ИК спектре: $\nu \approx 475, 515, 800, 1080$ см ⁻¹ (при 298 К) [176] | Порошок, спрессованный в матрице CsI |
| V₂O₃ | |
| При 93 К в спектре краевого поглощения наблюдаются два максимума: $h\nu \approx 0,2$ эВ ($\vec{E} \parallel \vec{C}$) и $h\nu \approx 0,32$ эВ ($\vec{E} \perp \vec{C}$) [374] | Кристаллы, отожженные при 1500° С |
| VO_{1,84-1,87} | — |
| Очень мелкие сильно отражающие свет кристаллы [52] | |
| VO₂ | |
| При 340 К (критическая температура перехода полупроводник—металл) в спектрах отражения света наблюдаются слабый минимум при 1,65 эВ и более четкий вблизи 5 эВ [82] | Монокристалл |
| V₂O₅ | |
| Граница пропускания в УФ области спектра $\sim 2,2$ эВ. В спектре коэффициента отражения при 298 К имеется максимум в области $h\nu=2,8 \div 3,1$ эВ ($\vec{E} \parallel \vec{a}$) [364] | Монокристаллы разного стехиометрического состава |
| Поглощение света поляронами малого радиуса при $h\nu \approx 0,84$ и 1,24 эВ ($T=298$ К) [94] | Монокристалл |
| «Красная» граница фотоэффекта $\sim 2,24$ эВ [71] | Монокристалл |
| Cr₂O₃ | |
| Оптически анизотропный [52] | Кристалл |

| 1 | 2 |
|--|-----------------------------------|
| Cr_2O_3 | |
| Положение максимума полосы поглощения в УФ спектре при $\lambda \approx 400$ нм [357] «Красная» граница фотоэффекта $\sim 3,4$ эВ (при 298 К) [354] | Пленка Порошок |
| MnO | |
| Оптически изотропный [67] «Красная» граница фотоэффекта $\sim 3-4$ эВ [354] | Манганизит |
| FeO | |
| Оптически изотропный [67] | Вюстит |
| Fe_2O_3 | |
| $n_0 - n_e = 0,23$ (Li); плеохроирует [67] «Красная» граница фотоэффекта $\sim 3,3$ эВ (при 298 К) [354] | Гематит Порошок |
| Fe_3O_4 | |
| Оптически изотропный [67] | Магнетит |
| При 298 К в спектральной области 0,15—0,8 эВ показатель преломления n уменьшается от 3 до 2, а показатель поглощения k от 2 до 1 [383] | Монокристалл природного магнетита |
| При 119 К (температура перехода металл—неметалл) на кривой температурной зависимости оптической проводимости есть два максимума для $h\nu = 0,13$ и 0,6 эВ [383] | Монокристалл природного магнетита |
| CoO | |
| «Голубая» граница пропускания: $\nu \approx 21000$ см $^{-1}$ (при 298 К) [350] «Красная» граница фотоэффекта $\sim 3-4$ эВ (при 298 К) [354] | Монокристалл |
| NiO | |
| Оптически изотропный [67] «Красная» граница фотоэффекта $\sim 3,7$ эВ (при 298 К) [354] | Бунзенит Порошок |
| Cu_2O | |
| Оптически изотропный [67] | Куприт |
| Вращает плоскость поляризации в магнитном поле [52] | Пластинки куприта |

В спектрах фотолюминесценции ($\lambda_{возб}=488$ нм) при гелиевых температурах наблюдаются линии излучения с $\lambda \approx 0,72$ и $0,82$ мкм (вакансии кислорода), а также с $\lambda \approx 0,91$ и $1,01$ мкм (вакансии меди) [83]

В спектрах фотолюминесценции при $4-77$ К наряду с непосредственным излучением экситона из состояния IS, O (прямой переход) наблюдается ряд полос, возникающих вследствие аннигиляции экситонов (IS, K) с одновременным излучением или поглощением фононов (непрямые переходы) [61]

Обладает фотоэффектом, по абсолютной величине равным эффекту металлической меди [52]

В спектре продольной фотопроводимости (при 298 К) наблюдаются два максимума с $h\nu \approx 1,45$ и $2,35$ эВ [87]

CuO

$n_g > n_p$; плеохроирует [67]

Обладает фотоэффектом [52]

ZnO

$n_e - n_0 = 0,016$ (Na). Обычно при 298 К флуоресцирует в УФ свете [67]

Двупреломляющий; $n_e - n_0 = 0,015$ ($\lambda = 0,589$ мкм) [76]

При прокаливании желтеет, при охлаждении принимает прежний цвет [81, т. 5]

Положение максимумов в УФ спектре коэффициента отражения ($\vec{E} \perp c$) при 298 К: $h\nu \approx 3,30; 3,35; 7,0; 9,2; 12,6; 14,0; 15,2; 17,1; 19,3; 20,8$ эВ [376]

Положение максимумов в спектре диффузного отражения (340—380 нм) при 77 К: $\lambda \approx 354,6; 358,8; 362,8; 364,8; 367,8; 369,2$ нм. Положение полос в спектрах фото- и катодолюминесценции в области 360—400 нм одинаково, но интенсивность их разная [384]

Монокристаллы

Кристалл

Куприт

Закаленные кристаллы

Тенорит

»

Природный цинкит (99,63% ZnO)

Монокристалл

Кристалл

Монокристалл

Порошок

Положение максимума коэффициента поглощения в УФ области спектра: $h\nu \approx 3,355$ эВ (при 300 К) и $\sim 3,42$ эВ (при 77 К) [361]

Положение максимумов фотолюминесценции ($\lambda_{возб} = 365$ нм, $T = 83$ К): $\lambda \approx 367,9; 374,7; 383,4; 392,0$ нм.

Положение максимумов зелено-желтой серии термолюминесценции ($\lambda_{возб} \geq 360$ нм, $T = 110 \div 180$ К) $\lambda \approx \approx 403, 513, 590$ нм [355, 72, 385]

При возбуждении азотным лазером ($\lambda_{возб} = 3371,5$ Å, $T = 4,2$ К) в спектральной области 370,0—372,0 нм наблюдается полоса излучения [360]

При возбуждении импульсным пучком электронов ($h\nu_e \approx 40$ эВ, $T = -10$ К) в результате рекомбинации экситонов наблюдается линия стимулированного излучения с $\lambda \approx \approx 372,6$ нм (порог генерации $3,5$ А/см²) [386]

Ga_2O_3

Положение максимумов фотолюминесценции ($\lambda_{возб} = 254$ нм) после отжига в кислороде (азоте): $\lambda \approx 420$ нм (при 300 К) и $\lambda \approx 365$ нм (при 77 К) [356]

GeO_2

$$n_e - n_0 = 0,006 \div 0,011 \quad [67]$$

$$n_e - n_0 = 0,04 \quad [67]$$

As_2O_3

$$(+) 2 V^* = 58; n_g - n_p = 0,14 \quad [67]$$

Оптически изотропный; возможно аномальное двупреломление [67]

SeO_2

$$n_e > n_0 \quad [67]$$

SrO

Оптически изотропный [67]

Положение экситонных пиков в спектре отражения при 5 К: $h\nu \approx \approx 5,711; 5,784; 6,082; 6,126$ эВ [362]

Монокристалл

Монокристаллы

Монокристалл

Монокристалл *n*-типа

Тетрагональная фаза

Гексагональная фаза

Клодетит

Арсенолит

Кристалл

»

Монокристалл

Полоса поглощения F^+ -центра наблюдается при $\lambda=400$ нм, а максимумы фотолюминесценции ($T=77$ К) — при $\lambda \approx 458, 500, 554$ нм [86]

При 300 К в ИК спектре поглощения наблюдаются максимумы с $\nu \approx 90, 101, 108, 116, 126, 134, 142, 156, 164, 206, 224, 255$ см $^{-1}$ [367]

Y_2O_3

Оптически изотропный [67]

Коэффициент пропускания в видимой и ближней ИК областях спектра ($\lambda < 2$ мкм) достигает 99,4% [382]

Обладают фотоэлектрическими свойствами. В интервале 21—37°С в сильных полях вольтамперные характеристики (в координатах $\lg I - V/V_0$) имеют вид прямых линий [387]

ZrO_2

(—) $2V^\circ = 30$; $n_g - n_p = 0,07$, пленкохроирует [67]

Положение максимумов полосы поглощения в УФ спектре: $\lambda \approx 229$ (кубическая модификация) и $\lambda \approx 248,4$ нм (моноclinная модификация) [357]

Положение полос поглощения в ИК спектре: $\nu \approx 425, 525, 685, 760$ см $^{-1}$ [359]

Спектральное положение полос фотолюминесценции ($\lambda_{\text{возб}} = 313, 365$ нм) при 77 К: $h\nu \approx 2,74, 2,42, 2,20, 1,98, 1,76$ эВ [402]

Nb_2O_5

При нагревании до 400—500°С приобретает желтую окраску, исчезающую после охлаждения, подобно ZnO [80]

Интенсивно поглощает свет в спектральной области 260—330 мкм с максимумом при $\lambda \approx 278$ нм [52, 357]

Кристаллы, облученные быстрыми нейтронами (протонами) с энергией 3,5 МэВ (доза 10^{17} частиц/см 2)

Порошок, размер зерна ~ 8 мкм

Кристалл

Пленки

Поликристаллические пленки толщиной 0,15—0,267 мкм

Бадделеит

Пленки

Порошок, спрессованный в матрице KBg

Порошок

—

Тонкая пленка

| 1 | 2 |
|--|---|
| MoO₂ | |
| Обладает фотоэлектрическим эффектом [52] | Кристалл |
| MoO₃ | |
| $n_g > n_p$; (+) $2V^\circ = 13$; $2H^\circ = 117^\circ 15'$ (для красного света) и $2H^\circ = 127^\circ$ (для голубого света); плеохроирует [52] | Кристалл |
| Граница пропускания в УФ области спектра начиная с $\lambda \approx 0,4$ мкм. В спектральной области $0,4\text{--}2$ мкм показатель преломления n уменьшается от 3 до 2. При $\lambda = 850$ нм наблюдается полоса поглощения, связанная с центром окраски [368, 313] | Пленки толщиной 0,08—1,75 мкм |
| Ag₂O | |
| Люминесцируют при низких температурах в спектральной области 0,9—2 мкм [370, 61] | Монокристалл |
| При 77 К обладает экситонной фотопроводимостью [370] | Монокристалл |
| CdO | |
| Оптически изотропный [67] | Кристалл |
| При 8—13 К в ИК спектрах поглощении наблюдается минимум с $\lambda \approx 20,5$ мкм (длинноволновое поглощение света поляронами малого радиуса) [373] | Пленки n -типа, полученные катодным распылением |
| In₂O₃ | |
| Положение края фундаментального поглощения в УФ области спектра при 298 К: $h\lambda \approx 3,75$ эВ [634] | Пленки |
| SnO₂ | |
| При 289 К $n_e - n_0 = 0,0973$ (для $\lambda = 578$ нм), а при 808 К $n_e - n_0 = 0,0866$ (для $\lambda = 578$ нм) [67] | Кассiterит |
| Прозрачны в видимой и ближней ИК областях спектра. Положение полос поглощения при 298 К в ИК спектре: $\lambda \approx 3,1; 8,5 \div 9,0; 16,4$ мкм [388] | Тонкие пленки |

Sb₂O₃

Оптически изотропный. Иногда обладает аномальным двупреломлением [67]

$$(-) 2 V^\circ \approx 0; n_g - n_p = 0,17 \quad [67]$$

Обладает фотопроводимостью в области края фундаментального поглощения ($h\nu \approx 3,0 \div 3,5$ эВ) [389, 52]

TeO₂

(—) 2 V° — большой; $n_g - n_p = 0,35$ (Li) [67]

Обладает нелинейным показателем преломления: $\delta n = (56 \pm 6) \cdot 10^{-8}$ ед. CGSE [85]

BaO

Оптически изотропный [67]

Положение экситонных пиков в спектре отражения при 5 К: $h\nu \approx 3,91; 4,03; 4,08; 4,24$ эВ [362]

Полосы поглощения F- и F+-центров вблизи 2,3 и 2,0 эВ соответственно наблюдали в спектрах поглощения при 77—423 К [88]

В интервале 103—423 К и фотовозбуждении ($h\nu_{\text{возб}} = 3,65 \div 3,9$ эВ) наблюдается полоса рекомбинационной люминесценции ($h\nu \approx 2,92$ эВ) [390]

La₂O₃

Сильное поглощение света в УФ области спектра начиная с $h\nu \approx 5,6$ эВ [623]

Ce₂O₃

В зависимости от степени восстановления ($T = 623 \div 1273$ К) происходит изменение окраски от серо-бирюзовой до черно-синей [52]

CeO₂

Оптически изотропный [52]

Начало длинноволнового края поглощения в УФ области спектра при 298 К: $\nu \approx 25500 \text{ см}^{-1}$ [391]

Сенармонтит

Валентинит
Кристалл

Теллурит

Кристалл

Кристалл
Монокристалл

Кристалл

Порошок

Тонкие пленки (С-форма)

Кристаллический порошок

Кристаллический порошок
Монокристалл

| 1 | 2 |
|---|--|
| Положение края фундаментального поглощения в УФ области спектра при 298 К: $h\nu \approx 5,1$ эВ [623] | Тонкие пленки толщиной 60,0—400,0 нм (С-форма) |
| Pr₂O₃ | |
| Положение края фундаментального поглощения в УФ области спектра при 298 К: $h\nu \approx 5,56$ эВ [623] | Тонкие пленки толщиной 60,0—400,0 нм (С-форма) |
| Pr₆O₁₁ | |
| Положение края фундаментального поглощения в УФ области спектра при 298 К: $h\nu \approx 5,35$ эВ [623] | Тонкие пленки толщиной 60,0—400,0 нм |
| При $\lambda = 589,3$ нм ($T = 298$ К) показатели преломления и поглощения изменяются с толщиной соответственно: $1,791 < n < 1,899$ и $0,001 < k < 0,032$ [392] | Тонкие пленки толщиной до $3/4 \lambda$ |
| Nd₂O₃ | |
| Положение края фундаментального поглощения в УФ области спектра при 298 К: $h\nu \approx 4,0$ эВ [623] | Тонкие пленки толщиной 60,0—400,0 нм (С-форма) |
| Sm₂O₃ | |
| Оптически анизотропный; $2V^\circ = 10 - 20$ [52] | Кристалл |
| Положение края фундаментального поглощения в УФ области спектра при 298 К: $h\nu \approx 4,86$ эВ (С-форма) и 5,04 эВ (В-форма) [623] | Тонкие пленки толщиной 60,0—400,0 нм |
| EuO | |
| При возбуждении излучением Не—Cd лазера или электронным пучком наблюдается полоса люминесценции вблизи 3,36 эВ [403] | Монокристалл |
| При $\lambda \approx 1,0$ мкм ($T = 298$ К) наблюдается максимум в спектре фотопроводимости, а максимум фото-э.д.с. расположен при $\lambda \approx 0,6$ мкм [375] | Монокристалл, $\rho \approx 10^8$ Ом·см |
| E₁₆O₂₁ | |
| (+) $2V^\circ = 25$; $n_g > n_p$ [52] | Фаза «Орто-1» |
| Eu₂O₃ | |
| Положение края фундаментального поглощения в УФ области спектра при 298 К: $h\nu \approx 4,48$ эВ (С-форма) и 4,90 эВ (В-форма) [623] | Тонкие пленки толщиной 60,0—400,0 нм |

| 1 | 2 |
|--|---|
| <p>При 77 К в спектре пропускания наблюдаются линии поглощения света с $\nu \approx 18719, 18747, 18947, 18964, 19013, 19102 \text{ см}^{-1}$ [371]</p> <p>Положение максимумов поглощения в спектре пропускания в видимой области при 4,2 К: $\lambda \approx 573,5; 576,0; 578,4; 582,0; 582,2 \text{ нм}$ [371]</p> | <p>Мелкодисперсный порошок (С-форма)</p> |
| <p>Gd₂O₃</p> <p>Положение края фундаментального поглощения в УФ области спектра при 298 К: $h\nu \approx 5,45 \text{ эВ}$ [623]</p> <p>Максимальная частота ИК спектра поглощения: } \nu_i \approx 535 \text{ см}^{-1} [404]</p> | <p>Мелкодисперсный порошок (В-форма)</p> |
| <p>Tb₂O₃</p> <p>Положение края фундаментального поглощения в УФ области спектра при 298 К: $h\nu \approx 4,77 \text{ эВ}$ [623]</p> | <p>Тонкие пленки толщиной 60,0—400,0 нм (С-форма)</p> |
| <p>Tb₄O₇</p> <p>Положение края фундаментального поглощения в УФ области спектра при 298 К: $h\nu \approx 4,95 \text{ эВ}$ [623]</p> | <p>Порошок, спрессованный в матрице из CsI</p> |
| <p>Dy₂O₃</p> <p>Положение края фундаментального поглощения в УФ области спектра при 298 К: $h\nu \approx 4,86 \text{ эВ}$ [623]</p> <p>Максимальная частота ИК спектра поглощения: } \nu_i \approx 550 \text{ см}^{-1} [404]</p> | <p>Тонкие пленки толщиной 60,0—400,0 нм</p> |
| <p>Ho₂O₃</p> <p>Поглощение края фундаментального поглощения в УФ области спектра при 298 К: $h\nu \approx 5,27 \text{ эВ}$ [623]</p> <p>Максимальная частота ИК спектра поглощения: } \nu_i \approx 562 \text{ см}^{-1} [404]</p> | <p>Тонкие пленки толщиной 60,0—400,0 нм (С-форма)</p> |
| <p>E_r₂O₃</p> <p>Положение края фундаментального поглощения в УФ области спектра при 298 К: $h\nu \approx 5,21 \text{ эВ}$ [623]</p> <p>Максимальная частота ИК спектра поглощения: } \nu_i \approx 565 \text{ см}^{-1} [404]</p> | <p>Порошок, спрессованный в матрице из CsI</p> |

Ti₂O₃

Положение края фундаментального поглощения в УФ области спектра при 298 К: $h\nu \approx 5,25$ эВ [623]

Максимальная частота ИК спектра поглощения: $\nu_i \approx 568$ см⁻¹ [404]

Yb₂O₃

Положение края фундаментального поглощения в УФ области спектра при 298 К: $h\nu \approx 5,30$ эВ [623]

Максимальная частота ИК спектра поглощения: $\nu_i \approx 573$ см⁻¹ [404]

Lu₂O₃

Положение края фундаментального поглощения в УФ области спектра при 298 К: $h\nu \approx 5,52$ эВ [623]

Максимальная частота ИК спектра поглощения: $\nu_i \approx 580$ см⁻¹ [404]

HfO₂

Положение максимума полосы поглощения в УФ спектре при $\lambda \approx 213$ нм [357]

Положение полос поглощения в ИК спектре: $\nu \approx 425, 535, 685, 770$ см⁻¹ (при 298 К) [359]

Ta₂O₅

При нагревании до температуры красного каления сохраняет белый цвет [80]

Начало полосы поглощения в УФ области спектра ~ 300 нм с максимумом при $\lambda \approx 209$ нм [52]

Электролюминесцирует [393]

«Красная» граница фотоэффекта $\sim 1,5$ эВ [394]

WO₃

Границы пропускания света в УФ области спектра: $\lambda \approx 380$ нм (аморфное состояние) и ~ 450 нм (после кристаллизации). «Красная» граница фотоэффекта ~ 325 нм (аморфное состояние) и ~ 550 нм (после кристаллизации) [395]

Тонкие пленки толщиной 60,0—400,0 нм (С-форма)

Порошок, спрессованный в матрице из CsI

Тонкие пленки толщиной 60,0—400,0 нм (С-форма)

Порошок, спрессованный в матрице из CsI

Тонкие пленки толщиной 60,0—400,0 нм (С-форма)

Порошок, спрессованный в матрице из CsI

Пленка

Порошок, спрессованный в матрице KBr

Тонкая пленка

Порошок

Пленки, полученные анодным окислением

Тонкие пленки

| 1 | 2 |
|---|--|
| WO₃·H₂O (-) 2 V°=27; $n_g - n_p = 0,22$ [67] | Tунгстит |
| WO₃·2H₂O (-) 2 V°=52; $n_g - n_p = 0,34$; плеохроирует [67] | Гидротунгстит |
| ReO₃ Положение минимума отражения в видимой области спектра: $h\nu \approx 2,1$ эВ (край плазменного отражения) [396] | Монокристалл |
| HgO $n_g - n_p = 0,28 \pm 0,04$ (Li); (+) 2 V° — большой. Красная окись при нагревании чернеет, но восстанавливает прежний цвет при охлаждении. Желтая окись при нагревании краснеет [67, 81, т. 4] | Монтродит |
| В ИК спектре поглощения при 293 К наблюдаются два максимума с $\nu \approx 491$ и 595 см ⁻¹ , уширяющиеся при переходе от красно-оранжевой к бледно-желтой модификации [397] | Порошки |
| Фосфоресцируют в спектральной области 2,0—4,5 эВ. Максимум интенсивности свечения ($h\nu = 2,39 \pm 0,03$ эВ) наблюдается при 133 К (красная модификация) [63] | » |
| Tl₂O₃ Положение края фундаментального поглощения в видимой области спектра при 298 К: $h\nu \approx 2,1$ эВ [635] | Пленки |
| PbO $n_0 - n_e = 0,13$ (Li) [67] 2 V° ≈ 90; $n_g - n_p = 0,20$ (Li); плеохроирует [67] | Глет Массикот |
| Положение края фундаментального поглощения при 298 К: $h\nu \approx 1,7$ —3,4 эВ [399] | Пленки и порошки при энантиотропных превращениях |
| Положение максимума полосы поглощения в УФ области спектра при 293 К: $\lambda \approx 350$ нм, максимальное значение показателя преломления $n = 2,7 \div 2,8$ наблюдается в видимой области спектра (красная модификация) [398] | Тонкие пленки |

| 1 | 2 |
|---|---|
| <p>В спектрах поглощения и фотопроводимости в области 1,4 и 3,3 эВ при 298 К наблюдается тонкая структура [52, 399]</p> <p>Pb₃O₄ $n_0 \geq n_e$. Сильно плеохроирует [67]</p> <p>При 291 К спектральное положение края поглощения совпадает с максимумом фотопроводимости: $\hbar\nu \approx 2,1$ эВ [366]</p> | <p>Монокристаллы</p> |
| <p>PbO₂ $n_0 > n_e$. Двупреломление слабое [67]</p> <p>Bi₂O₃ Оптически изотропный [67] $n_g \geq n_p$ [67]</p> <p>Граница пропускания света в видимой области спектра $\sim 1,7$ эВ [400]</p> <p>Обладает фоточувствительностью [52]</p> | <p>Миниум</p> <p>Порошок (сурик), размер зерна ~ 8 мкм</p> |
| <p>ThO₂ Оптически изотропный [67]</p> <p>Граница пропускания в УФ области спектра ~ 213 нм [401]</p> <p>Положение максимумов в спектре поглощения при $\lambda \approx 246$ и 300 нм. Флуоресцируют в спектральной области 390—470 нм [401]</p> | <p>Платнерит</p> |
| <p>UO₂ Непрозрачный; коэффициент отражения в видимой области спектра $R = 12,5 - 15,0\%$ [67]</p> <p>При 3 К в дальней ИК области спектра наблюдаются максимумы поглощения с $\nu \approx 17,6; 19,2; 79,0; 100,0 \text{ см}^{-1}$ [153]</p> <p>2UO₂·7H₂O (—) 2V° — мал; $n_g - n_p = 0,246$; плеохроирует [67]</p> | <p>Торианит</p> <p>Кристалл, отожженный в кислороде при 1673 К</p> <p>Кристаллы, восстановленные при 1673 К, а также легированные ионами Ca²⁺ и Y³⁺</p> |
| <p>4UO₃·5H₂O (—) 2 V° = 48; $n_g - n_p = 0,12$; сильно плеохроирует [67]</p> <p>4UO₃·9H₂O (—) 2 V° = 89; $n_g - n_p = 0,045$ [67]</p> <p>7UO₃·11H₂O (—) 2V° = 31; $n_g - n_p = 0,095$ плеохроирует [67]</p> | <p>Уранинит</p> <p>Монокристалл</p> <p>Иантинит</p> <p>Кристалл (ромбическая модификация)</p> <p>Скупит</p> <p>Беккерелит</p> |

ГЛАВА VII

ЯДЕРНЫЕ СВОЙСТВА И ВЛИЯНИЕ ОБЛУЧЕНИЯ

1. МИКРО- И МАКРОСКОПИЧЕСКИЕ СЕЧЕНИЯ ПОГЛОЩЕНИЯ И РАССЕЯНИЯ [405, 406]

| Оксид | Молекулярная плотность, $\times 10^{28}$ молекул/ м ³ | σ_a | σ_s | Σ_a | Σ_s |
|--------------------------------|--|---|------------|-----------------|------------|
| | | $\times 10^{-28} \text{ м}^2/\text{молекулу}$ | | м^{-1} | |
| H ₂ O | 3,35 | 0,66 | 103 | 2,2 | 345 |
| D ₂ O | 3,31 | 0,001 | 13,6 | 0,0033 | 44,9 |
| BeO | 7,28 | 0,01 | 6,8 | 0,073 | 50,1 |
| MgO* | 5,44 | 0,063 | 7,8 | 0,344 | 42,5 |
| Al ₂ O ₃ | 2,35 | 0,46 | 15,4 | 1,08 | 36,2 |
| SiO ₂ | 2,66 | 0,13 | 10,1 | 0,345 | 26,8 |
| CaO | 3,64 | 0,43 | 7,2 | 1,57 | 26,2 |
| TiO | 3,20 | 5,8 | 12,4 | 18,5 | 39,7 |
| Cr ₂ O ₃ | 2,06 | 5,8 | 18,6 | 11,9 | 38,3 |
| ZnO | 4,16 | 1,06 | 7,8 | 4,4 | 32,4 |
| SrO | 2,70 | 1,16 | 14,2 | 3,13 | 38,4 |
| Y ₂ O ₃ | 1,29 | 2,6 | 18,6 | 3,36 | 24,0 |
| ZrO ₂ | 3,12 | 0,18 | 16,4 | 0,56 | 51,2 |
| CdO | 3,26 | 3315 | 11,2 | 10 850 | 36,5 |
| Sm ₂ O ₃ | 1,28 | 16 500 | 22,6 | 21 100 | 28,9 |
| Eu ₂ O ₃ | 1,27 | 8740 | 30,2 | 11 100 | 38,3 |
| Dy ₂ O ₃ | 1,26 | 2200 | 214 | 2 770 | 270 |
| ThO ₂ | 2,25 | 7 | 20,9 | 15,8 | 47,0 |
| UO ₂ | 2,23 | 7,6 | 16,7 | 16,9 | 37,2 |

* Сечения окислов MgO и остальных рассчитаны по формулам: $\sigma_i = \sigma_{i9} + \sigma_{iO}$, где σ_{i9} — микроскопическое сечение элемента, образующего окисел, ($i = a, s$) и σ_{iO} — микроскопическое сечение кислорода; $\Sigma_i = \rho_9 \sigma_{i9} + \rho_O \sigma_{iO}$, где ρ_9 — атомная плотность элемента в окисле (число атомов элемента, образующего окисел, в единице объема); ρ_O — атомная плотность кислорода в окисле (число атомов кислорода, входящего в состав окисла, в единице объема).

2. ЯДЕРНЫЕ СВОЙСТВА ОКИСЛОВ-ЗАМЕДЛИТЕЛЕЙ [406]

| Оксисел | Плотность, кг/м ³ | Молекулярная плотность, моль/м ³ | Молекулярная плотность, × 10 ²³ /м ³ | Сечение поглощения для тепловых нейтронов, × 10 ⁻²⁸ м ² | Сечение расщепления для тепловых нейтронов, × 10 ⁻²⁸ м ² | Сечение расщепления для нейтронов, × 10 ⁻²⁸ м ² | Среднелогарифмическая потеря энергии нейтрона на одно соударение, м | Длина пробега нейтронов с энергией 4 · 10 ⁻²¹ дж до поглощения, м |
|------------------|------------------------------|---|--|---|--|---|---|--|
| H ₂ O | 1000 | 18 | 3,35 | 0,66 | 110 | 46 | 0,948 | 0,45 |
| D ₂ O | 1100 | 20 | 3,32 | 0,00092 | 15 | 10,5 | 0,570 | 328 |
| BeO | 2800 | 25 | 6,75 | 0,0092 | 11,1 | 9,8 | 0,173 | 16,1 |

Продолжение

| Оксисел | Транспортная длина пробега нейтронов, м | Время замедления, с | Время диффузии, с | Альбендо-бесконечность | Длина диффузии, м | Возраст по Ферми, м ² | Возраст по Ферми, м ² |
|------------------|---|------------------------|-------------------|------------------------|-------------------|----------------------------------|----------------------------------|
| H ₂ O | 0,00246 | 1,0 · 10 ⁻⁵ | 0,00021 | 0,82 | 0,0288 | 0,0033 | 0,0030 |
| D ₂ O | 0,024 | 4,6 · 10 ⁻⁵ | 0,15 | 0,97 | 1,00 | 0,0120 | 0,0100 |
| BeO | 0,0165 | 7,8 · 10 ⁻⁵ | 0,0068 | 0,93 | 0,30 | 0,0143 | — |

3. ПОРОГОВЫЕ ЭНЕРГИИ РЕАКЦИЙ, ПРИВОДЯЩИХ К ОБРАЗОВАНИЮ НОВЫХ ЭЛЕМЕНТОВ В ОКИСЛАХ [407]

| Окисел | Изотоп | Пороговая энергия, $\times 10^{-12}$ Дж (МэВ) | | | |
|-------------------------|-------------------|---|------------|----------------|------------|
| | | (γ , n) | (n, 2n) | (n, α) | (n, p) |
| Все | ^{16}O | 2,61(16,3) | 2,77(17,3) | 0,58(3,6) | 1,63(10,2) |
| BeO | ^9Be | 0,27(1,67) | 0,3(1,85) | 0,048(0,3) | — |
| MgO | ^{24}Mg | 2,62(16,4) | 2,73(17,1) | — | 0,78(4,9) |
| | ^{25}Mg | 1,17(7,3) | 1,20(7,5) | — | 0,66(4,1) |
| | ^{26}Mg | 1,79(11,2) | 1,85(11,6) | — | — |
| Al_2O_3 | ^{27}Al | 2,05(12,8) | 2,11(13,2) | 0,39(2,44) | 0,31(1,96) |
| SiO_2 | ^{28}Si | 2,7(16,8) | 2,78(17,4) | — | 0,64(4,0) |
| | ^{29}Si | 1,36(8,5) | 1,39(8,7) | — | 0,53(3,3) |
| CaO | ^{40}CaO | 2,54(15,9) | 2,61(16,3) | — | — |
| TiO_2 | ^{46}Ti | 2,13(13,3) | 2,18(13,6) | — | — |
| | ^{48}Ti | 1,39(8,7) | 1,42(8,9) | — | — |
| ZnO | ^{64}Zn | — | 1,91(11,9) | — | — |
| | ^{66}Zn | — | 1,81(11,3) | — | — |
| | ^{67}Zn | — | 1,14(7,1) | — | — |
| | ^{68}Zn | — | 1,65(10,3) | — | — |
| SrO | ^{86}Sr | — | 1,54(9,6) | — | — |
| | ^{87}Sr | — | 1,36(8,5) | — | — |
| | ^{88}Sr | — | 1,79(11,2) | — | — |
| ZrO_2 | ^{90}Zr | — | 1,97(12,3) | — | — |
| | ^{91}Zr | — | 1,17(7,3) | — | — |

4. НЕКОТОРЫЕ ХАРАКТЕРИСТИКИ ИЗОТОПОВ, ОБРАЗУЮЩИХСЯ В ОКИСЛАХ ПРИ ОБЛУЧЕНИИ [407]

| Окисел | Изотоп | Тип распада | Период полураспада, с | Максимальная энергия излучения, $\times 10^{-13}$ Дж | | Продукт распада |
|--------|------------------|-------------|-----------------------|--|-----------------|------------------|
| | | | | частицы | γ -лучей | |
| 1 | 2 | 3 | 4 | 5 | 6 | 7 |
| BeO | ^1H | Стабильный | — | — | — | — |
| | ^4He | Стабильный | — | — | — | — |
| | ^{13}C | Стабильный | — | — | — | — |
| | ^{16}N | β^- | 7,4 | 16,5 | 11,4 | ^{16}O |
| | ^{15}O | β^+ | 126 | 2,7 | | ^{15}N |
| | $^3\text{H}^*$ | β^- | $3,87 \cdot 10^{-8}$ | 0,0288 | | ^3He |
| MgO | ^6He | β^- | 0,83 | 5,6 | | ^6Li |
| | ^8Be | 2α | 10^{-16} | 0,058 | | ^4He |
| | ^{21}Ne | Стабильный | — | — | | — |
| | ^{22}Ne | Стабильный | — | — | — | — |
| | ^{23}Ne | β^- | 40,2 | 7,0 | 3,34 | ^{23}Na |
| | ^{24}Na | β^- | $5,4 \cdot 10^4$ | 2,22 | 2,21 | ^{24}Mg |

| Оксид | Изотоп | Тип распада | Период полуразпада, с | Максимальная энергия излучения, $\times 10^{-13}$ Дж | | Продукт распада |
|-------------------------|------------------|-------------------------|-----------------------|--|-----------------|----------------------------------|
| | | | | частицы | γ -лучей | |
| 1 | 2 | 3 | 4 | 5 | 6 | 7 |
| Al_2O_3 | ^{25}Na | β^- | 62 | 6,4 | 2,56 | ^{25}Mg |
| | ^{23}Mg | β^+ | 11 | 4,72 | | ^{23}Na |
| | ^{24}Na | β^- | $5,4 \cdot 10^4$ | 2,22 | 2,21 | ^{24}Mg |
| | ^{27}Mg | β^- | 570 | 2,8 | 1,62 | ^{27}Al |
| | ^{26}Al | β^+ | 6,7 | 5,12 | | ^{26}Mg |
| SiO_2 | ^{25}Mg | Стабильный | — | — | — | — |
| | ^{26}Mg | Стабильный | — | — | — | — |
| | ^{28}Al | β^- | 138 | 4,58 | 2,86 | ^{28}Si |
| CaO | ^{29}Al | β^- | 394 | 4,0 | 3,9 | ^{29}Si |
| | ^{27}Si | β^+ | 4,0 | 6,02 | | ^{27}Al |
| | ^{37}Ar | Е. з. | $2,94 \cdot 10^5$ | | | ^{37}Cl |
| ZrO_2 | ^{40}K | $\beta^-, \text{Е. з.}$ | $4,1 \cdot 10^{16}$ | 2,11 | 2,34 | $^{40}\text{Ca}, ^{40}\text{Ar}$ |
| | ^{39}Ca | β^+ | 0,9 | 8,17 | | ^{39}K |
| | ^{87}Sr | Стабильный | — | — | — | — |
| | ^{88}Sr | То же | — | — | — | — |
| | ^{90}Y | β^- | $2,31 \cdot 10^5$ | 3,58 | 2,8 | ^{90}Zr |
| | ^{89}Zr | β^+ | $2,84 \cdot 10^5$ | 1,44 | 1,46 | ^{89}Y |

* Третий образуется по реакции: $^6\text{Li} + n = ^4\text{He} + ^3\text{H}$.

5. РАДИАЦИОННОЕ ИЗМЕНЕНИЕ ОБЪЕМА

| $\Phi_{\text{бн}}^{*1}$ $\times 10^{24} \text{ 1/m}^2$ | $T_{\text{обл.}} \text{ К}$ | $\Delta V/V_0, \%$ | $\Phi_{\text{бн}}^{*1}$ $\times 10^{24} \text{ Па}$ | $T_{\text{обл.}} \text{ К}$ | $\Delta V/V_0, \%$ |
|--|-----------------------------|--------------------|--|--|--------------------|
| | | | | | |
| 1 | 2 | 3 | 1 | 2 | 3 |
| BeO, монокристаллы [408, 409] | | | | BeO, поликристаллы [409, 410, 411, 428] | |
| 1 | 373 | +0,3 | 1,7 | 348—373 | +0,7*2 |
| 2 | 373 | +0,6 | 2,6 | 348—373 | +2,0*2 |
| 3 | 373 | +1,2 | 5,5 | 348—373 | +4,1*2 |
| 5 | 373 | +2,3 | 7,4 | 348—373 | +6,3*2 |
| 8 | 373 | +3,3 | 10 | 348—373 | +8,3*2 |
| 10 | 373 | +3,7 | 1,2 | 783 | +0,2*2 |
| 25 | 373 | +4,5 | 5,5 | 793 | +1,7*2 |
| 18 | 383 | +1,7 | 4,5 | 863 | +1,5*2 |
| 11 | 923 | +0,9 | 1,5 | 943 | +0,15*2 |
| 41 | 923 | +3,8 | 6,5 | 943 | +1,3*2 |

| $\Phi_{\text{БН}}^{*1} \times 10^{24} \text{ 1/M}^2$ | $T_{\text{обл}}, \text{К}$ | $\Delta V/V_0, \%$ | $\Phi_{\text{БН}} \times 10^{24} \text{ Па}$ | $T_{\text{обл}}, \text{К}$ | $\Delta V/V_0, \%$ |
|--|----------------------------|--------------------|--|----------------------------|--------------------|
| | | | 1 | | |
| 1 | 2 | 3 | 1 | 2 | 3 |
| 12 | 963 | +2,5*2 | 4,3 | 373 | +4,0*5 |
| 2,7 | 348—373 | +0,8*3 | 5,0 | 373 | +4,6*5 |
| 5,2 | 348—373 | +2,8*3 | 5,5 | 373 | +4,9*5 |
| 10 | 348—373 | +5,9*3 | 1,7 | 373 | +0,5*6 |
| 14 | 348—373 | +7,1*3 | 2,1 | 373 | +0,9*6 |
| 9 | 808 | +2,4*3 | 2,9 | 373 | +1,3*6 |
| 11 | 858 | +1,9*3 | 3,0 | 373 | +1,4*6 |
| 12 | 963 | +1,7*3 | 3,5 | 373 | +1,6*6 |
| 2,8 | 348—373 | +0,5** | 3,6 | 373 | +1,9*6 |
| 5,3 | 348—373 | +1,9** | 4,0 | 373 | +1,6*6 |
| 10 | 348—373 | +4,5** | 4,2 | 373 | +2,4*6 |
| 14 | 348—373 | +6,8** | 4,6 | 373 | +2,4*6 |
| 9 | 808 | +1,4** | 4,9 | 373 | +2,6*6 |
| 11 | 858 | +1,4** | 5,1 | 373 | +2,9*6 |
| 12 | 963 | +1,3** | 5,2 | 373 | +2,6*6 |
| 1,9 | 373 | +1,2*4 | 5,5 | 373 | +3,1*6 |
| 2,4 | 373 | +1,6*4 | 5,8 | 373 | +2,6*6 |
| 3,1 | 373 | +2,2*4 | 8 | 923 | +2,1*7 |
| 4,0 | 373 | +2,4*4 | 16 | 923 | +4,2*7 |
| 5,0 | 373 | +2,9*4 | 24 | 923 | +6,3*7 |
| 5,3 | 373 | +3,4*4 | 10 | 1373 | +0,9*8 |
| 2,0 | 373 | +1,4*5 | 20 | 1373 | +1,4*8 |
| 2,5 | 373 | +0,9*5 | 10 | 1373 | +2,1*9 |
| 3,0 | 373 | +2,8*5 | 20 | 1373 | +2,1*9 |

| $\Phi_{\text{бн}}^{*1} \times 10^{24} \text{ 1/m}^2$ | $T_{\text{обл}}, \text{ К}$ | $\Delta V/V_0, \%$ | $\Phi_{\text{бн}} \times 10^{24} \text{ Па}$ | $T_{\text{обл}}, \text{ К}$ | $\Delta V/V_0, \%$ |
|--|-----------------------------|--------------------|--|-----------------------------|--------------------|
| 1 | 2 | 3 | 1 | 2 | 3 |
| 40 | 1373 | +2,2*9 | 1,4 | 348—373 | +0,6 |
| 10 | 1373 | +1,5*10 | 2,2 | 348—373 | +0,7 |
| 20 | 1373 | +2,6*10 | 3,0 | 348—373 | +0,8 |
| 10 | 1373 | +2,7*11 | 4,8 | 348—373 | +1,0 |
| 20 | 1373 | +3,0*11 | 6,0 | 348—373 | +1,1 |
| 40 | 1373 | +3,4*11 | Al_2O_3 , поликристаллы [413, 414] | | |
| 10 | 1273 | +0,5*12 | 1 | 523 | +0,22 |
| 20 | 1273 | +1,1*12 | 2 | 523 | +0,45 |
| 30 | 1273 | +1,7*12 | 3 | 523 | +0,70 |
| 50 | 1273 | +2,8*12 | 4 | 523 | +0,85 |
| 90 | 1273 | +5,1*12 | 6 | 523 | +1,15 |
| 10 | 1273 | +0,6*13 | 8 | 523 | +1,30 |
| 20 | 1273 | +1,3*13 | 1 | 748 | +0,25 |
| 30 | 1273 | +2,1*13 | 2 | 748 | +0,40 |
| 50 | 1273 | +2,6*13 | 3 | 748 | +0,55 |
| 90 | 1273 | +3,0*13 | 4 | 748 | +0,65 |
| MgO , монокристаллы [412] | | | 6 | 748 | +0,80 |
| 0,15 | 348—373 | +0,1 | 8 | 748 | +0,85 |
| 0,6 | 348—373 | +0,4 | 52 | 673—973 | +5 |

*1 $\Phi_{\text{бн}}$ — флюенс нейтронов с энергией $E_{\text{Н}} > 1,6 \cdot 10^{-13}$ Дж; $T_{\text{обл}}$ — температура образцов во время облучения; $\Delta V/V_0$ — относительное изменение объема; ρ_0 — плотность до облучения ($\rho_{\text{отн}}$ — относительная плотность до облучения, %) d_3 — длина зерна. *2 Горячепрессованные, $\rho_{\text{отн}} = 97 \div 98\%$, $d_3 = 12 \div 15$ мкм. *3 Холоднопрессованные, $\rho_{\text{отн}} = 96 \div 98\%$, $d_3 = 8 \div 12$ мкм. ** Холоднопрессованные, $\rho_{\text{отн}} = 95 \div 97\%$, $d_3 = 2 \div 3$ мкм. *4 BeO, сорт UOX, +1% Be, $\rho_0 = 2980$ кг/м³, $d_3 = 9$ мкм. *5 BeO—UOX+2% Be, $\rho_0 = 2960$ кг/м³, $d_3 = 12$ мкм. *6 BeO—UOX+0,2% Al_2O_3 +0,1% SiO_2 , $\rho_0 = 2920$ кг/м³, $d_3 = 10$ мкм. *7 Холоднопрессованные, $d_3 = 17 \div 25$ мкм. *8 Холоднопрессованные, $\rho_0 = 2700$ кг/м³, $d_3 = 17 \div 24$ мкм, время облучения $\tau_{\text{обл}} = 7,95 \cdot 10^6$ с. *9 $\rho_0 = 2700$ кг/м³, $d_3 = 17 \div 24$ мкм, $\tau_{\text{обл}} = 1,59 \cdot 10^7$ с. *10 $\rho_0 = 2900$ кг/м³, $d_3 = 23 \div 25$ мкм, $\tau_{\text{обл}} = 7,95 \cdot 10^6$ с. *11 $\rho_0 = 2900$ кг/м³, $d_3 = 23 \div 25$ мкм, $\tau_{\text{обл}} = 1,59 \cdot 10^7$ с. *12 Холоднопрессованные, $\rho_0 = 2900$ кг/м³, $d_3 = 5$ мкм. *13 Холоднопрессованные, $\rho_0 = 2600$ кг/м³, $d_3 = 5$ мкм.

6. ВЛИЯНИЕ ОБЛУЧЕНИЯ НА ПЛОТНОСТЬ

| $\Phi_{\text{бн}^*} \times 10^{24}$ Па | $T_{\text{обл.}} \text{ К}$ | $\Delta\rho/\rho_0, \%$ | $\rho_0, \text{ кг}/\text{м}^3$ | $\Phi_{\text{бн}^*} \times 10^{24}$ Па | $T_{\text{обл.}} \text{ К}$ | $\Delta\rho/\rho_0, \%$ | $\rho_0, \text{ кг}/\text{м}^3$ |
|--|-----------------------------|-------------------------|---------------------------------|---|-----------------------------|-------------------------|---------------------------------|
| 1 | 2 | 3 | 4 | 1 | 2 | 3 | 4 |
| BeO, спеченные [415, 409] | | | | | | | |
| 0,086 | 373 | -0,1 ^{*1} | 2900 | 0,049 | 313—373 | -4,7 ^{*12} | |
| 1,2 | 373 | -0,7 ^{*1} | 2900 | 11 | 523—573 | -17,7 ^{*12} | |
| 1,6 | 373 | -1,0 ^{*1} | 2900 | 2 | | -14,7 ^{*12} | 2600 |
| 1,8 | 373 | -1,2 ^{*1} | 2900 | 2 | | -13,0 ^{*13} | 2600 |
| 2,0 | 373 | -1,3 ^{*1} | 2900 | | | -13,0 ^{*14} | 2600 |
| 2,1 | 373 | -1,5 ^{*1} | 2900 | | | | |
| 3,7 | 373 | -3,4 ^{*1} | 2900 | 0,07 | 323 | +0,9 | 2210 |
| 3,9 | 373 | -3,8 ^{*1} | 2900 | 2 | 323 | +1,8 | 2210 |
| 4,0 | 373 | -4,2 ^{*1} | 2900 | 0,013 | 313—373 | +0,2 | 2209 |
| 0,082 | 373 | -0,1 ^{*2} | 2900 | 0,059 | 313—373 | +2,8 | 2268 |
| 3,6 | 373 | -3,6 ^{*2} | 2900 | 11 | 523—573 | +2,1 | 2251 |
| 4,5 | 373 | -4,6 ^{*2} | 2900 | 0,2 | 323 | +1,9 | 2196 |
| 0,061 | 373 | -0,1 ^{*3} | 2900 | 0,5 | 323 | +2,05 | 2196 |
| 3,8 | 373 | -4,2 ^{*3} | 2900 | 0,7 | 323 | +2,3 | 2204 |
| 6,0 | 373 | -5,8 ^{*3} | 2900 | 4 | 323 | +1,2 | 2204 |
| 0,088 | 373 | -0,1 ^{*1} | 2900 | 2 | 323 | +3 | 2210 |
| 1,3 | 373 | -0,7 ^{*1} | 2900 | 2,2 | | +2,8 | |
| 1,8 | 373 | -1,1 ^{*1} | 2900 | | | | |
| 2,3 | 373 | -1,3 ^{*1} | 2900 | | | | |
| 4,0 | 373 | -3,9 ^{*1} | 2900 | | | | |
| 5,4 | 373 | -5,4 ^{*3} | 2940 | | | | |
| 2,0 | 1133 | -3,19 ^{*3} | 2839 | 0,6 | 323 | -0,5 | 4010 |
| 2,0 | 1133 | -2,61 ^{*6} | 2833 | 3 | 323 | -0,75 | 4010 |
| 2,1 | 1133 | -1,26 ^{*6} | 2806 | | | | |
| 2,1 | 1133 | -2,33 ^{*6} | 2800 | | | | |
| SiO₂, аморфные [417, 418] | | | | | | | |
| 0,086 | 373 | -0,1 ^{*1} | 2900 | 0,07 | 323 | +0,9 | 2210 |
| 1,2 | 373 | -0,7 ^{*1} | 2900 | 2 | 323 | +1,8 | 2210 |
| 1,6 | 373 | -1,0 ^{*1} | 2900 | 0,013 | 313—373 | +0,2 | 2209 |
| 1,8 | 373 | -1,2 ^{*1} | 2900 | 0,059 | 313—373 | +2,8 | 2268 |
| 2,0 | 373 | -1,3 ^{*1} | 2900 | 11 | 523—573 | +2,1 | 2251 |
| 2,1 | 373 | -1,5 ^{*1} | 2900 | 0,2 | 323 | +1,9 | 2196 |
| 3,7 | 373 | -3,4 ^{*1} | 2900 | 0,5 | 323 | +2,05 | 2196 |
| 3,9 | 373 | -3,8 ^{*1} | 2900 | 0,7 | 323 | +2,3 | 2204 |
| 4,0 | 373 | -4,2 ^{*3} | 2900 | 4 | 323 | +1,2 | 2204 |
| 5,4 | 373 | -5,8 ^{*3} | 2940 | 2 | 323 | +3 | 2210 |
| 6,0 | 373 | -5,4 ^{*3} | 2940 | 2,2 | | +2,8 | |
| TiO₂ [416, 419] | | | | | | | |
| 0,088 | 373 | -0,1 ^{*1} | 2900 | 0,6 | 323 | -0,5 | 4010 |
| 1,3 | 373 | -0,7 ^{*1} | 2900 | 3 | 323 | -0,75 | 4010 |
| MgO·Al₂O₃ [419] | | | | | | | |
| 0,15 | 348—373 | -0,1 | | 4 | 1 | 0 | 3600 |
| 0,6 | 348—373 | -0,4 | | | | | |
| 1,4 | 348—373 | -0,6 | | | | | |
| 2,2 | 348—373 | -0,7 | | | | | |
| 3,0 | 348—373 | -0,8 | | | | | |
| 4,8 | 348—373 | -1,0 | | | | | |
| 6,0 | 348—373 | -1,1 | | | | | |
| MgO^{*7} [408] | | | | | | | |
| 0,15 | 348—373 | -0,1 | | | | | |
| 0,6 | 348—373 | -0,4 | | | | | |
| 1,4 | 348—373 | -0,6 | | | | | |
| 2,2 | 348—373 | -0,7 | | | | | |
| 3,0 | 348—373 | -0,8 | | | | | |
| 4,8 | 348—373 | -1,0 | | | | | |
| 6,0 | 348—373 | -1,1 | | | | | |
| 3BeO·Al₂O₃·6SiO₂ [418] | | | | | | | |
| 3,6 | 1 | 1 | —6 | 3,6 | 1 | 1 | |
| 2MgO·SiO₂ [418] | | | | | | | |
| 0,6 | 1 | 1 | —0,85 | 0,6 | 1 | 1 | 3056 |
| ZrO₂·SiO₂ [418, 419] | | | | | | | |
| 0,2 | 353 | -0,1 | | 0,5 | 1 | -0,67 | 3730 |
| 0,5 | 353 | -0,23 | | 3,6 | 1 | -4 | 3730 |
| 1,0 | 353 | -0,38 | | | | | |
| 2,0 | 353 | -0,6 | | | | | |
| 3,0 | 353 | -0,8 | | | | | |
| 4,0 | 353 | -0,95 | | | | | |
| 5,0 | 353 | -1,03 | | | | | |
| 6,0 ^{*9} | 323 | -0,35 ^{*10} | 3983 | 0,7 | 1 | -1,3 | 2796 |
| 6,0 ^{*9} | 323 | -0,98 ^{*10} | 3983 | 0,6 | 1 | -0,3 | 3410 |
| 0,3 | 323 | -0,17 ^{*11} | 3559 | 4 | 1 | -0,6 | 3410 |
| 0,5 | 323 | -0,39 ^{*11} | | | | | |
| Слеюда [419] | | | | | | | |
| 0,66 | 373 | -3,5 ^{*12} | | 0,4 ^{*15} | 1 | -3,8 | 2845 |
| 0,013 | 313—373 | -0,07 ^{*12} | 2648 | 2 ^{*15} | 1 | -14 | 2845 |
| | | | | 0,8 ^{*16} | 1 | -2,4 | |
| | | | | 1 ^{*16} | 1 | -2,8 | |
| SiO₂, кристаллы [418] | | | | | | | |
| 0,66 | 373 | -3,5 ^{*12} | | 0,4 ^{*15} | 1 | -3,8 | |
| 0,013 | 313—373 | -0,07 ^{*12} | 2648 | 2 ^{*15} | 1 | -14 | |
| | | | | 0,8 ^{*16} | 1 | -2,4 | |
| | | | | 1 ^{*16} | 1 | -2,8 | |

^{*1} Сорт АОХ, $d_3=15\div20$ мкм. ^{*2} Сорт НРА, $d_3=15\div20$ мкм. ^{*3} Сорт УОХ, $d_3=15\div20$ мкм. ^{*4} УОХ+0,5% MgO, $d_3=15\div20$ мкм. ^{*5} УОХ+3% ZrO₂, $d_3=15\div20$ мкм. ^{*6} Холоднопрессованные +0,6% CaO. ^{*7} Радиационное изменение плотности MgO эквивалентно изменению объема. ^{*8} Монокристаллы, поликристаллы. ^{*9} $E_{\text{Н}}>16\cdot10^{-17}$ Дж. ^{*10} Сапфир. ^{*11} Спеченные. ^{*12} Кварц. ^{*13} Кристобалит. ^{*14} Тридимит. ^{*15} Облучение в реакторе с водяным замедлителем. ^{*16} Облучение в реакторе с графитовым замедлителем.

7. ВЛИЯНИЕ ОБЛУЧЕНИЯ НА ПЕРИОДЫ КРИСТАЛЛИЧЕСКОЙ РЕШЕТКИ

| $\Phi_{\text{БН}} \times 10^{24} \text{ 1/m}^2$ | $T_{\text{обл}}, \text{ K}$ | $\Delta a/a_0, \%$ | $\Delta c/c_0, \%$ |
|---|-----------------------------|--------------------|--------------------|
| 1 | 2 | 3 | 4 |
| BeO [409, 410, 420, 421] | | | |
| 1 | 373 | +0,03 | +0,22*1 |
| 2 | 373 | +0,05 | +0,50*1 |
| 4 | 373 | +0,10 | +1,15*1 |
| 6 | 373 | +0,12 | +1,85*1 |
| 8 | 373 | +0,13 | +2,55*1 |
| 10 | 373 | +0,13 | +3,0*1 |
| 5,5 | 783—813 | +0,02 | +0,6*2 |
| 9 | 793—823 | +0,02 | +1,42*2 |
| 4,5 | 853—873 | +0,02 | +0,51*2 |
| 11 | 843—873 | +0,02 | +1,2*2 |
| 12 | 943—973 | +0,02 | +1,0*2 |
| 5 | 348—373 | +0,105 | +1,6*3 |
| 5 | 348—373 | +0,14 | +0,5*4 |
| 5 | 348—373 | +0,10 | +1,4*5 |
| 1,9 | 1173 | 0 | +0,03*6 |
| 1,9 | 1173 | 0 | 0,02—0,04*7 |
| 4 | 383 | +0,10 | +1,00*8 |
| 7 | 383 | +0,12 | +2,56*9 |
| 10 | 383 | +0,13 | +2,98*8 |
| 10 | 383 | +0,13 | +3,26*9 |
| 8 | 923 | 0 | +1,50*8 |
| 17 | 923 | 0 | +2,26*8 |
| 43 | 923 | +0,04 | +2,09*8 |
| 8 | 1373 | 0 | 0*8 |
| 19 | 1373 | 0 | +0,19*8 |
| 34 | 1373 | 0 | 0*8 |
| 9 | 923 | 0 | +1,58*9 |
| 17 | 923 | +0,01 | +1,40*9 |
| 29 | 923 | 0 | +2,12*9 |
| 45 | 923 | +0,05 | +2,04*9 |
| 7 | 1373 | 0 | 0*9 |
| 19 | 1373 | 0 | +0,34*9 |
| 34 | 1373 | 0 | 0*9 |
| MgO*10 [412, 415] | | | |
| 0,2 | 373 | +0,04 | — |
| 0,5 | 373 | +0,12 | — |
| 0,8 | 373 | +0,17 | — |
| 1 | 373 | +0,18 | — |
| 1,5 | 373 | +0,195 | — |
| 1,8 | 373 | +0,20 | — |
| 2,0 | 373 | +0,19 | — |
| 2,5 | 373 | +0,16 | — |
| 3,0 | 373 | +0,125 | — |
| 3,5 | 373 | +0,095 | — |

| 1 | 2 | 3 | 4 |
|-------|---------|---|----------|
| 4,0 | 373 | +0,07 | |
| 4,5 | 373 | +0,05 | |
| 2,2 | 673 | +0,085 | |
| | | $\text{Al}_2\text{O}_3^{*11}$ [413] | |
| 0,5 | 373 | +0,08 | 0,08 |
| 1,0 | 373 | +0,13 | +0,13 |
| 1,5 | 373 | +0,18 | +0,18 |
| 2,0 | 373 | +0,22 | +0,22 |
| 2,5 | 373 | +0,26 | +0,26 |
| 3,0 | 373 | +0,28 | +0,28 |
| 3,5 | 373 | +0,29 | +0,32 |
| 4,0 | 373 | +0,30 | +0,35 |
| 5,0 | 373 | +0,32 | +0,40 |
| 2,8 | 823 | +0,11 | +0,11 |
| 3,2 | 873 | +0,12 | +0,12 |
| 2,5 | 973 | +0,07 | +0,07 |
| | | SiO_2^{*12} [418] | |
| 0,09 | | +0,1 | |
| 0,66 | 373 | +2,2 | +0,32 |
| | | TiO_2 [418] | |
| 1,1 | | 0 | |
| | | ZnO [422] | |
| 4,0 | 348—373 | +0,04 | +0,4 |
| | | ZrO_2 [418, 419] | |
| 0,015 | 373 | -0,39 | -1,94*13 |
| 1,0 | | 0*14 | — |
| 2,0 | | +0,28*14 | — |
| | | UO_2 [419] | |
| 0,4 | | +0,04 | — |
| | | $\text{MgO} \cdot \text{Al}_2\text{O}_3$ [419] | |
| 1,0 | | +0,12 | — |
| | | $\text{BeO} \cdot \text{Al}_2\text{O}_3$ [418, 419] | |
| 3,6 | | +1 | — |
| | | $2\text{BeO} \cdot \text{SiO}_2$ [418, 419] | |
| 3,6 | | +0,7 | — |

*1 Монокристаллы, порошки. *2 Порошки, полученные измельчением спеченных облученных образцов. *3 Порошок. *4 Компактный. *5 Измельченный в порошок после облучения. *6 +0,6% CaO , компактный. *7 Тот же, что и *6, но измельченный после облучения. *8 $d_3=71 \div 74$ мкм. *9 $d_3=17 \div 24$ мкм. *10 Монокристаллы и поликристаллы. *11 Монокристаллы и поликристаллы. *12 Кварц $a_0=0,4903$ нм, $c_0=0,5393$ нм. При больших потоках кристаллическая SiO_2 переходит в аморфную. *13 Моноклинная $\Delta b/b_0=-1,2\%$; $\Delta \beta/\beta_0=+0,68\%$. *14 Кубическая стабилизированная.

8. ВЛИЯНИЕ ОБЛУЧЕНИЯ НА ТЕПЛОПРОВОДНОСТЬ

[408; 409; 411; 413; 415; 416; 418; 419; 423—425]

| $\Phi_{\text{бн}} \times 10^{24}$ 1/m ² | $T_{\text{обл}}, \text{К}$ | $\Delta\lambda/\lambda_0, \%$ | λ_0 Вт/(М×°C) | $\Phi_{\text{бн}} \times 10^{24}$ Па | $T_{\text{обл}}, \text{К}$ | $\Delta\lambda/\lambda_0, \%$ | λ_0 Вт/(М×°C) |
|---|----------------------------|-------------------------------|--------------------------|---|----------------------------|---|--------------------------|
| BeO | | | | | | | |
| 0,25 | 373 | -14* ¹ | 168 | 0,34 | — | -99,8* ¹³ | 1000 |
| 0,6 | 373 | -69* ¹ | 168 | 0,17 | — | +17* ¹⁴ | 0,52 |
| 0,25 | 373 | -32* ² | 197 | 0,41 | — | +35* ¹⁴ | 0,52 |
| 0,6 | 373 | -80* ² | 197 | 0,6 | — | +100* ¹⁴ | 0,52 |
| 0,15 | 343—353 | -18* ³ | 230 | | | TiO₂ | |
| 1,2 | 353—373 | -70* ³ | 230 | 0,6* ¹⁵ | 323 | -33 | 6,09 |
| 4 | 343—353 | -92* ³ | 230 | 3,0* ¹⁵ | 323 | -60 | 6,09 |
| 1,2 | 783 | -44* ³ | 230 | | | ZrO₂ | |
| 1,1 | 893 | -19* ³ | 230 | | | MgO·Al₂O₃ | |
| 1,5 | 933 | -22* ³ | 230 | 2,0* ¹⁵ | — | -21 | 5,05 |
| 2,1 | 1123 | -60* ¹ | — | | | 2MgO·SiO₂ | |
| 0,4 | 348 | -80* ³ | 520 | | | ZrO₂·SiO₂ [418, 425] | |
| 1,1 | 348 | -89* ³ | 550 | 0,7 | — | -48* ¹⁶ | 10,5 |
| 0,4 | 348 | -60* ⁵ | 500 | 4,0 | — | -95* ¹⁶ | 10,5 |
| 0,86 | 348 | -73* ³ | 500 | | | Кордиерит | |
| 1,1 | 348 | -80* ³ | 500 | | | Стеатит | |
| — | 573 | -58* ⁷ | — | 0,6 | 323 | -70* ¹⁷ | 10,5 |
| — | 873 | -33,7* ⁷ | — | 1,0 | 323 | -76* ¹⁷ | 7,5 |
| — | 1073 | -26,3* ⁷ | — | 2,0 | 323 | -76* ¹⁷ | 7,5 |
| MgO | | | | | | | |
| 0,3 | 323 | -40 | — | 0,5 | 323 | -81* ⁸ | 5 |
| 0,8 | 343 | -44 | — | | | Фарфор | |
| Al₂O₃ | | | | | | | |
| 0,0015 | — | -55* ⁸ | 6000 | 0,5 | 323 | -72* ¹⁹ | 3,06 |
| 0,0089 | — | -80* ⁸ | 6000 | 3 | 323 | -72* ¹⁹ | 3,06 |
| 0,02 | — | -87* ⁸ | 6000 | 1 | 323 | -70* ⁹ | 3,23 |
| 0,05 | — | -97* ⁹ | 6000 | 2 | 323 | -73* ⁹ | 3,23 |
| 0,6 | 323 | -50* ⁹ | 25 | | | Слюдя | |
| 6,0 | 323 | -67* ⁹ | 25 | 0,7 | 323 | -63* ¹⁰ | 3,19 |
| 0,3 | 323 | -42* ¹⁰ | 16,8 | 1 | 323 | -53* ²⁰ | 2,51 |
| 4,0 | 323 | -78* ¹⁰ | 16,8 | 2 | 323 | -53* ²⁰ | 2,51 |
| 1,0 | 343 | -25* ¹¹ | — | | | Кварцевое стекло | |
| 2,0 | 523 | -67* ¹² | — | | | Кварц | |
| 5,0 | 523 | -78* ¹² | — | | | Сапфир | |
| 8,0 | 523 | -80* ¹² | — | 0,6 | — | -52* ²¹ | — |
| 2,0 | 748 | -52* ¹² | — | 4 | — | -68* ²¹ | — |
| 5,0 | 748 | -69* ¹² | — | | | Гранит | |
| 2,0 | 973 | -33* ¹² | — | 0,4 | — | -29* ²² | 0,49 |
| 5,0 | 973 | -52* ¹² | — | 2 | — | +47* ²² | 0,49 |
| SiO₂ | | | | | | | |
| 0,00054 | — | -40* ¹³ | 1000 | | | Бетон | |
| 0,018 | — | -95* ¹³ | 1000 | 2 | 323 | 0 | — |
| 0,043 | — | -98* ¹³ | 1000 | | | Бетон | |

*¹ Горячепрессованные, $\rho_0 = 2740 \text{ кг}/\text{м}^3$, $T_{\text{изм}} = 373 \text{ К}$. *² $\rho_0 = 3006 \text{ кг}/\text{м}^3$, $T_{\text{изм}} = 373 \text{ К}$. *³ $\rho_0 = 2950 \div 2980 \text{ кг}/\text{м}^3$, $T_{\text{изм}} = 293 \text{ К}$. *⁴ Холоднопрессованные +0,6% CaO, $\rho_0 = 2800 \text{ кг}/\text{м}^3$, $d_3 = 32 \text{ мкм}$. *⁵ $\rho_{\text{отн}} = 98\%$, $d_3 = 12 \text{ мкм}$. *⁶ $d_3 = 35 \text{ мкм}$.

*⁷ Изменение коэффициента температуропроводности $\Delta D/D_0$, $D_0 = 1,5 \cdot 10^{-5} \text{ м}^2/\text{с}$, $\rho_0 = 2900 \text{ кг}/\text{м}^3$, $d_3 = 5 \text{ мкм}$, облучение проведено до $\Delta V/V_0 = +0,7\%$, $T_{\text{изм}} = 573 \text{ К}$.

*⁸ Сапфир, $T_{\text{изм}} = 40 \text{ К}$. *⁹ $\rho_0 = 3983 \text{ кг}/\text{м}^3$. *¹⁰ Спеченные, $\rho_0 = 3559 \text{ кг}/\text{м}^3$.

*¹¹ $T_{\text{изм}} = 573 \text{ К}$. *¹² Спеченные, пористость 8, 25 и 31%. *¹³ α -кварц, $T_{\text{изм}} = 10 \text{ К}$. *¹⁴ Плавленый кварц, $T_{\text{изм}} = 5 \text{ К}$. *¹⁵ $E_H > 1,6 \cdot 10^{-17} \text{ Дж}$. *¹⁶ $\rho_0 = 3600 \text{ кг}/\text{м}^3$.

*¹⁷ $\rho_0 = 3056 \text{ кг}/\text{м}^3$, $T_{\text{изм}} = 313 \text{ К}$. *¹⁸ $\rho_0 = 3730 \text{ кг}/\text{м}^3$, $T_{\text{изм}} = 313 \text{ К}$. *¹⁹ $T_{\text{изм}} = 313 \text{ К}$.

*²⁰ $\rho_0 = 2796 \text{ кг}/\text{м}^3$, $T_{\text{изм}} = 313 \text{ К}$. *²¹ $\rho_0 = 3410 \text{ кг}/\text{м}^3$. *²² $\rho_0 = 2845 \text{ кг}/\text{м}^3$.

9. РАДИАЦИОННОЕ ИЗМЕНЕНИЕ МОДУЛЯ УПРУГОСТИ

| $\Phi_{\text{БН}'} \times 10^{24} \text{ 1/m}^2$ | $T_{\text{обл}} \text{ K}$ | $\Delta E/E_0, \%$ | $\Phi_{\text{БН}'} \times 10^{24} \text{ 1/m}^2$ | $T_{\text{обл}} \text{ K}$ | $\Delta E/E_0, \%$ |
|--|----------------------------|--------------------|--|----------------------------|--------------------|
| 1 | 2 | 3 | 1 | 2 | 3 |
| BeO [419, 426, 440] | | | | | |
| 0,25 | 373 | -19*1 | 0,6*7 | 323 | < -5 |
| 0,25 | 373 | -40*2 | | | |
| 0,6 | 373 | -50*3 | ZrO₂ [418] | | |
| 0,6 | 373 | -64*4 | 0,6*7 | 323 | < -10 |
| 4,2 | 373 | -71,8*5 | 1,6*7 | 323 | < -10 |
| 4,2 | 373 | -54,8*6 | | | |
| MgO [408] | | | | | |
| 0,8 | 343 | -5 | 0,6 | — | -21 |
| | | | 0,8 | — | -10 |
| | | | 1,6 | — | -11 |
| Al₂O₃ [413; 418] | | | | | |
| 0,6*7 | 323 | < -10*8 | Кордиерит [418] | | |
| 1,6*7 | 323 | < -10*8 | 0,6 | — | -46 |
| 1,5 | 343 | -3*9 | 0,8 | — | -22 |
| 1-10 | 523-973 | -(5-10)*9 | 1,6 | — | -27 |
| SiO₂ [416, 418, 425, 427] | | | | | |
| 0,04 | 323 | -(3,2-16,5)*10 | Стеатит [418] | | |
| 0,07 | 328 | +1,42*11 | 0,6 | — | < -5 |
| 0,6 | — | < +5*12 | 1,6 | — | < -5 |
| 1,6 | — | < +45*12 | ZrO₂·SiO₂ [418] | | |
| 0,04 | — | + (0,66-3,8)*13 | 0,6 | — | -34 |
| 2 | — | + (3-4)*13 | 0,8 | — | -42 |
| 0,07 | 328 | -3,8*14 | 1,6 | — | -45 |

*¹ $\rho_0 = 2620 \text{ кг/м}^3$, $E_0^D = 243 \text{ ГПа}$ (E_0^D — динамический модуль упругости до облучения). *² $\rho_0 = 2740 \text{ кг/м}^3$. *³ $\rho_0 = 2704 \text{ кг/м}^3$, $E_0^D = 264 \text{ ГПа}$. *⁴ $\rho_0 = 2902 \text{ кг/м}^3$, $E_0^D = 340 \text{ ГПа}$. *⁵ $\rho_{\text{отн}} = 95\%$, $d_3 = 5 \text{ мкм}$, $E_0^{\text{ст}} = 355 \text{ ГПа}$. *⁶ $\rho_0 = 95\%$, $d_3 = 5 \text{ мкм}$, $E_0^{\text{ст}} = 365 \text{ ГПа}$. *⁷ $E_H > 1,6 \cdot 10^{-17} \text{ Дж}$. *⁸ Поликристаллы и монокристаллы. *⁹ Поликристаллы. *¹⁰ Кварц. *¹¹ Аморфные. *¹² Кварцевое стекло. *¹³ Плавленые. *¹⁴ Модуль сдвига, аморфные.

10. ВЛИЯНИЕ ОБЛУЧЕНИЯ НА ПРОЧНОСТЬ

| $\Phi_{\text{БН}} \times 10^{24} \text{ 1/m}^2$ | $T_{\text{обл}} \text{ К}$ | $\Delta\sigma/\sigma_0, \%$ | $\sigma_0, \text{ МПа}$ | $\Phi_{\text{БН}} \times 10^{24} \text{ Па}$ | $T_{\text{обл}} \text{ К}$ | $\Delta\sigma/\sigma_0, \%$ | $\sigma_0, \text{ МПа}$ |
|---|----------------------------|-----------------------------|-------------------------|--|----------------------------|-----------------------------|-------------------------|
| 1 | 2 | 3 | 4 | 1 | 2 | 3 | 4 |
| BeO [411, 415, 418, 423, 426, 428, 429] | | | | | | | |
| При растяжении | | | | | | | |
| 0,06 | — | 0 | 65 | 5,4 | 373 | -74 | 214*23 |
| 0,1 | — | +8,3 | 65 | 2,0 | 373 | -71 | 261*21 |
| 0,15 | — | +23,7 | 65 | 2,5 | 373 | -81 | 261*21 |
| 0,6 | 373 | -82 | 59-83*1 | 1,7 | 373 | +51 | 187*22 |
| 0,6 | 373 | -94 | 123*2 | 2,1 | 373 | +28 | 187*22 |
| 2,2 | 623-673 | -87 | 102*3 | 2,9 | 373 | +35 | 187*22 |
| 2,2 | 623-673 | -80 | 102*4 | 3,0 | 373 | +6 | 187*22 |
| 2,2 | 623-673 | -93 | 147*5 | 3,6 | 373 | -33 | 187*22 |
| 2,2 | 623-673 | -88 | 91,2*6 | 4,0 | 373 | -27 | 187*22 |
| | | | | 4,2 | 373 | -48 | 187*22 |
| | | | | 4,6 | 373 | -30 | 187*22 |
| При сжатии | | | | | | | |
| 0,25 | 373 | -23,5 | 1962 | 5,1 | 373 | -53 | 187*22 |
| 0,6 | 373 | -77,5 | 1962 | 5,2 | 373 | -41 | 187*22 |
| 0,9 | 373 | -93 | 1962 | 5,5 | 373 | -53 | 187*22 |
| 2 | 373 | -95 | 981*7 | 5,8 | 373 | -75 | 187*22 |
| 2 | 373 | -97 | 981*8 | 2,3 | 373 | +175*23 | 0*24 |
| 2 | 373 | -93 | 1470*9 | 90 | 1273 | -30*25 | |
| 2 | 373 | -98 | 1470*10 | 90 | 1273 | | |
| 2,2 | 673 | -(63-76) | 1950*11 | | | | |
| 2,2 | 673 | -3-+10 | 560*12 | | | | |
| MgO [415] | | | | | | | |
| При сжатии | | | | | | | |
| При изгибе | | | | | | | |
| 0,086 | 373 | +11,5 | 241*13 | 2,2 | 673 | +101*23 | 463 |
| 2 | 373 | -87,9 | 241*13 | 2,2 | 673 | +120*22 | |
| 3,9 | 373 | -97,4 | 241*13 | 2,2 | 673 | +17*23 | 294 |
| 0,082 | 373 | +7,2 | 172*14 | | | | |
| 3,6 | 373 | -93,2 | 172*14 | | | | |
| 0,074 | 373 | +3 | 206*15 | | | | |
| 0,061 | 373 | +7,3 | 209*16 | 1,3 | 373 | -20*30 | |
| 3,8 | 373 | -97,7 | 209*16 | 1,7 | 373 | +30*30 | |
| 0,088 | 373 | +2,2 | 219*17 | 2,1 | 373 | +60*30 | |
| 2,1 | 373 | -62,8 | 219*17 | 3,5 | 373 | +30*30 | |
| 0,074 | 373 | +14,5 | 209*18 | 5,0 | 373 | +60*30 | |
| 5,4 | 373 | -96,7 | 209*18 | 2,1 | 373 | +15*31 | |
| 1,8 | 373 | -84,6 | 134*19 | 4,2 | 373 | +30*31 | |
| 1,9 | 373 | -29 | 214*20 | 5,0 | 373 | +25*31 | |
| 2,4 | 373 | -48 | 214*20 | | | | |
| 3,1 | 373 | -45 | 214*20 | | | | |
| 4,0 | 373 | -68 | 214*20 | 0,024 | 373 | +10*32 | |
| 5,0 | 373 | -73 | 214*20 | 2,0 | 373 | +6*32 | |
| Al₂O₃ [427] | | | | | | | |
| При изгибе | | | | | | | |
| SiO₂ [427] | | | | | | | |

*1 $\rho_0 = 2600 \pm 2700 \text{ кг/м}^3$. *2 $\rho_0 = 2840 \pm 2880 \text{ кг/м}^3$. *3 $\rho_0 = 2670 \text{ кг/м}^3$. *4 $\rho_0 = 2740 \text{ кг/м}^3$. *5 $\rho_0 = 2800 \text{ кг/м}^3$. *6 $\rho_0 = 2850 \text{ кг/м}^3$. *7 $\rho_0 = 2520 \text{ кг/см}^3$. *8 $\rho_0 = 2530 \text{ кг/м}^3$. *9 $\rho_0 = 2740 \text{ кг/м}^3$. *10 $\rho_0 = 2800 \text{ кг/м}^3$. *11 $\rho_0 = 2960 \pm 2990 \text{ кг/м}^3$, $T_{\text{изм}} = -293 \text{ К}$. *12 $\rho_0 = 2960 \pm 2990 \text{ кг/м}^3$, $T_{\text{изм}} = 1273 \text{ К}$. *13 $\rho_0 = 2900 \text{ кг/м}^3$, $d_3 = 20 \text{ мкм}$, сорт порошка BeO-AOX. *14 Сорт HPA. *15 HPA+0,5% MgO. *16 Сорт UOX. *17 UOX+0,5% MgO. *18 $\rho_0 = 2940 \text{ кг/м}^3$, UOX+3% ZrO₂. *19 $\rho_0 = 2900 \text{ кг/м}^3$, $d_3 = 5 \text{ мкм}$, сорт AOX. *20 $\rho_0 = 2980 \text{ кг/м}^3$, $d_3 = 9 \text{ мкм}$, UOX+1% Be. *21 $\rho_0 = 2960 \text{ кг/м}^3$, $d_3 = 12 \text{ мкм}$, UOX+2% Be. *22 $\rho_0 = 2920 \text{ кг/м}^3$, $d_3 = 10 \text{ мкм}$, UOX+0,2% Al₂O₃+0,1% SiO₂. *23 $d_3 = 4 \text{ мкм}$, UOX+0,4% Al₂O₃+0,1% SiO₂. *24 $\rho_0 = 2900 \text{ кг/м}^3$, $d_3 = 5 \text{ мкм}$, $\Delta V/V_0 = 5\%$. *25 $\rho_0 = 2600 \text{ кг/м}^3$, $d_3 = 5 \text{ мкм}$, $\Delta V/V_0 = 3\%$. *26 $\rho_{\text{отн}} = 95\%$, $T_{\text{изм}} = -293 \text{ К}$. *27 $\rho_{\text{отн}} = 95\%$, $T_{\text{изм}} = 673 \text{ К}$. *28 $\rho_{\text{отн}} = 83\%$, $T_{\text{изм}} = -293 \text{ К}$. *29 $\rho_{\text{отн}} = -83\%$, $T_{\text{изм}} = 673 \text{ К}$. *30 Спеченные, $d_3 = 4-6 \text{ мкм}$. *31 Спеченные, $d_3 = 40-200 \text{ мкм}$. *32 Кварцевое стекло.

11. ВЛИЯНИЕ ОБЛУЧЕНИЯ НА ТВЕРДОСТЬ

| $\Phi_{\text{бн}} \times 10^{24} \text{ 1/m}^2$ | $T_{\text{обл}}, \text{ К}$ | $\Delta H/H_0, \%$ | $H_0, \text{ ГПа}$ | Примечание |
|---|-----------------------------|--------------------|--------------------|--|
| BeO [430, 431] | | | | |
| 1 | 373 | +25 | 10,8 | $\rho_0 = 2900 \text{ кг/m}^3, d_3 = 20 \div 50 \text{ мкм}$ |
| 2 | 373 | + (27—45) | 10,8 | По Кнунпу при нагрузке |
| 4 | 373 | + (32—41) | 10,8 | 0,981 Н |
| 6 | 373 | + (32—41) | 10,8 | |
| 0,3 | 373 | +13 | 11 | $d_3 = 18 \text{ мкм } \rho_{\text{отн}} = 97\%$ |
| 0,3 | 373 | +19,5 | 11,2 | $d_3 = 30 \text{ мкм } \text{при нагрузке } 0,981 \text{ Н}$ |
| 0,3 | 373 | +30 | 11,6 | $d_3 = 50 \text{ мкм}$ |
| 0,8 | 373 | +18 | 10,8 | $d_3 = 8 \text{ »}$ |
| 0,8 | 373 | +24,5 | 10,9 | $d_3 = 12 \text{ »}$ |
| 0,8 | 373 | +35 | 11 | $d_3 = 20 \text{ »}$ |
| 2,0 | 373 | >+25 | — | $d_3 = 5 \text{ »}$ |
| 2,0 | 373 | +47 | 10,9 | $d_3 = 14 \text{ »}$ |
| MgO [432] | | | | |
| 0,4 | 473 | +10 | — | Монокристаллы |
| Al₂O₃ [413, 433] | | | | |
| 1,2 | 343 | +17 | — | Монокристаллы |
| 0,19 | 473 | +6 | 17 | |
| 0,9 | 473 | +2 | 17 | Микролит, + 0,5% MgO |
| SiO₂ [418] | | | | |
| 0,5 | 343 | -38 | 7,85 | Кварц, поликристаллы |
| 5,0 | 343 | -50 | 7,85 | По Кнунпу при нагрузке 0,981 Н |
| Форстерит [433] | | | | |
| 0,19 | 473 | -3 | 7,8 | |
| 0,9 | 473 | 0 | 7,8 | |
| 2,0 | 473 | -10,5 | 7,8 | — |

12. РАДИАЦИОННОЕ ИЗМЕНЕНИЕ ЭЛЕКТРИЧЕСКИХ СВОЙСТВ

| Оксисел | $T_{обл}$, К | $T_{изм}$, К | До облучения | В процессе или после облучения | | Примечание |
|-------------------------------------|---------------------------|---------------------------|--|--|--|---|
| | | | | 5 | 6 | |
| <i>Удельная проводимость, См/м</i> | | | | | | |
| BeO | 973 | 1073 | $3 \cdot 10^{-7}$ | $3 \cdot 10^{-6}$ | | После облучения флюенсом $\Phi_{6n} = 7 \cdot 10^{24} 1/m^2$ Перед измерением облученный образец был отожжен при 1273 K [409] |
| Al ₂ O ₃ | 333 400 500 1000 | 333 400 500 1000 | $5 \cdot 10^{-12}$ $1 \cdot 10^{-10}$ $1 \cdot 10^{-9}$ $1 \cdot 10^{-5}$ | $1 \cdot 10^{-9}$ $1,5 \cdot 10^{-9}$ $3 \cdot 10^{-9}$ $1 \cdot 10^{-6}$ | | В процессе облучения в реакторе при мощн. ности 6 MBt/m ³ образцов, напыленных плазменным методом, $\rho_{отн} = 85\%$ [434] |
| <i>Удельное сопротивление, Ом·м</i> | | | | | | |
| BeO | 1173 | 773 | — | Υ уменьшилось в $10^2 - 10^3$ раза | $8 \cdot 10^7$ | После облучения флюенсом $\Phi_{6n} = 2 \cdot 10^{24} 1/m^2$, BeO + 0,6% CaO, [409] |
| SiO ₂ | 433 | 433 | 10^{12} | | $1 \cdot 10^{10}$ | При облучении, плотность потока $I_{Th} =$ $= 8 \cdot 10^{16} 1/(m^2 \cdot c)$ |
| ZrO ₂ | 383 500 667 | 383 500 667 | $4 \cdot 10^6$ $5 \cdot 10^4$ $1,6 \cdot 10^2$ | | $1,1 \cdot 10^5$ $1,6 \cdot 10^4$ $1,6 \cdot 10^2$ | В тех же условиях, но после набора фло- енса $\Phi_{7n} = 1 \cdot 10^{22} 1/m^2$. Кварц [435] |

| | | | | | |
|-----------------------------|-----|-----|-------------------|------------------|--|
| Кордиерит | 383 | 383 | $6 \cdot 10^{10}$ | $1,6 \cdot 10^8$ | В процессе облучения в реакторе. Плотность потока нейтронов $I_n = 1,3 \cdot 10^{16} \text{ 1/(м}^2 \cdot \text{с)}$ [436] |
| | 500 | 500 | $9 \cdot 10^7$ | $3,2 \cdot 10^7$ | |
| Муллито-корундовая керамика | 667 | 667 | $2 \cdot 10^4$ | $2 \cdot 10^4$ | В процессе облучения в реакторе. Плотность потока нейтронов $I_n = 1,3 \cdot 10^{16} \text{ 1/(м}^2 \cdot \text{с)}$ [436] |
| | 556 | 556 | $1 \cdot 10^7$ | $1,8 \cdot 10^6$ | |

Сопротивление, Ом

| | | | | | |
|-------------------------|-----|-----|-------------------|-------------------|--|
| Al_2O_3 | 523 | — | $2 \cdot 10^{12}$ | $2 \cdot 10^{12}$ | После облучения флюенсом $\Phi_{\text{тн}} = 2 \cdot 10^{22} \text{ 1/m}^2$ ($\Phi_{\text{тн}}$ — флюенс тепловых нейтронов) |
| | 673 | — | 10^{10} | 10^8 | |
| MgO | — | — | 10^{12} | 10^7 | В процессе облучения нейtronами [418]. В процессе облучения протонами $E_p = 8 \cdot 10^{-17} \text{ Дж}$, сила тока $I_n = 0,3 \text{ мА}$ [418] |
| | 303 | 303 | — | — | |
| | 673 | — | — | — | После облучения электронами $E_e = 4 \cdot 10^{-13} \text{ Дж}$ [418]. После облучения флюенсом $\Phi_n = 3,5 \cdot 10^{22} \text{ 1/m}^2$ [418] |
| | — | — | $7 \cdot 10^{10}$ | 10^6 | |

Диэлектрическая проницаемость

| | | | | | |
|-------------------------|-----|-----|---------------|---------------|---|
| Al_2O_3 | 323 | 293 | $9,2 \pm 0,1$ | $9,0 \pm 0,1$ | Измерения проведены на поликристаллах облученных флюенсами $2 \cdot 10^{21}, 6 \cdot 10^{21}, 2 \cdot 10^{22}$ и $5 \cdot 10^{22} \text{ Па},$ частота $f_{\text{изм}} = 1 \text{ МГц}$ [417] |
| | 323 | 293 | $9,2 \pm 0,1$ | $8,9 \pm 0,1$ | |
| | 323 | 293 | $9,2 \pm 0,1$ | $8,4 \pm 0,1$ | |
| | 323 | 293 | $9,2 \pm 0,1$ | $8,3 \pm 0,1$ | |

| | 1 | 2 | 3 | 4 | 5 | 6 |
|-------------------------|---------------------------------|---------------------------------|---|--|--|---|
| SiO_2 | 323 323 323 | 293 293 293 | $3,8 \pm 0,1$ $3,8 \pm 0,1$ $3,8 \pm 0,1$ | $3,7 \pm 0,1$ $3,6 \pm 0,1$ $3,6 \pm 0,1$ | <i>Диэлектрические потери, $\operatorname{tg}\delta$</i> | |
| Al_2O_3 | 323 323 323 323 323 | 293 293 293 293 293 | $(0,3 \pm 0,1) \cdot 10^{-4}$ $(0,3 \pm 0,1) \cdot 10^{-4}$ $(0,3 \pm 0,1) \cdot 10^{-4}$ $(0,3 \pm 0,1) \cdot 10^{-4}$ $(0,3 \pm 0,1) \cdot 10^{-4}$ | $(0,5 \pm 0,1) \cdot 10^{-4}$ $(4,0 \pm 0,5) \cdot 10^{-4}$ $(2,0 \pm 0,25) \cdot 10^{-4}$ $(1,0 \pm 0,25) \cdot 10^{-4}$ $(1,0 \pm 0,25) \cdot 10^{-4}$ | Измерения проведены на поликристаллах, облученных флюенсами: $2 \cdot 10^{21}$, $6 \cdot 10^{21}$, $2 \cdot 10^{23}$ и $5 \cdot 10^{23} \text{ 1/m}^2$; частота $f_{\text{изм}} = 1 \text{ МГц}$ [417] | |
| SiO_2 | 323 323 323 323 323 | 293 293 293 293 293 | $0,2 \pm 0,1 \cdot 10^{-4}$ $(0,2 \pm 0,1) \cdot 10^{-4}$ $(0,2 \pm 0,1) \cdot 10^{-4}$ $(0,2 \pm 0,1) \cdot 10^{-4}$ $(0,2 \pm 0,1) \cdot 10^{-4}$ | $(0,4 \pm 0,1) \cdot 10^{-4}$ $(6 \pm 0,5) \cdot 10^{-4}$ $(14 \pm 1) \cdot 10^{-4}$ $(18 \pm 1) \cdot 10^{-4}$ | Измерения проведены на образцах кварца, облученных флюенсами: $2 \cdot 10^{21}$, $6 \cdot 10^{21}$, $2 \cdot 10^{23}$ и $5 \cdot 10^{23} \text{ 1/m}^2$; частота $f_{\text{изм}} = 1 \text{ МГц}$ [417] | |
| Al_2O_3 | 323 | 293 | $5,6 \cdot 10^8$ | $2,3 \cdot 10^6$ | <i>Диэлектрическая прочность, B/μ</i> | |
| BeO | 1173 | 773 | $2,63 \cdot 10^{-19}$ | $4,32 \cdot 10^{-19}$ | <i>Энергия активации проводимости, $D_{\text{ж}}$</i> | |
| | | | | | После облучения γ -лучами. Поглощенная доза $D_{\text{п}} = 10^7 \text{ Дж/кг}$. Образцы спеченные, состав: $\text{Al}_2\text{O}_3 + 2\% \text{ SiO}_2$ [417] | |
| | | | | | После облучения нейтронами, флюенс $\Phi_{\text{фн}} = 2 \cdot 10^{24} \text{ 1/m}^2$. Образцы холдинпрессованые, состав: $\text{BeO} + 0,6\% \text{ CaO}$ [409] | |

13. ВЛИЯНИЕ ОБЛУЧЕНИЯ НА ОПТИЧЕСКИЕ СВОЙСТВА

| Оксидел | $\Phi_{\text{бн}} \times 10^{24}, \text{1/m}^2$ | $T_{\text{обл}}, \text{K}$ | До облучения | После облучения | Примечание |
|--------------------------------|---|----------------------------|--------------|------------------------|---|
| <i>Цвет</i> | | | | | |
| BeO | 3,7 | 373 | Бесцветный | Красно-бу- рый | Монокристалл [437] |
| | 0,08 | 373 | » | Светло-ко- ричневый | Монокристалл [409] |
| | 6,5 | 373 | » | Почти чер- ный | [409] |
| MgO | 2,2 | 673 | Белый | Фиолетово- черный | $\rho_{\text{отн}} = 95,5\%$ [415] |
| | 2,2 | 673 | » | Серо-черный | $\rho_{\text{отн}} = 83\%$ [415] |
| Al ₂ O ₃ | 0,15 | 303 | Бесцветный | Темно-ко- ричневый | Сапфир [439] |
| <i>Коэффициент преломления</i> | | | | | |
| | | | n_{p_0} | n_{q_0} | n_p |
| BeO | 10 | 373 | 1,719 | 1,733 | 1,698 |
| | 15 | 393 | 1,719 | 1,733 | 1,700 |
| | 18 | 393 | 1,719 | 1,733 | 1,694 |
| | 28 | 393 | 1,719 | 1,733 | 1,694 |
| | 11 | 713 | 1,719 | 1,733 | 1,709 |
| | 21 | 1100 | 1,719 | 1,733 | 1,709 |
| | 23 | 1217 | 1,719 | 1,733 | 1,709 |
| | 21 | 1238 | 1,719 | 1,733 | 1,709 |
| | | | n_q | | |
| SiO ₂ | 0,5 | 323 | 1,545 | 1,555 | 1,530 |
| | 1,0 | 323 | 1,545 | 1,555 | 1,500 |
| | 2,0 | 323 | 1,545 | 1,555 | 1,469 |
| | 4,0 | 323 | 1,545 | 1,555 | 1,4675 |
| | 0,1 | 323 | | 1,460 | 1,465 |
| | 0,5 | 323 | | 1,460 | 1,470 |
| | 1,0 | 323 | | 1,460 | 1,469 |
| | 4,0 | 323 | | 1,460 | 1,467 |
| | | | | | Kварц. После об- лучения $n_p = n_q$ [418] |
| | | | | | Аморфные, $n_p = n_q$ [418] |

14. ЗАПАСЕННАЯ ЭНЕРГИЯ

| $\Phi_{\text{бн}} \times 10^{24} \text{ 1/m}^2$ | $T_{\text{обл}}, \text{ К}$ | $E_{\text{з}}, \text{ кДж/кг}$ | $\Phi_{\text{бн}} \times 10^{24} \text{ Па}$ | $T_{\text{обл}}, \text{ К}$ | $E_{\text{з}}, \text{ кДж/кг}$ |
|---|-----------------------------|--------------------------------|--|-----------------------------|--|
| | | BeO [408] | | 2,2 | 673 |
| 0,06 | 373 | $13,4 \pm 2,9$ | 4,8 | 648 | $85,3 \pm 50$ |
| 0,3 | 373 | $30,1 \pm 9,2$ | 7,5 | 797 | $60,2 \pm 36,8$ |
| 0,4 | 373 | $33,4 \pm 16,3$ | 10 | 813 | $219 \pm 18,4$ |
| 0,7 | 373 | 53,4 | | | |
| 1,4 | 373 | 109—142 | | | MgO [408] |
| 2,8 | 373 | 205—268 | 0,8 | 343 | 71,8 |
| 4,2 | 373 | 293—368 | | | Al₂O₃ [408] |
| 2,2 | 673 | 60—113 | 1,2 | 343 | $104 \pm 8,4$ |

15. ВНУТРЕННЕЕ ТРЕНИЕ

| $\Phi_{\text{бн}} \times 10^{24} \text{ 1/m}^2$ | $T_{\text{обл}}, \text{ К}$ | Логарифмический декремент затухания | | $\Phi_{\text{бн}} \times 10^{24} \text{ Па}$ | $T_{\text{обл}}, \text{ К}$ | Логарифмический декремент затухания | |
|---|-----------------------------|-------------------------------------|---------------------|--|-----------------------------|-------------------------------------|---------------------|
| | | до облучения | после облучения | | | до облучения | после облучения |
| BeO [418] | | | | | | | |
| 1,24 | 373 | 0,009 | 0,028* ¹ | 1,30 | 373 | 0,002 | 0,003* ² |
| 1,61 | 373 | 0,004 | 0,006 | 1,78 | 373 | 0,003 | 0,087 |
| 1,75 | 373 | 0,003 | 0,125 | 1,82 | 373 | 0,002 | 0,125 |
| 1,96 | 373 | 0,006 | 0,102 | 2,12 | 373 | 0,003 | 0,120 |
| 2,00 | 373 | 0,004 | 0,090 | 2,17 | 373 | 0,001 | 0,086 |
| 2,09 | 373 | 0,002 | 0,172 | 2,25 | 373 | 0,002 | 0,139 |

*¹ Сорт порошка АОХ. *² Сорт порошка UOX+0,5% MgO.

16. РАДИАЦИОННЫЕ ДЕФЕКТЫ

| $\Phi_{\text{бн}} \times 10^{24}$ 1/m ² | $T_{\text{обл}}$ K | Характеристика дефектов | |
|---|-----------------------|---|--|
| | | 1 | 2 |
| BeO | | | |
| 0,28 | 373 | $1,0 \cdot 10^{26}$ деф/m ³ | Плотность атомных дефектов [деф] решетки (вакансий или внедренных атомов), рассчитанная по данным измерений рассеяния тепловых нейтронов в предположении, что все дефекты являются одиночными [441] |
| 0,58 | 373 | $4,8 \cdot 10^{26}$ деф/m ³ | |
| 1,8 | 373 | $8,0 \cdot 10^{26}$ деф/m ³ | |
| 6,8 | 373 | $4,1 \cdot 10^{27}$ деф/m ³ | |
| 0,65 | 373 | $5 \cdot 10^{22}$ ск/m ³ | Плотность скоплений [ск] дефектов, определенная методом просвечивающей электронной микроскопии [409] |
| 1,8 | 373 | $5 \cdot 10^{22}$ » | |
| 3,0 | 373 | $3 \cdot 10^{22}$ » | |
| 0,65 | 373 | 2 нм | Средний диаметр скоплений, определенный методом просвечивающей электронной микроскопии [409] |
| 1,8 | 373 | 3 » | |
| 3,0 | 373 | 7 » | |
| 15 | 373 | 7 » | |
| 1 | 373 | $1,5 \cdot 10^{24}$ ск/m ³ | Плотность скоплений точечных дефектов, рассчитанная по данным измерений теплопроводности при низких температурах в предположении, что скопления являются плоскими [409] |
| 2 | 373 | $1,5 \cdot 10^{24}$ ск/m ³ | |
| 10 | 373 | $2,5 \cdot 10^{24}$ ск/m ³ | |
| 2 | 373 | 7—10 нм | Средний диаметр скоплений, определенный методами просвечивающей электронной микроскопии и рентгенографического анализа. При повышенных температурах облучения скопления представляют собой дислокационные петли внедренного типа [420] |
| 2 | 373 | 20—25 » | |
| 2 | 1073 | 30—40 » | |
| 3 | 1273 | | Дислокационные петли внедренного типа в базисных плоскостях {0001} средним диаметром 40—50 нм. Дислокационные петли внедренного типа в призматических плоскостях {1120} с вектором Бюргерса $a/3 <11\bar{2}0>$ средним диаметром 50—60 нм. Число базисных петель намного превышает число призматических петель |
| 11 | 1273 | | С увеличением степени облучения до $1,1 \cdot 10^{25}$ 1/m ² средний диаметр базисных дислокационных петель увеличивается до 100 нм, призматических — до 100—200 нм |

| 1 | 2 | 3 |
|------------------------------------|------|--|
| 25 | 1273 | При дальнейшем повышении степени облучения число призматических дислокационных петель уменьшается и при флюенсе $2,5 \cdot 10^{25} \text{ 1/m}^2$ они полностью исчезают. Появляются трубноподобные пустоты с правильной гексагональной огранкой длиной до 300 нм и диаметром до 100 нм. Определено методом просвечивающей электронной микроскопии [442] |
| MgO | | |
| 1 | 373 | Концентрация вакансий (междоузельных атомов) составляет $\sim 0,19\%$. Одна вакансия уменьшает объем кристалла на $\sim 0,4 v$, где v — атомный объем, один внедренный атом вызывает увеличение объема кристалла на $\sim 3 v$. Рассчитано по данным измерений плотности и периодов кристаллической решетки [412] |
| 0,3 | 423 | Плотность скоплений [ск] точечных дефектов составляет 10^{23} — $4 \cdot 10^{23} \text{ ск}/\text{м}^3$. Средний диаметр скоплений 2—5 нм. Интегральная площадь скоплений $2 \cdot 10^6 \text{ 1/m}$. Отжиг при температурах выше 1073 К вызывает увеличение размеров скоплений и снижение их плотности до $5 \cdot 10^{22} \text{ ск}/\text{м}^3$. При этом скопления разрешаются как дислокационные петли внедренного типа в плоскостях {110} с вектором Бюргерса в направлении <110> |
| 4,3 | 423 | С увеличением флюенса нейтронов до $4,3 \cdot 10^{24} \text{ Па}$ размеры и плотность скоплений возрастают настолько, что они начинают взаимодействовать, в результате чего образуется сетка дислокаций. Определено методом просвечивающей электронной микроскопии [443] |
| 4,5 | 373 | Блочная субструктура, образованная в результате взаимодействия дислокационных петель. Размер блоков примерно одинаков по направлениям <100><110> и <111> и составляет ~ 50 нм. Определено методом гармонического анализа рентгеновских дифракционных линий [444] |
| Al₂O₃ | | |
| 0,2 | 423 | Средний диаметр скоплений точечных дефектов 1,5 нм. |
| 1—4 | 423 | 2—10 нм |
| 1—5 | 423 | 5—7,5 нм. Дислокационные петли в плоскостях {1010} диаметром от 5 до 60 нм |

| 1 | 2 | 3 |
|---|------|---|
| 1 | 823 | Дислокационные петли внедренного типа в призматических {1010} и базисных {0001} плоскостях диаметром 15—50 нм |
| 4 | 1273 | Дислокационные петли диаметром 30—50 нм; поры диаметром 5—20 нм, плотностью 10^{20} — 10^{21} пор/ м^3 [408] |

17. РАДИАЦИОННАЯ СТОЙКОСТЬ

| $\Phi_{\text{бн}} \times 10^{24}$ $1/\text{м}^2$ | $T_{\text{обл}}$ К | Характеристика образцов и характер повреждения |
|---|-----------------------|--|
| 1 | 2 | 3 |

BeO

| | | |
|----------|-------------|--|
| 2,5 | 348— 373 | Горячепрессованные, $\rho_{\text{отн}}=97\div98\%$, $d_3=12\div15$ мкм Сильное микрорастрескивание по границам зерен |
| 5 | 773— 973 | Сильное микрорастрескивание по границам зерен. Резкое увеличение открытой пористости [409] |
| 5 | 348— 373 | Холоднопрессованные, $\rho_{\text{отн}}=96\div98\%$, $d_3=8\div12$ мкм Заметное микрорастрескивание |
| 9—12 | 773— 973 | Заметное микрорастрескивание [409] |
| 10 | 348— 373 | Холоднопрессованные, $\rho_{\text{отн}}=95\div97\%$, $d_3=2\div3$ мкм Микрорастрескивание не обнаружено |
| 14 | 348— 373 | Сильное микрорастрескивание [409] |
| | | Холоднопрессованные, $\rho_0=2700\div2920$ кг/ м^3 , $\alpha_3=20\div72$ мкм |
| 10 20 | 373 373 | Заметное макрорастрескивание Разрушение с образованием порошка [409] |
| | | Холоднопрессованные, $\rho_0=2700$ кг/ м^3 , $d_3=20$ мкм |
| 12 | 923 | Незначительное разрушение |
| 20 | 1373 | То же |
| 20—35 | 923 | Значительное разрушение [409] |

| 1 | 2 | 3 |
|----------------------------------|---------------------------------|--|
| | | Холоднопрессованные, $\rho_0 = 2700 \text{ кг}/\text{м}^3$, $d_3 = 34 \div 60 \text{ мкм}$ |
| 17 19—38 35 | 923 1373 923 | Значительное разрушение То же Разрушение с образованием порошка [409] |
| | | Холоднопрессованные, $\rho_0 = 2900 \text{ кг}/\text{м}^3$, $d_3 = 24 \text{ мкм}$ |
| 19—26 20—33 25 | 923 1373 923 | Значительное разрушение То же Разрушение с образованием порошка [409] |
| | | Холоднопрессованные, $\rho_0 = 2900 \text{ кг}/\text{м}^3$, $d_3 = 72 \text{ мкм}$ |
| 14—30 14—16 16—36 | 923 1373 1373 | Разрушение с образованием порошка Незначительное разрушение Значительное разрушение [409] |
| | | Горячепрессованные, $\rho_0 = 2970 \div 3000 \text{ кг}/\text{м}^3$ |
| 0,25 0,6 0,9 2,0 2,2 | 373 373 373 373 673 | Потеря прочности при сжатии 25% Потеря прочности при сжатии 75% Сильное микрорастрескивание, потеря прочности 97% Разрушение с образованием порошка Потеря прочности при сжатии 60—75% [415] |
| | | Холоднопрессованные, $\rho_0 = 2900 \text{ кг}/\text{м}^3$, $d_3 = 20 \text{ мкм}$ |
| 2,0 4,0 | 373 373 | Потеря прочности при изгибе 63—85% Потеря прочности при изгибе 95% [415] |
| | | Холоднопрессованные, +0,6% CaO, $\rho_0 = 2860 \text{ кг}/\text{м}^3$, $d_3 = 33 \div 42 \text{ мкм}$ |
| 2,0 | 1173 | Потеря прочности при сжатии 41—91% [409] |
| | | Литые, $\rho_{отн} = 97\%$, $d_3 = 30 \div 40 \text{ мкм}$ |
| 1,0 4,0 | 373 373 | Начало микрорастрескивания Разрушение с образованием порошка [445] |
| | | Холоднопрессованные, +0,25% Al₂O₃, $\rho_{отн} = 93,5\%$, $d_3 = 35 \text{ мкм}$ |
| 5 7 10 | 373 373 373 | Микрорастрескивание по границам зерен Сильное разрушение Полное разрушение [445] |
| | | Литые, +0,5% Al₂O₃, $\rho_{отн} = 93,5\%$, $d_3 = 35 \text{ мкм}$ |
| 5 20 | 373 373 | Начало микрорастрескивания Разрушение образцов на отдельные части [445] |

| 1 | 2 | 3 |
|-----------|------------|--|
| | | Горячепрессованные, $\rho_{отн}=95,5\div98,5\%$, $d_3=3\div5$ мкм |
| 40 | 373 | Разрушение с образованием порошка [445] |
| | | Литые, +3% Al_2O_3 , SiO_2 , CaO ; $\rho_{отн}=96\%$, $d_3=80\div100$ мкм |
| 3 | 373 | Микрорастрескивание не обнаружено [445] |
| | | Горячепрессованные, + 1% Be, $\rho_0=2950$ кг/м ³ , $d_3=9$ мкм |
| 1, 1,9 | 373 373 | Микрорастрескивание, нет потери прочности Потеря прочности 29% [428] |
| | | Горячепрессованные, + 2% Be, $\rho_0=2960$ кг/м ³ , $d_3=12$ мкм |
| 1 2 | 373 373 | Микрорастрескивание, нет потери прочности Потеря прочности 71% [428] |
| | | Холоднопрессованные, +0,2% Al_2O_3 , +0,1% SiO_2 , $\rho_0=2920$ кг/м ³ , $d_3=10$ мкм |
| 2 | 373 | Начало микрорастрескивания |
| 2,9 | 373 | Нет потери прочности |
| 3,6 | 373 | Потеря прочности 17—23% [428] |
| | | Холоднопрессованные, $\rho_{отн}=97\%$ |
| 0,3 | 373 | $d_3=50$ мкм, начало микрорастрескивания |
| 0,8 | 373 | $d_3=25$ мкм, начало микрорастрескивания |
| 2,2 | 373 | $d_3=16$ мкм, начало микрорастрескивания [431] |
| | | Холоднопрессованные, $d_3=5$ мкм |
| 90 | 1273 | $\rho_0=2900$ кг/м ³ , нет потери прочности |
| 90 | 1273 | $\rho_0=2600$ кг/м ³ , потеря прочности 20—40% [411] |

MgO [408]

| | | |
|------|-----|--|
| 1—10 | 373 | Монокристаллы, поликристаллы Охрупчивание, нет признаков разрушения |
|------|-----|--|

Al₂O₃

| | | |
|----|-----|------------------------------|
| 5 | 373 | Монокристаллы, поликристаллы |
| 11 | 523 | Нет признаков разрушения |
| 11 | 748 | » » » [408] |

| 1 | 2 | 3 |
|-----|-----|--|
| | | Выдавленные, пористость 31%; прокатанные, пористость 25% |
| 1,4 | 973 | Разрушение [408] |
| | | Прессованные, пористость 8% |
| 5,6 | 973 | Нет растрескивания |
| 10 | 973 | Растрескивание [408] |
| | | Спеченные, $\rho_{отн}=99,8\%$ |
| 23 | 873 | Микрорастрескивание |
| 47 | 873 | Макрорастрескивание [414] |

ГЛАВА VIII

ХИМИЧЕСКИЕ И КАТАЛИТИЧЕСКИЕ СВОЙСТВА

1. ХИМИЧЕСКИЕ СВОЙСТВА

| Наименование окисла | Температура, °C | Характер взаимодействия |
|--------------------------------|-----------------|---|
| 1 | 2 | 3 |
| H₂O [1] | | |
| Алюминия фосфид | — | Взаимодействует с выделением фосфина |
| Аргон, криптон, ксенон | — | Взаимодействует при сжатии до 15 МПа над переохлажденной водой с образованием кристаллоидратов $x \cdot 6\text{H}_2\text{O}$ |
| Бром | 20 | Взаимодействует по реакции $\text{H}_2\text{O} + \text{Br}_2 = \text{HOBr} + \text{HBr}$ |
| Висмут хлорид | 100 | Взаимодействует с образованием хлор-окиси висмута BiOCl |
| Гидриды щелочных металлов | 20 | Взаимодействует по реакции $\text{MeH} + \text{H}_2\text{O} = \text{MeOH} + \text{H}_2$ |
| Кальция фосфид | — | Взаимодействует с выделением фосфина |
| Кислород в атомарном состоянии | — | Взаимодействует с образованием перекиси |
| Метан | 760—800 | Взаимодействует на катализаторе (Ni или Co) по реакции $2\text{H}_2\text{O} + \text{CH}_4 = \text{CO}_2 + 4\text{H}_2$ |
| » | 1200—1400 | Взаимодействует по реакции $\text{H}_2\text{O} + \text{CH}_4 = \text{CO} + 3\text{H}_2$ |
| Окислы кислотные | — | Взаимодействуют, растворяясь с образованием кислот |
| Окислы основные | — | Взаимодействуют, растворяясь с образованием щелочей |
| Соли | — | Взаимодействуют, растворяясь с образованием гидратов с разным количеством молекул воды |
| Сурьмы трехокись | 20 | Взаимодействует с образованием хлорокиси сурьмы SbOCl |
| Углерода окись | 450 | Взаимодействует на железном катализаторе по реакции $\text{H}_2\text{O} + \text{CO} = \text{CO}_2 + \text{H}_2$ |
| Фосфор | — | Взаимодействует при нагревании под давлением в присутствии катализатора по реакции $6\text{H}_2\text{O} + 2\text{P} = 2\text{HPO}_3 + 5\text{H}_2$ |
| Фтор | 20 | Взаимодействует с выделением атомарного кислорода, молекул O_2 , O_3 , H_2O и F_2O |

| 1 | 2 | 3 |
|--------------------------------|------------------------------------|---|
| Хлор | 20 | Взаимодействует по реакции $H_2O + Cl_2 = HOCl + HCl$ |
| » | 100 | Взаимодействует по реакции $2H_2O + 2Cl_2 = 4HCl + O_2$ |
| | H_2O_2 [1; 448, т. 1; 450, т. 1] | |
| Гидроокиси металлов | — | Взаимодействуют с образованием перекисей $H_2O_2 + Me(OH)_2 = MeO_2 + 2H_2O$ |
| Гидроокиси щелочных металлов | — | Способствуют восстановительному распаду по схеме $H_2O_2 = 2H + O_2$ |
| Железо сернистое закисное | — | Взаимодействует, окисляясь до сульфата трехвалентного железа |
| Золота соли (растворы) | — | Взаимодействуют с выделением металлического золота |
| Иод + аммиак (10%-ный раствор) | — | Взаимодействует с образованием иодистого аммония |
| Калий марганцевокислый | — | Взаимодействует в кислой среде по реакции $5H_2O_2 + 2KMnO_4 + 3H_2SO_4 = K_2SO_4 + 2MnSO_4 + 5O_2 + 8H_2O$ |
| Калий сернокислый | — | Растворяется в количестве 96,2 г на 100 г H_2O_2 |
| Калий хлористый | — | Растворяется в количестве 63,3 г на 100 г H_2O_2 |
| Кислоты (растворы) | — | Взаимодействуют, вызывая окислительный распад по схеме $H_2O_2 = H_2O + 1/2O_2$ |
| Кислота азотистая | — | Взаимодействует, окисляясь до азотной кислоты |
| Кислота иодистоводородная | — | Взаимодействует с образованием свободного иода |
| Кислота мышьяковистая | — | Взаимодействует, окисляясь до мышьяковой кислоты |
| Кислота сернистая | — | Взаимодействует, окисляясь до серной кислоты |
| Кислота хлорсульфоновая | — | Взаимодействует с образованием пероксимоноглеродной кислоты: $H_2O_2 + HSO_3Cl = H_2SO_5 + HCl$ или надсерной кислоты $H_2S_2O_8$ |
| Свинец сернистый | — | Взаимодействует, окисляясь до сернокислого свинца |
| Натрий азотно-кислый | — | Растворяется в количестве 30,9 г на 100 г H_2O_2 |
| Натрий сернокислый | 0 | Растворяется в количестве 26,7 г на 100 г H_2O_2 |

| 1 | 2 | 3 |
|--|----------|---|
| Натрий хлористый | 0 | Растворяется в количестве 20,5 г на 100 г H_2O_2 |
| Озон | — | Взаимодействует по реакции $H_2O_2 + O_3 = H_2O + 2O_2$ |
| Ртуть окись | — | Взаимодействует, восстанавливаясь до металлической ртути |
| Серебра окись | — | Взаимодействует, вызывая восстановительный распад по реакции $H_2O_2 + Ag_2O = 2Ag + H_2O + O_2$ |
| Серебра окись | — | Взаимодействует, восстанавливаясь до металлического серебра |
| Свинец сернистый | — | Взаимодействует, окисляясь до сернокислого свинца |
| D_2O [1] | | |
| Алюминий сернистый | — | Взаимодействует с образованием сернистого дейтерия |
| Иод + фосфор | — | Взаимодействует по реакции $4D_2O + P + 5/2I_2 = 5DI + D_3PO_4$ |
| Кремний хлористый | — | Взаимодействует с образованием хлористого дейтерия |
| Магний хлористый | 600 | То же |
| Магний, натрий | — | Взаимодействует с выделением дейтерия |
| Магния нитрид | 400 | Взаимодействует с образованием дейтероаммиака |
| Серный ангидрид | — | Взаимодействует с образованием дейтеросерной кислоты |
| Фосфор трехбромистый | — | Взаимодействует по реакции $3D_2O + PBr_3 = 3DBr + D_3PO_3$ |
| Фосфорный ангидрид | — | Взаимодействует с образованием дейтероортофосфорной кислоты |
| Li_2O [1; 446 т. 1; 448 т. 1; 449; 450 т. 2] | | |
| Алюминий, кремний, магний | 900—1100 | Взаимодействует в присутствии окиси кальция по реакциям $3Li_2O + CaO + 2Al = 6Li + CaO \cdot Al_2O_3$ и $2Li_2O + 2CaO + Si = 4Li + 2CaO \cdot SiO_2$ |
| Воздух | — | Взаимодействует с образованием карбоната лития |
| Вода | — | Взаимодействует с образованием гидроокиси |
| Водород | — | Взаимодействует при нагревании с образованием $LiOH$ и LiH |
| Углерод, углерода окись | — | Взаимодействуют, слабо восстанавливая |
| Оксиды металлов | — | Взаимодействуют с образованием эвтектических сплавов |

| 1 | 2 | 3 |
|---|------|---|
| BeO [446 т. 1; 448 т. 1; 449] | | |
| Бор | — | Взаимодействует при высокой температуре с образованием борида |
| Бром и иод | — | Не взаимодействуют |
| Вода | — | » » |
| Гелий (жидкий) | 1000 | » » |
| Гидроокиси щелочных металлов (растворы) | — | Не взаимодействуют |
| Гидроокиси щелочных металлов (расплавы) | — | Взаимодействуют с образованием бериллатов Mg_2BeO_2 |
| Калий дисульфат | — | Взаимодействует по реакции $BeO + 2KHSO_4 = BeSO_4 + K_2SO_4 + H_2O$ |
| Кислоты (растворы) | — | Не взаимодействуют |
| Кислота фтористоводородная | — | Взаимодействует с образованием фторида |
| Кремний | — | Взаимодействует при высокой температуре с образованием силаныда |
| Углерод | 1900 | Взаимодействует с образованием карбида Be_2C |
| Углерод четыреххлористый | — | Взаимодействует с образованием безводного хлорида |
| Фтор и фториды | 20 | Взаимодействуют |
| Хлор | 800 | Взаимодействует в присутствии угля $BeO + Cl_2 + C = BeCl_2 + CO$ |
| B_2O_3 [1; 448, т. 1; 450, т. 2; 451] | | |
| Азот | 1700 | Взаимодействует в присутствии углерода с образованием нитрида бора |
| Аммиак | 1200 | Взаимодействует в присутствии угля, хлористого аммония, цианамида кальция, амида натрия с образованием нитрида бора |
| Аммоний хлористый | 300 | Взаимодействует с образованием нитрида бора |
| Ангидрид серный | — | Взаимодействует при длительном нагревании с образованием соединения $SO_3 \cdot B_2O_3$ |
| Вода | 20 | Взаимодействует, растворяя с образованием борной кислоты |
| Калий, кальций, натрий цианистые | 2000 | Взаимодействуют с образованием нитрида бора |

| 1 | 2 | 3 |
|---|--------|---|
| Калия тетрафтороборат | 600 | Взаимодействует по реакции $2\text{B}_2\text{O}_3 + \text{KBF}_4 = \text{BF}_3 + \text{KF} \cdot \text{B}_4\text{O}_6$ |
| Кальций хлористый, кальций бромистый | — | Взаимодействуют с образованием хлоро- и бромоборатов кальция |
| Кислота фтористоводородная и фториды металлов | — | Взаимодействуют с образованием BF_3 |
| Натрий хлористый, бромистый, иодистый | 250 | Взаимодействуют по реакции $2\text{B}_2\text{O}_3 + 2\text{NaI} + 1/2\text{O}_2 = \text{Na}_2\text{B}_4\text{O}_7 + \text{I}_2$ |
| Натрия тетрафтороборат + кислота серная | — | Взаимодействуют по реакции $\text{B}_2\text{O}_3 + 6\text{NaBF}_4 + 6\text{H}_2\text{SO}_4 = 8\text{BF}_3 + 6\text{NaHSO}_4 + 3\text{H}_2\text{O}$ |
| Окиси щелочных и щелочноземельных металлов | — | Взаимодействуют с образованием соответствующих боратов |
| Сера, сероводород | 1000 | Не взаимодействуют |
| Сероуглерод | — | Взаимодействует в присутствии углерода с образованием сульфида бора |
| Углерод | 2000 | Взаимодействует с образованием карбida B_4C |
| Фтор | — | Взаимодействует с образованием BF_3 |
| Хлор, бром, иод | 1000 | Не взаимодействуют |
| Хлор, бром | 600 | Взаимодействуют в присутствии углерода с образованием BCl_3 и BBr_3 |
| CO [1; 448, т. 1; 450, т. 1] | | |
| Аммиак | 500 | Взаимодействует в присутствии ThO_2 с образованием цианистого водорода |
| Бром трехфтористый | — | Взаимодействует с образованием карбонилбромфторида COBrF |
| Вода | 20 | Не взаимодействует. При повышенных температурах и давлении взаимодействует с образованием муравьиной кислоты |
| Водяной пар | До 830 | Взаимодействует по реакции $\text{H}_2\text{O} + \text{CO} = \text{CO}_2 + \text{H}_2$ |
| Водород | 250 | Взаимодействует в присутствии никеля по реакции $\text{CO} + 3\text{H}_2 = \text{CH}_4 + \text{H}_2\text{O}$ |
| Воздух, кислород | 700 | Взаимодействует, окисляя до углекислого газа |
| Гидроокиси щелочных металлов (растворы) | 120 | Взаимодействуют при давлении 50 Па с образованием формиатов $M\text{e}(\text{CO}_2\text{H})$ |

| 1 | 2 | 3 |
|---|-----|--|
| Железо, никель, кобальт | — | Взаимодействуют при нагревании с образованием карбонилов металлов |
| Иод пятифтористый | — | Взаимодействует по реакции $3\text{CO} + \text{IF}_5 = \text{COIF} + 2\text{COF}_2$ |
| Иода пятиокись | — | Взаимодействует по реакции $5\text{CO} + \text{I}_2\text{O}_5 = 5\text{CO}_2 + \text{I}_2$ |
| Калий | 80 | Взаимодействует с образованием калийной соли гексаоксибензола $\text{K}_6(\text{CO})_6$ |
| Калий бихромат | — | Взаимодействует в присутствии солей ртути, окисляя |
| Калий марганцевокислый | — | Взаимодействует в присутствии мелкораздробленного серебра, окисляя |
| Кальция карбид | — | Взаимодействует при нагревании с образованием карбоната |
| Кислоты | — | Не взаимодействуют |
| Металлы щелочные, растворенные в аммиаке жидким | — | Взаимодействуют с образованием карбонилов щелочных металлов |
| Медь полухлористая | — | Взаимодействует в солянокислом или аммиачном растворах с образованием $\text{CuCl}\cdot\text{CO}\cdot 2\text{H}_2\text{O}$ |
| Окислы металлов | — | Взаимодействуют при нагревании, восстанавливаясь до металлов |
| Палладия хлорид (раствор) | 20 | Взаимодействует по реакции $\text{CO} + \text{PdCl}_2 + \text{H}_2\text{O} = \text{CO}_2 + \text{Pd} + 2\text{HCl}$ |
| Сера | — | Взаимодействует при нагревании с образованием сероокиси углерода COS |
| Селен | 780 | Взаимодействует с образованием сelenоокиси углерода COSe |
| Соли золота, платины | 20 | Взаимодействуют, восстанавливаясь до металла |
| Соли металлов | — | Взаимодействуют с образованием комплексных соединений |
| Фтор | — | Взаимодействует с образованием четыреххлористого углерода CF_4 или фтороокиси углерода COF_2 |
| Хлор | 20 | Взаимодействует на прямом солнечном свете с образованием хлорокиси углерода COCl_2 |
| Хлор однофтористый | — | Взаимодействует с образованием карбонилхлорфторида COClF |
| Щелочных металлов метилаты | — | Взаимодействуют при нагревании с образованием ацетатов |

| 1 | 2 | 3 |
|--|----------------|--|
| CO₂ [1; 448, т. 1; 450, т. 1] | | |
| Аммиак | 20 | Взаимодействует с образованием карбоминовокислого аммония CO(NH ₂) (ONH ₄) |
| Вода | 20 | Взаимодействует с образованием угольной кислоты |
| Гидроксид щелочных металлов | 20 | Взаимодействуют с образованием углекислых солей |
| Калий, магний, цинк | При нагревании | Взаимодействуют с образованием углекислых солей |
| Углерод | 800 | Взаимодействует с образованием окиси углерода |
| N₂O [1; 447, т. 2; 448, т. 1; 450, т. 1] | | |
| Аммиак | — | Взаимодействует по реакции $3N_2O + 2NH_3 \rightarrow N_2 + 3H_2O$ |
| Вода | 20 | Растворяет 0,629 объема газа в одном объеме воды, химически не взаимодействует |
| Водород | — | Взаимодействует по реакции $N_2O + H_2 \rightarrow N_2 + H_2O$, при соприкосновении с пламенем дает вспышку |
| Кислород | — | Не взаимодействует |
| Натрия амид | — | Взаимодействует с образованием азота натрия |
| NO [1, 448, т. 1; 450, т. 1] | | |
| Бром, хлор, фтор | — | Взаимодействуют с образованием нитрозилгалогенидов NOI |
| Железо сернокислое (закисное) | — | Взаимодействует с образованием нитрозосульфата |
| Вода | — | Незначительно растворяет |
| Азот двуокись | — | Взаимодействует с образованием N ₂ O ₃ |
| Водород | — | Взаимодействует по реакции $2NO + 2H_2 \rightarrow N_2 + 2H_2O$ |
| Натрий | 150—170 | Взаимодействует с образованием нитрозила натрия NaNO |
| Натрий хлористый (насыщенный раствор) | — | Не взаимодействует |
| Окислители (CrO ₃ , HMnO ₄ , HOCl и др.) | — | Взаимодействуют, окисляя до HNO ₃ |
| Олово двуххлористое | — | Взаимодействует в солянокислом растворе с образованием гидроксиламина и аммиака |

| 1 | 2 | 3 |
|---|--|---|
| Серы двуокись | — | Взаимодействует, восстанавливая до закиси азота в присутствии воды, под высоким давлением взаимодействует по реакции $2\text{NO} + 2\text{SO}_2 = 2\text{SO}_3 + \text{N}_2$ |
| Сероводород | — | Взаимодействует по реакции $2\text{NO} + 2\text{H}_2\text{S} = \text{N}_2 + 2\text{S} + 2\text{H}_2\text{O}$ |
| Тетрафторгидразин | — | Взаимодействует с образованием соединения $\text{F}_2\text{N}\cdot\text{NO}$ |
| Хрома двухвалентного соли | — | Взаимодействуют, восстанавливая в нейтральном растворе до аммиака, в кислом растворе до гидроксиламина |
| | N_2O_3 [1; 448, т. 1; 450, т. 1] | |
| Аммиак | — | Взаимодействует при сильном охлаждении с образованием нитрозамида NH_2NO |
| Вода | — | Взаимодействует с образованием азотистой кислоты, быстро разлагающейся с образованием азотной кислоты |
| Гидроокиси щелочных металлов | — | Взаимодействуют с образованием нитритов |
| Серная кислота | — | Взаимодействует с образованием бисульфата нитрозония NOHSO_4 |
| Кислота тетраборофорная | — | Взаимодействует с образованием нитразилтетрафторобората NOBF_4 |
| Меди окись | — | Взаимодействует, будучи раскаленным с выделением азота |
| | NO_2 [1; 448, т. 1; 450, т. 1] | |
| Аммиак (жидкий) | — | Взаимодействует со взрывом |
| Вода | 20 | Взаимодействует по реакции $2\text{NO}_2 + \text{H}_2\text{O} = \text{HNO}_3 + \text{HNO}_2$ |
| Вода в присутствии избытка кислорода | — | Взаимодействует по реакции $4\text{NO}_2 + 2\text{H}_2\text{O} + \text{O}_2 = 4\text{HNO}_3$ |
| Гидроокиси щелочных металлов (растворы) | 20 | Взаимодействует по реакции $2\text{NO}_2 + 2\text{MeOH} = \text{MeNO}_3 + \text{MeNO}_2 + \text{H}_2\text{O}$ |
| Фтор | — | Взаимодействует с образованием газообразного фтористого нитронила NO_2F |
| | N_2O_5 [1; 448, т. 1; 450, т. 1] | |
| Вода | 20 | Взаимодействует с образованием азотной кислоты |
| Водорода перекись (100%) | 80 | Взаимодействует с образованием взрывчатого вещества — надазотной кислоты |

| 1 | 2 | 3 |
|---|-------|---|
| OF₂ [1; 448, т. 1; 450, т. 1; 452] | | |
| Вода | — | Не взаимодействует, растворимость составляет 7 объемов на 100 объемов H ₂ O |
| Водяной пар | — | Взаимодействует со взрывом по реакции OF ₂ +H ₂ O=2HF+O ₂ |
| Гидроокиси щелочных металлов (растворы) | — | Взаимодействуют, разлагая |
| Na₂O [446, т. 1; 450, т. 2] | | |
| Аммиак образный | газо- | 20 Взаимодействует по реакции Na ₂ O+NH ₃ =NaNH ₂ +NaOH |
| Вода | | 20 Взаимодействует по реакции Na ₂ O+H ₂ O=2NaOH |
| Водород | | 180 Взаимодействует по реакции Na ₂ O+H ₂ =NaH+NaOH |
| Кислород | | 400 Взаимодействует с образованием Na ₂ O ₂ |
| Иод | | — Взаимодействует при нагревании с образованием NaI |
| Углерода окись | дву- | 20 Взаимодействует по реакции Na ₂ O+CO ₂ =Na ₂ CO ₃ |
| Сера | | — Взаимодействует при нагревании с образованием Na ₂ S |
| Фтор, хлор | | — Взаимодействуют при нагревании с образованием NaF и NaCl |
| Na₂O₂ [1; 446, т. 1; 448, т. 1; 450, т. 2] | | |
| Вода | — | Взаимодействует по реакции Na ₂ O ₂ +H ₂ O=2NaOH+H ₂ O ₂ |
| Висмута окись | | 600 Взаимодействует с образованием висмутата натрия NaBiO ₃ |
| Иод | | — Взаимодействует по реакции 3Na ₂ O ₂ +3I ₂ =5NaI+NaIO ₃ +O ₂ |
| Спирт | | 0 Взаимодействует по реакции Na ₂ O ₂ +C ₂ H ₅ OH=C ₂ H ₅ ONa+NaOOH |
| Углерод | | — Взаимодействует по реакции 3Na ₂ O ₂ +2C=2Na ₂ CO ₃ +Na |
| Углерода окись | дву- | — Взаимодействует по реакции Na ₂ O ₂ +CO ₂ =Na ₂ CO ₃ +1/2O ₂ |
| Углерода окись | | — Взаимодействует по реакции Na ₂ O ₂ +CO=Na ₂ CO ₃ |
| Сера | | — Взаимодействует |
| Эфир, уксусная кислота, нитробензол | | — Взаимодействуют со вспышкой |

| 1 | 2 | 3 |
|---|---------|--|
| | | MgO [1; 446, т. 1] |
| Азот + пары се- роуглерода | 800 | Взаимодействуют с образованием сульфида MgS |
| Воздух | — | Не взаимодействует |
| Вода | — | Взаимодействует медленно с об- разованием гидрата окиси |
| Влага воздуха, углерода двуокись | — | Взаимодействуют с образованием основного карбоната магния |
| Кислоты | — | Взаимодействуют, растворяя |
| Магния хлорид (30% раствор) | — | Взаимодействует с образованием оксихлорида Mg ₂ OCl ₂ |
| Окислы трех- валентных метал- лов | — | При сплавлении взаимодействуют с образованием Mg(M ₂ O ₄) |
| Металлы (калий, натрий), кремний, ферросилиций, карбид кальция | — | При высокой температуре взаи- модействуют, восстанавливая |
| Углерод | — | |
| Хлор + углерода окись | 750 | Взаимодействует с образованием карбида |
| | | Взаимодействует с образованием хлорида магния |
| | | Al₂O₃ [1; 446, т. 1; 448, т. 1; 450, т. 2] |
| Азот | 1700 | Взаимодействует в присутствии углерода с образованием нитрида алюминия |
| Бор фтористый | 450 | Взаимодействует |
| Водород фтори- стый (газообраз- ный) | — | Взаимодействует при нагревании с образованием AlF ₃ |
| Вода | | Не взаимодействует |
| Водород, углеро- да окись, угле- водороды | До 1800 | Не взаимодействуют |
| Гидроокиси и кар- бонаты щелочных металлов | — | Взаимодействуют при сплавлении с образованием алюминатов |
| Калия сульфат кислый и пиро- сернокислый | — | Взаимодействуют при сплавлении с образованием сульфата |
| Кислоты и щелочи | | |
| Кремний | 1800 | Не взаимодействуют |
| | | Взаимодействует при нагревании в вакууме по реакции $Al_2O_3 + 2Si = Al_2O + 2SiO$ |
| Окислы Me ₂ O и MeO | 100 | Взаимодействуют при сплавлении с образованием безводных алю- минатов MeAlO ₂ и Me(AlO ₂) ₂ |

| 1 | 2 | 3 |
|--|---------------------------|---|
| Сера, фосфор, мышьяк и их соединения Углерод | 1000 2000 | Не взаимодействуют Взаимодействует с образованием Al_4C_3 |
| | | SiO [1; 450, т. 1] |
| Алюминия сульфид Водяной пар | 1100 500 | Взаимодействует с образованием сульфида Взаимодействует по реакции $\text{SiO} + \text{H}_2\text{O} = \text{SiO}_2 + \text{H}_2$ |
| Воздух » | 20 500 | Медленно взаимодействует Взаимодействует, окисляя до SiO_2 |
| Гидроокиси щелочных металлов (растворы) Оксиды | — — | Взаимодействуют по реакции $\text{SiO} + 2\text{MeOH} = \text{Me}_2\text{SiO}_3 + \text{H}_2$ Взаимодействуют по реакции $\text{SiO} + \text{MgO} \cdot \text{CaO} + \text{CaO} = \text{Ca}_2\text{SiO}_4 + \text{Mg}$ |
| Серы трехокись Углерода двуокись Хлор | 800 400 800 | Взаимодействует Взаимодействует, окисляя до SiO_2 Взаимодействует по реакции $2\text{SiO} + 2\text{Cl}_2 = \text{SiCl}_4 + \text{SiO}_2$ |
| | | SiO_2 [1; 448, т. 1; 450, т. 1] |
| Водород | 1100 | Взаимодействует, восстанавливая до моноокиси кремния |
| Вода | — | Не взаимодействует |
| Гидроокиси и карбонаты щелочных металлов (расплавы) | — | Взаимодействуют с образованием силикатов |
| Гидроокиси и карбонаты щелочных металлов (растворы) | — | Взаимодействуют при кипячении с образованием растворимых силикатов щелочных металлов |
| Кислоты азотная, соляная, серная Кислота фтористоводородная | — 20 | Не взаимодействуют Взаимодействует с образованием тетрафторида кремния SiF_4 или кремнефтористоводородной кислоты |
| Кремний, ферросилиций Кремний в среде азота Углерод | 1130—1370 1450 2000 | Взаимодействуют, восстанавливая до моноокиси кремния Взаимодействует с образованием оксинитрида $\text{Si}_2\text{N}_2\text{O}$ Взаимодействует с образованием карбида |

| 1 | 2 | 3 |
|---|----------------|--|
| P₂O₅(P₄O₆) [1; 448, т. 1; 450, т. 1] | | |
| Вода | 20 | Взаимодействует с образованием фосфористой кислоты |
| Водород хлористый (газообразный) | — | Взаимодействует по реакции $P_4O_6 + 6HCl = 2H_3PO_3 + 2PCl_3$ |
| Воздух | При нагревании | Взаимодействует с образованием пятиокиси фосфора P ₂ O ₅ |
| Хлор, бром, сера | 150 | Взаимодействуют |
| P₂O₅ (P₄O₁₀) [1; 448, т. 1; 450, т. 1] | | |
| Аммония фторид | 135 | Взаимодействует с образованием солей гексафторфосфорной, монофторфосфорной и дифторфосфорной кислот |
| Вода | — | Взаимодействует по реакциям $P_2O_5 + H_2O = 2HPO_3$, $P_2O_5 + 2H_2O = H_4P_2O_7$ и $P_2O_5 + 3H_2O = 2H_3PO_4$ |
| Кислота азотная | — | Взаимодействует по реакции $P_2O_5 + 2HNO_3 = Na_2O_5 + 2HPO_3$ |
| Кислота хлорная | — | Взаимодействует по реакции $P_2O_5 + 2HClO_4 = Cl_2O_7 + 2HPO_3$ |
| Углерод | — | Взаимодействует при высокой температуре по реакции $P_2O_5 + 5C = 5CO + 2P$ |
| Фосфор пятихлористый | — | Взаимодействует с образованием хлорокиси фосфора POCl ₃ |
| SO₂ [1, 448, т. 1, 450, т. 1] | | |
| Вода | — | Взаимодействует |
| Кислород воздуха | 20 | Не взаимодействует |
| Вода | — | Взаимодействует с образованием сернистой кислоты |
| Железа окись | — | Взаимодействует по реакциям $3SO_2 + Fe_2O_3 = Fe_2(SO_3)_3$ и $Fe_2(SO_3)_3 = FeSO_3 + FeS_2O_6$ |
| Калия тиосульфат | — | Взаимодействует с образованием трилоната калия |
| Кислород | 400 | Взаимодействует, окисляя до SO ₃ в присутствии катализаторов |
| Кислота азотная | — | Взаимодействует с образованием нитрозилгидросульфата (NO)(HSO ₄) |
| Марганца двуокись | — | Взаимодействует по реакциям $2SO_2 + MnO_2 = MnS_2O_6$ и $SO_2 + MnO_2 = MnSO_4$ |
| Натрий кислый углекислый | — | Взаимодействует с образованием пиросульфита натрия Na ₂ S ₂ O ₅ |

| 1 | 2 | 3 |
|---|-----|--|
| Сера | — | Взаимодействует в водных растворах по реакции $\text{SO}_2 + \text{S} + \text{H}_2\text{O} = \text{H}_2\text{S}_2\text{O}_3$ |
| Сероводород | 20 | Взаимодействует по реакциям $3\text{SO}_2 + \text{H}_2\text{S} = \text{H}_2\text{S}_4\text{O}_6$ и $\text{SO}_2 + 2\text{H}_2\text{S} = 2\text{H}_2\text{O} + 3\text{S}$ |
| Сероводород + + сера | — | Взаимодействуют по реакции $3\text{SO}_2 + \text{H}_2\text{S} + \text{S} = \text{H}_2\text{S}_5\text{O}_8$ |
| Сероводород + + раствор щелочи | — | Взаимодействуют по реакции $4\text{SO}_2 + 2\text{H}_2\text{S} + 6\text{NaOH} = 3\text{Na}_2\text{S}_2\text{O}_3 + 5\text{H}_2\text{O}$ |
| Углерода окись | 500 | Взаимодействует в присутствии катализатора (боксита) с выделением серы |
| Хлор | — | Взаимодействует с образованием хлористого сульфурила SO_2Cl_2 |
| Фтор | 650 | Взаимодействует с образованием шестифтористой серы |
| Фториды щелочных металлов | — | Взаимодействуют с жидкой SO_2 с образованием фторсульфонатов MeSO_2F |
| SO_3 [1; 448, т. 1; 450, т. 1] | | |
| Вода | — | Взаимодействует с образованием серной кислоты |
| Водород хлористый (сухой) | — | Взаимодействует с образованием хлорсульфоновой кислоты HSO_3Cl |
| Калия гидрофторид + кислота серная | — | Взаимодействуют с образованием фторсульфоновой кислоты |
| Сера двуххлористая | — | Взаимодействует с образованием хлористого тионила SOCl_2 |
| Кислота хлорная | — | Взаимодействует с образованием взрывчатого соединения $(\text{ClO}_3) \cdot (\text{HS}_2\text{O}_7)$ |
| Кислота хлорноватая | — | Взаимодействует с образованием взрывчатого соединения $(\text{ClO}_2)_2\text{S}_2\text{O}_{10}$ |
| Кислота фтористоводородная | 35 | Взаимодействует с образованием фторсульфоновой кислоты |
| Углерод четыреххлористый | — | Взаимодействует с образованием хлористого пиросульфурила $\text{S}_2\text{O}_5\text{Cl}_2$ |
| Cl_2O [1; 448, т. 1; 450, т.] | | |
| Вода | — | Взаимодействует по реакции $\text{Cl}_2\text{O} + \text{H}_2\text{O} = 2\text{HOCl}$ |
| Углерод четыреххлористый | — | Взаимодействует, хорошо растворяется |
| Органические вещества | — | При соприкосновении взрывается |

| 1 | 2 | 3 |
|--|-----|---|
| | | ClO_2 [1; 448, т. 1; 450, т. 1] |
| Вода | — | Хорошо растворяет |
| Гидроокиси щелочноземельных металлов + перекись водорода | — | Взаимодействуют по реакции $2\text{ClO}_2 + \text{Ba}(\text{OH})_2 \cdot 8\text{H}_2\text{O} + \text{H}_2\text{O}_2 = \text{Ba}(\text{ClO}_2)_2 + 10\text{H}_2\text{O} + \text{O}_2$ |
| Озон | — | Взаимодействует по реакции $2\text{ClO}_2 + 2\text{O}_3 = \text{Cl}_2\text{O}_8 + 2\text{O}_2$ |
| Свинца окись + + натр едкий | — | Взаимодействуют по реакции $2\text{ClO}_2 + \text{PbO} + 2\text{NaOH} = \text{PbO}_2 + 2\text{NaClO}_2 + \text{H}_2\text{O}$ |
| Фтор | 50 | Взаимодействует с образованием фторхлоридоксида FClO_2 |
| | | Cl_2O_7 [1; 448, т. 1; 450, т. 1] |
| Вода | 20 | Взаимодействует с образованием хлорной кислоты |
| Иод | — | Взаимодействует при соприкосновении со взрывом |
| Сера, фосфор | 20 | Не взаимодействуют |
| Углерод четыреххлористый | — | Смешивается в любых соотношениях |
| | | K_2O [446, т. 1; 450, т. 2] |
| Аммиак жидкий | — | Взаимодействует по реакции $\text{K}_2\text{O} + \text{NH}_3 = \text{KOH} + \text{KNH}_2$ |
| Вода | — | Растворяется в воде с образованием гидроокиси. Энергично поглощает воду |
| Водород | 250 | Взаимодействует по реакции $\text{K}_2\text{O} + \text{H}_2 = \text{KOH} + \text{KH}$ |
| Иод | — | Взаимодействует при нагревании с образованием KI |
| Сера | — | Взаимодействует при нагревании с образованием K_2S |
| Углерода окись | — | Энергично поглощается и взаимодействует с образованием K_2CO_3 |
| Фтор, хлор | — | Взаимодействуют при нагревании с образованием KF и KCl |
| | | K_2O_2 [446, т. 1; 450, т. 2] |
| Амид калия | — | Взаимодействует, образуя взрывчатую смесь |
| Вода | — | Взаимодействует по реакции $\text{K}_2\text{O}_2 + \text{H}_2\text{O} = 2\text{KOH} + 1/2\text{O}_2$ |
| | | KO_2 [446, т. 1; 450, т. 2] |
| Азота окись | — | Взаимодействует по реакции $2\text{KO}_2 + 3\text{NO} = \text{KNO}_3 + \text{KNO}_2 + \text{NO}_2$ |

| 1 | 2 | 3 |
|-------------------------------------|---|--|
| Вода | — | Взаимодействует по реакции $2\text{KO}_2 + 2\text{H}_2\text{O} = 2\text{KOH} + \text{H}_2\text{O}_2 + \text{O}_2$ |
| Кислота серная (разбавленная) | — | Взаимодействует по реакции $2\text{KO}_2 + \text{H}_2\text{SO}_4 = \text{K}_2\text{SO}_4 + \text{H}_2\text{O}_2 + \text{O}_2$ |
| Углерод | — | Взаимодействует по реакции $2\text{KO}_2 + \text{C} = \text{K}_2\text{CO}_3 + 1/2\text{O}_2$ |
| Углерода моноокись | — | Взаимодействует по реакции $2\text{KO}_2 + \text{CO} = \text{K}_2\text{CO}_3 + \text{O}_2$ |
| Углерода двуокись | — | Взаимодействует по реакции $2\text{KO}_2 + \text{CO}_2 = \text{K}_2\text{CO}_3 + 3/2\text{O}_2$ |
| Углерода двуокись + натрия перекись | — | Взаимодействуют по реакции $2\text{KO}_2 + 2\text{CO}_2 + \text{Na}_2\text{O}_2 = \text{Na}_2\text{CO}_3 + \text{K}_2\text{CO}_3 + 2\text{O}_2$ |
| Органические соединения | — | Взаимодействуют, окисляясь |

CaO [1; 446, т. 1]

| | | |
|---|-----|--|
| Бром | — | Взаимодействует с образованием бромида |
| Вода | — | Активно взаимодействует с образованием гидрата окиси кальция |
| Гремучий газ | — | В пламени гремучего газа CaO испускает сильный свет (Друммондов свет) |
| Сера | — | Взаимодействует с образованием сульфида |
| Углерод | — | Взаимодействует с образованием карбида |
| Углерода двуокись | — | Взаимодействует с образованием углекислого кальция CaCO_3 |
| Фосфор | — | Взаимодействует при нагревании |
| Глицерин | 100 | Взаимодействует по реакции $\text{CaO} + \text{C}_3\text{H}_5\text{O}_3\text{H}_3 = \text{CaC}_3\text{H}_5\text{O}_3\text{H} + \text{H}_2\text{O}$ |
| Металлы (Na, K, Be, Mg, Al), кремний, ферросилиций | — | Взаимодействуют при высокой температуре, восстанавливая до металлического кальция |
| Оксиды MgO , Al_2O_3 , B_2O_3 , Bi_2O_3 , SiO_2 , SnO_2 , TiO_2 , ZrO_2 , V_2O_5 , MoO_3 , WO_3 , MnO , Fe_2O_3 , Cr_2O_3 | — | Взаимодействуют при нагревании с образованием соответствующих солей типа CaSiO_3 , CaZrO_3 , $\text{Ca}(\text{Al}_2\text{O}_4)$, $\text{Ca}(\text{Cr}_2\text{O}_4)$ |
| Спирт метиловый | 80 | Взаимодействует по реакции $\text{CaO} + 2\text{CH}_3\text{OH} = \text{Ca}(\text{OCH}_3)_2 + \text{H}_2\text{O}$ |

CaO₂ [1; 446, т. 1]

| | | |
|------|---|---------------------|
| Вода | — | Растворяет с трудом |
|------|---|---------------------|

| 1 | 2 | 3 |
|--|-----------|--|
| CaO₄ [1; с. 337; 446, т. 1] | | |
| Вода Кислоты (разбав- ленные) | — | Растворяет с трудом Взаимодействуют с выделением кислорода |
| | | Sc₂O₃ [1; 446, т. 1] |
| Бор | 1900 | Взаимодействует с образованием боридов |
| Бром | 1200 | Взаимодействует в присутствии углерода с образованием броми- да |
| Кислоты (разбав- ленные) | — | Медленно растворяют |
| Кислота серная (концентрирован- ная) | — | Взаимодействует при нагревании по реакции $Sc_2O_3 + 3H_2SO_4 = Sc_2(SO_4)_3 + 3H_2O$ |
| Сероуглерод | — | Взаимодействует с образованием сульфида |
| Углерод | 1800 | Взаимодействует с образованием карбида |
| Углерод + азот | 1300 | Взаимодействуют с образованием нитрида |
| Хлор | 1000—1300 | Взаимодействует в присутствии углерода с образованием хлорида |
| TiO [446, т. 2; 449] | | |
| Вода Воздух | — 800 | Не взаимодействует Взаимодействует с образованием TiO_2 |
| Кислота серная, соляная (разбав- ленные) | — | Взаимодействуют по реакциям $2TiO + 3H_2SO_4 = Ti_2(SO_4)_3 +$ $+ 2H_2O + H_2;$ $2TiO + 6HCl = 2TiCl_3 + 2H_2O + H_2$ |
| Ti₂O₃ [446, т. 2; 449] | | |
| Воздух | 1000 | Взаимодействует, окисляя до TiO_2 |
| Кислота азотная | — | Взаимодействует при кипячении с выделением TiO_2 |
| Кислота серная | — | Взаимодействует с образованием сульфатов трехвалентного титана |
| Кислоты разбав- ленные и раство- ры щелочей | — | Не взаимодействуют |
| TiO₂ [1; с. 337—338; 446, т. 2; 449] | | |
| Азот + углерод | 1200 | Взаимодействуют с образованием нитрида |
| Вода Воздух | — | Не взаимодействует Не взаимодействует |

| F | 1 | 2 | 3 |
|---|-----------|---|--|
| Гидроокиси и карбонаты щелочных металлов (расплавы) | — | | Взаимодействуют по реакциям $TiO_2 + 2NaOH = Na_2TiO_3 + H_2O$; $TiO_2 + 4NaOH = Na_4TiO_4 + 2H_2O$; $TiO_2 + Na_2CO_3 = Na_2TiO_3 + CO_2$; $TiO_2 + 2Na_2CO_3 = Na_4TiO_4 + 2CO_2$ |
| Гидросульфаты щелочных металлов (расплавы) | — | | Взаимодействуют с образованием сульфатов или оксисульфатов титана |
| Калия пиросульфат | — | | Взаимодействует в расплаве с образованием титанила |
| Кальций, алюминий | 750 | | Взаимодействуют, восстанавливая до металлического титана |
| Кальция гидрид | — | | Взаимодействует с образованием гидрида титана |
| Кислота серная (концентрированная) | — | | Взаимодействует при нагревании по реакции $TiO_2 + 2H_2SO_4 = Ti(SO_4)_2 + 2H_2O$ |
| Магний | — | | Взаимодействует, восстанавливая до низших окислов |
| Натрий | 900—950 | | То же |
| Оксиды металлов (ZnO , NiO) | — | | Взаимодействуют по реакциям $TiO_2 + MeO = MeTiO_3$ |
| Сплав 30% Na и 70% Ca | 900—950 | | Взаимодействует, восстанавливая до металлического титана |
| Углерод | 1100—1150 | | Взаимодействует в вакууме с образованием карбида |
| Углерода окись | 800 | | Взаимодействует, восстанавливая до Ti_2O_3 , при более высоких температурах до TiO и TiC |
| Углерода хлорокись | — | | Взаимодействует с образованием хлорида |
| Углерод четыреххлористый (пары) | — | | Взаимодействует по реакции $TiO_2 + CCl_4 = TiCl_4 + CO_2$ |
| Хлор | 800—1000 | | Взаимодействует с образованием хлорида |
| » | 700—800 | | В присутствии угля взаимодействует с образованием хлорида |
| VO [1; 446, т. 2] | | | |
| Вода | — | | Не взаимодействует |
| Кислоты (разбавленные) | — | | Взаимодействуют, растворяясь с образованием соответствующих солей двухвалентного ванадия |
| V_2O_3 [1; 446, т. 2; 450, т. 1] | | | |
| Бром (пары) | — | | Взаимодействует при нагревании с образованием трибромида ванадила |
| Водород | 2500 | | Взаимодействует при давлении 500 кПа, восстанавливая до ванадия |

| 1 | 2 | 3 |
|----------------------------|---------|--|
| Воздух | — | Медленно взаимодействует, окисляясь до VO_2 при комнатной температуре, при нагревании — до V_2O_5 |
| Кальций | 900—950 | Взаимодействует, восстанавливая до металлического ванадия |
| Кислоты | — | Взаимодействуют с образованием соответствующих солей |
| Кислота фтористоводородная | — | Взаимодействует с образованием фторида |
| Селен + водород | 500—600 | Взаимодействуют с образованием селенида ванадия |
| Серы хлорокись | 200 | Взаимодействует с образованием хлорида |
| Сероводород | 700 | Взаимодействует с образованием сульфида |
| Сера хлористая | 300 | Взаимодействует с образованием хлорида |
| Углерод | 1200 | Взаимодействует с образованием карбида |
| Хлор | 500—600 | Взаимодействует с образованием окситрихлорида ванадия |

VO_2 [446, т. 1; 447, т. 3; 450, т. 1]

| | | |
|----------------------------------|---------|--|
| Водород | 530—600 | Взаимодействует, восстанавливая до V_2O_3 |
| Воздух | — | Взаимодействует при нагревании, окисляя до V_2O_5 |
| Гидроокиси щелочных металлов | — | Взаимодействуют с образованием ванадатов |
| Кислота азотная | — | Взаимодействует при нагревании, окисляя |
| Кислота соляная | — | Взаимодействует с образованием ванадила VOCl_2 |
| Кислота ортофосфорная | — | Взаимодействует с образованием соединений синего цвета $\text{VO}_2 \cdot 2\text{H}_3\text{PO}_4$, $2\text{VO}_2 \cdot 6\text{H}_3\text{PO}_4 \cdot \text{H}_2\text{O}$ |
| Окислы щелочноzemельных металлов | — | Взаимодействуют при сплавлении с образованием ванадатов MeVO_3 , Me_2VO_4 и Me_3VO_5 |

| 1 | 2 | 3 |
|--|------|--|
| V₂O₅ [1; 446, т. 2; 447, т. 3; 450, т. 1] | | |
| Вода | — | Взаимодействует слабо |
| Водород | 600 | Взаимодействует, восстанавливая до V ₂ O ₃ |
| » | 1700 | Взаимодействует, восстанавливая до VO |
| Водорода перекись | — | Взаимодействует в концентрированной щелочной среде с образованием сине-фиолетовых ионов VO ₈ ³⁻ , в близкой к нейтральной — желтых ионов VO ₆ ³⁻ , в кислых — красного перекисного катиона VO ₃ ³⁺ , а при очень высокой кислотности — синего VO ²⁺ |
| Водород хлористый (сухой) | — | Взаимодействует в присутствии пятиокси фосфора с образованием окситрихлорида ванадия |
| Гидроокиси щелочных металлов (растворы) | — | Взаимодействуют при комнатной температуре с образованием орто- и пирамиданадатов (Me_3VO_4 и $Me_4V_2O_7$), при нагревании — триметаванадатов ($Me_3V_3O_9$) |
| Карбонаты щелочных металлов | — | Взаимодействуют при сплавлении с образованием ортованадатов |
| Кислота серная (концентрированная) | 280 | Взаимодействует, восстанавливая до солей четырехвалентного ванадия или с образованием окси-сульфата |
| Кислота соляная (концентрированная) | — | Взаимодействует при нагревании по реакции $V_2O_5 + 6HCl = 2VOCl_2 + Cl_2 + 3H_2O$ |
| Кислота щавелевая | — | Взаимодействует с образованием оксалата ванадила |
| Кремний | — | Взаимодействует при нагревании с образованием силицида |
| Сера хлористая | 300 | Взаимодействует с образованием хлорида |
| Серы двуокись | — | Взаимодействует при нагревании по реакции $V_2O_5 + SO_2 = 2VO_2 + SO_3$ |

| 1 | 2 | 3 |
|----------------------|-----|--|
| Серы хлорокись | 73 | Взаимодействует с образованием окситрихлорида ванадия |
| Углерод + пары брома | — | Взаимодействуют при нагревании с образованием трибромида ванадия |
| Хлор | 650 | Взаимодействует по реакции $V_2O_5 + 3Cl_2 \rightarrow 2VOCl_3 + 3/2 O_2$ [] |
| Цинк | — | Взаимодействует в кислой среде по реакции $V_2O_5 + Zn + 6HCl \rightarrow 2VOCl_2 + ZnCl_2 + 3H_2O$ |

CrO [1; 446, т. 2]

| | | |
|--------------------------------|------|--|
| Водород | — | Взаимодействует при нагревании, восстанавливая до металлического хрома |
| Воздух | 100 | Взаимодействует, окисляя до Cr_2O_3 |
| Кислоты азотная и серная | — | Не взаимодействуют |
| Кислота соляная (разбавленная) | — | Взаимодействует с образованием ди- и трихлоридов хрома |
| Углекислый газ | 1000 | Взаимодействует с образованием Cr_2O_3 |

Cr₂O₃ [1; 446, т. 2; 447, т. 3; 450, т. 1]

| | | |
|---|------|--|
| Алюминий, кремний, кальций, магний, натрий, калий | 1600 | Взаимодействуют при высокой температуре, восстанавливая до металла |
| Водород | 1600 | Взаимодействует, восстанавливая до металлического хрома |
| Гидроокиси щелочных металлов | — | Взаимодействуют при сплавлении по реакции $Cr_2O_3 + 2MeOH \rightarrow 2MeCrO_2 + H_2O$ |
| Гидроокись калия + калий хлорноватый | — | Взаимодействуют при сплавлении по реакции $Cr_2O_3 + 4KOH + KClO_3 \rightarrow 2K_2CrO_4 + KCl + 2H_2O$ |
| Калия пиро-сульфат, сульфат кислый (расплав) | — | Взаимодействуют при сплавлении с образованием сульфата |

| 1 | 2 | 3 |
|---|------|--|
| Калия перманганат | — | Взаимодействует в щелочной среде по реакции $\text{Cr}_2\text{O}_3 + 2\text{KMnO}_4 + 2\text{KOH} = 2\text{K}_2\text{CrO}_4 + 2\text{MnO}_2 + \text{H}_2\text{O}$ |
| Лития и натрия карбонаты | — | Взаимодействуют при прокаливании с образованием хроматов |
| Натрия бромат | — | Взаимодействует по реакции $5\text{Cr}_2\text{O}_3 + 6\text{NaBrO}_3 + 2\text{H}_2\text{O} = 3\text{Na}_2\text{Cr}_2\text{O}_7 + 2\text{H}_2\text{Cr}_2\text{O}_7 + 3\text{Br}_2$ |
| Натрия карбонат + нитрат (расплав) | — | Взаимодействуют при сплавлении по реакции $\text{Cr}_2\text{O}_3 + 3\text{NaNO}_3 + 2\text{Na}_2\text{CO}_3 = 2\text{Na}_2\text{CrO}_4 + 3\text{NaNO}_2 + 2\text{CO}_2$ |
| Окислы двухвалентных металлов | — | Взаимодействуют при сплавлении с образованием двойных соединений типа шпинелей |
| Сероводород, сероуглерод | — | Взаимодействуют с образованием сульфида |
| Углерод | 1000 | Взаимодействует с образованием карбидов |
| Углерод четыреххлористый | — | Взаимодействует при нагревании с образованием хлористого хрома |
| Хлор | 800 | Взаимодействует в присутствии угля или окиси углерода с образованием хлористого хрома |
| Бензол, гексан, циклогексан | — | Взаимодействуют, восстанавливая до металлического хрома |
| CrO_2 [446, т. 2] | | |
| Вода | 100 | Взаимодействует, превращаясь в Cr_2O_3 и CrO_3 |
| Гидроокислы и карбонаты щелочных металлов | — | Взаимодействуют при сплавлении с образованием хроматов |
| Кислота соляная | — | Взаимодействует с выделением хлора |
| CrO_3 [1; 446, т. 2; 447, т. 3; 450, т. 1] | | |
| Вода | — | Растворяет с образованием хромовой кислоты |

| 1 | 2 | 3 |
|--|---|--|
| Водорода перекись | — | Взаимодействует при низких температурах в растворе метилового эфира с образованием соединения $\text{CrO}_3 \cdot (\text{CH}_3)_2\text{O}$ |
| Водород хлористый (газообразный) | — | Взаимодействует с образованием хлористого хромила |
| Иодаты одновалентных металлов | — | Взаимодействуют с образованием соединений $M\text{eCrIO}_6$ |
| Кислоты бромистоводородная, иодистоводородная, фосфорноватистая, фосфорноватая, органические | — | Взаимодействуют, окисляясь |
| Спирты | — | Взаимодействуют с образованием эфиров хромовой кислоты |
| Углерода окись, углерод, мышьяк, сера, селен, иод | — | Взаимодействуют, окисляясь |
| Рубидий углекислый | — | Взаимодействует с образованием хромата или бихромата рубидия |

MnO [1; 446, т. 2]

| | | |
|--------------------------|---------|---|
| Аммония сульфид | 100 | Взаимодействует с образованием MnS |
| Вода | — | Не взаимодействует |
| Водород | — | Взаимодействует при высоких температурах, восстанавливая до металлического марганца |
| Воздух | 200—300 | Взаимодействует, окисляясь до MnO_2 |
| Кислоты | — | Взаимодействуют с образованием соответствующих солей |
| Кремний четыреххлористый | — | Взаимодействует при нагревании с образованием MnCl_2 , SiO_2 и Cl_2 |
| Натр едкий | 800 | Взаимодействует в присутствии кислорода с образованием гипомanganата натрия Na_3MnO_4 |

| 1 | 2 | 3 |
|---|----------|---|
| Mn₂O₃ [1; 446, т. 2] | | |
| Алюминий | — | Взаимодействует при нагревании, восстанавливая до металла |
| Вода | — | Не взаимодействует |
| Водород | 300 | Взаимодействует, восстанавливаясь до MnO |
| Воздух | 950—1100 | Взаимодействует, окисляя |
| Кислоты азотная, серная (разбавленные) | 20 | Взаимодействуют по реакциям $\text{Mn}_2\text{O}_3 + 2\text{HNO}_3 = \text{MnO}_2 + \text{Mn}(\text{NO}_3)_2 + \text{H}_2\text{O}$ и $\text{Mn}_2\text{O}_3 + \text{H}_2\text{SO}_4 = \text{MnO}_2 + \text{MnSO}_4 + \text{H}_2\text{O}$ |
| Кислота серная (концентрированная) | — | Взаимодействует с образованием Mn ₂ (SO ₄) ₃ |
| Кислота фтористоводородная | — | Взаимодействует с образованием фторида |
| MnO₂ [1; 446, т. 2; 447, т. 3; 448, т. 1] | | |
| Аммиак (газ) | — | Взаимодействует по реакции $6\text{MnO}_2 + 2\text{NH}_3 = 3\text{Mn}_2\text{O}_3 + \text{N}_2 + 3\text{H}_2\text{O}$ |
| Аммоний азотно-кислый | — | Взаимодействует по реакции $\text{MnO}_2 + 4\text{NH}_4\text{NO}_3 = \text{Mn}(\text{NO}_3)_2 + 3\text{N}_2 + 8\text{H}_2\text{O}$ |
| Воздух | 350—900 | Взаимодействует с образованием Mn ₂ O ₇ |
| Вода | — | Не взаимодействует |
| Водород | 170 | Взаимодействует, восстанавливая до MnO |
| Гидроокиси щелочных металлов | — | Взаимодействуют с образованием неустойчивых солей Me ₂ MnO ₃ , в присутствии кислорода — с образованием Me ₂ MnO ₄ |
| Железо сернокислое (безводное) | — | Взаимодействует при прокаливании с образованием сульфата по реакции $2\text{MnO}_2 + 2\text{FeSO}_4 = 2\text{MnSO}_4 + \text{Fe}_2\text{O}_3 + 1/2\text{O}_2$ |

| 1 | 2 | 3 |
|---|---------|---|
| Калий азотнокислый + калий углекислый (расплав) | — | Взаимодействуют по реакции $MnO_2 + KNO_3 + K_2CO_3 \rightarrow K_2MnO_4 + KN\bar{O}_2 + CO_2$ |
| Калий бромистый + уксусная кислота | — | Взаимодействуют по реакции $MnO_2 + 2KBr + 4CH_3COOH \rightarrow Mn(CH_3COO)_2 + 2KCH_3COO + Br_2 + 2H_2O$ |
| Кальция окись (расплав) | — | Взаимодействует с образованием мanganатов $2CaO \cdot MnO_2, CaO \cdot MnO_2, CaO \times 2MnO_2, CaO \cdot 3MnO_2, CaO \cdot 5MnO_2$ |
| Кислота серная (концентрированная) | 110 | Взаимодействует по реакции $MnO_2 + H_2SO_4 \rightarrow MnSO_4 + H_2O + 1/2O_2$ |
| Кислота сернистая | — | Взаимодействует с образованием дитионата марганца |
| Кислота соляная (концентрированная) | 90 | Взаимодействует по реакции $MnO_2 + 4HCl \rightarrow MnCl_2 + 2H_2O + Cl_2$ |
| Кислота фтористо-водородная | 450—500 | Взаимодействует по реакции $2MnO_2 + 4HF \rightarrow 2MnF_2 + 2H_2O + O_2$ |
| Смесь серной кислоты и перекиси водорода | — | Взаимодействует по реакции $MnO_2 + H_2O_2 + H_2SO_4 \rightarrow MnSO_4 + 2H_2O + O_2$ |
| Натрий хлористый + серная кислота | — | Взаимодействуют по реакции $MnO_2 + 2NaCl + 3H_2SO_4 \rightarrow MnSO_4 + 2NaHSO_4 + 2H_2O + Cl_2$ |
| Магний хлористый | — | Взаимодействует по реакции $MnO_2 + 2MgCl_2 \rightarrow MnCl_2 + 2MgO + Cl_2$ |
| Сероводород | — | Взаимодействует в присутствии кислорода по реакции $2MnO_2 + 3H_2S + 3O_2 \rightarrow MnSO_4 + MnS_2O_3 + 3H_2O$ |
| Серы двуокись | 10 | Взаимодействует с образованием дитионата |
| Хлор в присутствии гидроокиси калия | — | Взаимодействует по реакции $2MnO_2 + 3Cl_2 + 8KOH \rightarrow 2KMnO_4 + 6KCl + 4H_2O$ |
| Ацетилхлорид | 0 | Взаимодействует по реакции $MnO_2 + 4CH_3COCl \rightarrow MnCl_4 + 2(CH_3CO)_2O$ |

| 1 | 2 | 3 |
|--|---------|---|
| Mn₂O₇ [1; 446, т. 2] | | |
| Вода | — | Взаимодействует с образованием марганцевой кислоты |
| Горючие вещества | — | Взаимодействуют, окисляясь с воспламенением |
| Кислота уксусная | — | Взаимодействует, растворяя без разложения |
| FeO [1; 446, т. 2] | | |
| Вода | — | Взаимодействует при нагревании, окисляя до Fe ₂ O ₃ |
| Водород | — | Взаимодействует при нагревании, восстанавливая до металлического железа |
| Воздух | 200—250 | Взаимодействует, окисляя до Fe ₂ O ₃ |
| Кислоты | — | Взаимодействуют с образованием соответствующих солей |
| Кремния окись | — | Взаимодействует при сплавлении с образованием силикатов |
| Углерод, углерода окись | — | Взаимодействуют, восстанавливая до металлического железа |
| Fe₂O₃ [1; 446, т. 2; 450, т. 2] | | |
| Вода | — | Не взаимодействует |
| Водород сухой | 400 | Взаимодействует, восстанавливая до металлического железа |
| Водород влажный | 400 | Взаимодействует с образованием Fe ₃ O ₄ |
| » » | 800 | Взаимодействует с образованием FeO |
| Железа фторид | 950 | Взаимодействует с образованием оксофторида |
| Кислота серная (концентрированная) | — | Взаимодействует с образованием сульфата |
| Кислота соляная | — | Взаимодействует с образованием хлорида |
| Хлор | 400 | Взаимодействует в присутствии угля с образованием хлорида |

| 1 | 2 | 3 |
|--|----------|--|
| CoO [1; 446, т. 2] | | |
| Алюминия окись | — | Взаимодействует с образованием двойной соли типа шпинели |
| Алюминий, бор, водород, железо, кремний, углерод, углерода окись | — | Взаимодействуют при нагревании, восстанавливая до металлического кобальта |
| Воздух | 900 | Взаимодействует, окисляя до Co_3O_4 |
| Гидроокиси щелочных металлов (расплавы) | — | Взаимодействуют с образованием кобальтов Me_2CoO_2 |
| Гидроокиси щелочных металлов (растворы концентрированные) | — | Взаимодействуют при нагревании с образованием гидрококсокобальтатов $Me_2[Co(OH)_4]$ |
| Калия карбонат + кремния окись | — | Взаимодействуют с образованием ортосиликата калия и кобальта |
| Кислород | >100 | Взаимодействует, окисляя до Co_3O_4 |
| Кислород + сернистый газ | 600 | Взаимодействуют с образованием $CoSO_4$ |
| Кислоты азотная, серная и соляная | — | Взаимодействуют с образованием соответствующих солей |
| Металлов окислы | 800—1500 | Взаимодействуют с образованием соединений или твердых растворов |
| Сера, сероводород | — | Взаимодействуют при нагревании с образованием CoS |
| Хлор, углерод четыреххлористый | — | Взаимодействуют при нагревании с образованием $CoCl_2$ |
| Co_3O_4 [1; 446, т. 2] | | |
| Алюминий водород, калий, натрий, углерод, углерода окись | — | Взаимодействуют при нагревании, восстанавливая до металлического кобальта |

| 1 | 2 | 3 |
|--|------|---|
| Кислоты азотная и серная | — | Взаимодействуют с выделением кислорода по реакциям $\text{Co}_3\text{O}_4 + 3\text{H}_2\text{SO}_4 = 3\text{CoSO}_4 + 3\text{H}_2\text{O} + \frac{1}{2}\text{O}_2$ и $\text{Co}_3\text{O}_4 + 6\text{HNO}_3 = 3\text{Co}(\text{NO}_3)_2 + 3\text{H}_2\text{O} + \frac{1}{2}\text{O}_2$ |
| Кислота соляная | — | Взаимодействует с выделением хлора по реакции $\text{Co}_3\text{O}_4 + 8\text{HCl} = 3\text{CoCl}_2 + 4\text{H}_2\text{O} + \text{Cl}_2$ |
| | | NiO [1; 446, т. 2] |
| Бария окись | — | Взаимодействует в среде кислорода с образованием двойных солей |
| Вода | — | Не взаимодействует |
| Кремний, бор, водород, углерод | — | Взаимодействуют при нагревании, восстанавливая до металлического никеля |
| Кислоты (разбавленные) | — | Взаимодействуют с образованием соответствующих солей |
| Металлы (Al, Mg, Zn, Be, Cu, Pb, Fe, Co) | — | Взаимодействуют при нагревании, восстанавливая до металла |
| Окислы кислотные | — | Взаимодействуют при нагревании |
| | | Cu₂O [1; 446, т. 2; 450, т. 2] |
| Аммиак (раствор) | — | Взаимодействует с образованием комплекса $[\text{Cu}(\text{NH}_3)_2]\text{OH}$ |
| Вода | — | Не взаимодействует |
| Водород | 155 | Взаимодействует, восстанавливая до металла |
| Водород бромистый (газообразный) | — | Взаимодействует по реакции $\text{Cu}_2\text{O} + 2\text{HBr} = 2\text{CuBr} + \text{H}_2\text{O}$ |
| Галогеноводороды | — | Взаимодействуют с образованием соединений $\text{H}[\text{CuI}_2]$ и CuI |
| Иодид мышьяка | — | Взаимодействует по реакции $3\text{Cu}_2\text{O} + 2\text{AsI}_3 = 6\text{CuI} + \text{As}_2\text{O}_3$ |
| Кислород | 1000 | Взаимодействует, окисляя до CuO |

| 1 | 2 | 3 |
|--|-----|---|
| Кислота серная (разбавленная) | — | Взаимодействует по реакции $\text{Cu}_2\text{O} + \text{H}_2\text{SO}_4 = \text{CuSO}_4 + \text{H}_2\text{O} + \text{Cu}$ |
| Кислота соляная (концентрированная) | — | Взаимодействует по реакции $\text{Cu}_2\text{O} + 8\text{HCl} = 2\text{H}_2[\text{CuCl}_4] + \text{H}_2\text{O}$ |
| Кислота цианистоводородная | — | Взаимодействует по реакции $\text{Cu}_2\text{O} + 2\text{HCN} = 2\text{CuCN} + \text{H}_2\text{O}$ |
| Меди хлорид (раствор) | — | Взаимодействует по реакции $3\text{Cu}_2\text{O} + 4\text{CuCl}_2 + 3\text{H}_2\text{O} = 6\text{CuCl} + \text{CuCl}_2 \cdot 3\text{Cu}(\text{OH})_2$ |
| Металлы щелочные (Mg , Zn , Al) | — | Взаимодействуют при нагревании, восстанавливая до металла или сплавов меди с металлами |
| Ртуть хлорид | — | Взаимодействует по реакции $3\text{Cu}_2\text{O} + 3\text{HgCl}_2 + 3\text{H}_2\text{O} = 2\text{CuCl}_2 + \text{CuCl}_2 \cdot 3\text{Cu}(\text{OH})_2 + 3\text{Hg}$ |
| Селена двуокись | — | Взаимодействует по реакции $4\text{Cu}_2\text{O} + 7\text{SeO}_2 = \text{Cu}_2\text{Se} + 6\text{CuSeO}_3$ |
| Углерода окись | 200 | Взаимодействует, восстанавливая до металла |
| Диэтил сульфат | — | Взаимодействует по реакции $\text{Cu}_2\text{O} + (\text{CH}_3)_2\text{SO}_4 = \text{Cu}_2\text{SO}_4 + (\text{CH}_3)_2\text{O}$ |

CuO [1; 446, т. 2; 447, т. 3; 450, т. 2]

| | | |
|----------------------------|---|--|
| Алюминия карбид | — | Взаимодействует по реакции $12\text{CuO} + \text{Al}_4\text{C}_3 = 12\text{Cu} + 2\text{Al}_2\text{O}_3 + 3\text{CO}_2$ |
| Аммиак | — | Взаимодействует по реакции $3\text{CuO} + 2\text{NH}_3 = 3\text{Cu} + \text{N}_2 + 3\text{H}_2\text{O}$ |
| Аммония иодид | — | Взаимодействует, растворяя |
| Арсениты щелочных металлов | — | Взаимодействуют при нагревании по реакции $2\text{CuO} + \text{Me}_3\text{AsO}_3 = \text{Cu}_2\text{O} + \text{Me}_3\text{AsO}_4$ |

| 1 | 2 | 3 |
|---|------|---|
| Вода | — | Не взаимодействует |
| Водород | 250 | Взаимодействует, восстанавливая до металла |
| Железо хлористое | — | Взаимодействует при нагревании по реакции $3\text{CuO} + 2\text{FeCl}_2 = 2\text{CuCl} + \text{CuCl}_2 + \text{Fe}_2\text{O}_3$ |
| Кислоты | — | Взаимодействуют с образованием соответствующих солей |
| Кальция карбид | — | Взаимодействует по реакции $5\text{CuO} + \text{CaC}_2 = 5\text{Cu} + \text{CaO} + 2\text{CO}_2$ |
| Металлы K, Na, Be, Mg, Ca, Al | — | Взаимодействуют, восстанавливая до металла |
| Натрия арсенит | — | Взаимодействует по реакции $2\text{CuO} + \text{Na}_3\text{AsO}_3 = \text{Cu}_2\text{O} + \text{Na}_3\text{AsO}_4$ |
| Нитрозил перхлорат | 200 | Взаимодействует с образованием перхлората меди |
| Углерод, окись углерода, углеводороды | — | Взаимодействуют, восстанавливая до металла |
| Мышьяка окись + кислота уксусная | — | Взаимодействуют с образованием швейнфуртской зелени $3\text{Cu}(\text{AsO}_2)_2 \cdot \text{Cu}(\text{CH}_3\text{COO})_2$ |
| Олова хлорид | — | Взаимодействует при нагревании по реакции $2\text{CuO} + \text{SnCl}_2 = 2\text{CuCl} + \text{SnO}_2$ |
| Фосфор треххлористый | — | Взаимодействует при нагревании по реакции $17\text{CuO} + 5\text{PCl}_3 = 2\text{Cu}_3(\text{PO}_4)_2 + \text{CuCl}_2 + 10\text{CuCl} + \text{POCl}_3$ |
| Cu_2O_3 [1] | | |
| Гидроокиси щелочных металлов | — | Взаимодействуют с образованием тетрагидроксокупратов $M\ddot{\text{e}}[\text{Cu}(\text{OH})_4]$ |
| Кислота соляная | — | Взаимодействует с выделением хлора |
| ZnO [1; 446, т. 2] | | |
| Бария окись | 1100 | Взаимодействует с образованием двойного окисла или оксоцинката BaZnO_2 |

| 1 | 2 | 3 |
|--|---------|---|
| Вода | — | Не взаимодействует |
| Гидроокиси щелочных металлов (растворы) | — | Взаимодействуют по реакции $ZnO + MeOH + H_2O = Me[Zn(OH)_3]$ |
| Кальция карбид | — | Взаимодействует по реакции $ZnO + CaC_2 = CaO + Zn + 2C$ |
| Кислота соляная | — | Взаимодействует с образованием хлорида |
| Кислота фосфорная | — | Взаимодействует с образованием ортофосфата цинка |
| Окислы металлов | 800—900 | Взаимодействуют с образованием цинкатов |
| Нитрозил перхлорат | 250 | Взаимодействует с образованием перхлората цинка |
| Серы двуокись | — | Взаимодействует с водной суспензией ZnO с образованием сульфита |
| Углерод, углерода окись | 1100 | Взаимодействуют, восстанавливая до металла |
| Ферросилиций | — | Взаимодействует по реакции $2ZnO + FeSi = 2Zn + Fe + SiO_2$ |
| Цинк | 150 | Взаимодействует с образованием гидроксихлорида цинка |
| Ga_2O [1; 450, т. 2] | | |
| Воздух (сухой) | 20 | Не взаимодействует |
| » » | 700 | Взаимодействует с образованием Ga_2O_3 и Ga |
| Кислота серная | — | Взаимодействует, восстанавливаясь до H_2S |
| GaO [1] | | |
| Вода | 20 | Не взаимодействует |
| Кислоты | — | Взаимодействуют, растворяя |
| Ga_2O_3 [1; т. 1; 450, т. 2] | | |
| Аммиак | 900 | Взаимодействует с образованием нитрида |
| Вода | 20 | Не взаимодействует |

| I | 2 | 3 |
|---|---------|--|
| Водород | 700—830 | Взаимодействует, восстанавливая до GaO |
| » | 830—900 | Взаимодействует, восстанавливая до металла |
| Галлий | — | Взаимодействует с образованием закиси |
| Галлия галогениды | — | Взаимодействуют с образованием оксигалидов |
| Гидроокиси щелочных металлов (растворы) | — | Взаимодействуют с образованием солей |
| Кислоты | — | Взаимодействуют, растворяя |
| Сероводород | 1200 | Взаимодействует с образованием сульфида |
| Серы хлорокись | 200 | Взаимодействует с образованием треххлористого галлия |
| Цинка и магния окислы | — | Взаимодействуют при сплавлении с образованием соединений $\text{Ga}_2[\text{MeO}_4]$ |

GeO [1; 446, т. 1; 450, т. 1]

| | | |
|---------------------------------------|-----|--|
| Вода | — | Не взаимодействует, сильной струей превращает в коллоидное состояние |
| Водорода перекись (аммиачный раствор) | — | Взаимодействует, окисляя до GeO_2 |
| Воздух | 20 | Не взаимодействует |
| » | 500 | Взаимодействует, окисляя до GeO_2 |
| Гидроокиси щелочных металлов | — | Не взаимодействуют |
| Кислота азотная (дымящая) | — | Взаимодействует, слегка окисляя |
| Кислота соляная | — | Не взаимодействует |
| Олово хлористое | — | Взаимодействует, восстанавливаясь до двуххлористого олова |

GeO_2 [1; 446, т. 1; 450, т. 1]

| | | |
|---------------------------|---|--|
| Алюминий, магний, углерод | — | Взаимодействуют при нагревании, восстанавливая до германия |
|---------------------------|---|--|

| I | 2 | 3 |
|--|-----|--|
| Аммиак | 700 | Взаимодействует с образованием нитрида |
| Барий хлористый (концентрированный раствор) + фтористоводородная кислота | — | Взаимодействуют по реакции $\text{GeO}_2 + \text{BaCl}_2 + 6\text{HF} = \text{Ba}[\text{GeF}_6] + 2\text{HCl} + 2\text{H}_2\text{O}$ |
| Вода | 25 | Растворяет гексагональную модификацию; не растворяет тетрагональную |
| Водород | 450 | Взаимодействует, восстанавливая |
| Гидроокиси, карбонаты щелочных металлов | — | Взаимодействуют по реакциям $\text{GeO}_2 + 4\text{MeOH} = \text{Me}_4\text{GeO}_4 + 2\text{H}_2\text{O}$ и $\text{GeO}_2 + 2\text{Me}_2\text{CO}_3 = \text{Me}_4\text{GeO}_4 + 2\text{CO}_2$ |
| Кислоты бромисто- и иодистоводородная | 280 | Взаимодействуют с образованием GeBr_4 и GeI_4 |
| Кислоты азотная и серная | — | Взаимодействуют медленно |
| Кислоты соляная, фтористоводородная | 100 | Взаимодействуют, растворяя гексагональную и не растворяя тетрагональную модификацию |
| Кислота фтористоводородная + калий хлористый (раствор) | — | Взаимодействуют с образованием фторида калия германия K_2GeF_6 |
| Натрия гидрокись (раствор) | 100 | Взаимодействует, растворяя гексагональную модификацию с образованием германатов щелочных металлов. Медленно растворяет тетрагональную модификацию |
| Сероводород | 800 | Взаимодействует с образованием сульфида германия |
| Свинца окись | 500 | Взаимодействует с образованием ряда соединений, у которых отношение $\text{GeO}_2 : \text{PbO}$ изменяется от 1 : 6 до 1 : 0,33 |
| Таллия карбонат (раствор) | — | Взаимодействует по реакции $5\text{GeO}_2 + \text{Tl}_2\text{CO}_3 = \text{Tl}_2\text{Ge}_5\text{O}_{11} + \text{CO}_2$ |
| As_2O_3 [1; 448, т. 1; 450, т. 1] | | |
| Вода | — | Взаимодействует, растворяя |

| 1 | 2 | 3 |
|-------------------------------|-----|--|
| Водород | — | Взаимодействует в кислом растворе в момент выделения, восстанавливая до AsH_3 |
| Водород фтористый (безводный) | 140 | Взаимодействует с образованием трехфтористого мышьяка |
| Кислота азотная | 70 | Взаимодействует по реакции $\text{As}_2\text{O}_3 + 2\text{HNO}_3 + 2\text{H}_2\text{O} = 2\text{H}_3\text{AsO}_4 + \text{N}_2\text{O}_3$ |
| Окислители | — | Взаимодействуют, окисляя до мышьяковой кислоты |
| Олово хлористое | — | Взаимодействует, выделяя металлический мышьяк из солянокислых растворов |
| Углерод, калия цианид | — | Взаимодействуют, восстанавливая до металла |

As_2O_5 [1]

| | | |
|------|----|---|
| Вода | 20 | Активно взаимодействует с образованием мышьяковой кислоты |
|------|----|---|

SeO_2 [1; 448, т. 1; 450, т. 1; 453]

| | | |
|------------------------------------|----|---|
| Вода | 20 | Взаимодействует с образованием селенистой кислоты |
| Водорода перекись | — | Взаимодействует с образованием селеновой кислоты |
| Водород хлористый | — | Взаимодействует с сухой SeO_2 с образованием соединения $\text{SeO}_2 \cdot 2\text{HCl}$ |
| Кислота серная (концентрированная) | — | Взаимодействует с образованием селенистой кислоты |
| Селен + четыреххлористый | — | Взаимодействует при нагревании с образованием оксихлорида SeOCl_2 |
| Селен + водород хлористый (сухой) | — | Взаимодействуют с образованием хлористого селена |
| Селен + водород бромистый | — | Взаимодействуют с образованием бромистого селена |
| Селен + хлор | — | Взаимодействуют с образованием оксихлорида |

| 1 | 2 | 3 |
|---|---------|--|
| SeO₃ [1; 450, т. 1; 453] | | |
| Вода | 20 | Взаимодействует с образованием селеновой кислоты |
| Водород хлористый + сернистый ангидрид (жидкий) | — | Взаимодействуют с образованием хлорсelenовой кислоты HSeO ₃ Cl |
| Кислота селеновая | — | Взаимодействует с образованием пирокислот селена H ₂ Se ₂ O ₇ , H ₄ Se ₃ O ₁₁ и H ₂ Se ₃ O ₁₀ |
| Кислота фтористоводородная | — | Взаимодействует с образованием фторсelenовой кислоты |
| Сера | — | Взаимодействует, восстанавливая до селена |
| Rb₂O [446, т. 1; 448, т. 1] | | |
| Водород | — | Взаимодействует при пропускании через нагретую Rb ₂ O с образованием смеси RbH и RbOH |
| Кислород | — | Взаимодействует при нагревании с образованием RbO ₂ |
| Rb₂O₂ [446, т. 1; 448, т. 1] | | |
| Вода | — | Взаимодействует по реакции $Rb_2O_2 + H_2O = 2RbOH + \frac{1}{2}O_2$ |
| Кислород | — | Взаимодействует при нагревании с образованием RbO ₂ |
| Рубидий | — | Взаимодействует в серебряном тигле с образованием Rb ₂ O |
| RbO₂ [446, т. 1; 448, т. 1] | | |
| Вода | — | Взаимодействует по реакции $2RbO_2 + 2H_2O = 2RbOH + H_2O_2 + O_2$ |
| Рубидий | — | Взаимодействует в серебряном тигле с образованием Rb ₂ O |
| SrO [446, т. 1] | | |
| Аммония хлорид | 180—300 | Взаимодействует по реакции $SrO + 2NH_4Cl = SrCl_2 + 2NH_3 + H_2O$ |

| 1 | 2 | 3 |
|------------------------|-----|---|
| Вода | — | Взаимодействует, растворяя с поглощением тепла |
| Калия цианид | 700 | Взаимодействует по реакции $\text{SrO} + \text{KCN} = \text{Sr} + \text{KCNO}$ |
| Кислоты разбавленные | — | Взаимодействует по реакции $\text{SrO} + 2\text{HCl} = \text{SrCl}_2 + \text{H}_2\text{O}$ и $\text{SrO} + 2\text{HNO}_3 = \text{Sr}(\text{NO}_3)_2 + \text{H}_2\text{O}$ |
| Металлы (K, Mg, Al, W) | — | Взаимодействуют, восстанавливая до металлического Sr |
| Метанол | — | Взаимодействует с образованием $\text{Sr}(\text{OH})\text{OCH}_3$ и $\text{Sr}(\text{OCH}_3)_2$ |

SrO_2 [1; с. 446, т. 2]

| | | |
|-------------------|----|--|
| Водорода перекись | 20 | Взаимодействует с образованием $\text{SrO}_2 \cdot 2\text{H}_2\text{O}_2$ |
|-------------------|----|--|

Y_2O_3 [1; с. 446, т. 2]

| | | |
|-----------------------------|------|--|
| Аммоний хлористый, иодистый | — | Взаимодействует при нагревании по реакции $\text{Y}_2\text{O}_3 + 6\text{NH}_4\text{I} = 2\text{YI}_3 + 6\text{NH}_3 + 3\text{H}_2\text{O}$ |
| Водород | 200 | Взаимодействует, восстанавливая до металлического иттрия |
| Сероводород | 1450 | Взаимодействует с образованием сульфида |
| Сероуглерод (пары) | — | Взаимодействует с образованием сульфида |
| Углерод | 1800 | Взаимодействует с образованием карбида |
| Хлор | — | Взаимодействует в присутствии углерода с образованием хлорида |

ZrO_2 [1; 446, т. 2]

| | | |
|---|---|---|
| Аммоний фтористый кислый | — | Взаимодействует с образованием фторида |
| Гидроокиси и карбонаты щелочных металлов (растворы) | — | Взаимодействуют с образованием цирконатов Me_2ZrO_3 и Me_4ZrO_4 |

| 1 | 2 | 3 |
|---------------------------------------|-----------|---|
| Кальций, магний, сплавы Ca—Na и Mg—Na | — | Взаимодействуют при нагревании, восстанавливая до металлического циркония |
| Кислоты азотная и соляная | — | Не взаимодействуют |
| Кислота серная (концентрированная) | — | Взаимодействует при нагревании с образованием сульфата |
| Кислота серная (разбавленная) | — | Не взаимодействует |
| Кислота фтористоводородная | 500 | Взаимодействует по реакции $ZrO_2 + 6HF = H_2[ZrF_6] + 2H_2O$ |
| Окислы германия, кремния и титана | | Взаимодействуют при сплавлении с образованием силикатов, титанатов и германатов |
| Окислы редкоземельных металлов | — | Взаимодействуют при сплавлении с образованием цирконатов типа $Me_2Zr_2O_7$ |
| Серы трехокись | 400 | Взаимодействует с образованием $Zr(SO_4)_2$ |
| Окислы щелочноzemельных металлов | — | Взаимодействуют с образованием цирконатов $MeZrO_3$ |
| Окислы и хлориды щелочных металлов | | Взаимодействуют с образованием Me_2ZrO_3 |
| Сероуглерод (пары) | — | Взаимодействует с образованием сульфида |
| Углерод | 1900—2000 | Взаимодействует с образованием карбида |
| Углерод в среде азота | 1100—1200 | Взаимодействует с образованием нитрида |

NbO [446, т. 2]

| | | |
|---------------------------------------|---|--|
| Воздух, кислород | — | Взаимодействуют при нагревании окисляя до Nb_2O_5 |
| Кислоты HCl , HF , $HF + H_2SO_4$ | — | Взаимодействуют |
| Хлор | — | Взаимодействует при нагревании по реакции $NbO + \frac{3}{2}Cl_2 = NbOCl_3$ |

| 1 | 2 | 3 |
|---|----------|---|
| NbO₂ [446, т. 2] | | |
| Воздух | — | Взаимодействует при нагревании, окисляя до Nb ₂ O ₅ |
| Вода | — | Не взаимодействует |
| Водород | 1300 | Взаимодействует, восстанавливая |
| Гидроокиси щелочных металлов (растворы) | — | Не взаимодействуют |
| Кислоты | — | Не взаимодействуют |
| Натрия нитрит | 250—350 | Взаимодействует по реакции $3\text{NbO}_2 + 3\text{NaNO}_2 = \text{Na}_3\text{Nb}_3\text{O}_9 + 3\text{NO}$ |
| Натрия сульфит | 450—600 | Взаимодействует по реакции $12\text{NbO}_2 + 3\text{Na}_2\text{SO}_3 = 2\text{Na}_3\text{Nb}_3\text{O}_9 + 3\text{Nb}_2\text{O}_5 + 3\text{S}$ |
| Натрия сульфат | 800—1100 | Взаимодействует по реакции $18\text{NbO}_2 + 3\text{Na}_2\text{SO}_4 = 2\text{Na}_3\text{Nb}_3\text{O}_9 + 6\text{Nb}_2\text{O}_5 + 3\text{S}$ |
| Хлор | 200—400 | Взаимодействует по реакции $10\text{NbO}_2 + 5\text{Cl}_2 = 4\text{Nb}_2\text{O}_5 + 2\text{NbCl}_5$ |
| Nb₂O₅ [1; 446, т. 2; 447, т. 3; 450, т. 1] | | |
| Аммиак | 500—800 | Взаимодействует с образованием нитрида |
| Алюминий, кальций, магний | — | Взаимодействуют, восстанавливая до моноокиси |
| Алюминий бромистый | 200 | Взаимодействует с образованием пятибромистого ниобия |
| Алюминий хлористый | 400 | Взаимодействует с образованием хлорида |
| Бром (жидкий) + углерод | — | Взаимодействует с образованием пятибромистого ниобия |
| Водород | 800—1000 | Взаимодействует, восстанавливая до двуокиси |
| » | 1200 | При длительном взаимодействии (50 ч) восстанавливает до моноокиси |
| Водорода перекись | — | Взаимодействует с водным раствором сплава Nb ₂ O ₅ с KOH с образованием перекисной соли K ₃ NbO ₃ |
| Вода | — | Не взаимодействует |
| Водород | — | Взаимодействует, восстанавливая до NbO ₂ и NbO |
| Водород хлористый (газообразный) | — | Взаимодействует с образованием летучего хлорида |

| 1 | 2 | 3 |
|---|-----------|--|
| Водород фтористый (газообразный) | — | Взаимодействует с образованием летучего фторида |
| Калий едкий (раствор) | 120—200 | Взаимодействует с образованием гексаниобата ($K_8Nb_6O_{19}$) или метаниобата ($KNbO_3$) калия |
| Калий фтористый кислый + кислота фтористоводородная | — | Взаимодействуют с образованием гептафторониобата K_2NbF_4 |
| Кальция гидрид, силициды алюминия, кальция, магния | — | Взаимодействуют, восстанавливая до металла |
| Карбонаты щелочных металлов (расплавы) | — | Взаимодействуют с образованием ортониобатов Me_3NbO_4 |
| Кислота соляная | — | Взаимодействует в зависимости от концентрации кислоты и температуры прокалки окиси |
| Кислота серная | — | Взаимодействует в зависимости от концентрации кислоты и температуры прокалки окиси |
| Кремний | — | Взаимодействует, восстанавливая до металлического ниobia |
| Магний | 600 | Взаимодействует в вакууме, восстанавливая до двуокиси, моноокиси или металлического ниobia с образованием в качестве побочного продукта метаниобата магния |
| Ниобий | 1200—1250 | Взаимодействует, восстанавливая до двуокиси или моноокиси |
| Сера однохлористая | 220—300 | Взаимодействует с образованием пятихлористого ниobia |
| Серы хлорокись | 220 | Взаимодействует с образованием хлорокиси ниobia $NbOCl_3$ |
| Углерод | 900 | Взаимодействует, восстанавливая до двуокиси |
| » | 1200 | Взаимодействует, восстанавливая до моноокиси |
| » | 2100 | Взаимодействует, восстанавливая до металлического ниobia |
| » | 1700—1800 | Взаимодействует в вакууме с образованием карбида ниobia |
| Углерода окись | 1100 | Взаимодействует, восстанавливая до моноокиси |
| Углерод четыреххлористый | 220—225 | Взаимодействует с образованием летучих хлорида $NbCl_5$ и хлорокиси $NbOCl_3$ |

| 1 | 2 | 3 |
|---|-----------|---|
| Сероводород, сеноуглерод | — | Взаимодействует с образованием оксисульфида Nb_2OS_3 |
| Сульфаты, хроматы, молибдаты, вольфраматы, щелочных металлов (расплавы) | — | Взаимодействуют с образованием метаниобатов $MNbO_3$ |
| Фосфор пятыхлористый | 180—235 | Взаимодействует с образованием хлорида |
| Хлор | 800—850 | Взаимодействует с образованием $NbOCl_3$ |
| Хлор + углерод | 1000—1050 | Взаимодействуют с образованием летучего хлорида и хлороксида ниobia |

MoO_2 [1; 446, т. 2; 447, т. 3; 450, т. 1]

| | | |
|--------------------------------------|----------|---|
| Вода | >100 | Взаимодействует, окисляя до MoO_3 |
| Водород | 950—1100 | Взаимодействует, восстанавливая до металлического молибдена |
| Воздух | — | Взаимодействует, окисляя до MoO_3 |
| Гидроокиси щелочноземельных металлов | — | Взаимодействуют при нагревании без доступа воздуха с образованием окрашенных молибдатов $MeMoO_3$ |
| Кислоты окислители | — | Взаимодействуют, окисляя до MoO_3 |
| Сера | — | Взаимодействует с образованием сульфида |
| Углерода двуокись | — | Взаимодействует, окисляя до MoO_3 |
| Хлор | 300 | Взаимодействует с образованием оксихлорида молибдена |

MoO_3 [1; 446, т. 2; 447, т. 3; 450, т. 1]

| | | |
|-------------------|---|--|
| Аммиак в растворе | — | Взаимодействует с образованием молибдата |
|-------------------|---|--|

| 1 | 2 | 3 |
|--|---------|--|
| Аммиак (газообразный) | — | Взаимодействует при нагревании по реакции $3\text{MoO}_3 + 2\text{NH}_3 = 3\text{MoO}_2 + 3\text{H}_2\text{O} + \text{N}_2$ |
| Вода | — | Незначительно растворяет |
| Водород | 450—470 | Взаимодействует, восстанавливая до MoO_2 |
| Водород | 800—900 | Взаимодействует, восстанавливая до металлического молибдена |
| Водород хлористый (сухой) | 150—200 | Взаимодействует с образованием желтых игл $\text{H}_2[\text{MoO}_3\text{Cl}_2]$ |
| Гидроокиси и карбонаты щелочных металлов (растворы) | — | Взаимодействуют с образованием молибдатов $\text{M}_2[\text{MoO}_4]$ |
| Гидроокиси, карбонаты, бораты щелочных металлов (расплавы) | — | Взаимодействуют с образованием молибдатов и изополимолибдатов |
| Кислоты соляная и азотная | — | Не взаимодействуют |
| Кислота серная (концентрированная) | — | Взаимодействует с образованием диоксосульфата молибдена |
| Кислота фтористоводородная | — | Взаимодействует с образованием MoO_2F_2 |
| Литий фтористый | — | Взаимодействует при нагревании с образованием MoO_2F_2 |
| Молибден | 580 | Взаимодействует, восстанавливая до Mo_4O_{11} |
| Оксиды железа, кальция и меди | 500—600 | Взаимодействуют с образованием молибдатов MeMoO_4 |
| Углерода окись | 400 | Взаимодействует по реакции $\text{MoO}_3 + \text{CO} = \text{MoO}_2 + \text{CO}_2$ |
| Сероводород | — | Взаимодействует при нагревании с образованием MoS_2 |
| Фториды щелочных металлов (кроме LiF) | — | Взаимодействуют с образованием оксофторомолибдатов типа $\text{Me}_3[\text{MoO}_3\text{F}_3]$ |
| Хлор, хлориды щелочных металлов, углерода, фосфора, железа | — | Взаимодействуют при нагревании с образованием оксихлорида MoO_2Cl_2 |

| 1 | 2 | 3 |
|---|-----|--|
| TcO₂ [446, т. 2; 450, т. 1] | | |
| Воздух, кислород | — | Взаимодействуют, окисляя до Tc ₂ O ₇ |
| Хлор | 300 | Взаимодействует |
| Tc₂O₇ [446, т. 2; 450, т. 1] | | |
| Вода | — | Взаимодействует с образованием технециевой кислоты HTcO ₄ |
| Водород | — | Взаимодействует при нагревании, восстанавливая до металла |
| Технеций | — | Взаимодействует при нагревании, восстанавливая до TcO ₃ |
| RuO₂ [1; 446, т. 2] | | |
| Водород, окись углерода | — | Взаимодействуют при нагревании, восстанавливая до металлического рутения |
| Воздух | 930 | Взаимодействует, вызывая диссоциацию на рутений и кислород |
| Кислоты | — | Не взаимодействуют |
| RuO₄ | | |
| Вода | 20 | Растворяет |
| Гидроокиси щелочных металлов | — | Взаимодействуют по реакции $\text{RuO}_4 + 2\text{MeOH} = \text{Me}_2\text{RuO}_4 + \text{H}_2\text{O} + 1/2\text{O}_2$ |
| Кислота соляная (концентрированная) | — | Взаимодействует с выделением хлора и образованием оксихлорида, который при избытке восстанавливается до RuCl ₄ |
| Органические вещества | — | Активно взаимодействуют, восстанавливая до окиси RuO ₂ |
| RhO [446, т. 2] | | |
| Вода | — | Не взаимодействует |
| Кислоты | — | Не взаимодействуют |

| 1 | 2 | 3 |
|--|--------|---|
| Rh₂O₃ [446, т. 2] | | |
| Вода | — | Не взаимодействует |
| Водород | — | Взаимодействует при нагревании, восстанавливая до металла |
| Кислота соляная + азотная | — | Не взаимодействуют |
| PdO [1; с. 354, 446, т. 2] | | |
| Водород | 20 | Взаимодействует, восстанавливая до металлического палладия |
| Воздух | До 700 | Не взаимодействует |
| Кислород | До 800 | » » |
| Кислоты | — | Не взаимодействуют |
| Кислота бромистоводородная (концентрированная) | — | Взаимодействует |
| Смесь кислот азотной и соляной | — | Не взаимодействует |
| Углерода окись | — | Взаимодействует, окисляясь до CO ₂ |
| Ag₂O [1; 446, т. 2; 450, т. 2] | | |
| Аммиак (раствор) | — | Взаимодействует с образованием комплексного соединения $[Ag(NH_3)_2]OH$ |
| Аммоний угле- кислый | — | Взаимодействует по реакции $Ag_2O + 2(NH_4)_2CO_3 = [Ag(NH_3)_2]_2CO_3 + 2H_2O + CO_2$ |
| Вода | 18 | Растворяет $1,1 \cdot 10^{-4}$ моль/л |
| Водород | 100 | Взаимодействует, восстанавливая до металлического серебра |
| Водорода перекись | 20 | Взаимодействует по реакции $Ag_2O + H_2O_2 = 2Ag + H_2O + O_2$ |
| Галогены (растворы) | — | Взаимодействуют с образованием солей AgIO ₃ |
| Калий едкий + + калий марганцевокислый | — | Взаимодействует с образованием перекиси серебра |

| 1 | 2 | 3 |
|-------------------------------------|-----|--|
| Кислота азотная | — | Взаимодействует с образованием AgNO_3 |
| Кислота фтористоводородная | — | Взаимодействует с образованием фторида AgF . При избытке кислоты выделяются двойные соединения $\text{AgF}\cdot\text{HF}$; $\text{AgF}\cdot\text{3HF}$ |
| Кислота хлорноватная | — | Взаимодействует по реакции $\text{Ag}_2\text{O} + 2\text{HClO}_3 = 2\text{AgClO}_3 + \text{H}_2\text{O}$ |
| Натрия окись | 400 | Взаимодействует с образованием ортоаргентита натрия Na_3AgO_2 |
| Щелочных металлов цианиды | — | Взаимодействуют в растворах по реакции $\text{Ag}_2\text{O} + 4\text{MeCN} + \text{H}_2\text{O} = 2\text{Me}[\text{Ag}(\text{CN})_2] + 2\text{MeOH}$ |
| Щелочных металлов сульфиды, сера | — | Взаимодействуют с образованием Ag_2S |
| Хрома окись | — | Взаимодействует по реакции $5\text{Ag}_2\text{O} + \text{Cr}_2\text{O}_3 = 2\text{Ag}_2\text{CrO}_4 + 6\text{Ag}$ |
| Хрома гидроокись (щелочной раствор) | — | Взаимодействует по реакции $3\text{Ag}_2\text{O} + 2\text{Cr(OH)}_3 + 4\text{MeOH} = 2\text{Me}_2\text{CrO}_4 + 6\text{Ag} + 5\text{H}_2\text{O}$ |

AgO [1; 446, т. 2; 450, т. 2]

| | | |
|---|---|--|
| Аммиак, нитриды щелочных металлов | — | Взаимодействуют, окисляясь |
| Вода | — | Не взаимодействует |
| Кислоты азотная, серная и хлорная (концентрированная) | — | Взаимодействуют, растворяя |
| Цинк + едкий натр (раствор) | — | Взаимодействует по реакции $\text{AgO} + \text{Zn} + 2\text{KOH} + \text{H}_2\text{O} = \text{Ag} + \text{K}_2[\text{Zn}(\text{OH})_4]$ |

CdO [1; 446, т. 2]

| | | |
|----------------------------|---|--|
| Алюминия, железа и кремния | — | Взаимодействуют при нагревании с образованием алюминатов, ферритов и силикатов |
|----------------------------|---|--|

| 1 | 2 | 3 |
|-------------------------|--------|---|
| Водород | 300 | Взаимодействует, восстанавливая до металлического кадмия |
| Кадмия хлорид (раствор) | 210 | Взаимодействует с образованием гидроксихлорида кадмия $Cd(OH)Cl$ |
| Кислоты | — | Взаимодействуют с образованием соответствующих солей |
| Кремния окись | 60—800 | Взаимодействует с образованием силиката $CdO \cdot SiO_2$ |
| Кремния окись | 900 | Взаимодействует с образованием моносиликата $2CdO \cdot SiO_2$ |
| Нитрозил перхлорат | 60—110 | Взаимодействует с образованием перхлората кадмия $Cd(ClO_4)_2$ |
| Углерод | 600 | Взаимодействует, восстанавливая до металлического кадмия |
| Сера (расплав) | 300 | Взаимодействует с образованием сульфида |
| Сероводород | — | Взаимодействует при нагревании с образованием CdS |
| Хлор | — | Взаимодействует при нагревании с образованием хлорида |
| Цинка сульфат (раствор) | — | Взаимодействует по реакции $CdO + ZnSO_4 + H_2O = CdSO_4 + Zn(OH)_2$ |

In_2O_3 [1; 446, т. 1; 450, т. 2]

| | | |
|------------------------------|---------|--|
| Аммиак (газообразный) | 200—300 | Взаимодействует, восстанавливая до металлического индия |
| Аммиак (раствор) | — | Не взаимодействует |
| Водород | 200—300 | Взаимодействует, восстанавливая до металлического индия |
| Гидроокиси щелочных металлов | — | Не взаимодействуют |
| Кислоты | — | Взаимодействуют, растворяя |
| Магний, натрий, углерод | — | Взаимодействуют при нагревании, восстанавливая до металлического индия |
| Сероуглерод | 700 | Взаимодействует с образованием сульфида индия |

| 1 | 2 | 3 |
|-------------------------------|-----|--|
| Серы хлорокись | 300 | Взаимодействует с образованием треххлористого индия |
| Фтор | 500 | Взаимодействует с образованием трехфтористого индия |
| Окислы двухвалентных металлов | — | Взаимодействуют при сплавлении с образованием соединений типа шпинелей |

SnO [1; 446, т. 1; 450, т. 1]

| | | |
|---|-----|--|
| Азота двуокись | — | Взаимодействует по реакции $\text{SnO} + \text{NO}_2 = \text{SnO}_2 + \text{NO}$ |
| Бор, водород, кремний | — | Взаимодействуют при нагревании, восстанавливая до металлического олова |
| Вода (пары) | — | Взаимодействует по реакции $\text{SnO} + \text{H}_2\text{O} = \text{SnO}_2 + \text{H}_2$ |
| Воздух | 550 | Взаимодействует, окисляясь до SnO_2 |
| Гидроокиси щелочных металлов (концентрированные растворы) | — | Взаимодействуют по реакции $2\text{SnO} + 2\text{MeOH} + 2\text{H}_2\text{O} = \text{Me}_2[\text{Sn}(\text{OH})_6] + \text{Sn}$ |
| Кислоты | — | Взаимодействуют с образованием соответствующих солей |
| Кислород | 550 | Взаимодействует с образованием SnO_2 |
| Сера | — | Взаимодействует по реакции $2\text{SnO} + 5\text{S} = 2\text{SnS}_2 + \text{SO}_2$ |
| Серы двуокись | — | Взаимодействует по реакции $2\text{SnO} + \text{SO}_2 = 2\text{SnO}_2 + \text{S}$ |
| Углерода двуокись | — | Взаимодействует по реакции $\text{SnO} + \text{CO}_2 = \text{SnO}_2 + \text{CO}$ |
| Хлор | — | Взаимодействует по реакции $2\text{SnO} + 2\text{Cl}_2 = \text{SnO}_2 + \text{SnCl}_4$ |
| Этиловый спирт (пары) | 350 | Взаимодействует по реакции $6\text{SnO} + \text{C}_2\text{H}_5\text{OH} = 6\text{Sn} + 2\text{CO}_2 + 3\text{H}_2\text{O}$ |

| 1 | 2 | 3 |
|---|--|--|
| | SnO_2 [1; 446, т. 1; 448, т. 1; 450, т. 1] | |
| Алюминий, цинк, магний | 300 | Взаимодействуют, восстанавливая до металлического олова |
| Водород | 750 | Взаимодействует, восстанавливая до металлического олова |
| Гидроокиси и окиси щелочных металлов | — | Взаимодействуют при сплавлении по реакциям $\text{SnO}_2 + \text{Me}_2\text{O} = \text{Me}_2\text{SnO}_3$ и $\text{SnO}_2 + 2\text{MeOH} = \text{Me}_2\text{SnO}_3 + \text{H}_2\text{O}$ |
| Калий цианид | — | Взаимодействует по реакции $\text{SnO}_2 + 2\text{KCN} = \text{Sn} + 2\text{KCNO}$ |
| Кислота серная (концентрированная) | — | Взаимодействует при нагревании по реакции $\text{SnO}_2 + 2\text{H}_2\text{SO}_4 = \text{Sn}(\text{SO}_4)_2 + 2\text{H}_2\text{O}$ |
| Натрий углекислый + сера (расплав) | | Взаимодействует с образованием гиостанната Na_2SnS_3 |
| Углерод | | Взаимодействует, восстанавливая до металлического олова |
| Углерода окись | 450 | Взаимодействует, восстанавливая до SnO |
| » » | 750 | Взаимодействует, восстанавливая до металлического олова |
| Углерод в токе хлора | — | Взаимодействует при прокаливании с образованием тетрахлорида олова |
| Этиловый спирт (пары) | 650 | Взаимодействует по реакции $\text{SnO}_2 + 4\text{C}_2\text{H}_5\text{OH} = \text{Sn} + 2\text{CH}_3\text{CHO} + 2\text{C}_2\text{H}_4 + 4\text{H}_2\text{O}$ |
| | Sb_2O_3 [1; 446, т. 1; 448, т. 1; 450, т. 1] | |
| Вода | — | Взаимодействует медленно |
| Водород, магний, натрий, углерод | 700 | Взаимодействуют, восстанавливая до металлической сурьмы |
| Воздух | — | Взаимодействует при прокаливании, окисляясь до Sb_2O_4 |
| Гидроокиси щелочных металлов (растворы) | — | Взаимодействуют с образованием антимонитов |

| 1 | 2 | 3 |
|---|-----|---|
| Кислота фтористоводородная | — | Взаимодействует с образованием трехфтористой сурьмы |
| Кислород | 900 | Взаимодействует с образованием SbO_2 |
| Кислоты азотная, серная (разбавленная) | — | Не взаимодействуют |
| Кислота соляная (концентрированная) | — | Взаимодействует при нагревании |
| Кислота винная | — | Взаимодействует, растворяя |
| SbO_2 [446, т. 1; 448, т. 1] | | |
| Алюминий, водород, магний, углерод, углерода окись | 700 | Взаимодействуют, восстанавливая |
| Вода | — | Не взаимодействует |
| Кислота соляная+калий иодистый | — | Взаимодействуют при нагревании по реакции $2SbO_2 + 8HCl + 2KI = 2SbCl_3 + I_2 + 2KCl + 4H_2O$ |
| Гидроокиси и карбонаты щелочных металлов (расплавы) | — | Взаимодействуют с образованием пироантимонатов типа $Me_3Sb_2O_7$ |
| Сурьма | — | Взаимодействует при нагревании с образованием Sb_2O_3 |
| Sb_2O_5 [446, т. 1] | | |
| Вода | — | Медленно растворяет по реакции $Sb_2O_5 + 7H_2O = 2H[Sb(OH)_6]$ |
| Водород, углерод | — | Взаимодействуют при высокой температуре, восстанавливая до металлической сурьмы |
| Соли винной кислоты | — | Взаимодействуют по реакции $Sb_2O_5 + 2KHC_4O_6H_4 = 2K[SbO_2H_2]C_4O_6H_2 + H_2O$ |
| Гидроокись калия (раствор) | — | Взаимодействует по реакции $Sb_2O_5 + 2KOH + 5H_2O = 2K[Sb(OH)_6]$ |

| I | 2 | 3 |
|---|---|--|
| Карбонаты щелочных металлов, окислы одно-, двух- и трехвалентных металлов | — | Взаимодействуют при длительном сплавлении с образованием смешанных окислов $Sb_2O_5 \cdot Me_2O$, $Sb_2O_5 \cdot MeO$, $Sb_2O_5 \cdot MeO_2$, $Sb_2O_5 \cdot Me_2O_3$ |
| Кислота соляная (концентрированная) | — | Взаимодействует по реакции $Sb_2O_5 + 12HCl = 2H[SbCl_6] + 5H_2O$ |
| Сера | — | Взаимодействует при нагревании по реакции $2Sb_2O_5 + 11S = 2Sb_2S_3 + 5SO_2$ |
| Хлор | — | Взаимодействует при нагревании по реакции $Sb_2O_5 + 3Cl_2 = 2SbCl_3 + 5/2O_2$ |

TeO_2 [1; 448, т. 1; 450, т. 1; 453]

| | | |
|---|---|--|
| Вода | — | Мало растворяет (1 : 150000) |
| Гидроокиси щелочных металлов (растворы) | — | Взаимодействуют с образованием теллуритов Me_2TeO_3 |
| Кислоты (концентрированные) | — | Взаимодействуют с образованием солей четырехвалентного теллура |

TeO_3 [1; 448, т. 1; 450, т. 1; 450]

| | | |
|---|---|---|
| Вода | — | Не взаимодействует |
| Гидроокиси щелочных металлов (растворы) | — | Взаимодействуют с образованием соответствующих теллуратов |

I_2O_5 [448, т. 1; 450, т. 1]

| | | |
|----------------|---|--|
| Вода | — | Взаимодействует с образованием иодноватой кислоты |
| Углерода окись | — | Взаимодействует по реакции $I_2O_5 + 5CO = 5CO_2 + I_2$ |

| 1 | 2 | 3 |
|---|---------|--|
| Cs₂O [446, т. 1; 448, т. 1] | | |
| Аммиак жидкий | — | Взаимодействует с образованием гидроокиси и амида цезия |
| Вода | — | Активно взаимодействует с образованием гидроокиси |
| Водород | 180 | Взаимодействует при слабом нагревании по реакции $Cs_2O + H_2 = CsOH + CsH$ |
| Кислород | 150 | Взаимодействует с образованием надперекиси |
| Фтор, хлор | 150—200 | Взаимодействует с образованием CsF и CsCl |
| Cs₂O₂ [446, т. 1; 448, т. 1] | | |
| Вода | — | Взаимодействует по реакции $Cs_2O_2 + 2H_2O = 2CsOH + H_2O_2$ |
| CsO₂ [446, т. 1; 448, т. 1] | | |
| Вода | — | Взаимодействует по реакции $2CsO_2 + 2H_2O = 2CsOH + H_2O_2 + O_2$ |
| BaO [1, т. 357; 446, т. 1] | | |
| Аммоний хлористый | — | Взаимодействует при нагревании по реакции $BaO + 2NH_4Cl = BaCl_2 + 2NH_3 + H_2O$ |
| Вода | — | Взаимодействует с образованием Ba(OH) ₂ |
| Воздух | 500 | Окисляет до образования перекиси BaO ₂ |
| Кислород | 330 | Взаимодействует с образованием перекиси BaO ₂ |

| 1 | 2 | 3 |
|---|----------------|---|
| Металлы (Mg , Zn , Al), кремний Окислы | 1100—1250 — | Взаимодействуют, восстанавливая до металлического бария Взаимодействуют по реакциям $BaO + SiO_2 = BaSiO_3$; $2BaO + PbO_2 = Ba_2PbO_4$; $BaO + Al_2O_3 = Ba(AlO_2)_2$ и $BaO + Fe_2O_3 = Ba(FeO_2)_2$ |
| Сера | — | Взаимодействует по реакции $2BaO + 3S = 2BaS + SO_2$ |
| Серы двуокись | 230 | Взаимодействует по реакции $BaO + SO_2 = BaSO_3$ |
| Сероуглерод | — | Взаимодействует по реакции $3BaO + CS_2 = 2BaS + BaCO_3$ |
| Углерод | — | Взаимодействует с образованием карбида BaC_2 |
| Хлор | — | Взаимодействует при нагревании по реакции $4BaO + 3Cl_2 = BaO_2 + 2BaCl_2 + Ba(ClO)_2$ |
| BaO_2 [1; 446, т. 1] | | |
| Вода | — | Трудно растворяет с образованием гидрата $BaO \cdot 8H_2O$ |
| Воздух | 700 | Взаимодействует с отщеплением кислорода $BaO_2 = BaO + 1/2O_2$ |
| Водорода перекись | — | Взаимодействует с образованием $BaO_2 \cdot H_2O_2$ |
| Железа двухвалентного соли | — | Взаимодействуют, окисляясь до солей трехвалентного железа |
| Кислоты разбавленные | — | Взаимодействуют по реакциям $BaO_2 + 2HCl = BaCl_2 + H_2O_2$ и $BaO_2 + H_2SO_4 = BaSO_4 + H_2O_2$ |
| Ртуть хлористая | — | Восстанавливается до металлической ртути |
| Спирт, эфир | — | Не взаимодействуют |

| 1 | 2 | 3 |
|---|---------|--|
| La₂O₃ [1; 446, т. 2] | | |
| Азот в присутствии углерода | 1200 | Взаимодействует с образованием нитрида |
| Алюминий иодистый | 450 | Взаимодействует по реакции $La_2O_3 + 2AlI_3 = 2LaI_3 + Al_2O_3$ |
| Аммония соли | 250—350 | Взаимодействуют с выделением амиака |
| Вода | — | Легко растворяет с образованием гидроокиси |
| Кислоты азотная и соляная | — | Взаимодействуют с образованием соответствующих солей |
| Кислота серная | — | Взаимодействует по реакции $La_2O_3 + 3H_2SO_4 = La_2(SO_4)_3 + 3H_2O$ |
| Лантана фторид | 900 | Взаимодействует в вакууме по реакции $La_2O_3 + LaF_3 = 3LaOF$ |
| Селеноводород | 1000 | Взаимодействует с образованием селенида |
| Серы монохлорид | — | Взаимодействует по реакции $2La_2O_3 + 6S_2Cl_2 = 4LaCl_3 + 3SO_2 + 9S$ |
| Сероуглерод | — | Взаимодействует по реакции $La_2O_3 + 3CS_2 = La_2S_3 + 3CO + 3S$ |
| Углерод | 1800 | Взаимодействует с образованием карбида |
| Углерод и азот | 1200 | Взаимодействуют с образованием нитрида |
| Углерода окись | — | Взаимодействует с образованием La ₂ (CO ₃) ₃ |
| Хлор | — | Взаимодействует в присутствии углерода с образованием хлорида |

Ce₂O₃ [1; 447, т. 3]

| | | |
|---------|---|--------------------------|
| Воздух | — | Взаимодействует, окисляя |
| Кислоты | — | Взаимодействуют |

| 1 | 2 | 3 |
|---|----------|---|
| CeO₂ [1; 447, т. 3] | | |
| Калий хлористый (расплав) | 900—1000 | Взаимодействует с образованием CeCl ₃ |
| Кислота соля- ная + диоксан | — | Взаимодействуют с образованием диоксанового производного гексахлорцеревой кислоты H ₂ CeCl ₆ ·4C ₄ H ₈ O ₂ |
| Кислоты | — | Взаимодействуют в присутствии восстановителей |
| Натрия, бария и стронция окислы | 450—600 | Взаимодействуют с образованием цератов Na ₂ CeO ₃ , BaCeO ₃ и SrCeO ₃ |
| Натр едкий | 900 | Взаимодействует с образованием церата |
| Углерод | 1800 | Взаимодействует с образованием карбида |
| Кислота фтори- стоводородная | — | Взаимодействует с образованием трехфтористого церия |
| HfO₂ [1; 446, т. 2] | | |
| Вода | — | Не взаимодействует |
| Карбонаты и ще- лочи (расплавы) | — | Взаимодействуют с образованием гафнатов щелочных металлов Me ₂ HfO ₃ и Me ₄ HfO ₄ |
| Кислота фтори- стоводородная | — | Взаимодействует по реакции HfO ₂ + 6HF = H ₂ [HfF ₆] + 2H ₂ O |
| Кислоты | — | Не взаимодействуют |
| Окислы германия, кремния и титана (расплавы) | — | Взаимодействуют с образованием германатов, силикатов и титанатов гафния |
| Окислы щелочно- земельных метал- лов (расплавы) | — | Взаимодействуют с образованием гафнатов MeHfO ₃ |
| TaO₂ [446, т. 2] | | |
| Вода | — | Не взаимодействует |
| Воздух | — | Взаимодействует, окисляя до Ta ₂ O ₅ |
| Гидроокиси ще- лочных металлов | — | Взаимодействуют при сплавлении с образованием танталатов |

| | 2 | 3 |
|---|---------|---|
| Калий азотнокислый | — | Взаимодействует при нагревании, окисляя до Ta_2O_5 |
| Кислоты | — | Медленно взаимодействуют |
| Ta_2O_5 [1; 446, т. 2; 447, т. 3, 450, т. 1] | | |
| Аммиак | — | Взаимодействует с образованием нитрида |
| Алюминия, кальция и магния силициды | — | Взаимодействуют, восстанавливая до металлического тантала |
| Алюминий трехбромистый | 200 | Взаимодействует по реакции $3Ta_2O_5 + 10AlBr_3 = 6TaBr_5 + 5Al_2O_3$ |
| Алюминий хлористый | 400 | Взаимодействуют с образованием хлорида |
| Вода | — | Не взаимодействует |
| Водород | 1200 | » » |
| Водорода перекись | — | Взаимодействует с образованием надтанталовой кислоты $HTaO_4$. При взаимодействии с водными растворами сплавов Ta_2O_5 с KOH образуется перекисная соль K_8TaO_8 |
| Бром + уголь | — | Взаимодействует с образованием бромида |
| Водород хлористый и бромистый | — | Не взаимодействуют |
| Водород фтористый | — | Взаимодействует с образованием летучего фторида |
| Гидроокиси и карбонаты щелочных металлов, окислы металлов (MgO , CaO , SrO , BaO , MnO и FeO) | — | Взаимодействуют при сплавлении с образованием танталатов |
| Гидроокиси щелочных металлов (растворы) | 150—200 | Взаимодействуют с образованием метатанталатов $MeTaO_3$ |
| Кальция гидрид | — | Взаимодействует с образованием гидрида тантала |
| Кислоты минеральные | — | Не взаимодействуют |

| 1 | 2 | 3 |
|--------------------------------------|---------|---|
| Кислота фтористоводородная | — | Взаимодействует с образованием гептафторотанталата калия |
| Кислота серная + + перекись водорода | — | Взаимодействуют с образованием перокситанталовой кислоты |
| Сера + сероводород | — | Не взаимодействуют |
| Сероуглерод + + сероводород | 1000 | Взаимодействуют с образованием дисульфида |
| Серы хлорокись | 230—240 | Взаимодействует по реакции $Ta_2O_5 + 5SOCl_2 = 2TaCl_5 + 5SO_2$ |
| Углерод | 1100 | Взаимодействует в среде водорода, восстанавливая до TaO_2 и TaO |
| Углерод | 1300 | Взаимодействует в вакууме с образованием карбида |
| Углерод + азот | — | Взаимодействуют при высоких температурах с образованием нитрида |
| Углерода окись | 1100 | Взаимодействует, восстанавливая до монооксида |
| Углерод четыреххлористый | 200—250 | Взаимодействует с образованием хлорида |
| Фториды щелочных металлов (растворы) | — | Взаимодействуют в водных растворах по реакции $Ta_2O_5 + 12KF + 3H_2O = 2K_3[TaOF_6] + 6KOH$ |
| Фосфор пятихлористый | 180—245 | Взаимодействует по реакции $Ta_2O_5 + 5PCl_5 = 2TaCl_5 + 5POCl_3$ |
| Хлор | 1250 | Взаимодействует с образованием летучего хлорида |

WO_2 [1; 446, т. 2; 450, т. 1]

| | | |
|----------------|---------|--|
| Азота закись | 500 | Взаимодействует по реакции $4WO_2 + 3N_2O = W_4O_{11} + 3N_2$ |
| Азота двуокись | 300 | Взаимодействует по реакции $WO_2 + NO_2 = WO_3 + NO$ |
| Водород | 800—860 | Взаимодействует, восстанавливая до металла |

| 1 | 2 | 3 |
|---|-----|---|
| Водород фтористый | 500 | Взаимодействует с образованием оксифторида WO_2F |
| Воздух, кислород | 500 | Взаимодействуют, окисляя до WO_3 |
| Гидроокиси щелочных металлов (растворы) | — | Взаимодействуют по реакции $\text{WO}_2 + 2\text{MeOH} = \text{Me}_2\text{WO}_4 + \text{H}_2$ |
| Кислота соляная | — | Взаимодействует по реакции $\text{WO}_2 + 2\text{HCl} = \text{WO}_2\text{Cl}_2 + \text{H}_2$ |
| Кислота фтористоводородная | 600 | Взаимодействует по реакции $\text{WO}_2 + 2\text{HF} = \text{WO}_2\text{F} + \text{H}_2\text{O}$ |
| Хлор | — | Взаимодействует с образованием WO_2Cl_2 , при высокой температуре |

WO_3 [1; 446, т. 2; 447, т. 3; 450, т. 1]

| | | |
|---|---------|--|
| Гидроокиси щелочных металлов (растворы) | — | Взаимодействуют с образованием вольфраматов Me_2WO_4 |
| Вода | — | Не взаимодействует |
| Водород | 300—500 | Взаимодействует, восстанавливая до W_4O_{11} |
| » | 575—600 | Взаимодействует, восстанавливая до WO_2 |
| » | 800—860 | Взаимодействует, восстанавливая до металлического вольфрама |
| Водород хлористый (газообразный) | — | Взаимодействует при нагревании по реакции $\text{WO}_3 + 2\text{HCl} = \text{WO}_2\text{Cl}_2 + \text{H}_2\text{O}$ |
| Вольфрам | 800 | Взаимодействует, восстанавливая до $\text{W}_{18}\text{O}_{49}$ |
| Окислы металлов | — | Взаимодействуют при нагревании с образованием вольфраматов и поливольфраматов |
| Сера | — | Взаимодействует в слое паров по реакции $2\text{WO}_3 + 7\text{S} = 2\text{WS}_2 + 3\text{SO}_2$ |
| Сера, хлорокись | 200 | Взаимодействуют с образованием окситетрахлорида вольфрама WOCl_4 |

| I | 2 | 3 |
|--|-----------------------------------|---|
| Углерода окись | 800 | Взаимодействует, восстанавливая до W_4O_{11} |
| Углерод четыреххлористый | 200—280 | Взаимодействует с образованием хлорида |
| Фосфор | 500 | Взаимодействует по реакции $10WO_3 + 8P_4 = 10WP_2 + 3P_4O_{10}$ |
| Хлор | — | Взаимодействует с образованием оксихлоридов WO_2Cl_2 и $WOCl_4$ |
| | ReO_2 [1; 446, т. 1] | |
| Бром, хлор, иод | — | Взаимодействует при нагревании с образованием оксигалогенида |
| Бромная, хлорная вода | — | Взаимодействуют с образованием метарениевой кислоты $HReO_4$ |
| Вода | — | Не взаимодействует |
| Водород | 800 | Взаимодействует, восстанавливая до металлического рения |
| Воздух | — | Взаимодействует при нагревании, окисляя до Re_2O_7 |
| Водорода перекись | — | Взаимодействует с образованием рениевой кислоты |
| Водород хлористый (газообразный) | — | Взаимодействует при нагревании с образованием оксигалогенида |
| Кислород | — | Взаимодействует, окисляя до Re_2O_7 |
| Кислота азотная | — | Взаимодействует с образованием метарениевой кислоты |
| Кислота соляная (концентрированная) | — | Взаимодействует с образованием $H_2[ReCl_6]$ |
| | ReO_3 [1; 446, т. 2; 450, т. 1] | |
| Вода | — | Не взаимодействует |
| Водород, олово двуххлористое | — | Взаимодействуют при нагревании, восстанавливая |
| Воздух | 110 | Взаимодействует, окисляя до Re_2O_7 |
| Гидроокиси щелочных металлов (концентрированный раствор) | — | Взаимодействуют при нагревании по реакции $3ReO_3 + 2MeOH = 2MeReO_4 + ReO_2 + H_2O$ |

| 1 | 2 | 3 |
|---|---|--|
| Гидроокиси щелочных металлов (расплавы) | — | Взаимодействуют в присутствии окислителей с образованием соли мезорениевой кислоты Mg_3ReO_5 |
| Кислота азотная | — | Взаимодействует с образованием рениевой кислоты $HReO_4$ |
| Кислоты серная и соляная | — | Не взаимодействуют |

Re_2O_7 [1; 446, т. 2]

| | | |
|---|-----|---|
| Вода | — | Взаимодействует с образованием рениевой кислоты |
| Водород | 300 | Взаимодействует, восстанавливая до ReO_2 |
| » | 500 | Взаимодействует, восстанавливая до металлического рения |
| Рений | 650 | Взаимодействует в вакууме с образованием ReO_2 |
| Рения пентахлорид | — | Взаимодействует с образованием оксихлорида рения ReO_3Cl , при избытке $ReCl_5$ образуется окситетрахлорид $ReOCl_4$ |
| Сероводород | 80 | Взаимодействует с образованием Re_2S_7 |
| Спирт этиловый и метиловый, эфир, хлороформ, ацетон, уксусная кислота | — | Взаимодействуют, растворяя |
| Углерода окись | 250 | Взаимодействует по реакции $Re_2O_7 + CO = 2ReO_3 + CO_2$ под давлением 20 МПа по реакции $Re_2O_7 + 17CO = Re_2(CO)_{10} + 7CO_2$ |

OsO_2 [1; 446, т. 2]

| | | |
|---------|---|--|
| Вода | — | Не взаимодействует |
| Водород | — | Взаимодействует, восстанавливая до металла |
| Воздух | — | Взаимодействует, окисляя до OsO_4 |
| Кислоты | — | Не взаимодействуют |

| 1 | 2 | 3 |
|--|-----|---|
| OsO₄ [1; 446, т. 2] | | |
| Вода | — | Растворяет без разложения |
| Водород | 800 | Взаимодействует, разлагая OsO ₄ с образованием зеркала |
| Гидроокись калия | — | Взаимодействует с образованием K ₂ [OsO ₄ (OH) ₂] |
| Кислота соляная (разбавленная) | — | Не взаимодействует |
| Кислота соляная (концентрированная) | — | Взаимодействует с выделением хлора и образованием OsCl ₄ |
| Смесь калия хлористого и кислоты соляной | — | Взаимодействует с образованием хлороксоосмата K ₂ [OsO ₂ Cl ₄] |
| Смесь калия азотнокислого с окисью азота | — | Взаимодействует с образованием нитрооксоосмата K ₂ [OsO ₂ (NO ₂) ₄] |
| IrO₂ [1; 446, т. 2] | | |
| Вода | — | Не взаимодействует |
| Водород | — | Взаимодействует, при нагревании, восстанавливая до металла |
| Кислоты азотная и серная | — | Не взаимодействуют |
| Кислота соляная | — | Взаимодействует с образованием комплексной кислоты H ₂ IrCl ₆ |
| PtO [1; 446, т. 2] | | |
| Водород | — | Взаимодействует при нагревании, восстанавливая до металлической губчатой платины |
| Кислота азотная+соляная | 20 | Взаимодействуют |

| 1 | 2 | 3 |
|---|---------|--|
| Au₂O [446, т. 2; 450, т. 2] | | |
| Аммиак раствор) | (конц.) | — Взаимодействует с образованием Au ₃ N·NH ₃ |
| Au₂O₃ [446, т. 2; 450, т. 2] | | |
| Водород иоди- стый | — | Взаимодействует по реакции Au ₂ O ₃ + 6HI = 2AuI + 2I ₂ + 3H ₂ O |
| Калия гидроокись (раствор) | — | Взаимодействует с образованием K[Au(OH) ₄]·H ₂ O |
| HgO [1; 446, т. 2] | | |
| Аммиак (раствор) | — | Взаимодействует с образованием основания Миллона [(HOHg) ₂ NH ₂]OH |
| Бром (пар, рас- твор) | — | Взаимодействует с образованием оксибромида HgBr ₂ O |
| Водород | 50 | Взаимодействует, восстанавливая до металла |
| Водород циани- стый (раствор) | — | Взаимодействует с образованием цианистой ртути Hg(CN) ₂ |
| Водорода перекись | | Взаимодействует с образованием перекиси HgO ₂ |
| Железо 1—5 же- лезистосинероди- стое | — | Взаимодействует по реакции 9HgO + Fe ₄ [Fe(CN) ₆] ₃ + 9H ₂ O = = 9Hg(CN) ₂ + 4Fe(OH) ₃ + 3Fe(OH) ₂ |
| Иод | 100 | Взаимодействует с образованием HgI ₂ и Hg(IO ₃) ₂ |
| Кислоты азотная, соляная | — | Взаимодействуют с образованием соответствующих солей |
| Серыmonoхлорид | 20 | Взаимодействует по реакции 2HgO + 2S ₂ Cl ₂ = 2HgCl ₂ + SO ₂ + 3S |
| Хлор | 20 | Взаимодействует по реакции 2HgO + 2Cl ₂ = Hg ₂ OCl ₂ + Cl ₂ O, а при нагревании — по реакции HgO + Cl ₂ = HgCl ₂ + 1/2O ₂ |

| 1 | 2 | 3 |
|----------------------------------|---------|--|
| Хлористый тионил | 160 | Взаимодействует по реакции $HgO + 5SOCl_2 = HgCl_2 + 3SO_2Cl_2 + S_2Cl_2$ |
| Фтор | — | Взаимодействует при нагревании с образованием HgF_2 |
| Фосфор, фосфорноватистая кислота | — | Взаимодействуют, окисляясь |
| Tl_2O [446, т. 1; 450, т. 2] | | |
| Бром, хлор, иод | — | Взаимодействуют с образованием галогенидов и выделением кислорода |
| Вода | — | Взаимодействует, растворяясь |
| Водород, углерода окись | — | Взаимодействуют при нагревании, восстанавливая до металлического таллия |
| Воздух, кислород | — | Взаимодействуют при нагревании с образованием Tl_2O_3 |
| Кислота азотная | — | Взаимодействует по реакции $Tl_2O + 2HNO_3 = 2TlNO_3 + H_2O$ |
| Кислота уксусная | — | Взаимодействует по реакции $Tl_2O + 2CH_3COOH = 2TlCH_3COO + H_2O$ |
| Кремний четыреххлористый | 360—370 | Взаимодействует с образованием $TlCl$ и SiO |
| Сера | — | Взаимодействует при сплавлении с образованием сульфида таллия |
| Спирт этиловый | — | Взаимодействует по реакции $Tl_2O + 2C_2H_5OH = 2TlOC_2H_5 + H_2O$ |
| Tl_2O_3 [446, т. 1; 450, т. 2] | | |
| Вода | — | Медленно взаимодействует, растворяясь |
| Гидроокиси щелочных металлов | — | Медленно взаимодействуют, растворяясь |
| Кислоты | — | Взаимодействуют, растворяясь |
| Углерода окись | — | Взаимодействует при нагревании, восстанавливая до металла |
| Фтор | — | Взаимодействует с образованием TlF_3 |

| 1 | 2 | 3 |
|---|---------|---|
| PbO [1; 446, т. 1; 448, т. 1; 450, т. 1] | | |
| Аммоний хлористый | — | Взаимодействует при нагревании по реакции $4\text{PbO} + 2\text{NH}_4\text{Cl} = \text{PbCl}_2 \cdot 3\text{PbO} + 2\text{NH}_3 + \text{H}_2\text{O}$ |
| Вода | 20 | Растворяет 1,2 мг желтой окиси на 100 г воды и 0,6 г красной окиси на 100 г воды |
| Водород, бор, калий, карбид кальция, натрий, углерод, окись углерода | — | Взаимодействуют при нагревании, восстанавливая до металлического свинца |
| Гидроокиси щелочных металлов (концентрированные растворы) | — | Взаимодействуют с образованием гидрооксалюмбатов $\text{Me}[\text{Pb}(\text{OH})_3]$ и $\text{Me}_2[\text{Pb}(\text{OH})_4]$ |
| Калия цианид | — | Взаимодействует при плавлении по реакции $\text{PbO} + \text{KCN} = \text{Pb} + \text{K} + \text{CO} + 1/2\text{N}_2$ |
| Кислоты | — | Взаимодействуют с образованием солей двухвалентного свинца |
| Кислород | 400—500 | Взаимодействует, окисляя до Pb_3O_4 |
| Углерод, углерода окись | 400—500 | Взаимодействуют, восстанавливая до металлического свинца |
| Сера | — | Взаимодействует при нагревании с образованием сульфида |
| Сероуглерод | — | То же |
| Свинца селений | 1100 | Взаимодействует по реакциям $2\text{PbO} + \text{PbSe} = 3\text{Pb} + \text{SeO}_2;$ $3\text{PbO} + \text{PbSe} = 3\text{Pb} + \text{PbSeO}_3$ и $4\text{PbO} + \text{PbSe} = 4\text{Pb} + \text{PbSeO}_4$ |
| Pb₃O₄ [1; 446, т. 1; 448, т. 1; 450, т. 1] | | |
| Вода | — | Мало растворяет |
| Водорода перекись в присутствии азотной или серной кислот | — | Взаимодействует по реакциям $\text{Pb}_3\text{O}_4 + \text{H}_2\text{O}_2 + 6\text{HNO}_3 = 3\text{Pb}(\text{NO}_3)_2 + 4\text{H}_2\text{O} + \text{O}_2$ и $\text{Pb}_3\text{O}_4 + \text{H}_2\text{O}_2 + 3\text{H}_2\text{SO}_4 = 3\text{PbSO}_4 + 4\text{H}_2\text{O} + \text{O}_2$ |

| 1 | 2 | 3 |
|--|---------|---|
| Водород | 250—350 | Взаимодействует, восстанавливая до свинца |
| Воздух | 550 | Взаимодействует с образованием PbO и выделением кислорода |
| Калий азотнокислый (расплавленный) | | Взаимодействует |
| Кислоты азотная, серная (разбавленная) | | Взаимодействуют при нагревании с образованием солей двухвалентного свинца и двуокиси свинца |
| Кислота серная (концентрированная) | — | Взаимодействует при нагревании по реакции $Pb_3O_4 + 3H_2SO_4 = 3PbSO_4 + 1/2O_2 + 3H_2O$ |
| PbO₂ [446, т. 1; 448, т. 1; 450, т. 1] | | |
| Вода | — | Взаимодействует медленно |
| Кислота бромистоводородная | — | Взаимодействует по реакции $PbO_2 + 4HBr = PbBr_2 + Br_2 + 2H_2O$ |
| Гидроокись натрия | — | Взаимодействует при нагревании по реакции $PbO_2 + 2NaOH + 2H_2O = Na_2[Pb(OH)_6]$ |
| Кислота азотная + сернокислый марганец | | Взаимодействует по реакции $5PbO_2 + 6HNO_3 + 2MnSO_4 = 2PbSO_4 + 3Pb(NO_3)_2 + 2HMnO_4 + 2H_2O$ |
| Кислота иодистоводородная | — | Взаимодействует по реакции $PbO_2 + 4HI = PbI_2 + I_2 + 2H_2O$ |
| Кислота серная (концентрированная) | — | Взаимодействует по реакции $PbO_2 + H_2SO_4 = PbSO_4 + 1/2O_2 + H_2O$ |
| Кислота соляная (концентрированная) | 20 | Взаимодействует по реакции $PbO_2 + 4HCl = PbCl_4 + 2H_2O$ |
| Кислота серная + марганец сернокислый | — | Взаимодействует по реакции $5PbO_2 + 3H_2SO_4 + 2MnSO_4 = 5PbSO_4 + 2HMnO_4 + 2H_2O$ |
| Окислы основные | — | Взаимодействуют при сплавлении с образованием ортоплюмбатов Ca_2PbO_4 , Ba_2PbO_4 и др. |

| 1 | 2 | 3 |
|---------------|----|---|
| Серы двуокись | — | Взаимодействует с образованием $PbSO_4$ |
| Фтор | 20 | Взаимодействует с образованием PbF_2 и $PbF_2 \cdot PbO$ |
| Хлор | — | Взаимодействует при нагревании с образованием $PbCl_2$ и $PbCl_2 \cdot PbO$ |

BiO [446, т. 1; 448, т. 1]

| | | |
|-------------------|-----|--|
| Водород | 300 | Взаимодействует, восстанавливая до металлического висмута |
| Воздух влажный | — | Взаимодействует, окисляя |
| Кислота соляная | — | Взаимодействует по реакции $3BiO + 6HCl = 2BiCl_3 + Bi + 3H_2O$ |
| Углерода двуокись | — | Взаимодействует по реакции $5BiO + CO_2 = 2Bi_2O_3 + Bi + CO$ |

Bi₂O₃ [446, т. 1; 448, т. 1]

| | | |
|---|---|---|
| Алюминий, бор, водород, калий цианид, кальция карбид, углерод, окись углерода, щелочные металлы | — | Взаимодействуют при нагревании, восстанавливая до металлического висмута |
| Галогены | — | Взаимодействуют с образованием тригалогенидов и оксигалогенидов |
| Гидроокиси щелочных металлов (растворы) | — | Не взаимодействуют |
| Гидроокиси щелочных металлов + бром | — | Взаимодействуют с образованием висмутатов $MBiO_3$ |
| Кислоты | — | Взаимодействуют с образованием соответствующих солей висмута |
| Натрия перекись | — | Взаимодействует при нагревании по реакции $Bi_2O_3 + 3Na_2O_2 = 2Na_3BiO_4 + 1/2O_2$ |

| 1 | 2 | 3 |
|--|---|--|
| Свинца окись (расплав) | | Взаимодействует с образованием соединений $2\text{PbO}\cdot\text{Bi}_2\text{O}_3$; $2\text{PbO}\cdot3\text{Bi}_2\text{O}_3$; $\text{PbO}\cdot4\text{Bi}_2\text{O}_3$ |
| | PoO [446, т. 1] | |
| Гидроокиси щелочных металлов (растворы) | | Взаимодействуют с образованием солей |
| Кислоты | | Взаимодействуют с образованием солей |
| | PoO₂ [446, т. 1; 450, т. 1] | |
| Водород | 200 | Взаимодействует, восстанавливая до металлического полония |
| Водород хлористый (газообразный) | 200 | Взаимодействует по реакции $\text{PoO}_2+4\text{HCl}=\text{PoCl}_4+2\text{H}_2\text{O}$ |
| Гидроокиси щелочных металлов | — | Взаимодействуют с образованием полонитов $M_2\text{PoO}_3$ |
| Углерод четыреххлористый | 200 | Взаимодействует по реакции $\text{PoO}_2+\text{CCl}_4=\text{PoCl}_4+\text{CO}_2$ |
| | ThO₂ [1; 450, т. 2] | |
| Азот + углерод | 200 | Взаимодействует с образованием нитрида |
| Бор | 1100 | Взаимодействует с образованием боридов |
| Водород фтористый | — | Взаимодействует с образованием фторида |
| Гидроокиси щелочных металлов (растворы и расплавы) | — | Не взаимодействуют |
| Калий кислый сернокислый (расплав) | — | Взаимодействует с образованием сульфата |
| Кальций | 1100—1300 | Взаимодействует, восстанавливая до металлического тория |
| Кислота серная (концентрированная) | — | Взаимодействует с образованием сульфата |

| 1 | 2 | 3 |
|--|-----------|---|
| Кислоты (разбавленные) | — | Не взаимодействуют |
| Сера | 1200—1300 | Взаимодействует с образованием сульфидов |
| Смесь азотной кислоты с фторидом | | Взаимодействует |
| Углерод | 1800 | Взаимодействует с образованием карбидов |
| Углерод четыреххлористый, углерода хлорокись, фосфор пятихлористый | — | Взаимодействуют с образованием хлорида |
| Pa₂O₅ [450, т. 2] | | |
| Водород | 1550 | Взаимодействует, восстанавливая до PaO ₂ |
| Кислота серная | — | Взаимодействует при нагревании |
| Кислота фтористоводородная | — | Взаимодействует с образованием комплексного соединения K ₂ [PaF ₇] |
| Натрий углекислый (расплав) | — | Не взаимодействует |
| Фтор | — | Взаимодействует при нагревании с образованием PaF ₅ |
| Фосген | — | Взаимодействует при высокой температуре Pa ₂ O ₅ + 5COCl ₂ = 2PaCl ₅ + 5CO ₂ |
| UO₂ [1; 450, т. 2] | | |
| Вода | 20 | Не взаимодействует |
| » | 800 | Взаимодействует с образованием U ₃ O ₈ |
| Воздух | — | То же |
| Гидроокиси щелочных металлов (растворы) | — | Не взаимодействуют |
| Кислород | 700 | Взаимодействует, окисляя до UO ₃ |
| Кислота азотная | 25 | Взаимодействует с образованием нитрата уранила UO ₂ (NO ₃) ₂ · 6H ₂ O |

| 1 | 2 | 3 |
|----------------------------|-----|--|
| Кислоты серная, соляная | — | Взаимодействуют медленно с образованием солей $U(SO_4)_2$ и UCl_4 |
| Кислота фтористоводородная | — | Взаимодействует с образованием гидрата, переходящего при нагревании в безводную соль |
| Сера хлористая | 450 | Взаимодействует с образованием хлорида |
| Углерод четыреххлористый | 450 | То же |
| Хлор | — | Взаимодействует с образованием хлорида уранила UO_2Cl_2 |

U_3O_8 [1; 450, т. 2]

| | | |
|----------------------------------|------|--|
| Азотный ангидрид (жидкий) | | Взаимодействует с образованием $UO_2(NO_3)_2 \cdot 2NO_2$ |
| Водород | 1500 | Взаимодействует с образованием UO_2 |
| Водород фтористый (газообразный) | 550 | Взаимодействует с образованием уранилфторида UO_2F_2 и фторида UF_4 |
| Воздух | 900 | Взаимодействует с отщеплением кислорода и частичным переводом U_3O_8 в UO_2 , с которой U_3O_8 образует твердые растворы |
| Кислота азотная | 25 | Взаимодействует с образованием нитрата уранила $UO_2(NO_3)_2 \cdot 6H_2O$ |
| Кислота серная, кислота соляная | 25 | Не взаимодействуют |
| Кислота серная + спирт | — | Взаимодействуют на солнечном свете с образованием сульфата $U(SO_4)_2 \cdot 4H_2O$ |
| Сера хлористая | 450 | Взаимодействует с образованием хлорида UCl_4 |
| Углерода окись | 750 | Взаимодействует с образованием UO_2 |
| Углерод четыреххлористый | 400 | Взаимодействует с образованием смеси UCl_4 и UCl_5 |
| Хлор | 800 | Взаимодействует в присутствии угля с образованием UCl_4 |

| 1 | 2 | 3 |
|----------------------------------|-----|---|
| Фтор | 650 | Взаимодействует с образованием гексафторида |
| | | UO_3 [1; 450, т. 2] |
| Азотноватый анионгидрид (жидкий) | — | Взаимодействует с образованием $\text{UO}_2(\text{NO}_3)_2 \cdot 2\text{NO}_2$ |
| Аммиак + фтористый водород | — | Взаимодействует с образованием фторида UF_4 |
| Вода | — | Взаимодействует с образованием $\text{H}_2\text{UO}_4 \cdot \text{H}_2\text{O}$ |
| Водород фтористый | 350 | Взаимодействует с образованием уранилфторида UO_2F_2 |
| Дихлордифторометан | 400 | Взаимодействует по реакции $\text{UO}_3 + 2\text{CF}_2\text{Cl}_2 \rightarrow \text{UF}_4 + \text{Cl}_2 + \text{COCl}_2 + \text{CO}_2$ |
| Калий фтористый | 850 | Взаимодействует с образованием KUO_3F |
| Кислота азотная | 25 | Взаимодействует с образованием нитрата уранила |
| Кислота серная | 25 | Взаимодействует с образованием сульфата уранила |
| Кислота уксусная | — | Взаимодействует с образованием ацетата уранила |
| Сера хлористая | 450 | Взаимодействует с образованием UCl_4 |
| Углерода окись | 350 | Взаимодействует, восстанавливаясь до UO_2 |
| Углерод четыреххлористый | 400 | Взаимодействует с образованием смеси UCl_4 и UCl_5 |
| Углерод четырехбромистый | — | Взаимодействует с образованием UBr_3 и UOBr_3 |

| 1 | 2 | 3 |
|---------------------------------------|------|---|
| NpO₂ [1; 450, т. 2] | | |
| Азота двуокись | 400 | Взаимодействует, окисляя до Np ₃ O ₈ |
| Алюминий бромистый | — | Взаимодействует по реакции $3\text{NpO}_2 + 4\text{AlBr}_3 = 3\text{NpBr}_4 + 2\text{Al}_2\text{O}_3$ |
| Водород + водород фтористый | 500 | Взаимодействует с образованием фторида NpF |
| Кислоты (концентрированные) | — | Взаимодействуют в присутствии окислителей (бромат калия) |
| Сероводород + + сероуглерод | 1000 | Взаимодействуют с образованием оксосульфида NpOS |
| Np₃O₈ | | |
| Кислота хлорная | — | Взаимодействует с образованием ионов пяти- и шестивалентного нептуния |
| Углерод четыреххлористый | — | Взаимодействует с образованием NpCl ₄ |
| PuO₂ [1; 450, т. 2] | | |
| Водород фтористый (газообразный) | 600 | Взаимодействует в присутствии водорода по реакции $\text{PuO}_2 + 3\text{HF} + 1/2\text{H}_2 = \text{PuF}_3 + 2\text{H}_2\text{O}$ в присутствии кислорода — по реакции $\text{PuO}_2 + 4\text{HF} = \text{PuF}_4 + 2\text{H}_2\text{O}$ |
| AmO₂ [1; 450, т. 2] | | |
| Водород | — | Взаимодействует при нагревании, восстанавливая до Am ₂ O ₃ |
| Алюминий бромистый | 550 | Взаимодействует по реакции $3\text{AmO}_2 + 4\text{AlBr}_3 = 3\text{AmBr}_3 + 2\text{Al}_2\text{O}_3 + 3/2\text{Br}_2$ |
| Алюминий + + иод | 500 | Взаимодействуют с образованием триодида |
| Углерод четыреххлористый | 800 | Взаимодействует по реакции $\text{AmO}_2 + 2\text{CCl}_4 = \text{AmCl}_3 + 2\text{COCl}_2 + 1/2\text{Cl}_2$ |

2. КАТАЛИТИЧЕСКИЕ СВОЙСТВА [1; 380—393; 455—465]

| Состав катализатора | Условия проведения опыта | Катализируемые реакции | |
|---|--------------------------|---|---|
| | | 1 | 2 |
| H_2O [1] | | | |
| H_2O | — | Гидролиз хлорбензола щатронной щелочью | |
| H_2O | — | Гидролиз ди- и полигалогенпроизводных жирного ряда | |
| $\text{H}_2\text{O} + \text{Ca}(\text{OH})_2$ | — | Гидролиз хлористого метила | |
| $\text{H}_2\text{O}_2 + \text{V}_2\text{O}_5$ | 25—30° C | Окисление непредельных альдегидов, спиртов, кислот (эпоксилирование, оксилирование) | |
| $\text{H}_2\text{O}_2 + \text{OsO}_4$ | 25—30° C | То же | |
| $\text{H}_2\text{O}_2 + \text{CrO}_3$ | 25—30° C | » » | |
| Li_2O [1] | | | |
| $\text{LiO} + \text{NiO}$, промоторованные In_2O_3 | | Разложение N_2O_4 | |
| BeO [1] | | | |
| $\text{BeO} + \text{MgO}$ на пемзее, промоторованные CeO_2 | 400—800° C | Дегидрирование вторичных спиртов | |
| BeO | 400—600° C, 30—60 МПа | Изосинтез | |
| BeO | — | Дегидратация метилтетрагидрофурана | |
| BeO | 400—450° C | Изомеризация полиэтиленовых углеводородов | |
| $\text{BeO} + \text{UO}_2$ | 500—600° C | Окисление метана в формальдегид | |
| B_2O_3 [1] | | | |
| $\text{B}_2\text{O}_3 + \text{Al}_2\text{O}_3$ | — | Крекинг парафиновых углеводородов $\text{C}_7\text{—C}_{16}$ | |
| $\text{B}_2\text{O}_3 + \text{MgO}$ | 180—200° C | Окисление аммиака до закиси азота | |
| $\text{B}_2\text{O}_3 + \text{MgO} +$ + кислые фосфаты | — | Гидратация олефинов | |

| 1 | 2 | 3 |
|---|--------------------|--|
| NO [1] | | |
| NO | — | Термическое хлорирование хлороформа |
| NO | — | Получение серной кислоты |
| NO₂ [1] | | |
| NO ₂ | — | Окисление бензола в фенол |
| Na₂O₂ [1] | | |
| N ₂ O ₂ | — | Окисление аммиака |
| MgO [1] | | |
| MgO | 250—400° С | Восстановление непредельных альдегидов и кетонов |
| MgO | 400—450° С | Гидратация ацетилена |
| MgO + CaO | — | Разложение закиси азота |
| MgO + SnO | — | Разложение перекиси водорода |
| MgO + Co | 200° С | Реакция Фишера—Тропша |
| MgO + NiO | 800° С | Крекинг углеводородов |
| MgO + ZrO ₂ | 400° С, 500 кПа | Конверсия углеводородов |
| MgO + B ₂ O ₃ | 180—200° С | Окисление аммиака до закиси азота |
| MgO + ZnO на пемзе, промотиро- ванные CeO ₂ | — | Дегидрирование вторичных спиртов |
| MgO + Fe ₂ O ₃ + + CuO + K ₂ O | 550—630° С | Дегидрирование этилбензола в стирол |
| MgO + SiO ₂ + C(н) | — | Дегидратация и дегидрирование спиртов |
| MgO + SiO ₂ + + ZrO ₂ (н) | — | Изомеризация парафиновых углеводородов |
| MgO + SnO ₂ + + Al ₂ O ₃ | — | Получение дивинила из этилового спирта по Лебедеву |
| MgO + SiO ₂ | — | Крекинг углеводородов |
| Al₂O₃ [1, 455—458, 460, 462, 463, 465] | | |
| Al ₂ O ₃ | 260° С | Образование ароматических углеводородов |

| 1 | 2 | 3 |
|---|---------------------------|--|
| Al_2O_3 | 260° С | Дегидратация спиртов, глицерина |
| Al_2O_3 | 350—360° С | Полимеризация пропилена, изобутилена, циклоолефинов |
| Al_2O_3 | 325° С | Гидролиз простых эфиров |
| Al_2O_3 | 530—540° С | Кетонизация первичных спиртов |
| Al_2O_3 на карборунде | 360—380° С | Окисление фурфурола |
| Al_2O_3 | 300° С | Перемещение двойной связи гомологов бензола с алькильными цепями |
| Al_2O_3 | 195 °C | Разложение НВг |
| Al_2O_3 | — | Дегидратация этилового спирта с конденсацией |
| Al_2O_3 | — | Каталитический крекинг углеводородов |
| $\text{Ag} + \text{Al}_2\text{O}_3$ (н) | 565° С | Окисление этилена |
| Al_2O_3 | 275° С | Этерификация этилового спирта в этилацетат |
| $\text{Al}_2\text{O}_3 + \text{SiO}_2$ | 600° С | Дегидратация карбонильных и карбоксильных соединений |
| $\text{Al}_2\text{O}_3 + \text{SiO}_2$ | 120—370° С, 2,6—42 МПа | Гидратация олефинов |
| $\text{Al}_2\text{O}_3 + \text{Mo}_2\text{O}_3$ | 460° С | Изомеризация н-пентана |
| $\text{Al}_2\text{O}_3 + \text{V}_2\text{O}_5$ | 400—500° С | Изомеризация циклогексана в метилцикlopентены |
| $\text{Al}_2\text{O}_3 + \text{Cr}_2\text{O}_3$ | 560—580° С | Дегидрирование парафинов и олефинов |
| $\text{Al}_2\text{O}_3 + \text{K}_2\text{O}$ | 400—550° С | Синтез аммиака |
| $\text{Al}_2\text{O}_3 + \text{Cr}_2\text{O}_3 +$ + Na_2O | 560° С | Дегидрирование н-бутана, пропана, этилбензола |
| $\text{Al}_2\text{O}_3 + \text{Cr}_2\text{O}_3 +$ + CeO_2 | 575—700° С | Дегидрирование н-бутана |
| $\text{Al}_2\text{O}_3 + \text{Cr}_2\text{O}_3 +$ + Na_2O | 550° С | Дегидрирование н-гексана, н-гептана, циклогексана |
| $\text{Al}_2\text{O}_3 + \text{Cr}_2\text{O}_3 +$ + CeO_2 | 475—530° С | Реформинг лигроина Синтез аммиака |
| $\text{Al}_2\text{O}_3 + \text{SiO}_2 +$ + промотированные CeO_2 | 300° С | Декарбоксилирование жирных кислот и эфиров |

| I | 2 | 3 |
|--|--|--|
| $\text{Al}_2\text{O}_3 + \text{SiO}_2 + \text{TiO}_2 + \text{ZrO}_2$ | — | Крекинг индивидуальных углеводородов |
| $\text{Al}_2\text{O}_3 + \text{SiO}_2$ | 250—400° C | Синтез цианистого водорода из формамида |
| Ni на Al_2O_3 (н) | 250—400° C | Восстановление карбонильных соединений |
| Ni на Al_2O_3 (н) | — | Замещение галогена или сульфогруппы |
| Ni на Al_2O_3 (н) | — | Окисление гипофосфита натрия до фосфита |
| Ni на Al_2O_3 (н) | — | Превращение формальдегида |
| Ni на Al_2O_3 (н) | — | Дегидрогенизация жирных кислот |
| Ni на Al_2O_3 (н) | — | Получение аминов восстановительным алкилированием |
| Ni на Al_2O_3 (н) | — | Дегалогенирование |
| Ni на Al_2O_3 (н) | — | Дегидрирование бензола |
| Pd на Al_2O_3 (н) | — | Гидрирование жиров |
| Pt на Al_2O_3 (н) | 80° C, $p_{\text{H}_2} = 15 \text{ МПа}$ | Гидрирование тере- и изофтальонитрилов |
| (Pt + Pd) на Al_2O_3 (н) | — | Окисление окиси углерода |
| $\text{Al}_2\text{O}_3 + \text{V}_2\text{O}_5 + \text{K}_2\text{O} + \text{SiO}_2$ | 400—600° C | Окисление сернистого ангидрида |
| NI на Al_2O_3 | 800—1100° C | Конверсия метана |
| (Pt + Pd) на Al_2O_3 (н) | — | Окисление окиси углерода |
| Ni, Pt, Pd, Rh, Ru, Ir на Al_2O_3 (н) | 300—350° C | Очистка выхлопных газов от окислов азота |
| Pd на Al_2O_3 (н) | — | Очистка от окислов азота |
| $\text{Al}_2\text{O}_3 + \text{B}_2\text{O}_3$ | — | Крекинг парафиновых углеводородов (C_7 — C_{16}) |
| $\text{Al}_2\text{O}_3 + \text{SnO}_2 + \text{MgO}$ | — | Получение дивинила из этилового спирта по Лебедеву |
| $\text{Al}_2\text{O}_3 + \text{SiO}_2$ | — | Полимеризация углеводородов |
| $\text{V}_2\text{O}_5 + \text{K}_2\text{O} + \text{Al}_2\text{O}_5 + \text{SiO}_2$ | 485° C | Окисление сернистого ангидрида |
| MnO_2 на Al_2O_3 (н) | 350—450° C | Окисление метана |
| $\text{Fe}_2\text{O}_3 + \text{Al}_2\text{O}_3$ | — | Разложение перекиси водорода |

| 1 | 2 | 3 |
|---|------------|---|
| $\text{Al}_2\text{O}_3 + \text{CuO}$ | 250—350° C | Окисление углеводородов |
| $\text{ZnO} + \text{Al}_2\text{O}_3$ | 650° C | Дегидрирование этилбензола в стирол |
| $\text{SrO} + \text{Al}_2\text{O}_3$ | — | Разложение закиси азота |
| $\text{MoO}_2 + \text{Al}_2\text{O}_3$ | — | Риформинг углеводородов |
| $\text{CeO}_2 + \text{Al}_2\text{O}_3$ | 200—300° C | Окисление окиси углерода |
| $\text{Sm}_2\text{O}_3 + \text{Al}_2\text{O}_3$ | 400—600° C | Дегидрирование спиртов $\text{C}_2\text{—C}_{12}$ |

SiO_2 [1, 455, 456, 458, 461, 462, 465]

| | | |
|--|------------------------|--|
| SiO_2 | — | Разложение аммиака |
| $\text{SiO}_2 + \text{Al}_2\text{O}_3$ | 425—550° C | Крекинг углеводородов |
| $\text{SiO}_2 + \text{MgO}$ | — | Крекинг углеводородов |
| $\text{SiO}_2 + \text{Al}_2\text{O}_3$ | — | Полимеризация углеводородов |
| $\text{SiO}_2 + \text{ZrO}_2$ | — | Полимеризация углеводородов |
| $\text{SiO}_2 + \text{CaO}$ | — | Изомеризация углеводородов |
| $\text{MgO} + \text{SiO}_2 + \text{Cu}$ | — | Дегидратация и дегидрирование спиртов |
| Ni на $(\text{SiO}_2 + \text{Al}_2\text{O}_3)$ (н) | 250—350° C, 2,5 МПа | Изомеризация углеводородов |
| Pt на $(\text{SiO}_2 + \text{Al}_2\text{O}_3)$ (н) | — | Изомеризация ароматических углеводородов |
| Pt на SiO_2 (н) | 900° C, 13 МПа | Гидрирование терефталонитрила |
| SiO_2 | 560° C | Дегидроциклизация н-гептана |
| $\text{SiO}_2 + \text{Al}_2\text{O}_3$ | 550—750° C | Неполное окисление метана |
| $\text{Al}_2\text{O}_3 + \text{SiO}_2$ | 600° C | Дегидратация карбонильных и карбоксильных соединений |
| $\text{Al}_2\text{O}_3 + \text{SiO}_2$ | 120—370° C | Гидратация олефинов |
| $\text{Al}_2\text{O}_3 + \text{SiO}_2 + \text{TiO}_2 + \text{ZrO}_2$ | — | Крекинг индивидуальных углеводородов |
| $\text{MnO}_2 + \text{SiO}_2$ | 410° C | Парофазное окисление метилпиридинов в альдегиды |

P_2O_5 [1; 389; 457; 464]

| | | |
|---|----------|--------------------------------------|
| P_2O_5 | 25—45° C | Изомеризация 1-фенилпентена-1 |
| $\text{P}_2\text{O}_5 + \text{H}_2\text{O}$ | 25—45° C | Изомеризация углеводородов (бутен-1) |

| 1 | 2 | 3 |
|--|------------|---|
| $V_2O_5 + MoO_3 + P_2O_5 + TiO_2$ | 410° C | Парофазное окисление метилпиридинов в альдегиды |
| $V_2O_5 + MoO_3 + P_2O_5 + TiO_2$ | 410° C | Дегидратация этилового спирта |
| $MoO_3 + V_2O_5 + P_2O_5 + NaO + NiO$ на ZrO_2 | 350—450° C | Окисление бензола в малеиновый ангидрид |

SO_2 [1]

| | | |
|--------|------------|---|
| SO_2 | 290° C | Полимеризация жирных масел |
| SO_2 | — | Полимеризация изобутилена, спирта, метилметакрилата |
| SO_2 | — | Полимеризация льняного масла |
| SO_2 | — | Сополимеризация льняного масла со спиртом |
| SO_2 | 140—160° C | Полимеризация винилуксусной кислоты |
| SO_2 | — | Разложение гидроперекисей |
| SO_2 | — | Цис-транс-превращение эфиров олеиновой кислоты и других жирных кислот |

K_2O [1, 375, 382, 387]

| | | |
|--|------------|-------------------------------------|
| $Fe + K_2O + Al_2O_3$ (н) | — | Синтез аммиака |
| $BeO + Fe_2O_3 + K_2O$, промотированные CeO_2 | 400—800° C | Дегидрирование вторичных спиртов |
| $MgO + Fe_2O_3 + CuO + K_2O$ | 550—630° C | Дегидрирование этилбензола в стирол |
| $V_2O_5 + K_2O + Al_2O_3 + SiO_2$ | 485° C | Окисление сернистого ангидрида |
| $Co_2O_3 + Al_2O_3 + K_2O$ | — | Синтез метана |
| $ZrO_2 + Fe_2O_3 + K_2O$ | 650° C | Дегидрирование бутена в бутадиен |

CaO [1, 465]

| | | |
|-------|------------|----------------------|
| CaO | 400—450° C | Гидратация ацетилена |
| CaO | — | Цианидный синтез |

| 1 | 2 | 3 |
|---|--------|-------------------------------------|
| CaO | — | Разложение аммиака |
| CaO | — | Окисление уксусной кислоты в ацетон |
| MgO + CaO | — | Разложение закиси азота |
| SiO ₂ + CaO | — | Изомеризация углеводородов |
| V ₂ O ₅ + K ₂ O + CaO + SiO ₂ | 485° C | Окисление сернистого ангидрида |

Sc₂O₃ [455]

| | | |
|--------------------------------|------------|--|
| Sc ₂ O ₃ | 400° C | Дегидратация и дегидрирование этилового спирта |
| Sc ₂ O ₃ | 175—275° C | Пара-ортопреконверсия водорода |
| Sc ₂ O ₃ | 350—450° C | Превращение изопропилового спирта |

TiO₂ [1; 464]

| | | |
|---|------------|---|
| TiO ₂ | — | Дегидроциклизация парафинов |
| TiO ₂ | — | Дегидратация этилового, о-аминофенилэтилового спиртов |
| TiO ₂ | — | Дегидрогенизация спиртов |
| TiO ₂ | — | Изомеризация олефинов |
| TiO ₂ | — | Гидролиз простых эфиров |
| TiO ₂ | 300° C | Гидролиз сложных эфиров |
| TiO ₂ | 150—400° C | Окисление окиси углерода |
| TiO ₂ | — | Разложение муравьиной кислоты |
| TiO ₂ | — | Приготовление алифатических аминов из спиртов и аммиака |
| TiO ₂ на активированном угле | — | Этерификация уксусной кислоты этиловым спиртом |
| TiO ₂ | 510° C | Дегидроциклизация н-гептана |
| Al ₂ O ₃ + SiO ₂ + TiO ₂ + ZrO ₂ | — | Крекинг индивидуальных углеводородов |
| V ₂ O ₅ + MoO ₃ + P ₂ O ₅ + TiO ₂ | 410° C | Парофазное окисление метилпиридинов в альдегиды |

VO₂ [1]

| | | |
|-----------------|---|---------------------------|
| VO ₂ | — | Окисление бензола в фенол |
|-----------------|---|---------------------------|

| 1 | 2 | 3 |
|--|--|---|
| | V₂O₄ [1] | |
| V ₂ O ₄ + V ₂ O ₅ | 500° C | Окисление двуокиси серы |
| | V₂O₅ [1, 458] | |
| V ₂ O ₅ на асбесте, пемзее | 300—500° C | Окисление бензола, толуола, фенантрена, циклогексана |
| V ₂ O ₅ на алюнде, плавленная V ₂ O ₅ + SnO ₂ | 410—470° C | Окисление нафталина в нафтохинон, фталевый ангидрид, CO ₂ , H ₂ O |
| V ₂ O ₅ + SnO ₂ на пемзее | — | Окисление нафталина во фталевый ангидрид |
| V ₂ O ₅ , V ₂ O ₅ на асбесте | 400—500° C | Окисление олефиновых углеводородов |
| V ₂ O ₅ на асбесте, пемзее | 400° C | Окисление метана в CO ₂ и H ₂ O |
| V ₂ O ₅ | 400 °C | Окисление бутана в малеиновую и уксусную кислоты, формальдегид |
| V ₂ O ₅ на пемзее | 300—400° C | Окисление пиридина, фурфурола |
| V ₂ O ₅ | 300° C | Окисление метилового спирта в формальдегид |
| V ₂ O ₅ | 400° C | Гидрогенизация крезола, олефинов, диолефинов, ацетилена |
| V ₂ O ₅ | — | Дегидрирование азотсодержащих соединений |
| V ₂ O ₅ | 400—500° C | Гидратация ацетилена |
| V ₂ O ₅ | 380—400° C, $p_{H_2} = 4 \text{ МПа}$ | Превращение спиртов в парафиновые углеводороды |
| V ₂ O ₅ на Al ₂ O ₃ | 475—510° C | Циклизация гептана |
| V ₂ O ₅ | 200—380° C | Окисление фурфурола, фуранкарболовой кислоты, тетрагидрофурана, фурана |
| V ₂ O ₅ + MoO ₃ ; V ₂ O ₅ + MoO ₃ + P ₂ O ₅ + TiO ₂ | 410° C | Парофазное окисление метилпиридинов в альдегиды |
| V ₂ O ₅ + K ₂ O + Al ₂ O ₃ (CaO) + SiO ₂ | 485° C | Окисление сернистого ангидрида |
| H ₂ O ₂ + V ₂ O ₅ | 25—30° C | Окисление непредельных альдегидов, спиртов, кислот |

| 1 | 2 | 3 |
|--|------------|--|
| $\text{Al}_2\text{O}_3 + \text{V}_2\text{O}_5 + \text{K}_2\text{O} + \text{SiO}_2$ | 400—500° C | Изомеризация циклогексана в метилцикlopентены |
| $\text{Al}_2\text{O}_3 + \text{V}_2\text{O}_5 + \text{K}_2\text{O} + \text{SiO}_2$ | 400—600° C | Окисление сернистого ангидрида |
| Cr_2O_3 [1; 458, 459, 462] | | |
| $\text{Co} + \text{Ni} + \text{Cr}_2\text{O}_3$ | — | Дегидратация и дегидрирование спиртов |
| Cr_2O_3 | — | Дегидрирование алканов и цикланов |
| Cr_2O_3 на Al_2O_3 | 490° C | Дегидрогенизация и дегидроциклизация метилциклогексана |
| $\text{Cr}_2\text{O}_3 + \text{ZnO} + \text{MnO}_2$ | 400° C | Декарбонилирование фурфурола |
| Cr_2O_3 | 200—350° C | Гидрирование олефинов |
| Cr_2O_3 | 400—450° C | Гидратация ацетилена |
| Ni на Cr_2O_3 (н) | 140° C | Гидрирование бензола |
| Ni на Cr_2O_3 (н) | — | Гидрирование окиси углерода |
| Cr_2O_3 | 500—550° C | Ароматизация парафиновых углеводородов |
| Cr_2O_3 на Al_2O_3 | 490° C | Изомеризация парафиновых углеводородов |
| $\text{Cr}_2\text{O}_3 + \text{SiO}_2 + \text{Al}_2\text{O}_3$ | — | Полимеризация этилена в полипропилен |
| $\text{Cr}_2\text{O}_3 + \text{MnO}_2$ | — | Синтез спиртов из CO и H ₂ |
| Cr_2O_3 | — | Получение водорода из конверсионного газа |
| Cr_2O_3 | 275—300° C | Превращение спиртов в кетоны |
| Cr_2O_3 | 275° C | Этерификация этилового спирта в этилацетат |
| Cr_2O_3 на Al_2O_3 | 350—450° C | Окисление метана |
| Cr_2O_3 | — | Окисление альдегида в ацетальдегид, формальдегид, CO ₂ и H ₂ O |
| Cr_2O_3 | — | Окисление сернистого газа |
| Cr_2O_3 | 475° C | Циклизация гептана |
| Cr_2O_3 | 250° C | Перемещение двойной связи гомологов бензола с алькильными цепями |

| 1 | 2 | 3 |
|--|--|--|
| Ni на Cr_2O_3 (н) | 100—130° С | Гидрирование жиров |
| Ni на Cr_2O_3 (н) | $135^\circ \text{C}, p_{\text{H}_2} = 1,5 \text{ МПа}$ | Гидрирование хлопкового масла |
| (Ni + Cu) на Cr_2O_3 (н) | 300—700° С | Сорбция водорода |
| Ni на Cr_2O_3 (н) | 20—60° С | Гидрирование органических соединений (циклогексан, фурфурол) в 96%-ном этаноле |
| Cr_2O_3 на Al_2O_3 | 500—650° С | Дегидрирование бутана |
| $\text{Cr}_2\text{O}_3 + \text{ZnO} + \text{MnO}$ | 300—500° С | Парофазное декарбонилирование фурфурола, смесей метилфурфура с фурфуролом |
| $\text{H}_2\text{O}_2 + \text{Cr}_2\text{O}_3$ | 25—30° С | Окисление непредельных альдегидов, спиртов, кислот |
| $\text{Al}_2\text{O}_3 + \text{Cr}_2\text{O}_3$ | 560—580° С | Дегидрирование парафинов и альдегидов |
| $\text{MnO}_2 + \text{Cr}_2\text{O}_3$ | — | Окисление ацетилена в ацетон |
| $\text{Fe}_2\text{O}_3 + \text{Cr}_2\text{O}_3$ | 450—500° С | Конверсия окиси углерода |
| $\text{Fe}_2\text{O}_3 + \text{Cr}_2\text{O}_3 + \text{K}_2\text{O}$ | 560—630° С | Дегидрирование этилбензола в стирол |
| (CuO + Cr_2O_3) на Al_2O_3 | 165° С | Очистка выхлопных газов от окислов азота |
| $\text{ZnO} + \text{Cr}_2\text{O}_3$ | | Синтез метанола |
| $\text{ZnO} + \text{Cr}_2\text{O}_3$ | | Конверсия окиси углерода |

MnO [1]

| | | |
|----------|------------|--|
| MnO | — | Дегидрогенизация этилового спирта |
| MnO | 400—460° С | Получение кетонов из карбоновых кислот и их смесей |
| MnO | — | Разложение муравьиной кислоты |
| MnO | — | Дегидратация органических кислот |
| Fe + MnO | 440° С | Гидратация ацетилена |

| 1 | 2 | 3 |
|--|-----------------------------|---|
| $\text{MnO} + \text{B}_2\text{O}_3 +$ + кислые фосфаты $\text{MnO} + \text{SiO}_2$ | 410° C | Гидратация олефинов Парофазное окисление метил- пиридинов в альдегиды |
| | | Mn_2O_3 [1; 464] |
| Mn_2O_3 на Al_2O_3 | $350 - 450^\circ \text{ C}$ | Окисление метана |
| Mn_2O_3 | — | Разложение закиси азота |
| $\text{Mn}_2\text{O}_3 + \text{MnO}_2$ | — | Окисление окиси углерода |
| | | MnO_2 [1; 459] |
| MnO_2 | $150 - 200^\circ \text{ C}$ | Окисление ацетилена |
| MnO_2 на пемзе | $400 - 450^\circ \text{ C}$ | Окисление бензола до бензальде- гигда |
| $\text{MnO}_2 + \text{Cr}_2\text{O}_3$ | — | Окисление ацетилена в ацетон |
| MnO_2 | — | Разложение перекиси водорода |
| MnO_2 | — | Получение водорода из конверси- онного газа |
| MnO_2 | — | Окисление аммиака |
| MnO_2 | $360 - 380^\circ \text{ C}$ | Окисление пропилена |
| MnO_2 | — | Разложение хлорноватистого ка- лия |
| MnO_2 | $275 - 300^\circ \text{ C}$ | Превращение спиртов в кетоны |
| $\text{Cr}_2\text{O}_3 + \text{MnO}_2$ | — | Синтез спиртов из окиси углеро- да и водорода |
| $\text{U}_2\text{O}_3 + \text{ThO}_2 +$ + $\text{MnO}_2 + \text{Ni} + \text{Co}$ на кизельгуре | — | Синтез бензина из $\text{CO} + \text{H}_2\text{O}$ |
| | | FeO [1] |
| FeO | — | Синтез метана, формальдегида |
| FeO | — | Гидрогенизация нафтилина |
| FeO | — | Гидрогенизация тяжелых масел в легкие масла |
| $\text{FeO} + \text{Fe}_2\text{O}_3$ | $450 - 500^\circ \text{ C}$ | Синтез аммиака |
| | | Fe_2O_3 [1; 457—459; 462; 465] |
| $\text{Fe}_2\text{O}_3 + \text{MgO} +$ + K_2O | — | Синтез аммиака |
| $\text{Fe}_2\text{O}_3 + \text{FeO}$ | $500 - 550^\circ \text{ C}$ | Крекинг нефтяных продуктов |
| $\text{Fe}_2\text{O}_3 + \text{Cr}_2\text{O}_3$ | $450 - 500^\circ \text{ C}$ | Конверсия окиси углерода |
| $\text{Fe}_2\text{O}_3 + \text{Cr}_2\text{O}_3 +$ + K_2O | $560 - 630^\circ \text{ C}$ | Дегидрирование этилбензола в стирол |

| 1 | 2 | 3 |
|---|--|--|
| Fe_2O_3 Fe_2O_3 | 680° C 210—340° C | Окисление двуокиси серы Окисление окиси углерода, пропилена |
| $\text{Fe} + \text{Fe}_2\text{O}_3$ $\text{Fe}_2\text{O}_3 + \text{Bi}_2\text{O}_3$ $\text{Co}_3\text{O}_4 + \text{Fe}_2\text{O}_3$ $\text{H}_2\text{O}_2 + \text{ZrO}_2$ | 500° C 550—600° C — 240—275° C, 4,9—7,0 МПа | Окисление окиси углерода Окисление аммиака Окисление н-толуоловой кислоты до терефталевой |
| $\text{Fe}_2\text{O}_3 + \text{Al}_2\text{O}_3$ Fe_2O_3 Fe_2O_3 на Al_2O_3 $\text{Fe}_2\text{O}_3 + \text{ZnO}$ $\text{Fe}_2\text{O}_3 + \text{Al}_2\text{O}_3$ $\text{Fe}_2\text{O}_3 + \text{Na}_2\text{O} +$ $+ n \text{SiO}_2$ $\text{ZrO}_2 + \text{Fe}_2\text{O}_3 + \text{K}_2\text{O}$ | — 250° C — 420—470° C 150—500° C 680—720° C 650° C | Разложение перекиси водорода Разложение бромистого водорода Хлорирование пропилена Гидратация ацетилена Окисление окиси углерода Окисление сернистого ангидрида Дегидрирование бутена в бутадиен |
| Fe_3O_4 [1; 457] | | |
| Fe_3O_4 | 700—800° C | Получение водорода из конверсионного газа |
| CoO [1] | | |
| CoO CoO CoO | 150—260° C — — | Разложение закиси азота Гидрирование антрацена Гидрогенизация нафталина, дрессины, тяжелых масел в легкие масла |
| CoO CoO | — — | Синтез метана, формальдегида Разложение метана |
| Co_2O_3 [1] | | |
| Co_2O_3 Co_2O_3 Co_2O_3 Co_2O_3 Co_2O_3 $\text{Co}_2\text{O}_3 + \text{CuO} +$ $+ \text{MnO}_2$ | — — — 275—300° C — — — | Окисление окиси углерода Разложение перекиси водорода Окисление пропилена Превращение спиртов в кетоны Гидрирование анилина Синтез углеводородов, богатых олефинами, окиси углерода и водорода Синтез метана |
| Co_3O_4 [1; 457—459] | | |
| Co_3O_4 $\text{Co}_3\text{O}_4 + \text{Fe}_2\text{O}_3$ $\text{Co}_3\text{O}_4 + \text{CuO} +$ $+ \text{MnO}_2 + \text{NiO}$ | 350—450° C — — | Окисление метана Окисление аммиака Полное окисление водорода, углерода, метана |

| 1 | 2 | 3 |
|---|------------|--|
| NiO [1] | | |
| NiO на пемзе | 400—450° C | Окисление бензола в малеиновую кислоту |
| NiO | 150—200° C | Окисление ацетилена |
| NiO на асбесте | 100—350° C | Окисление метана |
| NiO | 180—250° C | Окисление окиси углерода, пропилена |
| NiO | — | Разложение метана |
| NiO | — | Разложение перекиси водорода |
| NiO | — | Разложение закиси азота |
| NiO | — | Гидрирование ненасыщенных соединений |
| NiO | 240° C | Гидрирование анизола |
| NiO | — | Гидрирование ароматических кислот, аминов |
| NiO | — | Гидрирование окиси углерода |
| NiO | — | Гидрогенизация нафталина, дрэвесины, тяжелых масел в легкие масла |
| NiO | — | Крекинг нефтяных продуктов |
| NiO на алюмосиликате | — | Полимеризация легких олефиновых углеводородов |
| NiO+Li ₂ O, промоторированные In ₂ O ₃ | — | Разложение N ₂ O ₄ |
| MgO+NiO | 400° C | Крекинг углеводородов |
| MoO ₃ +NiO+Al ₂ O ₃ | 550—590° C | Гидрокрекинг н-парафиновых углеводородов |
| WO ₃ +NiO+Al ₂ O ₃ | — | |
| Cu₂O [1, 464] | | |
| Cu ₂ O | 150—250° C | Окисление окиси углерода |
| Cu ₂ O | — | Окисление этилена |
| Cu ₂ O на пемзе, карбиде кремния | 350—450° C | Окисление пропилена в акролеин, CO ₂ и H ₂ O |
| Cu ₃ O | 200—300° C | Разложение закиси азота |
| CuO [1, 459, 464, 465] | | |
| CuO | 150—400° C | Окисление окиси углерода |
| CuO на асбесте | 250—350° C | Окисление метана до CO ₂ , H ₂ O и формальдегида |
| CuO | 150—200° C | Окисление ацетилена |
| CuO | 150° C | Окисление бензола перекисью водорода в бензохинон и малеиновую кислоту |
| CuO на пемзе | — | Окисление фенантрена до фталевой кислоты |
| CuO | — | Разложение закиси азота |

| 1 | 2 | 3 |
|---|----------------------------|---|
| CuO | — | Синтез метанола |
| CuO | 200—210° С, 1,4—1,8 МПа | Гидрирование антрацена |
| CuO | — | Дегидратация спиртов |
| CuO | — | Дегидрирование алканов и цикланов |
| CuO на активированном угле | — | Превращение мышьяковистого ангидрида в пятиокись мышьяка |
| CuO+Cr ₂ O ₃ | 300—400° С, 2 МПа | Восстановление эфиров карбоновых кислот |
| CuO+WO ₃ на активированном угле | — | Гидратация этиленовых углеводородов |
| CuO+Al ₂ O ₃ (1:1) (CuO+Cr ₂ O ₃) на Al ₂ O ₃ | 250—350° С 165° С | Окисление углеводородов Очистка выхлопных газов от окислов азота |
| MgO+Fe ₂ O ₃ + +CuO+K ₂ O | 550—630° С | Дегидрирование этилбензола в стирол |
| ThO ₂ +CuO | 200—450° С | Этерификация этилового спирта |
| ZnO [1; 455; 461; 462] | | |
| Cu+ZnO | — | Синтез метанола |
| ZnO+Cr ₂ O ₃ | — | » » |
| ZnO | — | » » |
| ZnO+Cr ₂ O ₃ +K ₂ O | 490° С; 2,4 МПа | Синтез метанола и высших спиртов из CO и H ₂ |
| ZnO+MnO ₂ + +Cr ₂ O ₃ +K ₂ O | — | Синтез метанола и высших спиртов из CO и H ₂ |
| ZnO+Cr ₂ O ₃ | — | Синтез метана |
| ZnO+Cr ₂ O ₃ | — | Конверсия окиси углерода |
| ZnO+SnO ₂ | — | Окисление метана в формальдегид, CO ₂ и H ₂ O |
| ZnO | — | Окисление ацетилена в ацетон |
| ZnO | — | Окисление спиртов в альдегиды и кетоны |
| ZnO | — | Окисление уксусной кислоты в ацетон |
| ZnO+Cr ₂ O ₃ | — | Гидрирование насыщенных соединений |
| ZnO+Ga ₂ O ₃ | — | Дегидрирование бутенов |
| ZnO+Al ₂ O ₃ | 650° С | Дегидрирование этилбензола в стирол |
| Ni на ZnO (н) | 350° С; 30 МПа | Гидрирование бензола |
| ZnO | — | Дегидрогенизация спиртов |
| ZnO | — | Дегидратация уксусной кислоты |
| ZnO | 400—450° С | Гидратация ацетилена |
| ZnO | 275—300° С | Превращение спиртов в кетоны |
| ZnO | 0—150° С | Дейтеро-водородный обмен |
| ZnO | — | Конверсия водяного газа |
| Ni на ZnO (н) | 250—450° С | Гидрирование аллилового спирта |

| 1 | 2 | 3 |
|--|--|---|
| ZnO ZnO+ZnCrO ₄ +H ₂ O Cr ₂ O ₃ +ZnO+MnO | 513° C 300° C, 2,5 МПа 300—500° C | Дегидроциклизация н-гептана Синтез метанола Парофазное декарбонилирование фурфуrola, смесей метилфурфуrola с фурфуrolом |
| Ga₂O₃ [1] | | |
| Ga ₂ O ₃ +ZnO Ga ₂ O ₃ Ga ₂ O ₃ Ga ₂ O ₃ | — — — — | Дегидрирование бутенов Разложение окиси азота Синтез перекиси водорода Окисление аммиака |
| GeO [1] | | |
| GeO | — | Взаимодействие спиртов с аммиаком и анилином |
| GeO₂ [1] | | |
| GeO ₂ GeO ₂ GeO ₂ | 265° C — 250—400° C | Полимеризация этилентерефталата Взаимодействие окиси углерода с аммиаком Окисление окиси углерода |
| As₂O₅ [1] | | |
| As ₂ O ₅ | — | Окисление сернистого газа кислородом в серный ангидрид |
| SeO₂ [1] | | |
| SeO ₂ | — | Гидролиз азотсодержащих соединений нафталинового ряда |
| Pb₂O [1] | | |
| Fe+Pb ₂ O (<i>n</i>) Fe+Pb ₂ O (<i>n</i>) Fe ₂ O ₃ +Pb ₂ O (<i>n</i>) Fe ₂ O ₃ +Pb ₂ O (<i>n</i>) | — — — — | Синтез Фишера—Тропша Синтез аммиака Дегидрирование бутилена в бутадиен Дегидрирование этилбензола в стирол |
| SrO [1] | | |
| SrO SrO+Al ₂ O ₃ | 400—450° C | Гидратация ацетилена Разложение закиси азота |

| I | 2 | 3 |
|--|--------------------------|---|
| Y₂O₃ [1; 455] | | |
| Y ₂ O ₃ +Dy ₂ O ₃ + $\frac{1}{2}$ +Gd ₂ O ₃ +Er ₂ O ₃ + +Eu, Tb, Ho, Tu, Yb Y ₂ O ₃ | 400° C | Разложение этилового спирта на C ₂ H ₄ и CH ₃ CHO |
| Y ₂ O ₃ 】 | 400—430° C | Дегидрирование метилового спирта на CO и H ₂ |
| Y ₂ O ₃ | — | Дегидрирование и дегидратация н- и изо-C ₃ H ₇ OH, н-C ₄ H ₉ OH |
| Y ₂ O ₃ | 350—360° C | Дегидрирование и дегидратация этилового спирта, метанола |
| Y ₂ O ₃ ·H ₂ O | — | Дегидрирование тетралина в нафталин |
| Y ₂ O ₃ Y ₂ O ₃ , Y ₂ O ₃ на Al ₂ O ₃ | 110—270° C 500—560° C | Пара-орт-конверсия водорода Дегидрирование и дегидроциклизация углеводородов |
| Y ₂ O ₃ | 350—450° C | Превращение изопропилового спирта |
| Y ₂ O ₃ | 385—430° C | Кетонизация н-бутилового спирта |
| ZrO₂ [1] | | |
| ZrO ₂ | 600—1900° C | Разложение окиси азота |
| ZrO ₂ | 475° C | Циклизация гептана |
| ZrO ₂ | 400—450° C | Получение кетонов из карбоновых кислот и их смесей |
| ZrO ₂ | 500—1200° C | Гидрокрекинг минеральных масел |
| ZrO ₂ | 300—390° C | Дегидратация спиртов |
| ZrO ₂ | 400—450° C | Конверсия спирта в бутадиен |
| ZrO ₂ | 200—500° C | Конденсация C ₆ H ₅ COCH ₃ в стирол |
| ZrO ₂ | — | Гидролиз C ₆ H ₅ Cl и C ₆ H ₅ Br |
| ZrO ₂ +Fe ₂ O ₃ +K ₂ O | 650° C | Дегидрирование бутена в бутадиен |
| ZrO ₂ на SiO ₂ | 300° C | Синтез бутадиена из этилового спирта и уксусного альдегида |
| ZrO ₂ +SiO ₂ | 204—260° C | Полимеризацияmonoолефинов со спиртом |
| ZrO ₂ на SiO ₂ | — | Окисление нафталина в нафтохинон |
| ZrO ₂ +Fe ₂ O ₃ + +Co ₂ O ₃ | 200—425° C | Очистка бензина от N ₂ , S ₂ , O ₂ , As |
| Ni+ZrO ₂ +ThO ₂ | 225—275° C | Гидрогенизация дизобутилена |
| Co+ZrO ₂ на пемзе | 150—500° C | Гидрогенизация полимербензинов |
| Pt+ZrO ₂ | 570° C | Гидрирование циклогексана |
| Pt+ZrO ₂ | — | Изомеризация нафталина |
| Pt+ZrO ₂ | 500—1200° C | Окисление этилена |
| NbO₂ [1] | | |
| NbO ₂ | — | Окисление бензола в фенол |

| 1 | 2 | 3 |
|---|----------------------------|---|
| MoO₂ [1; 457] | | |
| MoO ₂ | — | Окисление толуола до бензойной кислоты |
| MoO ₂ | — | Деструктивное гидрирование углеводородов |
| MoO ₂ MoO ₂ +Al ₂ O ₃ | 120—200° С — | Гидрирование антрацена Риформинг углеводородов |
| MoO₃ [1; 457; 458] | | |
| MoO ₃ | — | Гидрирование насыщенных соединений |
| MoO ₃ | — | Изомеризация углеводородов |
| MoO ₃ , промотированная CeO ₂ | — | Окисление метанола |
| Co+MoO ₃ | — | Гидродесульфирование |
| MoO ₃ на Al ₂ O ₃ | 490—530° С | Риформинг углеводородов |
| MoO на Al ₂ O ₃ | 460—535° С | Разложение закиси азота |
| MoO ₃ | 300—400° С, 20 МПа | Окисление бензола |
| MoO ₃ | 370° С | Окисление метилоктатетраэна, фурфурола |
| MoO ₃ на Al ₂ O ₃ | 490° С | Дегидроциклизация н-гептана |
| MoO ₃ | 440—480° С, 0,8—1,0 МПа | Обессеривание кислородсодержащих веществ |
| MoO ₃ +NiO+MgO | 4500° С, 20 МПа | Парофазная гидрогенизация угля |
| MoO ₃ +NiO+Al ₂ O ₃ | 550—590° С | Гидрокрекинг н-парафиновых углеводородов |
| MoO ₃ +V ₂ O ₅ +P ₂ O ₅ +Na ₂ O+NiO на ZrO ₂ | 1350—450° С | Окисление бензола в малеиновый ангидрид |
| MoO ₃ +Co ₂ O ₃ (Bi ₂ O ₃) | 400—500° С | Окислительный аммонолиз пропилена |
| RuO [1] | | |
| RuO | — | Гидрирование ненасыщенных соединений |
| RuO₂ [1] | | |
| RuO ₂ | 20—100° С | Гидрогенизация органических соединений |
| PdO [1] | | |
| PdO на SiO ₂ | 300—450° С | Окисление метана |
| PdO на алюмосиликате | — | Полимеризация легких олефиновых углеводородов |

| 1 | 2 | 3 |
|---|------------|---|
| Ag₂O [1] | | |
| Ag + Ag ₂ O | — | Окисление этилена |
| Ag ₂ O | 80—140° C | Окисление окиси углерода |
| Ag ₂ O на SiO ₂ | 275—380° C | Окисление нафталина |
| Ag ₂ O | 400—450° C | Окисление нефтенов, терпенов |
| Ag ₂ O на карборунде | 360—380° C | Окисление фурфурола |
| Ag ₂ O + V ₂ O ₅ + + MoO ₃ + Al ₂ O ₃ на SiO ₂ | 450—530° C | Окисление бензола |
| Ag ₂ O на Al ₂ O ₃ | — | Гидратация ацетилена |
| CdO [1; 462] | | |
| CdO | 275—300° C | Превращение спиртов в кетоны |
| CdO + In ₂ O ₃ | — | Разложение закиси азота |
| CdO + CaO + P ₂ O ₅ | — | Синтез ацельдегида из ацетилена |
| In₂O₃ [1] | | |
| In ₂ O ₃ | 25° C | Окисление аммиака в растворе четыреххлористого углерода |
| In ₂ O ₃ | — | Разложение закиси азота |
| In ₂ O ₃ | 400° C | Дегидрирование и дегидратация этилового спирта |
| SnO, SnO₂ [1; 457] | | |
| SnO | 400—450° C | Гидратация ацетилена |
| SnO ₂ | — | Разложение аммиака |
| SnO ₂ + Sb ₂ O ₃ | 480° C | Неполное окисление пропилена |
| SnO ₂ + Sb ₂ O ₃ | — | Окислительный аммонолиз пропилена |
| MgO + SnO ₂ | — | Разложение перекиси водорода |
| V ₂ O ₅ + SnO ₂ на пемзе | — | Окисление нафталина во фталевый ангидрид |
| SnO ₂ + ZnO | — | Окисление метана в формальдегид, CO ₂ и H ₂ O |
| Sb₂O₃ [1] | | |
| Sb ₂ O ₃ + SnO ₂ | 480° C | Неполное окисление пропилена |
| Sb ₂ O ₃ | — | Разложение бромистого водорода |
| TeO₂ [1] | | |
| TeO ₂ | 310—340° C | Окисление пропилена |
| BaO, Ba₂O₂ [1; 462] | | |
| BaO | 400—450° C | Гидратация ацетилена |
| BaO + SiO ₂ + K ₂ O + + V ₂ O ₅ + Al ₂ O ₃ + + Fe ₂ O ₃ | — | Окисление сернистого ангидрида |
| BaO + Ba ₂ O ₂ | — | Окисление аммиака |
| Ba ₂ O ₂ + Ag (n) | 400—450° C | Окисление этилена |

| 1 | 2 | 3 |
|---|-------------|--|
| La₂O₃ [1; 455] | | |
| La ₂ O ₃ | 360—350° C | Дегидрогенизация и дегидратация этилового и изопропилового спиртов |
| La ₂ O ₃ | 460—500° C | Разложение закиси азота |
| La ₂ O ₃ | — | Дегидратация метилтетрагидрофурана |
| Co+La ₂ O ₃ (<i>n</i>) на кизельгуре | — | Гидрирование окиси углерода в углеводороды |
| La ₂ O ₃ | — | Окисление окиси углерода |
| La ₂ O ₃ , La ₂ O ₃ на Al ₂ O ₃ | 543—584° C | Дегидрирование циклогексана |
| La ₂ O ₃ | 20—(-78° C) | Гидрирование этилена |
| La ₂ O ₃ +Al ₂ O ₃ +SiO ₂ | 575° C | Дегидрирование н-бутана |
| La ₂ O ₃ (<i>n</i>) | — | Кетонизация н-бутилового спирта |
| La ₂ O ₃ на кварце, асбесте | 275—325° C | Этерификация кислот спиртами |
| CeO₂ [1; 455; 459] | | |
| CeO ₂ | — | Окисление окиси углерода |
| CeO ₂ +Al ₂ O ₃ | 200—300° C | Окисление окиси углерода |
| CeO ₂ +Pd+ThO ₂ | 480—800° C | Конверсия метана » » |
| CeO ₂ +Ni | — | Окисление метанола до альдегида |
| CeO ₂ +Cu (<i>n</i>) | 200° C | Окисление бензола в фенол |
| CeO ₂ | — | Синтез Фишера—Тропша с получением изобутана |
| CeO ₂ | 450° C | Дегидрирование этилбензола в стирол |
| CeO ₂ +MgO | 300—600° C | Дегидрирование этилнафтилина |
| CeO ₂ | 600—675° C | Дегидрирование и дегидратация этилового спирта |
| CeO ₂ | 350—360° C | Алкилирование тиофена олефинами |
| CeO ₂ на SiO ₂ | 140—400° C | Этерификация уксусной кислоты этиловым спиртом |
| CeO ₂ | — | Превращение бензола в дифенил |
| CeO ₂ +WO ₃ | 760° C | Синтез синильной кислоты из окиси углерода и аммиака |
| CeO ₂ +Al ₂ O ₃ | 500—700° C | Изомеризация окиси пропилена в аллиловый спирт |
| CeO ₂ | — | Полимеризация гликолов терефталатов |
| CeO ₂ | — | Орто-пара-превращение водорода |
| CeO ₂ | —196° C | Реакция обмена водорода идейтерия |
| CeO ₂ | — | Кетонизация уксусной кислоты |
| Ni+CeO ₂ (<i>n</i>) на пемзе | — | Гидрирование двуокиси углерода |

| 1 | 2 | 3 |
|---|------------|---|
| Ni + CeO ₂ (<i>n</i>) на асбесте | | Гидрирование гетероциклических ненасыщенных соединений |
| CeO ₂ | 25—45° С | Разложение перекиси водорода |
| CeO ₂ | 510° С | Циклизация гептана |
| CeO ₂ | 350—450° С | Окисление водорода |
| CeO ₂ + Al ₂ O ₃ | 450° С | Очистка выхлопных газов от окислов азота |
| CeO ₂ , CeO ₂ + ZrO ₂ , CeO ₂ + Al ₂ O ₃ , CeO ₂ на Al ₂ O ₃ | 450—540° С | Превращение н-гептана, н-бутана |
| CeO ₂ + Al ₂ O ₃ + MoO ₃ | 500—555° С | Дегидрирование и дегидроцикли- зация углеводородов |
| Ce ₂ O ₃ + CeO ₂ | 333—471° С | Превращение этилового спирта, изопропилового спирта |
| Ce ₂ O ₃ + CeO ₂ MoO ₃ + CeO ₂ (<i>n</i>) | 385—430° С | Кетонизация н-бутилового спирта |
| PbO ₂ + CeO ₂ на асбесте | — | Окисление метанола |
| ThO ₂ + CeO ₂ на шамоте | 350—500° С | Окисление метана в CO ₂ и H ₂ O |
| | 500° С | Окисление водорода |
| Pr₂O₃, Pr₆O₁₁ [1, 455] | | |
| Pr ₂ O ₃ | 350—360° С | Дегидратация и дегидрогениза- ция спиртов |
| Pr ₂ O ₃ | 350—450° С | Окисление водорода |
| Pr ₂ O ₃ на Al ₂ O ₃ | 290—610° С | Дегидрирование циклогексана |
| Pr ₂ O ₃ , Pr ₆ O ₁₁ на Al ₂ O ₃ | 450—550° С | Превращение н-бутана |
| Pr ₆ O ₁₁ | 359—397° С | Дегидратация и дегидрирование изопропилового спирта |
| Pr ₆ O ₁₁ Pr ₆ O ₁₁ на кварце, асбесте | 385—430° С | Кетонизация н-бутилового спирта |
| | 250—325° С | Этерификация кислот спиртами |
| Nd₂O₃ [1] | | |
| Nd ₂ O ₃ , промотиро- ванная Al ₂ O ₃ | — | Дегидрирование парафинов, ци- клических углеводородов |
| Nd ₂ O ₃ + Al ₂ O ₃ | 500° С | Дегидрирование пропана, н-гепта- на с параллельной циклизацией |
| Nd ₂ O ₃ + Al ₂ O ₃ | 400—600° С | Дегидрирование спиртов |
| Nd ₂ O ₃ | 350—360° С | Дегидратация этилового спирта |
| Nd ₂ O ₃ , Nd ₂ O ₃ на SiO ₂ | 196—259° С | Орто-пара-превращение водорода |
| Nd ₂ O ₃ | 350—450° С | Окисление водорода |
| Nd ₂ O ₃ | — | Окисление окиси углерода |
| Nd ₂ O ₃ | — | Дейтеро-водородный обмен в циклогексане |
| Nd ₂ O ₃ , Nd ₂ O ₃ на Al ₂ O ₃ | — | Превращение циклогексана, н-геп- тана |
| Nd ₂ O ₃ | — | Гидрирование этилена |

| 1 | 2 | 3 |
|---|------------------------------------|---|
| $\text{Nd}_2\text{O}_3 + \text{Al}_2\text{O}_3 + \text{Cr}_2\text{O}_3 (n)$ Nd_2O_3 Nd_2O_3 на кварце, асбесте | 500° С 385—430° С 250—325° С | Превращение н-октана, н-бутина Кетонизация н-бутилового спирта Этерификация кислот спиртами |
| Sm_2O_3 [1; 455] | | |
| Sm_2O_3 | 600° С | Окисление метилового спирта до CO_2 и H_2O |
| Sm_2O_3 | — | Дегидрогенизация циклических углеводородов |
| Sm_2O_3 | 370—425° С | Дегидратация этилового и изопропилового спиртов |
| Sm_2O_3 , промотированная Al_2O_3 | 500° С | Дегидрирование н-гептана с параллельной циклизацией |
| $\text{Sm}_2\text{O}_3 + \text{Al}_2\text{O}_3$ | 400—600° С | Дегидрирование спиртов $\text{C}_2 + \text{C}_{12}$ |
| Sm_2O_3 | 350—450° С | Окисление водорода |
| Sm_2O_3 | — | Окисление окиси углерода |
| Sm_2O_3 | 400—590° С | Превращение циклогексана, н-бутина |
| Sm_2O_3 | 20—55° С | Низкотемпературное гидрирование этилена |
| Sm_2O_3 | 385—430° С | Кетонизация н-бутилового спирта |
| Sm_2O_3 | 200—335° С | Превращение алифатических кислот |
| Sm_2O_3 на кварце, асбесте | 250—325° С | Этерификация кислот спиртами |
| Eu_2O_3 [455] | | |
| Eu_2O_3 | — | Окисление окиси углерода |
| Eu_2O_3 | 20—(—50° С) | Низкотемпературное гидрирование этилена |
| Eu_2O_3 , Eu_2O_3 на Al_2O_3 | 545—560° С | Превращение н-гептана |
| Gd_2O_3 [1; 455] | | |
| Gd_2O_3 | 350—360° С | Дегидрогенизация и дегидратация спиртов |
| Gd_2O_3 | —196— —250° С | Орто-пара-превращение водорода |
| Gd_2O_3 | — | Окисление окиси углерода |
| Gd_3O_3 | — | Дейтеро-водородный обмен в циклогексане |
| Gd_2O_3 | 530—590° С | Дегидрирование циклогексана |
| $\text{Gd}_2\text{O}_3 + \text{Al}_2\text{O}_3 + \text{SiO}_2 (n)$ | 575° С | Дегидрирование н-бутина |
| Gd_2O_3 | 400—550° С | Превращение н-бутина |
| Gd_2O_3 | 385—430° С | Кетонизация н-бутилового спирта |

| 1 | 2 | 3 |
|---|--------------------|--|
| TbO_x [455] | | |
| TbO _x | 500—550 °C | Превращение н-бутана |
| Dy₂O₃ [1; 455] | | |
| Dy ₂ O ₃ | 350—360 °C | Дегидрирование и дегидратация спиртов |
| Dy ₂ O ₃ +Al ₂ O ₃ | 240 °C, 1,4 МПа | Полимеризация этилена |
| Dy ₂ O ₃ | 350—460 °C | Окисление водорода |
| Dy ₂ O ₃ | — | Окисление окиси углерода |
| Dy ₂ O ₃ | 400—550 °C | Превращение н-бутана |
| Dy ₂ O ₃ | 385—430 °C | Катонизация н-бутилового спирта |
| Dy ₂ O ₃ | 250—325 °C | Этерификация кислот спиртами |
| Ho₂O₃ [455] | | |
| Ho ₂ O ₃ | 350—450 °C | Окисление водорода |
| Ho ₂ O ₃ | — | Окисление окиси углерода |
| Ho ₂ O ₃ | — | Дегидрирование и гидроциклизация углеводородов |
| Ho ₂ O ₃ | 450—550 °C | Превращение н-бутана |
| Ho ₂ O ₃ | 385—430 °C | Кетонизация н-бутилового спирта |
| Er₂O₃ [1; 455] | | |
| Er ₂ O ₃ | 545—590 °C | Дегидрирование циклогексана |
| Er ₂ O ₃ | — | Окисление окиси углерода |
| Er ₂ O ₃ , Er ₂ O ₃ на Al ₂ O ₃ | 474—518 °C | Дегидрирование и дегидроциклизация углеводородов |
| Er ₂ O ₃ | 400—530 °C | Превращение циклогексана, н-бутана, 1-алкилцикlopентенов-1 |
| Er ₂ O ₃ | 385—430 °C | Кетонизация н-бутилового спирта |
| Tu₂O₃ [1; 455] | | |
| Tu ₂ O ₃ | — | Дегидрогенизация циклогексана |
| Tu ₂ O ₃ | 490—520 °C | Дегидрирование тетралина |
| Tu ₂ O ₃ | 400—550 °C | Превращение н-бутана |
| Tu ₂ O ₃ | 316—354 °C | Превращение изопропилового спирта |
| Y₂O₃ [1; 455] | | |
| Y ₂ O ₃ | — | Дегидрогенизация циклогексана |
| Y ₂ O ₃ +Al ₂ O ₃ | 240 °C, 40 МПа | Полимеризация этилена |
| Y ₂ O ₃ | 350—450 °C | Окисление водорода |
| Y ₂ O ₃ | — | Окисление окиси углерода |

| 1 | 2 | 3 |
|---|----------------------------|---|
| Y_2O_3 | 490—530 °C | Дегидрирование тетралина |
| Y_2O_3 | 450—550 °C | Превращение н-бутана |
| Y_2O_3 | 385—430 °C | Кетонизация н-бутилового спирта |
| Lu_2O_3 [455] | | |
| Lu_2O_3 | 350—450 °C | Окисление водорода |
| Lu_2O_3 | — | Окисление окиси углерода |
| Lu_2O_3 | 519—566 °C | Дегидрирование тетралина |
| HfO_2 [1] | | |
| HfO_2 на SiO_2 | 300—400 °C | Синтез бутадиена из этилового спирта и уксусного альдегида |
| HfO_2 на SiO_2 | — | Алкилирование тиофена хлоридами и ангидридами карбоксильных кислот |
| $\text{HfO}_2 + \text{Al}_2\text{O}_3$ | — | Крекинг углеводородов |
| TaO_2 [1] | | |
| TaO_2 | — | Окисление бензола в фенол |
| TaO_2 | — | Окисление толуола до бензойной кислоты |
| $\text{WO}_2, \text{W}_2\text{O}_5$ [1] | | |
| WO_2 | — | Гидрогенизация тяжелых масел в легкие масла |
| W_2O_5 | — | Дегидратация этилового и аллилового спиртов |
| W_2O_5 | 360—380 °C, (7—13) МПа | Гидратация олефинов |
| WO_3 [1] | | |
| WO_3 | 300—400 °C, 200 МПа | Окисление бензола и толуола |
| $\text{WO}_3 + \text{MoO}_3$ на немзее | — | Окисление толуола в бензальдегид, бензойную кислоту, CO_2 и H_2O |
| WO_3 на SiO_2 | 350 °C, 1,4 МПа | Гидратация этилена |
| WO_3 | 300—400 °C, 0,7—1,0 МПа | Изомеризация н-гексана |
| WO_3 | — | Деструктивная гидрогенизация топлив |
| WO_3 | — | Приготовление алифатических аминов из спиртов и аммиака |
| WO_3 на древесном угле | — | Растворение целлюлозы |

| 1 | 2 | 3 |
|--|------------|---|
| $\text{WO}_3 + \text{NiO} + \text{Al}_2\text{O}_3$ | 550—590 °C | Гидрокрекинг н-парафиновых углеводородов |
| | | OsO_4 [1] |
| OsO_4 | — | Окисление спирта воздухом |
| | | PtO, PtO_2 [1] |
| $\text{Pt} + \text{PtO}$ | — | Окисление аммиака |
| PtO_2 | — | Гидрогенизация диметилциклогексана, кислот |
| PtO_2 | 200 °C | Гидрирование анилина, пиридина, хинолинов |
| PtO_2 | — | Гидрирование олеиновой кислоты в стеариновую |
| PtO_2 | 35 °C | Обмендейтерия с метанолом |
| PtO_2 | — | Восстановление карбонилсодержащих соединений в присутствии аммиака |
| $\text{Pd} + \text{PtO}_2$ | — | Получение диаминов и полиаминов каталитическим восстановлением циан-групп |
| | | $\text{Ti}_2\text{O}_3, \text{TiO}_2$ [1] |
| Ti_2O_3 на асбесте | 350 °C | Окисление этилена до азобензола и феназина |
| Ti_2O_3 | — | Разложение озона |
| Ti_2O_3 | — | Окисление сернистого газа |
| TiO_2 | 400—450 °C | Гидратация ацетилена |
| | | PbO, PbO_2 [1] |
| PbO | — | Получение водорода из конверсионного газа |
| PbO_2 | — | Окисление аммиака |
| $\text{PbO}_2 + \text{CeO}_2$ на асбесте | 350—500 °C | Окисление метана в CO_2 и H_2O |
| | | Bi_2O_3 [1] |
| $\text{Bi}_2\text{O}_3 + \text{MoO}_3$ | 450 °C | Окислительный аммонолиз пропилена |
| | | ThO_2 [1] |
| ThO_2 | — | Дегидратация спиртов |

| 1 | 2 | 3 |
|--|------------------------------------|--|
| $\text{ThO}_2 + \text{Co}$ на ки- зельгуре | — | Синтез бензина |
| $\text{ThO}_2 + \text{Cu}$ (<i>n</i>) | 300—380 °C | Дегидрирование и дегидратация этилового спирта |
| ThO_2 | — | Дегидрогенизация циклогексана |
| ThO_2 | 400—500 °C, (25—200) 0,1 МПа | Гидратация этилена, ацетилена |
| ThO_2 $\text{Ni} + \text{ThO}_2$ (<i>n</i>) | — | Гидрогенизация ацетона |
| ThO_2 на SiO_2 | — | Гидрирование касторового масла |
| $\text{ThO}_2 + \text{CeO}_2$ на шамоте | 500 °C | Окисление нафталина в нафтохи- нов |
| $\text{ThO}_2 + \text{Co}$ | — | Окисление водорода |
| ThO_2 | 400—450 °C | Оксосинтез |
| ThO_2 | 400—440 °C | Гидролиз эфиров |
| ThO_2 | — | Изомеризация олефинов |
| ThO_2 | — | Взаимодействие спиртов с амми- ком и анилином до аминов |
| ThO_2 | — | Цианидный синтез |
| $\text{ThO}_2 + \text{CuO}$ | 200—450 °C | Этерификация этилового спирта |
| ThO_2 на активиро- ванном угле | — | Этерификация уксусной кислоты этиловым спиртом |
| $\text{Pd} + \text{ThO}_2$ (<i>n</i>) | 480—800 °C | Окисление метана водяным паром |
| ThO_2 | — | Полимеризация ацетальдегида |
| ThO_2 | 300 °C | Конденсация ацетилена с амми- ком |
| ThO_2 на SiO_2 | — | Алкилирование ароматических уг- леводородов олефинами |
| ThO_2 | 300—800 °C | Изотопный обмен $\text{O}^{16} - \text{O}^{18}$ |
| ThO_2 | —78—300 °C | Обмен дейтерий—водород |
| ThO_2 | 250—260 °C | Восстановление карбоновых кис- лот в альдегиды |
| ThO_2 на SiO_2 | 555 °C | Циклизация гептана |
| ThO_2 на каолине | — | Расщепление алифатических мо- нобромпроизводных |
| ThO_2 | 400—450 °C | Изосинтез |
| $\text{Co} + \text{ThO}_2$ (<i>n</i>) | — | Синтез углеводородов из окиси углерода и водорода |
| $\text{U}_2\text{O}_3, \text{UO}_2$ [1] | | |
| $\text{U}_2\text{O}_3 + \text{ThO}_2 +$ $+ \text{MnO}_2 + \text{Ni}$ на ки- зельгуре | — | Синтез бензина |
| $\text{UO}_2 + \text{BeO}$ | 500—600 °C | Окисление метана в формаль- дегид |
| UO_2 | 450 °C | Окисление о-ксилола |
| UO_2 | — | Окисление бензола в фенол |
| UO_2 | — | Окисление толуола до бензойной кислоты |

ГЛАВА IX

ОГНЕУПОРНЫЕ СВОЙСТВА

1. ВЗАИМОДЕЙСТВИЕ ОКИСЛОВ С ВЕЩЕСТВАМИ В ТВЕРДОЙ ФАЗЕ [4; 222; 305; 426; 451; 468—564; 624—628]

| Вещество | Температура, К | Характер воздействия | | | |
|---------------------------------|-------------------|---|--|--|--|
| | | | | | |
| BeO | | | | | |
| 1 | 2 | 3 | | | |
| Be* ¹ | < 1623 | Не взаимодействует | | | |
| B | 1373 | Взаимодействуют в порошках с образованием боридов бериллия | | | |
| C* ¹ | 1588—2573 | При температуре выше 1773 К BeO восстанавливается | | | |
| C* ² | 1573—1673 | Не взаимодействует при выдержке 1500 ч | | | |
| C* ¹ —* ³ | 1723—2843 | Взаимодействует с образованием карбида бериллия и окиси углерода, выше 2373 К карбид испаряется, а затем (при 2473 К и выше) диссоциирует на Be (пар) и углерод | | | |
| Al | < 873 | Не взаимодействует | | | |
| Si* ² | 1673 | » » | | | |
| Ca | < 1123 | » » | | | |
| Ti* ¹ | 1673 | Взаимодействует в смеси порошков с восстановлением BeO до Be | | | |
| Ti* ² | 1673—1873 | Компактные образцы не взаимодействуют | | | |
| Cr | 1273—1473 | В смеси порошков взаимодействуют с восстановлением BeO | | | |
| Mn | 1273—1473 | В смеси порошков слабо взаимодействует с восстановлением BeO | | | |
| Fe* ² | 1273—1473 | В смеси порошков слабо взаимодействует с восстановлением BeO | | | |
| Ni* ² | 1273—1723 | Не взаимодействует | | | |
| Zr* ¹ | 1703 | В смеси порошков взаимодействует с восстановлением BeO до металла высокой чистоты | | | |
| Zr* ² | 2073 | В компактных образцах цирконий проникает по границам зерен окисла, некоторая коррозия окисла, образование ZrO ₂ по границе контакта | | | |

| 1 | 2 | 3 |
|---|------------|---|
| Nb* ¹ | 1363—1813 | Не взаимодействует |
| Nb* ¹ | 1973—2173 | Взаимодействует с образованием бериллида ниобия |
| Nb* ² | 1673—2073 | Взаимодействует слабо, происходит слияние образцов, а при 2073 К взаимодействие идет по границам зерен окисла с образованием Nb ₂ O ₅ |
| Mo* ¹ | 1973—2173 | Взаимодействует с образованием бериллида молибдена |
| Mo* ² | 2073 | Не взаимодействует |
| Ta* ¹ | 1363—1813 | » |
| Ta | 1873 | Начало взаимодействия |
| Ta* ¹ | 1973—2473 | Взаимодействует с образованием новой фазы |
| W* ¹ | 1073—2373 | Взаимодействует с образованием летучих окислов вольфрама, при 2073—2173 К взаимодействие наблюдается при выдержке 0,5—1 ч, при 2273 К при выдержке 2 мин |
| Pb | 573 | Не взаимодействует |
| Th* ¹ | 1273—2073 | Взаимодействует начиная с 1373 К с образованием окиси тория |
| TiC | 1773—2473 | Взаимодействует с образованием карбида бериллия |
| MgO* ¹ | 1873, 2073 | Взаимодействует с образованием жидкой фазы |
| MgO* ⁴ | 2173 | Интенсивно взаимодействует с переходом в расплав |
| Al ₂ O ₃ * ⁴ | 2173 | Взаимодействует интенсивно |
| Cr ₂ O ₃ | 1673 | В смеси порошков слабо взаимодействует с образованием BeO, Cr ₂ O ₃ |
| ZrO ₂ | 1873 | Начало взаимодействия |
| ZrO ₂ * ¹ | 2073 | Слабо взаимодействует, происходит прилипание и оплавление |
| ZrO ₂ * ¹ | 2173—2273 | Взаимодействует со слиянием образцов после 2 мин выдержки, а при 2273 К — с образованием жидкой фазы |
| La ₂ O ₃ | 2573 | Взаимодействует с образованием 2BeO·La ₂ O ₃ |
| CeO ₂ | 1973 | Начало взаимодействия |

| 1 | 2 | 3 |
|--------------------------------|------------|--|
| Gd ₂ O ₃ | 1763 | Взаимодействует с образованием эвтектики |
| Sm ₂ O ₃ | 1693 | То же |
| ThO ₂ ^{*1} | 2373—2474 | Взаимодействует с полным переходом в расплав при 2473 К |
| ThO ₂ ^{*4} | 2173 | Интенсивное взаимодействие |
| UO ₂ | 2073 | Не взаимодействуют |
| MgO | | |
| Be ^{*2} | 1873—2073 | Взаимодействует с окислением металла, а при 2073 К — с сильной коррозией окисла |
| B ^{*1} | — | Взаимодействует с образованием боридов магния |
| C ^{*1} | 1723—2073 | Взаимодействует с восстановлением MgO |
| C ^{*2} | 1273 | Не взаимодействует |
| C ^{*4} | 2073 | Взаимодействует с восстановлением MgO |
| Si ^{*2} | 1673, 1873 | Взаимодействует с образованием Mg ₂ SiO ₄ |
| Ti | 1123 | Титан проникает по границам зерен окисла, происходит слабое разъединение кристаллов MgO на границе раздела |
| Ti ^{*2} | 1673—2073 | При 1673 К взаимодействуют слабо, при 1873—2073 происходит сильная коррозия окисла с образованием Mg ₂ TiO ₄ |
| Ni ^{*2} | 1673—2073 | Не взаимодействует |
| Zr ^{*1} | 2173—2273 | Взаимодействуют с образованием новой фазы |
| Zr ^{*2} | 2073 | Взаимодействуют с сильной коррозией окисла |
| Nb ^{*1} | 1363—1813 | Не взаимодействует |
| Nb ^{*1} | 2173—2273 | Взаимодействует с образованием новой фазы |
| Nb ^{*2} | 1673—2073 | Слабо взаимодействует, начиная с 2073 К с образованием по границам зерен окисла Nb ₂ O ₃ |
| Mo ^{*1} | 2273 | На MgO образуется серебристый налет |
| Mo ^{*2} | 2073 | Не взаимодействует |
| Ta ^{*1} | 1363—2373 | Выше 1873 К взаимодействуют с образованием новой фазы |
| W ^{*1} | 2273 | Взаимодействует с восстановлением MgO и слабым прилипанием образцов |

| 1 | 2 | 3 |
|---|-----------|--|
| TiB ₂ ^{*1} | 1473—2273 | Взаимодействует с восстановлением MgO и образованием летучей B ₂ O ₂ |
| ZrB ₂ ^{*1} | 1373—2273 | Взаимодействуют с образованием новой фазы |
| SiC | 1873 | Взаимодействует интенсивно |
| TiC* ¹ | 2073—2573 | Взаимодействует с восстановлением MgO и образованием соединений типа <i>Me</i> (C, O), а также карбида магния, который разлагается на магний и углерод |
| TiC* ² | 1873—2173 | Взаимодействует с образованием TiO или Mg ₂ TiO ₄ |
| ZrC* ¹ | 2273—2573 | Взаимодействует с восстановлением MgO и образованием карбида магния и твердого раствора Zr (C, O) |
| NbC* ¹ | 2073—2573 | Взаимодействует с образованием металлического ниобия и твердого раствора Nb (C, O) |
| Mo ₂ C* ¹ | 2073—2573 | Взаимодействие незначительно |
| HfC* ¹ | 2273 | Не взаимодействует |
| TaC* ¹ | 2473—2573 | » » |
| WC* ¹ | 2073—2573 | Взаимодействие незначительно |
| TiN* ¹ | 1573—2273 | Взаимодействует с восстановлением MgO и образованием нитрида и оксинитрида магния |
| ZrN* ¹ | 1673—2273 | Взаимодействие незначительно |
| Al ₂ O ₃ * ⁴ | 2273 | Взаимодействует с образованием шпинели на поверхности тигля из Al ₂ O ₃ , прилипания нет |
| FeO* ⁴ | 2173 | Взаимодействует интенсивно с расплавлением |
| ZrO ₂ * ¹ | 2173 | Взаимодействует со слипанием ZrO ₂ и MgO и образованием жидкой фазы |
| ZrO ₂ * ⁴ | 2273 | Взаимодействует интенсивно |
| CeO ₂ | 1973 | Начало взаимодействия |
| HfO ₂ | 1673—1873 | Взаимодействует начиная с 1773 К с образованием твердого раствора |
| ThO ₂ * ¹ | 2573 | Взаимодействует в порах, происходит сильное разрушение ThO ₂ , прилипание отсутствует |
| ThO ₂ * ⁴ | 2173 | Взаимодействует интенсивно |

| 1 | 2 | 3 |
|---|------------------|--|
| UO_2 PuO_2 | 673—2073 1773 | Не взаимодействует » » |
| Al_2O_3 | | |
| Be^{*2} | До 1623 | В твердой фазе не взаимодействует |
| C^{*1} | 1623—2073 | Взаимодействует с восстановлением Al_2O_3 |
| C^{*2} | 1273—1473 | Не взаимодействует |
| C^{*4} | 2223 | Взаимодействует с восстановлением Al_2O_3 |
| C | 1973—2273 | Взаимодействует с образованием при 1973 К оксикарбида алюминия ($\text{Al}_4\text{O}_4\text{C}$), при 2073—2273 К — карбида алюминия |
| Ti | 1123 | Титан проникает по границам зерен окисла |
| Ti^{*1} | 973—1973 | Взаимодействует с образованием твердых растворов |
| Ti^{*2} | 1873 | Взаимодействует незначительно |
| Ni^{*2} | 1673 | Не взаимодействует |
| Nb^{*1} | 1363—1913 | » » |
| Nb^{*2} | 1873—2073 | Взаимодействует слабо с образованием Nb_2O_5 |
| Mo^{*1} | 1473—2223 | Взаимодействует начиная с 2173 К с образованием окислов Мo и пор в металле |
| Mo^{*2} | 2073 | Не взаимодействует |
| Ta^{*1} | 1363—2173 | Выше 1873 К взаимодействует без касания, происходит разложение окисла |
| W^{*1} | 973—2223 | Взаимодействует начиная с 2173 К с образованием окислов вольфрама и пор в металле |
| UC_2 | 2173 | Взаимодействует слабо |
| BN^{*2} | 2073 | Взаимодействует с образованием нитрида алюминия |
| ZrO_2^{*4} | 2173 | Интенсивное взаимодействие |
| $\text{MoO}_3^{*2—*4}$ | 873—1073 | Взаимодействует с образованием MoO_{3-x} ($x=0,11 \div 1,0$) |
| CeO_2 | 1973 | Начало взаимодействия |
| ThO_2^{*1} | 2173 | Интенсивное взаимодействие |
| UO_2 | 2073 | Не взаимодействует |

SiO₂

| | | |
|---|-----------|---|
| C* ¹ , * ³ , * ⁴ | 1523—1973 | Взаимодействует с восстановлением SiO ₂ и образованием SiC: в вакууме выше 1523, на воздухе выше 1753, в восстановительной среде выше 1873 К |
| Al | 723 | Взаимодействует с образованием на границе раздела кристаллического кремния |
| SiC* ² | 1873—1973 | Взаимодействует в смеси порошков с образованием SiO и CO |
| MoO ₃ * ² —* ⁴ | 873—1073 | Не взаимодействует |
| UO ₂ | 1923 | Взаимодействуют с образованием эвтектики |

CaO

| | | |
|------------------|------|---|
| C* ¹ | 1573 | Взаимодействует с восстановлением CaO |
| C* ⁴ | 2403 | Взаимодействует с восстановлением CaO и образованием CaC ₂ |
| UC ₂ | 2173 | Слабо взаимодействует |
| ZrO ₂ | — | Взаимодействует с образованием CaZrO ₃ |

Se₂O₃

| | | |
|--------------------------------|----------|---|
| MnO* ⁴ | 973—1773 | Взаимодействует с образованием SeMnO ₃ и твердых растворов |
| UO ₂ * ⁴ | 1653 | Взаимодействует с образованием твердого раствора |
| UO ₂ * ¹ | 2023 | Не взаимодействует |

TiO₂

| | | |
|------------------|-----------|--|
| C* ³ | 1573 | Взаимодействует с восстановлением TiO ₂ через промежуточные окислы до карбида титана |
| Si* ² | 1673 | Взаимодействует слабо с поверхностным обесцвечиванием окисла |
| Ti* ² | 1123—2073 | Взаимодействует слабо с поверхностным обесцвечиванием окисла и взаимной диффузией TiO ₂ и Ti, а при 2073 К сильной коррозией окисла |
| Nb* ² | 1873—2073 | Взаимодействует с коррозией окисла |
| Mo* ² | 2073 | Не взаимодействуют |

| 1 | 2 | 3 |
|-------------------|-----------|---|
| TiC* ¹ | 1273—2073 | Взаимодействует начиная с 1473 К |
| WC* ¹ | 1573—1673 | Взаимодействует с восстановлением TiO ₂ (при 1573 К за 32 мин на 60%, а при 1673 К за 30 мин на 85%) с образованием W—Ti |
| BN* ² | 1673—2073 | Взаимодействует с образованием нитрида титана |
| TiN | 1273—1473 | Взаимодействует |
| NiO | 293—1273 | Взаимодействует начиная с 1023—1073 К с образованием NiTiO ₃ |
| UO ₂ | 1373 | Взаимодействует |

V₂O₃

| | | |
|------------------|-----------|--|
| VC* ¹ | 1273—1873 | Взаимодействует с образованием моноокиси и карбидов ванадия, при 1673 К появляется свободный V |
| WC* ¹ | 1573 | Взаимодействует с восстановлением V ₂ O ₃ (за 10 мин на 60%) |
| WC* ¹ | 1673 | Взаимодействует с образованием W—V сплава (за 30 мин на 100%) |

V₃O₄

| | | |
|------------------|-----------|--|
| BN* ² | 2073—2273 | Взаимодействует с образованием VB ₂ |
|------------------|-----------|--|

Cr₂O₃

| | | |
|---|-----------|--|
| Cr ₃ C ₂ * ¹ | 1273—1973 | Взаимодействует начиная с 1473 К с образованием при 1473—1873 К Cr ₇ C ₃ и Cr, при 1973 К образец расплывается |
| WC* ¹ | 1573—1673 | Взаимодействует с восстановлением Cr ₂ O ₃ (за 30 мин на 100%) и образованием W—Cr сплава |
| BN* ² | 1873 | Взаимодействует с образованием CrB |

Mn₂O₃

| | | |
|---|----------|---|
| La ₂ O ₃ * ⁴ | 973—1573 | Взаимодействует с образованием LaMn _x ³⁺ Mn _{1-x} ⁴⁺ O _{3+y} |
| La ₂ O ₃ * ² | 973—1473 | Взаимодействует с образованием LaMnO ₃ |

| 1 | 2 | 3 |
|--|-----------|--|
| MnO₂ | | |
| C* ² | 773—873 | Взаимодействуют начиная с 823 К с восстановлением MnO ₂ , скорость реакции резко возрастает при 863 К |
| FeO*⁵ | | |
| C* ¹ | 1193—1473 | Взаимодействует с восстановлением FeO, при 1423 К металл науглероживается и расплывается |
| ZrN | 1573 | Взаимодействует с образованием ZrO ₂ , Fe и выделением N ₂ |
| Fe₂O₃^{*⁵} | | |
| C* ¹ | 773—973 | Взаимодействует с образованием низших окислов железа и CO ₂ |
| MoO ₃ ^{*²—*⁴} | 873—1073 | Не взаимодействуют |
| CoO | | |
| C* ¹ | 1193—1473 | Взаимодействует с восстановлением CoO до металла |
| NiO | | |
| C* ¹ | 1193—1473 | Взаимодействует с восстановлением NiO до металла |
| ZrN | 1573 | Взаимодействует с образованием ZrO ₂ , Ni и выделением N ₂ |
| Ni₂O₃ | | |
| BN* ² | 1723 | Взаимодействует с восстановлением Ni ₂ O ₃ до Ni |
| SrO | | |
| SiC* ¹ , * ² , * ⁴ | >1273 | Взаимодействует с образованием SrO, SiO ₂ и CO ₂ (на воздухе) и 2SrO·SiO ₂ , SrC ₂ и Sr (в вакууме и аргоне) |
| Y₂O₃ | | |
| Nb* ¹ | 1363—1813 | Взаимодействует |
| Mo* ¹ | 1923 | Слабое прилипание образцов |

| I | 2 | 3 |
|--------------------------------|-----------|---|
| W* ¹ | 1373 | Взаимодействует с образованием $3Y_2O_3 \cdot WO_3$ |
| Re* ¹ | 1363—1813 | Не взаимодействует |
| UO ₂ * ² | 1873 | Взаимодействует с образованием твердого раствора |

ZrO₂

| | | |
|------------------|-----------|--|
| Be* ² | До 1623 | В твердой фазе не взаимодействует |
| C* ² | 1323—1423 | Не взаимодействует |
| C* ¹ | 1573—2073 | Взаимодействует с восстановлением ZrO ₂ |
| C* ⁴ | 1673 | То же |
| Al | 1873 | Не взаимодействует |
| Si* ² | 1673 | В твердой фазе не взаимодействует |
| Ti* ² | 1673—1873 | Взаимодействует слабо при 1873 К |
| Ti | 1223 | Титан проникает по границам зерен окисла, разъедает края кристаллов на границе раздела |
| Ni* ² | — | В твердой фазе не взаимодействуют |
| Zr* ² | 2073 | Не взаимодействует |
| Nb* ¹ | 2273 | Взаимодействует слабо |
| Nb* ² | 1673 | » » |
| Nb* ² | 2073 | Взаимодействует по границам зерен |
| Mo* ¹ | 1723—2573 | Взаимодействует начиная с 2173 К с образованием окислов молибдена и пор в металле, легким прилипанием при 2473 К и разложением ZrO ₂ при 2573 К |
| Mo* ² | 2073 | Не взаимодействует |
| Ta | 1873 | Начало взаимодействия |
| Ta* ¹ | 2073—2373 | Взаимодействует с образованием новой фазы |
| W* ¹ | 1723—2573 | При 1873 К появляется желтый налет, начиная с 2173 К взаимодействуют с образованием окислов вольфрама и пор в металле |
| W* ² | 2798 | При взаимодействии с ZrO ₂ , стабилизированной 9% Y ₂ O ₃ , происходит слабое изменение окраски |

| 1 | 2 | 3 |
|--|------------|---|
| Re* ¹ , (60 Mo + + 40 Re)* ¹ | 2623 | При взаимодействии с ZrO ₂ , стабилизированной Y ₂ O ₃ , происходит слабое изменение окраски |
| TiB ₂ * ¹ | 1373—2073 | Взаимодействует с восстановлением ZrO ₂ и образованием летучей окиси бора |
| ZrB ₂ * ¹ | 1573—2073 | Взаимодействует с образованием пористой фазы на границе контакта |
| SiC* ³ | 1573, 1873 | При 1873 К взаимодействует с образованием карбида циркония |
| TiC* ¹ | 1673—2673 | Взаимодействует с образованием оксикарбидов и выделением окиси углерода (уменьшением содержания связанного углерода) |
| Cr ₃ C ₂ * ¹ | 1573—2273 | Взаимодействует с образованием Cr ₇ C ₃ и ZrC |
| ZrC* ¹ | 1473—2373 | Взаимодействует начиная с 2073 К с образованием оксикарбидов циркония |
| ZrC* ¹ | 1673—2673 | Взаимодействует с образованием новой фазы и уменьшением содержания связанного углерода |
| NbC* ¹ | 1573—2673 | Взаимодействует с образованием сложных окислов и карбидов |
| NbC* ¹ | 2373 | Взаимодействует с образованием в промежуточном слое Zr _{0,7} Nb _{0,3} , Zr _{0,68} — _{0,40} ×Nb _{0,32} — _{0,60} , NbZr _{0,05} , Nb ₂ C |
| Mo ₂ C* ¹ | 2273—2573 | Взаимодействует с образованием фронтального слоя хрупкой фазы |
| HfC* ¹ | 2273—2573 | Не взаимодействует |
| TaC* ¹ | 2273—2573 | Взаимодействует при 2573 К с образованием новой фазы |
| WC* ¹ | 1673 | Взаимодействует с восстановлением ZrO ₂ (за 30 мин на 39%) и образованием сплава W—Zr |
| WC* ¹ | 2573 | Взаимодействует слабо |
| UC* ² | 2723 | Не взаимодействует |
| UC ₂ | 2173 | Взаимодействует слабо |
| BN* ² | 1873—2173 | Взаимодействует с образованием ZrB, ZrN + ZrB ₂ |
| TiN* ¹ | 1673—2073 | Взаимодействует с восстановлением ZrO ₂ , образованием нитрида циркония и выделением двуокиси азота |
| ZrN* ¹ | 1573—2073 | Взаимодействует с образованием нестехиометрического нитрида циркония |
| CeO ₂ | 1973 | Начало взаимодействия |
| Nd ₂ O ₃ * ⁴ | 1673—1873 | Взаимодействует с образованием твердого раствора Nd ₂ Zr ₂ O ₇ —ZrO ₂ |
| Tl ₂ O ₃ * ⁴ | 673—1273 | Не взаимодействует |

| 1 | 2 | 3 |
|------------------------------------|-----------|---|
| ThO ₂ ^{*1} | 2573 | Взаимодействует слабо с легким прилипанием образцов, жидкую фазу отсутствует |
| ThO ₂ ^{*4} | 2173 | Взаимодействует очень слабо |
| UO ₂ | 2073 | Взаимодействует с образованием твердого раствора |
| ZrSi ₂ | 2223 | То же |
| MoSi ₂ ^{*3} | 1573—1873 | Не взаимодействует |
| Nb₂O | | |
| C | 1433 | Взаимодействует с образованием Nb ₂ C |
| C | 1533 | Взаимодействует с образованием NbC |
| Nb₂O₃ | | |
| BN ^{*2} | 2023 | Взаимодействует с образованием Nb ₃ B ₄ |
| Nb₂O₅ | | |
| NbC ^{*1} | 1273—1773 | Взаимодействует начиная с 1573 К с образованием новой фазы |
| WC ^{*1} | 1673 | Взаимодействует с образованием W—Nb сплава (за 30 мин — на 100%) |
| MoO₃ | | |
| C ^{*1} | 773—973 | Взаимодействует с образованием низших окислов молибдена |
| BaO | | |
| UO ₂ | 2073 | Взаимодействует с образованием твердых растворов |
| La₂O₃ | | |
| W ^{*1} | 1373 | Взаимодействует с образованием 3La ₂ O ₃ ·WO ₃ |
| BN ^{*2} | 2023 | Взаимодействует с образованием новой фазы LaB ₂ |
| CeO₂ | | |
| W ^{*1} | 1973 | Интенсивно взаимодействует |
| UO ₂ | 1273 | Взаимодействует с образованием непрерывного ряда твердых растворов |
| Nd₂O₃ | | |
| UO ₂ | 2473 | Взаимодействует с образованием твердых растворов |

| 1 | 2 | 3 |
|--|------------|--|
| HfO₂ | | |
| W* ¹ , Re* ¹ (60 Mo+ +40 Re)* ¹ | 2623 | Слабое изменение окраски |
| TiC | 1773—2473 | Взаимодействует с образованием оксикарбидов |
| HfC* ¹ | 1273—2273 | Не взаимодействует |
| HfN* ² | — | » » |
| Tl ₂ O ₃ * ⁴ | 673—1273 | Не взаимодействует |
| Ta₂O₃ | | |
| BN* ² | 1873—2273 | Взаимодействует с образованием TaB, а при 2273 — TaB ₂ |
| Ta₂O₅ | | |
| WC* ¹ | 1673 | Взаимодействует с образованием W—Ta-сплава (за 30 мин на 100%) |
| UO ₂ | 1473 | Взаимодействует с образованием U ₂ TaO ₇ и Ta ₂ O ₈ |
| WO₃ | | |
| BN* ² | 1673 | Взаимодействует с образованием вольфрама |
| ThO₂ | | |
| Be* ² | До 1623 | В твердой фазе не взаимодействует |
| B* ¹ | 1873—2273 | Взаимодействует с образованием боридов тория |
| C* ¹ | 1673, 2273 | Взаимодействует с восстановлением ThO ₂ |
| C* ⁴ | 1873 | То же |
| Si* ² | До 1693 | Кремний проникает по границам зерен, происходит коррозия окисла |
| Ti* ² | 2073 | Титан проникает по границам зерен, новой фазы не обнаружено |
| Ni* ² | 1723 | В твердой фазе не взаимодействует |
| Zr* ² | 1673, 1873 | Взаимодействует слабо, происходит коррозия окисла |
| Zr* ² | 2073 | Цирконий проникает по границам зерен, образуется ZrO ₂ |
| Nb* ² | 1873—2073 | Взаимодействует слабо; при 2073 К ниобий проникает по границам зерен, происходит коррозия окисла |
| Nb* ¹ | 2373 | Не взаимодействует |
| Mo* ² | 2073 | » » |

| 1 | 2 | 3 |
|--|-----------|---|
| Mo* ¹ | 2173—2573 | Взаимодействует с образованием налетов, происходит слабое прилипание образцов; при 2573 К взаимодействует слабо |
| Ta* ¹ | 2173 | Начало взаимодействия |
| W* ¹ | 2473—2573 | Взаимодействует слабо с восстановлением ThO ₂ , при 2573 К происходит сильное прилипание образцов |
| Re* ¹ , (60Mo+ +40Re)* ¹ | — | Не взаимодействует при выдержке в течение 2 ч |
| WB* ¹ | 2373 | Не взаимодействует |
| ThB ₄ * ¹ | 2373 | » » |
| ThB ₆ * ¹ | 2373 | Взаимодействует с образованием ThB ₄ |
| TiC | 1773—2273 | Взаимодействует с образованием ThC |
| UC* ² | 2723 | Не взаимодействует |
| UO ₂ | 2073 | Взаимодействует с образованием твердого раствора |
| UO₂ | | |
| Be | 873 | Взаимодействует слабо |
| C | 1473—2473 | Взаимодействует с образованием до достижения 2273 К монокарбida, а при температуре выше 2473 К дикарбida урана |
| Al | 773 | Взаимодействует с образованием UAl ₃ , UAl ₄ |
| Si | 1603 | Взаимодействует |
| Fe | 1073 | Взаимодействует при прессовании |
| Ni | 1673 | Взаимодействует слабо |
| Ni* ¹ | 1773 | Не взаимодействует |
| Zr | 673—723 | Взаимодействует слабо |
| Nb | 1273 | Взаимодействует с образованием твердого раствора |
| Nb* ¹ , * ² | 2773 | Не взаимодействует |
| Mo* ¹ , * ² | 2893 | » » |
| Ta* ¹ , * ² | 2203—3033 | » » |
| Ta* ¹ | 2423 | Взаимодействует с образованием темно-серой фазы из окислов тантала, улетучивающейся при длительном нагреве |
| W* ¹ , * ² | 2203—3033 | Не взаимодействует |
| Au | до 1336 | В твердой фазе не взаимодействует |
| WB ₂ * ¹ | 3033 | Не взаимодействует |
| Mo ₂ C* ¹ | 2693 | » » |
| HfC* ¹ , * ² | 2203—3033 | » » |
| UC | 1723 | Взаимодействует с образованием оксикарбидов и свободного урана |

| 1 | 2 | 3 |
|-------------------------------------|-----------|--|
| TaN* ¹ | 3033 | Не взаимодействует |
| UN | 1473—1873 | » » |
| PuO ₂ | 1773 | Взаимодействует с образованием твердых растворов |
| CaO ZrO ₂ * ³ | 2073 | То же |
| UP | 2663 | Взаимодействует с образованием эвтектики |

PuO₂

| | | |
|------------------|------------|---|
| C* ¹ | 1273—1473 | Взаимодействует с восстановлением PuO ₂ до Pu ₂ O ₃ , а при 1473 К с образованием карбида плутония |
| Nb* ¹ | 1673, 1773 | Не взаимодействует при 1673 К (при выдержках до 100 ч) |
| Mo* ¹ | 1673, 1773 | Не взаимодействует при 1673 К (при выдержках 110 ч), а при 1773 К образуется новая фаза |
| Ta* ¹ | 1673, 1773 | Не взаимодействует (при выдержке 110 ч), а при 1773 К образуется новая фаза (40—60 мкм за 1000 ч) |
| Ta | 2003—2403 | Взаимодействует с образованием Pu ₂ O ₃ и TaO |

Cm₂O₃

| | | |
|--------------------|---------------------|----------------------------------|
| V | 1523 | Не взаимодействует |
| Zr | 1523 | Взаимодействует |
| Nb | 1523 | Не взаимодействует |
| Mo | 1923, 2123 | » » |
| Ta | 1523, 1923, 2123 | » » |
| W | 1923, 2123 | » » |
| (Nb+ +1% Zr) | 1523 | » » |
| (Ta+ +10% W) | 1523, 1923 2123 | Взаимодействует начиная с 1923 К |
| (W+ +26% Re) | 1923, 2123 | Не взаимодействует |

*¹ Вакуум. *² Нейтральная среда (аргон, гелий или безокислительные газовые смеси). *³ Восстановительная или защитная среда (водород, азот, окись углерода). *⁴ Воздух. *⁵ Более подробные сведения см. [639].

2. СМАЧИВАНИЕ ОКИСЛОВ ЖИДКИМИ МЕТАЛЛАМИ

| Жидкий металл | Температура, °C | Атмосфера | Краевой угол смачивания θ, град |
|----------------------------|-----------------|-----------|--------------------------------------|
| 1 | 2 | 3 | 4 |
| BeO [565, 566, 260] | | | |
| Al | 1000 | Вакуум | Металл просачивается сквозь керамику |
| Si | 1450 | Водород | 88 |
| Si | 1450 | Гелий | 76 |
| Ni | 1500 | Вакуум | 128 |
| Ni | 1500 | Водород | 152 |
| Ni | 1500 | Гелий | 146 |
| Ni + 0,1% O ₂ | 1500 | » | 100 |
| Fe | 1550 | Водород | 147 |
| Fe | 1550 | Гелий | 127 |
| Pb | 600—900 | Водород | 138—132 |
| Ni | 1500 | Вакуум | 132 |
| Ni | 1500 | Водород | 152 |
| Ni | 1500 | Гелий | 132 |
| Ni | 1500 | Аргон | 125 |
| Pb | 600—900 | Водород | 136—127 |
| Cu | 1100—1300 | Аргон | 140—122 |
| Ag | 1075 | » | 137 |
| Ag | 1075 | Воздух | 90 |
| Ag | 1100 | » | 115—120 |
| Sn | 800—1100 | Вакуум | 158—139 |
| V | 1800 | » | 35 |
| Cr | 1900 | » | 100 |
| Pt | 1790 | » | 125 |

MgO [565, 567, 260]

| | | | |
|----|------|---------|-----|
| Si | 1450 | Водород | 101 |
| Si | 1450 | Гелий | 95 |
| Fe | 1550 | » | 130 |
| Fe | 1550 | Вакуум | 123 |
| Ni | 1500 | Гелий | 152 |
| Cu | 1150 | » | 160 |
| Sn | 1100 | » | 139 |
| Ag | 1235 | Вакуум | 136 |

(MgNi)O [568]

| | | | |
|----|-----------|--------|--------|
| Sn | 700—1000 | Вакуум | 130—10 |
| Ag | 1000—1300 | Аргон | 144—53 |
| Cu | 1000—1300 | » | 134—24 |

| 1 | 2 | 3 | 4 |
|---|-----------------|------------|---|
| Al_2O_3 [565, 566, 567, 569, 1] | | | |
| Al | 940 1255 | Аргон » | 170 48 |
| Al_2O_3 [565, 567, 569] | | | |
| Ag | 1000 | Вакуум | 144 |
| Ag | 1100 | » | 148 |
| Ag+5% C | 980 | Воздух | 28 |
| Ag+10% C | 980 | » | 14 |
| Pb | 400 | Водород | 144 |
| Pb | 900 | » | 133 |
| Si | 1450 | Гелий | 80 |
| Si | 1450 | Водород | 82 |
| Co | 1500 | » | 125 |
| Cu | 1200 | Вакуум | 138 |
| Cu | 1200 | Водород | 136 |
| Cu | 1200 | Аргон | 141 |
| Cu+1,5% O ₂ | 1300 | Гелий | 38 |
| Bi | $T_{\text{пл}}$ | Вакуум | 90 |
| Ge | $T_{\text{пл}}$ | » | >90 |
| In | $T_{\text{пл}}$ | » | >90 |
| Al_2O_3 [565, 566, 567, 1] | | | |
| Ba | $T_{\text{пл}}$ | Вакуум | 90, металл про- сачивается сквозь керами- ку |
| Sn | 800 | » | 90 |
| Sn | 800 | Водород | 150 |
| Al_2O_3 [565, 566, 1] | | | |
| Sn+10% In | 1100 | Вакуум | 174 |
| Sn+10% In | 800 | » | 138 |
| Ni | 1500 | Гелий | 150 |
| Ni | 1500 | Водород | 133 |
| Ni | 1500 | Вакуум | 128 |
| Ni | $T_{\text{пл}}$ | Водород | 115 |
| Ni+5% V | $T_{\text{пл}}$ | » | 95 |
| Ni+10% Mn | $T_{\text{пл}}$ | » | 95 |
| Al_2O_3 [565, 566, 1, 407] | | | |
| Ni+20% Cr | $T_{\text{пл}}$ | Водород | 85 |
| Ni+8,7% Cr | 1500 | Вакуум | 108 |

| 1 | 2 | 3 | 4 |
|-----------------------|------|--------|-----|
| Ni+0,8%Ti | 1500 | Вакуум | 90 |
| Ni+3%In | 1500 | Гелий | 132 |
| Fe | 1550 | Вакуум | 141 |
| Fe | 1550 | Азот | 139 |
| Fe+8%Si | 1550 | Гелий | 114 |
| Fe+0,7%O ₃ | 1570 | » | 109 |
| Fe+0,47%C | 1570 | » | 106 |
| Fe+2%S | 1570 | » | 101 |
| Cr | 1900 | » | 65 |

Al₂O₃ [570]

| | | | |
|----|------|-------------------|-------|
| Cr | 1900 | Восстановительная | ~1—10 |
| Cr | 1950 | Инертная | ~45 |

Al₂O₃ [565, 566, 1, 407]

| | | | |
|-------|------|-------------------|-------|
| Cr | 1950 | Воздух | ~1—10 |
| Cr | 1950 | Углеродсодержащая | ~45 |
| Mn | 1300 | Вакуум | ~0—10 |
| Mn | 1300 | Восстановительная | ~90 |
| Mn | 1300 | Инертная | ~45 |
| Mn | 1300 | Воздух | ~45 |
| Mn | 1300 | Углеродсодержащая | ~45 |
| Mn | 1300 | Вакуум | ~45 |
| Fe | 1580 | Восстановительная | ~90 |
| Fe | 1580 | Инертная | ~90 |
| Fe | 1580 | Воздух | ~45 |
| Fe | 1580 | Углеродсодержащая | ~45 |
| Fe | 1550 | Вакуум | ~90 |
| Au | 1100 | Гелий | 138 |
| Cu | 1100 | Восстановительная | >90 |
| Cu | 1100 | Инертная | >90 |
| Cu | 1100 | Воздух | 0 |
| Cu | 1100 | Углеродсодержащая | 0—45 |
| Cu | 1100 | Вакуум | >90 |
| Co | 1550 | Восстановительная | >90 |
| Co | 1550 | Инертная | >90 |
| Co | 1550 | Воздух | 0—20 |
| Co | 1550 | Углеродсодержащая | >90 |
| Co | 1550 | Вакуум | >90 |
| Co | 1450 | Восстановительная | ~90 |
| Ni | 1450 | Инертная | ~90 |
| Ni | 1450 | Воздух | ~90 |
| Ni | 1450 | Углеродсодержащая | ~90 |
| Ni | 1450 | Вакуум | ~45 |
| Fe+Mn | 1500 | Восстановительная | ~1—45 |
| Fe+Mn | 1500 | Инертная | ~1—45 |
| Fe+Mn | 1500 | Воздух | ~45 |

| 1 | 2 | 3 | 4 |
|-------|------|-------------------|-------|
| Fe+Mn | 1550 | Углеродсодержащая | ~45 |
| Fe+Mn | 1550 | Вакуум | ~45 |
| Fe+Cr | 1650 | Восстановительная | ~40 |
| Fe+Cr | 1650 | Инертная | ~40 |
| Fe+Cr | 1650 | Воздух | ~30 |
| Fe+Cr | 1650 | Углеродсодержащая | ~45 |
| Fe+Cr | 1650 | Вакуум | ~0—40 |
| Mn-Ti | 1600 | » | ~45 |
| Cu-Ti | 1600 | » | ~45 |
| Co-Ti | 1600 | » | ~45 |
| Ni-Ti | 1550 | » | ~90 |
| Sn | 250 | Восстановительная | >90 |
| Pb | 350 | То же | >90 |
| Pb | 450 | » » | 90 |

$\text{Al}_2\text{O}_3 - \text{Cr}_2\text{O}_3$ (твердый раствор) [571, 569, 1]
0%—100%

| | | | |
|---------|------|-------|---------|
| Fe | 1550 | Аргон | 91—88,5 |
| 90%—10% | | | |
| Fe | 1550 | Аргон | 108—105 |
| 95%—5% | | | |
| Fe | 1550 | » | 126—124 |

SiO_2 [569, 1]

| | | | |
|----|-----------|--------|-----|
| Hg | Комнатная | Воздух | 140 |
| Cu | 1100 | Вакуум | 148 |
| Cu | 1100 | Гелий | 134 |
| Fe | 1550 | Азот | 115 |
| Ni | 1550 | » | 125 |
| Ag | 1000 | Гелий | 139 |
| Sn | 900 | » | 127 |
| Pb | 800 | » | 164 |
| Au | 1100 | Гелий | 140 |

SiO_2 (непрозрачный кварц)

| | | | |
|---------------|------|------|---|
| Ферромарганец | 1550 | Азот | 0 |
|---------------|------|------|---|

| 1 | 2 | 3 | 4 |
|--|------|----------|---------------------------|
| CaO [572, 573] | | | |
| Fe | 1550 | Вакуум | 132 |
| Ni | 1500 | » | 135 |
| TiO₂ [565, 566] | | | |
| Si | 1450 | Гелий | 107 |
| Ni | 1500 | Вакуум | 104 |
| Ni | 1500 | Водород | 143 |
| Ni | 1500 | Гелий | 120 |
| Ni | 1500 | Аргон | 112 |
| Ni | 1550 | Вакуум | 104 |
| Ni | 1500 | Водород | 143 |
| Ni | 1500 | Гелий | 121 |
| Co | 1500 | Гелий | 109 |
| Fe | 1550 | Вакуум | 72 |
| Fe | 1550 | Водород | 84 |
| Fe | 1550 | Гелий | 0 |
| Fe | 1550 | Аргон | 0 |
| Ag | 1200 | Воздух | 73 |
| V₂O₅ [574] | | | |
| Ag | 1000 | Инертная | >90, металл просачивается |
| Cr₂O₃ [575] | | | |
| Fe | 1550 | Аргон | 88 |
| Ni | 1450 | Вакуум | 65 |
| Ni+2%Cr | 1450 | » | 103 |
| Ni+3,8%Cr | 1350 | » | 98 |
| Ni+7,5%Cr | 1450 | » | 90 |
| Ni+1%Cr | 1450 | » | 85 |
| Ni+5%Cr | 1450 | » | 96 |
| Ni+10%Cr | 1450 | » | 98 |
| Ni+15%Cr | 1450 | » | 103 |
| Ni+25%Cr | 1450 | » | 105 |
| Fe₃O₄ [566] | | | |
| Sn | 1000 | Аргон | 52 |
| Cu | 1200 | » | 57 |
| Sn | 1000 | Вакуум | 0 |

| 1 | 2 | 3 | 4 |
|--|------|--------------------------|-----|
| CoO [566, 573] | | | |
| Ni | 1500 | Аргон | 58 |
| Co | 1500 | » | 70 |
| Sn+0,4% Ti | 900 | » | 87 |
| NiO [566] | | | |
| Cu | 1200 | Аргон | 68 |
| Ag | 1125 | » | 66 |
| Sn | 920 | » | 27 |
| Ni | 1500 | » | 70 |
| NiO [566, 573] | | | |
| Fe | 1550 | Аргон | 88 |
| Cu₂O [1] | | | |
| Ag | 980 | Азот + 2% O ₂ | 0 |
| ZnO [567] | | | |
| Ag | 1160 | Аргон | 106 |
| Ag | 1200 | Воздух | 90 |
| ZrO₂ [565] | | | |
| Si | 1450 | Водород | 71 |
| Si | 1450 | Гелий | 71 |
| Ni | 1500 | Вакуум | 118 |
| Ni | 1500 | Водород | 130 |
| Ni | 1500 | Гелий | 120 |
| Fe | 1550 | Вакуум | 92 |
| Fe | 1550 | Водород | 111 |
| Fe | 1550 | Гелий | 102 |
| CdO [567] | | | |
| Ag | 970 | Аргон | 112 |
| Ag | 970 | Водород | 90 |
| TiO₂ [565, 567, 260] | | | |
| Ni | 1500 | Гелий | 134 |
| Fe | 1550 | Водород | 111 |

| 1 | 2 | 3 | 4 |
|----|------|---------|-----|
| Fe | 1550 | Гелий | 100 |
| Ag | 1000 | Воздух | 90 |
| Ag | 1300 | » | 90 |
| Cr | 1900 | Водород | 92 |

UO₂ [567, 260]

| | | | |
|----|-------------------------------------|---------|---------|
| Na | 200—500 | Водород | 152—40 |
| Al | 1100 | Аргон | 130 |
| Al | 1100, после выдержки в течение 22 ч | » | 46 |
| Si | 1420 | » | 90 |
| Sn | 500—1100 | » | 140—110 |
| Pb | 400—700 | » | 137—124 |
| Bi | 500—1100 | » | 118—95 |

Стекло [1]

| | | | |
|----|-----------|---------|-----|
| Hg | Комнатная | Воздух | 149 |
| Cu | 1150 | Гелий | 60 |
| Cu | 1150 | Водород | 60 |
| Cu | 1150 | Воздух | 0 |
| Cu | 1150 | Азот | 0 |
| Ag | 1100 | Гелий | 70 |
| Ag | 1100 | Водород | 73 |
| Ag | 1100 | Воздух | 0 |
| Ag | 1100 | Азот | 0 |
| Au | 1100 | Гелий | 60 |
| Au | 1100 | Водород | 45 |
| Au | 1100 | Воздух | 55 |
| Au | 1100 | Азот | 53 |
| Ni | 1500 | Гелий | 55 |
| Ni | 1500 | Водород | 60 |
| Ni | 1500 | Воздух | 0 |
| Ni | 1500 | Азот | 0 |
| Pd | 1600 | Гелий | 55 |
| Pd | 1600 | Водород | 40 |
| Pd | 1600 | Воздух | 25 |
| Pd | 1600 | Азот | 20 |
| Pt | 1700 | Гелий | 60 |
| Pt | 1700 | Водород | 43 |
| Pt | 1700 | Воздух | 0 |
| Pt | 1700 | Азот | 0 |

Кварцевое стекло [577]

| | | | |
|----|------|--------|-----|
| Fe | 1600 | Воздух | 52 |
| Fe | 1600 | Азот | 111 |

| 1 | 2 | 3 | 4 |
|------------------------------|-------------------------|------------------|-----------|
| Хромомагнезит [577] | | | |
| Fe Fe | 1600 1600 | Воздух Азот | 63 102 |
| Магнезит [577] | | | |
| Fe Hg | 1600 25 | Воздух Азот | 90 113 |
| Хромит [577] | | | |
| Fe Fe | 1600 1600 | Воздух Азот | 72 81 |
| Стекло [1] | | | |
| Hg Na | Комнатная (48 ч) 300 | Воздух Вакуум | 137 90 |
| Черный мрамор [579] | | | |
| Hg | Комнатная | Воздух | 149 |
| Диабаз [579] | | | |
| Hg | Комнатная | Воздух | 142 |
| Немецкий гранит [579] | | | |
| Hg | Комнатная | Воздух | 134 |
| Кальцит [579] | | | |
| Hg | Комнатная | Воздух | 141 |
| Пирит [579] | | | |
| Hg | Комнатная | Воздух | 142 |
| Слюдя [1] | | | |
| Hg | Комнатная | Воздух | 126 |

| 1 | 2 | 3 | 4 |
|--|-----------------|--------------|-----|
| Феррит (42,8% Fe₂O₃; 42,07% MnO; 14,3% MgO [566]) | | | |
| Cu | 1200 | Вакуум | 95 |
| Феррит (40% Fe₂O₃; 40% MgO; 20% (MnO; -MgO+CoO) | | | |
| Cu | 1100 | Вакуум | 67 |
| MgO·Cr₂O₃·3MgO·2Cr₂O₃ [566] | | | |
| Sn | 1000 | Аргон | 155 |
| Cu | 1100 | » | 164 |
| Cu | 1500 | » | 160 |
| Ni | 1530 | » | 133 |
| Co | 1530 | » | 113 |
| Fe | 1560 | » | 90 |
| Магнезит [1] | | | |
| Fe | 1560 | Азот | 126 |
| Ферромарганец | 1560 | Азот | 79 |
| Силикомарганец | 1560 | — | 105 |
| Ошлакованный магнезит | | | |
| Fe | 1560 | Азот | 100 |
| Хромомагнезит [1] | | | |
| Сталь (1,6%C, 0,2%Mn) | T _{пл} | Атмосфера CO | 166 |
| Шлак*1 | | | |
| Штейн* (Ni—21,8%; Fe—49,9%; S—25,3%) | 1050 | Азот | 35 |
| Шлак*2 | | | |
| Штейн (Ni-21,8%; Fe-49,9%; S-25,3%) | 1050 | Азот | 26 |
| *1 Состав шлака: 16% FeO; 20% CaO; 39,7% SiO ₂ ; 9% Al ₂ O ₃ ; 10,2% MgO [1]. | | | |
| *2 » » 22% FeO; 20% CaO; 39,7% SiO ₂ ; 9% Al ₂ O ₃ ; 10,25% Mg. | | | |

3. СТОЙКОСТЬ ПРОТИВ ДЕЙСТВИЯ РАСПЛАВЛЕННЫХ МЕТАЛЛОВ, СПЛАВОВ И ШЛАКОВ

| Реагент E. | Температура, °C | Характер взаимодействия | |
|--------------------------------|--------------------|--|---|
| | | 1 | 2 |
| BeO [1] | | | |
| Ni | 1600 | Реакции нет (гел) | |
| Ni | 1800 | » » | |
| Be | 1800 | Be не пропитывает окись берилия, и, по-видимому, с ней не реагирует (гел) | |
| Si | 1600 | Незначительное взаимодействие, просачивание расплавленного кремния по границам зерен BeO (гел) | |
| Nb | 1800 | Появляется тонкий переходный слой, происходит небольшое разрушение тигля (гел) | |
| Ti | 1800 | Коррозия BeO, впитывание Ti, темное окрашивание тигля (гел) | |
| Zr | 1800 | Впитывание Zr и разрушение тигля (гел) | |
| Mo | 1800 | Не реагирует (гел) | |
| C | 2300 | Начинается реакция, уголь покрывается пленкой металлического вида (в) | |
| N | 2000 | Желтый налет на тигле (в) | |
| N | 2000 | Серебристый налет на тигле (в) | |
| ThO ₂ | 2100 | Плавление с полным расплавлением при 2473 К (в) | |
| ZrO ₂ | 1800 | Легкое прилипание и оплавление (в) | |
| MgO | 1800 | Появляется жидккая фаза, прочное прилипание расплава к тиглю BeO (в) | |
| Al ₂ O ₃ | 1900 | Сильная реакция (в. о) | |
| MgO | 1900 | Сильная реакция и расплавление (в. о) | |
| ZrO ₂ | 1900 | Сильная реакция (в.о) | |
| Шпинель | 1900 | » » (в.о) | |
| ThO ₂ | 1900 | » » (в.о) | |
| MgO [1] | | | |
| Ni | 1800 | Довольно сильное взаимодействие, плавление переходного слоя (гел) | |
| Mo | 1800 | Не реагирует (гел) | |
| Be | 1600 | Реагирует и пропитывает тигель из MgO (гел) | |

| 1 | 2 | 3 |
|---------------|------|--|
| Si | 1410 | Начало реакции на поверхности тигля (гел) |
| Si | 1600 | Активное взаимодействие, образование Mg_2SiO_4 (гел) |
| Zr | 1800 | Сильное взаимодействие (гел) |
| Nb | 1600 | Реакции нет (гел) |
| Nb | 1800 | Слабая реакция (гел) |
| C | 1800 | Начало реакции, восстановления нет (в) |
| N | 2000 | Восстановление MgO легкое прилипание (в) |
| Mo | 1600 | Серебристый налет на MgO (в) |
| BeO | 1800 | Появляется новая фаза, прилипание MgO и BeO (в) |
| Al_2O_3 [1] | | |
| Mo | 1800 | Реакции нет (гел) |
| Ni | 1410 | » » (гел) |
| Ni | 1600 | » » » |
| Ni | 1800 | Слабая реакция (гел) |
| Nb | 1600 | » » |
| Nb | 1800 | Слабая реакция с образованием Nb_2O_3 (гел) |
| Ti | 1600 | Слабая реакция с образованием TiO_2 (гел) |
| Be | 1900 | Сильная реакция (гел) |
| Be | 1600 | Реакции нет (гел) |
| Be | 1800 | Слабая реакция с образованием BeO (гел) |
| Si | 1410 | Слабая реакция с образованием SiO_2 и $3Al_2O_3 \cdot 2SiO_2$ (гел) |
| Si | 1600 | Сильная реакция с образованием SiO_2 и $3Al_2O_3 \cdot 2SiO_2$ (гел) |
| Zr | 1600 | Слабая реакция с образованием ZrO_2 (гел) |
| Zr | 1900 | Сильная реакция с образованием ZrO_2 (гел) |
| BeO | 1900 | Образование шпинели на поверхности тигля (в.о) |
| Шпинель | 1900 | Очень слабая реакция (в.о) |
| ZrO_2 | 1900 | Сильная реакция (в.о) |
| ThO_2 | 1900 | То же |

| 1 | 2 | 3 |
|--|------|--|
| Al₂O₃ [305] | | |
| W | 2080 | Химическая реакция с образованием Al и WO ₃ (в) |
| Mo | 2080 | Взаимодействует с образованием Al и MoO ₃ (в) |
| Ta | 2080 | Активное химическое взаимодействие с разложением Al ₂ O ₃ (в) |
| Al₂O₃ [1] | | |
| Nb | 2080 | Активное химическое взаимодействие (в) |
| SiO₂ [305] | | |
| W | 2700 | Активное химическое взаимодействие с образованием WO ₃ (в) |
| CaO [1] | | |
| C | 2000 | Образование металлического кальция и карбida (уг. CO) |
| TiO₂ [1] | | |
| Mo | 1600 | Реакций нет (гел) |
| Ni | 1450 | » » |
| Ni | 1600 | Реакции нет (гел) |
| Ti | 1600 | Слабая реакция (гел) |
| Be | 1600 | Сильная реакция (гел) |
| Si | 1410 | Слабая реакция (гел) |
| Si | 1610 | Сильная реакция (гел) |
| Zr | 1600 | То же |
| W | 1800 | Химическое взаимодействие с образованием WO ₃ и низших окислов титана (в) |
| Mo | 1880 | Химическое взаимодействие с образованием MoO ₃ (в) |
| Ta | 1880 | Сильное химическое взаимодействие с образованием окислов tantalа (в) |
| Nb | 1880 | Активное химическое взаимодействие (в) |
| V₂O₅ [305] | | |
| W | 700 | Активное химическое взаимодействие с образованием окислов вольфрама (в) |

| 1 | 2 | 3 |
|--------------------------------------|------|---|
| Mo | 700 | Активное химическое взаимодействие |
| Ta | 700 | Активное химическое взаимодействие |
| Nb | 700 | Активное взаимодействие (в) |
| CuO [1] | | |
| Растворы солей трехвалентного железа | — | Соответствующие соли двухвалентной меди $\text{Fe}(\text{OH})_3$ (в) |
| Cu₂O [1] | | |
| То же | — | Образует феррит, устойчивый выше 1373 К (в) |
| ZrO₂ [1] | | |
| Mo | 1600 | Реакции нет (г) |
| Mo | 1800 | » » |
| Ni | 1410 | » » |
| Ni | 1600 | » » |
| Ni | 1800 | Реакции нет (гел) |
| Nb | 1600 | Слабая реакция (гел) |
| Nb | 1800 | Сильная реакция (гел) |
| Ti | 1400 | Реакции нет (гел) |
| Ti | 1600 | Слабая реакция с образованием TiO_2 (гел) |
| Be | 1400 | Реакции нет (гел) |
| Be | 1600 | Слабая реакция с образованием BeO (гел) |
| Si | 1410 | Реакции нет (гел) |
| Si | 1600 | Сильная реакция с образованием SiO_2 (гел) |
| Zr | 1600 | Реакции нет (гел) |
| Zr | 1800 | » » (гел) |
| W | 1600 | На тигле жесткий налет, малые изменения до 2273 К, после чего заметное разложение (в) |
| Mo | 2200 | Легкое прилипание, разложение при 2573 К (в) |
| ThO ₂ | 2200 | Легкое прилипание, отсутствие жидкой фазы при 2573 К (в) |

| 1 | 2 | 3 |
|---|-----------|---|
| BeO | 1900 | Незначительное прилипание вследствие плавления, полное расплавление при 2273 К (в) |
| Графит | 1600 | Восстановление ZrO_2 , образование карбида (в) |
| MgO | 2000 | Жидкая фаза, приваривание при 2373 К (в) |
| Al_2O_3 | 1900 | Сильная реакция (в.о) |
| MgO | 1800 | Очень слабая реакция (в.о) |
| | 1900 | Слабая реакция (в.о) |
| | 1900 | Очень слабая реакция (в.о) |
| Шпинель | 1900 | » » » |
| Уголь, вогород, пары серы | 2000 | Почти не разъедается (в.о) |
| Силикаты железа | Выше 2000 | Взаимодействует (в.о) |
| Кислые и сернокислые соли натрия и калия, соли фтористоводородной кислоты | | Действуют очень медленно (в.о) |
| N | ~2000 | Образуются нитриды |
| C | | Образуются карбиды (в.о) |
| Nb_2O_5 [305] | | |
| W | 1460 | Активное химическое взаимодействие с образованием WO_3 (в) |
| Mo | 1460 | Активное взаимодействие с образованием MoO_3 (в) |
| Ta | 1460 | Активное взаимодействие (в) |
| Nb | 1460 | Химическое взаимодействие (в) |
| MoO_3 [305] | | |
| W | 825 | Активное химическое взаимодействие с образованием окислов вольфрама WO_3 , $W_{18}O_{49}$ (в) |

| 1 | 2 | 3 |
|--|------|---|
| Mo | 825 | Активное химическое взаимодействие (в) |
| Ta | 825 | Активное взаимодействие (в) |
| ThO ₂ | | CeO [1] |
| Be | | Дает смеси, плавящиеся выше 2600° С (в) |
| MgO | | Дает эвтектики |
| CaO | | » » |
| Al ₂ O ₃ и другие окислы | | » » |
| Cr ₂ O ₃ | | Образуется Cr ₂ O ₃ ·CeO ₂ |
| W | 1910 | Ta₂O₅ [305] |
| Mo | 1910 | Активное взаимодействие с образованием TaO и WO ₃ (в) |
| Ta | 1910 | Активное взаимодействие с образованием MoO ₃ (в) |
| Nb | 1910 | Активное химическое взаимодействие (в) |
| W | 1490 | Активное взаимодействие (в) |
| Mo | 1490 | Активное взаимодействие с образованием окислов MoO ₃ (в) |
| Ta | 1490 | Активное взаимодействие (в) |
| Nb | 1490 | Активное химическое взаимодействие (в) |
| Pt | 1800 | ThO₂ [1] |
| Mo | 1800 | Тигли из ThO ₂ не подвергаются разрушению и переносят плавку платины в окислительной среде (в) |
| Ni | 1600 | Реакции нет (гел.) |
| Nb | 1800 | » » |
| Ti | 1670 | Слабая реакция (гел.) |
| Ti | 1800 | Реакции нет (гел.) |
| Be | 1600 | Реакции нет (гел.) |
| Si | 1600 | Слабая реакция |
| | | Активная реакция (гел.) |

| 1 | 2 | 3 |
|-------------------------------------|------|--|
| Zr | 1600 | Реакции нет (гел) |
| Zr | 1800 | » » |
| Графит | 2000 | Восстановление ThO_2 с образованием карбидов (в) |
| BeO | 2100 | Плавление, полное расплавление при 2473 К (в) |
| MgO | 2200 | Разрушение ThO_2 , прилипания к тиглю нет (в) |
| W | 2200 | Незначительное восстановление ThO_2 , слабая реакция при 2573 К, сильное приваривание (в) |
| Mo | 1900 | Слабая реакция до 2573 К, прилипание к тиглю (в) |
| Al_2O_3 | 1600 | Реакции нет (в.о) |
| MgO | 1800 | » » |
| BeO | 1800 | Сильная реакция (в.о) |
| ZrO_2 | 1800 | Реакции нет (в.о) |
| Шпинель | 1800 | » » |
| UO_2 [1] | | |
| C | 1500 | С температуры 1623 К начинается реагирование, эффективно продолжающееся при условии моновариантного равновесия (в.о) |

Примечание. Сокращения в скобках означают атмосферу, в которой происходит взаимодействие реагента с окислом: в — вакуум; гел — гелий; в. о — восстановительно-окислительная атмосфера, характерная для газовой печи; уг — углерод.

ГЛАВА X

ДИАГРАММЫ СОСТОЯНИЯ БИНАРНЫХ СИСТЕМ ЭЛЕМЕНТ — КИСЛОРОД

В этой главе приведены диаграммы состояния бинарных систем и к некоторым из них даны описания.

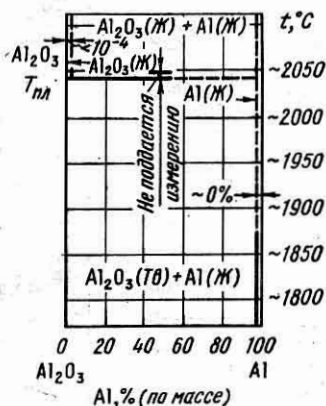
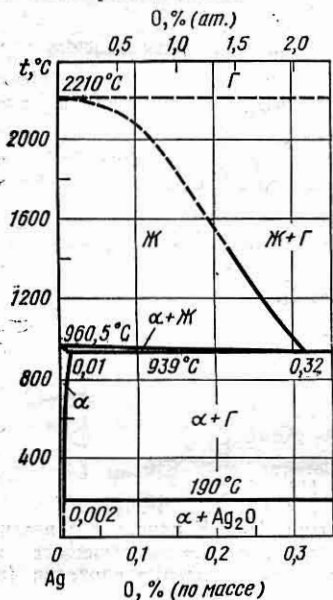
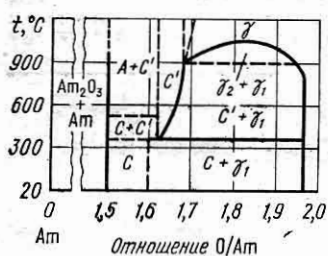


Рис. 41. Диаграмма состояния системы Al—O [580]

◀ Рис. 40. Диаграмма состояния системы Ag—O [16]



AmO_{1,98} образуется соединение AmO_{1,98}

пературатах области этой фазы доходит до 0/Am=1,68. При температурах выше 1020° С и в области составов 1,7<0/Am<2,0 существует гранецентрированная кубическая фаза γ(AmO_{2-x}). Более низким температурам соответствует двухфазная область γ₁+γ₂ — двух фаз AmO_{2-x} разного состава (также г. ц. к.). При дальнейшем понижении температуры двухфазная область состоит из фаз C' и γ₁, а при комнатной температуре фаза γ₁ состава AmO_{1,98} находится в равновесии с C—Am₂O₃.

Рис. 42. Диаграмма состояния системы Am—O [581]

А — гексагональная Am₂O₃; С — низкотемпературная Am₂O₃; С' — высокотемпературная Am₂O₃; γ, γ₁, γ₂ — AmO_{2-x}. Диаграмма охватывает состояния в области Am—AmO₂. При отношении 0/Am<1,5 наблюдается двухфазная область Am+Am₂O₃. Am₂O₃ существует в двух модификациях: низкотемпературная форма С (о. ц. к.) и высокотемпературная форма А (гексагональная). При 350° С в результате взаимодействия обогащенной кислородом фазы С с (фаза С'). При более высоких тем-

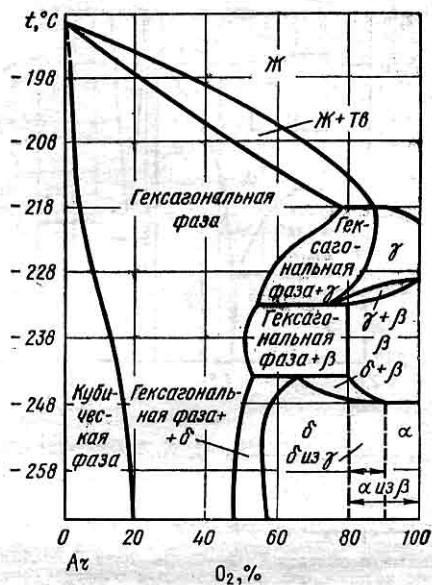


Рис. 43. Диаграмма состояния системы Ag—O [1]. Ниже линии солидуса расположены однофазные и двухфазные области твердых растворов. В части системы, богатой аргоном, непосредственно под линией солидуса имеется обширная область гомогенности фазы с гексагональной плотноупакованной структурой. Эта фаза в чистом аргоне является метастабильной, но уже малые количества кислорода ее стабилизируют. При пониженных температурах она переходит в гранецентрированную кубическую фазу, содержащую от 1 до 20% O₂. При содержании от 20 до 50% O₂ гексагональная фаза сохраняется до -273°C .

Со стороны, богатой кислородом, диаграмма усложняется из-за превращений, происходящих в кислороде. $\gamma\text{-O}_2$ растворяют до 12,5% Ag, после чего образуется широкая (от 55 до 87,5% O₂) двухфазная область — раствор Ag в $\gamma\text{-O}_2$ +раствор кислорода в гексагональном Ag.

$\beta\text{-O}_2$ растворяют до 21% Ag; при более высоком содержании Ag также находится в равновесии с гексагональной фазой, образуя двухфазную область. α -кислород может содержать до 20% Ag.

Междуд областями гомогенности фаз α и гексагональной открыта структура, обозначенная буквой δ . Положение границы области этой фазы со стороны повышенного содержания кислорода не может быть определено однозначно, так как область между 80 и 90% O₂ относится или к фазе δ , или к фазе α в зависимости от условий получения образца. Если образец с содержанием, например, 80% O₂ имеет структуру γ и быстро охлаждается до температуры ниже превращения $\beta\rightarrow\alpha$ (23,5 K), продуктом превращения является δ ; если же этот образец охлаждается из области, где он состоит из фазы β , то в результате получается чистая α -структура. Поэтому на диаграмме показаны пунктиром два положения границы между областью α и предполагаемой двухфазной областью $\alpha+\delta$. Фаза δ может существовать между 55 и 90% O₂, но при охлаждении из области β — между 55 и 80% O₂.

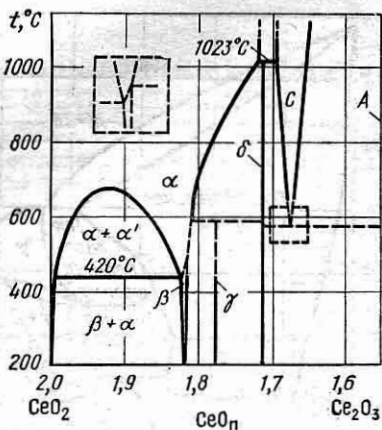


Рис. 44. Диаграмма состояния системы Ce—O (от Ce_2O_3 до CeO_2) [1]. В системе CeO известны фазы: A— Ce_2O_3 (гексагональная), C— Ce_2O_3 (кубическая) гомогенная от $\text{CeO}_{1,651}$ до $\text{CeO}_{1,688}$ при 1023°C (точнее 1028°C), δ -фаза ($\text{CeO}_{1,74}$), γ -фаза ($\text{CeO}_{1,778}$), β -фаза ($\text{CeO}_{1,818}$) и α -фаза (CeO_2). На рис.

примерная диаграмма в области CeO_2 — Ce_2O_3 . Фаза δ стабильна до температуры 1023°C , выше которой она разлагается с образованием C и α . Между температурами 636 и 1023°C высокопорядоченная фаза δ существует в равновесии с неупорядоченной фазой $\text{CeO}_{1,72+x}$ и фазой C ($\text{CeO}_{1,70-y}$). Ниже 600°C возможно существование двух типов равновесия (они показаны на диаграмме пунктиром): 1) фаза C разлагается по эвтектоидной реакции на δ и $\text{CeO}_{1,5}$; 2) дефектная фаза C упорядочивается с образованием стехиометрической фазы состава $\text{CeO}_{1,67}$.

Таким образом, ниже 600°C возможно сосуществование двух двухфазных областей: $\text{CeO}_{1,74} + \text{CO}_{1,67}$ и $\text{CeO}_{1,67} + \text{CeO}_{1,5}$. Упорядоченная фаза β ($\text{CeO}_{1,818}$) при 693 K переходит в кубическую α' -фазу. Двухфазная область $\alpha'+\alpha$ уменьшается с ростом температуры и исчезает при 685°C . Выше этой температуры фазы α' и α идентичны. Упорядоченная фаза γ ($\text{CeO}_{1,778}$) разлагается при температуре 600°C с образованием фаз α и δ .

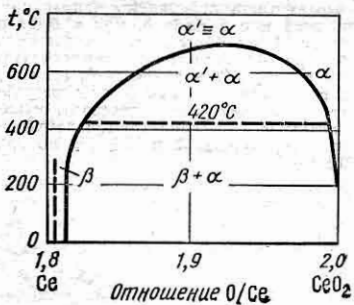


Рис. 45. Часть диаграммы состояния системы Ce—O [1] в области составов $\text{CeO}_{1,8}$ — CeO_2 и области температур 0— 1073 K .

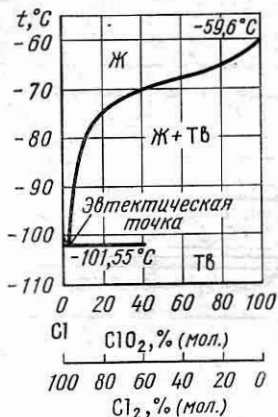


Рис. 46. Часть диаграммы состояния системы Cl—O [582]

Рис. 47. Диаграмма состояния системы Ст—О [583] предположительная, составлена по аналогии с диаграммами лантанидов Ce—O, Pr—O, поскольку экспериментально полученные изобары температура — состав очень сходны с соответствующими кривыми для окислов редкоземельных элементов. Пунктирные линии очень неопределены; температуры перитектоидного распада 1000°C для фазы i и 500°C для фазы δ выбраны ориентировочно.

Фаза i примерно соответствует $\text{CeO}_{1.72}$, фаза δ — $\text{CeO}_{1.82}$. Для обозначения фаз использована терминология, принятая для окислов лантанидов. Фаза δ имеет довольно широкую область гомогенности. Фаза состава несколько ниже $0/\text{Ст} = 2.0$, по-видимому, подобна нестехиометрической фазе α окислов лантанидов. Нестехиометрическая фаза, обнаруженная при высоких температурах, рассматривается как подобная фаза σ в окислах лантанидов.

Большая ширина области фазы i , возможно, обусловлена трудноудалимой примесью Am в исследованном образце.

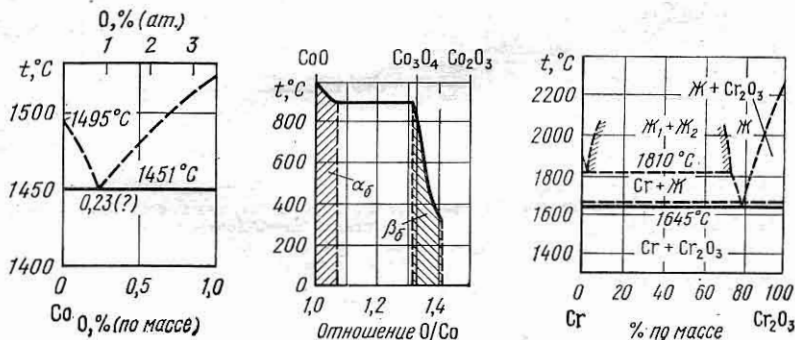


Рис. 48. Диаграмма состояния системы Co—CoO [16]

Рис. 49. Диаграмма состояния системы Co—O [256]

Рис. 50. Диаграмма состояния системы Cr—O [584]

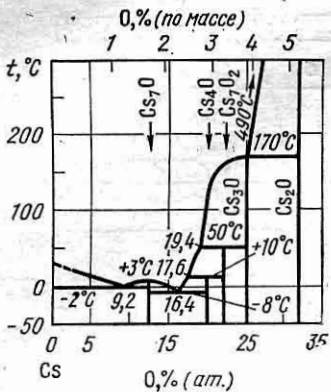


Рис. 51. Диаграмма состояния системы Cs—O [586, т. I]

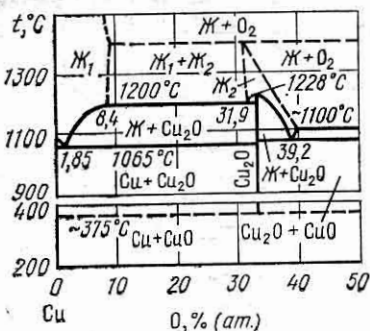


Рис. 52. Диаграмма состояния системы Cu—O [587]

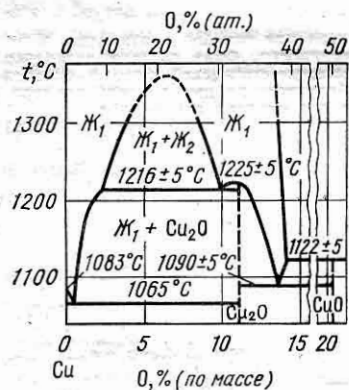


Рис. 53. Диаграмма состояния системы Cu—O [588]

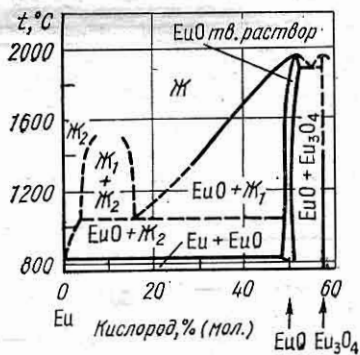


Рис. 54. Диаграмма состояния системы Eu—O [589]

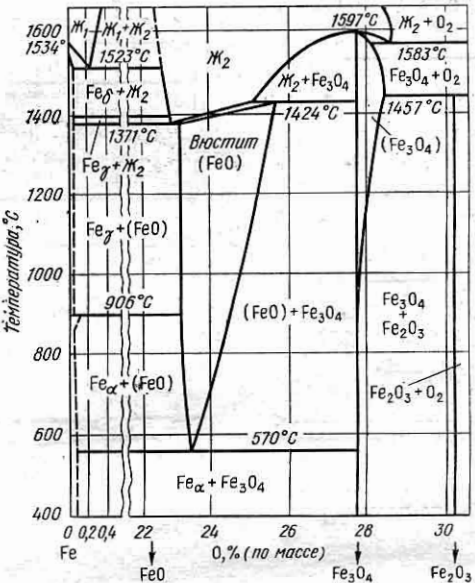


Рис. 55. Диаграмма состояния системы Fe—O. Представлены окисные соединения железа — вюстит (твердые растворы кислорода в закиси железа), магнетит Fe_3O_4 и гематит Fe_2O_3 . Вакантные места решетки вюстита при дополнительном окислении могут заполняться ионами кислорода и трехвалентного железа, поэтому вюстит оказывается раствором переменной концентрации и на диаграмме представлен не вертикальной линией, а областью (FeO). Минимально возможное содержание кислорода в вюстите почти не меняется с температурой, предельное содержание заметно возрастает при повышении температуры. Ниже температуры 570° С, при которой происходит эвтектоидное превращение $\text{Fe}_\alpha + \text{Fe}_3\text{O}_4 \rightleftharpoons 4\text{FeO}$, закись железа не может существовать даже в растворе.

При повышенных температурах возможно дополнительное растворение кислорода в Fe_2O_3 , что приводит к образованию области (Fe_3O_4).

Растворимость кислорода во всех модификациях железа мала, и потому присутствие кислорода не вызывает изменения температуры перехода железа из одной модификации в другую. На диаграмме эти твердые растворы условно, не в масштабе, ограничены пунктирными линиями. Растворимость кислорода в Fe_α достигает величины около 0,005% (по массе), а в Fe_γ она несколько

меньше. Превращение $\text{Fe}_\gamma \rightarrow \text{Fe}_\alpha$ сопровождается увеличением растворимости кислорода. При 900° С предельное содержание кислорода в Fe_α приближается к 0,03% и уменьшается с понижением температуры.

В расплавленном состоянии наблюдается широкая область несмешивающихся жидкостей — расплава раствора кислорода в железе Ж_1 и расплава окислов Ж_2 . Температура плавления вюстита и превращения его в Ж_2 повышается с 1371 до 1424° С по мере увеличения содержания в нем кислорода. Магнетит Fe_3O_4 плавится конгруэнтно при 1597° С, превращаясь в Ж_2 .

Однородная область существования Ж_2 ограничивается, с одной стороны, составами жидкого вюстита с предельно низким содержанием кислорода и, с другой стороны, линией максимально возможного содержания кислорода в Ж_2 в присутствии газообразного кислорода под давлением 100 кПа.

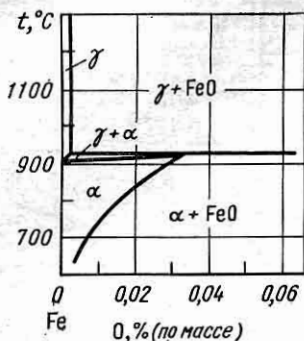


Рис. 56. Часть диаграммы состояния системы Fe—O [1] характеризует превращения в твердом состоянии в интервале температур 600—1300° С при содержании кислорода до 0,06% (по массе).

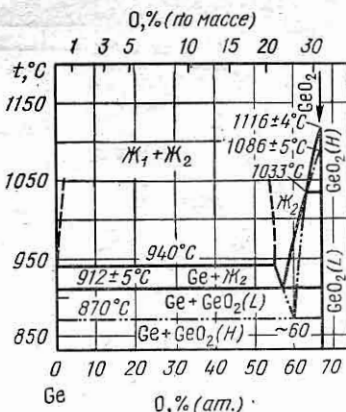


Рис. 57. Диаграмма состояния системы Ge—O [586, т. II]:
 — стабильное равновесие
 - - - метастабильное равновесие с $\text{GeO}_2(H)$
 - - - метастабильное равновесие с $\text{GeO}_2(L)$

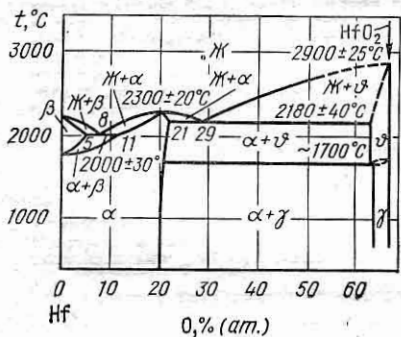


Рис. 58. Диаграмма состояния системы Hf—O [1]

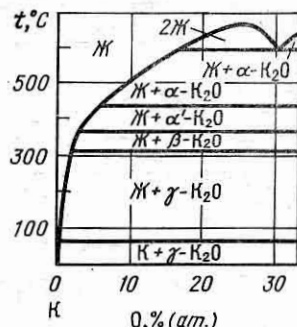


Рис. 59. Диаграмма состояния системы K—O [590]

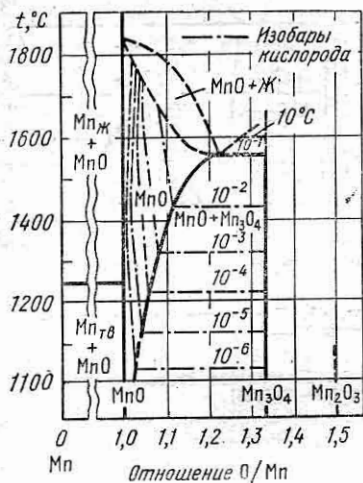


Рис. 60. Диаграмма состояния системы Mn—O [591]

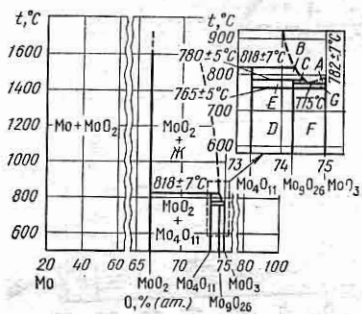


Рис. 61. Диаграмма состояния системы Mo—O [593]
 A — $Mo_3+Ж$; B — $Mo_4O_{11}+Ж$; C — $Mo_9O_{26}+Ж$; D — $Mo_4O_{11}+Mo_9O_{26}$ (S);
 E — $Mo_4O_{11}+Mo_9O_{26}(\beta')$;
 F — $Mo_9O_{26}(g)+MoO_3$;
 G — $Mo_9O_{26}(\beta')+MoO_3$.

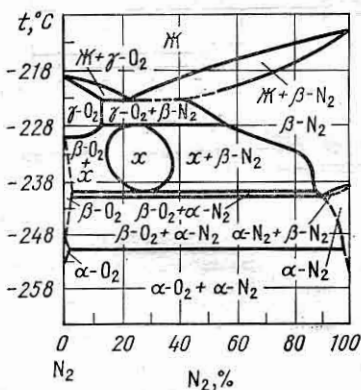


Рис. 62. Диаграмма состояния системы N—O [594]

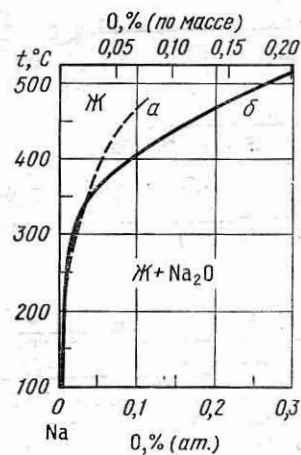


Рис. 63. Растворимость кислорода в жидком натрии по данным разных авторов [586, т. II]

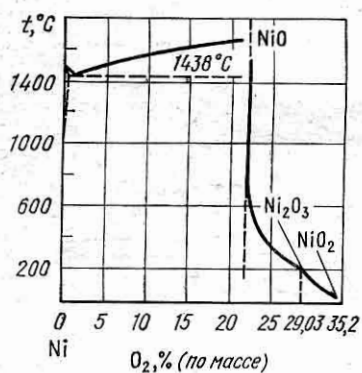
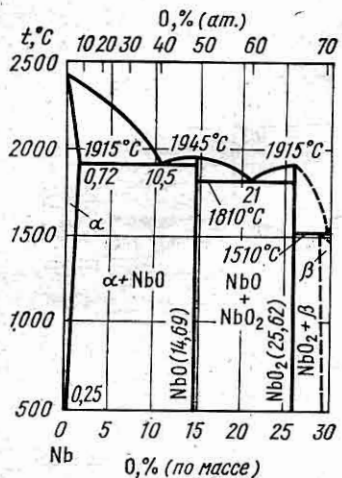


Рис. 66. Диаграмма состояния системы Ni—O [597]

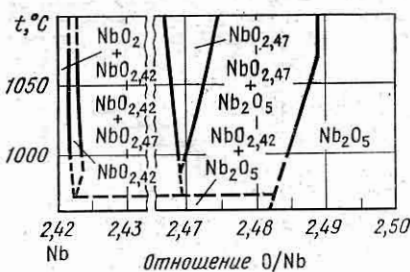


Рис. 65. Диаграмма состояния системы Nb—O [596]

Рис. 64. Диаграмма состояния системы Nb—O [595]

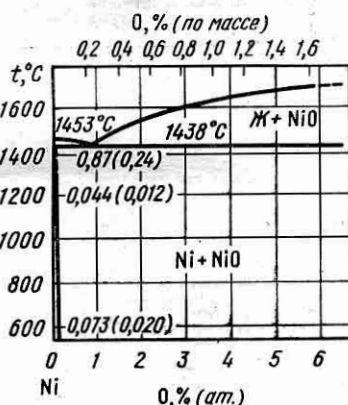


Рис. 67. Часть диаграммы состояния системы Ni—O [1]

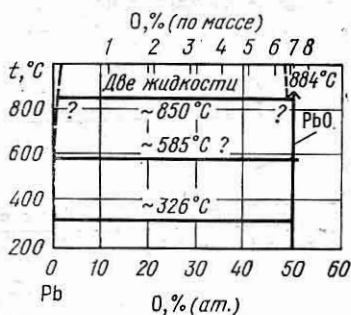


Рис. 68. Диаграмма состояния системы Pb—O (в области Pb—PbO) [1]

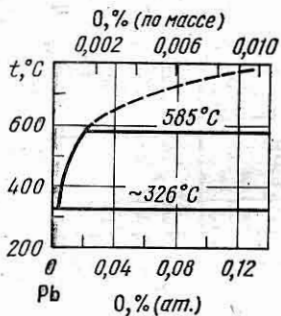


Рис. 69. Часть диаграммы состояния системы Pb—O [1]

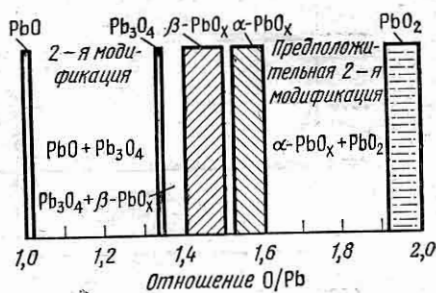


Рис. 70. Ширина фазовых областей в системе Pb—O (от PbO до PbO_2) [598]

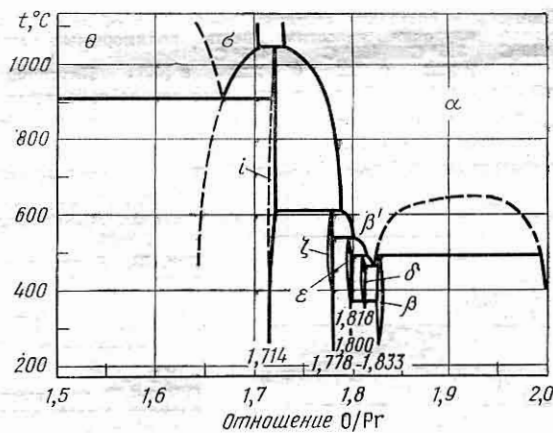


Рис. 71. Диаграмма состояния системы Pr—O [599]. Между полуторным окислом Pr_2O_3 и двуокисью PrO_2 имеются пять устойчивых при пониженных температурах упорядоченных фаз с узкой областью гомогенности, относящихся к гомологическому ряду $\text{Pr}_n\text{O}_{2n-2}$. Окислы эти следующие:

$\text{Pr}_7\text{O}_{12} (\text{PrO}_{1,714})$ — фаза i ; $\text{Pr}_9\text{O}_{16} (\text{PrO}_{1,778})$ — фаза ζ ; $\text{Pr}_{10}\text{O}_{18} (\text{PrO}_{1,800})$ — фаза ε ; $\text{Pr}_{11}\text{O}_{20} (\text{PrO}_{1,818})$ — фаза δ ; $\text{Pr}_{12}\text{O}_{22} (\text{PrO}_{1,833})$ — фаза β .

Имеются также две нестехиометрические фазы при высоких температурах и давлениях: σ — ниже состава $\text{PrO}_{1,68}$ и α — выше состава $\text{PrO}_{1,72}$. β' — неупорядоченная фаза β . θ — высокотемпературная форма А полуторного окисла.

Для большинства упорядоченных фаз наблюдается перитектоидное превращение с переходом в неупорядоченное состояние.

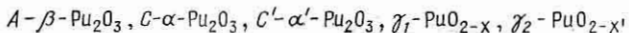
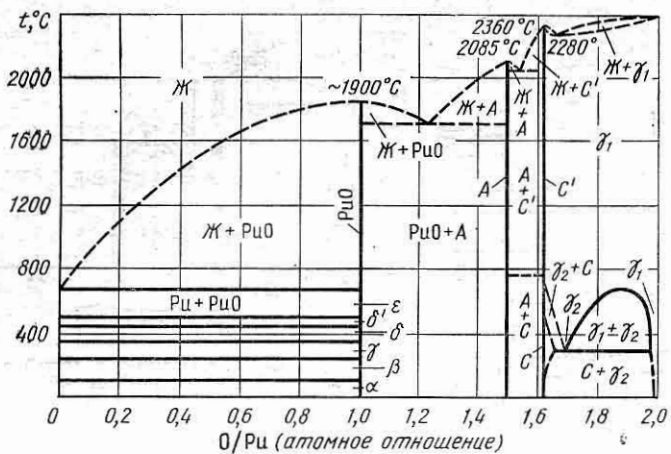


Рис. 72. Диаграммы состояния системы Pu—O [1] в области Pu—PuO₂. Для металлического плутония известны шесть полиморфных модификаций: $\alpha \rightleftharpoons \beta \rightleftharpoons \gamma \rightleftharpoons \delta \rightleftharpoons \delta' \rightleftharpoons \epsilon$ [52]. Плутоний образует окислы PuO, Pu₂O₃ и Pu₃O₄. Состав полуторного окисла изменяется от PuO_{1,51} до PuO_{1,61}. Pu₂O₃ существует в двух модификациях: α -Pu₂O₃ — объемноцентрированная кубическая C-форма при повышенных температурах переходит в высокотемпературную α' -Pu₂O₃ (C'-форму) и β -Pu₂O₃ — гексагональную A-форму.



щей окислы с избытком кислорода, UO_{2+x} температурах в указанной области составов существует двухфазная область PuO_{2-x} + PuO_{2-x} (или $\gamma_1 + \gamma_2$). Выше 300°C α -Pu₂O₃ (C) поглощает кислород и образует новую кубическую фазу α' -Pu₂O₃ или PuO_{1,61} (C'). Эвтектоидный распад PuO_{1,71}, указанный на рис. 33, более поздними исследованиями не подтвердился. Существование при комнатной температуре фазы A (β -Pu₂O₃) не доказано окончательно; возможно, что при комнатной температуре существует только фаза типа C (α -Pu₂O₃).

В области Pu₂O₃—PuO₂ диаграмма сходна с диаграммой состояния системы Am—O (см. рис. 42).

Рис. 73. Диаграмма состояния системы Pu—O в области Pu₂O₃—PuO₂ [58]. A — гексагональная Pu₂O₃; C — низкотемпературная Pu₂O₃; C' — высокотемпературная Pu₂O₃; γ , γ_1 , γ_2 — PuO_{2-x}. В области отношений O/Pu > 1,70 при высоких температурах имеет место гомогенная область фазы переменного состава PuO_{2-x} (ν). Для дву-

окиси плутония характерно образование окислов с недостатком кислорода в противоположность двуокиси урана, образующую (см. рис. 84). При пониженных

температурах в указанной области составов существует двухфазная область PuO_{2-x} + PuO_{2-x} (или $\gamma_1 + \gamma_2$). Выше 300°C α -Pu₂O₃ (C) поглощает кислород и образует новую кубическую фазу α' -Pu₂O₃ или PuO_{1,61} (C'). Эвтектоидный распад PuO_{1,71}, указанный на рис. 33, более поздними исследованиями не подтвержден.

Существование при комнатной температуре фазы A (β -Pu₂O₃) не доказано окончательно; возможно, что при комнатной температуре существует только фаза типа C (α -Pu₂O₃).

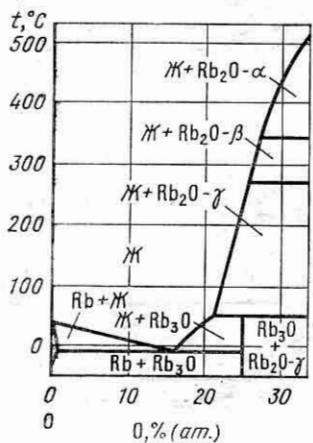


Рис. 74. Диаграмма состояния системы Rb—O [600]

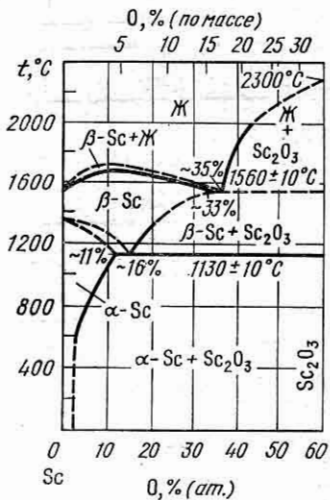
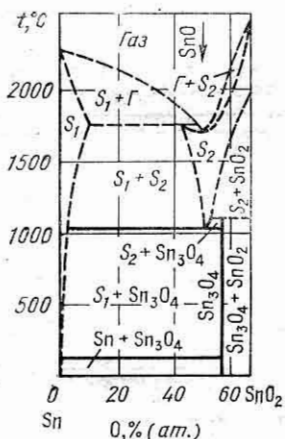


Рис. 75. Диаграмма состояния системы Sc—O [252]



Температура кипения олова 2270°C , температура кипения олова $\sim 2500^{\circ}\text{C}$; для SnO температура кипения оценена примерно в 1700°C .

В жидком состоянии имеется область несмешиваемости двух жидкостей: S_1 , богатой оловом, и S_2 , богатой кислородом, находящаяся при 1040°C в пределах содержания кислорода от 3 до 50% (ат.)

Рис. 76. Диаграмма состояния системы Sn—O [1], схематична в области Sn— SnO_2 . Пунктиром изображены границы гипотетических областей. Устойчивыми соединениями являются SnO_2 (до температуры плавления 2000°C) и Sn_3O_4 (хотя некоторые авторы отрицают существование этого окисла). SnO существует в газообразном и расплавленном состояниях. Выше 1040°C олово реагирует с SnO_2 , образуя SnO . При охлаждении до 1040°C SnO затвердевает и одновременно диссоциирует на Sn и Sn_3O_4 . Таким образом, устойчивой кристаллической формы SnO не существует. Ниже 400°C SnO может быть получена, но в метастабильном состоянии; при нагревании выше 400°C она разлагается по уравнению $4\text{SnO} \rightarrow \text{Sn}_3\text{O}_4 + \text{Sn}$.

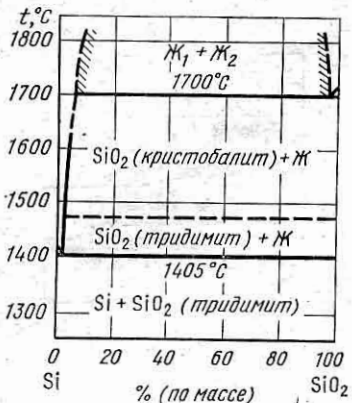


Рис. 77. Диаграмма состояния системы Si—O [584]

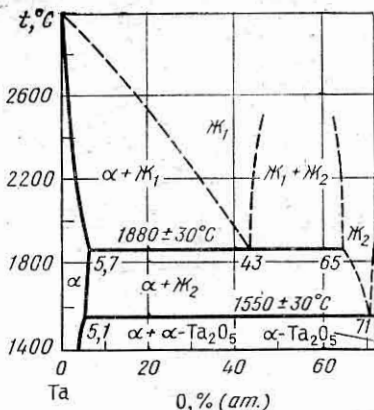


Рис. 78. Диаграмма состояния системы Ta—O [253]

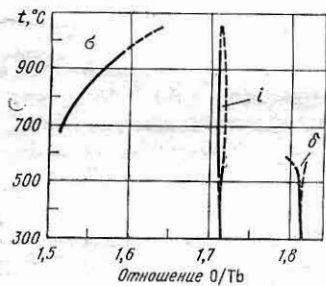


Рис. 79. Диаграмма состояния системы Tb—O [601]. Установлено существование трех фаз. Фаза δ ($\text{TbO}_{1,818}$) устойчива при низких температурах. В интервале между 469 и 490°C она переходит в фазу i ($\text{TbO}_{1,714}$); фаза i имеет узкую область гомогенности. В интервале между 787 и 833°C установлен переход $i \rightarrow \delta'$. Фаза δ' устойчива при высоких температурах, выше 700°C .

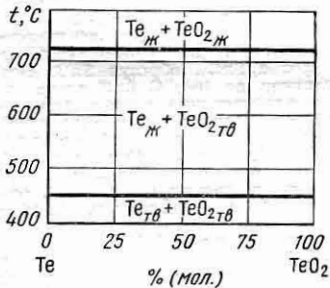


Рис. 80. Диаграмма состояния системы $\text{TeO}-\text{O}$ [1]

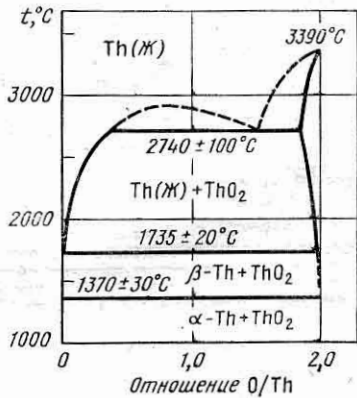


Рис. 81. Диаграмма состояния системы Th—O [254]

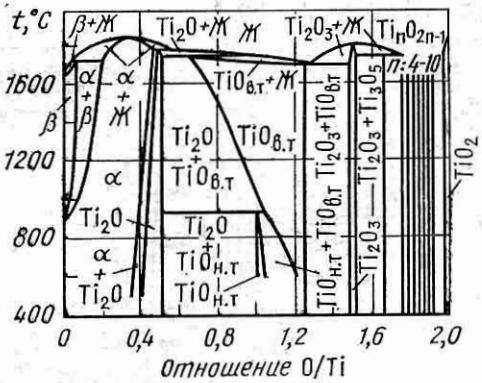


Рис. 82. Диаграмма состояния системы Ti—O [602]: $TiO_{\text{в.т}} \rightleftharpoons TiO$ — высокотемпературная; $TiO_{\text{н.т}} \rightleftharpoons TiO$ — низкотемпературная. Область $Ti-Ti_2O$ содержит металлические фазы α (гексагональную) и β (кубическую) и фазу Ti_2O переменного состава. Температура плавления $\beta\text{-}Ti$ $1660 \pm 10^\circ\text{C}$, температура перехода $\alpha \rightleftarrows \beta$ $882 \pm 3^\circ\text{C}$. Фаза Ti_2O (Ti_2O_{1-y}) имеет область гомогенности, расширяющуюся с понижением температуры. В области между Ti_2O и Ti_2O_3 содержатся высоко- и низкотемпературные модификации TiO ($TiO_{\text{в.т}}$ и $TiO_{\text{н.т}}$). Температура перехода $TiO_{\text{в.т}} \rightleftharpoons TiO_{\text{н.т}}$ находится между 950 и 925°C . В области $Ti_2O_3-TiO_2$ находятся Ti_2O_3 , Ti_3O_5 , семь дискретных фаз гомологического ряда Ti_nO_{2n-1} (n от 4 до 10) и TiO_2 . Ti_2O_3 плавится при $1839 \pm 10^\circ\text{C}$. Ti_3O_5 плавится инконгруэнтно, ее перитектическая температура равна $1774 \pm 10^\circ\text{C}$. Температура плавления TiO_2 1870°C .

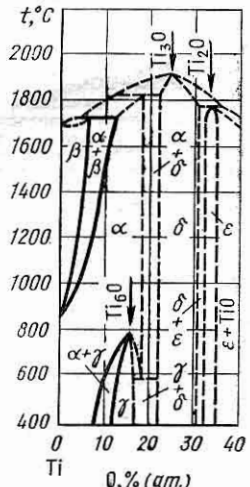


Рис. 83. Диаграмма состояния системы Ti—O с учетом субоксидов [603]. Кроме субоксида Ti_2O , включенного в диаграмму, установлено существование субоксидов Ti_6O и Ti_3O . Первый образуется из α -твёрдого раствора, второй — при кристаллизации. На представленной схематично части диаграммы состояния системы Ti—O внесены все три известные субоксида; γ , β - и ϵ -фазы перемеженного состава соответственно на основе Ti_6O , Ti_3O и Ti_2O .

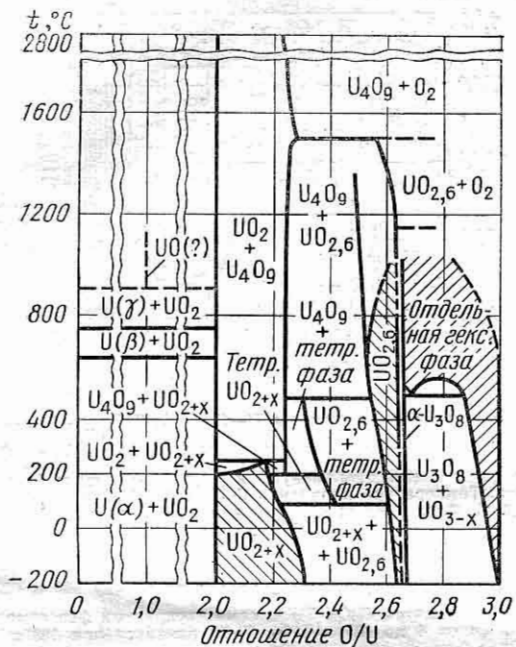


Рис. 84. Диаграмма состояния системы $\text{U}-\text{O}$ [1]. В системе $\text{U}-\text{O}$ открыто большое число окисных фаз урана; достоверно установлено существование шестнадцати фаз и еще известны не менее двенадцати. В связи с этим диаграмма состояния системы $\text{U}-\text{O}$ сложна и еще не вполне изучена. В результате многих исследований составлено много вариантов диаграмм, преимущественно в пределах композиций $\text{U}-\text{UO}_3$.

Приводимые три диаграммы (рис. 84—86) достаточно полно представляют имеющиеся сведения об окисных фазах урана в указанной области. Данная диаграмма составлена по результатам ряда работ и охватывает область составов, определяемых отношением O/U от 0 до 3, и широкую область температур от 200 до 2800°C .

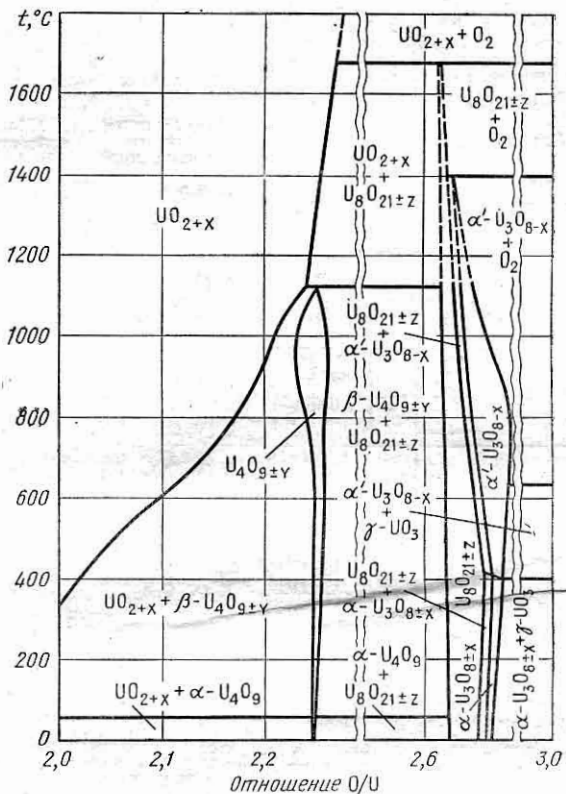


Рис. 85. Диаграмма состояния системы $\text{U}-\text{O}$ [251], O/U от 2,0 до 3,0, область температур 0—1800° С, уточнены границы фазовых областей при атмосферном давлении. Установлено существование фазового перехода II рода у U_4O_9 при 338 К, обусловленного изменением симметрии ячейки от ромбоздрической к кубической. Выяснено, что при атмосферном давлении существует только одна стабильная модификация трехокиси урана $\gamma\text{-UO}_3$.

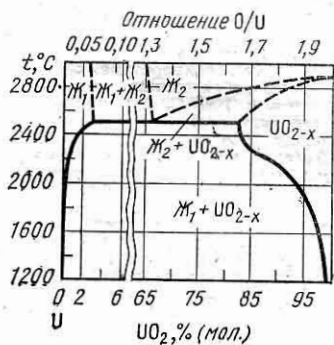
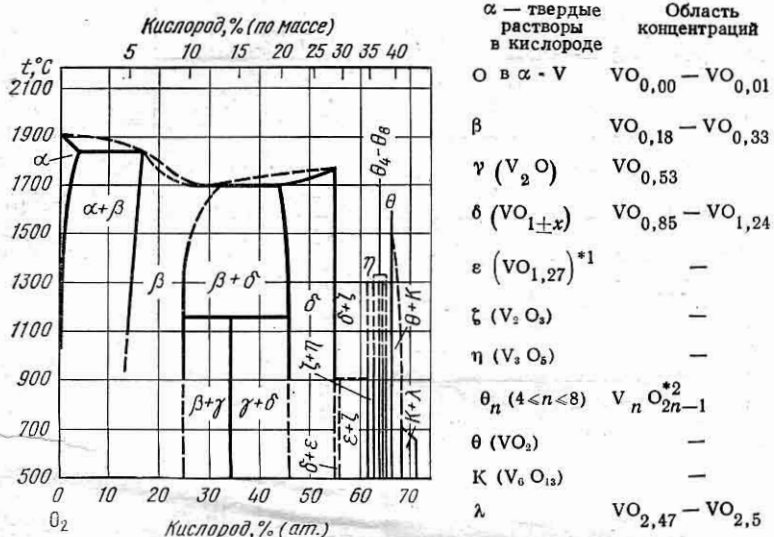


Рис. 86. Диаграмма состояния системы $\text{U}-\text{UO}_2$ в области высоких температур [604], приближенная. В жидком состоянии обнаружена область расслоения. Монотектической реакции соответствует состав $65 \pm 5\%$ (мол.) UO_2 и температура $2500 \pm 30^\circ \text{C}$.

Рис. 87. Диаграмма состояния системы V—O [605]. Окончательно еще не изучена. Известно большое число окислов ванадия; некоторые из них имеют более или менее широкую область гомогенности. Приведенная диаграмма состояния, составленная по результатам ряда исследований, включает следующие фазы:



*¹ Образуется при температуре ниже 1173 К. Существование этой фазы окончательно не доказано.

*² 5 соединений с общей формулой.

Как следует из диаграммы, фаза β образуется по перитектической реакции между VO и богатой ванадием жидкостью при 1963 К, а фаза γ , находящаяся между VO и β , — в интервале температур 1373—1473 К. Более поздними исследованиями установлено перитектоидное превращение $\alpha + \beta \rightleftharpoons \text{V}_6\text{O}$ при температуре ~ 783 К.

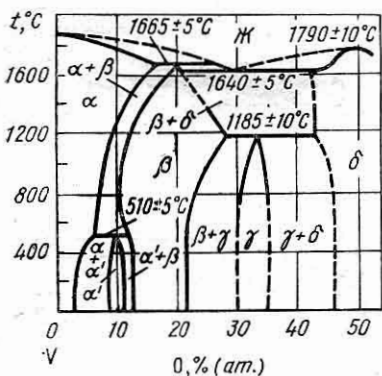


Рис. 88. Диаграмма состояния системы V—VO [606]. Показаны области гомогенности фазы V_6O (α') и фазы V_2O (γ), температура перитектоидного образования которой определена в 1185° С. Установлено существование эвтектической реакции между фазами β и δ при 1640° С и 29% (ат.) кислорода. Уточнена температура перитектической реакции (1665° С) образования фазы β . Уточнена растворимость кислорода в ванадии, оказавшаяся значительно больше, указывавшейся в прежних работах. Определена температура конгруэнтного плавления фазы $\delta(\text{VO})$, 1790° С.

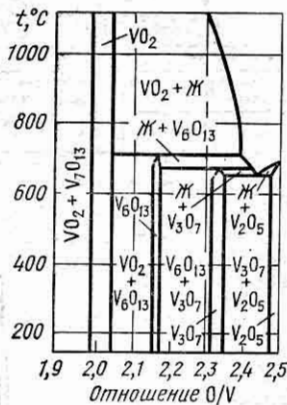


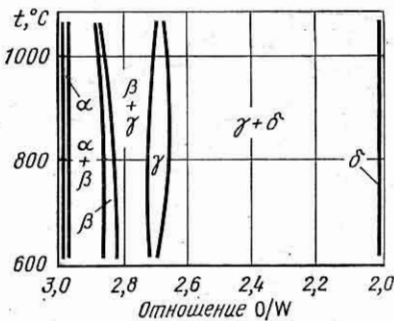
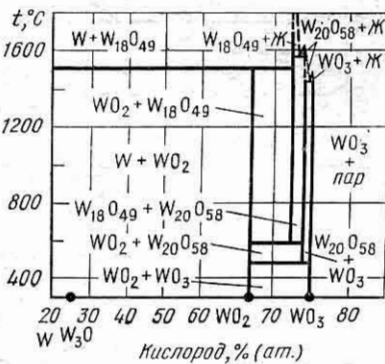
Рис. 89. Диаграмма состояния системы V—O [607] в области высших окислов ванадия [от $\sim 65,5$ до $\sim 71,5\%$ (ат.) O]. Здесь уточнены области гомогенности фаз $\text{VO}_2(\theta)$, $\text{V}_6\text{O}_{13}(\kappa)$, $\text{V}_3\text{O}_7(\lambda)$, а также фазы V_8O_7 , отсутствующей на прежней диаграмме (рис. 87). Показано, в результате каких реакций образуются эти фазы.

Рис. 90. Диаграмма состояния системы W—O [608]. Диаграмма схематична. На ней представлены соединения WO_2 , $\text{W}_{18}\text{O}_{49}$, $\text{W}_{20}\text{O}_{58}$ и WO_3 , для которых определена устойчивость при высоких температурах; области гомогенности этих фаз не определились.

Вопрос о существовании окисла W_3O не решен; этот окисел, по-видимому, не является устойчивой фазой.

Верхняя температура устойчивости WO_2 равна $1530 \pm 5^\circ\text{C}$, выше которой происходит диссоциация на W и $\text{W}_{18}\text{O}_{49}$. Для фазы $\text{W}_{18}\text{O}_{49}$ максимальная температура устойчивости не установлена, однако известно, что она устойчива при 1700°C . Фаза $\text{W}_{20}\text{O}_{58}$ устойчива, по крайней мере, до 1550°C , когда уже образуется некоторое количество жидкой фазы. Температура плавления фазы WO_3 составляет 1472°C , но возможно, что плавится фаза нестехиометрического состава с недостатком кислорода.

Рис. 91. Области фаз $\alpha(\text{WO}_3)$, $\beta(\text{W}_{20}\text{O}_{58})$, $\gamma(\text{W}_{18}\text{O}_{49})$, $\delta(\text{WO}_2)$ в системе W—O [1]. Высказано мнение о существовании гомологического ряда соединений с общей формулой $\text{W}_n\text{O}_{3n-2}$. К нему относятся окислы составов $\text{W}_{20}\text{O}_{58}(\text{WO}_{2,90})$, $\text{W}_{46}\text{O}_{118}(\text{WO}_{2,95})$, $\text{W}_{50}\text{O}_{148}(\text{WO}_{2,96})$, $\text{WO}_{2,97}$, $\text{WO}_{2,98}$, полученные разными исследователями. Все эти дискретные соединения охватываются узкой областью фазы β , примыкающей к WO_3 .



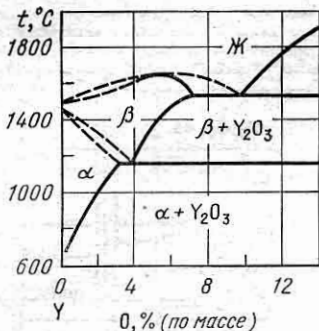


Рис. 92. Диаграмма состояния системы $\text{Y}-\text{O}$ [255]

Рис. 93. Диаграмма состояния системы $\text{Zr}-\text{O}$ [1]

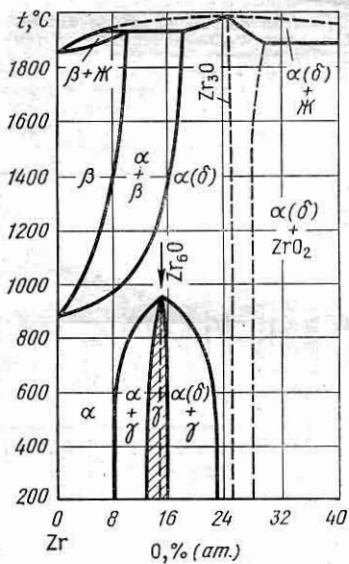
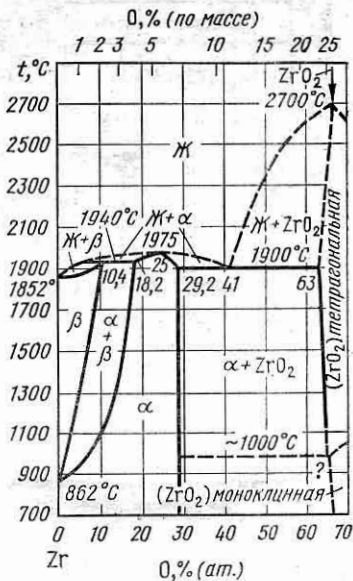
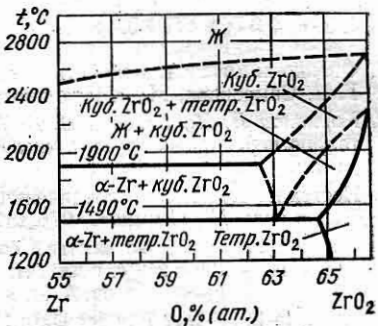


Рис. 94. Диаграмма состояния системы $\text{Zr}-\text{O}$ с учетом субоксидов [2]. Диаграмма включает одно химическое соединение — двуокись циркония, для которой установлено существование двух модификаций: стабильной моноклинной и метастабильной тетрагональной. Температура превращения $\sim 1000^\circ\text{C}$. Растворение кислорода в цирконии повышает температуру превращения $\alpha \rightarrow \beta$. Предельная растворимость кислорода в β - Zr равна 10,4% (ат.), в α - Zr 29,2% (ат.). Перитектическая температура образования β -фазы равна 1940°C . Температура эвтектической реакции между α -твердым раствором и ZrO_2 составляет 1173 К; эвтектический состав равен 41% (ат.) О.

В более поздних работах доказано существование субоксидов Zr_5O и Zr_6O , в связи с чем в диаграмму внесены изменения в области α -твердых растворов. Субоксид Zr_6O образуется из α -твердого раствора и устойчив до 940°C . Область гомогенности фазы γ на основе Zr_6O на диаграмме заштрихована.

По обеим сторонам от нее — двухфазные области $\alpha + \gamma$ и $\alpha(\delta) + \gamma$ [$\alpha(\delta)$ — обогащенная кислородом фаза α]. Zr_5O образуется при кристаллизации из расплава; при нагревании устойчив до температуры плавления, составляющей 1975°C .

Рис. 95. Диаграмма состояния системы Zr—O в области высоких температур [609]. Работа [609] посвящена исследованию системы Zr—O в области 50—66,7% (ат.) O при высоких температурах. Утверждается существование кубической высокотемпературной модификации ZrO_2 . Установлена температура превращения кубической ZrO_2 \leftrightarrow тетрагональную ZrO_2 : она равна примерно $1490^\circ C$ в двухфазной области и $2285^\circ C$ в чистой ZrO_2 .



СПИСОК ЛИТЕРАТУРЫ

1. Физико-химические свойства окислов. Справочник под ред. Г. В. Самсонова. М., «Металлургия», 1969. 456 с. с ил.
2. Корнилов И. И., Глазова В. В. Взаимодействие тугоплавких металлов переходных групп с кислородом. М., «Наука», 1967. 261 с. с ил.
3. Нестехиометрические соединения. Под ред. Л. Манделькорна. Пер. с англ. М., «Химия», 1971. 612 с. с ил.
4. Особо тугоплавкие элементы и соединения. Справочник. М., «Металлургия», 1969. 219 с. с ил. Авт.: Р. Б. Котельников, С. Н. Башлыков, З. Г. Галиакбаров, А. И. Каштанов.
5. Index to the X-Ray Powder Data File. American Society for Testing and Materials, Philadelphia, 1962. 633 р.
6. Kubaschewski O., Evans E. L. Metallurgische Thermochemie. Berlin, 1956. 452 S.
7. Hausner H. H., Friedeman H. C. High Temperature Compounds. Data Book. N. Y., 1962. 531 р.
8. Тресевятский С. Г., Черепанов А. М. Высокотемпературные материалы и изделия из окислов. М., «Металлургия», 1957. 326 с. с ил.
9. Термические константы веществ. Справочник под ред. В. П. Глушко. М., АН СССР, ВИННИТИ, ИВТ, 1965. вып. I, 145 с.; 1966, вып. II, 95 с.; 1968, вып. III, 221 с.; 1970, вып. IV, ч. I, 509 с.; 1971, вып. V, 530 с.; 1972, вып. VI, ч. I, 369 с.; 1974, вып. VII, ч. I, 343 с.
10. Герасимов Я. И. Химическая термодинамика в цветной металлургии. Т. 3. М., «Металлургиздат», 1963. 238 с. с ил.
11. Wyckoff R. W. G. Crystal Structures. N. Y.—L., 1963. 393 р.
12. Бокий Г. Б. Введение в кристаллохимию. М., МГУ, 1954. 436 с. с ил.
13. Самсонов Г. В., Константинов В. И. Тантал и ниобий. М., Металлургиздат, 1959. 406 с. с ил.
14. Вол А. Е. Строение и свойства двойных металлических систем. Т. II. М., «Физматгиз», 1962. 592 с. с ил.
15. Butler G. M., Hausner H. H. Data Book Uranium Dioxide. Los Angeles. 1960. 321 р.
16. Хансен М., Андерко К. Структуры двойных сплавов. М., «Металлургиздат», 1962. 621 с. с ил.
17. Кэй Дж., Лэби Т. Таблицы физических и химических постоянных. Пер. с англ. Изд. 2-е. М., «Физматгиз», 1962. 228 с.
18. Кэмбелл И. Э. Техника высоких температур. Пер. с англ. М., ИЛ, 1959. 491 с. с ил.
19. Кржижановский Р. Е., Штерн З. Ю. Теплофизические свойства неметаллических материалов. Л., «Энергия», 1973. 334 с. с ил.
20. Серебренников В. В., Алексеенко А. А. Курс химии редкоземельных элементов. Томск, изд-во ТГУ, 1963. 241 с. с ил.
21. Goldschmidt A. Handbook of Thermophysical Properties of Materials. N. Y., 1961, v. III, 193 р.
22. Термодинамические свойства неорганических веществ. Справочник под ред. А. П. Зефирова. М., «Атомиздат», 1965. 461 с. с ил.

23. Krishna Rao K. V., Nagender Naidu S. V., Iyengar Leela. — «J. Appl. Crystallogr.», 1973, v. 6, № 2, p. 136—138.
24. Lundy T. S., Padgett R. A., Banus M. D. — «Met. Trans.», 1973, v. 4, № 4, p. 1179—1180.
25. Harding B. C. — «Phys. Status. Solidi (b)», 1973, v. 56, № 2, p. 645—653.
26. Narayan J., Washburn J. — «Acta met.», 1973, v. 21, № 5, p. 533—538.
27. Ожегов П. И., Мясоедов Б. Ф., Захаров Е. А. — ДАН СССР, 1973, т. 212, № 5, с. 1122—1124 с ил.
28. Некрасов Л. И. ЖФХ, 1972, т. XLVI, вып. 3, с. 749 с ил.
29. Чижиков Д. М., Цветков Ю. В., Казенас Е. К. и др. — ЖФХ, 1972, XLVI, вып. 3, с. 806.
30. Пак Т. А. — ЖФХ, 1972, т. XLVI, вып. 8, с. 2121—2123 с ил.
31. Navrotsky A., Kleppa O. J. — «J. Amer. Ceram. Soc.», 1967, v. 50, № 11, 626 р.
32. Бобыренко Ю. Я., Жолнина А. Б., Коновалов В. К. — ЖФХ, 1972, т. XLVI, вып. 5, с. 1305—1306.
33. Семенов Г. А., Францева К. Е., Шалкова Е. К. — «Вестник ЛГУ», 1970, вып. 3, № 16, с. 82—86 с ил.
34. Яшвили Т. С., Гвелесиани Г. Г. — ЖФХ, 1971, т. XLV, вып. 4, с. 983 с ил.
35. Колбин Н. И., Самойлов В. М., Шувалов Б. Н. — ЖФХ, 1971, XLV, вып. 8, с. 2114.
36. Вольнов И. И. — ЖФХ, 1971. XLV, вып. 11, с. 2905, с ил.
37. Петухов В. А., Чеховский В. Я., Багдасаров Х. С. — «Теплофизика высоких температур», 1973, т. II, вып. 5, с. 1083—1087 с ил.
38. Чечельницкий А. З. — «Теплофизика высоких температур», 1972, т. 10, вып. 2, с. 285—289 с ил.
39. Lyon W. L., Baily W. E. — «J. Nucl. Mater.», 1967, v. 22, № 3, р. 332—335.
40. Mortlock A. J., Price D. M. — «J. Chem. Phys.», 1973, v. 58, № 2, pp. 634—637.
41. Ягодовская Т. В., Некрасов Л. И. — ЖФХ, 1970, т. XLIV, вып. 7, с. 1718—1720 с ил.
42. Макатун В. Н., Печковский В. В. — ЖФХ, 1970, т. XLIV, вып. 10, с. 2667 с ил.
43. Сабирзянов Т. Г. — ЖФХ, 1970, т. XLIV, вып. 5, с. 1313—1314 с ил.
44. Айвазов М. И., Мураневич А. Х., Домашнев И. А. и др. — «Теплофизика высоких температур», 1970, т. 8, вып. 3, с. 546—549 с ил.
45. Айвазов М. И., Мураневич А. Х., Домашнев И. А. и др. — «Теплофизика высоких температур», 1971, т. 9, вып. 1, с. 90—93 с ил.
46. Hildenbrand D. L., Murad E. — «J. Chem. Phys.», 1970, v. 53, p. 3403—3408.
47. Гусарев А. В., Горюхов Л. Н. — «Теплофизика высоких температур», 1971, т. 9, вып. 3, с. 505—511 с ил.

48. Цагарейшвили Д. Ш., Гвелесиани Г. Г. — «Теплофизика высоких температур», 1971, т. 9, вып. 3, с. 643—644 с ил.
49. Шпильрайн Э. Э., Каган Д. Н., Бархатов Л. С. — «Теплофизика высоких температур», 1971, т. 9, вып. 5, с. 926—928 с ил.
50. Айазов М. И., Мураневич А. Х., Домашнев И. А. и др. — «Теплофизика высоких температур», 1971, т. 9, вып. 6, с. 1177—1181 с ил.
51. Чеховский В. Я., Ставровский Г. И., Иванов А. Б. — «Теплофизика высоких температур», 1971, т. 9, вып. 6, с. 1182—1186 с ил.
52. Диаграммы состояния силикатных систем. Справочник. Л., «Наука», 1970, Вып. 2. 380 с. с ил. Авт.: Н. А. Торопов, В. П. Барзаковский, И. А. Бондарь, З. П. Удалов.
53. Smith D. L. — «J. Less-Common Metals», 1973, v. 31, № 3, p. 345—358.
54. Дударев В. Я., Ценципер А. Б., Добролюбова М. С. — «Кристаллография», 1973, т. 18, № 4, с. 759—763 с ил.
55. Sjöstrand M. E., Keesom P. H. — «Phys. Rev. Bull.», 1973, v. 7, № 8, p. 3558—3568.
56. Chandrashekhar G. V., Barros H. L. C., Honig J. M. — «Mater. Res. Bull.», 1973, v. 8, № 4, p. 369—374.
57. Hoch M. — «High Temp.—High Pressure», 1972, v. 4, № 5, p. 493—495.
58. Eckert L. J., Bradt R. C. — «Mater. Res. Bull.», 1973, v. 8, № 4, p. 375—379.
59. Wuensch B. J., Steele W. C., Wasilos T. — «J. Chem. Phys.», 1973, v. 58, № 12, p. 5258—5266.
60. Shirasaki S., Hama M. — «Chem. Phys. Lett.», 1973, v. 20, № 4, p. 361—363.
61. Крайнгольд Ф. И., Кулинкин Б. С. — «Оптика и спектроскопия», 1972, т. XXXIII, вып. 4, с. 706—711 с ил.
62. Мень А. Н., Воробьев Ю. П., Чуфаров Г. И. Физико-химические свойства нестехиометрических окислов. Л., «Химия», 1973. 223 с. с ил.
63. Coillot-Demay M.—F. Langouet L. Decamps E.—A. — «C. R. Acad. Sci.», 1973, v. 276, № 18, p. B757—B760.
64. Inagaki Hirotake. — «Bull. Inst. Chem. Res. Kyoto Univ.», 1973, 1973, v. 51, № 1, p. 27—30.
65. Попов Д. П., Стыров С. М. Научные труды № 15, с. 63—72. Красноярский Политехнический ин-т, 1973.
66. Piacente V., Bardi G., Malaspina L. a. o. — «J. Chem. Phys.», 1973, v. 59, № 1, p. 31—36.
67. Винчелл А. Н., Винчелл Г. Оптические свойства искусственных минералов. Пер. с англ. М., «Мир», 1967. 526 с. с ил.
68. Алямовский С. И., Зайнуллин Ю. Г., Швейкин Г. П. и др. — «Изв. АН СССР. Неорганические материалы», 1973, т. IX, № 10, с. 1837—1838.
69. Шпильрайн Э. Э., Якимович К. А., Цицаркин А. Ф. — «Теплофизика высоких температур», 1973, т. II, вып. 5, с. 1001—1009 с ил.
70. Deb S. K. — «Solid State Commun.», 1972, v. 11, № 5, p. 713—715.
71. Мокеров В. Г. — «Физика твердого тела», 1973, № 8, с. 2393—2396 с ил.

72. Драпак И. Т. — «Изв. вуз. Физика», 1969, № 7, с. 126—127 с ил.
73. Варгафтик Н. Б., Воляк Л. Д., Волков Б. Н. — В сб. «Теплофизические свойства жидкостей», М., «Наука», 1970, с. 182—184 с ил.
74. Чеховской В. Я. — «Инженерно-физический журнал», 1962, т. 5, № 8, с. 62—65 с ил.
75. Уикс К. Е., Блок Ф. Е. Термодинамические свойства 65 элементов, их окислов, галогенидов, карбидов и нитридов. Пер. с англ. М., «Металлургия», 1965. 240 с. с ил.
76. Оптические материалы для инфракрасной техники. М., «Наука», 1965. 336 с. с ил. Авт.: Е. М. Воронкова, Б. Н. Гречушников, Г. И. Дистлер, И. П. Петров.
77. Тугоплавкие материалы в машиностроении. Справочник под ред. А. Т. Туманова и К. И. Портного. М., «Машиностроение», 1967. 392 с. с ил.
78. Краткий справочник физико-химических величин. Изд. 7-е. Под ред. К. П. Мищенко и А. А. Равделя. Л., «Химия», 1974. 200 с. с ил.
79. Термодинамические свойства индивидуальных веществ. Справочник под ред. В. П. Глушко, Л. В. Гурвича и др. Изд. 2-е. М., Изд-во АН СССР, т. I, 1962, 1162 с. с ил.; т. II 1962, 916 с. с ил.
80. Горощенко Я. Г. Химия ниобия и tantalа. Киев, «Наукова думка», 1966. 483 с. с ил.
81. Краткая химическая энциклопедия. М., «Советская энциклопедия», 1961, т. 1, 1262 с. с ил.; 1963, т. 2, 1087 с. с ил.; 1964, т. 3, 1112 с. с ил.; 1965, т. 4, 1182 с. с ил.; 1967, т. 5, 1184 с. с ил.
82. Валиев К. А., Коняев Ю. В., Мокеров В. Г. и др. — В сб. «VII Уральская конференция по спектроскопии». Свердловск, 1971. Вып. 3. с. 147—149 с ил.
83. Кузьмина И. П., Лобачев А. Н., Предтеченский Б. С. и др. — «Кристаллография», 1973, т. 18, вып. 3, с. 635—637 с ил.
84. Некрасов Б. В. Курс общей химии. Изд. 14-е. М., «Госхимиздат», 1962. 974 с. с ил.
85. Шалдин Ю. В., Смирнов С. П., Беляев Л. М. и др. — «Кристаллография», 1973, т. 18, вып. 3, с. 570—572 с ил.
86. Hughes A. E., Webb A. P. — «Solid State Commun.», 1973, v. 13, № 2, p. 167—169.
87. Тазенков Б. А., Халтурин А. С. — В кн.: XXV Геценовские чтения. Физическая и полупроводниковая электроника. Л., 1972, с. 95—98 с ил.
88. Rose B. H., Hensley E. B. — «Phys. Rev. Lett.», 1972, v. 29, № 13, p. 861—864.
89. Evans Bruce D., Kemp James C. — «Phys. Rev. Bull.», 1970, v. 2, № 10, p. 4179—4189.
90. Огнеупорное производство. Справочник под ред. Д. И. Гавриша. т. I. М., «Металлургия», 1965. 578 с. с ил.
91. Васильева И. А., Шаурова Э. Ю. — ЖФХ, 1969, т. XLIII, № 12, с. 3047—3049.
92. Васильева И. А., Грановская Ж. В. — ЖФХ, 1974, т. XLVIII, вып. 6, с. 1536—1538 с ил.

93. Излучательные свойства твердых материалов. Справочник под общей ред. А. Е. Шейндлина. М., «Энергия», 1974. 471 с. с ил.
94. Волженский Д. С., Савицкий В. Г. — «Изв. вуз. Физика», 1974, № 11, с. 151—153 с ил.
95. Слюсарь Н. П., Криворотенко А. Д., Фомичев Е. Н. и др. — ЖФХ, 1973, т. XLVII, вып. 10, с. 2706.
96. Матвеев М. А., Матвеев Г. М., Харитонов Ф. Я. — «Изв. АН СССР. Неорганические материалы», 1966, т. II, № 2, с. 395—402 с ил.
97. Ривкин С. Л. Термодинамические свойства газов. Изд. 3-е, перераб. и доп. М., «Энергия», 1973. 287 с. с ил.
98. Фомченков Л. П., Майер А. А., Грачева Н. А. — «Изв. АН СССР. Неорганические материалы», 1974, т. X, № 11, с. 2020—2023 с ил.
99. Соловьева А. Е., Гавриш А. М., Зоз Е. И. — ЖНХ, 1974, т. XIX, № 6, с. 1446—1449 с ил.
100. Брагг У., Кларингбулл Г. Кристаллическая структура минералов. Пер. с англ. М., «Мир», 1967. 390 с. с ил.
101. Молекулярные постоянные неорганических соединений. Л., «Химия», 1968, 256 с. с ил. Авт.: Краснов К. С., Тимошинин В. С., Данилова Т. Г. и др.
102. Chikalla T. D., McNelly C. E., Roberts F. P. — «J. Amer. Ceram. Soc.», 1972, v. 55, № 8, p. 428—429.
103. Chikalla T. D., Mc-Neilly C. E., Bates J. L. a. o. — «Colloq. int. CNRS», 1972, № 205, p. 351—360.
104. Sata T., Takahashi T. — «Colloq. int. CNRS», 1972, № 205, p. 331—334.
105. Ghezzo M., Brown D. M. — «J. Electrochem. Soc.», 1973, v. 20, № 1, p. 146—148.
106. Chen W. K., Peterson N. L., Robinson L. C. — «J. Phys. and Chem. Solids», 1973, v. 34, № 4, p. 705—709.
107. Harding B. C. — «Phil. Mag.», 1973, v. 27, № 2, p. 481—485.
108. Mimkes J., Wuttig M. — «J. Amer. Ceram. Soc.», 1971, v. 54, № 1, p. 65—66.
109. Lay K. W. — «J. Amer. Ceram. Soc.», 1971, v. 54, № 1, S. 18—21.
110. Gruenwald T. B., Gordon G. — «J. inorg. nucl. Chem.», 1971, v. 33, № 4, p. 1151—1155.
111. Perkins R. A., Rapp R. A. — «Met. Trans.», 1973, v. 4, № 1, p. 193—205.
112. Murarka S. P., Swalin R. A. — «J. Phys. and Chem. Solids», 1971, v. 32, № 9, p. 2015—2020.
113. Спектральный анализ редкоземельных окислов. М., «Наука», 1974, 152 с. с ил. Авт.: А. В. Калякин, Л. И. Аникина, Л. И. Павленко, Н. В. Лактионова.
114. Shpil'rain E. E. (Шпильрайн Э. Э.), Yakimovich K. A. (Якимович К. А.), Tsitsarkin A. F. (Цыцаркин А. Ф.) — «High Temp.—High Pressure», 1972, v. 4, № 1, p. 67—76.
115. Contamin P., Bacmann J. J., Marin J. F. — «J. Nucl. Mater.», 1972, v. 42, № 1, p. 54—64.
116. Kakimoto M., Murabayashi M., Takahashi Y. — «J. Nucl. Mater.», 1973, v. 46, № 3, p. 309—314.

117. Винокуров И. В. — «Изв. АН СССР. Неорганические материалы», 1970, т. VI, № 1, с. 31—36 с ил.
118. Игнатьева Н. И., Бамбуров В. Г. — «Изв. АН СССР. Неорганические материалы», 1970, т. VI, № 1, с. 154—155 с ил.
119. Reimann D. K., Lundy T. S. — «J. Nucl. Mater.», 1968, v. 28, № 2, p. 218—219.
120. Dwivedi G. L., Subbarao E. S. — «J. Amer. Ceram. Soc.», 1973, v. 56, № 8, p. 443—444.
121. Berard M. F., Wirkus C. D., Wilder D. R. — «J. Amer. Ceram. Soc.», 1968, v. 51, № 11, p. 643—647.
122. Wircus C. D., Berard M. F., Wilder D. R. — «J. Amer. Ceram. Soc.», 1969, v. 52, № 8, p. 456.
123. Volpe M. L., Reddy J. — «J. Chem. Phys.», 1970, v. 53, № 3, p. 1117—1125.
124. Martens H., Ziegenbalg S. — «Z. anorg. allg. Chem.», 1973, Bd 401, H. 2, S. 145—157.
125. Мордовин О. А., Тимофеева Н. И., Дроздова Л. Н. «Изв. АН СССР. Неорганические материалы», 1967, т. III, № 1, с. 187—189 с ил.
126. Whitney W. P., Stubican V. S. — «J. Phys. Chem. Solids», 1971, v. 32, № 2, p. 305—312.
127. Kirchner H. P. — «J. Amer. Ceram. Soc.», 1969, v. 52, № 7, p. 379—386.
128. Соколова И. Д., Воскресенская Н. К. — «Изв. АН СССР. Неорганические материалы», 1970, т. VI, № 7, с. 1358—1364 с ил.
129. Sheasby J. S., Cox B. — «J. Less-Common Metals», 1968, v. 15, № 2, p. 129—135.
130. Harding B. C., Price D. M., Mortlock A. J. — «Phil. Mag.», 1971, v. 23, № 182, p. 399—408.
131. Kundra K. D., Ali S. Z. — «J. Appl. Crystallogr.», 1970, v. 3, № 6, p. 543—545.
132. Singh S., Davenport J. C., Mills N. D. — «J. Amer. Ceram. Soc.», 1970, v. 53, № 3, p. 169.
133. Krishna Rao K. V., Nagender Naidu S. V., Lyengar L. — «J. Amer. Ceram. Soc.», 1970, v. 53, № 3, p. 124—126.
134. Филатов С. К., Франк-Каменецкий В. А. — «Кристаллография», 1969, т. 14, вып. 5, с. 804—808 с ил.
135. Marsh S. P. — «High Temp.—High Pressures», 1973, v. 5, № 5, p. 503—508.
136. Чижиков Д. М., Павлов Ю. А., Цветков Ю. В. и др. — «Изв. вуз. Черная металлургия», 1970, № 7, с. 5—8 с ил.
137. Самсонов Г. В., Гильман И. Я. — «Порошковая металлургия», 1974, № 11, с. 73—83 с ил.
138. Браун С. М. — «Порошковая металлургия», 1970, № 6, с. 82—85, с ил.
139. Боровкова Л. Б., Лукин Е. С., Полубояринов Д. Н. и др. — «Огнеупоры», 1970, № 11, с. 39—45 с ил.
140. Попильский Р. Я., Смирнов В. А. — «Огнеупоры», 1970, № 12, с. 31—35 с ил.

141. Бархатов Л. С., Каган Д. Н., Цицаркин А. Ф. и др.—«Теплофизика высоких температур», 1973, т. 11, вып. 6, с. 1188—1191 с ил.
142. Мень А. А., Чечельницкий А. З.—«Теплофизика высоких температур», 1973, т. 11, вып. 6, с. 1309—1312 с ил.
143. Малютин С. А., Самплавская К. К., Карпетянц М. Х.—ЖНХ, 1971, т. XVI, вып. 6, с. 1475—1479 с ил.
144. Пауков И. Е., Рахменкулов Ф. С., Добролюбова М. С. и др.—«Изв. АН СССР. Серия химическая», 1970, № 9, с. 2135—2138 с ил.
145. Жузе В. П., Новрузов О. Н., Попова А. А.—Изв. АН СССР. Неорганические материалы», 1968, т. IV, № 9, с. 1493—1497 с ил.
146. Шахтин Д. М., Левитович Э. В., Пивовар Т. Л. и др.—«Изв. АН СССР. Неорганические материалы», 1968, т. IV, № 9, с. 1603—1604.
147. Ковалев Н. Н., Петров А. В., Сорокин О. В.—«Физика твердого тела», 1971, т. 13, вып. 1, с. 291—293 с ил.
148. Колоскова Л. А., Кружкин И. Н., Манжелей В. Г. и др.—«Физика твердого тела», 1973, т. 15, вып. 6, с. 1913—1915 с ил.
149. Asamoto R. R., Anselin F. L., Conti A. E.—«J. Nucl. Mater.», 1969, v. 29, № 1, p. 67—81.
150. Вишневский И. И., Скрипак В. Н.—«Огнеупоры», 1970, № 11, с. 16—18 с ил.
151. Wolf M. W., Martin J. J.—«Phys. Status Solidi (a)», 1973, v. 17, p. 215—220.
152. Millstein J.—«J. Phys. and Chem. Solids», 1970, v. 31, № 4, p. 886—887.
153. Aring K., Sievers A. J.—«J. Appl. Phys.», 1967, v. 38, № 3, p. 1495—1498.
154. Глушкова В. Б., Богданов А. Г.—«Изв. АН СССР. Химия», 1965, № 7, с. 1131—1137 с ил.
155. Moore J. P., Mc Elroy D. L.—«J. Amer. Ceram. Soc.», 1971, v. 54, № 1, p. 40—46.
156. Гордиенко С. П., Феночка Б. В., Фесенко В. В. «Редкоземельные металлы и их тугоплавкие соединения». Справочник. Киев, «Наукова думка», 1971, 168 с. с ил.
157. «Diffusion Data», 1971, v. 5, № 1, 2, 3, 4.
158. Goldsmith L. A., Douglas J. A. M.—«J. Nucl. Mater.», 1973, v. 47, № 1, p. 31—42.
159. Колядин В. И., Ильин Э. П., Харламов А. Г. и др.—«Атомная энергия», 1974, т. 36, вып. 1, с. 59—60 с ил.
160. Müller E.—«Atomwirtsch.—Atomtechn.», 1972, Bd 17, S. 37.
161. Павлов Ю. А., Крюков С. Н., Шеболдаев С. Б. и др.—«Изв. АН СССР. Неорганические материалы», 1975, т. XI, № 4, с. 661—663 с ил.
162. Forman R.—«J. Appl. Phys.», 1973, v. 44, № 1, p. 66—71.
163. Цагарейшвили Д. Ш., Гвелесиани Г. Г.—«Теплофизика высоких температур», 1973, т. II, вып. 2, с. 300—303.
164. Слюсарь Н. П., Криворотенко А. Д., Фомичев Е. Н.—и др.—

«Теплофизика высоких температур», 1973, т. II, вып. 1, с. 213—215.

165. Zumsteg A., Ziegler M., Bosch M. и др. — «Helv. Phys. Acta», 1973, v. 46, № 1, p. 15—17.
166. Кипарисов С. С., Фистуль А. Д. — «Изв. АН СССР. Неорганические материалы», 1975, т. XI, № 2, с. 378—379 с ил.
167. Кипарисов С. С., Кузнецова С. А., Козлов В. Г. и др. — «Изв. АН СССР. Неорганические материалы», 1971, т. VII, № 6, с. 1073 с ил.
168. «Diffusion Data», 1972, v. 6, № 1, p. 2, 3, 4.
169. Рубин и сапфир. Колл. авт. под рук. М. В. Классен-Неклюдовской и Х. С. Багдасарова. М., «Наука», 1974. 236 с. с ил.
170. Gauthier M., Duclot M., Hammou A. e. a. — «J. Solid State Chem.», 1974, v. 9, № 1, p. 15—23.
171. Baybarz R. D. — «J. inorg. nucl. Chem.», 1973, v. 35, № 12, p. 4149—4158.
172. «Diffusion Data», 1973, v. 7, № 1, 2, 3.
173. Jeapes A. P., Leadbetter A. J., Waterfield C. G. a. o. — «Phil. Mag.», v. 29, № 4, p. 803—811.
174. Третьяков Ю. Д. Химия нестехиометрических окислов. М., Изд-во МГУ, 1974, 364 с. с ил.
175. Deaton R. L., Wiedenheft C. J. — «J. inorg. nucl. Chem.», 1973, v. 35, № 2, p. 649—650.
176. Айвазов М. И., Мураневич А. Х. — «Изв. АН СССР. Неорганические материалы», 1973, т. IX, № 12, с. 2156—2158 с ил.
177. Williams E. L. — «J. Amer. Ceram. Soc.», 1965, v. 48, № 4, p. 190—194.
178. Попель С. И., Сколов В. И., Есин О. А. — ЖФХ, 1969, т. XLIII, № 12, с. 3175—3178 с ил.
179. Mosley W. C. — «J. inorg. nucl. Chem.», 1972, v. 34, № 2, p. 539—555.
180. Gulbransen E. A., Andrew K. F., Brassart F. A. — «J. Electrochem. Soc.», 1963, v. 110, № 3, p. 242—243.
181. Masataka Wakihara, Takashi Katsura. — «Metal Trans.», 1970, v. 1, № 2, p. 363—366.
182. Голубенко А. Н., Резухина Т. Н. — «Изв. АН СССР. Неорганические материалы», 1967, т. III, № 1, с. 101—106 с ил.
183. Семенов Г. А. — ЖНХ, 1965, т. X, № 10, с. 2390—2391 с ил.
184. Чижиков Д. М., Цветков Ю. В., Казенас Е. К. — «Изв. АН СССР. Металлы», 1971, № 3, с. 55—61 с ил.
185. Аппен А. А. Температуростойчивые неорганические покрытия. Л., «Химия», 1967, 240 с. с ил.
186. Митин Б. С., Нагибин Ю. А. — «Изв. АН СССР. Неорганические материалы», 1971, т. VII, № 5, с. 814—816 с ил.
187. Jungermann E., Plieth K. — «Z. Phys. Chem. N. F.», 1967, Bd 53, H. 1—6, S. 215—228.
188. Куликов И. С. — «Изв. АН СССР. Металлы», 1971, № 3, с. 48—54 с ил.
189. Haschke J. M., Eick H. A. — «J. Phys. Chem.», 1969, v. 73, № 2, p. 374—377.

190. Плутоний. Справочник под ред. О. Вика. Пер. с англ. Т. 2, М., «Атомиздат», 1973. 456 с. с ил.
191. Justice B. H., Westrum E. F., Chang J. E. a. o. — «J. Phys. Chem.», 1969, v. 73, № 2, p. 333—340.
192. Березовский Г. А., Искорский В. П., Пауков И. Е. — ЖФХ, 1975, т. XLIX, вып. I, с. 261.
193. Kleykamp H., Paneth L. J. — «J. inorg. nucl. Chem.», 1973, v. 35, № 2, p. 477—482.
194. Цагареишвили Д. Ш., Гвелесиани Г. Г. — «Изв. АН СССР. Неорганические материалы», 1973, т. IX, № 11, с. 1936—1939.
195. Куликов И. С. Термическая диссоциация соединений. М., «Металлургия», 1966. 250 с. с ил.
196. Poulton D. J., Smeltzer W. W. — «J. Electrochem. Soc.», 1970, v. 117, № 3, p. 378—381.
197. Baldacci G., De Maria G., Guido M. a. o. — «J. Chem. Phys.», 1972, v. 56, № 7, p. 3422—3426.
198. Архипов В. А., Гутина Э. А., Добрецов В. Н. и др. — «Радиохимия», 1974, т. 16, № 1, с. 123—126 с ил.
199. Дитятьев А. А., Третьяков Ю. Д., Булгакова Т. И. и др. — «Изв. АН СССР. Неорганические материалы», 1973, т. IX, № 11, с. 1999—2002.
200. Paladino A. E., Kingery W. D. — «J. Chem. Phys.», 1962, v. 37, № 5, p. 957—962.
201. Haul R., Just D. — «J. Appl. Phys.», 1962, v. 33, № 1, p. 487—493.
202. Окисление металлов. Под ред. Ж. Бенара. Пер. с франц. Т. II. М., «Металлургия», 1969, 475 с. с ил.
203. В сб. «Химия металлических сплавов». М., «Наука», 1973, с. 208—213 с ил. Авт.: Д. В. Игнатов, М. С. Модель, А. Ф. Сокирянский и др.
204. Mori Kazumi, Suzuki Kanae. — «Trans. Iron and Steel Inst. Jap.», 1972, v. 12, № 6, p. 464—471.
205. Orszagh J., Bouillon E. — «Memsci. Rev. Met.», 1973, v. 70, № 4, p. 319—325.
206. Chatterji D., Vest R. W. — «J. Amer. Ceram. Soc.», 1972, v. 55, № 11, p. 575—578.
207. Baur J. P., Bartlett R. W., Ong J. N. a. o. — «J. Electrochem. Soc.», 1963, v. 110, № 3, p. 185—189.
208. Елютин В. П., Митин В. С., Самотейкин В. В. — «Изв. АН СССР. Металлы», 1971, № 3, с. 227—230 с ил.
209. Варгафтик Н. Б. Справочник по теплофизическим свойствам газов и жидкостей, Изд. 2-е. М., «Наука», 1972. 720 с. с ил.
210. Kunugi M., Soga N., Sawa H. a. o. — «J. Amer. Ceram. Soc.», 1972, v. 55, № 11, p. 580.
211. Hite H. E., Kearney R. J. — «J. Appl. Phys.», 1967, v. 38, № 13, p. 5424—5425.
212. Haglund J. A., Hunter O. — «J. Amer. Ceram. Soc.», 1973, v. 56, № 6, p. 327—330.
213. Краткий справочник химика. Под ред. Б. В. Некрасова. М., «Госхимиздат», 1954. 559 с.

214. Поваренных А. С. Твердость минералов. Изд-во АН УССР, 1963. 213 с. с ил.
215. Chung D. H., Buessem W. R.— «J. Appl. Phys.», 1967, v. 38, № 6, p. 1967—2535.
216. Скидан Б. С.— «Огнеупоры», 1970, № 12, с. 36—37.
217. Hallberg J., Hanson R. S.— «J. Phys. Stat. Sol.», 1970, v. 42, № 1, p. 305—310.
218. Bob Powell J. R., O. Hunter J. R., Manning W. R.— «J. Amer. Ceram. Soc.», 1971, v. 54, № 10, p. 487—490.
219. Черепанов А. М., Тресвятский Г. С. Высокоогнеупорные материалы и изделия из окислов. Изд. 2-е, доп. М., «Металлургия», 1964. 400 с. с ил.
220. Корнилов И. И., Глазова В. В., Руда Г. И.— «Изв. АН СССР. Неорганические материалы», 1968, т. 8, № 12, с. 2106—2107.
221. Gust W. H. and Royce E. B.— «J. Appl. Phys.», 1971, v. 42, № 2, p. 276—295.
222. Johnson J. R. a.o.— «Amer. Ceram. Soc. Bull.», 1957, v. 36, p. 112—116.
223. Rysckewitch E. Oxide Ceramiks, N. Y., 1960, 235 p.
224. Kingery W. D.— «J. Amer. Ceram. Soc.», 1959, v. 42, № 1, p. 6—14.
225. Mitterdorf U., Helmreich D.— «J. Acoust. Soc. Amer.», 1971, v. 49, Part 2, № 3, p. 723—728.
226. Хрущев М. М., Беркович Е. С. Микротвердость. Труды совещания по микротвердости. М., Изд-во АН СССР, 1951. 295 с.
227. Баранова Т. Ф., Попильский Р. Я., Климова Г. Ф.— «Огнеупоры», 1972, № 9, с. 60—65.
228. Ромашин А. Г., Прудникова Н. И.— «Огнеупоры», 1971, № 4, с. 43—45.
229. Попильский Р. Я., Адушкин Л. Е., Пивенский Ю. Е. и др.— «Огнеупоры», 1971, № 4, с. 45—51.
230. Тресвятский С. Г., Назаренко Н. Д., Дубок В. А., Нечитайло В. Ф.— «Украинский физический журнал», 1965, т. 10, № 6, с. 681—691.
231. Методы испытания на микротвердость. В сб. под ред. М. М. Хрущева. М., «Наука», 1965. 263 с. с ил.
232. Мотт Б. В. Испытание на твердость микровдавливанием. М., Металлургиздат, 1960. 357 с. с ил.
233. Аброва М. С., Голубков А. В., Жузе В. П. и др.— ФТТ, 1971, т. 13, вып. 12, с. 3711—3713.
234. Вишневский И. И., Аксельрод Е. И., Тальянская Н. Д.— «Изв. АН СССР. Неорганические материалы», 1972, т. 8, № 9, с. 1641—1645.
235. Eliezer D. and Brandon D. G.— «Thin Solid Films», 1972, v. 12, p. 319—323.
236. Samsonov G. V., (Самсонов Г. В.), Kovalchenko M. S. (Ковалченко М. С.), and Fen E. K. (Фень Е. К.).— «Physics of sinterring», 1972, v. 4, № 1, p. 21—22.
237. Eiichi Yasuda, Motoya Ootsuka, Shiushishi Kimura a. o.— «Bull. of the Tokyo institute of technology», 1972, № 108, p. 113—121.

238. Chung D. H., and Buessem W. R. — «J. Appl. Phys.», 1968, v. 39, № 6, p. 2777—2782.
239. Marklund K., Mahmoud S. A. — «J. Phys. Soc.», 1971, v. 3, № 2, p. 75—76.
240. Manning W. R., Marlowe M. O. and Wilder D. R. — «J. Amer. Ceram. Soc.», 1966, v. 49, № 4, p. 227—231.
241. Stavrolakis J. A., Norton F.H. — «J. Amer. Ceram. Soc.», 1950, v. 33, № 9, p. 263—267.
242. Батышкин В. П., Романович И. В., Тимофеева Н. И. — «Изв. АН СССР. Неорганические материалы», 1971, т. VIII, № 9, с. 1638—1639.
243. Son P. R., Bartels R. A. — «J. Phys. and Chem. Solids», 1972, v. 49, № 4, p. 819—828.
244. Manghnani M. H. — «J. Phys. and Chem. Solids», 1972, v. 33, № 11, p. 2149—2159.
245. Oliver D. W. — «J. Appl. Phys.», 1969, v. 39, № 2, p. 893—895.
246. Johnston D. L., Thrasher P. H. and Kearneyf R. J. — «J. Appl. Phys.», 1970, v. 41, № 1, p. 427—428.
247. Pace N. G., Saunders G. A., Sümengen Z., Thorp J. S. — «J. Mater. Sci.», 1969, v. 4, № 12, p. 1106—1110.
248. Naoya Uchida and Yoshiro Ohmachi, — «J. Appl. Phys.», 1969, v. 40, № 12, p. 4692—4695.
249. Arlt G. and Schwerpe F. — «Solid State Commun.», 1968, v. 6, p. 783—786.
250. Anderson Orson L., Andereatch P. — «J. Amer. Ceram. Soc.», 1966, v. 49, № 8, p. 404—409.
251. Ковба Л. М. — ДАН СССР, 1970, т. 194, № 1, с. 98—100 с ил.
252. Купрашвили И. С., Наумкин О. П., Савицкий Е. М. — «Изв. АН СССР. Неорганические материалы», 1969, т. V, № 12, с. 2123—2127 с ил.
253. Jahn H., Olzi E. — «J. Less-Common. Metals», 1972, v. 27, № 3, p. 297—309.
254. Benz R. — «J. Nucl. Mater.», 1969, v. 29, № 1, p. 43—49.
255. Терехова В. Ф., Савицкий Е. М. Иттрий. М., «Наука», 1967. 159 с. с ил.
256. Роде Е. Я. — ЖХХ, 1956, т. 1, № 6, с. 1430—1439 с ил.
257. Shartsis L., Canga R. — «J. Res. NB.C», 1949, v. 43, p. 221—227.
258. Shartsis L., Spinner S., Smock A. W. — «J. Res. NBS», 1948, v. 40, № 1, p. 60—67.
259. Kozakevitch P., Rev. de Metall, 1949, v. 46, p. 505—509.
260. Костиков В. И., Левин В. Я., Маурах М. А., Митин Б. С. — В кн.: Высокотемпературные материалы. М., «Металлургия», 1968, с. 143—151 с ил.
261. Физический энциклопедический словарь. Т. 3. М., «Советская энциклопедия», 1963. 624 с. с ил.
262. Техническая энциклопедия. Справочник физических, химических, технологических величин. Т. 5, ОГИЗ РСФСР, «Советская энциклопедия», 1930. 500 с. с ил.

263. Мармер Э. Н., Гуревич О. С., Мальцев Л. Ф. — В кн.: Высокотемпературные материалы. М., «Металлургия», 1967, с. 215—223 с ил.
264. Sparks Joseph T., Komoto T. — «J. Appl. Phys.», 1966, v. 37, p. 1040—1042.
265. Шахтин Д. М., Левинтович Э. В., Пивовар Т. Л., Елисеева Г. Г. — «Огнеупоры», 1965, № 7, с. 37—38.
266. Smith H. G., Nicklow R. M., Raubenheimer L. J., Wilkison M. K. — «J. Appl. Phys.», 1966, v. 37, p. 1047—1048.
267. Okinaka Hideyuki, Nagasawa Kasuge Koji, Bando Yohahika, Kachi Sukeji, Takada Toshio. — «J. Phys. Soc. Jap.», 1970, v. 28, p. 798—799.
268. Зубков В. Г., Матвеенко И. И., Таллерчик Б. А., Гельд П. В. — ФТТ, 1971, № 11, с. 3426—3427.
269. Ford C. J., Segel S. L., Seymour E. F., Hyland G. J. — «Phys. Kandeus Mater.», 1972, v. 14, № 2, p. 111—118.
270. Iliev M., Angelov S., Stoyanov S. a. o. — «Phys. Status Solidi (b)», 1973, v. 58, № 1, p. k27—k29.
271. Horota Eichi, Kowanata Tadshi Dig Intermag. Conf. Kyoto, N. Y., 1973, № 4, p. 21—23.
272. Кzendзов Я. М., Макаров В. В. — ФТТ, 1970, т. 12, в. II, с. 3166—3169.
273. Rechtin M. D., Auerbach B. L. — «Phys. Rev. Solid state», 1972, v. 6, № 11, p. 4294—4300.
274. Künding Walter, Kobelt M., Appel H. a. o. — «J. Phys. and Chem. Solids», 1969, v. 30, p. 819—826.
275. Третьяков Ю. Д. Термодинамика ферритов. Л., «Химия», 1967. 304 с. с ил.
276. Ekstrom Tommy. — «Acta Chem. Scand.», 1972, v. 26, № 8, p. 3381—3382.
277. Адамян В. Е., Винокуров И. В. и др. — ФТТ, 1971, в. 13, № 8, с. 2309—2313.
278. Айвазов М. И., Туров С. В. — «Изв. АН СССР. Неорганические материалы», 1974, т. X, № 5, с. 861—864.
279. Querel—Ambrunar S., Bertant E. F. — «Solid State Commun.», 1972, v. 11, № 5, p. 605—610.
280. Mac Shesney J. B., Williams H. J., Sherwood R. C. a. o. — «J. Appl. Phys.», 1966, v. 37, p. 1435—1438.
281. «J. Solid State Chem.», 1972, v. 5, № 2, p. 262—265.
282. Химия высокотемпературных материалов. Под ред. Н. А. Торопова. Л., «Наука», 1967. 219 с. с ил.
283. Айвазов М. И., Домаев И. А., Саркисян А. Г. — «Изв. АН СССР. Неорганические материалы», 1970, т. VI, № 5, с. 846—848.
284. Жузе В. П., Андреев А. А., Шелых А. И. — ФТТ, 1968, т. 10, с. 3674—3678.
285. Kwan Clarence C. Y., Griffiths C. H., Eastwood H. K. — «J. Appl. Phys. Lett.», 1972, v. 20, № 2, p. 93—95.
286. Виноградов А. А., Шелых А. И. — ФТТ, 1971, т. 13, № 11, с. 3310—3315.

287. Banus M. D., Reed T. B., Strauss A. J. — «J. Phys. Rev. Bull. Solid State», 1972, v. 5, № 8, p. 2775—2784.
288. Мусишин В. И., Пастухов Э. А., Батолин Н. А., Ленинских Б. М. — «Изв. АН СССР. Неорганические материалы», 1971, т. VII, № 1, с. 99—103.
289. Зуев К. П., Долгинцев В. Д. — «Изв. вуз. Физика», 1971, № 2, с. 110—112.
290. Гуллева Г. П., Корж П. Д. — «Изв. АН СССР. Неорганические материалы», 1969, т. 5, с. 966—968.
291. Djerassi H., Sorriaux A. P. — «J. Appl. Phys.», 1972, v. 43, № 3, p. 1275—1276.
292. Jarzebski Z. M. — «Acta phys. pol.», 1972, A42, № 4, p. 371—381.
293. Hayashi Shintaro. «Rev. Elec. Commun Lab.», 1972, v. 20, № 78, p. 968—709.
294. Keezer R. C., Bowman D. L., Becker J. H. — «J. Appl. Phys.», 1968, v. 39, p. 2062—2063.
295. Stnart M. — «Brit. J. Appl. Phys.», 1967, v. 18, p. 1637—1639.
296. Bull Fac. Educ. Kanazana Univ. — «Nat. Sci.», 1972, № 21, p. 57—62.
297. Chandhyry A. K., Rao K. V. — «Phys. Status solidi», 1969, v. 32, p. 731—739.
298. Weichman F. L. — «Com. J. Phys.», 1973, v. 51, № 6, p. 680—685.
299. Robinson M. L. A., Roetschi H. A. C. — «J. Phys. and Chem. Solids», 1968, v. 29, p. 1503—1510.
300. Van Daal H. J. — «J. Appl. Phys.», 1968, v. 39, p. 4467—4470.
301. O'Clock George D. — «J. Appl. Phys. Lett.», 1971, v. 19, № 10, p. 403—405.
302. Tateno Jun. — «Solid-State Communs», 1970, v. 8, p. 1043—1045.
303. Livi L., Lubert L. — «Phys. Kondens. Mater.», 1968, v. 7, p. 368—371.
304. Osburn C. M., Vest R. W. — «J. Amer. Ceram. Soc.», 1971, v. 54, № 9, p. 428—435.
305. Высокотемпературные материалы. Под ред. Елютина В. П. М., «Металлургия», 1968. 244 с. с ил.
306. Черненко И. М. В сб. «Радиофизика и полупроводниковая электротехника». Днепропетровск, изд-во Днепропетровского университета, 1967. 160 с. с ил.
307. Eror N. G., Wagner J. B. — «J. Electrochem. Soc.», 1971, v. 118, № 10, p. 1665—1670.
308. Кожухов В. А., Михайлов Г. Т. — ЖФХ, 1967, т. XLI, вып. II, с. 2892—2894 с ил.
309. Samara G. A. — «Phys. Rev. Lett.», 1968, v. 21, p. 795—797.
310. Bruck A., Tahnhauser D. S. — «J. Appl. Phys.», 1967, v. 38, p. 2520—2522.
311. Young A. P., Schwartz C. M. — «J. Phys. and Chem. Solids», 1969, v. 30, p. 249—252.
312. Панков Ю. Д., Постов Ю. В. и др. — «Изв. вуз. Физика», 1973, № 3, с. 126—127.

313. Школьник А. Л. — «Изв. АН СССР. Серия физическая», 1967, т. XXXI, № 12, с. 2050—2051 с ил.
314. Rogers D. B., Shannon R. D., Gillson J. L. — «J. Solid. State. Chem.», 1971, v. 3, № 2, p. 314—317.
315. Крейнгольд Ф. И., Кулинкин Б. С. — «Физика и технология полупроводников», 1970, т. 4, № 12, с. 2353—2357.
316. Jarzebski Z. M. Bull. Acad. Rolon Sci. — «Ser. sci. chem.», 1969, v. 17, № 4, p. 221—222.
317. Schwab Georg-Maria Bohla Friedrich. Z. Naturforsch, 1968, Bd. 23a, S. 1550—1558.
318. Rao C. N. R. Rao G. V. Subba, Romdas S. — «J. Chem. Phys.», 1969, v. 73, p. 672—675.
319. Ladd Larry, A. Paul William. — «Solid State Commun», 1969, v. 7, p. 425—428.
320. Hoeneisen B., Mead C. A., Nicolet M. A. — «Solid-State Electron», 1971, v. 14, № 10, p. 1057—1059.
321. Арсеньева А. Н., Курчатов Б. В. — ЖЭТФ, 1934, т. 4, с. 576—579.
322. Ryden W. D., Lawson A. W., Sartein C. C. — «Phys. Lett.», 1968, v. A26, p. 209—211.
323. Корзо В. Ф. — «Изв. вузов. Физика», 1967, № 9, с. 86—89.
324. Groth R. — «Phys. Stat solidi», 1966, v. 14, № 1, p. 69—77.
325. Friedrich E., Sittig L. — «Z. anorg. Chemie», 1925, Bd 145, S. 127—128.
326. Полубояринов Д. Н., Шапира Е. Я., Бакунов В. С., Акопов Ф. А. — «Изв. АН СССР. Неорганические материалы», 1966, т. II, № 2, с. 336—338.
327. Ahn K. J., Schafer M. W. — «J. Appl. Phys.», 1967, v. 38, p. 1197—1199.
328. Özkan O. T., Monlson A. J. — «J. Appl. D.», 1970, v. D3, p. 983—987.
329. De Wit H. J., Crevcocur C. — «Phys. Letters», 1967, v. A—25, № 5, p. 393—394.
330. Okinaka Hideyuki, Nagasawa Koichi, Kosuge Koji. — «J. Phys. Soc. Jap.», 1970, v. 29, № 1, p. 245—246.
331. Зуев К. П., Долгинцев В. Д. — «Изв. АН СССР. Неорганические материалы», 1968, т. IV, № 8, с. 1498—1500.
332. Nagels P. D. — «Solid State Commun», 1967, v. 5, № 2, p. 193—195.
333. Huntley D. J. — «Canad. J. Phys.», 1966, v. 44, p. 2952—2954.
334. Дорфман Я. Г. Магнитные свойства и строение вещества. М., Химиздат, 1955. 400 с.
335. Селвуд П. Магнетохимия. Пер. с англ. М., ИЛ, 1949. 239 с.
336. Гороновский И. Т., Назаренко Ю. И., Некрач Е. Ф. Краткий справочник по химии. Киев. Изд-во АН УССР, 1962. 659 с.
337. Самохвалов А. А., Морозов Ю. Н., Волкенштейн Н. В. и др. — «Физика твердого тела», 1970, т. 12, вып. 10, с. 2865—2868.
338. Yadau H. S., Murty D. S., Verma S. N. a. o. — «J. Appl. Phys.», 1973, v. 44, № 5, p. 2197—2200.

339. Gruner H. — «Optik», 1974, Bd 39, № 4, S. 443—449.
340. Judge D. L., Lee L. C. — «J. Chem. Phys.», 1973, v. 58, № 1, p. 104—107.
341. Lee L. C., Judge D. L. — «Canad. J. Phys.», 1973, v. 51, № 4, p. 378—381.
342. Lee L. C., Judge D. L. — «J. Chem. Phys.», 1972, v. 57, № 10, p. 4443—4445.
343. Bernas A., Thuong Thu-Ba. — «C. R. Hebd. Seances Acad. Sci. Bull.», 1973, v. 277, p. 391—394.
344. Миронова Н. А. — В сб. «Радиационные дефекты в полупроводниках». Минск. Изд-во БГУ, 1972, с. 192—193 с ил.
345. Bradford A. P., Hass G., Mc Farland M. — «Appl. Opt.», 1972, v. 11, № 10, p. 2242—2244.
346. Закис Ю. Р., Трухин А. Н. — Учебные записки. Рига, Латвийский университет, 1973, т. 182, с. 49—54 с ил.
347. Lagarde P., Narenberg M. A. — «Phys. Status Solidi (b)», 1974, v. 64, № 2, p. 567—574.
348. Schirmer O. F., Koidl P., Reik H. G. — «Phys. Status. Solidi (b)», 1974, v. 62, № 2, p. 385—391.
349. Mixo B. B., Федчук А. П., Шайкина О. Ф. — «Письма в ЖЭТФ», 1973, т. 17, № 5, с. 241—244 с ил.
350. Chou H., Fan H. — «Phys. Rev. B», 1974, v. 10, № 3, p. 901—910.
351. Приходько Л. В., Багдасаров Х. С. — «Оптика и спектроскопия», 1973, т. XXXIV, вып. 6, с. 1210—1211 с ил.
352. Rusin J. M., Mueller J. I. — «Amer. Ceram. Soc. Bull.», 1973, v. 52, № 9, p. 708.
353. Мотовилов О. А., Рождественский В. Н. — «Оптико-механическая промышленность», 1958, № 8, с. 42—45 с ил.
354. Хариф Я. Л., Галактионов С. С., Дергачева Н. М. и др. — «Физика твердого тела», 1975, т. 17, вып. 4, с. 987—990 с ил.
355. Шалимова К. В., Никитенко В. А. — «Журнал прикл. спектр», 1975, т. XXII, вып. 4, с. 667—670 с ил.
356. Blasse G., Bril A. — «J. Phys. and Chem. Solids», 1970, v. 31, № 4, p. 704—711.
357. Шалимова К. В., Маргурова Т. Х., Малова Т. И. и др. — «Атомная энергия», 1974, т. 36, вып. 4, с. 312—313 с ил.
358. Vos K., Krusemeyer H. J. — «Solid State Commun.», 1974, v. 15, p. 945—952.
359. Каминский Б. Т., Плыгунов А. С., Прокофьев Г. Н. — «Укр. хим. ж.», 1973, с. XXXIX, вып. 9, с. 946—947 с ил.
360. Klingshirn C., Ostertag E., Levy R. — «Solid State Commun.», 1974, v. 15, № 5, p. 883—887.
361. Jensen G. H. — «Phys. Status Solidi (6)», 1974, v. 64, № 1, p. K51—K54.
362. Kearney R. J., Cottini M., Grilli E. a. o. — «Phys. Status Solidi (b)», 1974, v. 64, № 1, p. 49—56.
363. Богомолов В. Н., Брыксин В. В., Ситникова А. А. и др. — «Физика твердого тела», 1973, т. 15, № 8, с. 2347—2355 с ил.
364. Мокеров В. Г., Галиев Г. Б. — «Физика твердого тела», 1974, т. 16, № 1, с. 266—268 с ил.

365. Князев А. С., Захаров В. П., Митюрева И. А. и др. — «Физика твердого тела», 1973, т. 15, № 8, с. 2371—2377 с ил.
366. Извозчиков В. А., Шамба Е. М., Кишмария С. Р. — Журн. прикл. спектр. 1974, т. XX, вып. 5, с. 902—904 с ил.
367. Novak L. — «Solid State Commun.», 1971, v. 9, № 23, p. 2129—2133.
368. Ghosh A. X., Lauer R. B., Addise R. R. — «Phys. Rev. Bull.», 1973, v. 8, № 10, p. 4842—4848.
369. Tubbs M. R. — «Phys. Status Solidi (a)», 1974, v. 21, № 1, p. 253—260.
370. Крейнгольд Ф. И. — «Изв. АН СССР. Неорганические материалы», 1969, т. V, № 9, с. 1639—1640.
371. Вальтере А. Я., Бондарь И. А., Овсянкин В. В. — «Изв. АН СССР. Неорганические материалы», 1973, т. IX, № 3, с. 413—416 с ил.
372. Chen Y., Unruh W. P., Abraham M. M. e. a. — «J. Amer. Ceram. Soc.», 1973, v. 56, № 8, p. 438—439.
373. Finkenrath H., Fricke W., Uhle N. — «Phys. Status Solidi (b)», 1973, v. 60, № 1, p. 341—344.
374. Andrianov G. O., (Андрянов Г. О.), Aronov A. G. (Аронов А. Г.), Smirnova T. V., (Смирнова Т. В.). — «Phys. Status Solidi (b)», 1973, v. 60, № 1, p. 79—84.
375. Николаев В. И., Самохвалов А. А., Север Г. Н. — «Физика и техника полупроводников», 1975, т. 9, вып. 2, с. 379—380 с ил.
376. Klucker R., Nelkowski H., Park Y. S. и. а. — «Phys. Status Solidi (b)», 1971, v. 45, № 1, p. 265—272.
377. Grawford J. R., Dragsdorf R., Dean P. J. — «J. Appl. Phys.», 1973, v. 44, № 1, p. 385—388.
378. Ягодовская Т. В., Некрасов Л. И. — ЖФХ, 1971, т. XLV, вып. 9, с. 2329—2331 с ил.
379. Whited R. C., Christopher J. F., Walker W. C. — «Solid State Commun.», 1973, v. 13, № 11, p. 1903—1905.
380. Hughes A. E., Pells G. P. — «J. Phys. C», 1972, v. 5, № 17, p. 2543—2552.
381. Ratinen H. — «Phys. Status Solidi (a)», 1973, v. 15, № 2, p. K109—K111.
382. Heitmann W. — «Appl. Opt.», 1973, v. 12, № 2, p. 394—397.
383. Buchenau U., Müller I. — «Solid State Commun.», 1972, v. 11, № 9, p. 1291—1293.
384. Сатыбаев Н. М., Малов М. М. — В сб. «Труды Московского энергетического института». М.—Л. Госэнергоиздат, 1972, вып. 12, с. 102—108 с ил.
385. Pandey K. N., Kanari P. S., Singh V. B. — «Labdev J. Sci. and Technol. (A)», 1971, v. 9, № 3—4, p. 220—221.
386. Hvam J. M. — «Solid State Commun.», 1973, v. 12, № 2, p. 95—97.
387. Riemann E., Young L. — «J. Appl. Phys.», 1973, v. 44, № 3, p. 1044—1049.
388. Милославский В. К. «Оптика и спектроскопия», 1959, т. VII, вып. 2, с. 244—246 с ил.

389. Wolffing B., Hurich Z. — «Phys. Status Solidi (a)», 1973, v. 16, № 2, p. K161—K163.
390. Tomotika T., Ftany Y., Tomioka K. — «J. Phys. Soc. Jap.», 1972, v. 33, № 2, p. 409—414.
391. Linares R. C. — «J. Phys. and Chem. Solids», 1967, v. 28, № 7, p. 1285—1289.
392. Satyanarayana M., Ramakrishna V. — «Indian J. Pure and Appl. Phys.», 1972, v. 10, № 11, p. 844—847.
393. Афанасьев Л. А., Михо В. В., Щегольков С. В. и др. — «Изв. вузов. Физика», 1972, вып. 11, с. 102—104 с ил.
394. Thomas J. H. — «Appl. Phys. Lett.», 1973, v. 22, № 8, p. 406—408.
395. Deb S. K. — «Phil. Mag.», 1973, v. 27, № 4, p. 801—822.
396. Feinbeib J., Scouler W. J., Ferretti A. — «Phys. Rev. Bull.», 1968, v. 165, № 3, p. 765—770.
397. Hanafi Z. M., Ismail F. M. — «Z. Phys. Chem.», 1972, Bd 79, № 5—6, S. 263—267.
398. Dibierzewska—Mozrzymas E., Marcinow T., Pietrasik J. — «Optica Applic.», 1972, v. 2, № 1, p. 23—26.
399. Izvozchikov V. A. (Извозчиков В. А.), — «Phys. Status Solidi (a)», 1972, v. 14, № 1, p. 161—170.
400. Фидря А. К. — В сб. «Физика твердого тела». Киев, «Наукова думка», 1972, с. 34—40 с ил.
401. Harvey P. J., Childs B. G., Moerman G. — «J. Amer. Ceram. Soc.», 1973, v. 56, № 3, p. 134—136.
402. Мохняк Я. — «Журн. прикл. спектроск.», 1973, т. XVIII, вып. 5, с. 917—919 с ил.
403. Hulin D., Benoit a la Guillaume C., Hanus J. — «Magn. and Magn. Mater. 17-th AJP Annual Conf. N. Y.», 1972, p. 850—854.
404. Дулепов Е. В., Бацанов С. С., Кустова Г. Н. — «Журн. структ. химии», 1972, т. 13, № 5, с. 935—938 с ил.
405. Федоров Н. Д. Краткий справочник инженера-физика. Ядерная физика. Атомная физика. М., Госатомиздат, 1961. 507 с. с ил.
406. Гордеев И. В., Кардашев Д. А., Малышев А. В. Справочник по ядерно-физическими константам для расчета реакторов. М., Госатомиздат, 1960. 280 с. с ил.
407. Справочник по ядерной физике. Пер. с англ. под ред. Л. А. Арцимовича. М., Физматгиз, 1963. 632 с. с ил.
408. Wilks R. S. — «J. Nucl. Mat.», 1968, v. 26, № 2, p. 137—173.
409. Окись бериллия. Труды Первой международной конференции по окиси бериллия. Сидней, 1963. Пер. с англ. Под ред. Р. А. Беляева, В. И. Кушаковского. М., Атомиздат, 1968. 504 с. с ил.
410. Keilholtz G. W., Lee J. E., Moore R. E. — «Nucl. Sci. and Engng.», 1966, v. 26, № 3, p. 329—338.
411. «Reactor Materials», 1967, v. 10, № 2, p. 87—88, ill.
412. Hickman B. S., Walker D. G. — «Phil. Mag.», 1965, v. 11, № 114, p. 1101—1108.
413. Wilks R. S., Desport G. A., Bradley R. — «Proc. Brit. Ceram. Soc.», 1967, № 7, p. 403—421.

414. *Keilholtz G. W., Moore R. E.*, «Nucl. Applic.», 1967, v. 3, № 11, p. 686—691, ill.
415. *Collins C. G.* Proc. Symp. «Radiation Damage in Reactor Materials», JAEA, Vienne, 1963, p. 725—745.
416. *Кроуфорд Дж., Виттелс М.* Ядерное горючее и реакторные материалы. М., Госатомиздат, 1959, т. 6, с. 435—453 с ил.
417. *Mac-Chesney J. B., Johnson G. E.* — «J. Appl. Phys.», 1964, v. 35, № 9, p. 2784—2785.
418. *Вуллаэрт Р. А., Бюриан Р. Дж., Мелехан Дж. Б. и др.* — В кн.: Влияние облучения на материалы и элементы электронных схем. М., Атомиздат, 1967, с. 142—232 с ил.
419. *Ластман Б.* Радиационные явления в двуокиси урана. М., Атомиздат, 1964, 288 с. с ил.
420. *Rau R. C., Chase G. A.* — «Phys. Status Solidi», 1967, v. 19, № 2, p. 645—654.
421. *Hickman B. S., Walker D. G.* — «J. Nucl. Mater.», 1963, v. 10, № 3, p. 243—245.
422. *Hickman B. S.* — «J. Nucl. Mater.», 1965, v. 17, № 3, p. 270—273.
423. *Elston J., Labbe C.* — «J. Nucl. Mater.», 1961, v. 4, № 2, p. 143—165.
424. *Cooper M. K., Palmer A. R., Stolarski G. Z. A.* — «J. Nucl. Mat.», 1963, v. 9, № 3, p. 320—326.
425. *Будылин Б. В., Воробьев А. А.* Действие излучений на ионные структуры. М., Госатомиздат, 1962. 167 с. с ил.
426. *Беляев Р. А.* Окись бериллия. М., Госатомиздат, 1962. 329 с. с ил.
427. Основы радиационного материаловедения стекла и керамики. 1971. М., Стройиздат. 256 с. с ил. Авт.: С. М. Бреховских, Ю. Н. Викторова, Ю. Л. Гринштейн, Л. М. Ланда.
428. «Reactor Materials», 1966, v. 9, № 2, p. 94—96.
429. «Reactor Materials», 1966—1967, v. 9, № 4, p. 221—222, ill.
430. *Rau R. C., Lacefield K.* — «Phys. status Solidi», 1967, v. 21, № 1, p. K69—K71, ill.
431. *Славута В. И., Шинаков А. А.* В кн.: Радиационные повреждения в твердых телах (тезисы докладов республиканского совещания). Киев, Изд-во ИФ АН УССР, 1974, с. 129—130 с ил.
432. *Groves G. W., Kelly A.* — «Phil. Mag.», 1963, v. 8, № 93, p. 1437—1454.
433. *Костюков Н. С., Харитонов Ф. Я., Антонова Н. П.* Радиационная и коррозионная стойкость электрокерамики. М., Атомиздат, 1973. 223 с. с ил.
434. *Dan G. J., Davis M. V.* — «Nucl. Sci. and Engng.», 1965, v. 21, № 1, p. 30—33.
435. *Гуськов Ю. К., Сачков В. Ф.* — «Атомная энергия», 1959; т. 6, вып. 2, с. 204—205 с ил.
436. *Гулямов У. Г., Костюков Н. С., Соколов А. П.* — В кн.: Вопросы атомной науки и техники; серия «Радиационное материаловедение, методика и техника облучения». Вып. I. Дмитровград, Изд-во НИИАР, 1973, с. 35—38 с ил.

437. *Rau R. C., Bartram S. F.* — «J. Amer. Ceram. Soc.», 1965, v. 48, № 5, p. 233—235.
438. *Mc Vay T. N.* — «J. Amer. Ceram. Soc.», 1962, v. 45, № 1, p. 48.
439. *Martin D. G.* — «J. Phys. and Chem. Solids», 1959, v. 10, № 1, p. 64—65.
440. *Veevers K.* — «J. Nucl. Mater.», 1971, v. 40, № 3, p. 289—295.
441. *Sabine T. M., Pryor A. W., Hickman B. S.* — «Phil. Mag.», 1963, v. 8, № 85, p. 43—57.
442. *Rau R. C.* — «Phil. Mag.», 1967, v. 16, № 142, p. 663—677.
443. *Bowen D. H., Clarke F. J. P.* — «Phil. Mag.», 1964, v. 9, № 99, p. 413—420.
444. *Walker D. G., Hickman B. S.* — «Phil. Mag.», 1965, v. 12, № 117, p. 445—451.
445. *Худяков А. В., Маракуева Н. А., Клименков В. И., Баландин Г. С.* — «Атомная энергия», 1968, вып. 24, № 5, с. 483—485.
446. *Рипан Р., Четяңц И.* Неорганическая химия, ч. I. II. М., «Мир», 1972. 1431 с. с ил.
447. *Коттон Ф., Уилкинсон Дж.* Современная неорганическая химия. М., «Мир», 1969, т. I, 223 с. с ил.; т. II, 494 с. с ил.; т. III, 588 с. с ил.
448. *Реми Г.* Курс неорганической химии. М., ИЛ, 1963, т. I, 920 с. с ил., т. II — 836 с. с ил.
449. *Зеликман А. Н., Меерсон Г. А.* Металлургия редких металлов. М., «Металлургия», 1973. 607 с. с ил.
450. *Некрасов Б. В.* Основы общей химии, ч. I, II. М., «Химия», 1973. 1344 с. с ил.
451. Бор, его соединения и сплавы. Киев, Изд-во АН УССР, 1960. 590 с. с ил. Авт.: Г. В. Самсонов, Л. Я. Марковский, А. Ф. Жигач, М. Г. Валяшко.
452. *Никитин И. В., Росоловский В. Я.* — «Успехи химии», 1971, т. XL, вып. II, с. 1913—1934.
453. *Бэгнал К.* Химия селена, теллура и полония. М., Атомиздат, 1971, 216 с. с ил.
454. *Дратовски М., Пачесова Л.* — «Успехи химии», 1968, т. XXXVII, вып. 4, с. 537—558.
455. Редкие земли в катализе. М., «Наука», 1972. 262 с. с ил. Авт.: Х. М. Миначев, Ю. С. Ходаков и др.
456. *Давидянц А. А., Первушин Н. И.* Производство катализаторов крекинга и высокоактивных силикагелей. М., «Химия», 1972. 168 с. с ил.
457. *Боресков Г. К.* Катализ, ч. I, II. Новосибирск, Изд-во СО АН СССР, 1971. 268 с. с ил.
458. Катализ в кипящем слое. Под ред. проф. И. П. Мухленова. М., «Химия», 1971. 312 с. с ил.
459. *Сокольский Д. В., Попова Н. М.* Каталитическая очистка выхлопных газов. Алма-Ата, «Наука», 1970. 190 с. с ил.
460. *Сокольский Д. В., Жубанов К. А.* Гидрирование растительных жиров. Алма-Ата, «Наука», 1972. 182 с. с ил.
461. В сб. Гетерогенный катализ в реакциях получения и превраще-

- ния гетероциклических соединений. Под ред. С. А. Гиллера и др. Рига, «Зинатне», 1971. 259 с. с ил.
462. Технология катализаторов. Под ред. И. П. Мухленова. Л., «Химия», 1974. 325 с. с ил.
463. Скарченко В. К. Алюмосиликатные катализаторы. Киев, Изд-во АН УССР, 1963. 120 с. с ил.
464. Томас Дж., Томас У. Гетерогенный катализ. М., «Мир», 1969. 452 с. с ил.
465. Кинетика гетерогенно-катализитических процессов под давлением. Под ред. В. И. Атрощенко. Харьков, Изд-во ХГУ, 1974. 168 с. с ил.
466. Катализитические свойства веществ. Справочник под ред. В. А. Ройтера. Киев, «Наукова думка», 1968. 1463 с.
467. Справочное руководство по катализаторам для производства аммиака и водорода. Пер. с англ. Под ред. В. П. Семенова. Л., «Химия», 1973. 245 с. с ил.
468. Марковский Л. Я., Оршанский Д. Л., Прянишников В. П. Химическая электротермия. Л.—М., Госхимиздат, 1952. 408 с. с ил.
469. Johnson P. — «J. Amer. Ceram. Soc.», 1950, v. 33, № 5, p. 168—171.
470. Kroll W., Schlechter A. — «Trans. Electrochem. Soc.», 1948, v. 93, № 5, p. 247—251.
471. Mallet M., Durbin E., Udy M. a. o. — «J. Electrochem. Soc.», 1954, v. 101, p. 298—305.
472. Dayton R., Oxley J., Townley C. — «J. Nucl. Mater.», 1963, v. 11, № 1, p. 36—38.
473. Norton F., Kingery W. Study of metal-ceramic interactions at elevated temperatures, USAEC, N-YO-3137. Mass. Inst. of technol. Cambridge, Massachusetts, 1952. 620 p.
474. Economos G. — «Industr. and Engineer. Chem.», 1953, v. 45, № 2, p. 458—459.
475. Economos G., Kingery W. — «J. Amer. Ceram. Soc.», 1953, v. 36, № 12, p. 403—409.
476. Buddry J., Trachay R. — «J. Inorg. and Nucl. Chem.», 1956, v. 3, № 3/4, p. 190—195.
477. Kroll W. — «Z. anorgan. und allgem. Chem.», 1939, Bd 240, № 4, S. 331—336.
478. Самсонов Г. В. — «Огнеупоры», 1956, № 3, с. 122—138.
479. In book: Fornwalt D., Gourley B., Manzione A. — «Electron Microprobe», N. Y.—L.—Sydney, 1966, p. 581—603.
480. Kieffer R., Benesovsky F. — «Metallurgie», 1958, v. 58, № 347, p. 119—124.
481. Johnson P. — «J. Amer. Ceram. Soc.», 1949, v. 32, № 10, p. 316—319.
482. Августиник А. И., Козловский Л. В., Климашин Г. М. — «Изв. вуз. Химия и химическая технология», 1966, т. 9, № 4, с. 528—532.
483. Weiz C., Valkenberg A. — «J. Res. Nat. Bur. Standards», 1960, v. 64, № 1, p. 103—105.
484. Geller R., Yavorsky P. — «J. Res. Nat. Bur. Standards», 1945, v. 35, № 1, p. 87—91.

485. Зуева Л. С., Година Н. А., Келер Э. К. — «Огнеупоры», 1960, № 8, с. 368—370.
486. Трехсвятский С. Г., Кушаковский В. И. — «Атомная энергия», 1960, т. 9, № 1, с. 56—58.
487. Corwin R., Eyerly G. — «J. Amer. Ceram. Soc.», 1953, v. 36, № 4, p. 137—139.
488. Гопиенко В. Г., — «Огнеупоры», 1971, № 6, с. 55—58.
489. Самсонов Г. В., Бурыкина А. Л., Страшинская Л. В. и др. — «Изв. АН СССР. Металлургия и горное дело», 1964, № 4, с. 106—115.
490. Калякин Л. И., Дегтярева Э. В. — «Бюл. научно-техн. информации ВНИИО», 1958, № 4, с. 91—97.
491. Osvald M. — «Metaux. Corrosion industr.», 1952, v. 75, p. 318—321.
492. Киндфери В. Д. — В кн.: Исследования при высоких температурах. М., ИЛ, 1962, с. 126—147 с ил.
493. Lambertson W., Mueller M. — «J. Amer. Ceram. Soc.», 1953, v. 36, № 10, p. 329—334.
494. Albaugh F. — «Reactor Core Mater.», 1960, v. 3, № 4, p. 15—17.
495. Foster L., Long G., Hunter M. — «J. Amer. Ceram. Soc.», 1956, v. 39, № 1, p. 1—11.
496. Елютин В. П., Павлов Ю. А., Челноков В. С. — «Изв. АН СССР. Неорганические материалы», 1973, т. IX, № 8, с. 1365—1366.
497. Жмудь Е. С., Шмелев А. Е. — «Изв. АН СССР. Неорганические материалы», 1973, т. IX, № 10, с. 1733—1737.
498. Этингер И. А., Мальцева Л. Ф., Саврацкая Л. А. и др. — В сб. «Тугоплавкие карбиды». Киев, «Наукова думка», 1970, с. 260—265 с ил.
499. Navias L. — «Amer. Ceram. Soc. Bull.», 1959, v. 38, № 5, p. 256—260.
500. Osipov K. A., Галкин Б. Д., Уразалиев У. С. — «Изв. АН СССР. Неорганические материалы», 1973, т. 9, № 10, с. 1738—1740.
501. Wilkinson W. Uraniшт Metallurgy. N. Y.—L., 1962, 327 р.
502. O'Connor T. E. Патент США, кл. 23—191, № 3261667, опубл. 19. VII. 1966.
503. Kotera Y., Ueno A. — «Bull. Chem. Soc. Jap.», 1973, v. 46, № 11, p. 3431—3434.
504. Харитонов В. И., Манухин М. С., Шамрай Ф. И. — «Изв. АН СССР. Металлы», 1968, № 6, с. 227—231.
505. Рябчиков И. В., Хрущев М. С., Максимов Ю. С. — «Изв. АН СССР. Металлургия и горное дело», 1964, № 6, с. 58—63.
506. Рябчиков И. В., Горох А. В., Хрущев М. С. и др. — «Металлы», 1966, № 4, с. 38—43.
507. Угай Я. А., Твердохлебова Л. Я., Анохин В. З. и др. — «Изв. АН СССР. Неорганические материалы», 1974, т. 10, № 6, с. 1033—1035.
508. Борисов В. Г., Юдин Б. Ф. — «Огнеупоры», 1968, № 3, с. 37—40.
509. Williams J., Livey D. T., Barnes E. a. o. — «J. Nucl. Energ.», 1957, v. 4, № 2, p. 164—178.

510. Цынкина В. М. — «Бюл. научно-техн. информации ВНИИО», 1958, № 3, с. 98—100.
511. Nadler M. P., Fitzsimmons E. S. — «J. Amer. Ceram. Soc.», 1955, v. 38, № 8, p. 214—217.
512. Швейкин Г. П. — «Порошковая металлургия», 1962, № 6, с. 67—71.
513. Meerzon Г. А. — «Изв. АН СССР. Металлургия и топливо», 1962, № 3, с. 33—37.
514. Norton F. H. Refractories. N. Y., 1949, 798 р.
515. Косолапова Т. Я., Федорус В. Б., Кузьма Ю. Б.—«Изв. АН СССР. Неорганические материалы», 1966, т. 2, № 8, с. 1516—1519 с. ил.
516. Gilles J. — «Rev. hautes temperat. et refract.», 1965, v. 2, № 3, p. 237—263.
517. Гольдштейн Л. М., Калиниченко И. И., Шейнкман А. И., Турлатов В. Н. — ЖНХ, 1973, т. 18, № 12, с. 3185—3188.
518. Manojlovic L., Ristic M. — «Institute of Nuclear Sciences Boris Kidic.», NR—012—0373, Vinca—Belgrade, 1962. 287 р.
519. Рубинчик Я. С., Прокудина С. А., Павлюченко М. М. — «Изв. АН СССР. Неорганические материалы», 1973, т. 9, № 11, с. 1951—1956.
520. Ашин А. К., Ростовцев С. Т. — «Изв. вуз. Черная металлургия», 1964, № 4, с. 11—19.
521. Kohl H., Marincek B. — «Arch. Eisenhüttenwesen», 1967, Bd 38, № 7, S. 493—506.
522. Хрусталев Б. Н., Леонович Б. И. — «Научные труды Челябинского политехнического ин-та», 1974, № 133, с. 42—46.
523. Елютин В. П., Павлов Ю. А., Поляков В. Н. — «Изв. вуз. Черная металлургия», 1966, № 7, с. 6—11.
524. Suzuki H., Iseki T., Nakamura T. — «J. Nucl. Sci. and Technol.», 1973, v. 10, № 6, p. 360—366.
525. White J. — «Powder Metallurgy», 1965, v. 8, № 15, p. 64—80.
526. Левицкий В. А., Ченцов В. Н., Сколис Ю. Я.—ЖФХ, 1974, т. XLVIII, № 3, с. 566—569.
527. Lang S. — «Nat. Bur. Stand. Circular», № 568, Washington, 1956. 52 р. ил.
528. Елютин В. П., Павлов Ю. А., Манухин А. В., Мелехин В. Ф. — «Изв. вузов. Черная металлургия», 1970, № 1, с. 5—8.
529. Liquid Metall Handbook, 2-ed., N. Y., 1954, 275 р.
530. Campbell J. B. — «Materials and Methods», 1950, v. 31, № 5, p. 95—63.
531. Жаропрочные и коррозионностойкие металлокерамические материалы. Под ред. Малькова Л. П. М., Оборонгиз, 1959. 477 с. с ил.
532. Kura G., Jackson J. H., Udy M. C. a. o. — «J. Metals», 1949, v. 1, № 10, p. 769—778.
533. Manning Ch., Stoops R. — «J. Amer. Ceram. Soc.», 1968, v. 51, № 8, p. 411—415.
534. Ere Kekauisu, Yogyo Kyokaishi. — «J. Ceram. Assoc. Japan», 1966, v. 74, № 850, p. 183—190.

535. Гронянов В. М., Юдин Б. Ф., Августиник А. И. — «Огнеупоры», 1966, № 10, с. 50—55 с ил.
536. Августиник А. И., Гронянов В. М., Дроэдецкая Г. В. и др. — «Огнеупоры», 1964, № 12, с. 570—574.
537. Зверев Г. Л. — «Металлы», 1969, № 4, с. 253.
538. Баскин М. П., Третьяков В. И., Чапорова И. Н. — ФММ, 1961, т. 12, № 6, с. 860—864.
539. Страхов В. И., Ключаров А. В., Сергеев Г. Г. — «Журн. прикл. химии», 1973, т. 46, № 9, с. 2083—2085.
540. Плющев В. Е., Кушаковский В. И., Жидков Б. А. и др. — «Изв. АН СССР. Неорганические материалы», 1968, т. IV, № 5, с. 738—744.
541. Brewer Z., Krikorian O. — «J. Electrochem. Soc.», 1956, v. 103, № 1, p. 38—50.
542. Сажин Н. П., Колчин О. П., Сумарокова Н. В. — «Изв. АН СССР. Металлургия и топливо», 1961, № 6, с. 8—23.
543. Елютин В. П., Павлов Ю. А., Шеболдаев С. Р. — «Изв. АН СССР. Металлы», 1967, № 6, с. 21—25.
544. Magneli A., Kihlorg D. — «Acta Chem. Scand.», 1951, v. 5, № 4, p. 578—579.
545. Pitman D., Das D. — «J. Electrochem. Soc.», 1960, v. 107, № 9, p. 763—766.
546. Smithells C. Metals Reference Book, v. 2, L., 1955, 967 p.
547. Brewer L., Sawyer D. L., Tempeston D. H. a. o. — «J. Amer. Ceram Soc.», 1951, v. 34, № 6, p. 173—179.
548. Seddon B. — «Miss. Reactor Group U. K. Atomic Energy Author. Rept.», № 842 (R), 1965. 278 p.
549. «Reactor Core Materials», 1961, v. 4, № 4, p. 14—17.
550. Craven B., Mc Cartney E. — «J. Amer. Ceram. Soc.», 1961, v. 44, № 1, p. 12—15.
551. Meerzon Г. А., Котельников Р. Б., Башлыков С. Н. — «Атомная энергия», 1960, т. 9, № 5, с. 387—391.
552. Nuclear reactor fuel elements. Metallurgy and Fabrication. N. Y.—L., 1962. 716 p.
553. Scott R., Williams L. — «Trans. Brit. Ceram. Soc.», 1958, v. 57, № 3, p. 199—201.
554. Nichols R. — «Nucl. Engng», 1958, № 29, p. 327—330.
555. Spengler C., Bratton R. — «J. Nucl. Mater.», 1971, v. 38, № 2, p. 217—220.
556. Gangler J. — «Nucl. Sci. Abs.», 1960, № 8, p. 76—96.
557. В кн.: Металловедение реакторных материалов. Обзоры института им. Беттла, т. I. М., Госатомиздат, 1961, с. 182, 205—206 с ил.
558. Amato I., Colombo R., Petruccioli Balzari A. — «J. Nucl. Mater.», 1966, v. 19, № 2, p. 190—192.
559. Конельман Б. Материалы для ядерных реакторов. М., Атомиздат, 1962. 496 с. с ил.
560. Stoops R., Hamme J. — «J. Amer. Ceram. Soc.», 1964, v. 47, № 2, p. 59—62.

561. Elston J., Gulne P. — «Bull. inform. scient. et techn. Commissar, energie atom.», 1966, № 100, p. 101—106.
 562. Chikalla T., «J. Amer. Ceram. Soc.», 1963, v. 46, № 7, p. 323—328.
 563. Handwerk I., White G. D., Hill D. C. — «J. Amer. Ceram. Soc.», 1963, v. 46, № 1, p. 29—32.
 564. Baskin Y. — «J. Amer. Ceram. Soc.», 1965, v. 48, № 12, p. 652—653.
 565. Humenik M., Kingery W. D. — «J. Amer. Ceram. Soc.», 1954, v. 37, № 1, p. 18—27.
 566. Еременко В. Н., Найдич Ю. В. Змочування рідкими металами поверхні тугоплавких сполук. Київ, «Наукова думка», 1958. с. 58 з іл.
 567. Livey D., Murray P. Warrufeste und Korrosionbeständige Sinterwerkstoffe. Reut-Tirol, 1956, S. 321.
 568. Еременко В. Н., Найдич Ю. В. — ЖФХ, 1959, т. XXXIII, с. 1238—1243.
 569. Kingery W. D. — «Amer. Ceram. Soc. Bull.», 1956, v. 35, № 4, p. 108—117.
 570. Tangermann J., Neue Hütte, 1961, Bd 6, S. 767—778.
 571. Еременко В. Н. — «Укр. хим. журн.», 1957, т. 23, с. 573—579.
 572. Левин А. М. Труды Днепропетровского металлургического института, изд. ДМЕТИ, 1958, № 28, с. 89—96.
 573. M. Tikkanen M., Jerkontorets H.—«Annaler», 1963, v. 147, p. 37—49.
 574. Lutton F. A., Cashmore. — Англ. пат. № 729342 от 4. V. 1955.
 575. Кислый П. С., Панасюк А. Д., Белых А. Б. — «Изв. АН СССР. Неорганические материалы», 1975, т. XI, № 9, с. 1600—1603
 576. Bradhurst D. H., Buchanan A. S. — «J. Phys. Chem.», 1959, v. 62, p. 1486—1493.
 577. Paller M. — «Neue Hütte», 1963, Bd 8, S. 747—754.
 578. Bondi A. — «Chem. Rev.», 1953, v. 52, p. 417—431.
 579. Loman R., Zwikker N. P. — «Physica», 1934, v. 1, p. 1181—1187.
 580. Yanagida Hiroaki, Kröger F. A. — «J. Amer. Ceram. Soc.», 1968, v. 51, № 12, p. 700—706.
 581. Sari C., Zamorani E. — «J. Nucl. Mater.», 1970, v. 37, № 3, p. 324—330.
 582. Kepinski J., Kalucki K. — «Can. J. Chem.», 1970, v. 48, № 15, p. 2320—2323.
 583. Chikalla T. D., Eyring L. — «J. Inorg. and Nucl. Chem.», 1969, v. 31, № 1, p. 85—93.
 584. Johnson R. E., Muan A. — «J. Amer. Ceram. Soc.», 1958, v. 51, № 8, p. 430—433.
 585. Ольшанский Я. И., Шлепов В. К. — ДАН СССР, 1953, т. 91, с. 561—564 с ил.
 586. Эллиот Р. П. Структура двойных сплавов. Пер. с англ. Т. I, II. Под ред. И. И. Новикова и И. Л. Рогельберга. М., «Металлургия», 1970, 928 с. с ил.
 587. Hofmann W., Klein M. — «Z. Metallkunde», 1966, Bd 57, № 5, S. 385—391.

588. Gerlach J., Osterwald J., Stichel W. — «Z. Metallkunde», 1968, Bd. 59, № 7, S. 576—579, ill.
589. Shafer M. W., Torrance J. B., Penney T. — «J. Phys. Chem. Solids», 1972, v. 33, № 12, p. 2251—2266.
590. Natola F., Touzain Ph. — «Canad. J. Chem.», 1970, v. 48, № 13, p. 1955—1958.
591. Hed A. Z., Tannhauser D. S. — «J. Electrochem. Soc.», 1967, v. 114, № 4, p. 314—318.
592. Schmahl N. G., Hennings Detlev F. K. — «Arch. Eisenhüttenwesen», 1969, Bd 40, № 5, S. 395—399.
593. Phillips B., Chang L. L. I. — «Trans. Met. Soc. AIME», 1965, v. 233, № 7, p. 1433—1436.
594. Barrett C. S., Meyer L., Greer S. C. a. o. — «J. Chem. Phys.», 1968, v. 48, № 6, p. 2670—2673.
595. Ниобий и его сплавы. М., Металлургиздат, 1961. 368 с. с ил. Авт.: Г. В. Захарова, И. А. Попов, Л. П. Жорова, Б. В. Федин.
596. Marucco J.—F., C. r. Acad. Sci., 1972, v. C275, № 23, p. 1391—1394.
597. Богацкий Д. П. Журн. общей химии. 1951, т. 21, № 1, с. 3—10.
598. Stammel M. — «Metall», 1959, Bd 13, № 8, S. 750—752.
599. Hude B. G., Bevan D. J. M., Eyring L. — «Phil. Trans. Roy. Soc.», L., 1966, Ser. A, v. 259, № 1106, p. 583—612.
600. Touzoin Ph., Caillet M. — «Rev. Chim. miner.», 1971, v. 8, № 2, p. 277—286.
601. Burnham D. A., Eyring L., Kordis J. — «J. Phys. Chem.», 1968, v. 72, № 13, p. 4424—4431.
602. Wahlbeck Ph. G., Gilles P. W. — «J. Amer. Ceram. Soc.», 1966, v. 49, № 4, p. 180—183.
603. Корнилов И. И. — В кн.: Новый конструкционный материал — титан. М., «Наука», 1972, с. 24—30, с ил.
604. Martin A. E., Edwards R. K. — «J. Phys. Chem.», 1965, v. 69, № 5, 1788 р.
605. Stringer J. — «J. Less—Common Metals», 1965, v. 8, № 1, p. 1—14.
606. Alexander D. G., Carlson O. N. — «Met. Trans.», 1971, v. 2, № 10, p. 2805—2811.
607. Mc-Chesney J. B., Guggenheim H. J. — «J. Phys. and Chem. Solids», 1969, v. 30, № 2, p. 225—234.
608. Phillips B., Change L. L. I. — «Trans. Metal. Soc. AIME», 1964, v. 230, № 5, p. 1203—1206.
609. Ruh R., Garrett H. J. — «J. Amer. Ceram. Soc.», 1967, v. 50, № 5, p. 257—261.
610. Калиненко Д. И., Коханенко П. Н., Сончик В. К. — «Изв. вуз. Физика», 1974, вып. 6, с. 116—121 с ил.
611. Freeouf J. L. — «Phys. Rev. B.», 1973, v. 7, № 8, p. 3810—3830.
612. Сорокин О. М., Бланк В. А., Лебедева Г. А. — «Оптика и спектроскопия», 1973, т. XXXV, вып. 3, с. 501—507 с ил.
613. Жузе В. П., Лукирский Д. П., Старцев Г. П. — ФТТ, 1971, т. 13, вып. 1, с. 317—319 с ил.

614. *Messick L., Walker W. C., Glosser R.* — «Surface Science», 1973, v. 37, № 1, p. 267—279.
615. *Попова С. И., Толстых Т. С., Ивлев Л. С.* — «Оптика и спектроскопия», 1973, т. XXXV, вып. 5, с. 954—955 с ил.
616. *Deiss J. L., Daunois A.* — «Surface Science», 1973, v. 37, № 3, p. 804—827.
617. *Золотарев В. М., Морозов В. Н.* — «Оптика и спектроскопия», 1973, т. XXXIV, вып. 2, с. 319—322 с ил.
618. Физические свойства халькогенидов редкоземельных элементов. Под ред. В. П. Жузе. Л., «Наука», 1973. 304 с. с ил.
619. *Liddell H. M.* — «J. Phys. D.», 1974, v. 7, № 11, p. 1588—1596.
620. *Попова С. И., Толстых Т. С., Воробьев В. Т.* — «Оптика и спектроскопия», 1972, т. XXXIII, вып. 4, с. 801—803 с ил.
621. *Mc-Roberts R. D., Fonstad C. G., Hubert D.* — «Phys. Rev. B.», 1974, v. 10, № 12, p. 5213—5219.
622. *Mc-Intyre J. D. E.* — «Surface Science», 1973, v. 37, № 2, p. 658—682.
623. *Самсонов Г. В., Гильман И. Я., Андреева А. Ф.* — «Изв. АН СССР. Неорганические материалы», 1974, т. X, № 9, с. 1645—1648 с ил.
624. *Grison E.* — «Plutonium 1960», Cleaver-Hume Press., Ltd., 1961. 160 p.
625. Im Buche: *Kuznetzowa W. G. (Кузнецова В. Г.), Reschetnikow R. G. (Решетников Р. Г.), Alexeev O. A. (Алексеев О. А.)*, — «Plutonium Reactor Fuel». Vienna, 1967, p. 357—371.
626. *Distefano I., Link H.* — «Nucl. Technol.», 1973, v. 19, № 1, p. 34—45.
627. *Veltz H.* — «J. Amer. Ceram. Soc.», 1950, v. 33, № 11, p. 340—344.
628. *Самсонов Г. В., Ясинская Г. А., Шиллер Э. А.* — «Огнеупоры», 1961, № 7, с. 335—338 с ил.
629. *Плотников К. А., Степанов А. И., Красильникова А. А. и др.* — «Изв. АН СССР. Неорганические материалы», 1971, т. VII, № 2, с. 343—344 с ил.
630. *Вольнов И. И., Матвеев В. В.* — «Редкие щелочные элементы». Новосибирск, «Наука» (Сибирское отделение), 1967, с. 31—35 с ил.
631. *Vogel D. L., Pieck G. D.* — «Acta Met.», 1971, v. 19, № 3, p. 233—245.
632. *Bondarenko V. P. (Бондаренко В. П.), Fomichev E. N. (Фомичев Е. Н.), Kandyuba V. V. (Кандюба В. В.)* — «High Temp.—High Pressures», 1973, v. 5, № 1, p. 5—7.
633. *Maglic K., Herak R.* — «Rev. Int. Hautes Temper. et Réfract.», 1970, v. 7, № 3, p. 247—251.
634. *Вайнштейн В. М., Фистуль В. И.* — В сб. «Электроника и ее применение». М., «Мир», 1973, т. 4, с. 108—125 с ил.
635. *Дарвойд Т. И., Дорофеева А. К., Попова М. А. и др.* — «Таллий и его применение в современной технике». Информация ин-та «Цветметинформация», 1972, сер. 15, вып. 6, с. 18—21 с ил.

636. Вайнштейн В. М., Фистуль В. И.—ФТП, 1970, т. 4, вып. 8, с. 1495—1499 с ил.
637. Таблицы физических величин. Справочник. Под ред. акад. И. К. Кикоина. М., «Атомиздат», 1976. 1008 с. с ил.
638. Справочник химика. т. I. Изд. 3-е, испр. Л., «Химия», 1971. 1072 с.
639. Филипов С. С. Теория металлургических процессов. М., «Металлургия», 1967. 279 с. с ил.
640. Морозов В. В., Куницкий Ю. А. Электродные материалы. Киев, КПИ, 1977. 56 с. с ил.

УКАЗАТЕЛЬ

свойств элементов и их окислов

Азот, N(N₂O, NO, N₂O₃, NO₂, N₂O₅, NO₃)

15, 17, 29, 31, 42, 46, 54, 61, 68, 74, 77, 97, 103, 106, 116, 121, 152, 154, 188, 190, 191, 218, 219, 221, 225, 254, 273, 301, 364, 424.

Актиний, Ac(Ac₂O₃)

41, 66, 72, 115, 273

Алюминий, Al(Al₂O, AlO, Al₂O₃)

15, 29, 32, 42, 47, 55, 60, 61, 68, 74, 77, 82, 93, 95, 98, 103, 107, 116, 121, 130, 136, 141, 152, 157, 169, 183, 189, 191—193, 195, 197—201, 203, 207—209, 211, 215, 218, 221, 223, 224, 226, 235, 238, 239, 243, 248, 251, 252, 255, 271, 273, 276, 277, 279—285, 287, 288, 290, 293, 304, 364, 392, 403—405, 412, 413, 418.

Америций, Am(AmO, Am₂O₃)

41, 67, 73, 91, 115, 168, 181, 234, 273, 362, 418.

Аргон, Ar

419.

Барий, Ba(Ba₂O, BaO, BaO₂)

16, 23, 29, 37, 38, 45, 50, 57, 65, 71, 79, 88, 94, 95, 101, 105, 112, 118, 147, 153, 164, 179, 202, 212, 216—218, 222, 223, 231, 236, 265, 273, 343, 344, 380, 398.

Бериллий, Be(BeO)

15, 17, 29, 31, 42, 46, 54, 60, 61, 68, 77, 82, 93—96, 103, 106, 116, 119, 120, 130, 136, 139, 152, 154, 169, 187, 191, 193, 195, 197—202, 210, 211, 215, 218, 221, 223—225, 235, 237, 238, 242, 247, 254, 271—274, 277, 278, 280—284, 286—289, 291, 298, 363, 388, 402, 411.

Берклий, Bk(Bk₂O₃)

67, 234, 273.

Бор, B(BO, B₂O₃, BO₂, B₄O₅)

15, 29, 31, 42, 46, 54, 61, 68, 74, 77, 93, 94, 96, 103, 106, 139, 155, 183, 187, 191, 215, 218, 221, 225, 235, 254, 273, 298, 363.

Бром, Br(Br₂O, BrO₂)

36, 63, 100, 104, 110, 218, 229, 273.

Ванадий, V(V₄O, V₂O₃, V₃O₅, VO₂, V₁₂O₂₆, V₂O₅)

15, 16, 19, 29, 33, 34, 43, 48, 55, 56, 59, 60, 62, 70, 75, 78, 84, 93, 95, 99, 104, 108, 117, 119, 124, 132, 138, 143, 152, 159, 172, 183, 189, 192, 201, 204, 210, 211, 214—218, 220, 221, 223, 224, 227, 249, 252, 253, 259, 273, 311—313, 369, 370, 394, 406, 413, 434, 435.

Висмут, Bi(Bi₂O₃, BiO₂, Bi₂O₅)

16, 26, 29, 41, 45, 52, 58, 66, 72, 76, 90, 94, 95, 102, 105, 114, 118, 202, 213, 215, 219, 224, 233, 237, 270, 273, 357, 386.

Водород, H(H₂O, HO, HO₂, D₂O, DO, DO₂, T₂O, TO, TO₂)

15, 17, 29, 30, 42, 46, 54, 61, 67, 73, 76, 81, 93, 103, 106, 116, 120, 154, 183, 184, 187, 190, 191, 193, 195, 198, 199, 201, 207, 210, 211, 214, 218, 220, 224, 225, 234, 254, 271—273, 275, 363.

Вольфрам, W(W₃O, WO₂, W₃O₈, WO₃)

16, 25, 29, 39, 45, 51, 58, 59, 65, 72, 76, 90, 94, 95, 101, 102, 105, 113, 119, 139, 166, 180, 184, 190, 202, 206, 213, 215, 216, 219, 222—224, 239, 268, 269, 273, 348, 349, 385, 416, 435.

Гадолиний, Gd(Gd₂O₃)

16, 24, 29, 38, 65, 89, 101, 113, 118, 134, 148, 153, 166, 193, 196, 197, 213, 215, 216, 219, 220, 222—224, 231, 237, 240, 245, 267, 273, 383.

Галлий, Ga (Ga₂O, GaO, Ga₂O₃)

15, 20, 29, 30, 42, 46, 54, 61, 67, 73, 76, 81, 93, 96, 103, 106, 116, 120, 154, 183, 184, 187, 190, 191, 193, 195, 198, 199, 201, 207, 210, 211, 214, 218, 220, 224, 225, 234, 254, 271—273, 295, 363.

Гафний, Hf(HfO, HfO₂)

16, 24, 29, 39, 45, 51, 58, 59, 65, 72, 90, 94, 101, 105, 113, 127, 134, 137, 138, 153, 166, 180, 190, 206, 213, 216, 219, 231, 236, 241, 246, 268, 273, 346, 385, 399.

Германий, Ge(Ge₂O₃, GeO, GeO₂)

15, 21, 29, 35, 49, 56, 63, 70, 75, 78, 86, 93—95, 99, 104, 110, 117, 132, 137, 138, 146, 152, 161, 177, 183, 189, 202, 212, 218, 228, 236, 253, 262, 273, 325, 377, 424.

Гольмий, Ho(Ho₂O₃)

16, 24, 38, 65, 89, 101, 113, 134, 148, 153, 213, 216, 219, 220, 222—224, 231, 237, 267, 273, 384.

Диспрозий, Dy(Dy₂O₃)

16, 24, 29, 38, 51, 65, 89, 101, 105, 113, 134, 148, 153, 194, 213, 216, 219, 220, 222—224, 231, 237, 267, 271, 273, 384.

Европий, Eu(EuO, Eu₁₆O₂₁, Eu₃O₄, Eu₂O₃, EuO)

16, 24, 29, 38, 51, 65, 89, 101, 112, 113, 134, 153, 165, 166, 213, 216, 219, 220, 222—224, 231, 237, 251, 252, 266, 271, 273, 383, 422.

Железо, Fe(FeO, Fe₃O₄, Fe₂O₃)

15, 16, 20, 29, 34, 43, 49, 56, 63, 70, 75, 78, 85, 93—95, 99, 104, 109, 117, 131, 138, 143, 144, 160, 174, 175, 183, 189, 193, 198, 201, 202, 205, 207, 212, 214, 215, 217—221, 223, 224, 228, 235, 236, 239, 249, 260, 273, 319, 373—375, 395, 406, 423, 424.

Золото, Au(Au₂O, AuO, Au₂O₃)

16, 40, 45, 52, 58, 66, 105, 114, 232, 237, 273, 353, 386.

Индий, In(In₂O, InO, In₂O₃)

16, 22, 37, 64, 71, 79, 87, 93—95, 100, 104, 111, 153, 163, 212, 215, 217, 224, 230, 236, 264, 273, 338, 380.

Иод, I(I₂O₄, I₄O₉, I₂O₅)

16, 29, 37, 65, 100, 105, 218, 230, 273, 342.

Иридий, Ir(Ir₂O₃, IrO₂)

16, 25, 40, 60, 66, 72, 94, 95, 102, 105, 114, 213, 232, 273, 352.

Иттербий, Yb(Yb₂O₃)

16, 24, 29, 38, 65, 89, 101, 113, 134, 153, 166, 194, 196, 197, 202, 213, 216, 219, 222—224, 231, 237, 268, 273, 384.

Иттрий, Y(Y₂O₃)

15, 21, 29, 36, 44, 49, 57, 64, 71, 93, 95, 100, 104, 110, 117, 125, 132, 146, 152, 162, 178, 202, 205, 212, 214, 215, 218, 222, 224, 229, 236, 240, 244, 263, 271, 273, 329, 378, 395, 436.

Кадмий, Cd(Cd₂O₃, CdO)

16, 22, 29, 37, 44, 50, 57, 64, 79, 93—95, 100, 104, 111, 117, 119, 126, 127, 147, 163, 201, 202, 212, 215, 217, 222, 224, 230, 236, 271, 273, 337, 380, 407.

Калий, K(K₂O, KO₂, KO₃)

15, 18, 29, 33, 43, 47, 55, 62, 69, 83, 93—95, 98, 103, 107, 116, 119, 158, 218, 219, 221, 227, 273, 308, 368, 424.

Калифорний, Cf(Cf₂O₃)

67, 273

Кальций, Ca(CaO, CaO₂, CaO₄)

15, 18, 29, 33, 43, 47, 55, 60, 62, 69, 78, 93—95, 98, 103, 108, 116, 123, 131, 142, 152, 158, 170, 191, 193, 195, 197, 199, 201, 203, 207, 208, 211, 215, 218, 221, 223, 227, 235, 239, 257, 271, 273, 309, 368, 393.

Кислород, O(O, O₂, O₃, O₄)

31, 54, 61, 68, 74, 77, 82, 97, 103, 106, 116, 119, 121, 157, 188, 191, 210, 218, 219, 225.

Кобальт, Co(CoO, Co₃O₄, Co₂O₃)

15, 20, 29, 35, 43, 44, 49, 56, 63, 70, 78, 86, 93—95, 99, 104, 109, 124, 131, 144, 160, 176, 189, 205, 212, 214, 217, 218, 220, 221, 223, 224, 228, 249, 260, 273, 320, 374, 395, 407, 421.

Кремний, Si(Si₂O₃, SiO₂)

15, 18, 29, 32, 42, 47, 55, 59, 61, 69, 74, 77, 82, 93—95, 98, 103, 107, 116, 119, 122, 131, 136, 138, 142, 152, 157, 170, 183, 189, 191, 193, 195, 197—203, 207, 208, 211, 215, 216, 218, 221, 224, 226, 235, 239, 243, 248, 251, 252, 256, 271, 273, 277, 279—284, 286, 287, 305, 367, 393, 405, 413, 430.

Ксенон, Xe(XeO)

101, 273.

Кюрий, Cm(Cm₂O₃, CmO₂)

67, 91, 135, 234, 273, 401, 421.

Лантан, La(La₂O, LaO, La₂O₃)

16, 23, 29, 38, 45, 51, 57, 65, 71, 80, 88, 94, 95, 101, 105, 112, 118, 119, 133, 137, 153, 164, 180, 212, 216, 218, 222—224, 231, 236, 265, 273, 345, 381, 398.

Литий, Li(Li₂O, LiO, LiO₃)

15, 30, 42, 46, 54, 61, 68, 76, 93—96, 103, 106, 154, 169, 190, 218, 225, 235, 273, 297, 363.

Лютейций, Lu(Lu₂O₃, LuO)

38, 39, 65, 101, 113, 127, 134, 148, 153, 166, 213, 216, 219, 222—224, 231, 237, 245, 268, 273, 385.

Магний, Mg(MgO, MgO₂)

15, 17, 29, 32, 42, 47, 55, 60, 61, 68, 77, 93—95, 97, 103, 106, 107, 116, 119, 121, 130, 139, 152, 156, 169, 191—193, 195, 197—201, 203, 207—211, 215, 218, 221, 223—226, 235, 238, 242, 247, 251, 255, 271, 273, 276—278, 280—283, 285, 287, 288, 290, 293, 304, 364, 390, 402, 411.

Марганец, Mn(MnO, Mn₂O₃, Mn₃O₄, MnO₂, Mn₂O₇)

15, 16, 19, 29, 34, 43, 48, 56, 59, 62, 63, 70, 75, 78, 85, 93—95, 99, 104, 109, 117, 131, 137, 143, 160, 173, 201, 204, 208, 211, 214, 217, 218, 220, 221, 223, 224, 228, 235, 249, 260, 273, 316—319, 372, 374, 394, 395, 425.

Медь, Cu(Cu₂O, CuO, Cu₂O₃, CuO₂)

15, 20, 29, 35, 44, 49, 56, 63, 70, 75, 93—95, 99, 104, 109, 117, 125, 138, 145, 160, 177, 189, 202, 205, 207, 208, 212, 214, 215, 217, 218, 220, 222—224; 228, 236, 250, 260, 261, 273, 321—323, 375, 407, 414, 422.

Молибден, Mo(Mo₂O₃, MoO₂, Mo₂O₅, MoO₃)

15, 16, 22, 29, 36, 44, 50, 57, 59, 64, 71, 75, 79, 87, 93—95, 100, 104, 111, 119, 146, 152, 163, 179, 183, 189, 202, 206, 216, 218, 223, 229, 250, 264, 273, 333, 378, 398, 415, 425.

Мышьяк, As(As₂O₃, As₂O₅, AsO)

15, 21, 29, 35, 44, 49, 56, 63, 70, 75, 78, 86, 93, 99, 104, 110, 117, 152, 161, 202, 218, 229, 236, 262, 273, 326, 327, 377.

Натрий, Na(Na₂O, Na₂O₃, NaO, NaO₂, NaO₃)

15, 17, 29, 31, 42, 47, 54, 55, 61, 68, 82, 93—95, 97, 103, 106, 156, 211, 219, 221, 225, 226, 273, 303, 364.

Неодим, Nd(Nd₂O₃, NdO, NdO₂)

16, 24, 38, 44, 51, 58, 65, 72, 80, 88, 94, 101, 105, 112, 118, 133, 153, 165, 213, 215, 216, 219, 220, 222—224, 231, 236, 253, 266, 273, 382, 398.

Нептуний, Np(NpO, NpO₂, NpO₃, Np₃O₈)

28, 41, 66, 115, 118, 154, 233, 273, 362.

Никель, Ni(NiO, NiO₂, Ni₂O₃, NiO₂)

15, 20, 29, 35, 44, 49, 56, 63, 70, 78, 86, 93—95, 99, 104, 109, 117, 124, 125, 132, 145, 160, 176, 189, 202, 205, 212, 214, 215, 217, 218, 220, 221, 223, 224, 228, 236, 239, 244, 250, 260, 273, 321, 375, 395, 407, 426.

Ниобий, Nb(NbO, Nb₂O₃, NbO₂, Nb₂O₅)

15, 21, 29, 36, 44, 49, 57, 59, 64, 71, 75, 79, 87, 93, 95, 100, 104, 110, 133, 137, 138, 146, 152, 162, 179, 183, 189, 202, 206, 212, 214, 217, 218, 220, 222, 223, 229, 236, 263, 273, 330, 331, 378, 398, 415, 426.

Олово, Sn(SnO, Sn₃O₄, SnO₂)

16, 22, 29, 37, 44, 50, 57, 64, 71, 79, 87, 93—95, 100, 105, 111, 117, 126, 133, 137, 147, 163, 179, 202, 206, 207, 212, 215, 217, 218, 222—224, 230, 236, 252, 273, 339, 340, 380, 429.

Осмий, Os(OsO₂, OsO₃, OsO₄)

16, 25, 29, 40, 60, 66, 72, 76, 80, 94, 95, 102, 105, 113, 167, 219, 232, 273, 351, 352, 386.

Палладий, Pd(PdO, Pd₂O₃, PdO₂)

15, 22, 59, 64, 95, 100, 104, 179, 212, 223, 230, 273, 336, 379.

Платина, Pt(PtO, Pt₂O₃, PtO₂, PtO₃)

25, 40, 60, 66, 72, 102, 105, 114, 180, 219, 232, 273, 352, 386.

Плутоний, Pu(PuO, Pu₂O₃, PuO₂)

28, 41, 58, 66, 67, 73, 91, 115, 135, 168, 233, 237, 273, 362, 401, 428.

Полоний, Po(PoO, PoO₂)

26, 41, 66, 72, 105, 114, 273, 358.

Празеодим, Pr(Pr₂O₃, Pr₆O₁₁)

16, 23, 38, 44, 57, 65, 72, 88, 94, 101, 105, 112, 133, 147, 153, 165, 180, 212, 215, 216, 220, 222, 224, 231, 236, 266, 273, 382, 427.

Прометий, Pm(Pm₂O₃)

16, 65, 88, 94, 105, 219, 273.

Протактиний, Pa(PaO, PaO₂, Pa₂O₅)

16, 41, 60, 66, 72, 102, 115, 233, 273, 359.

Радий, Ra(RaO₂)

16, 41, 66, 114, 273.

Рений, Re(ReO₂, ReO₃, Re₂O₇, ReO₄, Re₂O₉)

25, 29, 39, 40, 45, 51, 58, 59, 65, 66, 72, 76, 80, 94, 95, 102, 105, 113, 119, 166, 213, 219, 232, 269, 273, 274, 350, 351.

Родий, Rh(RhO, Rh₂O₃)

22, 37, 59, 64, 87, 95, 100, 104, 111, 137, 230, 273, 335, 336.

Ртуть, Hg(Hg₂O, HgO, HgO₂)

16, 26, 29, 40, 45, 52, 58, 66, 94, 105, 114, 118, 202, 219, 222, 232, 237, 269, 273, 353.

Рубидий, Rb(Rb₂O, RbO, Rb₂O₃, RbO₂, RbO₃)

15, 21, 36, 56, 63, 64, 71, 93—95, 100, 110, 117, 219, 229, 273, 328, 377, 429.

Рутений, Ru(RuO₂, RuO₄)

15, 22, 36, 57, 59, 64, 71, 75, 79, 95, 100, 104, 111, 126, 212, 230, 273, 335, 379.

Самарий, Sm(Sm₂O₃, SmO)

16, 24, 29, 38, 44, 58, 65, 72, 88, 94, 101, 105, 112, 118, 119, 133, 153, 165, 200, 213, 216, 219, 222—224, 231, 236, 240, 245, 266, 271, 273, 383.

Свинец, Pb(Pb₂O, PbO, Pb₃O₄, Pb₂O₃, PbO₂)

16, 26, 29, 41, 45, 52, 58, 66, 72, 76, 80, 90, 94, 95, 102, 105, 114, 118, 119, 127, 148, 167, 180, 184, 202, 213, 215, 217, 219, 222, 224, 232, 269, 270, 273, 335, 356, 386, 426, 427.

Селен, Se(SeO₂, SeO₃)

15, 21, 35, 63, 71, 73, 75, 79, 99, 104, 110, 161, 202, 218, 229, 236, 262, 273, 327, 328, 377.

Сера, S(SO, S₂O₃, SO₂, SO₃, SO₄)

15, 29, 32, 55, 62, 69, 74, 78, 98, 103, 107, 116, 123, 191, 211, 218, 221, 226, 273, 306, 307, 368.

Серебро, Ag(Ag₂O, AgO)

15, 16, 22, 37, 44, 50, 57, 64, 71, 75, 93—95, 100, 104, 111, 117, 138, 179, 218, 223, 230, 273, 336, 337, 380, 418.

Скандий, Sc(Sc₂O, Sc₂O₃, ScO)

15, 18, 29, 33, 47, 55, 62, 69, 93, 95, 98, 103, 108, 123, 131, 142, 152, 159, 193, 215, 218, 227, 235, 258, 273, 310, 369, 393.

Стронций, Sr(SrO, SrO₂, SrO₄)

15, 21, 29, 36, 44, 49, 56, 64, 71, 79, 93—95, 100, 110, 117, 125, 132, 146, 152, 161, 178, 191, 202, 209, 212, 215, 218, 222—224, 229, 236, 262, 271, 273, 328, 329, 377, 395.

Сурьма, Sb(SbO, Sb₂O₃, SbO₂, Sb₂O₅)

16, 22, 37, 44, 50, 57, 64, 71, 75, 87, 93, 95, 100, 105, 111, 118, 153, 163, 202, 218, 223, 230, 236, 265, 273, 340, 341, 380.

Таллий, Tl(Tl₂O, Tl₂O₃, TlO)

16, 26, 40, 58, 66, 72, 76, 94, 95, 102, 105, 114, 153, 167, 202, 232, 269, 273, 354, 386.

Тантал, Ta(Ta₄O, Ta₂O, TaO, Ta₂O₃, TaO₂, Ta₂O₅)

16, 25, 29, 39, 45, 51, 58, 59, 65, 72, 90, 94, 95, 101, 105, 113, 118, 134, 138, 148, 180, 183, 190, 201, 202, 206, 213, 216, 219, 222, 223, 232, 241, 246, 251, 268, 273, 346, 347, 385, 399, 416, 430.

Теллур, Te(TeO, TeO₂, TeO₃)

16, 23, 37, 57, 64, 71, 75, 79, 87, 100, 105, 112, 164, 202, 209, 218, 223, 230, 236, 244, 265, 273, 342, 380, 430.

Тербий, Tb(Tb₂O₃, TbO)

16, 38, 65, 89, 101, 134, 153, 213, 216, 219, 220, 222—224, 231, 237, 267, 273, 384, 430.

Технеций, Tc(TcO₂, Tc₂O₇)

15, 22, 36, 59, 64, 71, 75, 79, 100, 111, 163, 230, 273, 335.

Титан, Ti(Ti₂O, Ti₂O₃, TiO, Ti₃O₅, TiO₂, Ti₅O₉)

15, 16, 18, 29, 33, 43, 48, 55, 59, 62, 69, 74, 78, 83, 93—95, 98, 103, 108, 116, 119, 123, 131, 136, 138, 142, 152, 159, 171, 183, 189, 192, 195, 198—201, 204, 207, 208, 210, 214—216, 218—221, 223, 227, 235, 239, 243, 248, 251, 258, 271, 273, 277, 279—281, 310, 369, 393, 406, 413, 431.

Тулий, $Tu(Tu_2O, Tu_2O_3)$

16, 24, 38, 65, 101, 113, 134, 148, 153, 166, 213, 222—224, 231, 237, 268, 384.

Углерод, $C(C_2O, C_3O_2, CO, CO_2)$

15, 29, 31, 42, 46, 54, 61, 68, 74, 77, 82, 97, 103, 106, 116, 120, 155, 185, 188, 190, 210, 218, 221, 223, 225, 254, 273, 299, 421.

Уран, $U(UO, UO_2, U_3O_7, U_2O_5, U_3O_8, UO_3)$

16, 27, 29, 41, 45, 52, 53, 58, 60, 66, 73, 80, 90, 94, 95, 102, 105, 115, 127—129, 134, 148—150, 167, 181, 192, 194, 196, 198, 201, 206, 213, 215, 217, 219, 220, 222—224, 233, 237, 246, 270, 271, 273, 279, 359—361, 386, 400, 408, 417, 432, 433.

Фосфор, $P(PO, P_2O_3, P_2O_5, PO_2, PO_4)$

15, 18, 29, 32, 43, 47, 55, 61, 69, 74, 77, 93, 98, 103, 107, 157, 183, 218, 226, 235, 257, 273, 306, 367.

Франций, $Fr(Fr_2O)$

16

Фтор, $F(F_2O, FO)$

15, 29, 31, 54, 61, 68, 74, 97, 103, 106, 156, 191, 225, 255, 273, 303.

Хлор, $Cl(Cl_2O, ClO, ClO_2, ClO_3, Cl_2O_7)$

15, 29, 32, 55, 62, 69, 74, 78, 83, 98, 103, 107, 158, 218, 226, 273, 307, 308, 421.

Хром, $Cr(Cr_3O, CrO, Cr_3O_4, Cr_2O_3, CrO_2, Cr_5O_{12}, Cr_6O_{15})$

15, 16, 19, 29, 34, 43, 48, 56, 59, 62, 70, 78, 85, 93—95, 99, 104, 108, 116, 117, 119, 131, 137, 143, 160, 189, 201, 204, 211, 214, 218—221, 223, 224, 227, 235, 239, 244, 249, 259, 260, 271, 273, 314, 315, 371, 394, 406, 421.

Цезий, $Cs(Cs_3O, Cs_2O, CsO, CsO_2, CsO_3)$

16, 23, 37, 57, 65, 71, 88, 94, 95, 101, 112, 164, 216, 219, 230, 231, 273, 343, 422.

Церий, $Ce(CeO_2, Ce_2O_3, CeO_2)$

16, 23, 29, 38, 44, 51, 57, 65, 71, 94, 95, 101, 105, 112, 133, 147, 153, 165, 180, 195, 197, 202, 212, 216, 218, 222—224, 231, 236, 240, 244, 265, 273, 345, 381, 398, 416, 420.

Цинк, $Zn(ZnO, ZnO_2)$

15, 20, 29, 35, 44, 49, 56, 63, 93—95, 99, 104, 109, 117, 125, 137, 146, 160, 193, 195, 202, 205, 207, 209, 212, 214, 217, 222, 228, 236, 240, 250, 252, 261, 271, 273, 279, 323, 376, 407.

Цирконий, $Zr(ZrO, ZrO_2)$

15, 21, 29, 36, 44, 49, 57, 59, 64, 71, 75, 79, 86, 93—95, 100, 104, 110, 119, 125, 132, 137, 146, 152, 162, 178, 189, 193, 195, 197—199, 202, 206, 209, 212, 216, 218, 223, 229, 236, 240, 244, 250, 253, 263, 271, 273, 279—281, 284, 329, 378, 396, 407, 414, 436, 437.

Эрбий, $Er(Er_2O_3, ErO)$

16, 24, 29, 38, 65, 89, 101, 105, 113, 119, 127, 134, 148, 153, 166, 213, 216, 219, 222—224, 231, 237, 241, 245, 267, 273, 384.

ИБ № 1519

Григорий Валентинович САМСОНОВ, Алла Лукинична БОРИСОВА, Тамара Григорьевна ЖИДКОВА, Таисия Николаевна ЗНАТОКОВА, Юлия Павловна КАЛОШИНА, Анна Федоровна КИСЕЛЕВА, Павел Степанович КИСЛЫЙ, Михаил Саввич КОВАЛЬЧЕНКО, Татьяна Яковлевна КОСОЛАПОВА, Яков Семенович МАЛАХОВ, Владислав Яковлевич МАЛАХОВ, Алла Денисовна ПАНАСЮК, Валерий Иванович СЛАВУТА, Нина Ивановна ТКАЧЕНКО.

ФИЗИКО-ХИМИЧЕСКИЕ СВОЙСТВА ОКИСЛОВ

Справочник

Редактор И. П. Сушкин

Художественный редактор Г. А. Жегин

Технический редактор В. А. Лыкова

Корректоры В. Б. Левин, В. П. Крылова

Переплет художника Е. В. Кашутина

Сдано в набор 19.10.77. Подписано в печать 09.06.78. Т-10895. Формат бумаги 84×108^{1/32}. Бумага типографская № 1. Гарнитура литературная. Печать высокая. Усл.-печ. л. 24.78. Уч.-изд. л. 30,84. Тираж 10 600 экз. Заказ № 312. Цена 1 р. 90 к. Изд. № 3666.

Издательство «Металлургия», 119034, Москва, Г-34, 2-й Обыденский пер., д. 14
Владимирская типография «Союзполиграфпрома» при Государственном комитете
Совета Министров СССР по делам издательств, полиграфии и книжной торговли
600000, г. Владимир, Октябрьский проспект, д. 7